

Adrian Baraboi  
Maricel Ayrām

Ioan Ciutea  
Eugen Hnatiuc

# TEHNICI MODERNE ÎN COMUTAȚIA DE PUTERE



**A. BARABOI  
M. ADAM**

**I. CIUTEA  
E. HNATIUC**

# **TEHNICI MODERNE ÎN COMUTAȚIA DE PUTERE**

**EDITURA A 92  
IAȘI, 1996**



### **Adrian Baraboi<sup>1</sup>**

Este absolvent din 1971 al Facultății de Electrotehnică din Iași. În anul 1981 obține titlul de doctor inginer. Din 1992 este profesor la Catedra de Energetică a facultății absolvite. Lucrările științifice publicate, brevetele de invenție și colaborările cu producția reflectă preocupări în următoarele domenii: analiza și simularea solicitărilor echipamentului electric, a proceselor și circuitelor neliniare, tehnici de comutație și protecție, compatibilitate electromagnetică.

### **Ioan Ciutea<sup>2</sup>**

Licențiat în specializarea Electromecanică, din promoția 1970 a Facultății de Electrotehnică Iași. Ca inginer șef de secție în cadrul FRE Iași, a fost responsabil cu probleme de distribuție a energiei electrice. Din anul 1990 este director al filialei. În colaborare cu cadre didactice de la Facultatea de Electrotehnică din Iași a realizat multiple lucrări de cercetare științifică și tehnică.

### **Maricel Adam<sup>1</sup>**

Absolvent din 1985 al Facultății de Electrotehnică din Iași, este în prezent cadru didactic la această facultate. Ca doctorand, are preocupări de cercetare științifică în domeniile supravegherii și diagnosticării echipamentului electric și electronic, respectiv al modelării fenomenelor care influențează calitatea acestuia.

### **Eugen Hnatiuc<sup>1</sup>**

Este absolvent din promoția 1969 a Facultății de Electrotehnică Iași, în specializarea Electromecanică. A susținut teza de doctorat în 1983. Din anul 1994 este profesor. În cercetarea științifică, articolele publicate și brevetele obținute abordează teme din domeniile aparatelor electrice de comutație la joasă tensiune, electromagneților și electroecologiei.

---

<sup>1</sup> Universitatea Tehnică „Gh. Asachi”, Facultatea de Electrotehnică  
Bd. D. Mangeron 51-53, Iași-6600, România Fax (40) 32/13 00 54

<sup>2</sup> RENEL-Filiala de Rețele Electrice Iași,  
Str. Uzinei 38, Iași-6600, România Fax (40) 32/21 09 80



## CUPRINS

Prefață

Cuvânt înainte

### Capitolul 1 SOLICITARI DE REGIM TRANZITORIU ALE TEHNICII DE COMUTATIE...1

1.1. Introducere...1

1.2. Regimuri tranzitorii de conectare...7

1.2.1. Regimul de scurtcircuit...7

1.2.2. Solicitări termice și electrodinamice...12

1.3. Regimuri tranzitorii de deconectare...15

Bibliografie...20

### Capitolul 2 COMUTATIA DINAMICA...23

2.1. Arcul electric de deconectare...24

2.2. Modelarea arcului electric...28

2.2.1. Modelele Mayr și Cassie...32

2.2.2. Modele de conductanță evaluate...37

2.2.3. Stingerea arcului electric de curent  
alternativ...42

2.2.4. Comutația dinamică în curent continuu...49

2.3. Tehnici tradiționale în comutația de putere...60

Bibliografie...65

### Capitolul 3 TEHNICI MODERNE DE COMUTATIE IN HEXAFLUORURA DE SULF...69

3.1. Hexafluorura de sulf...69

3.2. Tehnica pneumatică...79

3.3. Tehnica autopneumatică...84



3.3.1. Intrerupătoare de înaltă tensiune...	86
3.3.2. Intrerupătoare de generator...	92
3.3.3. Intrerupătoare de medie tensiune...	96
3.4. Intrerupătoare cu suflaj magnetic...	100
3.5. Intrerupătoare cu autoexpansiune...	104
3.6. Separatoare de sarcină. Scurtcircuitoare...	112
3.6.1. Separatoare de sarcină...	112
3.6.2. Scurtcircuitoare...	116
3.7. Instalații capsulate, izolate în hexafluorură de sulf...	118
3.8. Acționarea întrerupătoarelor cu hexafluorură de sulf...	128
3.9. Utilizarea tehnicii de comutație în hexafluorură de sulf...	137
Bibliografie...	141

#### Capitolul 4 COMUTATIA DE PUTERE IN VID AVANSAT...145

4.1. Amorsarea și stingerea arcului electric în vid...	145
4.2. Caracteristici constructive și funcționale ale echipamentelor cu comutație în vid...	151
4.3. Variante constructive...	159
4.4. Utilizarea tehnicii de comutație în vid...	164
Bibliografie...	170

#### Capitolul 5 COMUTAȚIA DE PUTERE IN SISTEMELE FLEXIBILE DE TRANSMISIE A ENERGIEI...173

5.1. Dispozitive semiconductoare de putere...	173
5.2. Instalații electrice de curent continuu la înaltă tensiune...	182
5.2.1. Generalități...	182
5.2.2. Stații de conversie c.a. - c.c....	184
5.2.3. Puntea trifazată a unității de conversie...	189
5.3. Comutația de putere în curent continuu la înaltă tensiune...	193
5.3.1. Generalități...	193
5.3.2. Metode de comutație utilizate în c.c....	195
5.3.3. Scheme de comutație în curent continuu....	197
5.4. Sisteme flexibile de transmisie în curent alternativ...	200
5.4.1. Generalități...	200



- 5.4.2. Tranzitul de putere printr-o linie electrică...201
- 5.4.3. Creșterea rezervei de stabilitate dinamică și a tranzitului de putere...204
- 5.4.4. Dispozitive FACTS...207
- 5.4.5. Dificultăți legate de introducerea dispozitivelor FACTS...215

Bibliografie...216

## Capitolul 6 MENTENANȚA TEHNICII DE COMUTAȚIE...218

- 6.1. Generalități...218
- 6.2. Oportunitatea monitorizării și diagnosticării tehnice...220
  - 6.2.1. Definirea noțiunilor de monitorizare și diagnosticare...220
  - 6.2.2. Aspecte tehnice și economice privind monitorizarea și diagnosticarea echipamentelor de comutație...222
- 6.3. Defecte ale echipamentelor de comutație cu hexafluorură de sulf...226
- 6.4. Parametri pentru monitorizare și diagnosticare...231
  - 6.4.1. Generalități...231
  - 6.4.2. Camerele de stingere...233
  - 6.4.3. Izolația electrică...243
  - 6.4.4. Mecanismul de acționare...245
  - 6.4.5. Circuitele electrice de control și auxiliare...247
  - 6.4.6. Pierderi în sistemul de gaz SF<sub>6</sub>...249
- 6.5. Structura unui sistem de monitorizare și diagnosticare...250

Bibliografie...256

## Capitolul 7 TEHNICI MODERNE ÎN COMUTAȚIA DE PUTERE LA JOASA TENSIUNE...260

- 7.1. Principii moderne de realizare a comutației la joasă tensiune...260
  - 7.1.1. Principiul comutației sincronizate...261
  - 7.1.2. Principiul comutației hibride...263
  - 7.1.3. Principiul comutației statice...266



7.1.4.	Dispozitive electromagnetice în regim de comutație...	270
7.2.	Aparate de comutație de joasă tensiune...	275
7.2.1.	Contactoare...	275
7.2.2.	Contactoare cu comutație în vid...	281
7.2.3.	Contactoare cu comutație sincronizată...	284
7.2.4.	Contactoare cu comutație hibridă...	289
7.2.5.	Contactoare cu comutație statică...	304
7.2.6.	Aparate de comutație cu contacte metalolichide...	313
7.3.	Tendințe moderne de realizare a întrerupătoarelor automate de joasă tensiune...	320
7.3.1.	Intrerupătoare cu comutație sincronizată...	321
7.3.2.	Intrerupătoare cu comutație hibridă...	324
7.3.3.	Intrerupătoare cu comutație statică...	328
7.4.	Concluzii...	339
	Bibliografie...	343



## Prefață

Istoria de aproape un secol a electrotehnicii cuprinde, ca o componentă importantă, dezvoltarea continuă și în pas cu cerințele mereu crescânde ale utilizatorilor, a tehnicilor de comutație în instalațiile electrice de curenți tari. În epocă, unele dintre acestea au cunoscut apogeul apoi declinul, altele noi le-au înlocuit; tehnicile moderne, utilizate în prezent pe scară tot mai mare și cu reale perspective de generalizare în comutația de putere, fac obiectul cărții de față.

În primele capitole ale lucrării se prezintă principalele aspecte teoretice privind comutația de putere în instalațiile electrice de înaltă și joasă tensiune. Evoluția tehnicii de calcul a permis extinderea modelării fenomenelor de comutație. Preocupări și rezultate în acest domeniu, unele proprii autorilor, sunt prezentate în carte.

Următoarele capitole sunt consacrate principalelor tehnici de comutație, actuale și de perspectivă, cu utilizare în instalațiile de putere de înaltă, respectiv joasă tensiune. Se prezintă în detaliu construcția și funcționarea unor echipamente specifice tehnicilor moderne de comutație în hexafluorură de sulf și vid avansat. Se acordă, de asemenea, atenția corespunzătoare prezentării echipamentului cu comutație fără arc electric (sincronizată, statică, hibridă).

În lucrare este abordată problematica diagnosticării stării tehnice a echipamentelor de comutație, respectiv a mentenanței acestora. Se analizează principalele tipuri de defect ale echipamentelor moderne de comutație, parametrii, metodele de control și diagnostic, posibilitățile de aplicare a mentenanței predictive.

Cartea se adresează specialiștilor din sistemul energetic național și inginerilor energeticieni din întreprinderile industriale. Ea se poate dovedi utilă de asemenea profesorilor și studenților de la facultățile de profil energetic și electric.

*Prof. dr. ing. A. Vasilievici,*  
Universitatea Politehnica Timișoara



## Cuvânt înainte

Prin scrierea acestei cărți autorii, nutrind speranța că reușesc, au încercat să completeze literatura tehnică din țara noastră cu o lucrare unitară, consacrată în exclusivitate tehnicilor moderne de comutație utilizate în instalațiile electroenergetice și electrice.

Lucrarea, cuprinzând informații de dată recentă cu privire la complexa problemă și direcțiile de evoluție ale tehnicilor moderne în comutația de putere, se adresează în primul rând inginerilor și studenților din profilurile energetic, electric și electromecanic dar, pentru abordarea domeniului, poate fi consultată de orice specialist în științe tehnice.

Pentru sprijinul primit în elaborarea și tipărirea cărții, autorii mulțumesc pe această cale tuturor colaboratorilor din cadrul RENEL Filiala de Rețele Electrice Iași și din Facultatea de Electrotehnică, în mod deosebit d-rei ing. Coculeana Popa, șef al Serviciului Tehnic și d-nei Maria Adam, secretar facultate.

Autorii



## Capitolul 1

# SOLICITARI DE REGIM TRANZITORIU ALE TEHNICII DE COMUTATIE

### 1.1. Introducere

Care este locul întrerupătorului de putere în instalațiile electroenergetice? Răspunsul la această întrebare, doar în aparență retorică, este exprimat foarte plastic și precis în [25], printr-un citat din "Single-pressure SF<sub>6</sub> circuit breakers" (Dekker Inc., 1984), de B. J. Calvino. Potrivit autorului acestei cărți, întrerupătoarele de putere sunt "... aparate pe care nimeni nu le dorește, dar de care toată lumea are nevoie. Ele trebuie astfel concepute încât, odată puse în funcțiune, să poată fi uitate în instalații".

Citatul transcris subliniază pe de o parte ideea omniprezenței și rolului esențial al întrerupătorului de putere în instalațiile electroenergetice și, pe de altă parte, necesitatea ca acest aparat să răspundă în mod performant solicitării complexe la care este supus pe durata exploatării.

Dacă rolul și locul întrerupătoarelor de putere în instalațiile electroenergetice au rămas în general neschimbate, condițiile tehnice și funcționale impuse acestor echipamente au evoluat continuu, în strânsă legătură cu dezvoltarea sistemelor electroenergetice.

Unele aserțiuni din cartea lui Charle Bresson [7], inginerul șef din 1930 al firmei Delle (Franța), pot apărea acum ca desuete: "Pour une puissance de même ordre que précédemment (200 MVA, n. n.) ou plus élevée mais devant être transportée à une très grande



distance des usines génératrices (plusieurs centaines de kilomètres), la tension peut atteindre 220 kilo volts".

Dezvoltarea sistemelor electroenergetice face parte din dezvoltarea tehnologică generală bazată, la rândul ei, pe consumuri considerabile de energie electrică. Date fiind aceste condiții, în momentul de față s-a ajuns ca marile rețele de transport să funcționeze la tensiuni nominale de 765 kV și mai mult, în care puterea de scurtcircuit poate atinge valori de 50...100 GVA. Astfel de cerințe au revoluționat în general tehnologiile de fabricare a echipamentelor electrice și, în particular, tehnicile comutației de putere.

Echipamentele electrice sunt ansambluri de dispozitive electrice, electromagnetice și mecanice care, amplasate între surse și consumatori, asigură regimurile normale de vehiculare a fluxurilor de energie electrică.

Regimurile de funcționare ale instalațiilor electroenergetice pot fi simulate prin multiple procedee, dar ele nu vor putea fi identificate decât în rețelele reale, configurate cu ajutorul elementelor de structură; acestea nu sunt altele decât echipamentele electrice. Între regim și structură există o complexă intercondiționare și numai abordarea sistemică a acestora face posibil progresul tehnic în domeniu.

Că este așa o dovedesc stadiul atins în construcția de echipamente performante și posibilitățile tehnice reale ale acestora de a controla regimurile.

Un loc aparte în cadrul elementelor de structură revine echipamentului de comutație care are rolul de a stabili și întrerupe, în condiții precizate, conducția în circuitele electrice.

Comutația poate fi dinamică sau statică, după cum se realizează ca urmare a deplasării relative a unor contacte electrice specializate, respectiv pe seama variației prin salt și în limite largi a unui parametru de tip impedanță de trecere.

În comutația de tip dinamic se încadrează toate echipamentele cu contacte, în timp ce comutația statică este proprie rezistoarelor și bobinelor comandate.



Echipamentele electronice de putere funcționează fără excepție pe baza comutației statice, fie că aceasta este periodică sau nu.

În instalațiile pe care le structurează, echipamentele de comutație îndeplinesc un rol funcțional operativ și un altul de protecție. În cadrul funcțiilor operative, prin manevre comandate de multe ori manual, echipamentele de comutație asigură dirijarea circulației de putere pe trasee rezultate ca optime din analize de regim, [18].

Funcția de protecție constă în asigurarea cu prioritate a protecției automate împotriva oricărui incident care ar putea perturba regimul normal al instalației sau chiar ar constitui un pericol pentru aceasta și factorul uman, [23]. Modul în care echipamentul de comutație îndeplinește funcțiile menționate este hotărâtor în ceea ce privește asigurarea disponibilității și securității subsistemelor electroenergetice.

Dezvoltarea diferitelor tehnici în comutația de putere este strâns legată pe de o parte de cerințele crescânde ale utilizatorilor de energie electrică și, pe de altă parte, de modul în care constructorii de echipament au răspuns acestor cerințe, oferind elementele de structură pentru realizarea unor sisteme capabile să vehiculeze fluxuri electroenergetice de valori foarte mari.

Progresele înregistrate în domeniul tehnicii de comutație se bazează pe cunoașterea unui complex de fenomene care au loc simultan și se intercondiționează, fiind uneori greu de stăpânit. Procese electrice, termice, electrodinamice, mecanice, influențele factorilor de mediu, fenomenele legate de funcționarea contactelor electrice, de îmbătrânirea materialelor etc. ridică serioase obstacole în calea realizării unui nou echipament.

Organisme științifice internaționale de înaltă autoritate precum IEEE (The Institute of Electrical and Electronics Engineers) în SUA, acordă o atenție deosebită dezvoltării tehnicilor de comutație. "IEEE Power Engineering Society" este organizația membrilor IEEE care are drept scop realizarea progresului științific și aplicativ în domeniile producerii, transportului, distribuției și utilizării energiei electrice. În "IEEE Transactions on Power Delivery", prestigioasa revistă a acestei societăți, un loc important



revine articolelor elaborate sub egida comitetului specializat în problemele echipamentului de comutație (Switchgear Committee).

În Europa, CIGRE (Conférence Internationale des Grandes Réseaux Electriques) este un organism internațional constituit din mai multe comitete de studii, fiecare având în subordine grupuri de lucru, grupuri de lucru comune și grupuri de acțiune.

Comitetul de Studii 13, reunind preocupările CIGRE în domeniul echipamentului de comutație cu contacte, efectuează în ultimii ani cercetări pe următoarele teme [9], [11], [19], [20], [28], [29]:

- tendințele de dezvoltare pe termen scurt și lung a echipamentelor de comutație și impactul acestora asupra comportamentului rețelelor în regim tranzitoriu;

- tehnologii noi și alternative posibile pentru echipamentul de comutație utilizat până în prezent;

- fiabilitatea și disponibilitatea care caracterizează echipamentele în funcțiune și, în particular, întrerupătoarele de înaltă tensiune;

- tehnicile de diagnostic și supraveghere a echipamentelor de comutație;

- aplicarea tehnicilor de comutație controlată și impactul asupra funcționării rețelelor.

Având în vedere generalizarea utilizării instalațiilor capsulate cu izolație în hexafluorură de sulf și progresele înregistrate în implementarea echipamentelor de comutație statică în instalațiile electroenergetice, la definirea subiectelor preferențiale de cercetare teoretică și aplicată în domeniul echipamentelor de comutație iau parte și alte comitete de studii, [1], [16], [22], [29]. În Tab.1.1 se prezintă sintetic principalele structuri din cadrul CIGRE, cu activitate nemijlocită în domeniul tehnicilor de comutație dinamică și statică.

Astfel, începând din 1991, Comitetul de Studii 14 abordează, pe lângă problematica legăturilor în curent continuu la înaltă tensiune (CCHT) și pe cea a echipamentelor electronice de putere, cunoscute sub denumirea "Sisteme reglabile de transmisie în curent alternativ" (Flexible AC Transmission Systems-FACTS). Sesiunea CIGRE din 1994 a fost prima în care legăturile CCHT și



Tab.1.1

Tab.1.1

Structuri ale CIGRE interesând domeniul tehnicilor de comutație dinamică și statică: CS-comitet de studii, GL-grup de lucru, GA-grup de acțiune, GLC-grup de lucru comun

CS 13 Echipament de comutație	CS 14 Conexiuni în c.c. și echipamente electronice de putere	CS 23 Stații și posturi de transformare	CS 38 Analize și tehnici în sisteme de putere
GL 13.01 Aplicații practice ale fizicii arcului în întrerupătoare	GL 14.01 Valve pentru sisteme de înaltă tensiune în c.c.	GL 23.10 Instalații capsulate cu izolație în SF <sub>6</sub>	GA 38.01.08 Modelarea echipamentelor electronice de putere
GL 13.04 Metode de încercare în domeniul comutației	GLC 13/ 14.08 Echipament de comutație		
GL 13.06 Fiabilitatea întrerupătoarelor	GL 14.14 Sisteme flexibile de transmisie în c.a.		
GL CC 03 Problematika tensiunii tranzitorii de restabilire	GL 14.17 Dispozitive semiconductoare de putere		
GA 13.00.1 Comutație controlată			



FACTS au fost analizate împreună, [24]. Punerea la punct în cadrul FACTS a compensatoarelor statice de putere reactivă, a primelor prototipuri de compensatoare serie comandate cu tiristoare, studiul posibilităților de realizare a unor echipamente polifuncționale (limitator de supracurent și compensator serie, [19]) evidențiază importanța majoră a funcției de comutație în instalațiile electroenergetice, indiferent că aceasta se realizează utilizând echipamente cu sau fără contacte sau că este de tip aleator sau periodic.

Atingerea performanțelor actuale și de perspectivă specifice tehnicilor comutației de putere este strâns legată de preocupările cercetării științifice privind supravegherea stării tehnice reale a echipamentelor, diagnosticarea și predicția duratei de viață a acestora pe termen scurt și lung precum și de adoptarea unor politici de mentenanță având la bază date obținute prin monitorizare, [12], [13].

Datorită funcțiilor îndeplinite potrivit concepțiilor tehnice actuale, echipamentele de comutație reprezintă în instalații adevărate "concentratoare de eforturi", pe durata funcționării acestea fiind supuse unor solicitări complexe, de naturi diverse și cu intensități de valori mari.

În stabilirea soluțiilor tehnice și în fabricarea echipamentelor de comutație moderne, constructorii sunt obligați să țină seama de toate aceste solicitări, astfel încât produsele obținute la parametrii electrici impuși să se caracterizeze, în același timp, prin indicatori de fiabilitate cât mai înalți, cheltuieli de exploatare reduse, dimensiuni de gabarit mici, consum diminuat de materiale active, independență funcțională față de condițiile de mediu, preț competitiv etc.

În cea de a doua jumătate a acestui prim secol din istoria aplicațiilor industriale ale electricității, pe fondul dezvoltării tehnologice generale și beneficiind în special de aplicațiile puse la punct în domeniile de vârf, constructorii au realizat tehnici moderne în comutația de putere, capabile să satisfacă pe deplin cerințele impuse de evoluția sistemelor electroenergetice.



## 1.2. Regimuri tranzitorii de conectare

Înterupătorul ideal având, din punct de vedere funcțional, două stări stabile (închis-deschis, conectat-deconectat, anclanșat-declanșat etc.), se poate reprezenta sub forma unui dipol cu următoarele caracteristici:

-impedanță de trecere nulă pe durata conducerii (înterupător închis);

-impedanță de trecere infinită (pentru a asigura întreruperea conducerii) și nivel de izolație corespunzător (pentru a suporta tensiunea la borne), în cazul întrerupătorului deschis;

-capabilitate de trecere de la o stare la alta în mod instantaneu, sincron cu unul din momentele anulării intensității curentului, când sunt nule atât energia magnetică înmagazinată în bobinele circuitului care conține întrerupătorul cât și energia termică degajată prin efect electrocaloric în rezistențele acestuia.

### 1.2.1. Regimul de scurtcircuit

Cerințelor de ordin funcțional prezentate li se adaugă cele tehnice, constând în capabilitatea echipamentului de a suporta pe durata funcționării solicitări de un anumit tip, având intensități variabile între limite precizate. Între acestea un loc important îl ocupă cele de natură electromagnetică, prezente în oricare din etapele de funcționare specifice unui echipament de comutație.

În general, sub raportul comutației propriuzise, conectarea circuitelor nu ridică probleme tehnice deosebite. Totuși, după momentul efectuării acestei manevre, solicitarea instalației și a

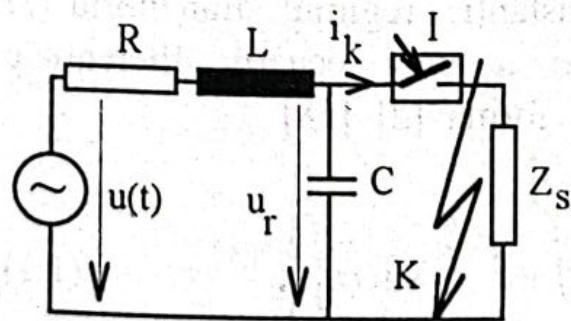
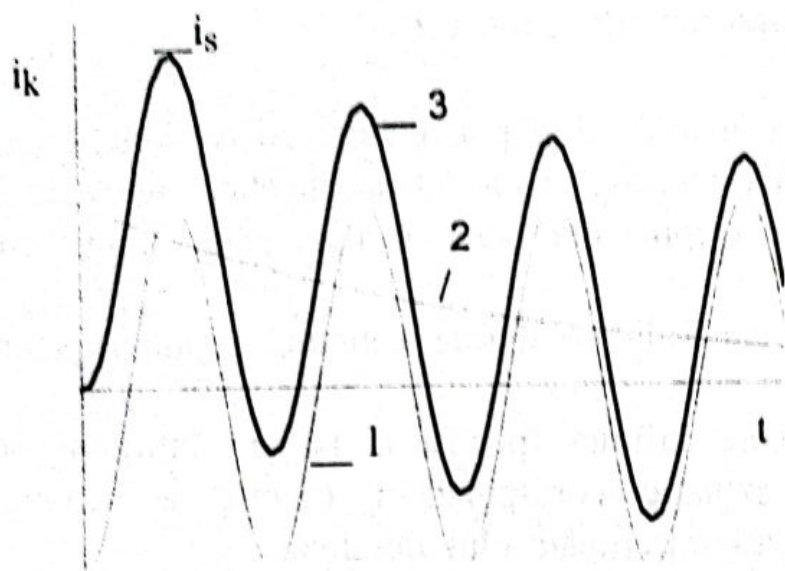


Fig.1.1

Schema electrică de conectare pe scurtcircuit

echipamentului poate atinge valori maxime dacă, prin închiderea contactelor întrerupătorului de putere, în instalație se stabilește un regim de scurtcircuit. Traversate de curenții de scurtcircuit, căile





**Fig.1.2**

*Regimul tranzitoriu al curentului de scurtcircuit depărtat: 1-componenta periodică; 2-componenta aperiodică; 3-curentul rezultat.*

pământ, monofazat). Calculul curentului de scurtcircuit trifazat este necesar pentru verificarea stabilității termice și electrodinamice a echipamentului de comutație, alegerea și reglarea echipamentelor de protecție efectuându-se pe baza calculelor corespunzătoare tuturor tipurilor de scurtcircuit.

În cazul scurtcircuitului depărtat (Fig.1.1) defectul se produce la distanță suficient de mare de bornele sursei, ale cărei impedanțe pot fi neglijate în raport cu cele ale rețelei; deoarece aceasta din urmă are parametri constanți, regimul tranzitoriu al curentului de scurtcircuit, ca soluție a unei ecuații diferențiale ordinare de ordinul întâi, se obține de forma [2], [18]:

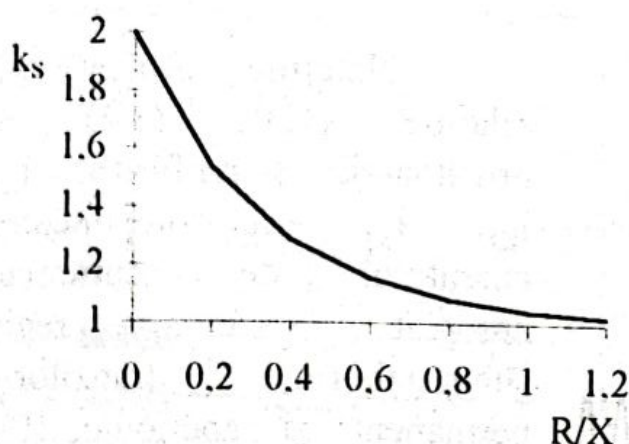
$$i_k(t) = \sqrt{2} I_k \left[ \sin(\omega t - \varphi_0) + e^{-\frac{t}{T}} \sin \varphi_0 \right], \quad (1.1)$$

unde  $I_k$  este valoarea efectivă a curentului de scurtcircuit de regim permanent,  $\varphi_0$ -unghiul de conectare, iar  $T$ -constantă de timp a circuitului. Componenta aperiodică rezultă maximă dacă  $\varphi_0 = \pi/2$ .

În Fig.1.2 se prezintă regimul tranzitoriu al curentului de scurtcircuit depărtat, cu evidențierea componentelor acestuia.

conductive ale tehnicii de comutație suportă intense solicitări termice și electrodinamice; acestea iau valori în domenii de variație ce pot fi extinse până la limitele de stabilitate termică și electrodinamică.

În instalațiile trifazate regimul de scurtcircuit poate fi simetric (trifazat) sau nesimetric (bifazat cu sau fără punere la



**Fig.1.3**  
Valorile coeficientului de șoc

Valoarea de vârf maximă a curentului de scurtcircuit  $i_s$ , numită curent de șoc sau de lovitură, se înregistrează pentru  $\omega t = \pi$  și se obține de forma:

$$i_s = k_s \sqrt{2} I_k, \quad (1.2)$$

unde  $k_s$  este coeficientul (factorul) de șoc sau de lovitură. Valorile acestuia, dependente de raportul  $R/X$ , sunt date în diagrama din Fig.1.3.

În cazul defectelor produse în apropierea bornelor generatorului devin preponderente reactanțele acestuia, care sunt variabile în timp pe durata regimului (scurtcircuit apropiat). De data aceasta, componenta periodică a curentului de scurtcircuit este amortizată după două constante de timp, corespunzătoare regimurilor subtranzitoriu, respectiv tranzitoriu ale generatorului.

În ipoteza unui scurtcircuit produs la bornele generatorului [16], curentul de regim tranzitoriu are expresia:

$$i_k(t) = i_{ks}(t) + i_{kt}(t) + i_{kp}(t) + i_{ka}(t), \quad (1.3)$$

unde:

$$\left. \begin{aligned} i_{ks}(t) &= \sqrt{2} (I_k'' - I_k') e^{-\frac{t}{T_s}} \sin(\omega t - \varphi_0), \\ i_{kt}(t) &= \sqrt{2} (I_k' - I_k) e^{-\frac{t}{T_l}} \sin(\omega t - \varphi_0), \\ i_{kp}(t) &= \sqrt{2} I_k \sin(\omega t - \varphi_0), \quad i_{ka}(t) = \sqrt{2} I_k'' e^{-\frac{t}{T}}. \end{aligned} \right\} \quad (1.4)$$



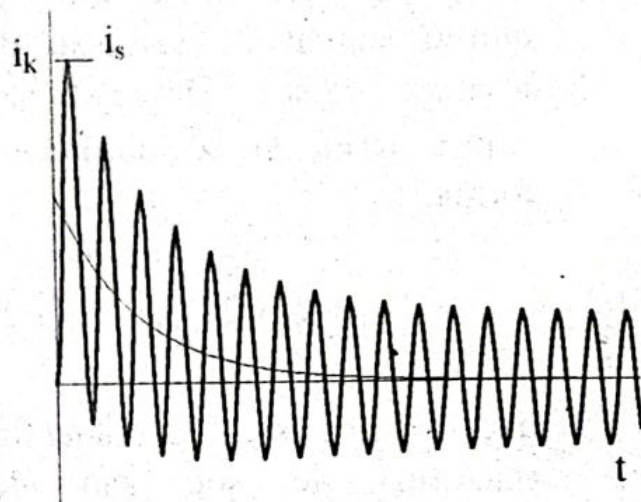


Fig.1.4

*Regimul tranzitoriu al curentului de scurtcircuit apropiat:  $i_s$ -curentul de șoc.*

Modul de variație temporală a curentului de scurtcircuit apropiat depinde de construcția generatorului (poli masivi sau aparenți, cu sau fără bare amortizoare), forma tipică fiind prezentată în Fig.1.4.

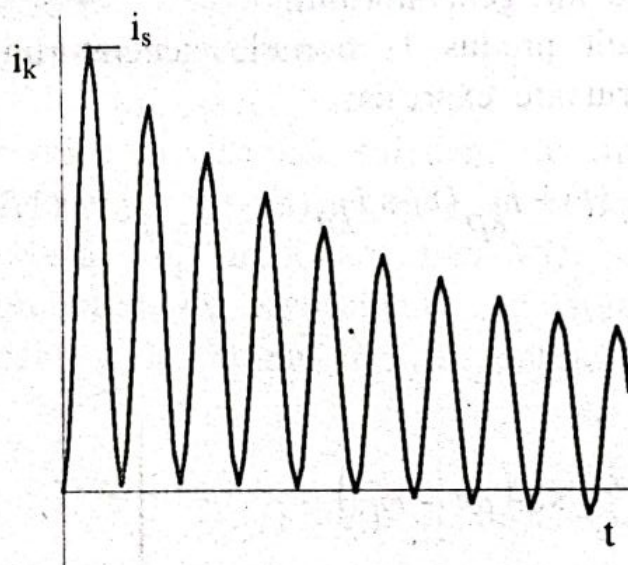


Fig.1.5

*Intârzierea anulării intensității curentului de scurtcircuit*

scurtcircuit simetric inițial sunt prezentate în Tab.1.2, în care  $U$  reprezintă valoarea efectivă a tensiunii între faze,  $Z$ -impedanța directă a circuitului,  $Z_0$ -impedanța homopolară,  $Z_p$ -impedanța traseelor prin pământ.

Notățiile utilizate în relațiile (1.3), (1.4) au următoarele semnificații:  $i_{ks}$ ,  $i_{kt}$ ,  $i_{kp}$ ,  $i_{ka}$ -componentele curentului de scurtcircuit apropiat de regim subtranzitoriu, tranzitoriu, permanent și aperiodic,  $I''_k$ ,  $I'_k$ ,  $I_k$ -valorile efective ale curenților de scurtcircuit corespunzătoare respectiv regimurilor subtranzitoriu, tranzitoriu și permanent,  $T_s$ ,  $T_t$ ,  $T$ -constantele de timp.

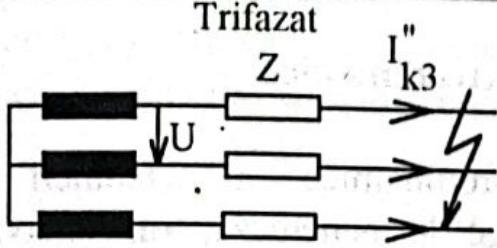
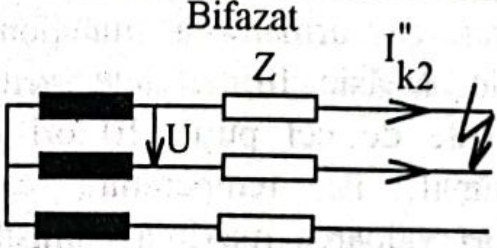
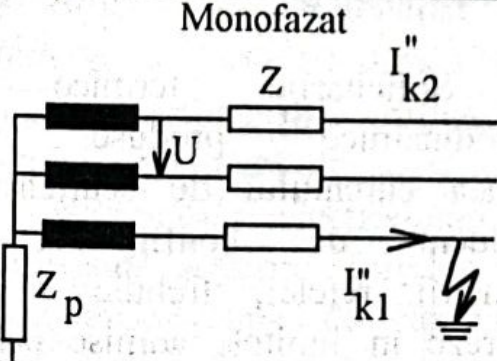
În cazul regimului de scurtcircuit apropiat factorul de șoc se aplică valorii de vârf a curentului de scurtcircuit simetric inițial, astfel încât curentul de șoc se calculează cu relația:

$$i_s = \sqrt{2} k_s I''_k. \quad (1.5)$$

Defectele care apar în instalațiile trifazate și relațiile de calcul pentru valoarea efectivă a curentului de



Tab.1.2

Tipul de scurtcircuit	Valoarea efectivă a curentului de scurtcircuit simetric inițial
<p>Trifazat</p> 	$I''_{k3} = \frac{1,1U}{\sqrt{3}Z}$
<p>Bifazat</p> 	$I''_{k2} = \frac{1,1U}{2Z}$
<p>Monofazat</p> 	$I''_{k1} = \frac{1,1\sqrt{3}U}{2Z + Z_0 + 3Z_p}$

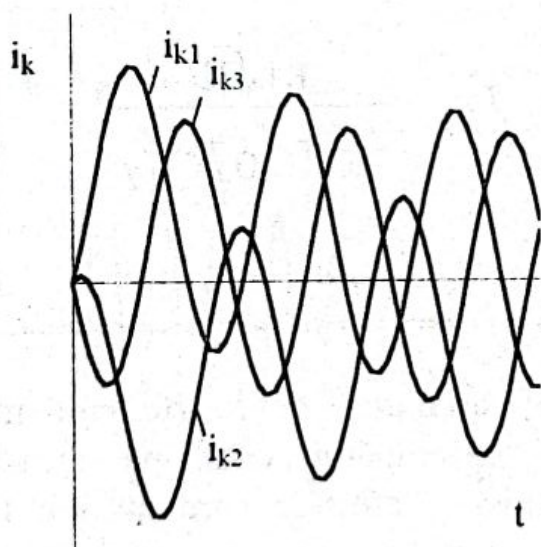
Modul de variație în timp a curentului de scurtcircuit nu influențează solicitările suportate de întrerupător doar pe durata funcționării acestuia cu contactele închise. Defectele care au loc la bornele generatoarelor de puteri mari, caracterizate prin valori  $X/R$  de ordinul 80...200 [25], introduc componente aperiodice de curent continuu cu valori mari și care se amortizează greu. Este posibil ca, în anumite condiții [25], [33], momentul primei anulări a intensității curentului de scurtcircuit să întârzie (Fig.1.5), fapt care poate conduce la dificultăți în stingerea arcului care însoțește întreruperea unui astfel de curent. Evitarea deconectării în aceste



condiții este posibilă fie prin creșterea rezistenței ohmice a circuitului, fie prin temporizarea separării contactelor până la prima anulare a intensității curentului; evident, al doilea procedeu nu trebuie să afecteze stabilitatea termică a echipamentului.

### 1.2.2. Solicitări termice și electrodinamice

Solicitările termice și electrodinamice ale tehnicii de comutație, dependente de curentul care le generează, sunt maxime în timpul regimului de scurtcircuit. Acesta are durată limitată obișnuit la 0,25...2 s, fiind înlăturat ca urmare a funcționării protecției și a tehnicii de comutație însăși. În rețelele actuale intensitatea curentului de scurtcircuit este de cel puțin 10 ori mai mare decât cea a curentului nominal, iar temperatura căilor conductoare poate ajunge la de 3...4 ori valoarea maximă admisibilă corespunzătoare solicitării termice de lungă durată, proprie regimurilor normale de funcționare.



**Fig.1.6**

*Regimul tranzitoriu al curentului de scurtcircuit trifazat*

Solicitările termice și electrodinamice produse sub acțiunea curentului de scurtcircuit, dependent de configurația și parametrii rețelei, trebuie să se încadreze în limitele admise pentru tehnica de comutație căreia, pe toată durata funcționării, trebuie să i se asigure stabilitatea termică și electrodinamică.

Solicitarea termică la scurtcircuit este de scurtă durată, creșterea admisibilă de temperatură fiind mai mare decât în cazul solicitării de lungă durată; stabilitatea termică a tehnicii de comutație este asigurată dacă temperatura finală a încălzirii nu depășește o valoare limită admisibilă.



Potrivit standardelor din România, puse în acord de altfel cu recomandările CEE<sup>1</sup>, solicitarea termică admisibilă la scurtcircuit pentru un întrerupător de putere de înaltă tensiune este precizată prin durata limită admisibilă  $t$  (1 s sau 3 s), de menținere a curentului de scurtcircuit având intensitatea  $I_{pr}$ , corespunzătoare capacității nominale de deconectare. În aceste condiții, solicitarea termică admisibilă la scurtcircuit  $\sigma_{ad}$ , este dată de relația [2]:

$$\sigma_{ad} = I_{pr}^2 t. \quad (1.6)$$

Pentru verificarea stabilității termice la scurtcircuit a unui întrerupător trebuie satisfăcută relația:

$$\sigma(t_k) \leq \sigma_{ad}, \quad (1.7)$$

unde  $\sigma(t_k)$  este solicitarea termică produsă de curentul de scurtcircuit, existent pe durata  $t_k$ ; solicitarea termică la scurtcircuit,  $\sigma(t_k)$  se determină prin mijloace specifice, de exemplu prin metoda curentului echivalent de scurtcircuit [2], [17], [18].

Solicitările electrodinamice ale tehnicii de comutație sunt produse sub acțiunea forțelor de interacțiune care apar între căi conductoare parcurse de curenți înlanțuiți printr-un câmp magnetic comun. Ca și în cazul proceselor termice, intensitatea maximă a solicitării electrodinamice are loc sub acțiunea curenților de scurtcircuit, pe durata tranzitorie [10]. În Fig.1.6 este reprezentat grafic regimul tranzitoriu al curentului de scurtcircuit trifazat, care servește ca bază pentru evaluarea solicitărilor electrodinamice ale tehnicii de comutație.

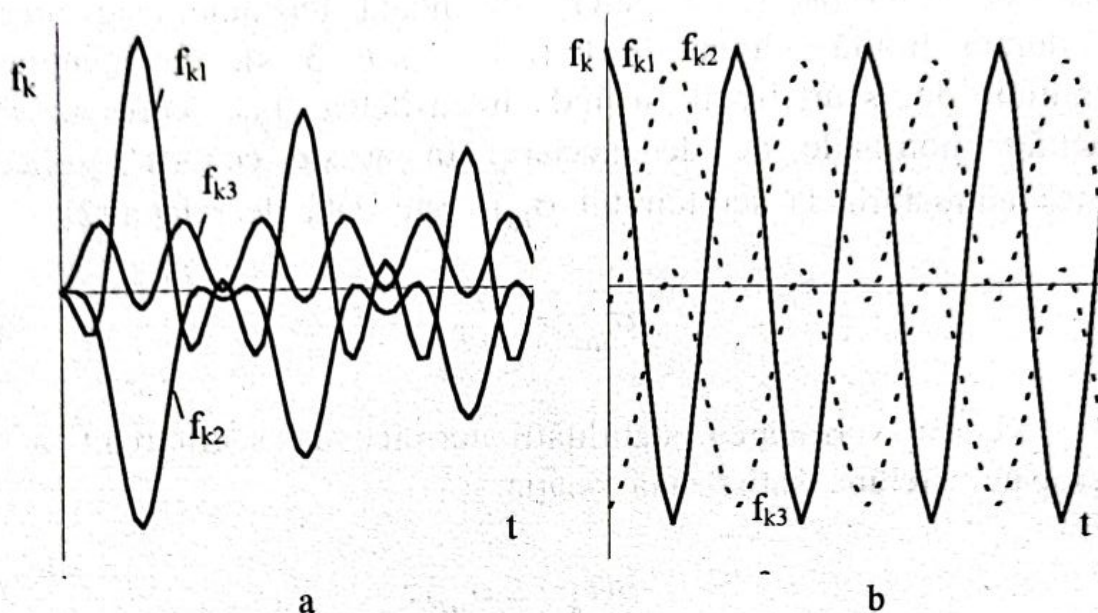
Expresia generală de calcul a forței de interacțiune dintre două căi conductoare parcurse de curenți este de forma:

$$F = 10^{-7} K i_1 i_2, \quad (1.8)$$

<sup>1</sup> Comisia Electrotehnică Internațională



unde  $i_1, i_2$  sunt intensitățile curenților, iar  $K$ -o constantă adimensională, cu valori dependente de geometria sistemului.



**Fig.1.7**

*Forțe electrodinamice într-un sistem trifazat de conductoare coplanare: a-regimul tranzitoriu; b-regimul permanent;  $f_{k1}$ -forța electrodinamică pe calea conductoare centrală;  $f_{k2}, f_{k3}$ -forțele electrodinamice pe căile conductoare laterale.*

Analiza forțelor electrodinamice de interacțiune dintre căile conductoare, paralele și coplanare, ale unui sistem aferent tehnicii de comutație, produse sub acțiunea unui sistem trifazat de curenți de scurtcircuit pe durata regimului tranzitoriu, pune în evidență faptul că solicitarea maximă este înregistrată pe calea de curent centrală. În Fig.1.7a sunt reprezentate forțele electrodinamice care solicită un astfel de sistem, corespunzătoare căii conductoare centrale ( $f_{k1}$ ), respectiv celor laterale ( $f_{k2}, f_{k3}$ ). Forțele electrodinamice de regim permanent (Fig.1.7b) nu modifică localizarea solicitării maxime, care se înregistrează de asemenea pe calea de curent centrală, supusă acțiunii unui ciclu alternant simetric; conductoarele laterale sunt solicate la cicluri alternante nesimetrice, existând tendința de respingere a acestora în raport cu conductorul central.

Verificarea stabilității electrodinamice a întrerupătoarelor de înaltă tensiune coincide cu verificarea capacității lor de conectare și



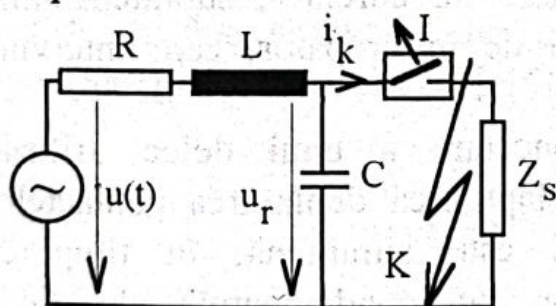
a stabilității contactelor, [6], [14]. Între capacitatea nominală de conectare ( $i_\ell$ ) și cea de deconectare ( $I_{pr}$ , componentă periodică) există relația:

$$i_\ell \cong 2,5 I_{pr}. \quad (1.9)$$

Tehnicile moderne de comutație se disting, printre altele, prin parametri electrici performanți. Atingerea unor valori înalte, de 63-80 kA pentru capacitatea nominală de deconectare impune și soluționarea problemei creșterii nivelurilor de stabilitate termică și electrodinamică, specifică acestor echipamente, [15].

### 1.3. Regimuri tranzitorii de deconectare

Întreprătorul de putere este unicul echipament capabil să întrerupă cei mai mari curenți care pot apărea într-o instalație. Această funcție este îndeplinită în intervalele de timp foarte scurte ale regimurilor tranzitorii de deconectare care, sumate toate, reprezintă un procent extrem de redus din durata de viață a echipamentului.



**Fig.1.8**

*Schema electrică de deconectare a unui scurtcircuit*

În cazul comutației dinamice (cu contacte deplasate mecanic), deconectarea este întotdeauna însoțită de amorsarea arcului electric în camera de stingere. Schema electrică de deconectare a unui curent de defect produs la bornele întrerupătorului este dată în Fig.1.8.

Arcul electric amorsat la deconectare între contactele întrerupătorului îndeplinește condițiile de stingere definitivă într-un interval foarte scurt de timp, conținând unul din momentele anulării intensității curentului, fie acesta  $t_0$  (Fig.1.9). Întreruperea este însă cu atât mai dificilă cu cât, pe măsură ce dispozitivele specializate de stingere a arcului electric



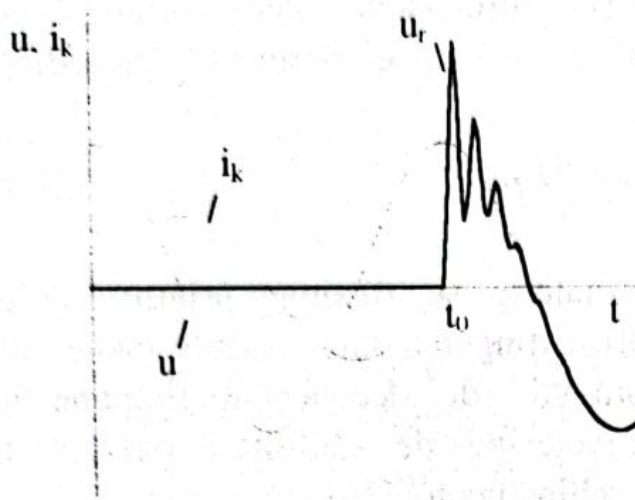


Fig.1.9

Regimul tranzitoriu de deconectare:  $u$  - tensiunea sursei de alimentare;  $i_k$  - intensitatea curentului;  $u_r$  - tensiunea tranzitorie de restabilire.

acționează în vederea refacerii rigidității dielectrice a spațiului dintre contacte, prin reacția rețelei acestuia i se aplică tensiunea tranzitorie de restabilire.

Pe durata arderii arcului electric o astfel de reacție introduce dificultăți suplimentare privind stingerea definitivă, iar după obținerea acesteia, tensiunea tranzitorie de restabilire se aplică izolației instalației, constituind pentru aceasta o supratensiune de comutație.

În mod obișnuit parametrii supratensiunilor de comutație (valoarea maximă, factorul de oscilație, frecvența proprie) depind exclusiv de caracteristicile rețelei. În cazuri speciale de deconectare, când stingerea definitivă a arcului electric se produce la valori nenule ale intensității curentului ("tăiere de curent"), supratensiunile de comutație au valori dependente și de întrerupător, care intervine cu mărirea curentului "tăiat".

Regimul tranzitoriu de deconectare a unui defect trifazat trebuie analizat ținându-se seama de faptul că deplasarea contactelor pe cei trei poli ai întrerupătorului este simultană, în timp ce momentele de anulare a curenților pe conductoarele de fază, marcând fiecare stingerea posibilă a arcului electric, este defazată cu  $2\pi/3$ . De asemenea trebuie avute în vedere legăturile și punerile la pământ din rețeaua analizată.

Schema electrică de deconectare a unui scurtcircuit produs la bornele întrerupătorului într-o rețea trifazată este reprezentată în Fig.1.10.

Conform acesteia, valoarea efectivă corespunzătoare componentei de frecvență industrială a tensiunii tranzitorii de restabilire ce apare la polul care întrerupe primul (polul 1, Fig.1.10), se calculează cu relația :



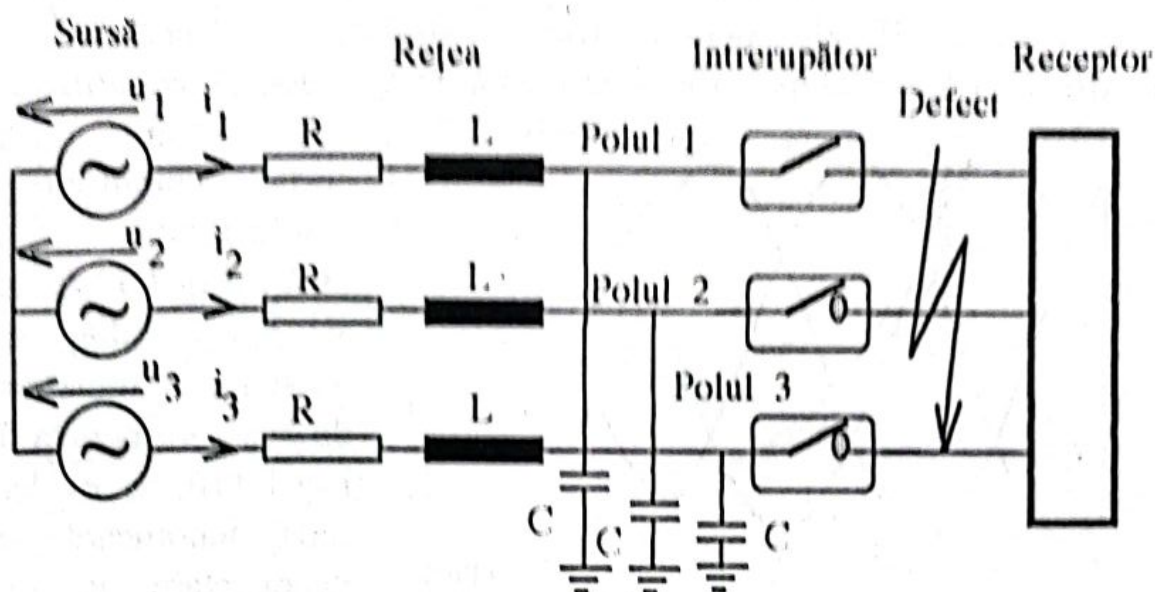


Fig.1.10

Schema electrică a întreruperii unui defect trifazat

$$U_{r1} = \frac{1,5}{\sqrt{3}} U_n, \quad (1.10)$$

în timp ce, pentru ceilalți doi poli, la care stingerea definitivă a arcului are loc simultan, dar cu o întârziere unghiulară de  $\pi/2$  în raport cu primul, rezultă [2], [5], [17], [18]:

$$U_{r2} = U_{r3} = \frac{U_n}{2}, \quad (1.11)$$

unde  $U_n$  este tensiunea nominală. Dacă se notează cu  $\gamma$  factorul de oscilație, pentru valorile de vârf ale tensiunii tranzitorii de restabilire pe cei trei poli se obține:

$$u_{m1} = \frac{1,5\sqrt{2}}{\sqrt{3}} \gamma U_n, \quad u_{m2} = u_{m3} = \frac{\gamma U_n}{\sqrt{2}}. \quad (1.12)$$

Rezultatele simulării regimului tranzitoriu de deconectare a unui scurtcircuit trifazat într-o rețea de 400 kV sunt prezentate în

Fig.1.11, [5]. Simularea a fost efectuată cu ajutorul EMT Program (versiunea ATP-1992), pentru care Catedra de Energetică a Facultății de Electrotehnică din Iași-România are licență de utilizare.

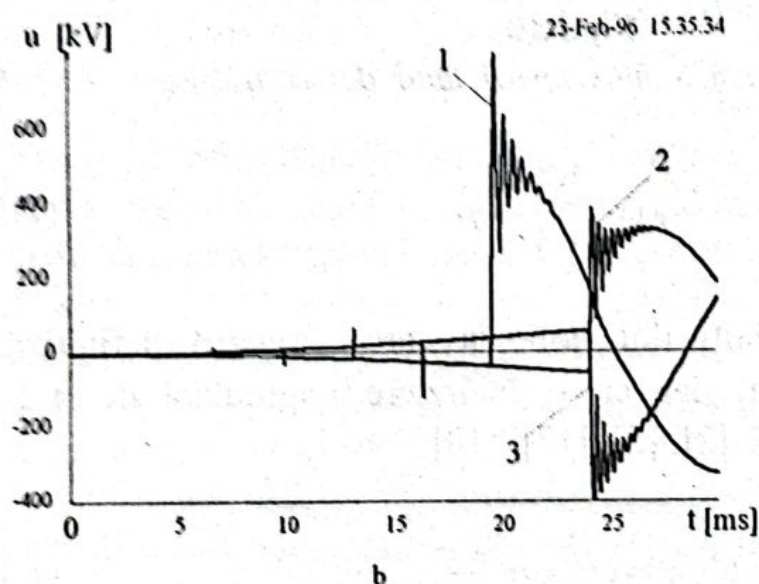
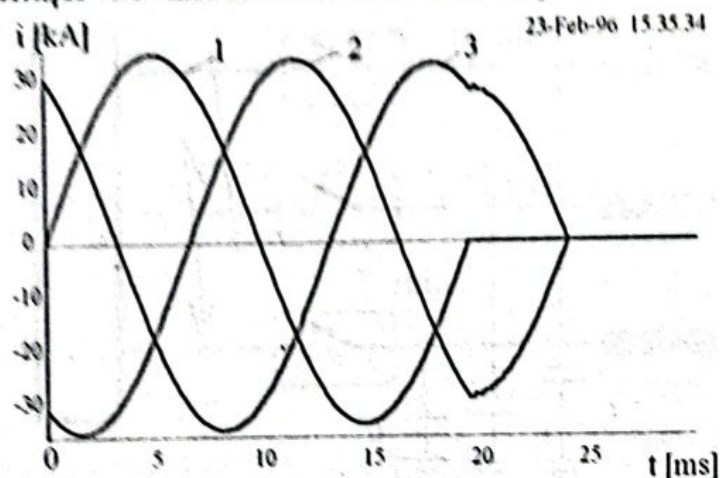


Fig.1.11

*Regimul tranzitoriu de deconectare trifazată: a-curenții pe conductoarele de fază; b-tensiunea tranzitorie de restabilire.*

Atât prin curbele curenților pe conductoarele de fază (Fig.1.11a) cât și prin diagrama tensiunilor tranzitorii de restabilire dată în Fig.1.11b, se evidențiază fenomenele de deconectare la primul pol, factorul de amplitudine având valoarea  $\gamma=1,6$ .

EMT Program furnizează la cerere puterile active și energiile corespunzătoare diferitelor ramuri ale rețelei în care se efectuează calcule de regim tranzitoriu. Curbele de variație în timp a puterii și energiei arcului electric de deconectare care însoțește, pe fiecare

pol în parte, regimul tranzitoriu simulat sunt prezentate în Fig.1.12.

Procese de comutație dinamică nu pot fi imaginate fără intervenția arcului electric. Proprietățile arcului electric de deconectare conferă acestuia capacitatea de a întrerupe circuitul la trecerea prin zero a curentului; această proprietate introduce o relație de sincronizare între comutație și rețea, cu efecte favorabile



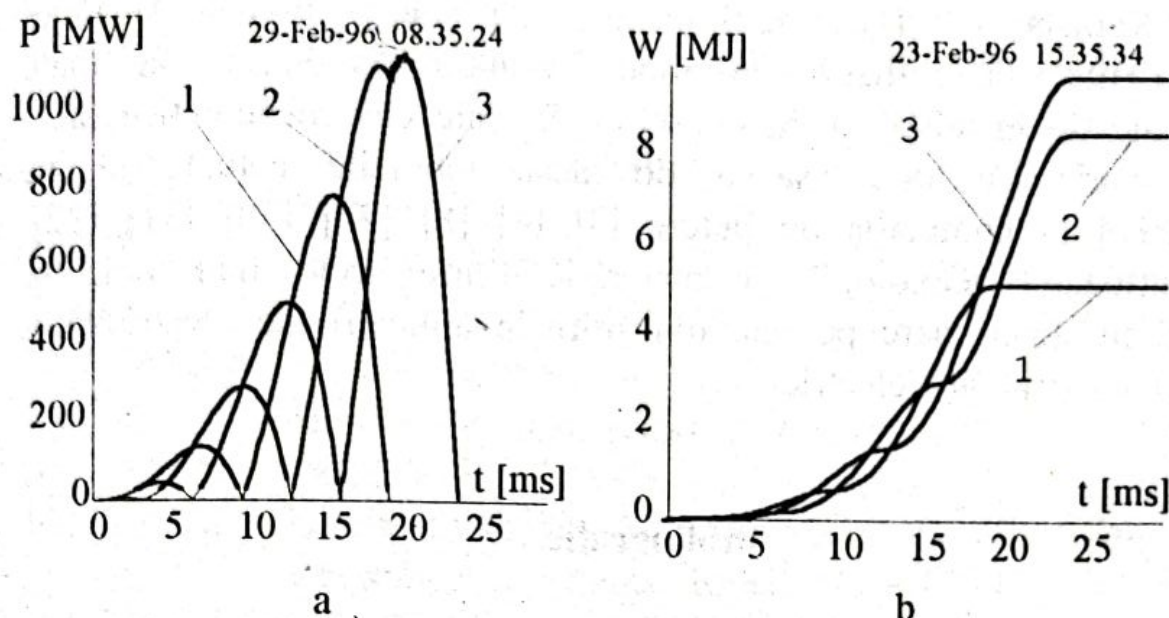


Fig.1.12

Puterea și energia în coloana arcului la deconectarea trifazată: a-puterea; b-energia; 1-polul care deconectează primul; 2, 3- polii care deconectează ultimii.

privind solicitările în camera de stingere și la nivelul izolației externe.

Sincronizarea introdusă de arcul electric este practic imposibil de realizat prin alte procedee. În sprijinul acestei afirmații se consideră exemplul întreruperii unui curent alternativ cu amplitudinea de numai 10 kA care, la 1 ms înainte de momentul anulării, atinge valoarea momentană de 3 kA, iar la 0,1 ms, de 300 A. Este foarte dificil de imaginat un sistem mecanic capabil să răspundă, cu viteze suficient de mari și dispersie extrem de redusă, pentru a deveni comparabil, sub acest raport, cu arcul electric. Mai mult, apariția tensiunii tranzitorii de restabilire complică procesul de comutație, distanța dintre contacte trebuind să atingă valori suficient de mari pentru a se evita străpungerea.

Dacă în accepția cea mai simplă se consideră întrerupătorul realizat din două contacte care se separă la trecerea prin zero a curentului, pentru a se crea distanța de izolație necesară preluării fără defectare a tensiunii tranzitorii de restabilire, acestea ar trebui să se depărteze cu viteze de kilometri pe secundă [23], complet inaccesibile sistemelor mecanice actuale.



Rămâne astfel ca arcul electric, cu reacții produse la nivel de particule, să realizeze în mod avantajos comutația în toate categoriile de instalații și cu deosebire în cele electroenergetice, de puteri mari. Că este așa o dovedesc tehnicile actuale și de perspectivă în comutația de putere [3], [4], [8], [27], [30], [31], [32], care, utilizând tehnologii și materiale dintre cele mai noi, se bazează în funcționare pe una din primele aplicații ale electricității, descărcarea prin arc electric.

### Bibliografie

1. Assailly P., Progress report of CIGRE study committee 14 (Substations) for 1994. *Electra*, 160, 65 (1994).
2. Baraboi A., Echipamente electrice. Inst. Polit. Iasi, 1989.
3. Baraboi A., Furnică E., Tendințe actuale în tehnica echipamentelor de comutație cu vid. *Energetica*, 37, 7, 304 (1989).
4. Baraboi A., Adam M., Intrerupătoare de putere cu comutație în hexafluorură de sulf. *Energetica*, seria B, 5, 219 (1992).
5. Baraboi A., Adam M., Leonte P., Modélisation de l'arc électrique dans l'appareillage de coupure THT. Very High Voltage Networks Symposium, Sibiu, Romania, I, 147 (1995).
6. Braumann P., Lang J., Schröder K. H., Développement des matériaux de contact pour appareils de commutation à fort courant. *RGE*, 9, 12 (1992).
7. Bresson Ch., Appareillage électrique haute tension. Dunod, Paris, 1930.
8. Ciboldi P., Perdoncin F., Talpo G., Le domaine d'emploi des disjoncteurs moyenne tension à SF<sub>6</sub>. Journée SF<sub>6</sub>, AIM Liège (1988).
9. Ciok Z., Jankowicz S., Poniecki W., Modelling and Investigation of Interaction between Arc Energy and Operating Mechanism of GCB. Report 13-106, CIGRE (1994).
10. Ciunihin A. A., Elektriceskie apparatî. Energhia, Moskva, 1975.



11. Colombo E., Emolumento E., Paganini E., Placentino L., Tondello G., Application of an Optical Monitoring System for the Assessment of Internal Conditions of an HV Circuit-Breaker. Report 13-205, CIGRE (1994).
12. Cookson A. H., General Report of Study Committee 15, CIGRE Session 1994. *Electra* 158, 38, (1995).
13. Damstra G. C., Janssen A. L. J., General Report of Study Committee 13, CIGRE Session 1994. *Electra* 158, 26, (1995).
14. Fechant L., Carballeira A., Les contacts électriques: une décennie de progrès. *RGE*, 11, 2 (1994).
15. Flurscheim C. H., Teoriia i konstrukții vîkliuciatelei. *Energizdat*, Leningrad, 1982 (trad. din lb. engleză).
16. Hingorani N., Reynolds M. A., Progress report of CIGRE study committee 14 (DC links and power electronics equipment) for 1994. *Electra*, 160, 35 (1994).
17. Hortopan Gh., Aparate electrice, EDP București, 1981.
18. Hortopan Gh., Aparate electrice de comutație. Ed. Tehnică, București, 1993.
19. Janssen A. L. J., Degen W., Heising C. R., Bruvik H., Colombo E., Lanz W., Fletcher P., Sanchis G., A Summary of the Final Results and Conclusions of the Second International Enquiry on the Reliability of High Voltage Circuit Breakers. 13-202, CIGRE (1994).
20. Jones C. J., Hall W. B., Jones G. R., Fang M. T. C., Wiseall S. S., Recent Development in Theoretical Modelling and Monitoring Techniques for High Voltage Circuit-Breakers. Report 13-109, CIGRE (1994).
21. Karady G. G., Concept of a Combined Short Circuit Limiter and Series Compensator. *IEEE Trans. on Power Delivery*, 6, 3, 1031 (1991).
22. Meyer B., Progress report of CIGRE study committee 38 (Power system analysis and techniques) for 1994. *Electra*, 160, 97 (1995).



23. Pelenc Y., Appareillage électrique d'interruption à haute tension. Techniques de l'ingénieur, 12 (1991).
24. Povh D., General Report of Study Committee 14, CIGRE Session 1994. Electra 158, 32, (1995).
25. Ryan H. M., Jones G. R., SF<sub>6</sub> Switchgear. Peter Peregrinus Ltd., London, 1989.
26. Scarpa P., Les modèles d'arc: de outils de développement des disjoncteurs. Journée SF<sub>6</sub>, AIM Liège (1988).
27. Thuries E., Dufournet D., Conception et évolution des disjoncteurs haute et moyenne tension. RGE, 11, 63 (1992).
28. Voumard P. R., A Simple Approach to Condition Monitoring of Circuit Breakers. Report 13-203, CIGRE (1994).
29. Völcker O., Progress report of CIGRE study committee 13 (Switching equipment) for 1994. Electra, 160, 25 (1995).
30. \* \* \* Intrerupătoare cu SF<sub>6</sub> tip H 14 P 40, Electroputere Craiova, România.
31. \* \* \* SF<sub>6</sub> Circuit-Breaker HPL-A. Catalogue ABB Publ. SESWG/B 2312 E (1990).
32. \* \* \* SF<sub>6</sub> Circuit-Breaker HPL-B. Catalogue ABB Publ. SESWG/B 2313 E (1990).
33. \* \* \* Switching Phenomena in High-Voltage Circuit Breakers. Ed. by Kunio Nakanishi, Marcel Dekker Inc. New York-Basel-Hong Kong, 1991.



## Capitolul 2

### COMUTATIA DINAMICA

Echipamentele de comutație reprezintă o clasă importantă a echipamentelor electrice, având rolul de a stabili, menține și întrerupe conducția în circuitele instalațiilor electrice.

Comutația în instalațiile electrice se poate executa din considerente operative dar, de multe ori, aceasta are de fapt rol de protecție; realizarea protecției prin comutație se exemplifică prin funcționarea instalațiilor RAR și prin deconectarea propriuzisă într-un timp dat, a curenților de suprasarcină și de scurtcircuit.

Comutația circuitelor poate fi dinamică sau statică, după cum echipamentele de comutație realizează această operație pe cale mecanică, prin închiderea și deschiderea unor contacte electrice, respectiv prin variația comandată a unui parametru electric de tip impedanță (în particular rezistență), specifică echipamentelor de comutație fără contacte.

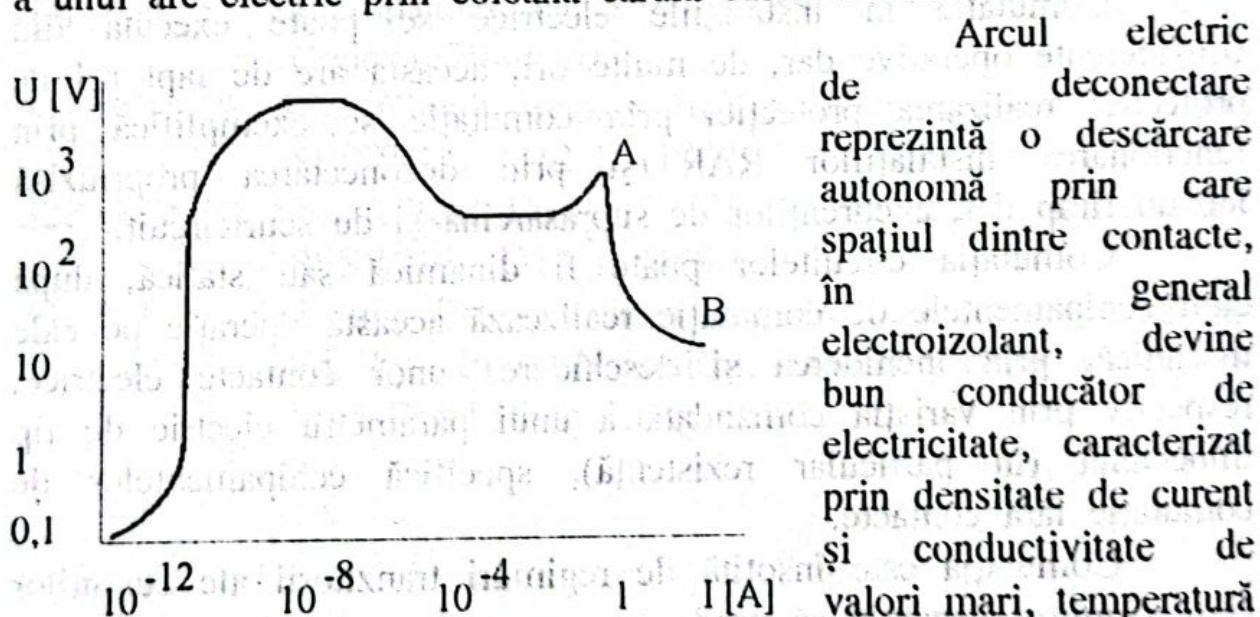
Comutația este însoțită de regimuri tranzitorii ale curenților și tensiunilor, capabile să producă asupra componentelor instalațiilor electrice solicitări cu intensități mai mari decât cele înregistrate în orice regim permanent de funcționare. Dacă procesele fizice care apar în echipamentele de comutație la conectarea circuitelor prezintă uneori mai mică importanță, deconectarea dinamică, însoțită inevitabil de amorsarea arcului electric între contacte, introduce elemente de suprasolicitare, produse ca urmare a transferului de energie din coloana arcului spre componentele constructive din imediata vecinătate. Este necesar astfel ca întreruperea unui circuit aflat în sarcină să se obțină prin stingerea definitivă a arcului



electric de deconectare într-un timp scurt, înainte ca acesta să producă efecte ireversibile atât asupra elementelor constructive cu care vine în contact cât și asupra stabilității instalației care se deconectează. Rezultă astfel că proprietățile și metodele de stingere specifice arcului electric sunt de mare importanță atât pentru proiectarea, construcția și exploatarea corespunzătoare a echipamentelor electrice de comutație, perfecționarea continuă a tehnicilor comutației de putere având la bază aprofundarea acestui proces.

## 2.1. Arcul electric de deconectare

Deconectarea dinamică a circuitelor parcurse de curent este însoțită de amorsarea, între contactele echipamentului de comutație, a unui arc electric prin coloana căruia curentul continuă să circule.



**Fig.2.1.**

*Caracteristica voltamper a descărcării în gaze*



ale intensității curentului, se obține o zonă de trecere în care descărcarea are caracter instabil. Descărcării prin arc electric (segmentul AB) îi sunt proprii valori mari ale intensității curentului ( $1...10^5 \text{ A}$ ), respectiv reduse pentru căderea de tensiune ( $10...20 \text{ V}$ ).

Descărcarea prin arc electric definită ca descărcare autonomă în gaz, se obține atunci când nu mai este necesar un agent ionizant exterior, gradul de ionizare a gazului fiind suficient de înalt încât să permită formarea unei avalanșe de electroni și ioni.

După cum se cunoaște, în gaze pot exista următoarele tipuri de particule încărcate cu sarcină electrică:

- electroni, având sarcina electrică  $(-e)$  și masa de repaus  $m_0$ ;
- ioni pozitivi, rezultați prin pierdere de electroni, cu sarcini electrice  $(e)$ ,  $(2e)$  ș. a. m. d., de masă aproximativ egală cu cea a atomului;

- ioni negativi, produși prin captare de electroni, având sarcini electrice  $(-e)$ ,  $(-2e)$  etc. și masa corespunzătoare atomului.

Amorsarea arcului electric se produce în mod diferit, după cum aceasta are loc la străpungerea dielectrică a unui spațiu gazos electroizolant, respectiv la întreruperea unui circuit aflat în sarcină, prin deschiderea contactelor echipamentului de comutație.

După cum se cunoaște, în condiții normale de temperatură și presiune gazele sunt medii cu bune proprietăți electroizolante. Simpla aplicare a unei diferențe de potențial între doi electrozi amplasați într-un gaz electroizolant nu va produce străpungerea acestuia. Amorsarea unei descărcări este posibilă numai dacă tensiunea aplicată depășește o valoare critică  $u_d$ , numită tensiune disruptivă sau de amorsare.

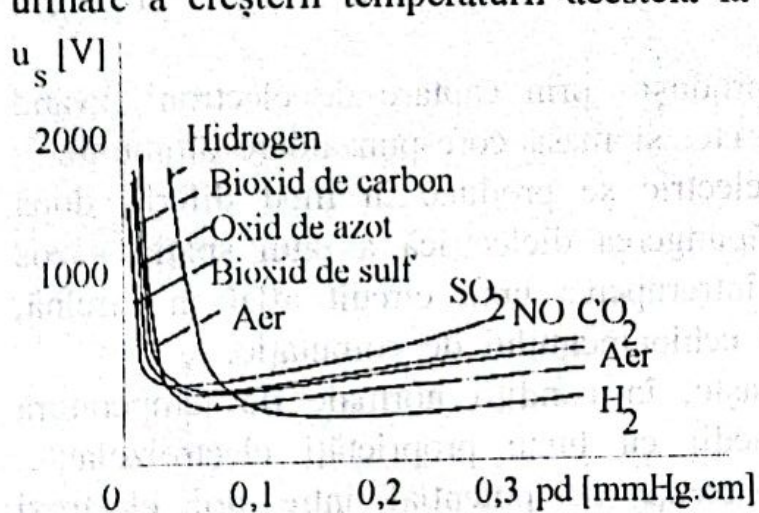
Dacă sursa sau circuitul electrozilor nu limitează curentul, această descărcare inițială degenerază în mod ireversibil în descărcare autonomă prin arc electric. Pentru ca descărcarea să devină autonomă este necesar ca tensiunea aplicată să atingă o valoare minimală, numită tensiune statică de străpungere,  $u_s$ . În general se consideră că  $u_d \cong u_s$ , cu excepția descărcării corona, care este autonomă, dar de curent slab.

O descărcare se poate amorsa într-un câmp electric dacă în spațiul dintre electrozi există electroni liberi, numiți și electroni primari. Aceștia se găsesc permanent în aerul atmosferic sau în alte



gaze, fiind produși în număr de  $10...20/\text{cm}^3\cdot\text{s}$  [39], sub acțiunea razelor cosmice sau a radioactivității naturale. Ei pot de asemenea proveni din autoemisii electronice la catod, energia necesară părăsirii metalului fiind diminuată în prezența câmpului electric exterior, [18].

Electronii liberi, accelerați spre anod în câmpul electric imprimat, produc ionizări prin ciocniri cu particule neutre încât între electrozi se amorsează o descărcare prin arc. Aceasta este întreținută prin creșterea în avalanșă a numărului de particule cu sarcină electrică din spațiul disruptiv, atât pe seama emisiei termoelectronice la suprafața catodului, a cărei temperatură crește rapid în timp, cât și datorită ionizării termice în coloana arcului, ca urmare a creșterii temperaturii acesteia la valori de  $5\cdot 10^3...10^4$  °K.



**Fig.2.2**  
*Curbele lui Paschen*

dată prin curbele lui Paschen, utile în tehnica echipamentelor de comutație funcționând cu mediu, izolant și de stingere a arcului electric, gazos. Aceste curbe, determinate experimental pentru diferite gaze, sunt de forma dată în Fig.2.2. În construcția echipamentelor de comutație se urmărește obținerea unor valori cât mai mari pentru tensiunea de străpungere, atunci când distanțele de izolație și presiunea de lucru a gazului sunt impuse. Cele două ramuri ale acestor curbe, situate de o parte și de cealaltă a valorii minime a tensiunii de străpungere, ilustrează dezvoltarea după două direcții a tehnicilor moderne în comutația de putere: comutația în gaze sub presiune, de exemplu în hexafluorură de sulf (pentru

Tensiunea de străpungere  $u_s$  este dată de legea lui Paschen conform căreia [18], în ipoteza unui câmp electric uniform, stabilit între doi electrozi situați la distanța  $d$  într-un mediu gazos aflat la presiunea  $p$ , tensiunea de străpungere depinde numai de produsul ( $pd$ ). Dependența  $u_s(pd)$  este

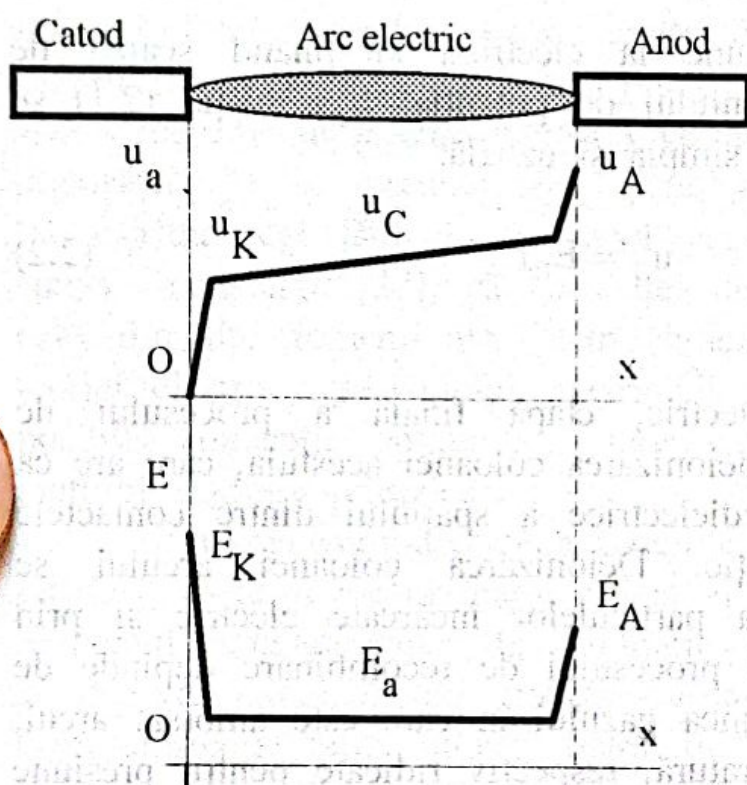


valori mari ale produsului  $pd$ ), respectiv comutația în vid avansat (pentru valori oricât de mici ale aceluiași produs).

Amorsarea arcului electric la întreruperea circuitelor funcționând în sarcină este legată de fenomenele specifice contactelor electrice și rezistenței de contact.

La întreruperea curenților având intensități de valori mari, odată cu diminuarea forței de apăsare în contact are loc scăderea numărului contactelor elementare (puncte de atingere), astfel încât densitatea de curent pe suprafața reală de contact crește foarte mult.

Aceasta conduce la topirea și vaporizarea explozivă a ultimelor punți metalice dintre piesele de contact, între care se formează o plasmă de mare conductivitate. Arcul electric se consideră amorsat între rămășițele punților de contact, imediat după explozia acestora și este întreținut în continuare datorită proceselor de ionizare produse prin emisie termoelectronică și prin ciocniri între particule având energii cinetice de valori mari,



**Fig.2.3**

*Distribuția tensiunii și a gradientului de potențial*

ca urmare a temperaturii înalte din coloană.

Distribuția tensiunii și a gradientului de potențial în lungul coloanei unui arc electric cu ardere staționară este dată în Fig.2.3. Rezultă că în vecinătatea catodului se produce o variație bruscă a tensiunii, numită cădere de tensiune catodică  $u_K$ , gradientul de potențial corespunzător  $E_K$  având valori mari. În lungul coloanei arcului, tensiunea  $u_C$  variază aproape liniar, încât gradientul de potențial poate fi considerat constant, de valoare  $E_a$ . La anod se



înregistrează de asemenea o variație bruscă a tensiunii, datorită căderii de tensiune anodică,  $u_A$ . Căderea de tensiune catodică, având valori de 10...20 V, poate fi considerată constantă pentru același mediu și același material al electrozilor. Căderea de tensiune anodică are valori dependente de intensitatea curentului prin arc. Conform Fig.2.3, tensiunea  $u_a$  a arcului electric se poate scrie sub forma:

$$u_a = u_K + u_C + u_A ; \quad (2.1)$$

neglijând căderile de tensiune la electrozi și ținând seama de caracterul constant al gradientului de potențial  $E_a$ , relația (2.1) se poate aduce la forma foarte simplă și uzuală:

$$u_a = E_a \ell, \quad (2.2)$$

$\ell$  fiind lungimea coloanei.

Stingerea arcului electric, etapă finală a procesului de deconectare, se obține prin deionizarea coloanei acestuia, care are ca urmare refacerea rigidității dielectrice a spațiului dintre contactele echipamentului de comutație. Deionizarea coloanei arcului se realizează prin recombinarea particulelor încărcate electric și prin difuzia acestora. Intensitatea procesului de recombinație depinde de natura, temperatura și presiunea gazului în care este amorsat arc; valori scăzute pentru temperatură, respectiv ridicate pentru presiune și gradient de potențial, favorizează recombinația. Deionizarea prin difuzie constă în împrăștierea particulelor încărcate electric în zone cât mai depărtate de spațiul de ardere a arcului, obținându-se astfel micșorarea conductivității coloanei.

## 2.2. Modelarea arcului electric

Considerat ca element de circuit, arc electric are proprietăți de rezistor neliniar [26] deoarece dependența dintre tensiunea la borne și intensitatea curentului care îl traversează este



diferită de o dreaptă. Proprietățile sale fizice îl apropie de caracteristicile cerute întrerupătorului ideal și anume:

- prin mecanismele de deionizare, coloana arcului este susceptibilă de trecere rapidă din starea conductoare (plasmă) în cea de mediu electroizolant, cu posibilitatea dimensionării convenabile sub raportul ținutei dielectrice;

- tranziția între cele două stări are loc la trecerea naturală prin zero a curentului și este foarte rapidă, grație inerției termoelectrice foarte mici a mediului ionizat.

Aceste caracteristici, care răspund aproape direct și în aparență foarte simplu unor cerințe funcționale ce vor să atingă idealul, sunt însă proprii unui proces fizic deosebit de complex, având mecanisme interne uneori greu de stăpânit, încât este practic imposibil de a determina prin modelare proprietățile unui întrerupător real fără a face apel la experiment. Mai mult, unii autori consideră [27], că "o astfel de situație este practic opusă celei din alte domenii ale electrotehnicii, unde o bună înțelegere a teoriei electromagnetismului, mecanicii, termodinamicii etc. ... face posibilă concepția optimală a unor structuri sau procese doar cu ajutorul studiilor teoretice".

Extrema complexitate a fizicii arcului electric de deconectare pe de o parte și costul foarte ridicat al încercărilor experimentale în domeniul echipamentelor de comutație, pe de alta parte, au condus la încercări multiple de modelare a acestui fenomen, concretizate prin existența unui număr mare de modele fie fizice, fie de conductanță (cutie neagră, black box; boîte noire).

Modelele fizice au în vedere reprezentarea mecanismelor care intervin în arderea arcului electric și vizează determinarea unor parametri ai acestuia în scopul optimizării construcției dispozitivelor de stingere. Aceste modele au la bază ecuațiile fundamentale ale fizicii (conservarea masei, a cantității de mișcare și a energiei) și sunt cu atât mai complexe cu cât se urmărește reprezentarea mai detaliată și mai precisă a fenomenului.

Dintre modelele fizice existente se citează cele ale lui Swanson-Roidt [31], Cowley-Chan-Fang, [11] precum și modelul Hermann-Ragaller, [16].



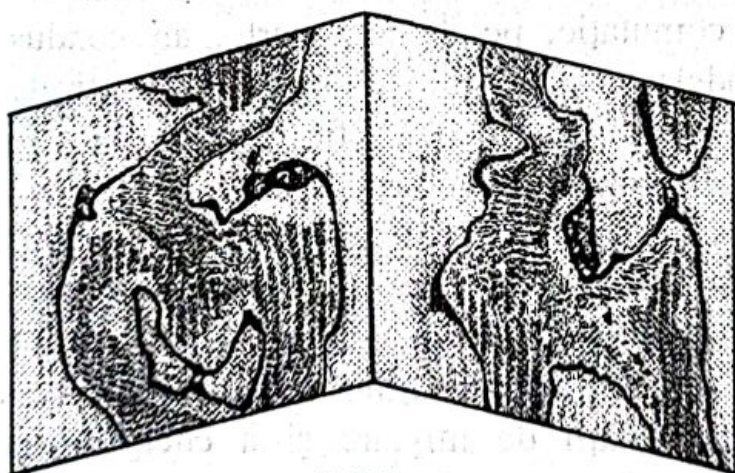
Modelul Swanson-Roidt consideră arcul electric drept o sursă termică amplasată într-un fluid cu curgere unidimensională de mare viteză și a fost utilizat pentru studiul influenței unor parametri specifici camerelor de stingere (natura mediului de stingere, presiunea acestuia, curentul de defect etc.), exercitate asupra funcționării întrerupătoarelor de putere la defect kilometric.

Modelul Cowley-Chan-F'ang este bazat, ca și precedentul, pe tehnica utilizată în studiul straturilor limită și face posibilă investigarea arderii staționare a arcului electric într-un ajutoraj, cu determinarea valorii critice a intensității curentului care conduce la blocarea ajutorajului (fenomenul de refulare a arcului, cunoscut și ca efect de dop sau bușon).

În cazul modelului Hermann-Ragaller, arcul electric se consideră sub forma unei coloane cilindrice, la nivelul căreia bilanțul energetic are în vedere degajarea căldurii prin efect Joule și transmisia acesteia prin convecție, radiație și difuzie turbulentă. Procesele sunt localizate în trei zone concentrice: nucleul conductor, care determină parametrii electrici și în care distribuția radială a temperaturii se consideră de tip parabolic, un strat exterior, caracterizat prin curgerea gazului rece și un strat intermediar, necesar pentru descrierea difuziei turbulente, în care variația radială

a temperaturii se acceptă ca fiind exponențială. Modelul permite studiul comportamentului arcului în interacțiune cu rețeaua și evidențierea influenței unor parametri asupra procesului.

Din punct de vedere geometric și dinamic, arcul electric amorțat între contactele unui întrerupător este



**Fig.2.4**

*Turbulența coloanei arcului în SF<sub>6</sub>*

departe de a fi o coloană cilindrică, fixată între doi electrozi. Modele sofisticate [9], [10], [37], iau în calcul fluctuațiile turbulente ale coloanei arcului în condițiile mișcării tranzitorii și



tridimensionale ale acesteia, produse sub acțiunea forțelor de tip Lorentz și a curgerii mediului de stingere.

În Fig.2.4 se prezintă rezultatul modelării tridimensionale a turbulenței coloanei unui arc electric amorsat în hexafluorură de sulf și traversat de un curent cu intensitatea de 1000 A, [12].

Modelele fizice, axate pe descrierea fenomenelor care coexistă în procesul foarte complex numit descărcare prin arc electric, sunt utilizate cu deosebire în etapele inițiale, de concepție și cercetare a unui nou echipament de comutație; pe parcursul dezvoltării noii concepții, aceste modele permit analiza comportării aparatului, cu evidențierea solicitărilor fundamentale critice.

Utilizarea acestor modele presupune o strânsă corelare a simulării pe calculator cu încercările experimentale, fiind posibil astfel studiul detaliat și caracterizat prin fidelitate al impactului parametrilor interni ai aparatului, de naturi diferite, asupra comportamentului acestuia în condițiile impuse de exploatare.

Corespunzător modelelor de conductanță, arcul electric este considerat un dipol rezistiv neliniar, modelul reprezentând de fapt, sub formă analitică sau nu, caracteristica voltamper a acestuia.

Se pune în evidență în acest fel comportamentul electric macroscopic al unui aparat cu comutație dinamică, fiind posibile racordarea și studiul funcționării acestuia într-un circuit electric; modelele de tip cutie neagră permit simularea interacțiunii dintre aparatul de comutație și rețeaua în care acesta este inserat, proces care interesează în mod deosebit serviciile de exploatare.

Multe din modelele de conductanță existente sunt exprimate printr-o ecuație diferențială de ordinul întâi care, pentru o lungime constantă a coloanei arcului, poate fi considerată sub forma generalizată [38]:

$$\frac{1}{G} \frac{dG}{dt} = \frac{1}{T_a(|i|, G)} \left[ \frac{u_a i}{p(|i|, G)} - 1 \right], \quad (2.3)$$

unde  $G$  reprezintă conductanța arcului,  $u_a$ , i-tensiunea de arc respectiv intensitatea curentului care parcurge coloana,  $T_a(|i|, G)$ -constanta de timp a arcului electric,  $p(|i|, G)$ -puterea cedată mediului

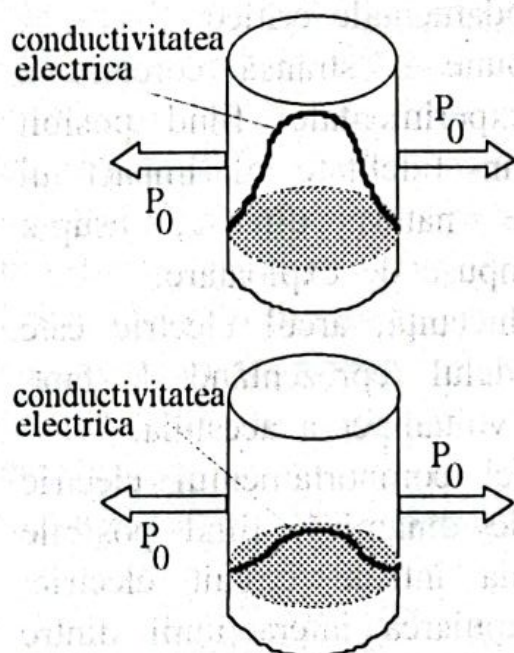


sub formă de căldură în unitatea de timp; drept parametri independenți se consideră mărimile  $T_a$  și  $p$ .

Modelele de conductanță diferă în principal prin expresiile adoptate pentru funcțiile  $T_a(|i|, G)$ , respectiv  $p(|i|, G)$ .

### 2.2.1. Modelele Mayr și Cassie

Cele mai simple modele de conductanță, caracterizate doar prin doi parametri independenți, sunt cele imaginare de O. Mayr, respectiv A. M. Cassie.



Modelul elaborat de O. Mayr [21], reprezintă prototipul unei întregi familii a modelelor de conductanță, premisele acestuia constând într-un număr limitat de ipoteze simple și acceptabile sub raport fizic.

Astfel, arcul electric este considerat ca fiind o coloană cilindrică de diametru constant, din care căldura produsă prin efect electrocaloric este evacuată pe direcție radială exclusiv prin conducție termică, Fig.2.5; puterea cedată mediului sub formă de căldură în unitatea de timp de lungimea unitară a coloanei arcului, se consideră constantă,  $P_0$ .

**Fig.2.5**

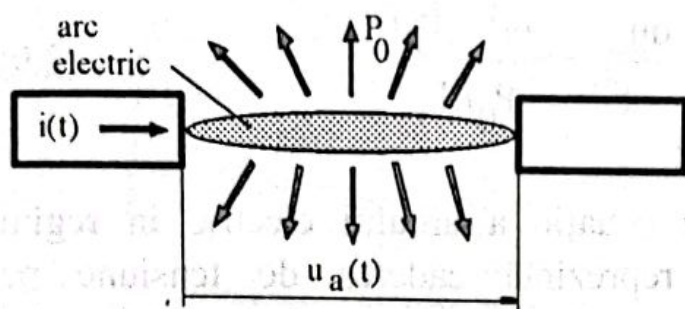
*Modelul Mayr*

Conductivitatea electrică  $\sigma$  depinde de raza  $r$  a coloanei cilindrice după o funcție de tipul  $\exp(-r^2)$ , verificând astfel cu o bună aproximație ecuația Elenbaas Heller, pentru valori constante ale conductivității termice  $\lambda$ , [13].

În aceste ipoteze, arcul electric de curent alternativ, considerat de lungime unitară și ca proces cvasistacionar, Fig.2.6, este caracterizat printr-o ecuație de bilanț al puterilor având expresia:

$$E_a i = P_0 + \frac{dQ}{dt}, \quad (2.4)$$





**Fig.2.6**

*Bilanțul de puteri la nivelul coloanei  
arcului*

conținută în volumul acestuia încât, conform ipotezei avansate de Mayr [27], [39], [41], dependența conductanței  $G$ , raportată la unitatea de lungime a coloanei, în raport cu conținutul  $Q$  de energie se poate exprima printr-o relație de forma:

$$G = K e^{\frac{Q}{Q_0}}, \quad (2.5)$$

unde  $K$  și  $Q_0$  sunt constante.

Tinând seama de (2.4), relația (2.5) conduce la ecuația:

$$\frac{1}{G} \frac{dG}{dt} = \frac{1}{T_a} \left( \frac{E_a i}{P_0} - 1 \right), \quad (2.6)$$

unde:

$$T_a = \frac{Q_0}{P_0} \quad (2.7)$$

reprezintă constanta de timp a arcului electric.

Deoarece:

$$G = \frac{i}{E_a}, \quad (2.8)$$

pentru o lungime constantă a coloanei arcului, ecuația diferențială (2.6) se scrie sub forma:

unde  $E_a$ ,  $i$  reprezintă gradientul de potențial, respectiv curentul,  $P_0$ -puterea disipată, iar  $Q$ -căldura acumulată în volumul coloanei.

Conductanța arcului depinde univoc de gradul de ionizare a gazului, deci de cantitatea de căldură



$$\frac{1}{i} \frac{di}{dt} - \frac{1}{u_a} \frac{du_a}{dt} = \frac{u_a i - P_0 \ell}{P_0 \ell T_a}, \quad (2.9)$$

cunoscută și sub denumirea de ecuație a arcului electric în regim dinamic; în relația (2.9)  $u_a$  reprezintă căderea de tensiune pe coloana arcului de lungime constantă  $\ell$ . Modelul Mayr conține doi parametri independenți,  $P_0$  și  $T_a$ , care trebuie determinați pe cale experimentală.

Considerând că intensitatea curentului prin arc este sinusoidală:

$$i(t) = \sqrt{2} I \sin \omega t, \quad (2.10)$$

pentru soluția ecuației diferențiale (2.9) se obține expresia, [18]:

$$u_a(t) = \frac{\sqrt{2} P_0 \ell \sin \omega t}{I \left[ 1 - \frac{\sin(2\omega t + \varphi)}{\sqrt{1 + (2\omega T_a)^2}} \right]}, \quad (2.11)$$

unde:

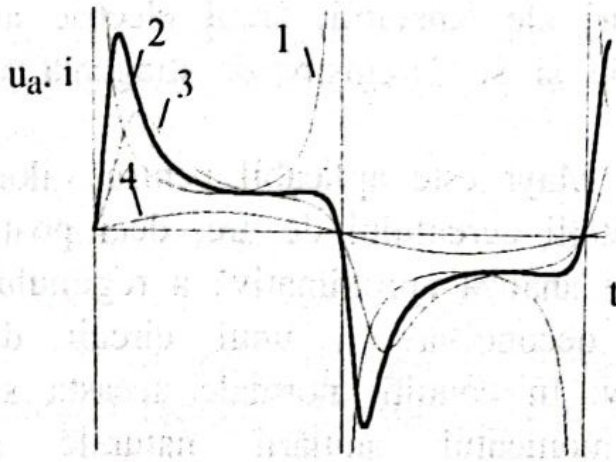
$$\varphi = \text{arcctg}(2\omega T_a). \quad (2.12)$$

În Fig.2.7 sunt reprezentate curbele  $u_a(t)$  date de relația (2.11), pentru diferite valori atribuite produsului  $(\omega T_a)$ . Se evidențiază astfel că pentru  $(\omega T_a) \rightarrow 0$  se obțin caracteristici apropiate de cele ale arcului electric de curent continuu, unde valorilor mari ale curentului le corespund tensiuni de arc de valori mici; pentru  $(\omega T_a) \rightarrow \infty$  tensiunea  $u_a(t)$  se apropie de o sinusoidă.

Eliminând variabila timp între relațiile (2.10), (2.11), pentru caracteristica voltamper dinamică a arcului electric, se obține curba tipică, reprezentată în Fig.2.8.

Ținând seama de relațiile (2.4), (2.5), (2.8), constanta de timp  $T_a$  a arcului electric se definește ca fiind durată în care



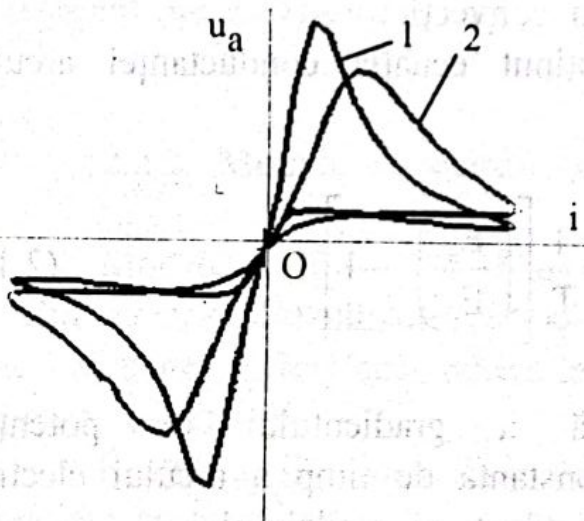


**Fig.2.7**

*Tensiunea și curentul de arc: 1- $\omega T_a=0$ ; 2- $\omega T_a=0,25$ ; 3- $\omega T_a=0,5$ ; 4- $i(t)$ .*

constantele  $Q_0$ ,  $K$  reprezintă conținutul de energie al plamei în momentul anulării intensității curentului, respectiv conductanța electrică a arcului după o durată  $T_a$ , considerată din momentul trecerii prin zero a curentului.

Valorile constantei de timp  $T_a$ , care la întrerupătoarele



**Fig.2.8**

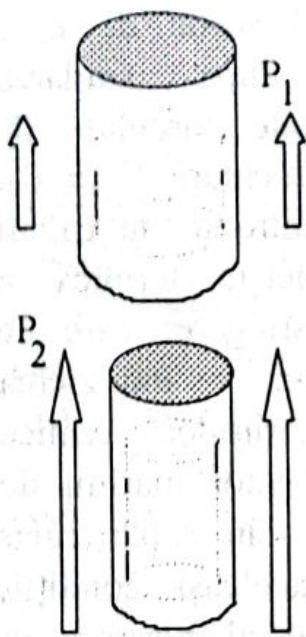
*Caracteristicile arcului electric de curent alternativ: 1- $\omega T_a=0,25$ ; 2- $\omega T_a=0,5$ .*

moderne de înaltă tensiune sunt de ordinul microsecunde, au o importanță hotărâtoare în procesul stingerii arcului electric de curent alternativ. Astfel, pentru o valoare dată a pulsației  $\omega$ , atât din relația (2.11) cât și din Fig.2.7, 2.8, rezultă că pentru reamorsarea arcului electric la începutul fiecărei semiperioade sunt necesare tensiuni de arc cu atât mai mari cu cât constanta de timp are valori mai mici; aceasta înseamnă, conform

relațiilor (2.5), (2.8) că, după anularea intensității curentului, puterea  $P_0$ , evacuată sub formă de căldură în unitatea de timp din coloana arcului, are valori mari și conductanța scade rapid în timp. În aceste condiții, dacă sursa de alimentare a rețelei nu asigură nivele

conductanța  $G$  scade de  $e \cong 2,718$  ori, după anularea puterii furnizate arcului de rețeaua de alimentare ( $i = 0$ ). Valorile sale introduc în calcul efectul de inerție termică a mediului de stingere, care se traduce prin întârzierea răspunsului mărimilor termice la modificarea unor mărimi de altă natură, în particular electrică. În aceleași condiții,





**Fig.2.9**  
*Modelul Cassie*

suficient de mari ale tensiunii, arcul electric nu se mai reaprinde și se înregistrează stingerea sa definitivă.

Modelul Mayr este aplicabil pentru valori mici ale intensității curentului de arc, deci poate fi utilizat pentru analiza aproximativă a regimului tranzitoriu de deconectare a unui circuit de curent alternativ. În condiții normale aceasta se produce în momentul anulării naturale a intensității curentului, prin stingerea definitivă a arcului electric.

Modelarea arcului electric propusă de A. M. Cassie are la bază ipoteza unei coloane cilindrice, în volumul căreia temperatura, pierderile specifice prin efect electrocaloric, căldura specifică și conductivitatea electrică sunt mărimi constante, iar cedarea spre exterior a căldurii degajate în coloana arcului are loc numai prin convecție.

A. M. Cassie [7], a obținut ecuația conductanței arcului electric de forma:

$$\frac{1}{G} \frac{dG}{dt} = \frac{1}{T_a} \left[ \left( \frac{E_a}{E_0} \right)^2 - 1 \right], \quad (2.13)$$

unde  $E_0$ -valoarea de referință a gradientului de potențial (independentă de curent) și  $T_a$ -constanta de timp a arcului electric, reprezintă cei doi parametri independenți ai modelului.

Potrivit acestui model, se consideră că gradul de ionizare a gazului este suficient de înalt, încât variația conductanței este atribuită modificării secțiunii transversale a coloanei, Fig.2.9.

Conductanța, puterea cedată mediului prin convecție sub formă de căldură în unitatea de timp și cantitatea de căldură acumulată în coloana arcului sunt proporționale fiecare cu secțiunea transversală a acesteia, [41]:

$$G = K_1 P = K_2 Q = K_3 s, \quad (2.14)$$



$K_1$ ,  $K_2$  și  $K_3$  fiind constante. Constanta de timp termică a arcului este definită prin relația:

$$T_a = \frac{Q}{P} = \text{const.} \quad (2.15)$$

În regim permanent, căldura degajată în coloana arcului este integral cedată mediului, încât se poate scrie:

$$GE_0^2 = P. \quad (2.16)$$

Modelul Cassie poate fi utilizat în analiza regimurilor caracterizate printr-un înalt grad de ionizare a mediului, deci când coloana arcului este traversată de curenți de mare intensitate; datorită ipotezei privind uniformitatea temperaturii în volumul coloanei arcului rezultatele sunt, de cele mai multe ori, departe de a fi verificate în realitate.

### 2.2.2. Modele de conductanță evolute

Modelele Mayr și Cassie descriu calitativ comportarea arcului electric. Rezultatele obținute pe cale experimentală diferă de cele calculate, astfel încât determinările cantitative au o marjă destul de mare de eroare.

Pentru a fi aduse mai aproape de realitatea experimentală, modelele cutie neagră au fost modificate, intervențiile operate asupra lor fiind de două tipuri: crearea unor modele cu mai mult de doi parametri independenți și considerarea parametrilor din modelele tradiționale ca funcții de alte mărimi electrice (conductanța arcului, respectiv intensitatea curentului).

În Tab.2.1. sunt prezentate principalele modele de conductanță evolute [38], exprimate prin ecuația diferențială a conductanței  $G$  a arcului electric, la care se adaugă parametrii care, având valori independente, permit obținerea unei mai bune apropieri între teorie și experiment.



Tab.2.1

$\frac{1}{G} \frac{dG}{dt} =$	Parametrii	Nr. rel.
$\frac{1}{T_a} \left( \frac{u_a i}{P_0} - 1 \right) + \beta \frac{du_a}{dt}$	$T_a, P_0, \beta$	2.17
$\frac{1}{T_a} \left( \frac{u_a i - P_0}{e^2 G} - 1 \right) \left[ 1 - \left( \frac{u_a}{U_d} \right)^2 - \frac{T_a}{U_d^2} \left( \frac{du^2}{dt} \right) \right]$	$T_a, P_0, e, U_d$	2.18
$\frac{1}{T} \left( \frac{u_a i}{P_0 + U_0  i } - 1 \right); T = T_a + \frac{T_1}{1 + \left( \frac{G}{G_0} \right)^2}$	$T_a, P_0, G_0, T_1, U_0$	2.19
$\frac{1}{T_a} \left( \frac{u_a i}{a + b i  + c\sqrt{ i }} - 1 \right)$	$T_a, a, b, c$	2.20
$\frac{1}{T_a( i )} \left[ \frac{G_s( i )}{G} - 1 \right]$	$T_a( i ), G_s( i )$	2.21
$\frac{1}{T_a(G)} \left[ \frac{u_a i}{P(G)} - 1 \right]$	$T_a(G), P(G)$	2.22
$\frac{1}{T_a(G)} \left[ \frac{G_s( i )}{G} - 1 \right]$	$T_a(G), G_s( i )$	2.23
$\frac{1}{T_a(G)} \left[ \frac{u_a i}{P(G)} - \gamma(t, G) \right]$	$T_a(G), P(G), \gamma(t, G)$	2.24
$\frac{1}{T_a(G, t)} \left[ \frac{u_a i}{P(G, t)} - 1 \right]$	$T_a(G, t) = \bar{T}_a [1 + \xi_T(G, t)]$ $P(G, t) = \bar{P} [1 + \xi_P(G, t)]$	2.25
$\frac{1}{T_a} \left[ \left  \frac{u_a  i ^\alpha}{k} \right ^{\frac{2}{1+\alpha}} - X(t) \right]$	$\alpha, k, T_a,$ $X(t) = 1 + \xi_X(t)$	2.26



Astfel, modelul Rieder și Urbanek de forma (2.17), ține seama de efectele de dezechilibru produse de câmpul electric intens, imprimat coloanei arcului după trecerea prin zero a intensității curentului, sub acțiunea tensiunii tranzitorii de restabilire, [25].

Urbanek [33], include drept parametru în modelul (2.18) tensiunea de străpungere a spațiului dintre contacte,  $U_d$ . Pentru a descrie reamorsarea termică, tensiunea de arc se consideră  $u_a \ll U_d$  și ecuația (2.18) se rescrie sub forma (2.22), cu parametrii  $T_a$ ,  $P$  considerați drept funcții de conductanța arcului.

Alte funcții pentru parametrii  $T_a$ ,  $P$  sunt propuse de Kopplin și Schwalb, [38]; modelul corespunzător are expresia (2.19), fiind caracterizat prin cinci parametri constanți. Variante ale acestui model au fost utilizate cu valori constante atribuite parametrului  $T_a$ ; o astfel de variantă are expresia (2.20).

O altă cale de creștere a preciziei modelelor de conductanță constă în a atașa parametrilor, considerați inițial cu valori constante, funcții în care variabilele sunt intensitatea curentului de arc, respectiv conductanța arcului. Aceste concepte au fost dezvoltate de Hochrainer, Grütz [15] și Schwarz [28], care au formulat și utilizat modele de forma (2.21), (2.22). Arcul este caracterizat prin parametrii  $T_a$  (temporal) și  $G_s$  (conductanța statică, obținută pentru curent constant), dependenți de intensitatea curentului, respectiv de conductanța  $G$  a arcului. O combinație a acestor două modele [38], este cel reprezentat prin ecuația (2.23).

Prin modificarea ecuației (2.22) s-a obținut modelul (2.24), care introduce un parametru suplimentar pentru a caracteriza influența proceselor care au loc la curent de mare intensitate, asupra comportării ulterioare a arcului, la trecerea prin zero a intensității curentului.

Modelele (2.17)...(2.24) sunt de tip determinist, regimul de ardere a arcului electric obținându-se prin calcul și fiind strict determinat de parametrii de intrare. Prin natura sa, arcul electric poate fi însă considerat și ca proces stochastic, proprietățile acestuia fiind evidențiate prin calcule repetate, cu date de intrare obținute dintr-un număr oricât de mare de teste efectuate în aceleași condiții. În baza acestor considerații [29], Sporckmann a propus modelul



(2.25), în care comportarea stochastică a arcului electric este considerată prin factorii  $\xi_T(G,t)$ ,  $\xi_P(G,t)$ , cu valori principale nule.

Legros și Genon [19], utilizează în modelul (2.26) variabila aleatoare  $\xi_\chi(t)$ , având valoarea principală unitară și exprimând dispersia căldurii cedate mediului în unitatea de timp.

În publicații de dată recentă se constată un interes sporit pentru modele cu mai mulți parametri independenți sau având mărimile caracteristice exprimate în unități relative, [8]; acestea au în general un caracter predictiv mai puternic, fără a introduce suplimentar dificultăți semnificative în utilizare.

T. E. Browne, elaborând primul model hibrid Cassie-Mayr [6], consideră că procesele semnificative pentru un arc electric de deconectare au loc în două intervale de timp succesive. Primul, înregistrat înainte de momentul anulării intensității curentului, este susceptibil de a fi modelat pe baza teoriei lui Cassie, celui de al doilea, în care are loc regimul tranzitoriu de restabilire a tensiunii între contacte, aplicându-i-se teoria lui Mayr.

H. Thiel [32], a propus funcții de aproximare pentru parametrii modelului Mayr de forma:

$$P = P_1 \left( \frac{G}{G_1} \right)^a, \quad T_a = T_1 \left( \frac{G}{G_1} \right)^b, \quad (2.27)$$

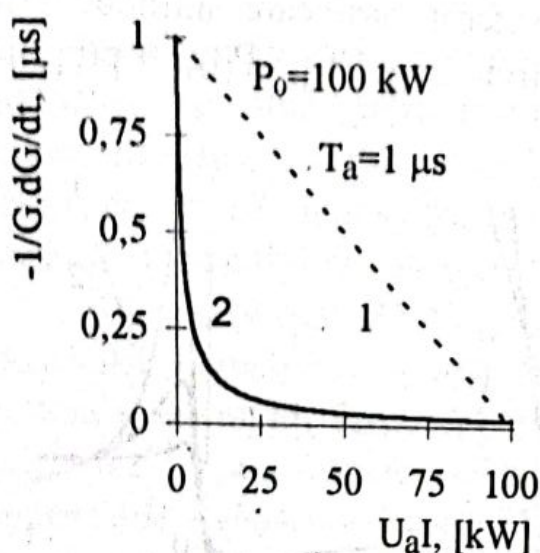
unde  $a$  și  $b$  sunt constante dependente de mediul de stingere; pentru hexafluorură de sulf se consideră  $a=0,9$  și  $b=0,7$ .

Y. Nakamishi și D. T. Tuma [22], [39], considerând coloana arcului în echilibru termodinamic local, la presiune constantă și în ipoteza unui câmp electric uniform distribuit în secțiunea transversală a coloanei, au obținut un model analitic de forma:

$$\frac{dG}{dt} = A_1 G^{1+\gamma} + A_2 G^{n(\gamma-1)} i^2, \quad (2.28)$$

parametrii  $A_1$ ,  $A_2$ ,  $n$  și  $\gamma$  fiind constante dependente de proprietățile fizice ale mediului de stingere.





**Fig.2.10**

*Funcția de conductanță a arcului electric: 1-modelul Mayr; 2-curbă amorsat la deconectare într-un măsurată (Kema-Olanda).*

Interesantă este și tratarea prin metode statistice a modelării arcului electric. În [24] se arată că un model cu două constante de timp, rezultat ca urmare a interpretării pe baze statistice a comportării arcului electric, permite simularea cu acuratețe mărită a funcționării în diferite condiții a echipamentului de comutație în aer sau hexafluorură de sulf.

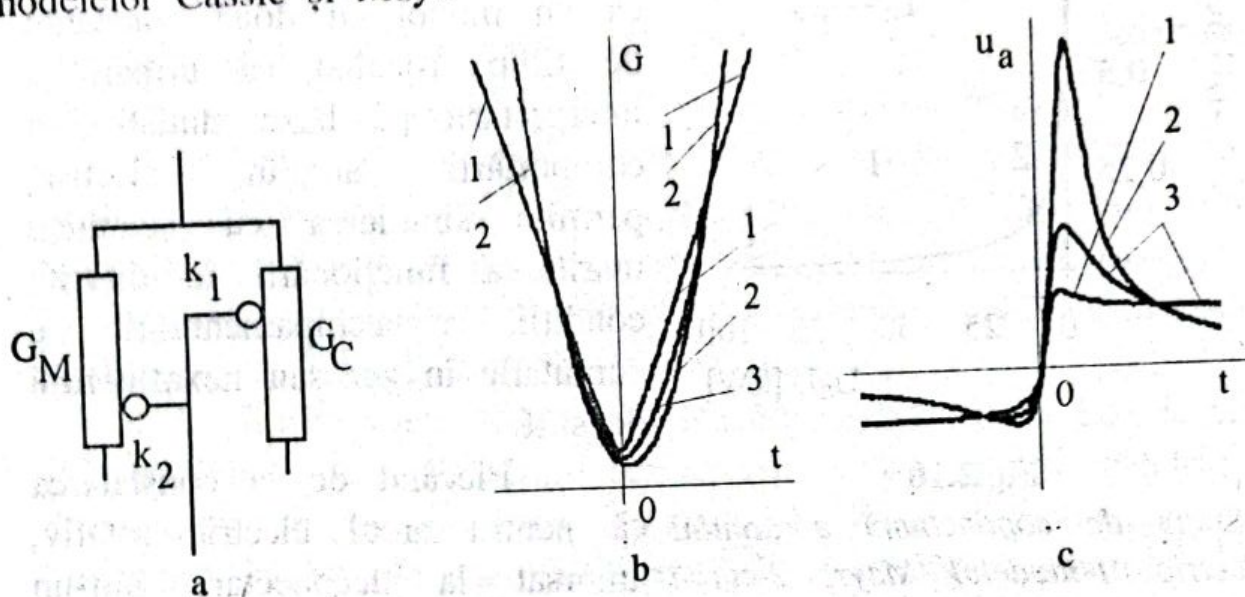
Plecând de la constatarea că pentru arcul electric rotativ, amorsat la deconectare într-un întrerupător de medie tensiune cu hexafluorură de sulf, rezultatele experimentale (Fig.2.10) se depărtează de cele corespunzătoare modelului Mayr exprimat prin relația (2.6), specialiștii laboratoarelor Kema din Olanda au conceput și utilizat un nou model constituit din ecuații diferite [34], [35], atașate arcului electric înainte și după trecerea prin zero a intensității curentului.

Acceptând ideea că transferul termic la nivelul coloanei arcului se produce simultan atât prin conducție cât și prin convecție, în [2], [4] a fost propus un model compozit caracterizat prin patru parametri independenți, care permite reglarea evoluției în timp a conductanței în funcție de valorile momentane ale intensității curentului. Potrivit modelului, schema electrică echivalentă a conductanței arcului este prezentată în Fig.2.11a, unde cu  $G_C$ ,  $G_M$  s-au notat conductanțele corespunzătoare respectiv modelelor Cassie și Mayr, cursoarele  $k_1$ ,  $k_2$  simulând selecția conductanței în cazul modelului propus. Deplasarea acestora este sincronizată cu valorile intensității curentului de arc, încât conductanța rezultantă poate fi scrisă sub forma generală:

$$G_{CM}(t) = C(t)G_C(t) + M(t)G_M(t), \quad (2.29)$$



unde  $C(t)$ ,  $M(t)$  sunt două funcții de sincronizare care introduc un parametru suplimentar, pe lângă cei trei ( $U_0$ ,  $T_a$ ,  $P_0$ ), proprii modelelor Cassie și Mayr.



**Fig.2.11**

*Modelele Cassie, Mayr și compozit (Cassie-Mayr): a-schema echivalentă; b-conductanța arcului electric; c-tensiunile de arc; 1-modelul Cassie; 2-modelul Mayr; 3-modelul compozit.*

Așa cum se arată în [3], prin intermediul acestui parametru conductanța rezultantă (2.29) poate lua valori, la trecerea prin zero a curentului, între curbele  $G_C(t)$ ,  $G_M(t)$ . Pentru valori mari ale intensității curentului, se ia în calcul conductanța  $G_C(t)$ . Rezultatele acestei simulări sunt prezentate sub formă grafică în Fig.2.11b, c.

### 2.2.3. Stingerea arcului electric de curent alternativ

Stingerea arcului electric de curent alternativ este facilitată de anularea periodică a intensității curentului, în momentele căreia deionizarea coloanei este maximă. Procesele sunt diferite, după cum au loc la stingerea arcului electric lung (de înaltă tensiune), respectiv scurt (de joasă tensiune).

În procesul stingerii arcului electric lung, amorsat între, contactele echipamentelor de comutație de înaltă tensiune, intervin atât unii parametri ai circuitului deconectat (tensiunea tranzitorie de



restabilire care produce solicitarea dielectrică în întrerupător și intensitatea curentului, care solicită termic întrerupătorul) cât și parametrii specifici întrerupătorului (tensiunea de străpungere în camera de stingere, care exprimă viteza de restabilire a rigidității dielectrice și tensiunea arcului electric, dependentă de gradul de răcire și de mediul de stingere).

În intervalele de timp scurte, conținând momentele anulării intensității curentului, temperatura coloanei arcului și conductanța acesteia scad rapid, înregistrându-se procesul de refacere a rigidității dielectrice. Ca urmare, spațiul dintre contacte își recapătă proprietățile electroizolante pierdute în urma amorsării arcului electric, procesul caracterizându-se prin creșterea rapidă atât a rezistenței electrice cât și a tensiunii de străpungere a acestui spațiu.

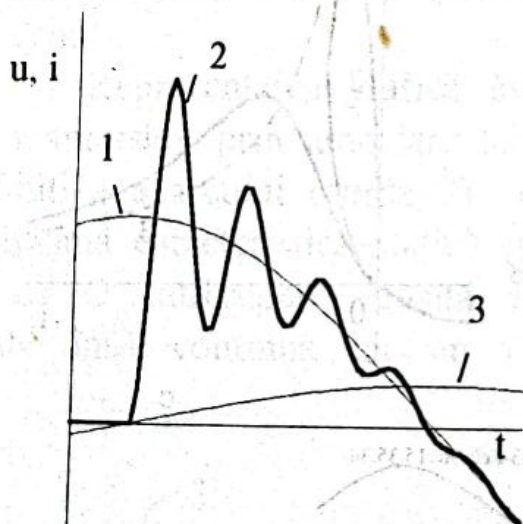


Fig. 2.12

*Regimul tranzitoriu de deconectare:*

*1-tensiunea sursei de alimentare; 2-*

*tensiunea tranzitorie de restabilire;  $\omega_e > \omega$ .*

*3-intensitatea curentului.*

În momentele anulării intensității curentului, când are loc practic stingerea periodică a arcului electric de curent alternativ, spațiului dintre contactele echipamentului de comutație i se aplică tensiunea tranzitorie de restabilire. Aceasta este constituită din tensiunea de frecvență industrială a sursei de alimentare având pulsația  $\omega$ , peste care se suprapune componenta de regim liber a circuitului deconectat, de pulsație

Stingerea definitivă a

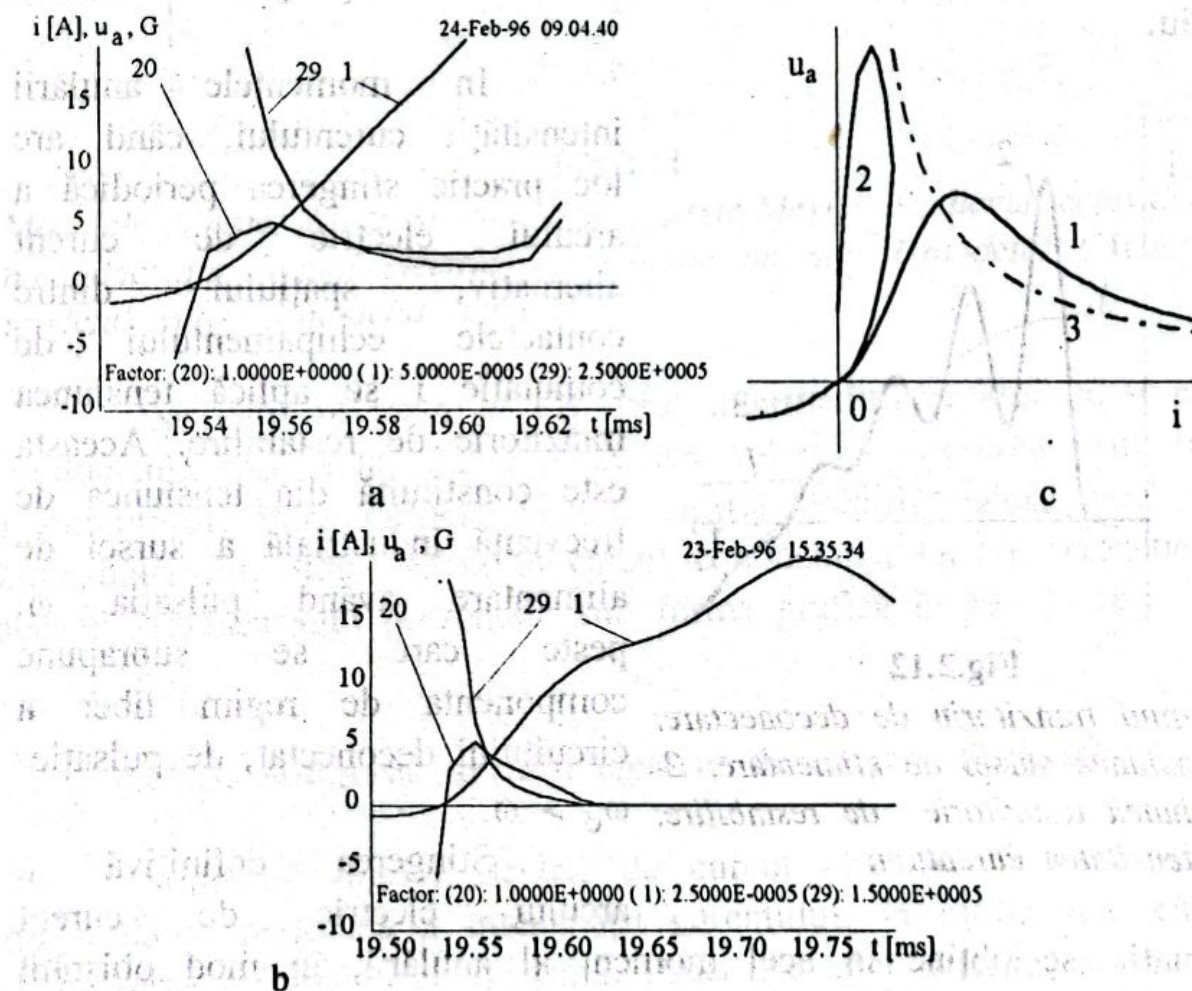
arcului electric de curent

alternativ se obține în acel moment al anulării, în mod obișnuit naturale a intensității curentului, corespunzător căruia tensiunea tranzitorie de restabilire are o viteză de creștere suficient de mică încât să nu mai poată produce reamorsarea arcului electric nici prin ambalare termică, nici prin străpungere termodielectrică. Aceste considerații se referă la cazurile obișnuite de deconectare dinamică



în instalațiile de curent alternativ, corespunzătoare fie regimurilor normale de sarcină, fie celor de scurtcircuit la bornele întrerupătorului, așa cum s-a arătat în §1.3. În majoritatea cazurilor, curenții de scurtcircuit sunt practic inductivi, deoarece parametrii liniilor electrice respectă inegalitatea  $L\omega \gg R$ .

În Fig.2.12, drept origine a timpului ( $t=0$ ) este considerat momentul unei anulări a intensității curentului de scurtcircuit, căruia îi corespunde cu aproximatie valoarea de vârf a tensiunii de frecvență industrială a sursei de alimentare, curba 1; curba 2 reprezintă tensiunea tranzitorie de restabilire  $u_r(t)$  obținută, așa cum s-a menționat, ca sumă a tensiunii 1 cu cea corespunzătoare regimului liber oscilant al circuitului RLC (Fig.1.8).



**Fig.2.13**

*Fenomene la anularea curentului: a-reamorsare termică: 1-tensiunea de arc; 20-intensitatea curentului; 29-conductanța arcului; b-stingere definitivă: 1-tensiunea de restabilire; c-analiza în coordonate voltamper: 1-reamorsare termică; 2-stingere definitivă; 3-caracteristica statică.*



Analiza în coordonate voltamper a ecuației (2.4), de bilanț al puterilor în coloana arcului electric, evidențiază faptul că pentru puncte de funcționare în care se verifică inegalitatea  $E_{ai} > P_0$ , se obține  $dQ/dt > 0$ ; în aceste condiții are loc efectul de ambalare termică în coloana arcului, care duce inevitabil la reamorsarea sa.

Unele rezultate obținute în modelarea arcului electric și a fenomenelor de deconectare, efectuată cu ajutorul EMT Program, sunt prezentate în Fig.2.13, [4]. Evoluția în timp a mărimilor caracteristice acestui proces, reprezentate grafic în jurul momentului trecerii naturale prin zero a intensității curentului, este dată în Fig.2.13a. Dacă evacuarea căldurii are loc cu mare intensitate, procesele deionizante produc scăderea rapidă a conductanței  $G(t)$ , Fig.2.13b, ajungându-se la stingerea definitivă a arcului electric, deci la întreruperea circuitului. Aceasta este posibilă numai dacă densitatea electronilor în plasma reziduală scade sub valoarea de  $10^9/\text{cm}^3$ .

Reprezentarea grafică în coordonate voltamper a proceselor de reamorsare prin ambalare termică (curba 1), respectiv de stingere definitivă a arcului (curba 2) este dată în Fig.2.13c, unde curba 3 reprezintă caracteristica statică ( $u_{ai} = P_0 \ell$ ).

O întrerupere reușită inițial din punct de vedere termic poate însă continua cu un eșec termodielectric, dacă tensiunea

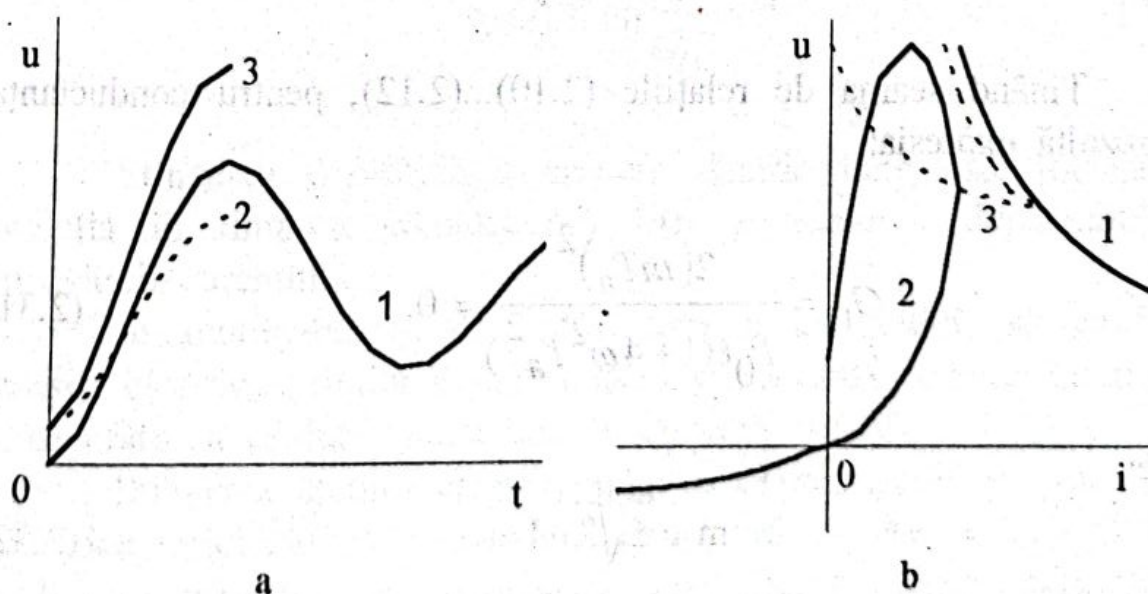


Fig.2.14

*Stingerea definitivă a arcului electric și eșecul termodielectric: a-evoluția temporală; b-caracteristici voltamper.*



tranzitorie de restabilire depășește tensiunea de străpungere  $u_s(t)$  în camera de stingere; creșterea acesteia caracterizează procesul de refacere a rigidității dielectrice a spațiului dintre contacte.

În Fig.2.14a, curba 1 reprezintă tensiunea tranzitorie de restabilire  $u_r(t)$ , iar curbele 2 și 3, de variație în timp a tensiunii de străpungere, corespund unei rearmării termodielectrice a arcului electric, respectiv stingerii sale definitive.

În coordonate voltamper, Fig.2.14b, curba 1 reprezintă caracteristica statică, 2-tensiunea de străpungere, iar 3, 4-caracteristici corespunzătoare eșecului termodielectric respectiv stingerii definitive a arcului, [23].

Studiind procesele care au loc în jurul momentului anulării intensității curentului de arc, se pot stabili condiții cantitative privind stingerea arcului electric de curent alternativ:

Datorită inerției termice, conductanța arcului, calculată în momentele anulării intensității curentului, are valori nenule. Într-adevăr, notând aceste valori cu  $G_0$ , se poate scrie:

$$G_0 = \frac{\left. \frac{di}{dt} \right|_{t=0}}{\left. \frac{du_a}{dt} \right|_{t=0}} \quad (2.30)$$

Tinând seama de relațiile (2.10)...(2.12), pentru conductanța  $G_0$  rezultă expresia:

$$G_0 = \frac{2(mT_a)^2}{P_0 \ell (1 + 4\omega^2 T_a^2)} \neq 0, \quad (2.31)$$

unde:

$$m = \pm \sqrt{2} \omega l \quad (2.32)$$

reprezintă panta intensității  $i(t)$  a curentului în momentele anulării acestuia.



Dacă se apelează la definiția dată în § 2.2.1 constantei de timp  $T_a$  a arcului electric, pentru conductanța  $G(t)$  se poate scrie expresia:

$$G(t) = G_0 e^{-\frac{t}{T_a}}, \quad (2.33)$$

valabilă pentru un interval de timp scurt, începând cu momentul anulării intensității curentului.

Pentru ca tensiunea tranzitorie de restabilire  $u_r(t)$ , aplicată spațiului dintre contacte, să nu producă reamorsarea arcului electric este necesar ca puterea introdusă în coloană să aibă valori inferioare puterii  $P_0$ , disipate de aceasta:

$$G(t)u_r^2(t) < P_0 \ell^2, \quad (2.34)$$

$\ell$  fiind lungimea coloanei.

Astfel, ținând seama de (2.33), (2.34), condiția necesară pentru stingerea arcului electric de curent alternativ se poate scrie sub forma, [18]:

$$u_r(t) < \ell \sqrt{\frac{P_0}{G_0} e^{\frac{t}{T_a}}}. \quad (2.35)$$

Stingerea definitivă a arcului electric lung este dictată de evoluția în timp a conductanței  $G(t)$  a acestuia, după anularea intensității curentului.

În momentul trecerii prin zero a curentului, se anulează puterea electrică primită de la sursă, dar continuă cedarea în mediul înconjurător a căldurii acumulate în coloana arcului.

Stingerea arcului electric lung se obține astfel pe calea unei puternice deionizări a coloanei acestuia, ca urmare a evacuării în mediul înconjurător, în vecinătatea momentelor anulării periodice a curentului, a unei cantități cât mai mari de căldură.



Un rol important în stingerea arcului electric lung îl are constanta sa de timp. Corespunzător relației (2.31), pentru valori mici ale constantei de timp  $T_a$ , rezultă valori de asemenea mici ale conductanței  $G_0$ , deci condiții bune pentru o stingere definitivă reușită.

Aceeași concluzie se obține și în baza relației (2.35), valorile mici ale constantei de timp  $T_a$  conducând la valori ridicate ale tensiunii de străpungere în camera de stingere.

Constanta de timp depinde atât de mediul în care are loc arderea arcului electric cât și de dimensiunile geometrice ale coloanei acestuia, pentru calcule fiind utilă relația, [18]:

$$T_a = \frac{r_0^2}{2,4a_\theta}, \quad (2.36)$$

unde  $r_0$  reprezintă raza coloanei arcului electric iar  $a_\theta$  - difuzivitatea căldurii în mediul de stingere; aceasta poate fi calculată cu relația:

$$a_\theta = \frac{\lambda}{\gamma c}, \quad (2.37)$$

$\gamma$ ,  $c$  reprezentând densitatea, respectiv căldura specifică, iar  $\lambda$  - conductivitatea termică a mediului de stingere.

Relația (2.36) evidențiază faptul că mediile cu bune proprietăți de stingere a arcului electric trebuie să se caracterizeze prin difuzivitate a căldurii de valori cât mai mari.

Astfel de medii sunt azotul (constituent al aerului), hidrogenul, care rezultă din descompunerea chimică a uleiului mineral la temperatura arcului electric și hexafluorura de sulf ( $\text{SF}_6$ ), mediu electroizolant și de stingere care stă la baza dezvoltării tehnicilor moderne în comutația de putere.

Arcul electric scurt se amorsează între contactele echipamentelor de comutație de joasă tensiune. Datorită lungimii sale mici, de ordinul 1...3 mm, stingerea se obține pe baza



proceselor din vecinătatea contactelor, neglijabile în cazul arcului electric lung.

Se constată astfel că pentru reamorsarea arcului electric scurt este necesar ca între contacte, după anularea intensității curentului, să fie aplicate tensiuni având valori de 150...250 V, în măsură să asigure gradientul de potențial corespunzător smulgerii electronilor din noul catod.

Dacă tensiunea înregistrată între contacte are valori mai mici, arcul electric scurt se stinge definitiv la prima trecere prin zero a intensității curentului.

Pe baza rezultatelor obținute din analiza proceselor care au loc la contacte, s-a dezvoltat tehnica de stingere a arcului electric prin efect de electrod, unanim acceptată pentru aparatele de comutație la joasă tensiune cu contacte în aer, [20].

#### 2.2.4. Comutația dinamică în curent continuu

Curentul continuu este prezent în instalațiile neconvenționale de transmisie a energiei electrice (în curent continuu de înaltă și foarte înaltă tensiune), unde problemele de comutație sunt deosebit de complexe, date fiind energiile de valori mari puse în joc.

Utilizarea curentului continuu este foarte răspândită în instalațiile de control de joasă tensiune și în anumite instalații de medie tensiune, unde comutația în aer atmosferic este aproape fără excepție acceptată.

Comutația în curent continuu este în general recunoscută ca având loc în condiții mai dificile decât cea din instalațiile de curent alternativ, acest caracter fiind imprimat în special de procesele care însoțesc stingerea arcului electric de deconectare.

Caracteristicile voltamper ale arcului electric pot fi statice sau dinamice, după cum viteza de variație a intensității curentului prin arc este foarte mică (în particular nulă) sau, dimpotrivă, are valori mari.

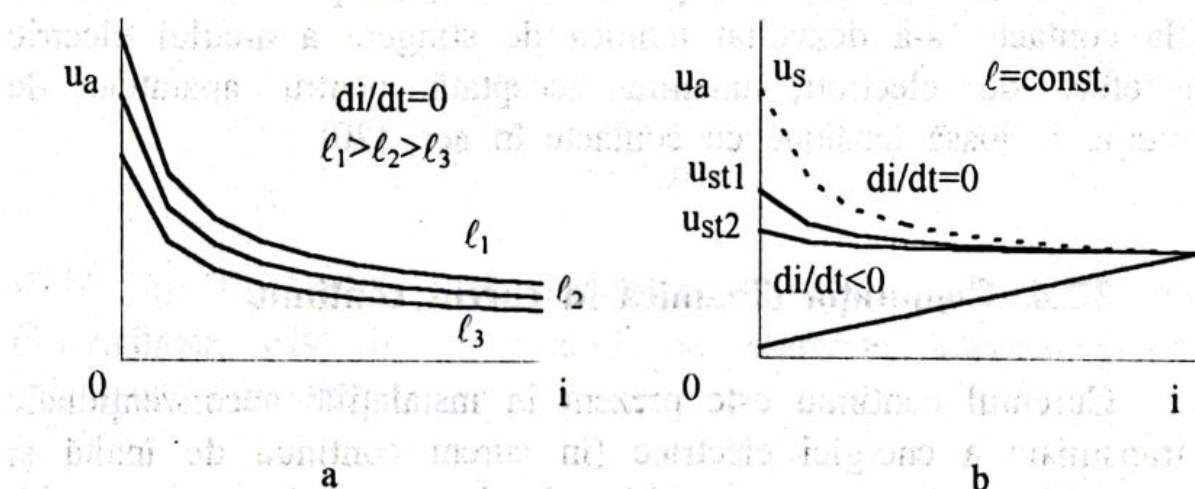
În timp ce arcul electric de curent alternativ poate fi modelat doar cu ajutorul caracteristicilor dinamice, arcului electric



de curent continuu îi sunt proprii atât caracteristici statice cât și dinamice.

În Fig.2.15a sunt reprezentate caracteristicile voltamper statice ale unui arc electric de curent continuu, obținute pentru diferite lungimi constante ale coloanei.

Corespunzător acestor curbe, pentru valori crescătoare ale curentului se înregistrează o mărire a temperaturii în coloana arcului, fapt care conduce la creșterea importantă a conductivității gazului, având ca efect scăderea tensiunii de arc.



**Fig.2.15**

*Caracteristicile arcului electric de curent continuu: a-stactice; b-dinamice.*

Caracteristicile voltamper dinamice se obțin pentru lungimi constante ale coloanei arcului, dar pentru viteze nenule de variație a intensității curentului.

În Fig.2.15b sunt reprezentate caracteristicile voltamper dinamice pentru un arc electric de curent continuu, obținute pentru diferite viteze,  $di/dt < 0$ , de scădere a intensității curentului, [20].

Arcul electric se amorsează la tensiunea  $u_s$ , valorile tensiunii de stingere,  $u_{st}$ , fiind cu atât mai mici cu cât este mai mare viteza de scădere a curentului.

Fenomenul de histerezis, propriu acestor caracteristici, se explică prin inerția termică a coloanei arcului electric.



Tab.2.2

Materialul	Constanta			
	$\alpha$ [V]	$\beta$ [VA]	$\gamma$ [V/m]	$\delta$ [VA/m]
Cupru	30	10	1000	3000
Carbon	39	11,7	21	105

Din punct de vedere cronologic, modelarea arcului electric de curent continuu precede pe cea a procesului din curentul alternativ și constă în stabilirea unor funcții de aproximare pentru caracteristica voltamper statică. În acest sens este cunoscută funcția de aproximare propusă de Herta Ayrton [39], având expresia:

$$u_a(i) = a + \frac{b}{i}, \quad (2.38)$$

unde:

$$a = \alpha + \gamma \ell, \quad b = \beta + \delta \ell, \quad (2.39)$$

$\alpha$ ,  $\beta$ ,  $\gamma$ ,  $\delta$  fiind constante, iar  $\ell$  - lungimea coloanei arcului electric. În Tab.2.2 sunt date valorile constantelor din funcția Hertei Ayrton, pentru diferite materiale ale contactelor.

Conform relațiilor (2.38), (2.39), funcția de aproximare Ayrton evidențiază o variație liniară a tensiunii de arc  $u_a$  în raport cu lungimea  $\ell$  a coloanei, pentru valori constante ale intensității curentului.

Utilizată în calcule este și funcția de aproximare propusă de Nottingham, [30], [36]:

$$u_a(i) = a + c\ell + (b + d\ell)i^{-n}, \quad (2.40)$$

$a$ ,  $b$ ,  $c$ ,  $d$  fiind constante,  $\ell$  - lungimea coloanei arcului electric, iar exponentul  $n$ , calculabil cu relația:

$$n = 2,62 \cdot 10^{-4} T, \quad (2.41)$$



unde  $T$  reprezintă temperatura de vaporizare a anodului, exprimată în grade absolute.

În funcțiile de aproximare (2.38), (2.40) nu se ține seama de independența căderilor de tensiune la electrozi ( $u_A$ ,  $u_K$ ) în raport cu lungimea  $\ell$  a coloanei arcului. Acest aspect este considerat în funcția de aproximare a lui Rieder, care are expresia:

$$u_a(i) = \alpha + (\beta + \ell) \gamma \left[ \ln \left( \frac{i}{\delta} \right) \right]^{-3}, \quad (2.42)$$

$\alpha$ ,  $\beta$ ,  $\gamma$ ,  $\delta$  fiind constante, iar  $\ell$  - lungimea coloanei arcului electric. Valorile constantelor funcției (2.42) sunt date în Tab.2.3.

Tab.2.3

Materialul	Constanta			
	$\alpha$ [V]	$\beta$ [m]	$\gamma$ [V/m]	$\delta$ [A]
Cupru	26	0,013	$5,4 \cdot 10^5$	$7,4 \cdot 10^{-3}$
Argint		0,011		
Wolfram		0,016		

Se consideră circuitul de curent continuu din Fig.2.16, la deconectarea căruia, între contactele A, K, se înregistrează tensiunea  $u_a(i)$ .

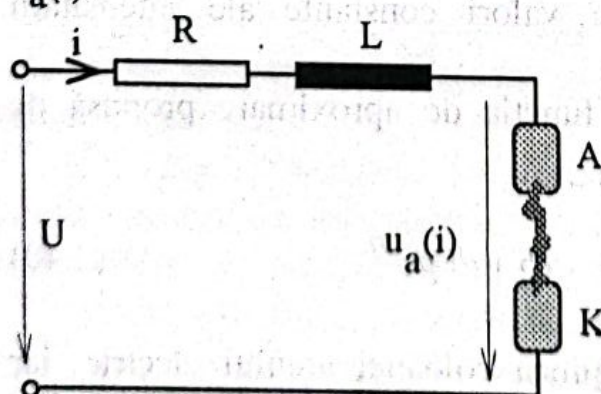


Fig.2.16

Stingeria arcului electric în circuite inductive

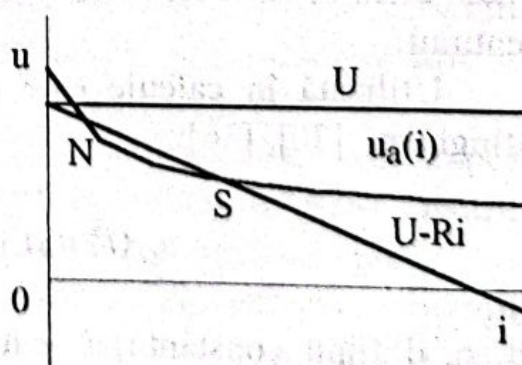


Fig.2.17

Analiza stingerii arcului electric în coordonate voltamper



Ecuatia care descrie functionarea circuitului este de forma:

$$L \frac{di}{dt} + Ri + u_a(i) = U, \quad i(0) = i_0, \quad (2.43)$$

$U$  fiind tensiunea continuă de alimentare. Considerând funcția de aproximare Ayrton, pentru ecuația (2.43) se stabilește expresia:

$$L \frac{di}{dt} + Ri + \alpha + \gamma \ell + \frac{\beta + \delta \ell}{i} = U, \quad i(0) = i_0, \quad (2.44)$$

$\alpha$ ,  $\beta$ ,  $\gamma$ ,  $\delta$  fiind constante, iar  $\ell$  - lungimea coloanei arcului electric. In cazul arderii staționare la curent constant a arcului, ecuația (2.44) devine algebrică, de forma:

$$Ri^2 - (U - \alpha - \gamma \ell)i + \beta + \delta \ell = 0. \quad (2.45)$$

Din analiza ecuației (2.45) rezultă unele concluzii privind stabilitatea arderii arcului electric într-un circuit inductiv de curent continuu, [20]. Ecuația (2.45) poate admite două soluții reale, pozitive și distincte  $i_1 \neq i_2$ , caz în care circuitului din Fig.2.16 îi sunt proprii două puncte de funcționare; fie acestea  $N$  și  $S$ , Fig.2.17, determinate la intersecția dreptei de sarcină ( $U - Ri$ ) cu caracteristica voltamper,  $u_a(i)$  a arcului electric.

Punctul de funcționare  $N$  corespunde arderii instabile deoarece, la mici variații ale intensității curentului în jurul valorii corespunzătoare, fie aceasta  $i_1$ , rezultă tendințe de variație divergente în raport cu  $i_1$  (pentru  $i > i_1$  se obține  $di/dt > 0$ , deci o tendință de creștere a intensității, în timp ce pentru  $i < i_1$  rezultă  $di/dt < 0$ , deci tendință de scădere a intensității curentului).

In același mod se arată că punctul  $S$  determină arderea stabilă a arcului deoarece, la variații ale curentului în jurul valorii de regim, rezultă tendințe de variație convergente spre aceasta.

In regim static, deci la variații cu viteze  $di/dt$  oricât de mici ale intensității curentului, când tensiunea autoindusă pe bobină poate fi neglijată, condiția necesară pentru stingerea arcului electric,



aşa cum rezultă din caracteristicile reprezentate în Fig.2.17, se poate scrie sub forma:

$$u_a(i) \geq U - Ri, \quad \forall i. \quad (2.46)$$

Pentru aceasta este necesar ca ecuația (2.45) să admită cel mult o rădăcină dublă sau rădăcini complexe, ceea ce revine la a scrie:

$$(U - \alpha - \gamma\ell)^2 - 4R(\beta + \delta\ell) \leq 0. \quad (2.47)$$

Inecuația (2.47) delimitează domeniul, în planul coordonatelor  $(R, \ell)$ , pentru care stingerea arcului electric este certă.

În Fig.2.18 sunt reprezentate grafic, conform ecuației (2.47), granițele zonelor de ardere a arcului electric, pentru diferite valori ale tensiunii de alimentare a circuitului considerat.

Arcul electric arde stabil pentru valori  $(R, \ell)$  definind puncte localizate în zona dintre axele de coordonate și curbele de graniță și poate fi stins pentru dublete  $(R, \ell)$  proprii unor puncte din afara acestei zone, [1].

Pentru valori  $(R, \ell_{cr})$  corespunzătoare unor puncte de funcționare situate pe curbele (2.47), arderea arcului este critică, punctele N, S (Fig.2.17) confundându-se.

Condiția (2.46) privind stingerea arcului electric de curent continuu poate fi îndeplinită fie prin alungirea coloanei, fie prin creșterea rezistenței  $R$  a circuitului și, evident, printr-un procedeu combinat.

În cazul stingerii arcului prin alungirea coloanei, ținând seama de (2.45), (2.47), pentru intensitatea critică,  $i_{cr}$  a curentului se obține:

Fig.2.18

Frontiere de stabilitate în domeniul  $(R, \ell)$

$$i_{cr} = \frac{U - \alpha - \gamma\ell_{cr}}{2R} = \frac{2(\beta + \delta\ell_{cr})}{U - \alpha - \gamma\ell_{cr}}. \quad (2.48)$$



O investigație sub raport calitativ asupra stingerii arcului electric de curent continuu se poate face neglijând inerția termică a coloanei, ceea ce revine la a considera caracteristicile dinamice identice cu caracteristica statică, [1].

Acceptând o valoare constantă pentru viteza  $v$  de alungire a coloanei arcului, ecuația diferențială (2.44) se poate scrie sub forma:

$$L \frac{di}{dt} + Ri + \alpha + \gamma vt + \frac{\beta + \delta vt}{i} = U, \quad i(0) = i_0. \quad (2.49)$$

Neglijând termenul neliniar, cu aport nesemnificativ mai ales în cazul unui circuit slab inductiv, ecuația (2.49) devine:

$$L \frac{di}{dt} + Ri + \alpha + \gamma vt = U, \quad i(0) = \frac{U - \alpha}{R}. \quad (2.50)$$

Soluția acesteia, reprezentând regimul tranzitoriu al curentului pe durata de ardere a arcului, se obține de forma:

$$i(t) = \frac{U - \alpha}{R} + \frac{T\gamma}{R} \left( 1 - \frac{t}{T} - e^{-\frac{t}{T}} \right), \quad (2.51)$$

unde:

$$T = \frac{L}{R}. \quad (2.52)$$

Durata de ardere  $t_a$  a arcului electric se determină prin anularea expresiei (2.51); dacă se notează:

$$\ell_a = vt_a, \quad (2.53)$$

$\ell_a$  fiind lungimea coloanei arcului în momentul stingerii, pentru durata de ardere se obține expresia:

$$t_a = -T \ln \left( 1 + \frac{U - \alpha - \gamma \ell_a}{T\gamma} \right). \quad (2.54)$$



Impunând condiția  $t_a > 0$ , din relația (2.54) rezultă:

$$\ell_a > \frac{U - \alpha}{\gamma}. \quad (2.55)$$

Se evidențiază astfel că stingerea arcului electric de curent continuu este posibilă numai dacă lungimea coloanei acestuia depășește o valoare limită.

Regimul tranzitoriu al curentului prin coloana arcului electric este reprezentat în Fig.2.19. În ipoteza  $t_a \gg T$ , termenul exponențial din expresia (2.51) se poate neglija, obținându-se:

$$t_a \cong T + \frac{U - \alpha}{\gamma v}, \quad \ell_a \cong Tv + \frac{U - \alpha}{\gamma}. \quad (2.56)$$

Relațiile (2.56) evidențiază că atât durata de ardere cât și lungimea maximă a arcului electric au valori dependente de constanta de timp a circuitului deconectat, cu atât mai mari cu cât caracterul acestuia este mai inductiv.

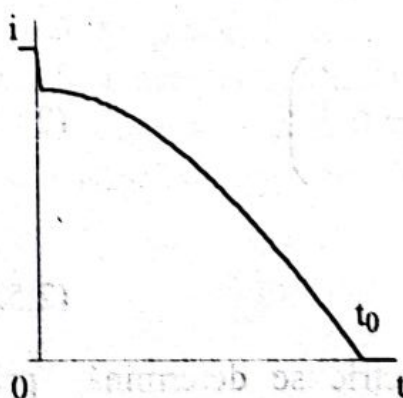


Fig.2.19

*Curentul de arc pe durata deconectării*

Prelungirea duratei de ardere a arcului electric are loc pe seama energiei acumulate în câmpul magnetic al bobinelor din circuit; tensiunea autoindusă pe acestea suplimentează, la scăderea intensității curentului, tensiunea sursei de alimentare.

Deconectarea dinamică a circuitelor rezistive de curent continuu este descrisă de ecuația algebrică (2.45).

În ipotezele simplificatoare menționate la deconectarea unui circuit inductiv, pentru intensitatea curentului, din (2.45) se obține expresia:

$$i(t) = \frac{1}{2R} \left( U - \alpha - \gamma vt + \sqrt{(U - \alpha - \gamma vt)^2 - 4R(\beta + \delta vt)} \right). \quad (2.57)$$



În momentul  $t=0$  al separării contactelor, ca urmare a amorsării arcului electric, intensitatea curentului din circuit scade brusc de la:

$$I = \frac{U}{R}, \quad (2.58)$$

la valoarea:

$$i(0) = \frac{1}{2R} \left( U - \alpha + \sqrt{(U - \alpha)^2 - 4\beta R} \right) < I, \quad (2.59)$$

după care se înregistrează o scădere continuă până la stingere, obținută în momentul corespunzător căruia intensitatea curentului atinge valoarea critică  $i_{cr}$ , dată de relațiile (2.48).

Tinând seama de faptul că, în acest caz, se poate scrie:

$$\ell_a = \ell_{cr} = v t_a, \quad (2.60)$$

din relațiile (2.48<sub>1</sub>), (2.60), pentru durata  $t_a$ , de ardere a arcului electric, rezultă expresia:

$$t_a = \frac{U - \alpha - 2Ri_{cr}}{\gamma v}. \quad (2.61)$$

Comparând relațiile (2.56)...(2.61), rezultă că atât durata de ardere  $t_a$  cât și lungimea maximă  $\ell_a$ , corespunzătoare arcului electric de curent continuu, depind de natura circuitului deconectat, prezența bobinelor făcând mai dificil procesul de stingere.

Stingerea arcului electric în momentul corespunzător căruia intensitatea curentului atinge valoarea critică se explică prin faptul că sursa de alimentare nu mai poate acoperi energia disipată sub formă de căldură la nivelul coloanei. Dacă  $R_a$  reprezintă rezistența arcului electric la un moment dat, puterea electrică  $P_a$  furnizată de sursă arcului are expresia:

$$P_a = R_a \left( \frac{U}{R + R_a} \right)^2. \quad (2.62)$$



Valoarea maximă,  $P_{am}$  a puterii  $P_a$  se obține atunci când rezistența arcului egalează pe cea a circuitului deconectat, obținându-se:

$$P_{am} = \frac{U^2}{4R} = \frac{P_m}{4}. \quad (2.63)$$

Relația (2.63) evidențiază faptul că pe coloana arcului se poate repartiza cel mult 25% din puterea maximă furnizată de sursă circuitului; arcul electric de curent continuu poate fi stins numai dacă puterea disipată de coloana acestuia sub formă de căldură în unitatea de timp depășește 25% din puterea maximă furnizată de sursă circuitului deconectat. În curent alternativ puterea  $P_0$ , de răcire a arcului în vederea stingerii, are valori mult mai mici, de ordinul 0,03% din  $P_m$ , [23].

Potrivit considerațiilor expuse, rezultă că există două posibilități de principiu aplicabile în vederea stingerii arcului electric de curent continuu: translarea caracteristicii voltamper spre valori crescătoare ale tensiunii de arc, respectiv rotirea drepte de sarcină corespunzător unor valori crescătoare ale rezistenței circuitului deconectat.

Sub raport tehnic, aceste procedee presupun alungirea coloanei arcului și deionizarea puternică a acesteia prin răcire, la care se poate adăuga creșterea rezistenței circuitului. Utilizarea, separată sau combinată, a procedeelor menționate conduce la limită la confundarea punctelor de funcționare N și S (Fig.2.17), condiția necesară pentru obținerea stingerii fiind astfel îndeplinită.

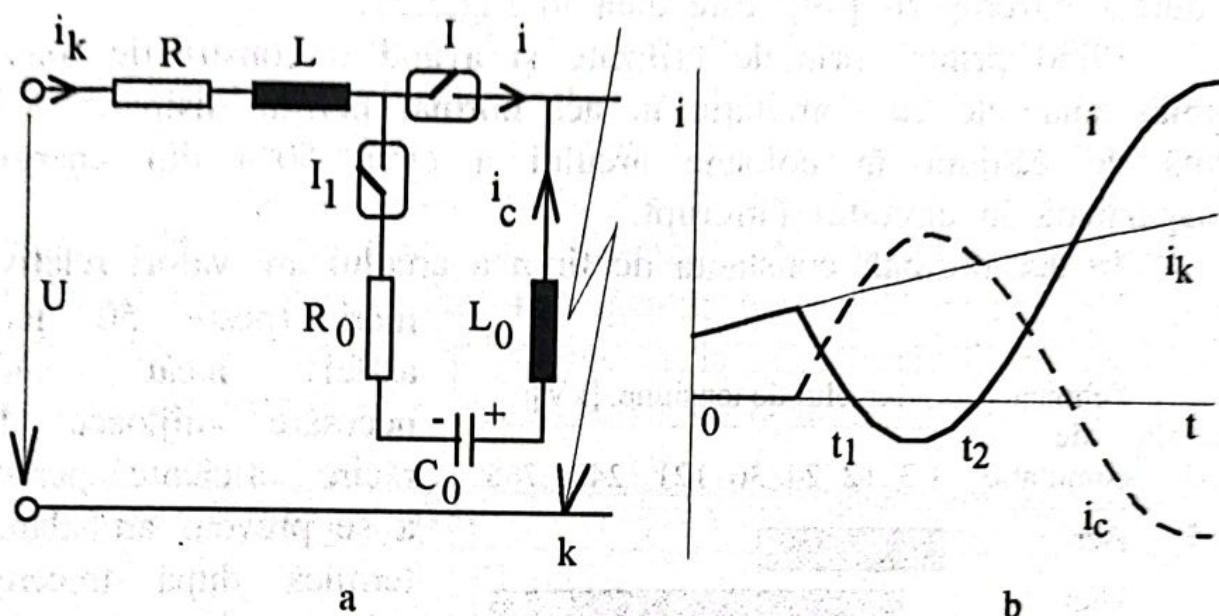
Tehnicile de comutație dinamică în instalațiile de joasă tensiune de curent continuu constau în stingerea arcului electric de deconectare utilizând camere de stingere prevăzute cu sisteme de fante, șicane și grile, electroizolante sau metalice, realizate într-o multitudine de variante, cărora li se asociază suflajul magnetic.

Comutația dinamică în instalațiile de curent continuu de înaltă tensiune și mare putere apelează în prezent în mod unanim la principiul modulării curentului de arc, condițiile stingerii unui arc electric de mare putere traversat de curent continuu transferându-se astfel în domeniul arcului electric de curent alternativ unde



stingerea definitivă este facilitată de anularea naturală a intensității curentului.

În Fig.2.20a este prezentată schema electrică de principiu a procedurii, ilustrând întreruperea unui curent de scurtcircuit.



**Fig.2.20**

*Modularea curentului de arc: a-schema electrică; b-regimul tranzitoriu.*

Aceasta conține întrerupătoarele  $I$ -principal și  $I_1$ -auxiliar. Prin închiderea întrerupătorului auxiliar  $I_1$ , se permite descărcarea condensatorului de capacitate  $C_0$ , inițial încărcat cu polaritatea din figură.

La întreruperea unui curent de scurtcircuit  $i_k$ , după deschiderea întrerupătorului  $I$  se închide întrerupătorul  $I_1$ , încât, pentru intensitatea  $i(t)$  a curentului prin arc rezultă:

$$i(t) = i_k(t) - i_c(t), \quad (2.64)$$

$i_c(t)$  fiind intensitatea curentului de descărcare oscilantă a condensatorului.

Dimensionând corespunzător circuitul de descărcare  $R_0$ ,  $L_0$ ,  $C_0$ , se obține anularea intensității  $i(t)$  a curentului prin arc, stingerea fiind posibilă în momentele  $t_1$ ,  $t_2$ , ș.a.m.d., de trecere prin zero a acestuia, Fig.2.20b.



### 2.3. Tehnici tradiționale în comutația de putere

O prezentare sintetică a tehnicilor specifice comutației de putere, în ordinea minimizării energiei disipate în coloana arcului pe durata întreruperii [39], este dată în Fig.2.21.

Fiind printre primele utilizate și având o construcție foarte simplă, aparatele cu comutație în aer normal permit disiparea sub formă de căldură în coloana arcului a circa 50% din energia înmagazinată în circuitul întrerupt.

În aer normal, constanta de timp a arcului are valori relativ

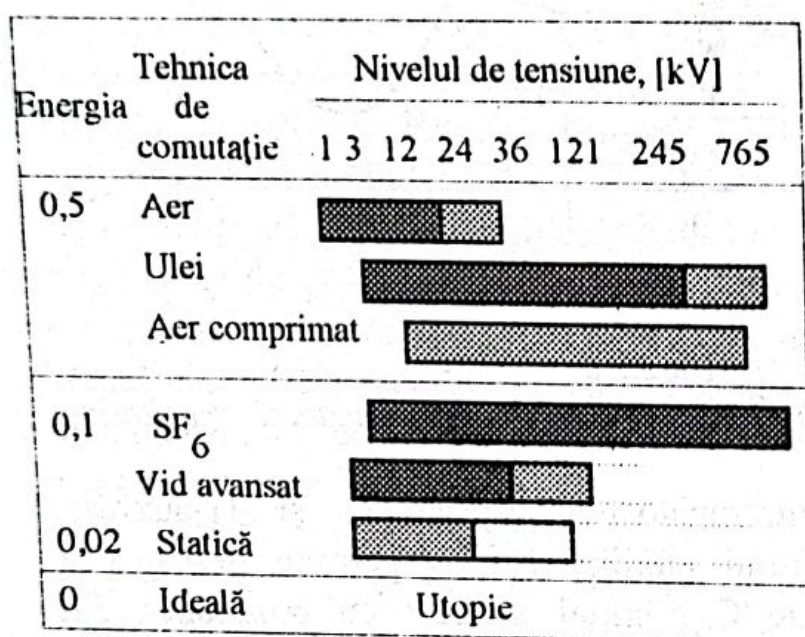


Fig.2.21

*Principalele tehnici în comutația de putere*

mari (peste 50  $\mu$ s), astfel încât sunt necesare mijloace de răcire eficiente pentru a se preveni ambalarea termică după trecerea prin zero a curentului și a se obține stingerea definitivă a arcului. O constantă de timp de valori mari permite de asemenea realizarea comutației cu un factor de oscilație redus, calitate deosebit de necesară îndeosebi în instalațiile de joasă tensiune.

Performanțele obținute în construcția aparatelor cu comutație în aer la joasă tensiune au încurajat extinderea acestei tehnici și la tensiuni mai mari, ajungându-se până la nivelul de 20 kV.

Dacă în prezent se mai poate constata supremația acestor aparate, atunci aceasta este restrânsă doar la construcțiile de joasă tensiune, care se caracterizează prin simplitate, indicatori de fiabilitate superiori și grad ridicat de securitate; extinderea la tensiuni superioare este blocată de dezavantaje majore, cum ar fi dimensiunile de gabarit exagerat de mari, corespunzătoare distanțelor



de izolație în aer. Sunt totuși construite și utilizate contactoare electromagnetice de medie tensiune, caracterizate însă prin capacitate redusă de deconectare tensiune nominală de numai 6 kV, [17].

Creșterea capacității de vehiculare a fluxurilor de energie electrică prin creșterea tensiunii nominale a instalațiilor a impus o nouă tehnică, aceea a comutației în ulei mineral, mediu electroizolant și de stingere cu proprietăți superioare aerului normal.

Analiza atentă a fenomenelor care au loc la stingerea arcului electric în ulei justifică aserțiunea potrivit căreia [39], uleiul este mediu electroizolant și doar "furnizor" de mediu de stingere care, în acest caz, este de fapt hidrogenul; împreună cu ceilalți compuși din Tab.2.4, acesta se obține prin descompunerea chimică a uleiului, la temperatura arcului electric, [23].

Tab.2.4

Energia arcului, [kJ]		1	100
H <sub>2</sub>	70%	0,1 ℓ	10 ℓ
C <sub>2</sub> H <sub>4</sub>	20%		
CH <sub>4</sub>	10%		
Carbon		0,03 g	3 g

Cantitatea procentual mare de hidrogen obținută prin descompunerea uleiului și proprietățile termice remarcabile ale acestui gaz exercită asupra coloanei arcului electric, prin răcirea

acesteia, un puternic efect deionizant.

Sub raport cronologic, primele tipuri de întrerupătoare cu comutație în ulei sunt cunoscute sub numele de întrerupătoare cu

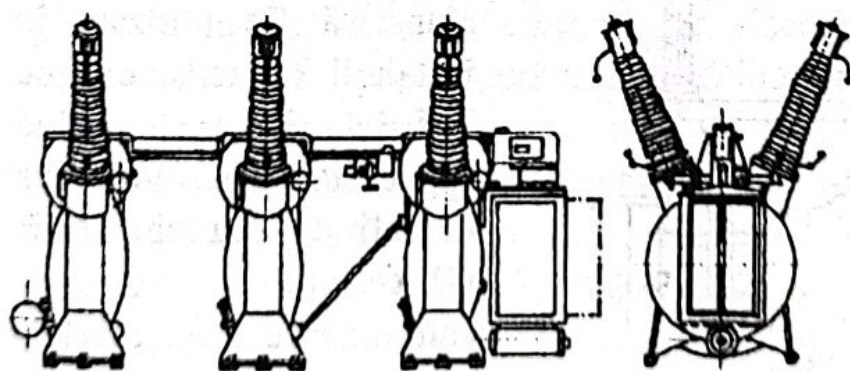


Fig.2.22

*Întrerupător cu ulei mult*

ulei mult (Fig.2.22) care, în pofida dimensiunilor de gabarit și a unor cantități enorme, de zeci de tone de ulei pe pol, au fost



fabricate la parametri atingând valori performante în epocă (330 kV/25 kA), [14].

Utilizarea materialelor electroizolante solide și perfecționarea dispozitivelor de stingere au permis reducerea dimensiunilor de gabarit, a masei totale a aparatului și, în special, a volumului de ulei.

Următoarea generație, cea a întrerupătoarelor cu ulei puțin, a fost extinsă la tensiuni foarte înalte prin construcția camerelor de stingere pe principiul modului (Fig.2.23) și realizarea de întreruperi multiple pe pol [17], [18], [20], [39]. Progresele înregistrate în construcția întrerupătoarelor cu ulei au făcut ca acestea să cunoască o lungă perioadă de monopol, extinsă până spre anii 1930-1940, [39].

Comutația în ulei reprezintă în mod incontestabil prima tehnică în care se utilizează un mediu de stingere caracterizat prin

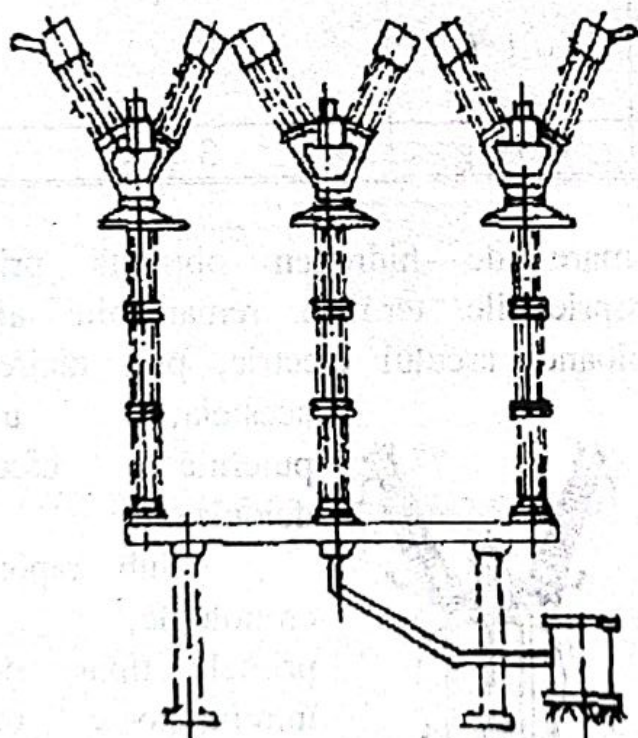


Fig.2.23

*Întrerupător cu ulei puțin*

valori mici ale constantei de timp a arcului electric, fapt care a permis ca aceste echipamente să facă față cu succes dificultăților care însoțesc întreruperea curenților sub tensiuni tot mai mari; ele au ajuns să fie utilizate în instalații cu tensiunea de 765 kV, având capacitatea să întrerupă curenți de scurtcircuit de 40 kA.

Întreruperile repetate antrenează deteriorarea progresivă a contactelor

și, mai mult, acumularea în ulei a unei cantități crescânde de carbon în suspensie, în măsură să afecteze proprietățile electroizolante ale acestuia. Menținerea în funcțiune cu un grad ridicat de securitate reclamă revizii periodice lungi, care vin în



contradicție cu ideea reducerii duratelor de mentenanță și creșterii disponibilității echipamentului în instalațiile moderne. Dacă se adaugă pericolul sporit de incendiu și chiar de explozie, se obține în bună parte explicația declinului acestei tehnici de comutație, în special în domeniul performant (valori nominale mari pentru tensiune, curent și capacitate de rupere la scurtcircuit).

Înterupătoarele cu ulei puțin constituie încă o tehnică de comutație existentă azi în exploatare și pe piața aparatelor cu caracteristici modeste și medii. Nu există nici o îndoială însă că progresele înregistrate în dezvoltarea tehnicilor moderne vor conduce la dispariția lor. După datele furnizate de firma Merlin Gerin, din numărul total al înterupătoarelor de medie tensiune produse și vândute în CEE, cele cu ulei puțin au scăzut de la 67,8% în 1980 la 23,7% în 1990, tendința de scădere păstrându-se, [40].

Bazele tehnicilor de comutație în gaze sub presiune se pun în jurul anilor 1930, când apar primele înterupătoare cu aer comprimat. Înainte de orice, acestea au încercat să răspundă unor cerințe de securitate, în contextul unor incendii și explozii ale înterupătoarelor cu ulei mult, care atinseseră apogeul.

În construcția înterupătoarelor cu aer comprimat, drept mediu electroizolant și de stingere se folosește aerul la presiune mai mare decât cea atmosferică. La multe construcții, energia acumulată în aerul sub presiune servește și pentru acționarea înterupătorului.

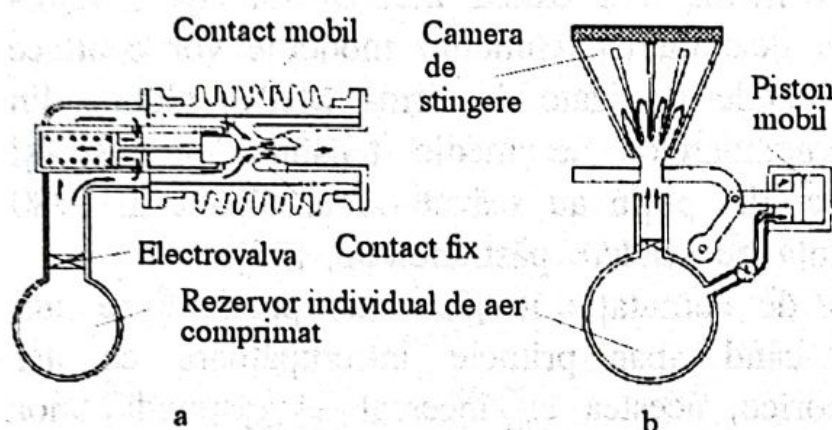
Stingerea arcului electric de deconectare se obține prin suflarea acestuia cu aer comprimat, deionizarea coloanei având loc în principal prin difuzie.

Procesul de stingere depinde de mai mulți parametri, dintre care se menționează presiunea și viteza aerului în ajutajele camerei de stingere, secțiunea ajutajelor de eșapare și orientarea jetului de aer în raport cu coloana arcului electric, lungimea acestei coloane la un moment dat, viteza de creștere a tensiunii tranzitorii de restabilire. Spre deosebire de înterupătoarele cu ulei, intensitatea suflajului, dată în principal de presiunea și viteza în ajutaj a aerului comprimat, este independentă de energia arcului electric, fiind condiționată numai de construcția dispozitivului de stingere; de aici necesitatea unor măsuri suplimentare privind evitarea consecințelor



tendinței de funcționare cu tăiere (smulgere) de curent, în special la întreruperea curenților de mică intensitate. Creșterea presiunii aerului are ca efect creșterea rigidității dielectrice, în același timp obținându-se și ameliorarea condițiilor de stingere a arcului, prin scăderea constantei de timp a acestuia.

Corespunzător curbelor lui Paschen (Fig.2.2), pentru o valoare dată a tensiunii de străpungere, creșterea presiunii conduce



**Fig.2.24**

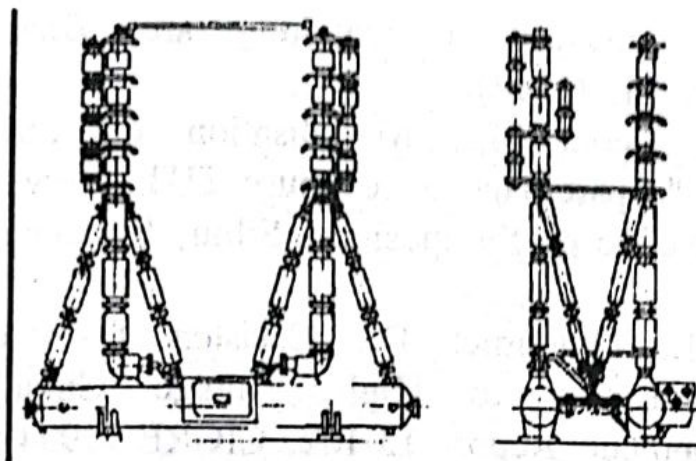
*Intrerupătoare cu aer comprimat de medie tensiune* MPa.

Intrerupătoarele cu aer comprimat se deosebesc prin particularitățile constructive ale camerelor de stingere și prin modul în care se asigură nivelul de izolație între contactele deschise.

În general [41], întrerupătoarele construite sunt echipate cu camere de stingere funcționând cu suflaj longitudinal (Fig.2.24a), pentru medie tensiune existând însă și variante prevăzute cu camere de stingere având suflaj transversal (Fig.2.24b). Acestea din urmă se caracterizează printr-o eficiență superioară a suflajului, dar au dezavantajul unui consum sporit de aer comprimat, eșaparea acestuia făcându-se în atmosferă.

Deoarece lungimea arcului electric, optimă sub raportul stingerii, rezultă în general mai mică decât distanța de izolație dintre contactele deschise, întrerupătoarele cu aer comprimat sunt prevăzute cu separatoare de secționare, având rolul de a realiza distanțele de izolație necesare. În funcție de tipul constructiv, separatoarele de secționare pot fi amplasate în aer liber (aparate de





**Fig.2.25**

*Intrerupător cu aer comprimat de înaltă tensiune*

medie tensiune) sau în incinte umplute cu aer comprimat (întă și foarte întă tensiune). Progresele înregistrate de tehnica comutației în aer comprimat au condus la obținerea unor aparate cu parametri electrici notabili, care însă nu mai păstrează în momentul de față decât următoarele două destinații,

[23]: întrerupătoare de generator și întrerupătoare de exterior (Fig.2.25), ce pot fi folosite în zone cu climat deosebit de aspru. Acestea sunt capabile să funcționeze satisfăcător și la temperaturi de  $-40^{\circ}\text{C}$ , grație absenței tendinței de lichefiere a aerului comprimat. Admisia aerului comprimat în camera de stingere poate fi temporară, numai pe durata stingerii arcului electric sau permanentă. Construcțiile având camere de stingere permanent umplute cu aer comprimat se caracterizează prin distanțe de izolație mai mici între contacte și deci prin dimensiuni de gabarit reduse.

Alte tehnici de comutație convenționale, utilizând medii de stingere diverse (apa, gazele de descompunere a unor materiale electroizolante solide etc.) au avut arie de răspândire restrânsă și existență efemeră.

### **Bibliografie**

1. Baraboi A., Echipamente electrice. Inst. Polit. Iasi, 1989.
2. Baraboi A., Hnatiuc E., Adam M., Study about one possibility of modelation of the electric arc. Seventh International Conference "Switching Arc Phenomena", Lodz, Poland, 1 (1993).
3. Baraboi A., Adam M., Hnatiuc E., Unified Cassie-Mayr model aided computation of the ac arc's characteristics. XIth



- Symposium on physics of switching arc, Brno, Czech Republic, 21, (1994).
4. Baraboi A., Adam M., Leonte P., Modélisation de l'arc électrique dans l'appareillage de coupure THT. Very High Voltage Networks Symposium, Sibiu, Romania, 1, 147 (1995).
  5. Blatter J., Aeschbach H., Dufournet D., Christen J., Arc Modelling Application to High Voltage Circuit Breaker Development. Report 13-102, CIGRE (1994).
  6. Browne T. E., An Approach to Mathematical Analysis of A-C Arc extinction in Circuit Breakers. AIEE Trans., PAS, 77, 1508 (1959).
  7. Cassie A. M., Théorie nouvelle des arcs de rupture et de la rigidité des circuits. CIGRE, rapport 102 (1939).
  8. Cividjian G., A., About black box arc model in relative units. XIth Symposium on physics of switching arc, Brno, Czech Republic, 33, (1994).
  9. Claessens M., Möller K., Rütten U., Thiel H. G., Stechbarth J., Progress in Modelling of Circuit-Breaker Arcs Considering Gas Flow Interaction. Report 13-108, CIGRE (1994).
  10. Claessens M., Möller L., Knobloch H., Kirchesch P., Thiel H. G., Progress in Circuit-Breaker Modelling with Respect to Ablation Controlled Arcs, Pressure Build-up and Performance Limits. Report 13-112, CIGRE (1994).
  11. Cowley M. D., Chan S. K., Fang M. T. C., Integral methods of analysing electric arcs (part III). J. Phys. D., 9, 1085 (1976).
  12. Delalondre C., Zahrai S., Simonin O., Modélisation des turbulences dans l'arc électrique. Collection de notes internes de la DER, EDF (1993).
  13. Fechant L., Appareillage électrique à basse tension. Techniques de l'ingénieur, 12 (1991).
  14. Flurscheim C. H., Teoriia i konstrukții vîkliuciatelei. Energoizdat, Leningrad, 1982 (trad. din lb. engleză).



15. Grütz A., Hochrainer A., Rechnerische Untersuchung von Leistungsschaltern mit Hilfe einer verallgemeinerten Lichtbogen­theorie. ETZ-A, 92, 185 (1971).
16. Hermann W., Ragaller K., Theoretical description of the current interruption in HV gas blast breakers. IEEE Trans. on Power App. and Syst., PAS-96, 1546 (1977).
17. Herşcovici B. ş.a., Aparate electrice de înaltă tensiune. Indreptar. Ed. Tehnică, Bucureşti, 1978.
18. Hortopan Gh., Aparate electrice, EDP Bucureşti, 1981.
19. Legros V., Genon A. M., Circuit breaker stochastic behaviour simulation. Symp. on HV Switch. Equip., Sydney, 38 (1979).
20. Leonte P., Hnatiuc E., Baraboi A., Aparate electrice. Inst. Polit. Iaşi, 1981.
21. Mayr O., Beitrge zur Theorie des statischen und des dynamischen Lichtbogens. Archiv für Electrotechnik, 37, 588 (1943).
22. Nakamishi Y., Tuma D. T., Analysis of electric arcs in AC circuits. IEEE Trans. on PAS, 102, 586 (1983).
23. Pelenc Y., Appareillage électrique d'interruption à haute tension. Techniques de l'ingénieur, 12 (1991).
24. Portela C., Dupont C., Meirelles M. P., Deterministic and Statistic Arc Modelling. Report 13-107, CIGRE (1994).
25. Rieder W., Urbanek J., New aspects of current zero research on circuit-breaker reignition. A theorie of thermal nonequilibrium arc conditions. Report 107, CIGRE (1966).
26. Savin Gh., Rosman H., Circuite electrice neliniare şi parametrice. Ed. Tehnică, Bucureşti, 1973.
27. Scarpa P., Les modèles d'arc: des outils de développement des disjoncteurs. Journée SF<sub>6</sub>, AIM Liège (1988).
28. Schwartz J., Dynamisches Verhalten eines gasbeblasenen, turbulenz-bestimmten Schaltlichtbögen. ETZ Arch., 3, 87 (1979).
29. Sporckmann B., Ein Stochastisches Lichtbogenmodell zur Berechnung von Ausschaltvorgängen von



- Hochspannungsleistungs-schaltern. ETZ-A, 99, 758 (1978).
30. Suci I., Bazele echipamentelor electrice. Ed. Facla, Timișoara, 1980.
  31. Swanson B. W., Roidt R. M., Boundary layer analysis of an SF<sub>6</sub> circuit breaker arc. IEEE Trans. on Power App. and Syst., 90, 1086 (1971).
  32. Thiel H. G., Theoretical investigation of the different arc quenching phenomena in SF<sub>6</sub> and air blast circuit breakers. Wiss. Ber. AEG Telefunken, 52, 185 (1979).
  33. Urbanek J., Zur berechnung des Schaltverhaltens von Leistungsschaltern, eine erweiterte Mayr-Gleichung. ETZ-A, 93, 381 (1972).
  34. Van der Sluis L., Rutgers W. R., Comparison of test circuits for high-voltage circuit breakers by numerical calculations with arc models. IEEE Trans. on Power Delivery, 7, 4 2037 (1992).
  35. Van der Sluis L., Damstra G. C., Rutgers W. R., Schoonenberg G. C., The Modelling of Circuit-Breaker Arcs, Application in Design and Testing of Switchgear. Report 13-111, CIGRE (1994).
  36. Vasilievici A., Aparate electrice. Inst. Polit. "Traian Vuia" Timișoara, 1985.
  37. Zahrai S., Simonin O., Etude de la structure d'un arc électrique à fort courant dans le SF<sub>6</sub>. Collection de notes internes de la DER, EDF (1993).
  - 38.\* \* \* Applications of Black Box Modelling to Circuit Breakers. Final Report CIGRE, EG 13-01 (1992).
  - 39.\* \* \* L'arc électrique et ses applications. Ed. CNRS, Paris, 1984.
  - 40.\* \* \* Le SF<sub>6</sub> technologie universelle en moyenne tension. Catalogue Merlin Gerin VP0371 (1991).
  - 41.\* \* \* Switching Phenomena in High-Voltage Circuit Breakers. Ed. by Kunio Nakanishi, Marcel Dekker Inc. New York-Basel-Hong Kong, 1991.



## Capitolul 3

### TEHNICI MODERNE DE COMUTATIE IN HEXAFLUORURA DE SULF

Progresele înregistrate în tehnica echipamentelor de comutație sunt strict condiționate de descoperirea și utilizarea convenabilă a unor medii electroizolante care, în același timp să posedă și cât mai bune proprietăți de stingere a arcului electric.

În paralel cu întrerupătoarele de putere realizate în tehnici tradiționale (ulei puțin, aer comprimat etc.) firmele specializate au fabricat, în ultimele trei decenii, echipament de comutație bazat pe o tehnică nouă, cea a comutației în hexafluorură de sulf.

În prezent, datorită performanțelor atinse, aceste aparate cunosc o tot mai largă utilizare și tind să înlocuiască tehnica de comutație tradițională.

#### 3.1. Hexafluorura de sulf

Hexafluorura de sulf ( $\text{SF}_6$ ) a fost sintetizată pentru prima dată de francezii H. Moissan și P. Lebeau care, în 1906, au primit Premiul Nobel pentru chimie. În anul 1937, Charlton și Cooper propun utilizarea acestui gaz în construcția echipamentelor electrice. Primele întrerupătoare cu hexafluorură de sulf se construiesc în SUA începând cu anul 1953 și în Europa după 1960, [16], [34].

Hexafluorura de sulf este unul din cele mai grele gaze; datorită masei sale moleculare mari (146 față de 28 și 32 pentru azot, respectiv oxigen, [29]) densitatea sa, în condiții normale de



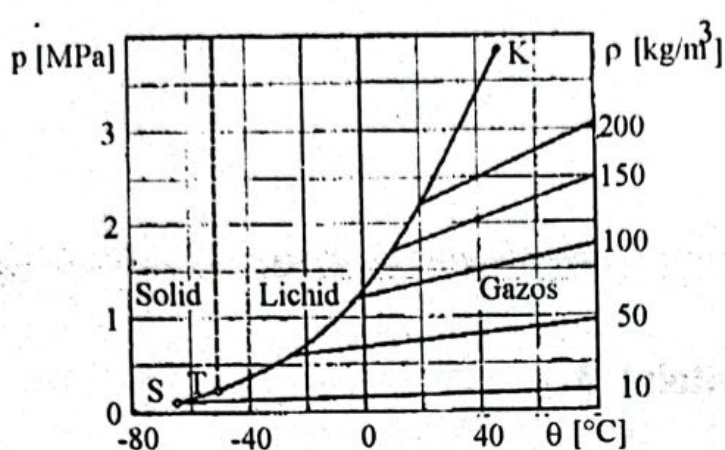


Fig.3.1

Diagrama de stare a hexafluorurii de sulf: K-punct critic; S-punct de sublimare; T-punct de topire.

În vedere curba de lichefiere a gazului, dată în Fig.3.1, [18]. Pentru prevenirea lichefierii, în construcția echipamentelor de exterior, care funcționează la temperaturi joase cu hexafluorură de sulf la presiuni relativ ridicate, se prevăd dispozitive suplimentare de încălzire. În construcțiile foarte recente, pericolul lichefierii este înlăturat prin utilizarea hexafluorurii de sulf în amestec cu azot, [23].

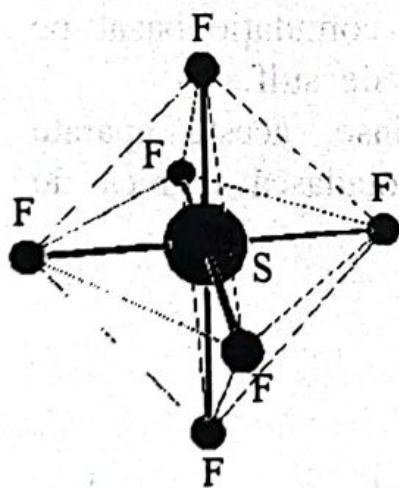


Fig.3.2

Structura moleculei de hexafluorură de sulf

unor metale și aliaje ca Al, Mg, Ag, Ni, Cu, Pb, bronz fosforos, fiind interzis însă contactul cu compuși care conțin siliciu.

Majoritatea metalelor și aliajelor folosite în construcțiile electrotehnice funcționează deci în bune condiții în hexafluorură de

presiune și temperatură, este de  $6,319 \text{ kg/m}^3$ , de aproape cinci ori mai mare decât cea corespunzătoare aerului. Este incolor, inodor și, până la o anumită concentrație în aer, netoxic. Raportate la valorile pentru aer, căldura specifică volumică este de 3,7 ori mai mare, iar conductivitatea sonică de circa trei ori mai mică.

În alegerea presiunii de lucru trebuie avută în

Structura moleculei de hexafluorură de sulf este octaedrică, Fig.3.2, având în centru un atom de sulf S, cele șase vârfuri fiind ocupate fiecare de câte un atom de fluor, F. Legăturile dintre atomii de sulf și fluor sunt covalente, fapt care conferă moleculei acestui gaz un înalt grad de stabilitate. Descompunerea gazului  $\text{SF}_6$  se produce la temperaturi care depășesc  $500^\circ\text{C}$  [34], fiind necesară alegerea judicioasă a materialelor cu care acesta vine în contact; gazul  $\text{SF}_6$  se comportă bine în prezența

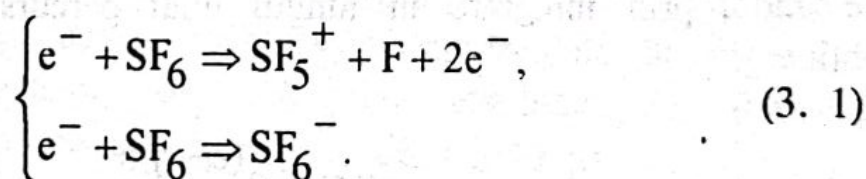


sulf; fac excepție compușii care conțin siliciu și materialele electroizolante pe bază de hidrogen, în locul acestora din urmă utilizându-se teflonul.

Sub acțiunea descărcărilor electrice, hexafluorura de sulf suferă o ușoară descompunere, fără alterarea proprietăților fizice și chimice; compușii rezultați sunt fluoruri inferioare, unele toxice, care pot fi însă absorbite în mod eficient de filtre din alumina ( $\text{Al}_2\text{O}_3$ ).

Calitatea unui gaz de a fi electroizolant, deci proprietățile sale dielectrice, se explică prin comportarea moleculelor acestuia la impactul cu electroni liberi, accelerați în câmp electric. Un rol important în amorsarea descărcărilor în gaze îl au astfel ionizările prin șoc, în urma cărora se obține multiplicarea numărului purtătorilor de sarcină.

Intr-un volum de gaz  $\text{SF}_6$ , cele mai probabile procese de ionizare produse de electronii liberi accelerați în câmp electric sunt de forma [22]:



Dacă reacția (3.1<sub>1</sub>) este tipică pentru multiplicarea numărului de electroni la descărcarea electrică în orice gaz, reacția (3.1<sub>2</sub>) este proprie gazelor electronegative, dintre care face parte și hexafluorura de sulf.

Molecula gazului  $\text{SF}_6$  are proprietatea de a capta ușor electronii liberi, mai ales când viteza acestora este mică. În urma reacțiilor de forma (3.1<sub>2</sub>) rezultă ioni negativi stabili, care se caracterizează printr-o probabilitate neglijabilă de a produce, la rândul lor, ionizări prin șoc, deoarece mobilitatea lor este foarte redusă (masă mare, parcurs mediu de valoare mică). Astfel, se poate considera că, în urma reacțiilor de forma (3.1<sub>2</sub>), numărul electronilor liberi, capabili să producă ionizări prin ciocniri cu particule neutre, scade. Aceste reacții au loc în hexafluorura de sulf chiar și atunci când câmpul electric exterior lipsește, densitatea



electronilor liberi fiind astfel, în condiții normale, mai mică decât în alte gaze.

Reacția (3.1<sub>1</sub>) se caracterizează prin cifra de ionizare  $\alpha$  (primul coeficient al lui Townsend) definită ca fiind numărul de perechi de purtători de sarcină, generați de un singur electron accelerat în câmp electric, pe unitatea de lungime a drumului parcurs.

Reacția (3.1<sub>2</sub>) este caracterizată prin cifra de captare  $\eta$ , reprezentând numărul purtătorilor de sarcină care se pierd în urma captării unui electron, raportat la unitatea de lungime a drumului.

În aceste condiții, considerând că fiecare electron care parcurge într-un volum de gaz  $\text{SF}_6$  distanța  $dx$  produce  $(\alpha - \eta)dx$  electroni noi, pentru diferența de electroni produsă de un număr  $n$  de electroni accelerați pe drumul  $dx$  rezultă:

$$dn = n(\alpha - \eta)dx, \quad (3. 2)$$

de unde, prin integrare în lungul unui parcurs de lungime  $x$ , se obține:

$$n = n_0 e^{(\alpha - \eta)x}, \quad (3. 3)$$

$n_0$  fiind numărul inițial de electroni.

Relația (3.3) evidențiază că într-un volum de gaz  $\text{SF}_6$  este posibilă creșterea numărului de electroni numai dacă intensitatea câmpului electric are astfel de valori încât  $(\alpha - \eta) > 0$ . Dacă  $(\alpha - \eta) < 0$ , numărul electronilor scade exponențial pe drumul parcurs, fiind captați în întregime de moleculele de gaz  $\text{SF}_6$ ; ionii negativi rezultați ( $\text{SF}_6^-$ ) migrează spre anod, unde se neutralizează.

În Fig.3.3 sunt reprezentate grafic curbele  $\alpha/p_0 = f_1(E/p_0)$  și  $\eta/p_0 = f_2(E/p_0)$ , corespunzătoare aerului respectiv hexafluorurii de sulf,  $p_0$  fiind o valoare de referință pentru presiune. Potrivit acestora, valorile critice ale intensității câmpului electric raportate la presiunea gazului sunt de 27 V/m.Pa pentru aer, respectiv de 89 V/m.Pa pentru hexafluorură de sulf, descărcarea în aceste gaze fiind posibilă la depășirea valorilor precizate.



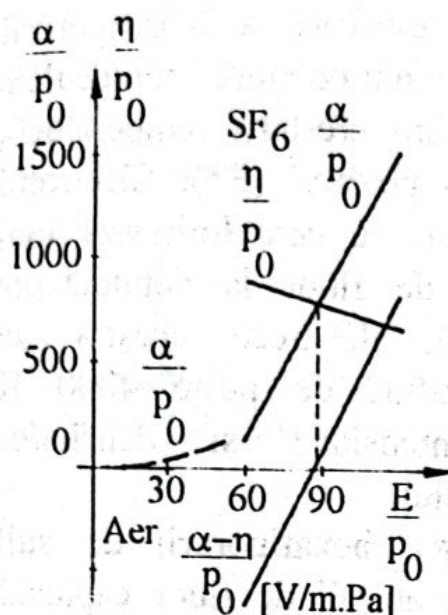


Fig.3.3

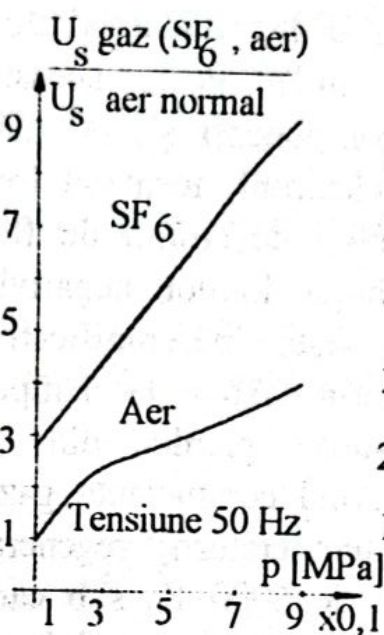


Fig.3.4

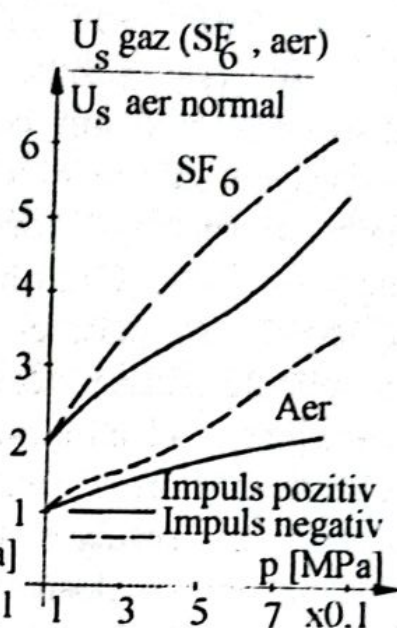


Fig.3.5

Proprietățile dielectrice excepționale ale gazului rezultă și prin compararea curbelor care reprezintă dependența tensiunii de străpungere  $U_s$ , corespunzătoare unor spații disruptive considerate în aer și în gaz  $\text{SF}_6$ ; aceste curbe sunt reprezentate în Fig.3.4 și Fig.3.5, pentru cazurile solicitării cu tensiune de frecvență industrială, respectiv cu impuls normal de  $1,2/50 \mu\text{s}$ .

Tensiunile de străpungere de valori mari care caracterizează hexafluorura de sulf conduc la posibilitatea diminuării apreciabile a distanțelor de izolație, comparativ cu cele întâlnite la echipamentele cu izolație în aer, cu atât mai mult cu cât gazul electroizolant se utilizează la presiuni mai mari decât cea atmosferică. În construcția echipamentelor cu gaz  $\text{SF}_6$  se obțin astfel reduceri importante ale dimensiunilor de gabarit, cu toate avantajele aferente.

Electronegativitatea unui gaz se definește ca diferență a energiilor unei molecule neutre și a unui ion negativ. Hexafluorura de sulf are proprietăți electronegative foarte pronunțate (3,36 eV, față de numai 0,44 eV la oxigen de exemplu) și datorită lor moleculele neutre fixează cu ușurință electronii liberi, formând ioni negativi foarte stabili. În aceste condiții, densitatea electronilor liberi este mult mai mică decât în alte gaze, fapt ce explică proprietățile electroizolante excepționale ale hexafluorurii de sulf. Caracterul electronegativ al gazului se manifestă până la temperaturi înalte.



Astfel, sub 2100 K conductivitatea electrică a hexafluorurii de sulf este practic nulă. Peste această temperatură moleculele disociază în atomii componenți și, pe măsura creșterii temperaturii, atomii de sulf pierd electroni, formând ioni pozitivi ( $S^+$ ). Electronii eliberați sunt însă captați de atomii de fluor, cu care formează ioni negativi ( $F^-$ ). Contribuția ionilor negativi de fluor la conductanța electrică a plamei este nesemnificativă, deoarece aceștia au mobilitate foarte redusă. Abia la temperaturi de peste 4000 K caracterul electronegativ pierde din intensitate și densitatea electronilor crește, măbind conductanța gazului.

La scăderea temperaturii, regenerarea hexafluorurii de sulf începe de la valoarea de 6000 K, sub care atomii de fluor captează electronii liberi, formând ioni negativi care sunt de 185 ori mai lenți; cu fiecare electron astfel captat, conductanța plamei scade practic de 185 ori. Între 6000...3000 K toți electronii liberi sunt captați, rămânând ca purtători de sarcină doar ionii ( $S^+$ ), ( $F^-$ ), grei și cu mobilitate foarte redusă; ca urmare, conductanța coloanei arcului electric scade brusc.

Un mediu electroizolant posedă bune proprietăți pentru stingerea arcului electric dacă, la trecerea prin zero a intensității curentului, coloana arcului se caracterizează printr-o conductanță electrică având valori cât mai mici și cât mai rapid descrescătoare în timp. Potrivit relațiilor (1.31), (1.33), îndeplinirea acestor condiții presupune valori oricât de mici pentru constanta de timp  $T_a$  arcului electric. În acest scop, ținând seama și de relațiile (1.36), (1.37), este necesar ca diametrul coloanei arcului electric de deconectare să fie cât mai redus, iar difuzivitatea  $a_\theta$ , corespunzătoare gazului care constituie mediul de stingere, să aibă valori mari.

Deoarece conductivitatea termică  $\lambda$  și căldura specifică  $c$  variază aproape după aceeași lege cu temperatura  $T$  a gazului, difuzivitatea  $a_\theta$  are valori slab dependente de temperatură; atât pentru aer cât și pentru hexafluorura de sulf, rezultă  $a_\theta = 7 \cdot 10^{-3} \text{ m}^2/\text{s}$ , [22].

Astfel, valorile constantei de timp  $T_a$  a arcului electric, date de relația (1.36), se obțin practic proporționale cu suprafața secțiunii transversale a arcului electric, considerată circulară de rază  $r_0$  în



zona centrală a coloanei, caracterizată prin conductivitate electrică de valori mari. Conform modelului cilindric al arcului, [14], [22], coloana acestuia se consideră constituită din două zone cilindrice coaxiale, una de rază  $r_0$ , în care există conducție electrică și termică, iar cea de a doua de rază  $R > r_0$ , caracterizată numai prin procese de conducție termică.

Căldura degajată în zona centrală a coloanei se transmite prin conducție, pe direcție radială  $r$  spre exterior, fenomen descris de legea lui Fourier:

$$q = -\lambda \frac{dT}{dr}, \quad (3.4)$$

unde  $\lambda$  este conductivitatea termică a plamei, iar  $T$ -temperatura acesteia.

Comparând sub raportul transmisiei termice două gaze diferite, se ajunge la concluzia că, la aceeași densitate a fluxului termic, gazul cu conductivitate termică mai mică se caracterizează printr-un gradient radial de temperatură de valori mari, deci printr-o rază redusă a suprafeței transversale a coloanei arcului electric.

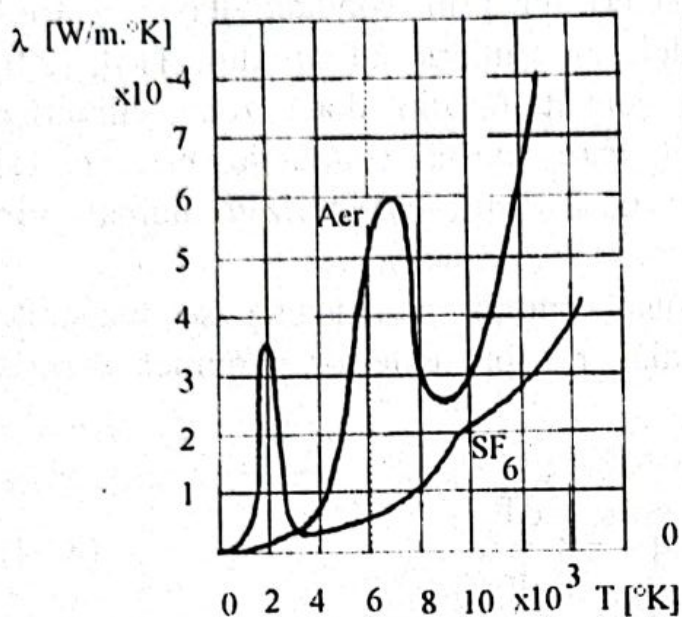
Intr-adevăr, dacă se compară din acest punct de vedere aerul atmosferic cu hexafluorura de sulf, considerând constantă densitatea  $q$  a fluxului termic de transmisie, rezultă:

$$\left[ \lambda \frac{dT}{dr} \right]_{\text{aer}} = \left[ \lambda \frac{dT}{dr} \right]_{\text{SF}_6} = \text{const.} \quad (3.5)$$

În Fig.3.6 este reprezentată dependența în raport cu temperatura a conductivității termice în hexafluorură de sulf, respectiv în azot, element preponderent al aerului, [14].

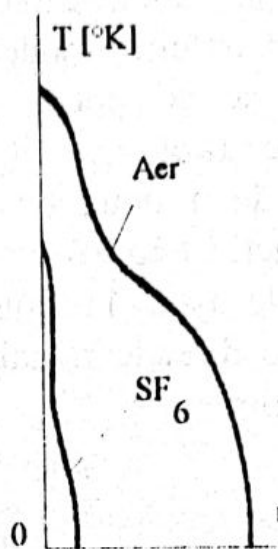
Căldura degajată în nucleul coloanei arcului se transmite prin conducție pe direcție radială, spre exterior. Potrivit relației (3.5), căderea de temperatură pe direcția de transmisie a căldurii este cu atât mai mare cu cât conductivitatea termică are valori mai mici. Așa se face că în hexafluorura de sulf temperatura scade





**Fig.3.6**

Conductivitatea termică



**Fig.3.7**

Temperatura arcului

rapid după direcția r a razei coloanei arcului, pe când în aer această scădere este lentă, cum se arată în Fig.3.7.

Valorile de maximum ale curbelor  $\lambda(T)$  corespund unor fenomene de disociere în

atomi a moleculelor de gaz; temperatura de disociere are valorile de 2100 K în hexafluorură de sulf și circa 7000 K în aer. Atomii rezultați în urma disocierii, produse în zona axială a nucleului, difuzează către periferia acestuia unde, la temperaturi mai mici, se recombina formând molecule.

În aer, Fig.3.7, temperatura de disociere este mai mare decât cea de ionizare, astfel încât particulele neutre care ajung în stratul superficial sunt supuse fenomenului de ionizare termică și prin șoc. În prezența purtătorilor de sarcină astfel rezultați, coloana arcului electric are o bună conductivitate chiar la distanțe mari de axă, în stratul superficial.

În hexafluorură de sulf conducția electrică încetează practic la temperaturi sub 2100 K, deci la distanțe mici de axa coloanei arcului; stratul superficial este electroizolant.

Capacitatea de întrerupere a unui mediu de stingere este dată de evoluția conductanței arcului electric în vecinătatea momentelor anulării intensității curentului; mediului ideal îi corespunde o trecere bruscă a conductanței de la valori ridicate (mediu conductor, plasmă) la valoarea zero (mediu electroizolant).

La scăderea intensității curentului, temperatura nucleului scade și, în hexafluorură de sulf, electronii sunt captați datorită caracterului electronegativ al gazului. În momentul anulării

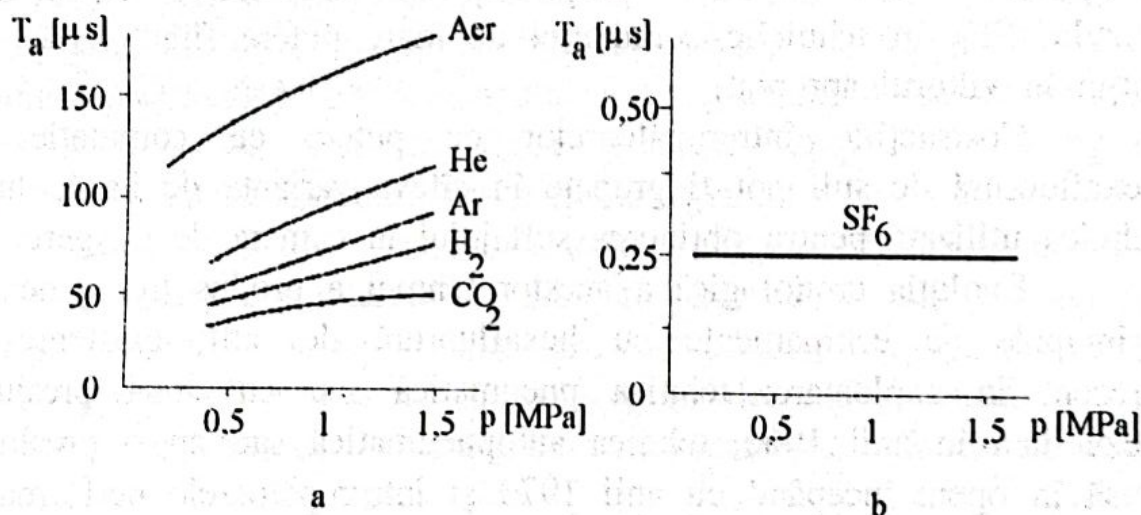


intensității curentului, nucleul practic dispare și gazul devine electroizolant

În cazul arcului electric amorsat în aer, chiar dacă nucleul dispare la trecerea prin zero a intensității curentului, stratul superficial rămâne în continuare ionizat.

Deoarece răcirea volumului mare de gaz cu temperatură ridicată se face lent, viteza de refacere a rigidității dielectrice este relativ mică, stingerea definitivă a arcului electric obținându-se astfel mai greu.

În aceste condiții, la valori momentane mici ale intensității curentului, valorile măsurate ale constantei de timp a arcului electric variază în jurul a  $100 \mu s$  în aer și  $0,25 \mu s$  în hexafluorură de sulf, fapt ce-i conferă acestui gaz o capacitate de stingere mult sporită, [11], [19].



**Fig.3.8**

*Constanta de timp a arcului electric: a-în diferite gaze; b-în  $SF_6$ .*

Dependența în raport cu presiunea a constantei de timp a arcului electric amorsat în diferite gaze (Fig.3.8), evidențiază valorile mici și constante ale acesteia în hexafluorura de sulf, [19]; în celelalte gaze, avantajul creșterii tensiunii de străpungere odată cu presiunea este diminuat de creșterea valorilor constantei de timp, fapt care impune creșterea eficienței mijloacelor de ionizare.

În concluzie, proprietățile excepționale, ca mediu electroizolant și de stingere a arcului electric, ale gazului  $SF_6$  pot fi rezumate astfel:



-gaz electroizolant de mare rigiditate dielectrică, înregistrată chiar la presiuni relativ scăzute (0,15...0,4 MPa);

-excelent fluid extingtor, capabil să transporte o mare cantitate de căldură (entalpie de valori mari) care, înainte de trecerea prin zero a intensității curentului, permite răcirea arcului electric prin conducție termică radială pentru ca, în momentul anulării curentului, datorită proprietăților puternic electronegative, să permită refacerea rapidă a rigidității dielectrice a spațiului dintre contacte.

Proprietățile dielectrice și de mediu de stingere a arcului electric care caracterizează hexafluorura de sulf nu se regăsesc reunite la nici un alt fluid cunoscut.

Numeroase cercetări conduc la părerea că, [19], este puțin probabil să fie descoperite alte medii, superioare sau măcar comparabile sub raportul proprietăților menționate, supremația gazului SF<sub>6</sub> în tehnicile comutației de mare putere fiind certă, cel puțin în viitorul apropiat.

Costrucțiile întrerupătoarelor de putere cu comutație în hexafluorură de sulf pot fi grupate în câteva variante de bază, după tehnica utilizată pentru obținerea suflajului în camera de stingere.

Evoluția cronologică a acestor tehnici a produs trei generații principale de echipamente cu hexafluorură de sulf, existente în prezent în exploatare: tehnica pneumatică sau cu două presiuni, dezvoltată în anii 1960, tehnica autopneumatică sau cu o presiune, pusă în operă începând cu anii 1970 și întrerupătoarele performante de înaltă și foarte înaltă tensiune, realizate după anii 1980.

Trebuie subliniat că această etapizare este cu totul schematică, deoarece nu include rezultatele, de multe ori spectaculoase, obținute în realizarea aparatajului de comutație cu hexafluorură de sulf destinat instalațiilor de medie tensiune, cuprinzând o și mai bogată varietate de tehnici (autoexpansiune, suflaj magnetic, tehnici combinate, autocompresie asistată de autoexpansiune etc.) cu tendință de evoluție spre nivele superioare de tensiune. La acestea se adaugă conceperea, proiectarea, construcția și introducerea în exploatare a instalațiilor capsulate cu izolație în hexafluorură de sulf.



### 3.2. Tehnica pneumatică

Pionieratul în dezvoltarea tehnicilor de comutație în hexafluorură de sulf revine firmelor americane. Producția industrială a acestui gaz a început în SUA în anul 1947 și tot aici, în 1953, s-a propus pentru prima dată utilizarea sa în realizarea tehnicii de comutație destinate instalațiilor de mare putere, [30]; în 1959, firma Westinghouse realizează, în tehnică pneumatică, primele întrerupătoare cu hexafluorură de sulf.

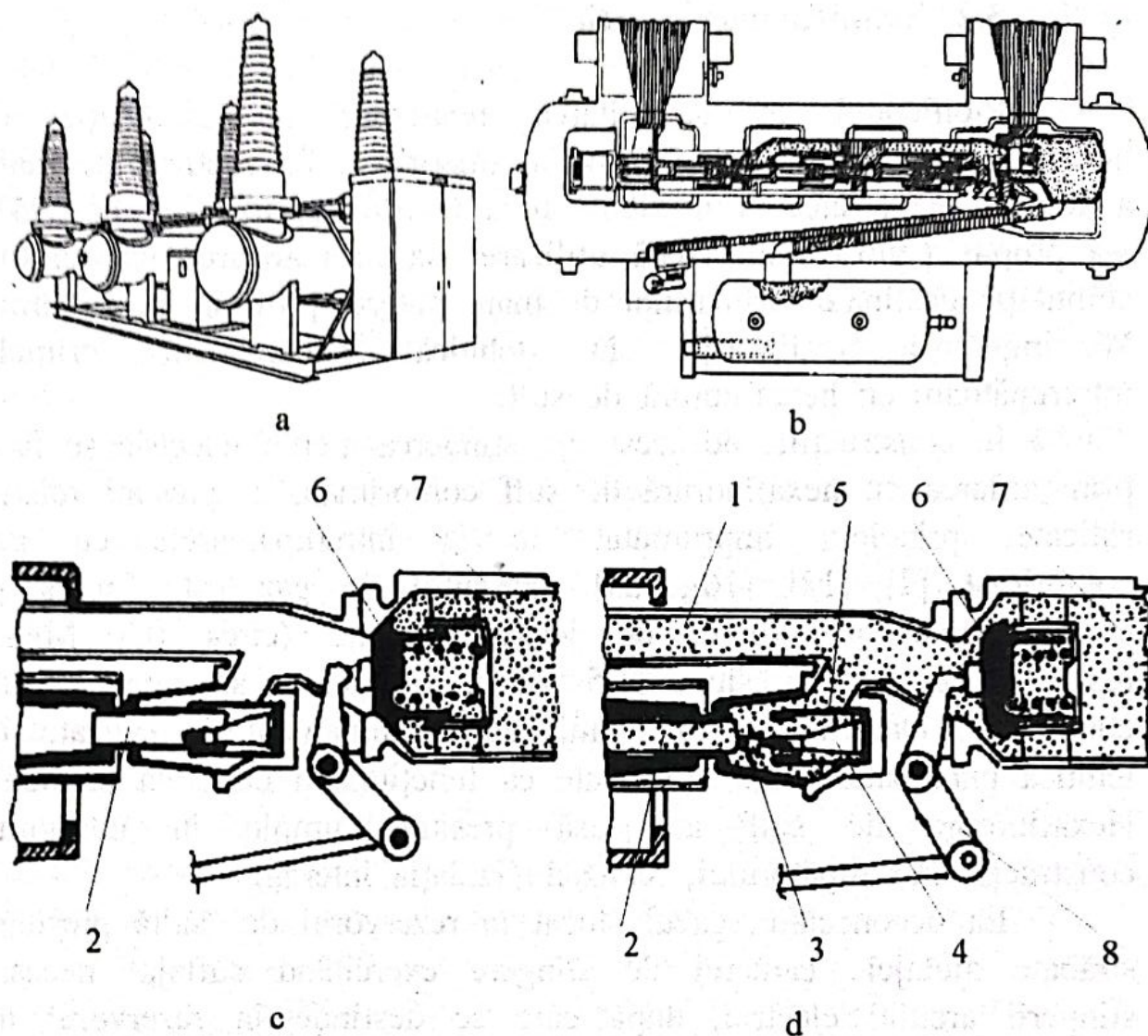
În construcțiile de acest tip, stingerea arcului electric se face prin suflarea cu hexafluorură de sulf comprimată la presiuni relativ ridicate, principiu împrumutat de la întrerupătoarele cu aer comprimat [7], [12], [16], [23]. Circuitul de gaz este închis și conține două rezervoare, de joasă presiune (circa 0,3 MPa), respectiv de înaltă presiune (1,5 MPa), între care este amplasat un compresor. Datorită acestui aranjament, echipamentele realizate în tehnică pneumatică sunt cunoscute ca funcționând cu două presiuni. Hexafluorura de sulf la joasă presiune umple în întregime construcția întrerupătorului, realizând izolația internă.

La deconectare, gazul stocat în rezervorul de înaltă presiune străbate ajutajele camerei de stingere exercitând suflajul necesar stingerii arcului electric, după care se destinde în rezervorul de joasă presiune. Presiunea în rezervorul de înaltă presiune este refăcută prin intrarea în funcțiune a compresorului de hexafluorură de sulf.

Construcțiile de acest tip, ca de altfel și cele din generațiile următoare, sunt realizate în două variante, cunoscute în literatură sub denumirile de dead-tank, respectiv live-tank, diferite prin modul de realizare a izolației căilor conductoare față de pământ.

Un întrerupător de tip dead-tank are partea activă a polului închisă într-o cuvă metalică funcționând la potențialul pământului, umplută cu gaz SF<sub>6</sub> la joasă presiune, cu rol de realizare a izolației. Ieșirile la bornele de conexiune cu exteriorul se fac prin izolatoare de trecere pe care, în unele cazuri, sunt amplasate transformatoare de curent. Acest aranjament are multe elemente comune cu cel întâlnit la întrerupătoarele cu ulei mult și la unele variante de întrerupătoare cu aer comprimat.





**Fig.3.9**

*Intrerupător dead-tank în tehnică pneumatică: a-ansamblu; b-secțiune prin pol; c, d-schițe funcționale.*

Pentru exemplificare, în Fig.3.9a,b se prezintă schița de ansamblu și secțiunea transversală printr-un întrerupător dead-tank realizat de Westinghouse Electric Corporation-SUA, destinat instalațiilor de 220 kV; cu trei locuri de întrerupere pe pol (Fig.3.9b), aparatul poate deconecta curenți de scurtcircuit de până la 40 kA, [11], [30].

Construcția unei camere de stingere este reprezentată detaliat în Fig.3.9c,d.

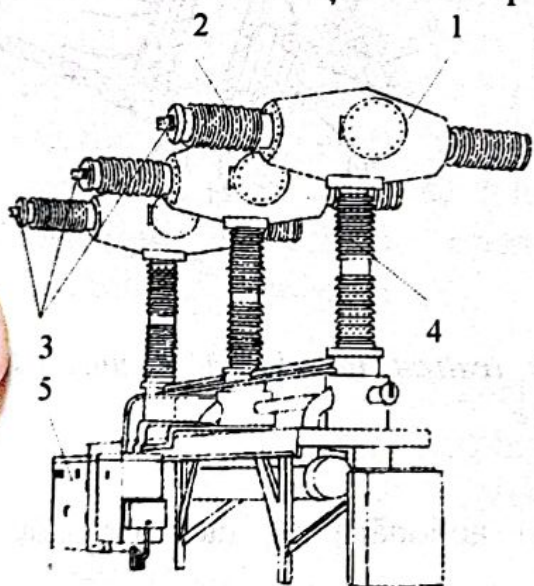
Indiferent de starea închisă sau deschisă a contactelor întrerupătorului, Fig.3.9c, supapa 6 este închisă astfel încât, în aval de aceasta, gazul se află la joasă presiune.



La deconectare, Fig.3.9d, contactul mobil tubular 2 părăsește contactul fix de lucru 5 și extremitatea arcului electric 3 este imediat preluată de contactul fix de rupere 4. În acest moment, prin transmisia electroizolantă 8, se comandă deschiderea supapei 6 și, pe o durată foarte scurtă, hexafluorura de sulf aflată la înaltă presiune în compartimentul 7, este admisă în zona contactelor. Se obține astfel un suflaj longitudinal unilateral intens, care produce stingerea arcului electric. Prin conducta electroizolantă 1, gazul sub presiune este dirijat spre următoarea cameră de stingere modul.

Hexafluorura de sulf utilizată pentru exercitarea suflajului este apoi filtrată cu ajutorul unor elemente active din alumina și recomprimată la valoarea presiunii înalte de funcționare a întrerupătorului.

În construcțiile de tip live-tank izolația față de pământ se obține cu o coloană electroizolantă din porțelan, care susține camera de stingere. Se exemplifică tehnica pneumatică prin întrerupătoarele de înaltă tensiune tip SFA (Westinghouse Electric Corporation-SUA), având intensitatea curentului nominal de 2000 A și capacitatea nominală de rupere la scurtcircuit de 63 kA.



**Fig.3.10**

*Întrerupător live-tank în tehnică pneumatică*

Construcția întrerupătorului, corespunzătoare unei tensiuni nominale de 362 kV, este prezentată în Fig.3.10. Notățiile utilizate au următoarele semnificații:

1-cameră de stingere modul, 2-izolator de trecere, 3-borne de conexiuni, 4-izolator suport, 5-compresor de hexafluorură de sulf, 6-rezervor cu gaz  $SF_6$  la presiune înaltă.

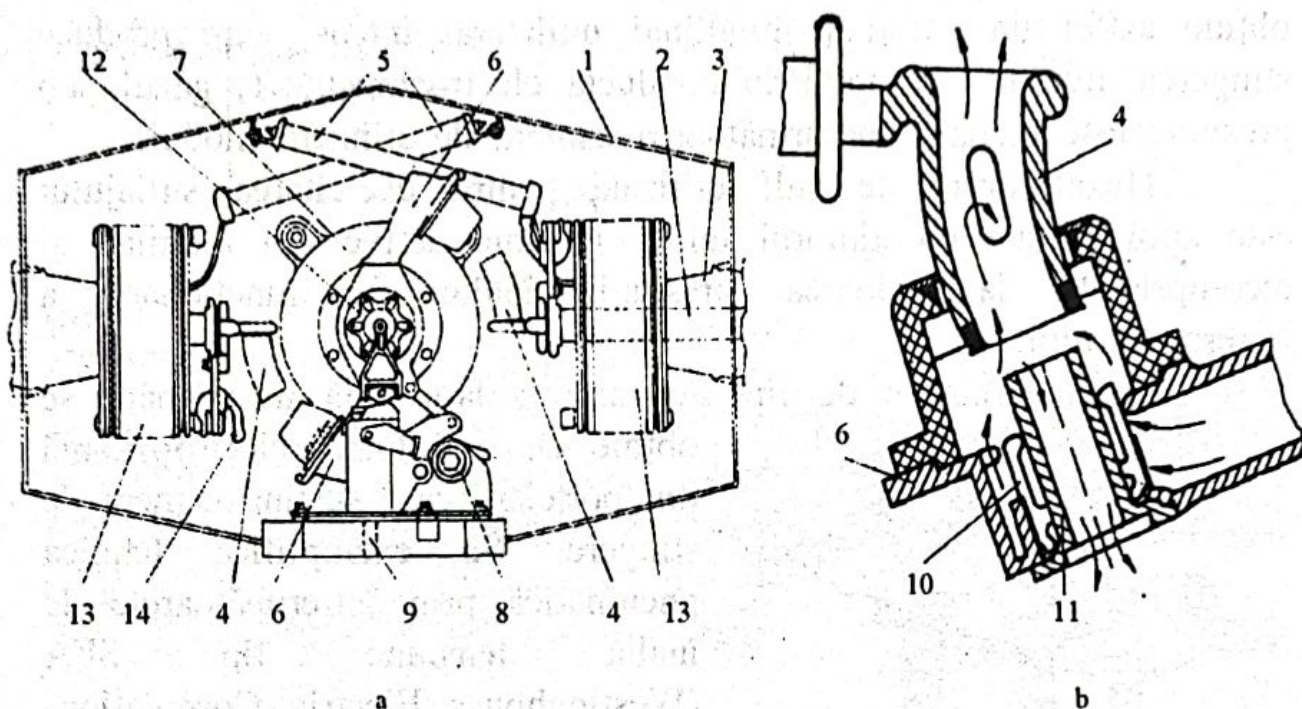
Camera de stingere modul, Fig.3.11a, este constituită din incinta metalică 1, în care este amplasată întreaga construcție, funcționând în hexafluorură de sulf la presiunea  $p_2$ , de 0,4 MPa.

Calea de curent conține tijele 2 ale izolatoarelor de trecere 3, terminate la exterior cu bornele de conexiuni, iar în interior cu



contactele fixe tubulare 4. Tensiunile pe cele două locuri de întrerupere înseriate pe pol sunt uniformizate cu ajutorul condensatoarelor 5, conectate fiecare în paralel cu câte un contact.

Acționarea întrerupătorului se obține pe seama energiei acumulate în bara de torsiune 8, mișcarea fiind transmisă la



**Fig.3.11**

*Partea activă a unui întrerupător live tank realizat în tehnică pneumatică: a-camera de stingere; b-sistemul de contacte.*

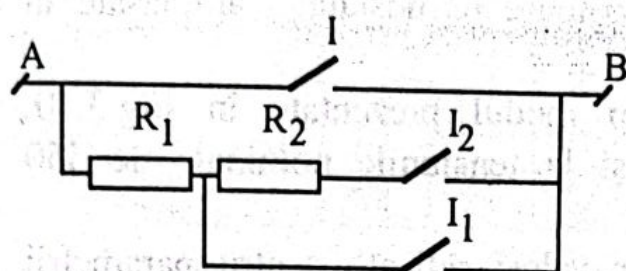
contactele mobile rotative 6. Comanda acționării se face pe cale mecanică, prin intermediul tijei 9.

În poziția închis, contactele de lucru (Fig.3.11b) se stabilesc între suprafața exterioară a piesei tubulare 4 a contactului fix și degetele de contact 10, dispuse pe circumferința piesei tubulare 11 a contactului mobil.

Pentru deconectare se comandă acționarea contactului mobil 6, care execută o mișcare de rotație de circa  $40^\circ$ , simultan cu care se deschide valva 12 (Fig.3.11a), prin care se face admisia hexafluorurii de sulf din rezervorul de înaltă presiune 7, în incinta 1. După separarea contactelor 4, 10, stingerea arcului electric de deconectare se obține sub acțiunea suflajului intens cu hexafluorură de sulf (Fig.3.11b), care se destinde de la presiunea  $p_1$ , de 1,7



MPa (existentă în rezervorul auxiliar 7, Fig.3.11a), la presiunea  $p_2$ . Extremitățile arcului electric se sprijină pe suprafețele interioare ale pieselor tubulare de contact 4, 11, suprafața contactului de lucru fiind astfel protejată la electroeroziune.

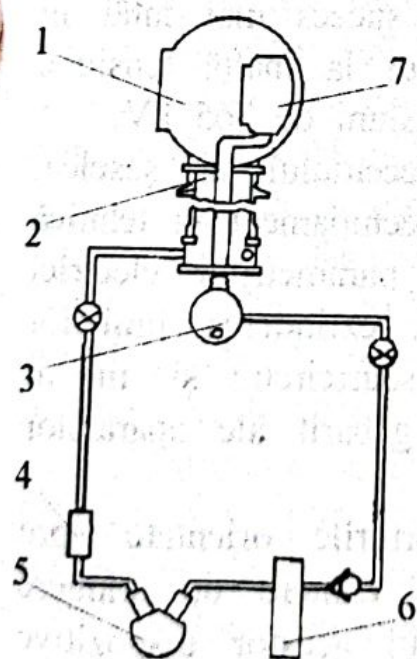


**Fig.3.12**

*Rezistențe de șuntare*

Ca și în cazul întrerupătoarelor cu aer comprimat, limitarea supratensiunilor de comutație este posibilă prin utilizarea unor rezistoare liniare de șuntare a contactelor principale, [11]; schema electrică de principiu este dată în Fig.3.12.

La deconectare, se deschid mai întâi contactele principale I de pe calea de curent A-B a polului, urmate în ordine de contactele auxiliare  $I_1$ ,  $I_2$ ; în acest fel, rezistența introdusă în circuitul deconectat crește secvențial la valorile  $R_1$ ,  $(R_1+R_2)$ , după care are loc întreruperea completă a circuitului. Acest mod de funcționare conferă tensiunii tranzitorii de restabilire un caracter aperiodic, cu valori relativ scăzute ale factorului de oscilație.



**Fig.3.13**

*Circuitul principal de gaz*

Rezistoarele de șuntare și contactele auxiliare sunt amplasate în camera de stingere (Fig.3.12a) corespunzător reperelor 13, 14.

Circuitul principal de gaz  $\text{SF}_6$ , închis și funcționând la cele două presiuni, este reprezentat în Fig.3.13. Gazul la presiunea joasă asigură izolația atât în camera de stingere modul 1, cât și în coloana suport electroizolantă 2; hexafluorura de sulf la presiune înaltă este stocată în rezervoarele principal 3 și auxiliar 7. După funcționarea întrerupătorului, presiunea în rezervoare este readusă la valoarea nominală prin intrarea în funcțiune a compresorului 5. Pentru reținerea fluorurilor rezultate din



descompunerea gazului  $\text{SF}_6$  sunt prevăzute filtrele 4 (de joasă presiune) și 6 (de înaltă presiune), ambele realizate din alumina ( $\text{Al}_2\text{O}_3$ ). Lichefierea nedorită a hexafluorurii de sulf la scăderea temperaturii mediului este preîntâmpinată prin punerea în funcțiune a unor elemente de încălzire cu rezistoare termostatare, amplasate în pereții electroizolanți ai rezervorului 3.

Pe baza construcției de tip modul prezentate în Fig.3.10, întrerupătoarele SFA sunt extinse și la tensiunile nominale de 550 și 800 kV, [2].

Deși permite obținerea unor valori ridicate pentru parametrii electrici, tehnica pneumatică sau cu două presiuni are o serie de inconveniente, dintre care se menționează: prezența compresorului necesar recomprimării gazului, riscul unei rate ridicate a pierderilor de gaz, necesitatea unor dispozitive suplimentare de încălzire în construcția echipamentelor de exterior pentru prevenirea lichefierii.

### 3.3. Tehnica autopneumatică

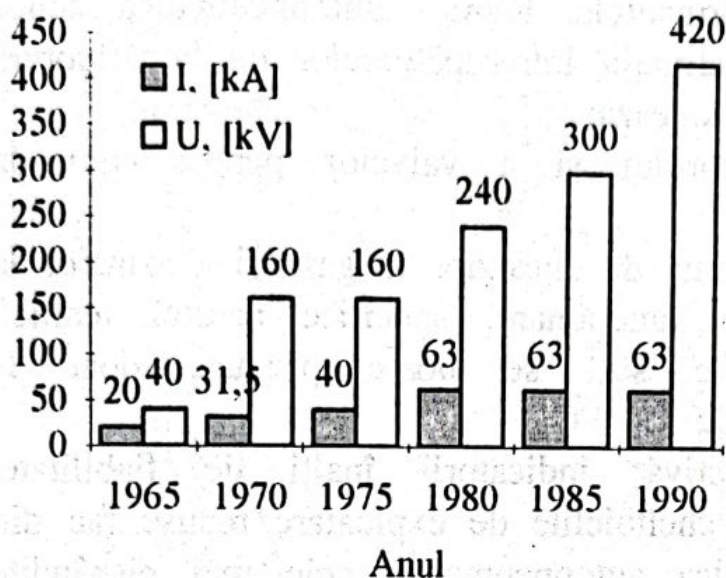
Tehnica suflajului autopneumatic (puffer circuit breakers), preconizată de GEC Alsthom și aplicată cu succes mai întâi în instalațiile de medie tensiune (1958) și apoi la înaltă tensiune (1966) a fost progresiv generalizată până la tensiuni de 765 kV.

Începând cu a doua jumătate a deceniului al șaselea, competiția între marile firme producătoare de echipament în tehnică autopneumatică are drept obiective creșterea parametrilor electrici (valori nominale pentru tensiune și curent), extinderea limitelor superioare ale capacității de deconectare la scurtcircuit și, nu în ultimul rând, micșorarea dimensiunilor de gabarit ale aparatelor produse.

În acest context se înscriu și eforturile orientate spre realizarea unor construcții tipizate, utilizând camere de stingere modul, cu tendința de reducere a numărului acestor dispozitive înseriate pe pol.

Evoluția cronologică a capacității de deconectare la scurtcircuit și a tensiunii pe camera de stingere modul a





**Fig.3.14**

*Evoluția capacității de deconectare și a tensiunii pe camera de stingere modul*

principiul camerei de stingere modul, care permite realizarea unor serii unitare de aparate.

În acest sens [24], se menționează întrerupătoarele tip FX, cu tensiuni nominale de la 72,5 la 800 kV.

Aparatele de 245 kV funcționează cu întrerupere unică pe pol, în timp ce FX 550 și FX 800 kV au numai două sau trei, respectiv trei sau patru camere de stingere modul înseriate pe pol reprezentând, evident, tot atâtea locuri de întrerupere.

Tehnica autopneumatică a fost adoptată de constructori și acceptată de utilizatori deoarece permite obținerea unor performanțe electrice înalte, cum sunt: capacitate de deconectare la scurtcircuit atingând 63 kA, tensiune nominală de până la 800 kV, timp de deconectare de valori mici (circa 40 ms).

Întrerupătoarele de putere realizate în tehnică autopneumatică [7], [14], [16], [20], [23] funcționează cu hexafluorură de sulf la o singură presiune, având valori de 0,5...0,7 MPa.

Suflajul necesar activării stingerii arcului electric se obține la deconectare prin autocompresie, pe durata deplasării echipajului mobil. Aceste întrerupătoare se mai numesc cu autocompresie sau cu o singură presiune (monopresiune).

întrerupătoarelor tip autopneumatic de înaltă tensiune este ilustrată în Fig.3.14, [30].

Datorită perfecționărilor, bazate în special pe cunoașterea și modelarea mai precisă a fenomenelor de comutație [8], [10], [28] și pe experiența acumulată de laboratoarele marilor firme, s-a ajuns la punerea la punct a tehnicii bazate pe



Fără a afecta performanțele, tehnica autopneumatică aduce simplificări notabile în construcția întrerupătoarelor cu hexafluorură de sulf, dintre care se menționează:

- eliminarea compresorului și a valvelor pentru comanda suflajului;

- renunțarea la sistemul de încălzire a gazului deoarece, la presiunile mai scăzute de funcționare, specifice acestei tehnici, lichefierea hexafluorurii de sulf se poate produce doar la temperaturi foarte scăzute, de  $-40^{\circ}\text{C}$ .

Simplitatea constructivă, indicatorii înalți de fiabilitate, mentenabilitatea ridicată și cheltuielile de exploatare reduse fac din aparatele realizate în tehnica autopneumatică cele mai răspândite dintre cele cu comutație în hexafluorură de sulf.

Aparatele autopneumatice de înaltă tensiune cu comutație în hexafluorură de sulf sunt de tip monopolar, realizate obișnuit în variată live-tank (cu camere de stingere izolate față de pământ prin coloane electroizolante).

Pentru domeniul tensiunilor foarte înalte și al capacităților de rupere mari, se fabrică aparate de tip dead-tank, prevăzute cu anvelopă exterioară metalică, funcționând la potențialul pământului. Întrerupătoarele de medie tensiune, fără excepție, sunt realizate în construcție tripolară.

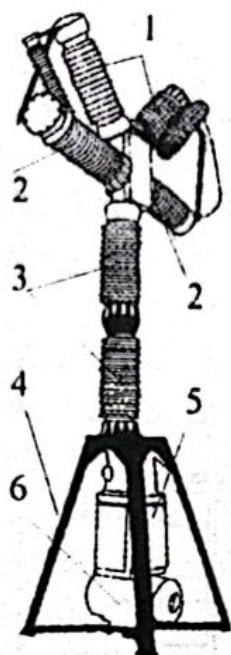
### 3.3.1. Întrerupătoare de înaltă tensiune

Se exemplifică tehnica autopneumatică de înaltă tensiune prin întrerupătorul tip LWE (Westinghouse Electric Corporation, SUA), având parametri nominali 362 kV/2000-2500-3000 A/63 kA; arhitectura unui pol este reprezentată în Fig.3.15, [1], [2].

Construcția este constituită din camerele de stingere modul 1, prevăzute cu rezistoarele de șuntare 2 și din coloana electroizolantă 3; întreaga construcție este amplasată pe șasiul metalic 4, pe care se găsește și dispozitivul pneumatic de acționare 5, prevăzut cu rezervorul 6, de aer comprimat.

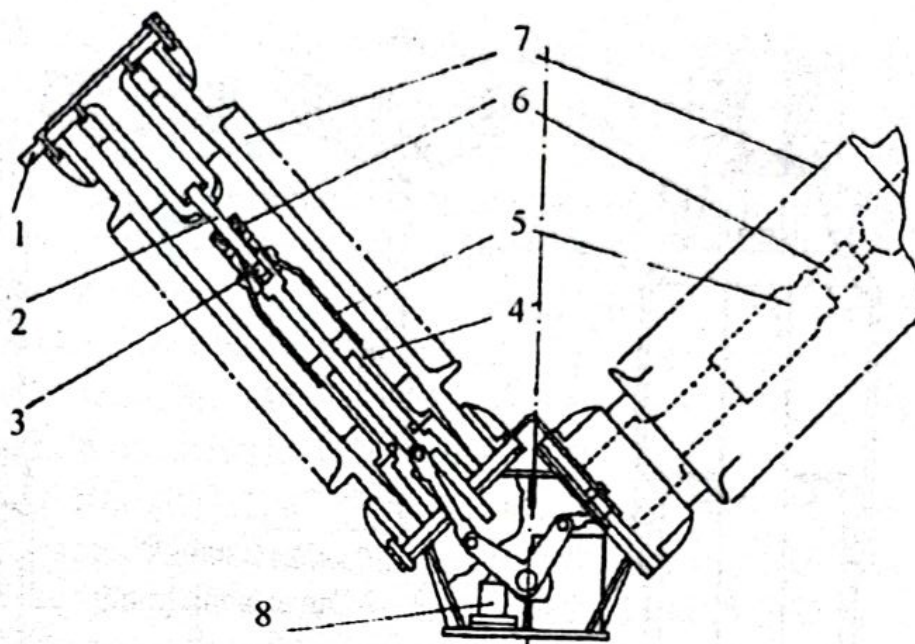
Partea activă a întrerupătorului, formată din camerele de stingere și sistemul de contacte, este reprezentată în Fig.3.16.





**Fig.3.15**

*Înterupător autopneumatic  
LWE (WEC SUA)*



**Fig.3.16**

*Partea activă a polului*

Calea de curent a unui pol conține bornele de conexiuni 1, contactele fixe 2 și contactele mobile 3.

Sistemul autopneumatic este constituit din pistonul fix 4 care acționează în interiorul cilindrului mobil 5, solidar cu contactul mobil 3; cilindrul 5 este prevăzut, în zona contactului, cu ajutorul electroizolant 6.

Construcția este protejată și etanșată în anvelopa de porțelan 7, conținând hexafluorură de sulf la presiunea de 0,5 MPa; la aceeași presiune, gazul se găsește și în coloana electroizolantă 3, Fig.3.15. Transmisia mișcării de la dispozitivul de acționare la contactele mobile se face prin intermediul tijei 8.

Funcționarea camerei de stingere în sistem autopneumatic poate fi urmărită în Fig.3.17. Cu întrerupătorul închis, conducția este asigurată prin contactul electric realizat între piesa 2 a contactului tubular fix și contactul mobil 3. Presiunea gazului, atât în interiorul cât și în exteriorul cilindrului 5, are aceeași valoare.

La deschiderea întrerupătorului, prin deplasarea tijei contactului mobil, contactele 2, 3 se separă și între ele se amorsează arcul electric de deconectare.

Simultan cu contactul mobil 3, fiind solidare cu acesta, se deplasează cilindrul 5 și ajutorul electroizolant 6.



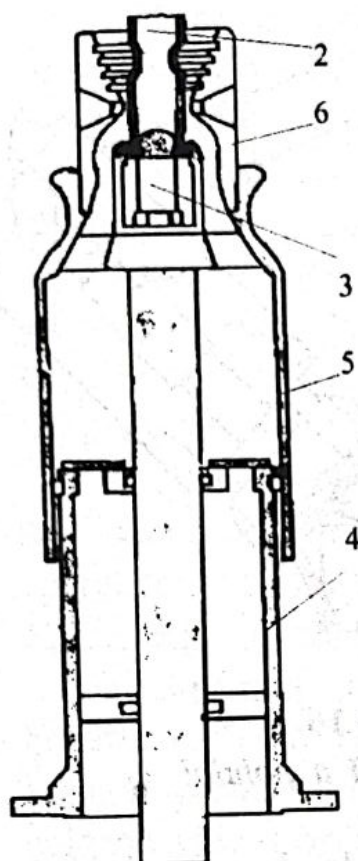


Fig.3.17

Ansamblu cameră de stingere

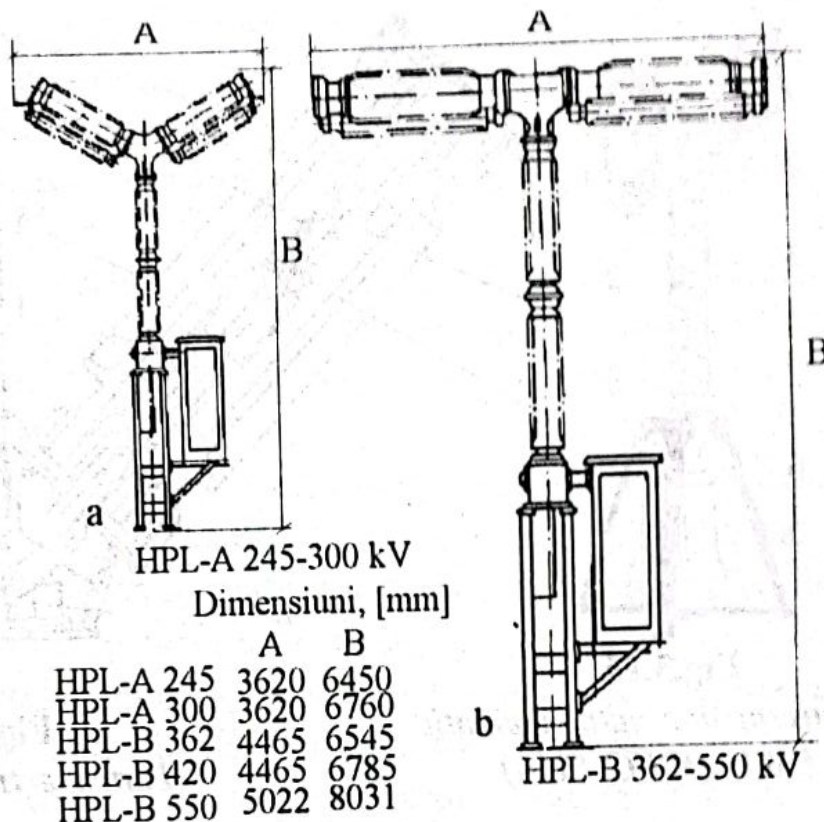


Fig.3.18

Intrerupătoare autopneumatice de fabricație ABB:  
a-HPL-A; b-HPL-B.

Ca urmare, hexafluorura de sulf dintre pistonul fix 4 și cilindrul mobil 5 este comprimată, gazul fiind dirijat prin ajutorul 6, în suflaj asupra coloanei arcului.

În cazul întreruperii curenților de scurtcircuit, suprafața secțiunii transversale a coloanei arcului are valori mari, ocupând aproape integral ajutorul camerei de stingere; acesta este fenomenul de refulare a arcului electric, cunoscut și ca efect de dop sau bușon.

Fenomenul este benefic [32] deoarece, fiind intens la valori instantanee mari ale curentului, permite rezervarea gazului comprimat înainte de momentul anulării intensității curentului când, prin eliberarea ajutorului, se exercită suflajul necesar stingerii arcului.

Același efect conduce la micșorarea energiei arcului deoarece, prin frânarea mecanică a echipajului mobil al întrerupătorului, lungimea maximă, atinsă de coloana arcului în



momentul stingerii definitive, este limitată. În cazul curenților de mică intensitate, efectul de dop este slab încât, la aceeași viteză de deplasare a echipajului mobil, intensitatea suflajului scade. Se înlătură astfel riscul unor întreruperi cu tăiere (smulgere) de curent, soldate cu supratensiuni de comutație de valori mari.

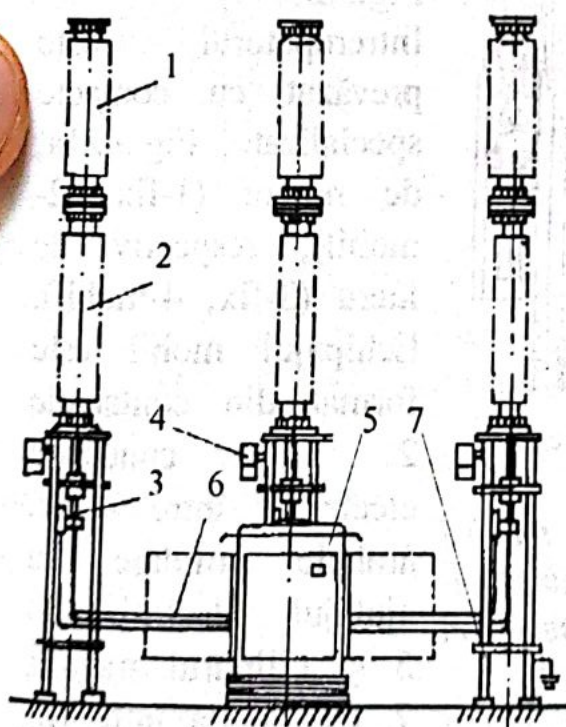
Pistonul fix 4 este prevăzut cu valve, închise pe durata deplasării la deschidere a întrerupătorului, dar care se deschid pe parcursul închiderii acestuia, astfel încât gazul de sub cilindrul mobil 5 să poată fi împrăștiat prin recirculare.

În Europa, ABB [37], [38], [41] fabrică aparate din aceeași categorie, pentru instalații de înaltă tensiune. Se citează seriile tip HPL-A (72,5 ...300 kV, 4000 A/63 kA), HPL-B (245-550 kV, 2500-4000 A/31,5-50 kA), acționate cu mecanism cu resorturi și ELF SP (245...765 kV, 4000 A/63 kA), cu acționare hidromecanică; performanțele acestor aparate se concretizează prin realizarea construcției cu cel mult două camere de stingere modul pe pol, Fig.3.18.

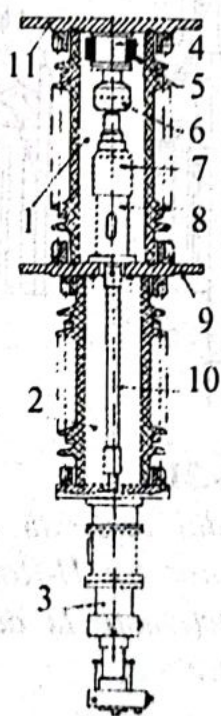
Intrerupătoarele autopneumatice cu hexafluorură de sulf

produse în România sunt cunoscute sub simbolizarea H 07, H 14, H 17, H 42 și se fabrică respectiv pentru gama de tensiuni nominale de 72,5-145-170-420 kV, curent nominal de 2500 (3150) A și capacitate nominală de deconectare la scurtcircuit de maximum 40 kA, [31], [44], [45].

Construcția (Fig.3.19) este constituită din trei



**Fig.3.19**  
*Intrerupător autopneumatic  
tip H (România)*



**Fig.3.20**  
*Construcția  
unui pol*

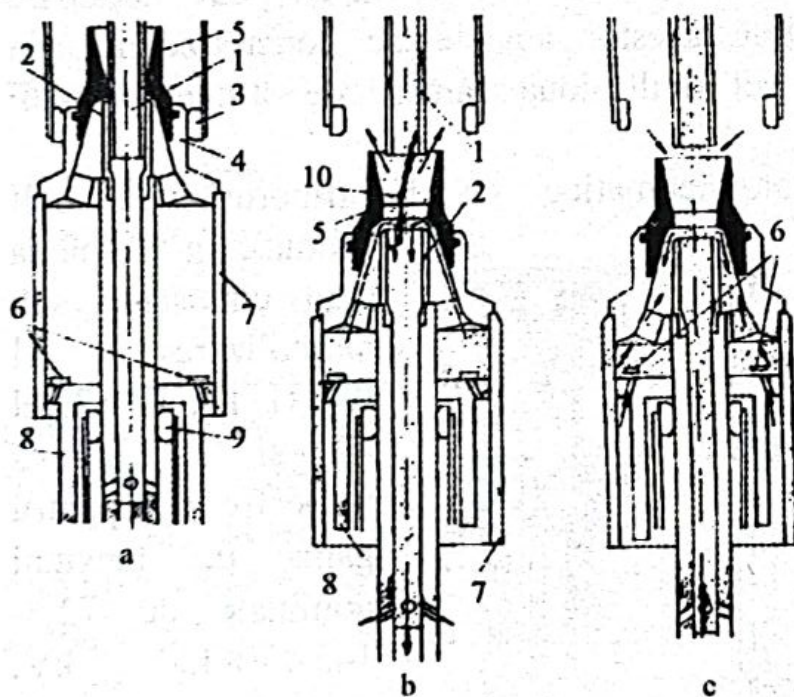


poli monocoloană identici și un mecanism de acționare cu comandă pneumatică sau oleopneumatică.

Fixarea polilor, la baza cărora sunt amplasate presostatele de control 4, se face pe suportii metalici 7. Polii se cuplează cu mecanismul de acționare 5 prin intermediul conductelor de înaltă presiune 6.

Fiecare pol este constituit din camera de stingere 1, coloana izolatorului suport 2, mecanismul întrerupător 3 și tija acestuia care, străbătând coloana 2, transmite mișcarea la contactele mobile.

Detaliile constructive ale unui pol sunt reprezentate în Fig.3.20. Hexafluorura de sulf la presiunea de 0,65 MPa, existentă în anvelopele de porțelan 1, 2, corespunzătoare camerei de stingere și respectiv izolatorului suport, realizează nivelul nominal de izolație internă.



**Fig.3.21**

*Cameră de stingere modul realizată în tehnică autopneumatică (întrerupător tip H-România): a-întrerupător închis; b-funcționare la deconectare; c- funcționare la conectare.*

Componentele camerei de stingere și modul de funcționare [31], sunt prezentate în Fig.3.21.

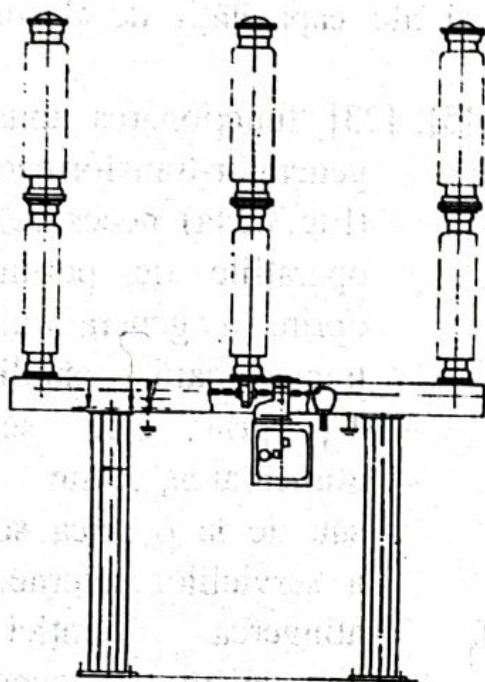
Intrerupătorul este prevăzut cu contacte specializate, Fig.3.21a, de rupere (1-fix, 2-mobil), respectiv de lucru (3-fix, 4-mobil). Echipajul mobil este format din contactele 2, 4, conectate electric între ele, ambele solidare cu ajutorul electroizolant 5 și cilindrul metalic 7. Conducția între tija

contactului mobil și borna fixă de racord se stabilește prin intermediul contactului alunecător 9. La deconectare, Fig.3.21b, echipajul mobil coboară, arcul electric 10 fiind preluat de contactele 1, 2. Hexafluorura de sulf, comprimată între cilindrul mobil 7 și



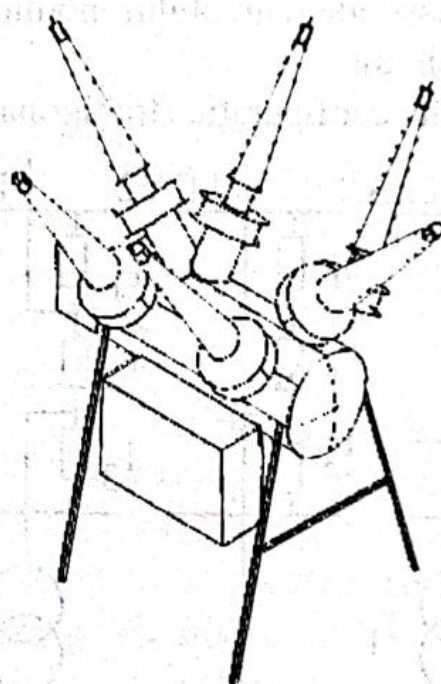
pistonul fix 8 exercită, prin ajutorul 5, un suflaj longitudinal bilateral, orientat după săgețile din desen. Valvele 6 se deschid la închiderea întrerupătorului (Fig.3.21c) și permit recircularea gazului necesar pentru suflaj, conținut în spațiul dintre cilindrul 7 și pistonul 8.

Controlul presiunii se face cu presostatul 4 (Fig.3.19) care are rolul fie de a semnaliza scăderea presiunii, fie de a comanda blocajul general al funcționării sau deschiderea automată a întrerupătorului, dacă presiunea de lucru scade sub o valoare limită.



**Fig.3.22**

*Intrerupător autopneumatic  
live-tank ZWAR (Polonia)*



**Fig.3.23**

*Intrerupător utopneumatic  
dead-tank ABB*

Pe aceleași baze este realizat întrerupătorul de înaltă tensiune tip EDF (Fig. 3.22), de 123 (145) kV/3150 A/31,5 kA, produs al firmei ZWAR-Polonia, [39].

Pentru parametri superiori valorilor de 550 kV/4000 A/63 kA, firma ABB, [42], fabrică întrerupătoare de tip dead-tank (Fig.3.23).

În realizarea acestor aparate s-a avut în vedere satisfacerea cerințelor privind reducerea suprafeței ocupate în instalații, toate fiind testate pentru a suporta solicitări seismice severe. Izolatoarele de trecere, de tip transformator de curent, contribuie la micșorarea



gabaritelor și oferă importante facilități pentru rezolvarea optimizată a instalațiilor de protecție prin releu.

### 3.3.2. Întrerupătoare de generator

Tehnica autopneumatică în hexafluorură de sulf a permis dezvoltarea construcțiilor de întrerupătoare pentru generator care, deși funcționează la medie tensiune, se caracterizează prin valori foarte mari ale curentului nominal și ale capacității de deconectare la scurtcircuit.

În configurație tradițională [5], [23] funcționarea unui bloc

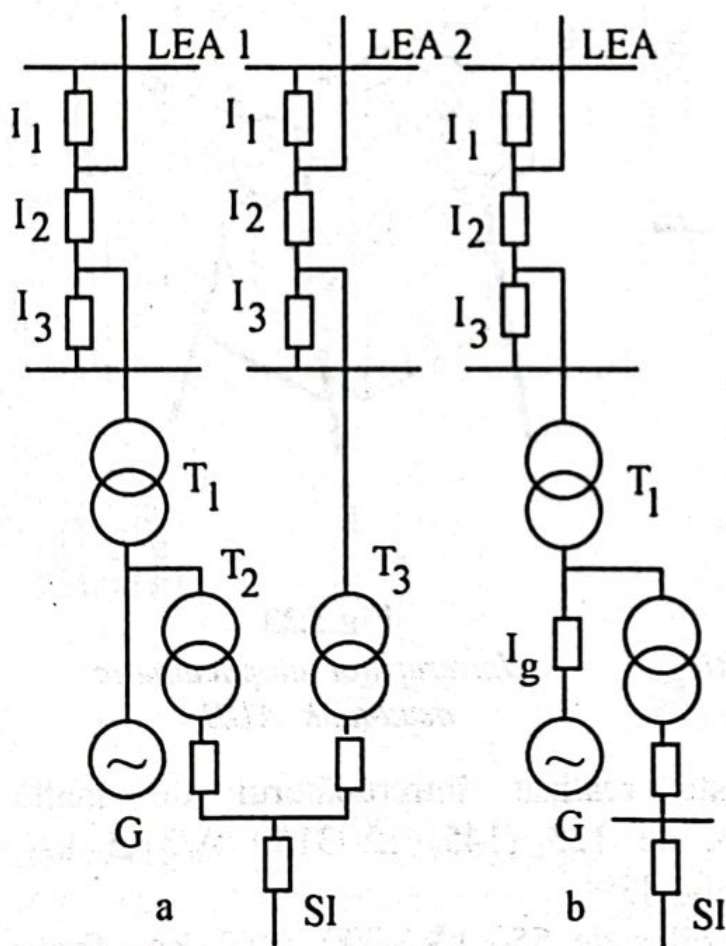


Fig.3.24

*Scheme de conectare la sistem: a-bloc generator-transformator fără întrerupător de generator; b-cu întrerupător de generator.*

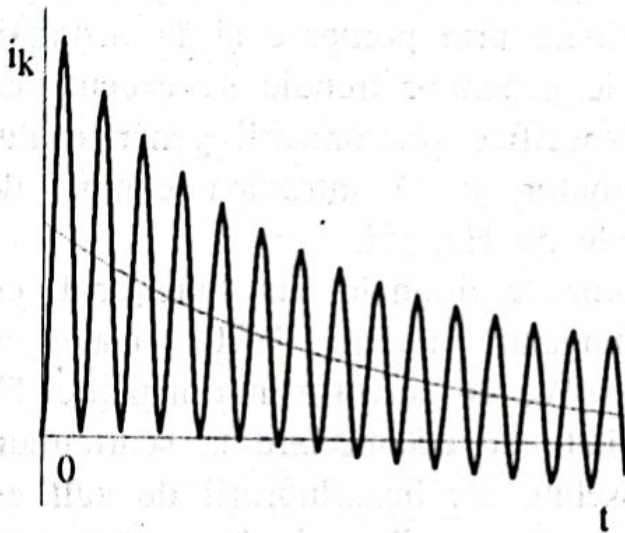
generator-transformator (Fig.3.24a) necesită, pentru operațiile de pornire sau oprire a generatorului, un transformator suplimentar  $T_3$  prin care se face alimentarea, din sistem sau de la o rețea separată, a serviciilor interne. După atingerea turației de sincronism, generatorul este conectat la sistem prin echipamentele de pe partea de înaltă tensiune a transformatorului principal  $T_1$ . Alimentarea stației este apoi trecută de pe transformatorul de pornire  $T_3$ , pe transformatorul de serviciu  $T_2$ .

După cum se indică în Fig.3.24b, încorporarea, între generator și transformatorul  $T_1$  a



întrerupătorului de generator  $I_g$ , permite circulația de putere, la pornirea sau oprirea grupului, direct prin transformatoarele  $T_1, T_2$ .

Utilizarea întrerupătoarelor de generator conduce la simplificarea funcțiilor operative în centrală (aranjament logic și simplu al întrerupătorului în circuitul principal al generatorului, reducerea numărului de manevre pe durata operațiilor de pornire-oprire, definirea clară a responsabilității manevrelor în centrală și în sistemul de înaltă tensiune), îmbunătățirea protecției generatorului și a transformatoarelor  $T_1, T_2$  (Fig.3.24b), creșterea securității și disponibilității centralei.



**Fig.3.25**

*Intârzierea momentului primei anulări a intensității curentului de scurtcircuit*

substanțiale (zeci de semiperioade, Fig.3.25) ale momentului primei anulări a intensității curentului de scurtcircuit [23], [30], produse ca urmare a suprapunerii peste componenta de curent alternativ a unei componente continue de valori mari (dependente, la rândul ei, de raportul  $X/R$  dintre reactanța generatorului și rezistența statorului).

Numai dacă rezerva de stabilitate termică a instalației permite, regimul dificil de deconectare impus întrerupătorului în acest caz poate fi evitat printr-o temporizare adecvată a momentului separării contactelor acestuia. În mod obișnuit se utilizează întrerupătoare de generator caracterizate printr-o creștere rapidă și la valori mari a rezistenței arcului electric, fapt care conduce la

Protecția la scurtcircuit a generatorului este asigurată de întrerupătoare de pe partea de înaltă tensiune a transformatorului principal  $T_1$  sau de întrerupătorul de generator  $I_g$ .

Întreruperea defectelor și dezexcitarea generatorului trebuie să fie oricât de rapide, pentru a se preveni defectările grave ale instalației.

Funcționarea protecției trebuie totuși să țină seama de posibile întârzieri, uneori



micșorarea constantei de timp a circuitului și la forțarea anulării rapide a intensității curentului.

Un întrerupător de generator îndeplinește următoarele funcții:

- operații de comutație în regimuri normale, între generator și sistem;

- operații de comutație la conectarea în paralel, chiar fără îndeplinirea condițiilor de fază;

- întreruperea curenților de scurtcircuit la defecte în zona generatorului;

- întreruperea curenților de scurtcircuit la defecte în sistem.

În hidrocentralele cu acumulare prin pompare și în instalații cu turbine cu gaz, întrerupătorul de generator trebuie să execute de asemenea operațiile de comutație specifice sincronizării generatorului funcționând în regim de electromotor și să întrerupă curenți de scurtcircuit la frecvențe mai mici de 50 Hz, [5].

Întrerupătoarele de generator tradiționale au funcționat cu comutație în aer comprimat ajungând în anii 1970, odată cu introducerea grupurilor de 1200 MW, la curentul nominal de 50 kA, căruia îi corespunde o capacitate de deconectare la scurtcircuit de 275 kA, [5]. Proprietățile deosebite ale hexafluorurii de sulf au impus, în următorul deceniu, acest mediu și în construcția echipamentului de comutație pentru generatoare.

În funcție de tipul centralei și al generatorului, puterea unitară furnizată la tensiuni de 16...24 kV, variază între limitele 600...1650 MW; la aceste puteri, curentul de regim normal care traversează un întrerupător de generator poate avea intensitatea în domeniul 10...50 kA.

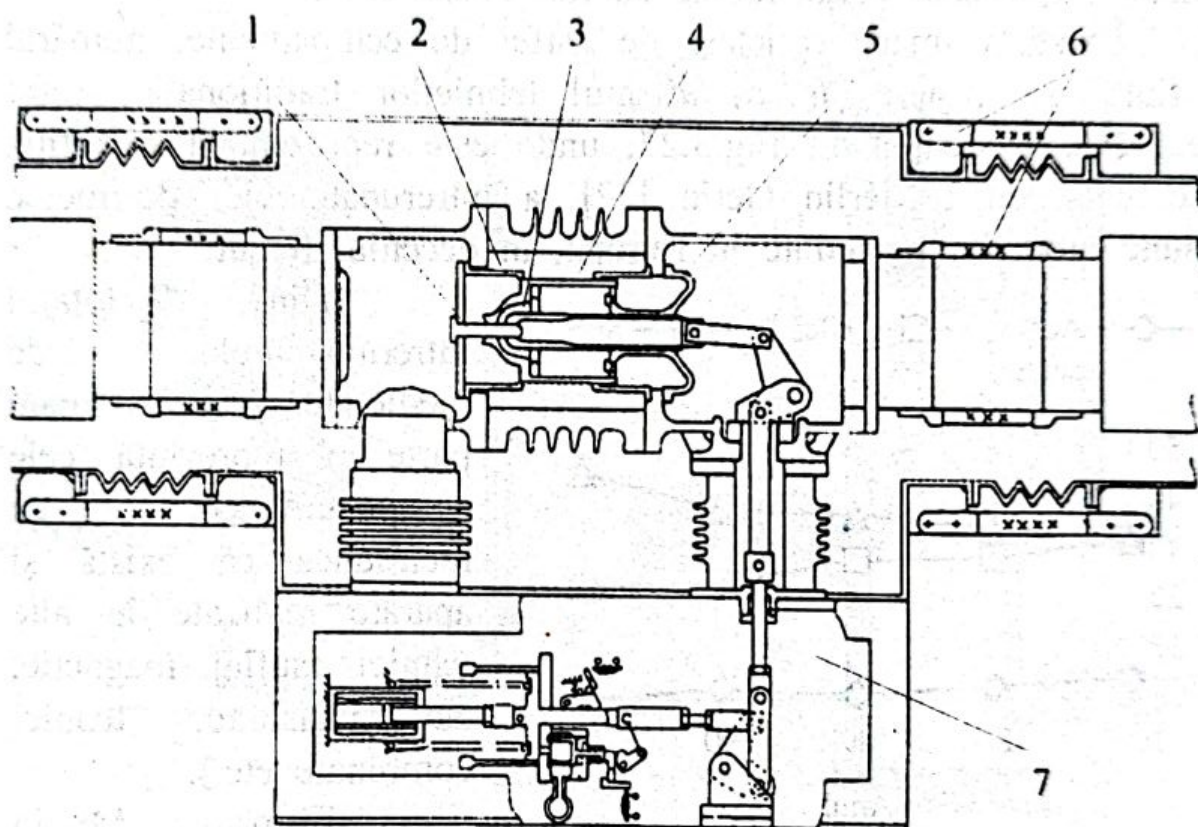
Curenții de scurtcircuit au intensități de ordinul 50...180 kA [23], [30]. Aceste condiții grele de exploatare, în care solicitarea complexă (regimurile termice, electrodinamice, procesele fizice și chimice care afectează starea contactelor și a componentelor camerei de stingere, etc.) este deosebit de intensă, impun soluții constructive speciale.

Asigurarea regimurilor termice nominale pentru căile conductoare necesită mijloace suplimentare de răcire, aceasta făcându-se, la variantele construite, prin convecție forțată.



Regimul de lucru al contactelor, dependent de rezistența de contact, impune valori oricât de mici (microohmi) pentru aceasta, care pot fi obținute doar cu materiale având caracteristici adecvate, din care se confecționează piese de contact cu suprafețe mărite.

Stingerea eficientă a arcului electric traversat de curenți foarte mari presupune, de asemenea, creșterea diametrelor ajutărilor de suflaj.



**Fig.3.26**

*Înterupător de generator (Mitsubishi Japonia): 1-contact fix de rupere; 2-contact fix de lucru; 3-contact mobil; 4-cilindru; 5-piston; 6-conexiuni flexibile; 7-mecanism de acționare.*

În Fig.3.26 se dă un exemplu de înterupător cu autocompresie pentru generator, fabricat de firma Mitsubishi Japonia [23], [30]; acesta este capabil să înterupă un curent de defect de 110 kA și să suporte sarcini de regim normal cu intensități de până la 13 kA doar cu răcire prin convecție naturală și de până la 25 kA cu convecție forțată de aer.



### 3.3.3. Întrerupătoare de medie tensiune

Instalațiile de distribuție de medie tensiune reprezintă de asemenea un domeniu larg de aplicare a tehnicilor de comutație în hexafluorură de sulf; un loc important între acestea îl ocupă tehnica autopneumatică. Spre deosebire de construcțiile de înaltă tensiune, întrerupătoarele de medie tensiune sunt realizate în variantă tripolară, acționarea obținându-se cu mecanism unic.

Există o mare varietate de astfel de echipamente, numărul lor fiind în creștere, în detrimentul tehnicilor tradiționale. Acest aspect este evidențiat în Fig.3.27, unde este reprezentată repartitia procentuală, după Merlin Gerin [32], a întrerupătoarelor de medie tensiune produse și vândute în Europa, în deceniul trecut.

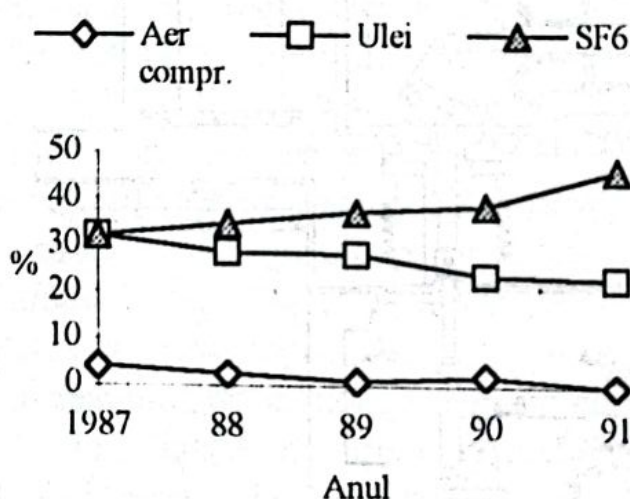


Fig.3.27

*Evoluția întrerupătoarelor de medie tensiune*

Din totalul întrerupătoarelor de medie tensiune, o mare parte o reprezintă cele autopneumatice, cu mențiunea că există și aparate realizate în alte tehnici (sufraj magnetic, autoexpansiune, tehnici combinate etc.).

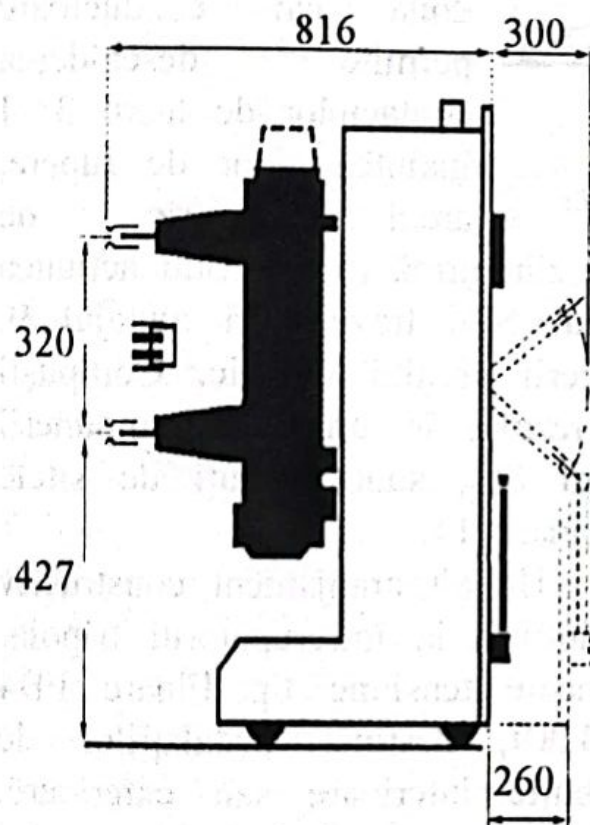
Firma Merlin Gerin a dezvoltat o întreagă gamă de echipamente de medie

tensiune cu comutație în hexafluorură de sulf, un loc important ocupându-l aparatele realizate în tehnica autopneumatică. Dintre acestea fac parte și întrerupătoarele tripolare de interior tip Fluarc FG2, utilizate în principal pentru manevre și protecție în rețele de distribuție publice și industriale cu tensiuni nominale de la 1 la 17,5 kV; aparatele se construiesc în variantă fixă și debroșabilă, cu intensitatea curentului nominal în gama 630...3150 A și capacitatea nominală de deconectare la scurtcircuit de 40...50 kA. Pentru acționare, întrerupătoarelor le sunt asociate dispozitive cu acumulare de energie în resorturi.



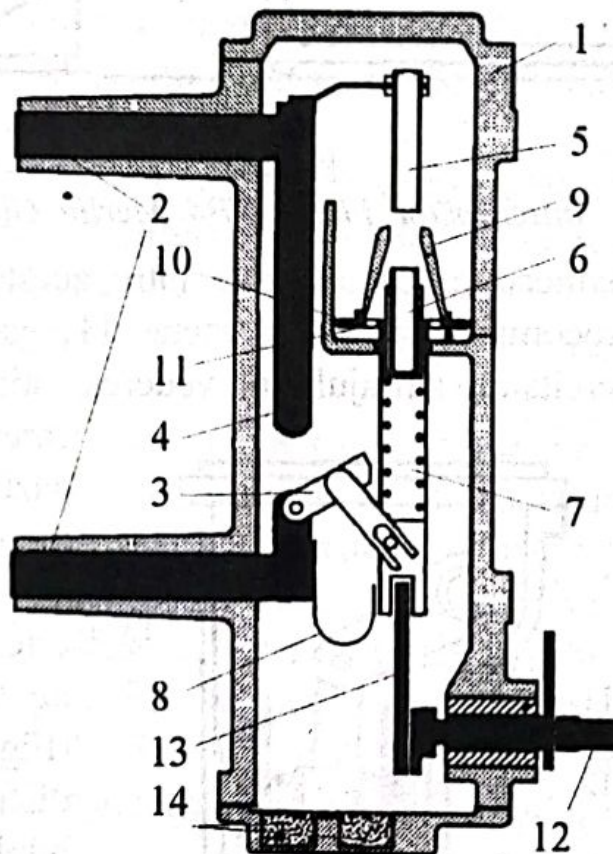
Schița unui aparat tip FG2 debroșabil, cu dimensiunile principale [32], este dată în Fig.3.28.

Construcția camerei de stingere (Fig.3.29) [32], [33], este închisă în anvelopa electroizolantă 1, prevăzută cu capace frontale de etanșare, în care hexafluorura de sulf se găsește la presiuni scăzute, de 0,15...0,25 MPa.



**Fig.3.28**

*Întreprător debroșabil FG2  
Merlin Gerin*



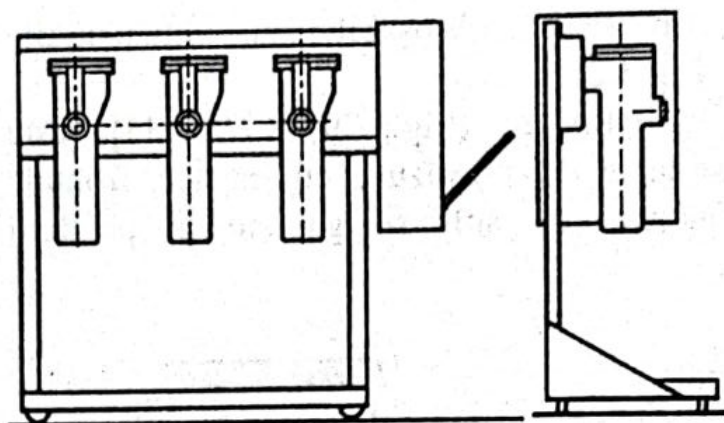
**Fig.3.29**

*Polul întreprătorului FG2  
Merlin Gerin*

Calea principală de curent a polului este constituită din bornele de conexiune 2 și contactele de lucru, 3-mobil și 4-fix. În paralel cu calea principală de curent este conectat traseul de rupere, format din contactele de rupere (5-fix, 6-mobil), tija conductoare 7 și conexiunea flexibilă 8.

Sistemul de suflaj autopneumatic este constituit din ajutorul electroizolant 9, pistonul mobil 10 și camera de compresie 11. La acționare, mișcarea se transmite de la axul motor 12 la echipajul

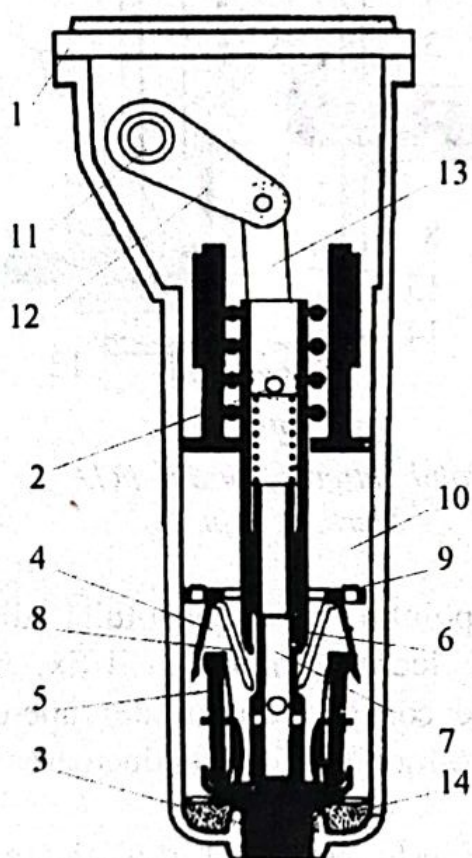




**Fig.3.30**

*Înterupător Fluarc FB4 Merlin Gerin*

deconectare formându-se între acestea din urmă (5, 6). Sub acțiunea autocompresiei din camera 11, gazul  $\text{SF}_6$  traversează ajutorul 9, exercitând suflajul în vederea stingerii arcului electric. Compușii care rezultă în urma descompunerii gazului  $\text{SF}_6$  sunt reținuți de sitele moleculare 14.



**Fig.3.31**

*Secțiune prin pol (FB4, Merlin Gerin)*

mobil (format din reperele 3, 6, 7, 9, 10), prin intermediul pârgheii electroizolante 13.

Corelarea mecanică a lanțurilor cinematice corespunzătoare celor două căi conductoare permite deschiderea contactelor de lucru 3, 4 înaintea celor de rupere, arcul electric de

Un alt aranjament constructiv este întâlnit la înterupătorul tripolar de medie tensiune tip Fluarc FB4 (Fig.3.30), destinat instalațiilor de distribuție interioare sau exterioare, publice respectiv industriale, cu tensiuni nominale de până la 40,5 kV. Se construiește pentru intensități ale curentului nominal în domeniul 400...1250 A și cu capacitate de deconectare la scurtcircuit de 25...31,5 kA.

Partea activă a înterupătorului, reprezentată în Fig.3.31 după [32], funcționează în anvelopa electroizolantă cu etanșare pe viață 1, umplută cu gaz  $\text{SF}_6$  la presiunea de 0,15 MPa. Fiecare pol conține traseul principal conductor,



constituit din bornele de conexiune 2, 3 și contactele de lucru, 4-mobil și 5-fix. În paralel cu contactele de lucru sunt conectate contactele tubulare de rupere (6-mobil și 7-fix).

Sistemul de autocompresie a gazului este constituit din ajutorul electroizolant 8, pistonul mobil 9 și camera de compresie 10.

La acționare, mișcarea se transmite de la axul motor 11, prin manivela 12 și bieleta 13, la contactele mobile. După deschiderea contactelor de lucru 4, 5, arcul electric se amorsează între contactele de rupere 6, 7.

Gazul  $\text{SF}_6$ , comprimat în incinta 10, traversează ajutorul 8 și exercită suflajul necesar stingerii definitive a arcului electric. Fluorurile superioare care rezultă din descompunerea chimică a hexafluorurii de sulf la temperatura arcului electric sunt reținute de sitele moleculare 14.

Intrerupătoarele de medie tensiune cu autocompresie de tip Fluarc fabricate de Merlin Gerin [32], sunt utilizate și în construcția celulelor prefabricate de tip Fluair [33], destinate posturilor de transformare pentru instalații de distribuție cu tensiuni nominale de 1...40 kV. Instalații similare sunt produse și de firma ABB, [36].

În România, SC Electroputere SA fabrică întrerupătoare cu autocompresie de medie tensiune de interior tip HF 12/24 kV, destinate centralelor electrice, stațiilor de transformare și instalațiilor de distribuție, [47].

Aceeași firmă produce contactoarele electromagnetice tripolare de medie tensiune cu comutație în gaz  $\text{SF}_6$  de tip HEXA CONT [46], utilizabile în instalațiile de comandă a electromotoarelor de înaltă tensiune, transformatoarelor și bateriilor de condensatoare.

Intrerupătoarele cu hexafluorură de sulf realizate în tehnica autopneumatică au dimensiuni de gabarit mai mici și nu necesită o întreținere deosebită.

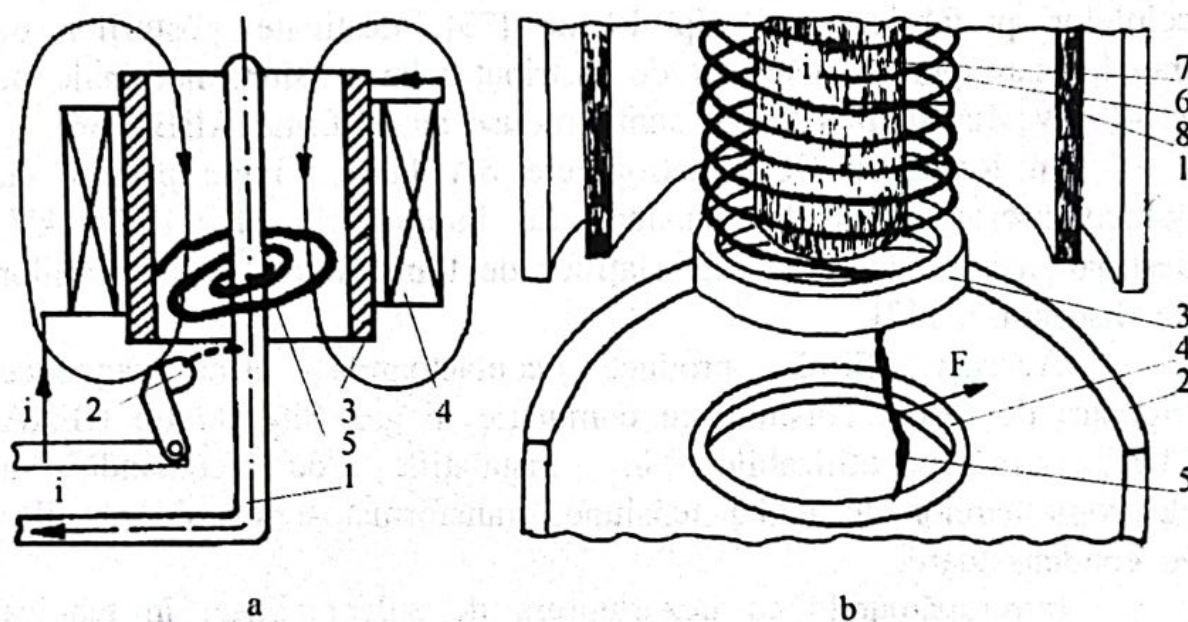
Reviziile acestor echipamente se fac cu o periodicitate de câțiva ani [1], de fiecare dată examinându-se componentele constructive ale sistemului de contacte, garniturile de etanșare împotriva scurgerilor de gaz  $\text{SF}_6$  și înlocuindu-se filtrele sau sitele moleculare.



### 3.4. Întrerupătoare cu suflaj magnetic

La întrerupătoarele cu hexafluorură de sulf realizate în tehnică pneumatică sau autopneumatică arcul electric de deconectare este supus unui suflaj cu gaz sub presiune, în măsură să producă răcirea coloanei acestuia prin evacuarea căldurii în afara volumului camerei de stingere. Arcul electric este practic fixat între contacte în timp ce hexafluorura de sulf, ca mediu de stingere, se deplasează pe seama diferențelor de presiune.

Principiul de stingere pe care se bazează funcționarea întrerupătoarelor cu suflaj magnetic [7], [16], [20], [23], constă în deplasarea rapidă a arcului electric într-un volum închis de hexafluorură de sulf, aflat inițial în repaus. În acest caz, mediul de stingere este practic fix iar coloana arcului electric, sub acțiunea unor forțe de tip Lorentz, se deplasează cu viteze comparabile cu cea a sunetului.



**Fig.3.32**

*Tehnica suflajului magnetic: a-sistem coaxial; b-sistem axial.*

Câmpul magnetic necesar punerii în mișcare a coloanei arcului este produs de o bobină parcursă de curent pe durata deconectării sau de magneți permanenți amplasați în zona contactelor, energia necesară suflajului fiind deci furnizată de o



sursă exterioară. Suflajul magnetic se obține în sistem coaxial, respectiv axial.

În cazul sistemului coaxial, Fig.3.32a, arc electric amorțit la deconectare inițial între contactele 1-fix și 2-mobil, este imediat preluat între electrozii 1, 3, astfel încât curentul care trebuie întrerupt să traverseze spirele bobinei de suflaj 4.

În câmpul magnetic al acestei bobine, forțele de tip Lorentz imprimă coloanei arcului o mișcare rapidă de rotație, dispunând-o sub forma unei elicoide spațiale, cu extremitățile mobile pe electrozii coaxiali 1, 3. Alungirea coloanei favorizează cedarea căldurii spre mediul de stingere, iar deplasarea rapidă a acesteia intensifică deionizarea prin difuzie.

La sistemul axial de suflaj magnetic (rotary-arc circuit breaker) contactele întrerupătorului (atât cele de lucru, 1-fix, 2-mobil cât și cele de rupere, 3-fix, 4-mobil) sunt inelare și amplasate față în față pe aceeași axă, așa cum se poate vedea în Fig.3.32b.

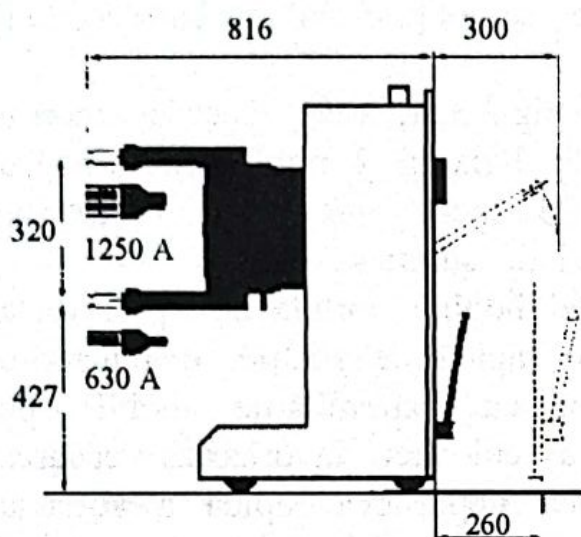
Arcul electric 5, preluat între contactele de rupere 3, 4, arde în câmpul magnetic produs de bobina de suflaj 6, parcursă de curent. Liniile de câmp se închid prin piesa polară 7 și mantaua feromagnetică 8, trasee care le imprimă o distribuție radială în zona de ardere a arcului electric. În aceste condiții, forțele Lorentz au orientare tangențială, încât coloana 5 a arcului electric este antrenată într-o mișcare rapidă de rotație (arc turnant, rotating arc), deplasându-se cu extremitățile pe contactele circulare 3, 4.

Pe lângă simplitate constructivă, întrerupătorul cu suflaj magnetic se caracterizează printr-o slabă electroeroziune a contactelor deoarece, ca urmare a deplasării extremităților arcului electric, temperatura înaltă nu se mai localizează în zone practic fixe pe suprafețele de contact.

Distanța dintre contacte, dependentă de nivelul nominal de izolație și de presiunea statică a hexafluorurii de sulf, rezultă mai mică decât la întrerupătoarele realizate în tehnică autopneumatică, energia necesară acționării având valori de asemenea mai mici. Aceste particularități permit dimensionarea, realizarea și funcționarea în condiții avantajoase a mecanismului de acționare.

Se exemplifică tehnica suflajului magnetic (sistem axial sau arc turnant) în gaz  $\text{SF}_6$  prin echipamente de medie tensiune





**Fig.3.33**

*Intrerupător Fluarc FG1 Merlin Gerin*

construite de firma Merlin Gerin și anume: întrerupătoarele Fluarc FG1 (1...15 kV/630...1250 A/20...29 kA) și contactoarele tip Rollarc 400, 400D (3...12 kV/400 A).

Intrerupătorul FG1, construit în variantă debroșabilă, are dimensiunile de gabarit precizate în Fig.3.33; partea activă este reprezentată în Fig.3.34, [32]. Aceasta este etanșată în incinta electroizolantă 1, în care

hexafluorura de sulf se găsește la presiunea de 0,25 MPa.

Calea principală de curent pe pol este constituită din bornele de conexiuni 2, 3 și din contactele de lucru (4-fix, 5-mobil); în paralel cu contactele de lucru este conectat sistemul contactelor de rupere, 6-fix, 7-mobil.

Transmisia mișcării la contactele mobile se face de la arborele motor 8, prin intermediul sistemului bielă electroizolantă (9) - manivelă (10).

Pentru protecție la electroeroziune, contactele de lucru se deschid în avans față de cele de rupere, încât arcul electric se amorsează între acestea din urma; imediat extremitățile coloanei sale sunt preluate de electrozii inelari 11, 12, conectați respectiv la potențialele contactelor de rupere 6, 7. În acest moment în circuitul curentului care trebuie întrerupt este înseriată bobina de suflaj magnetic 13 care produce, în zona de ardere a arcului, câmpul magnetic specific tehnicii suflajului magnetic.

Fiind obișnuit folosite în rețelele de distribuție publice și industriale, întrerupătoarele tip FG1 sunt adaptate cu deosebire la întreruperea curenților mici inductivi.

Contactoarele tip Rollarc 400 și 400D, ca echipamente de medie tensiune, sunt destinate utilizării în instalațiile de comandă și protecție a electromotoarelor, condensatoarelor și transformatoarelor de putere.



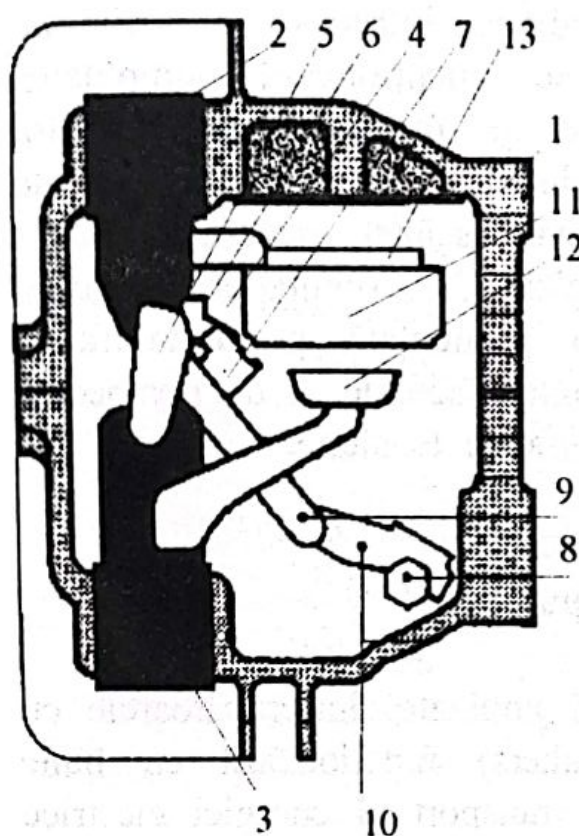


Fig.3.34

*Intrerupător cu suflaj magnetic  
Fluarc FG1 Merlin Gerin*

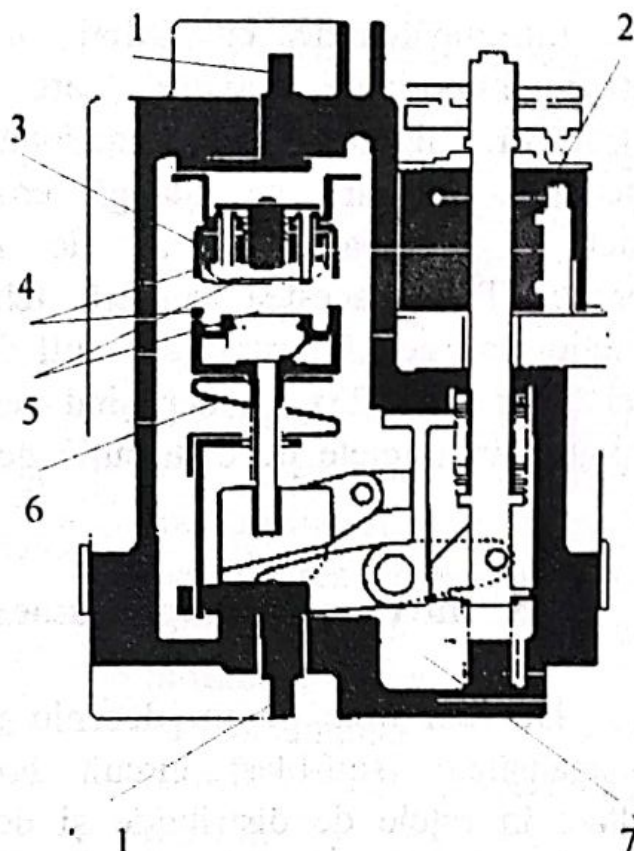


Fig.3.35

*Contacteur cu suflaj magnetic  
Rollarc 400 Merlin Gerin*

Construcția conține polii principali, înglobați într-o anvelopă electroizolantă și cu rol de etanșare, în care gazul  $\text{SF}_6$  este utilizat la presiunea de 0,25 MPa. Dispozitivul de acționare funcționează cu reținere magnetică pentru varianta Rollarc 400 și cu acroșaj mecanic pentru Rollarc 400D.

Arhitectura părții active a contactorului cu principalele repere constructive este reprezentată, după [32], în Fig.3.35 unde s-a notat: 1-borne de conexiuni, 2-electromagnet de acționare, 3-bobină de suflaj, 4-contacte de lucru, 5-contacte de rupere, 6-conexiune flexibilă, 7-filtru.

Pentru protecția la scurtcircuit, contactorului i se pot asocia siguranțe fuzibile.

Contactoarele Rollarc sunt utilizate în realizarea unor categorii de celule prefabricate din gama Fluair Merlin Gerin [33], destinate posturilor de transformare din instalațiile de distribuție de medie tensiune.



Intrerupătoarele cu suflaj magnetic întrunesc o serie de avantaje importante, dintre care se menționează simplitatea constructivă, siguranța în funcționare și utilizarea practic fără mentenanță, la care se adaugă eroziunea redusă a pieselor de contact și energia mecanică de nivel scăzut necesară pentru acționare. Toate acestea conferă tehnicii de comutație cu suflaj magnetic în hexafluorură de sulf o pronunțată performabilitate, apreciată uneori, [23], ca depășind cerințele actuale și de perspectivă apropiată din rețelele de distribuție de medie tensiune.

### 3.5. Intrerupătoare cu autoexpansiune

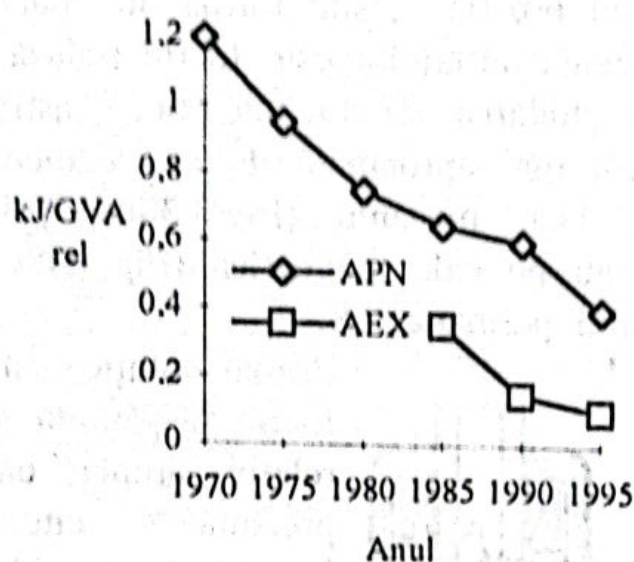
De mai bine de un deceniu și jumătate, întrerupătoarele cu autoexpansiune (self-blast circuit breakers) funcționează cu bune rezultate în rețele de distribuție și de transport al energiei electrice din multe țări. Pentru diferite aplicații, în acest interval de timp, au fost dezvoltate în principal trei tipuri; două dintre acestea și anume întrerupătoarele cu suflaj prin autoexpansiune cu arc rotativ, respectiv cu rezonator Helmholtz sunt construite pentru instalații de medie tensiune, ca întrerupătoare de generator sau pentru rețele de distribuție.

În cazul celui de al treilea tip, care se referă la construcții pentru tensiuni de peste 72,5 kV (întrerupătoare de înaltă tensiune), suflajului prin autoexpansiune i se asociază o componentă obținută prin autocompresie, care intervine numai la întreruperea curenților de mică intensitate. Pentru întreruperea curenților de scurtcircuit și, în general a curenților de mare intensitate, funcționează numai suflajul prin autoexpansiune, energia arcului producând creșterea presiunii hexafluorurii de sulf într-un volum închis.

Statisticile privind defectările întrerupătoarelor de înaltă tensiune arată că nu parametrii electrici ai acestora sunt decisivi în asigurarea fiabilității, ci comportarea sistemului mecanic în general și a mecanismului de acționare în special.

Mecanismul de acționare al întrerupătoarelor cu autoexpansiune, eliberat de sarcina producerii presiunii necesare

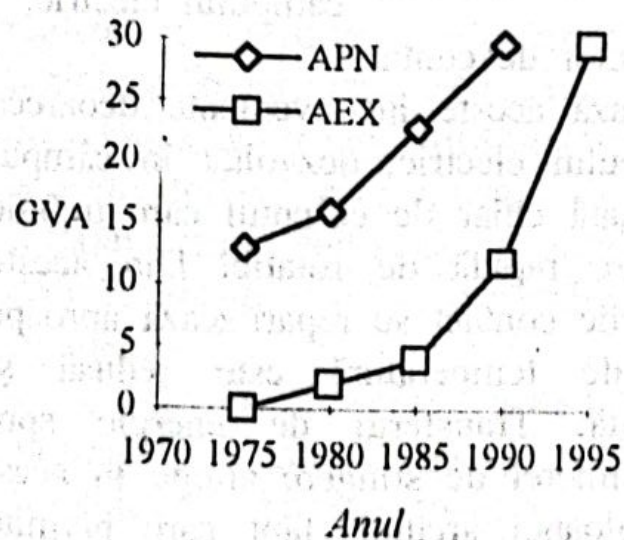




**Fig.3.36**  
*Evoluția energiei mecanismului de acționare*

Dezvoltarea tehnicilor de comutație în hexafluorură de sulf cu suflaj prin autoexpansiune a căpătat în ultimul deceniu caracter competițional, în special cu privire la atingerea performanțelor de natură electrică. În Fig.3.37 este prezentată pentru comparație [13], dinamica puterii de rupere caracterizând întrerupătoarele cu autocompresie, APN respectiv cu autoexpansiune, AEX.

În camerele de stingere ale acestor întrerupătoare suflajul



**Fig.3.37**  
*Puterea de rupere*

suflajului, este mult mai puțin solicitat, fapt care conduce la creșterea indicatorilor generali de fiabilitate. Ilustrative în acest sens sunt datele din Fig.3.36 care indică evoluția, exprimată în unități relative, a energiei necesare mecanismului de acționare pentru realizarea puterii de rupere unitare în cazul întrerupătoarelor autopneumatice (APN) respectiv cu autoexpansiune (AEX).

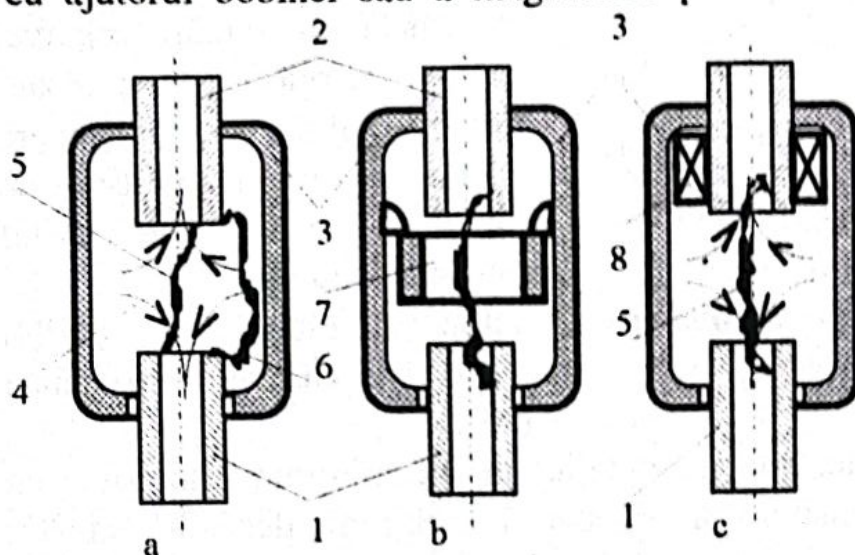
cu hexafluorură de sulf se obține prin dilatarea gazului sub acțiunea căldurii cedate la temperatura înaltă de coloana arcului electric însăși [20], [21]. Acest principiu conduce la simplificarea construcției dispozitivelor de stingere din care se elimină acțiunea pistonului, util pentru comprimarea gazului în tehnica autopneumatică.

În camera de stingere (Fig.3.38a) coloana arcului



este instabilă, aceasta ocupând rapid poziția 6, sub formă de buclă la exteriorul contactului, unde eficiența suflajului este foarte redusă.

Problema se rezolvă prin ghidarea arcului electric, astfel încât acesta să ocupe o poziție cât mai apropiată de axa camerei de stingere. Ghidarea se poate face mecanic (Fig.3.38b), prin utilizarea duzei electroizolante 7 sau pe cale magnetică (Fig.3.38c), cu ajutorul bobinei sau a magnetului permanent 8.



**Fig.3.38**

*Principiul autoexpansiunii: 1-contact mobil, 2-contact fix, 3-incintă etanșă, 4-jet de gaz SF<sub>6</sub>, 5,6-arc electric, 7-duză izolanță, 8-bobină sau magnet*

Prima soluție este foarte răspândită și relativ simplă, dar prezintă câteva inconveniente [3], dintre care se menționează:

- căldura cedată de coloana arcului spre gazul SF<sub>6</sub> este redusă doar la 15% din energia totală;

- prezența duzei electroizolante produce perturbarea câmpului electric;

- electroeroziunea intensă a suprafețelor de contact.

Ghidarea magnetică atenuează aceste inconveniente deoarece în acest caz duza lipsește, iar arcului electric, dezvoltat în câmp magnetic produs de bobina traversată chiar de curentul care trebuie întrerupt, i se imprimă o mișcare rapidă de rotație. Din aceste motive energia cedată suprafețelor de contact se repartizează aproape uniform pe acestea, creșterea de temperatură este redusă și intensitatea electroeroziunii scăzută. Transferul de energie spre hexafluorura de sulf din incinta camerei de stingere atinge în acest caz până la 25% din energia coloanei arcului, fapt care permite creșterea capacității de întrerupere. Construcția camerei de stingere care echipează un întrerupător cu hexafluorură de sulf funcționând



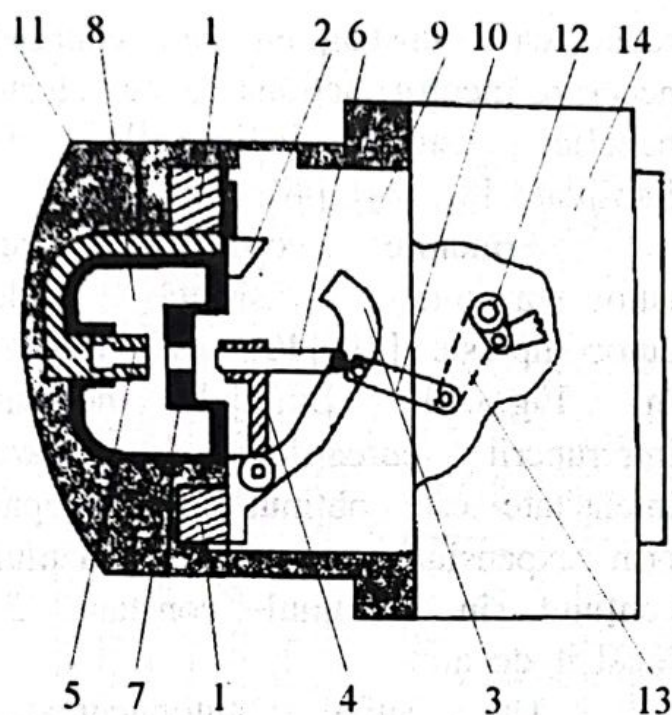


Fig.3.39

### *Înterupător cu autoexpansiune*

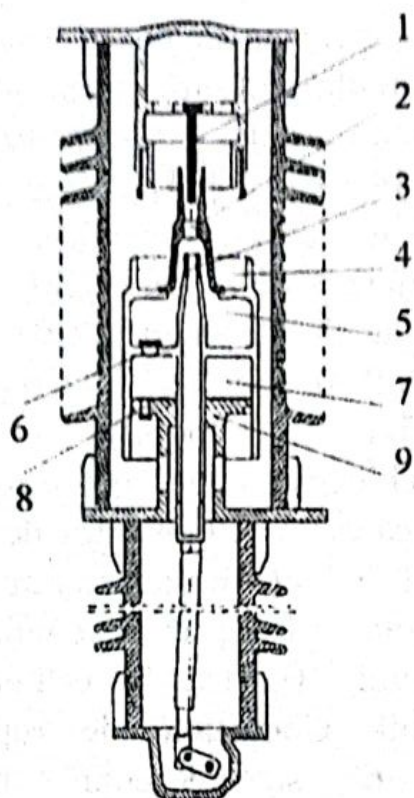
contactele de lucru 2, 3, astfel încât arcul electric se amorsează în camera de stingere 8, între contactele de rupere. Atâta timp cât contactul 6 obturează duza 7, sub acțiunea temperaturii înalte a arcului electric presiunea gazului din incinta 8 crește. Din momentul eliberării acestei duze, coloana arcului este supusă unui suflaj longitudinal unilateral, detenta gazului  $SF_6$  producându-se în incinta 9.

Destinat instalațiilor de medie tensiune, înterupătorul este realizat în construcție tripolară, cele trei camere de stingere fiind înglobate în anvelopa unică 11, din rășină epoxidică. Spre deosebire de tehnica autopneumatică, înterupătoarele cu autoexpansiune pot fi considerate ca echipamente cu comutație lină, energia necesară suflajului fiind furnizată de arc electric însăși; din acest punct de vedere, funcționarea se aseamănă cu cea întâlnită la înterupătoarele cu ulei.

De la începutul actualului deceniu, o nouă generație de înterupătoare cu hexafluorură de sulf a fost realizată, prin asocierea avantajelor înterupătoarelor cu autoexpansiune, celor care caracterizează tehnica autopneumatică; această tehnologie hibridă, funcționând cu autoexpansiune asistată de autocompresie, a permis

cu autoexpansiune și ghidare a arcului electric prin duză electroizolantă este prezentată în Fig.3.39, [21]. Calea de curent este constituită din bornele de conexiuni 1, contactele de lucru (2-fix, 3-mobil) și contactele de rupere (5-fix, 6-mobil). La deschiderea înterupătorului, mișcarea se transmite de la axul 12 al mecanismului de acționare 14, prin sistemul de pârghii 10, 13, la echipajul mobil. Contactele de rupere 5, 6 se deschid după





**Fig.3.40**

*Autoexpansiune asistată de autocompresie: 1-contact fix; 2-ajutaj principal; 3-contact mobil; 4-cilindru; 5-volum constant; 6-valva cilindrului; 7-volum comprimabil; 8-valva pistonului; 9-piston.*

presiunea din volumul 7. Valva 8 a pistonului fix se deschide dacă presiunea în volumul 7 depășește o valoare reglată.

Comparativ cu tehnica autopneumatică, întrerupătoarele de acest tip necesită un piston de dimensiuni reduse, fapt care permite micșorarea energiei necesare pentru acționare [8], [24].

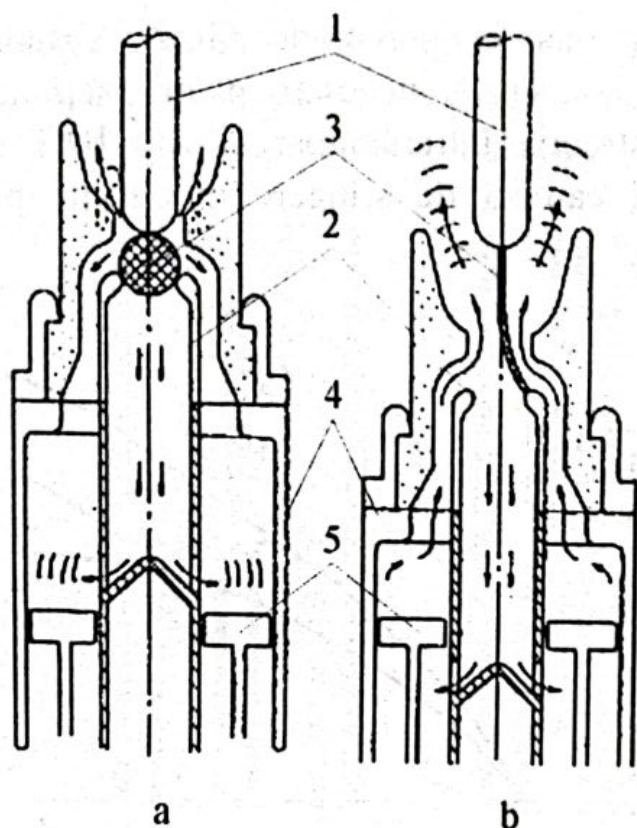
Un alt exemplu de concretizare a acestei idei este prezentat în Fig.3.41, [30]. În faza incipientă a deconectării (Fig.3.41a), gazul  $SF_6$  încălzit de arcul electric 3 este parțial retrimis în volumul dintre cilindrul mobil 4 și pistonul fix 5, contribuind la creșterea presiunii în acest spațiu. În faza finală (Fig.3.41b), presiunea crescută a gazului care exercită suflajul compensează o oarecare scădere a capacității sale de răcire (datorată temperaturii

reducerea substanțială a energiei necesare pentru acționare, cu efecte benefice asupra indicatorilor de fiabilitate [8], [24], [40].

Principiul comutației prin autoexpansiune asistată de autocompresie [8], [40], este ilustrat în Fig.3.40. Suflajul necesar întreruperii curenților de mare intensitate este obținut în principal prin expansiunea termică a gazului conținut în volumul constant 5, încălzit de arc.

Un suflaj autopneumatic suplimentar, utilizând gazul comprimat la deconectare în volumul 7 (descrescător pe măsura deplasării contactului mobil), se exercită la întreruperea curenților de mică intensitate, când autoexpansiunea este slabă. Valva 6 a cilindrului mobil se deschide la începutul deplasării echipajului mobil și rămâne deschisă atâta timp cât presiunea în volumul constant 5 este excedată de





**Fig.3.41**

*Principiul tehnicii hibride de comutație în SF<sub>6</sub>: a-faza incipientă a deconectării; b-faza finală; 1-contact fix; 2-contact mobil; 3-arc electric; 4-cilindru mobil; 5-piston fix.*

mai ridicate), obținându-se o creștere a capacității de deconectare la scurtcircuit cu circa 20%.

În alte construcții de acest tip se utilizează un piston recuperator prin intermediul căruia se obține creșterea energiei disponibile pentru acționare.

În Fig.3.42 sunt reprezentate curbele suprapresiunii dezvoltate în camera de stingere pe durata deconectării, în cazul unui întrerupător autopneumatic (curba 1), respectiv hibrid (curba 2).

Se evidențiază că, în ipoteza funcționării la gol (curbele 2), energia necesară pentru comprimarea gazului

are valori mai mari la întrerupătoarele autopneumatice. Întrerupătoarele cu autoexpansiune asistată de autocompresie, necesitând un piston de diametru redus, consumă mai puțin de o treime din energia necesară în cazul acționării unui întrerupător autopneumatic, [24].

Extinderea tehnicii hibride de comutație la tensiuni superioare presupune rezolvarea problemei creșterii importante a energiei cinetice a echipajului mobil, care poate fi acoperită însă parțial de energia înmagazinată sub formă de căldură în coloana arcului.

Există soluții tehnice care permit utilizarea optimizată a acestei energii, pe de o parte pentru obținerea suflajului prin autoexpansiune, iar pe de altă parte pentru accelerarea echipajului mobil al întrerupătorului.



Un astfel de dispozitiv, pus la punct de GEC Alsthom, permite reducerea cu circa 30% a energiei necesare pentru acționare (Fig.3.43); acesta a permis construcția întrerupătoarelor tip FXT 14 (245 kV-31,5 kA) cu o singură cameră de stingere modul pe pol, [24].

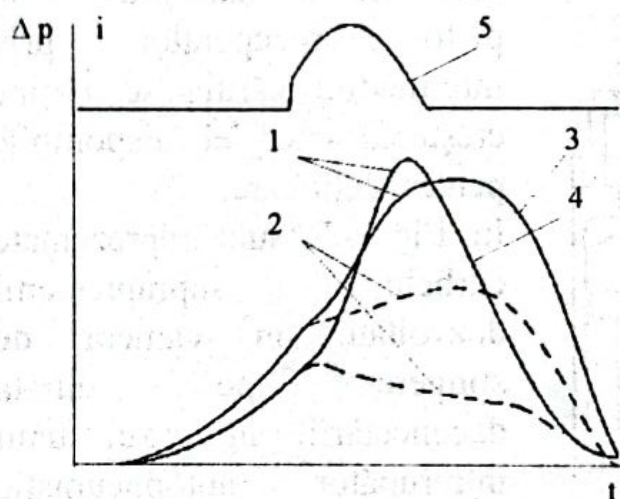


Fig.3.42

Suprapresiunea la deconectare: 1- acționare în sarcină; 2- acționare la gol; 3- autocompresie; 4- autoexpansiune asistată de autocompresie; 5- curba curentului.

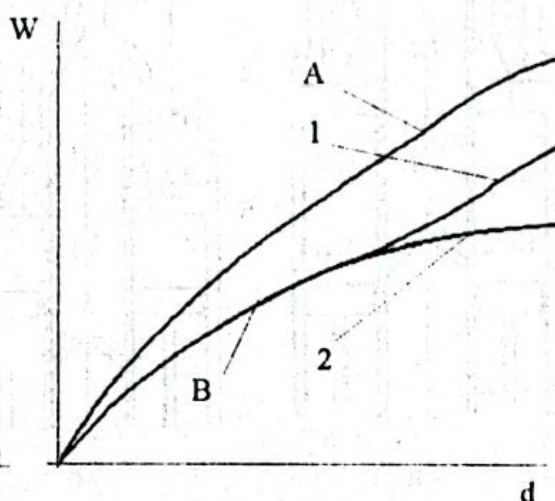


Fig.3.43

Energia necesară pentru deconectare (GEC Alsthom): A- tehnică autopneumatică; B- autoexpansiune cu recuperare de energie; 1- acționare în sarcină; 2- acționare la gol.

Asocierea efectului termic al arcului electric pentru obținerea expansiunii hexafluorurii de sulf cu autocompresia acesteia este utilizată și în realizarea întrerupătoarelor destinate celulelor blindate, în special când este vorba de construcții cu parametri electrici ridicați, de exemplu 300 kV/50 kA și un singur loc de întrerupere pe pol (cameră de stingere modul unică).

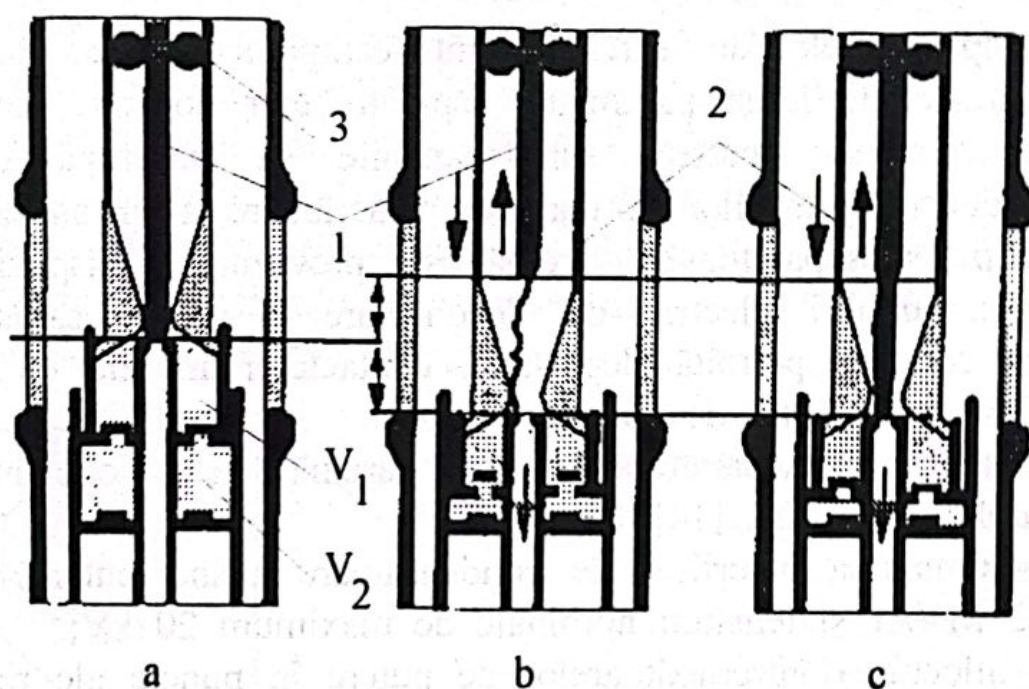
Si în acest caz utilizarea tehnicii hibride, autoexpansiune-autocompresie, este avantajoasă cu deosebire în ceea ce privește minimizarea energiei disponibile a mecanismului de acționare.

În Fig.3.44 se prezintă un exemplu de acest tip [13], conceput în vederea obținerii unei viteze sporite de alungire a coloanei arcului electric la deconectare.

Soluția tehnică utilizată constă într-un sistem special de contacte, Fig.3.44a, având ambele elemente (1, 2) mobile. La



deconectare, prin intermediul angrenajului 3, acestea se deplasează cu aceeași viteză în sensuri opuse, încât viteza de alungire a arcului electric practic se dublează.



**Fig.3.44**

*Creșterea vitezei relative de deplasare a contactelor: a-întrerupător închis; b-întreruperea curenților de mică intensitate; c-întreruperea curenților de scurtcircuit.*

La întreruperea curenților de mică intensitate (Fig.3.44b) creșterea presiunii în camera de stingere pe seama energiei arcului este redusă.

Stingerea arcului are loc în principal sub acțiunea suflajului produs prin autocompresia gazului din volumul  $V_2$ . În cazul deconectării unui curent de scurtcircuit, Fig.3.44c, energia înaltă a arcului electric produce un puternic efect de expansiune a gazului din volumul  $V_1$ , care se repartizează între exercitarea suflajului și suplimentarea energiei necesare pentru acționare.

Întrerupătoarele cu autoexpansiune s-au impus în comutația de putere prin avantaje specifice, [3]: energie de acționare redusă, absența supratensiunilor de comutație, insensibilitate la viteza de creștere a tensiunii de străpungere în camera de stingere, funcționare corespunzătoare la întreruperea curenților capacitivi, electroeroziune slabă a contactelor.



### 3.6. Separatoare de sarcină. Scurtcircuitoare

#### 3.6.1. Separatoare de sarcină

Separatoarele de sarcină sunt echipamente de comutație având caracteristicile și parametrii separatoarelor normale dar care, în plus față de acestea, sunt capabile să întrerupă curenții corespunzători regimurilor normale de funcționare a instalațiilor. În acest scop, un separator de sarcină este prevăzut cu dispozitiv de stingere a arcului electric de deconectare și cu mecanism de acționare care să permită deplasarea contactelor mobile cu viteză adecvată, independentă de operator.

Utilizarea separatoarelor de sarcină este eficientă în următoarele cazuri, [2], [14]:

- comutarea bateriilor de condensatoare având puteri de cel mult 1,2 MVar și tensiuni nominale de maximum 20 kV;

- înlocuirea întrerupătoarelor de putere în puncte ale rețelelor caracterizate prin puteri de scurtcircuit de valori mici (30 MVA), dar în care frecvența operațiilor de comutație este mare;

- echipament de comutație în rețelele buclate, cu rol de a închide și deschide bucla la sarcină nominală de trecere;

- echipament de comutație pentru linii electrice aeriene sau în cablu, funcționând la gol.

Comparativ cu întrerupătorul de putere, separatorul de sarcină are construcția mai simplă și mai ieftină. Înlocuirea întrerupătoarelor de putere cu separatoare de sarcină în punctele instalațiilor de distribuție cu frecvență mare de comutație în regim normal de sarcină este eficientă sub raport tehnico-economic deoarece aceeași funcționalitate se obține cu investiții și cheltuieli de exploatare mai mici.

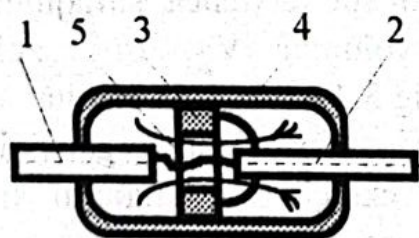


Fig.3.45

*Principiul autocompresiei:*  
1-contact fix, 2- contact mobil, 3-piston, 4-cameră de stingere, 5-arc electric.

Datorită simplității constructive, puterea de rupere a separatoarelor de sarcină este limitată la valori de ordinul 25...30 MVA, mai mici decât puterile de scurtcircuit care caracterizează rețelele



de distribuție. Din aceste motive, protecția la scurtcircuit în astfel de instalații se obține cu ajutorul fie al întrerupătoarelor de putere, fie al siguranțelor fuzibile. O cale pe care se dezvoltă în prezent tehnica separatoarelor de sarcină o constituie simplificarea construcției întrerupătoarelor de putere de înaltă tensiune, astfel încât să fie posibilă realizarea unui echipament mai simplu, mai fiabil și mai ieftin, care să satisfacă normele impuse separatoarelor de sarcină. În acest mod sunt realizate ca produse de serie și funcționează în instalații separatoare de sarcină acoperind o gamă foarte largă a tensiunilor nominale, de la medie până la foarte înaltă tensiune (765 kV). Hexafluorura de sulf, utilizată ca mediu

electroizolant și de stingere în construcția întrerupătoarelor de putere, stă și la baza construcțiilor moderne de separatoare de sarcină.

Tinând seama de faptul că aceste echipamente sunt destinate de multe ori funcționării în structura celulelor blindate, construcția lor se caracterizează prin existența unei carcase etanșe, care conține toate componentele aferente și în care gazul  $SF_6$  se găsește la presiuni variind între 0,15...0,5 MPa, în funcție de varianta constructivă.

Suflajul cu hexafluorură de sulf, sub acțiunea căruia are loc stingerea arcului electric de deconectare, se obține prin autocompresie, principiul utilizat fiind reprezentat schematic în Fig.3.45.

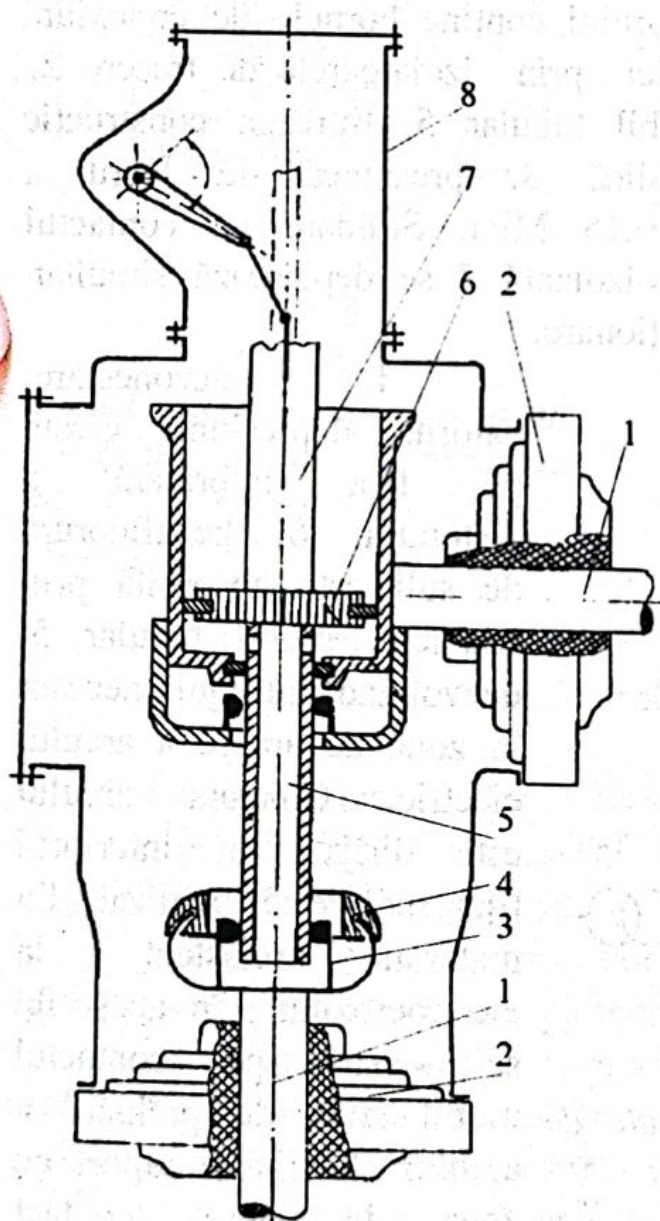


Fig.3.46

Separator de sarcină cu  $SF_6$



Contactele de comutație ale separatorului de sarcină, 1-fix și 2-mobil, se găsesc în incinta etanșă 4, conținând gazul  $Si_6$  la presiunea de lucru. Solidar cu contactul mobil 2, pistonul 3 comprimă, la deconectare, hexafluorura de sulf. În acest mod, prin ajutorul central al pistonului 3 se exercită suflajul cu gaz, necesar stingerii arcului electric.

În Fig.3.46 este dată construcția unui separator de sarcină cu hexafluorură de sulf [22], având tensiunea nominală de 110 kV; acesta este capabil să întrerupă curenți nominali de sarcină de până la 630 A ( $\cos\varphi = 0,7$ ), curenți mici inductivi ( $\cos\varphi = 0,1$ ) de 25 A și curenți capacitivi cu intensități de cel mult 100 A.

Calea de curent a separatorului conține bornele de conexiuni 1, izolate de restul construcției prin izolatoarele de trecere 2, contactul fix 3 și contactul mobil tubular 5. Întreaga construcție este etanșată în carcasa metalică 8, presiunea de lucru a hexafluorurii de sulf fiind de 0,15 MPa. Solidare cu contactul mobil 5, pistonul 6 și tija electroizolantă 7 se deplasează simultan sub comanda mecanismului de acționare.

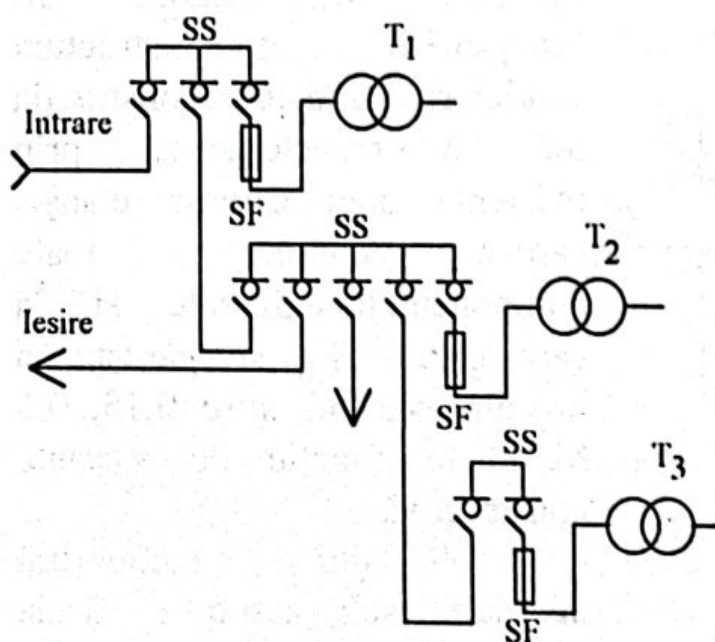


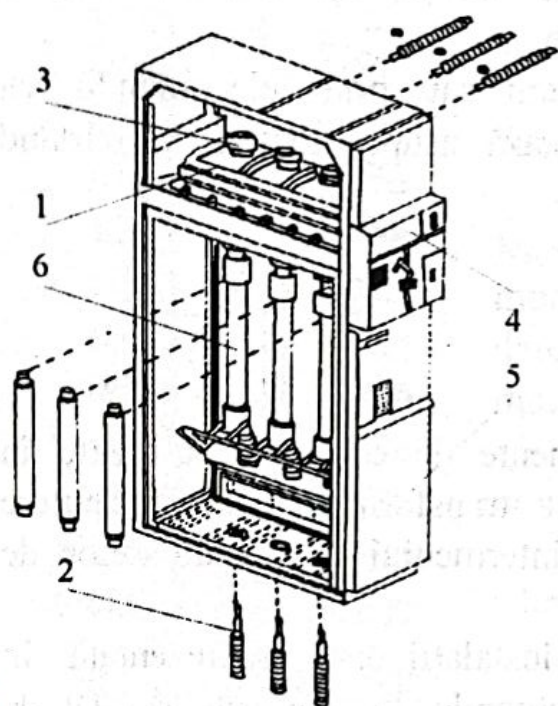
Fig3.47

Instalație de distribuție cu separatoare de sarcină: SS-separator de sarcină; SF-siguranță fuzibilă;  $T_1$ ,  $T_2$ ,  $T_3$ -transformatoare.

La deconectare, datorită depresiunii create pe fața inferioară a pistonului 6, hexafluorura de sulf este absorbită prin contactul mobil tubular 5, dezvoltând suflajul necesar în zona de ardere a arcului electric. Coloana arcului este dirijată în interiorul tijei mobile 5, realizat din material rezistent la electroeroziune; în acest fel se separă pe contactul mobil zona de preluare a arcului electric în raport cu zona de lucru (contact închis), ultima localizată pe suprafața exterioară a tijei

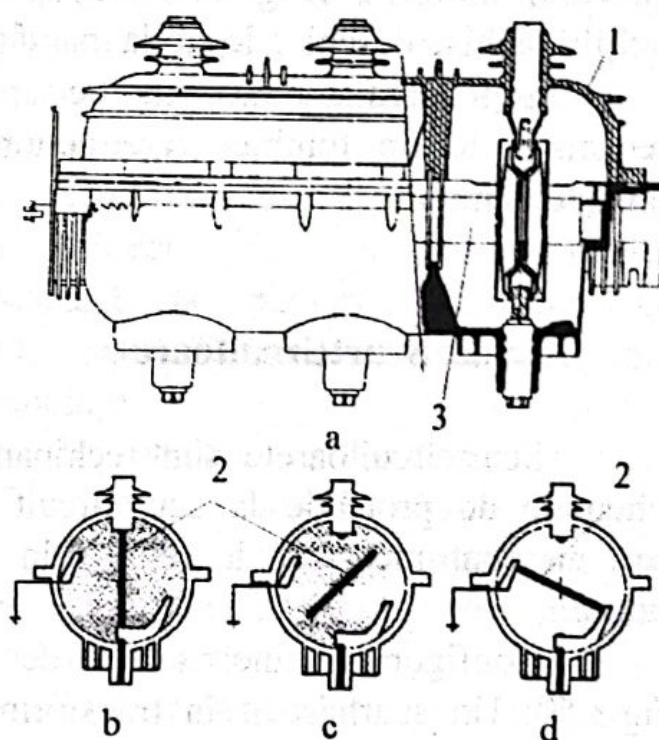


5. Protecția la electroeroziune a contactului fix 3 se obține cu ajutorul armăturii inelare 4, realizată de asemenea din material dur, rezistent la acțiunea arcului electric.



**Fig.3.48**

*Celulă prefabricată: 1-aparataj; 2-racord; 3-bare; 4-mecanism de acționare; 5-siguranțe fuzibile.*



**Fig.3.49**

*Separator de sarcină SM6 Merlin Gerin*

Un exemplu de utilizare a separatoarelor de sarcină îl constituie celulele de distribuție tip SM6 de fabricație Merlin Gerin, [35].

Destinate instalațiilor interioare, acestea pot realiza diferite scheme de distribuție (Fig.3.47) în instalații de medie tensiune, corespunzător gamei 12...24 kV.

Separatoarele de sarcină pot fi conectate singure sau asociate cu siguranțe fuzibile, pentru protecție la scurtcircuit.

În Fig.3.48 este prezentată construcția unei celule prefabricate cu cinci compartimente, care poate fi folosită în realizarea arhitecturii dorite pentru o instalație de distribuție.

Separatorul de sarcină ocupă spațiul 1 al aparatajului și are construcția prezentată în Fig.3.49a, [35].



Realizat ca aparat tripolar, separatorul de sarcină funcționează cu comutație în hexafluorură de sulf care umple, la presiunea relativă de 0,04 MPa, cuva 1, cu etanșare pe viață. Contactul mobil 2 (Fig.3.49b,c,d) poate ocupa una din următoarele poziții: închis, deschis, legat la pământ.

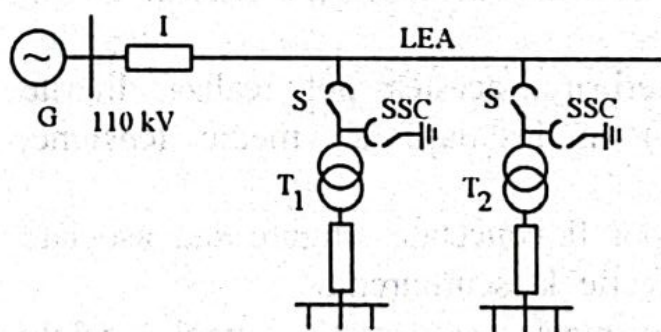
Acționarea se face de pe aparat sau prin telecomandă, cu mecanism de tip tumbler care acționează asupra axului 3, purtând contactele mobile.

### 3.6.2. Scurtcircuitoare

Scurtcircuitoarele sunt echipamente de comutație utilizate în schemele de protecție la scurtcircuit a transformatoarelor de putere care nu sunt racordate la rețea prin intermediul întrerupătoarelor de putere.

Configurația unei astfel de instalații este reprezentată în Fig.3.50. Un scurtcircuit în transformatoarele  $T_1$ ,  $T_2$  este sesizat de protecția prin relee a acestora, care comandă închiderea automată a scurtcircuitorului SSC.

Se realizează astfel un scurtcircuit voit (monofazat sau bifazat cu punere la pământ), caracterizat printr-un curent având intensitatea mai mare decât cea corespunzătoare defectului din transformator.



**Fig.3.50**

*Utilizarea scurtcircuitoarelor*

În aceste condiții, scurtcircuitul este sesizat de protecția prin relee a întrerupătorului I, care comandă executarea unui ciclu deschis-închis.

În acest mod, întrerupătorul I întrerupe defectul produs în rețea prin închiderea scurtcircuitorului SSC, iar după o pauză de

durată prestabilită  $t_p$ , repune automat instalația sub tensiune. Pe durata  $t_p$ , de asemenea în mod automat, se deschid separatorul de



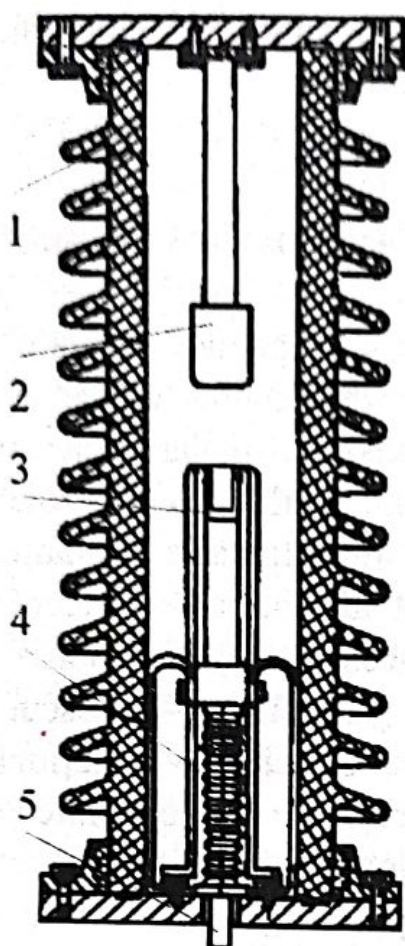


Fig.3.51

*Scurtcircuit cu  $SF_6$*

mediu cu proprietăți electroizolante mai bune decât ale aerului.

Astfel de considerente au condus la construcția scurtcircuitoarelor funcționând în hexafluorură de sulf; o variantă constructivă de acest tip este dată în Fig.3.51, [9].

Contactele scurtcircuitului, 2-fix și 3-mobil sunt amplasate în izolatorul etanș de porțelan 1, în care se găsește hexafluorură de sulf la presiune mai mare decât cea atmosferică.

Acționarea contactului mobil se face prin intermediul tijei 5, cuplată mecanic la lanțul cinematic de transmisie a mișcării de la mecanismul de acționare (nefigurat).

Etanșarea construcției, în condițiile asigurării mobilității contactului 3, se obține cu ajutorul burdufului din oțel 4.

Pentru tensiunea nominală de 110 kV, distanța dintre contactele deschise ale scurtcircuitului este de 85...110 mm, timpul propriu realizat fiind de 4...5 ori mai mic decât în cazul scurtcircuitoarelor cu contacte în aer.

secționare S și scurtcircuitul SSC.

Această succesiune de operații de comutație conduce în final la lichidarea defectului produs inițial în transformator, asigurându-se în același timp continuitatea în alimentarea cu energie a consumatorilor.

Deoarece în rețelele cu neutrul legat direct la pământ punerea monofază la pământ constituie un defect, scurtcircuitoarele utilizate sunt monopolare.

În rețelele cu neutrul izolat se prevăd scurtcircuitoare bipolare.

Scurtcircuitoarele realizate în tehnica tradițională sunt de tip deschis, cu izolație în aer atmosferic.

Reducerea duratei de acționare a unui scurtcircuit este posibilă prin micșorarea distanței de izolație dintre contactele deschise, soluție care cere un



Construcția prezintă de asemenea avantajele funcționării protejate în raport cu acțiunea factorilor de mediu.

### 3.7. Instalații capsulate, izolate în hexafluorură de sulf

Ideea de bază a realizării instalațiilor capsulate izolate în gaz  $\text{SF}_6$  constă în închiderea întregului echipament conectat la barele unei stații într-o incintă metalică etanșă și izolarea acestuia în hexafluorură de sulf. Prin proprietățile sale electroizolante excepționale, acest gaz permite o reducere importantă a distanțelor de izolație și deci a dimensiunilor de gabarit ale stației. Incepând cu anii 1960, data primelor realizări de acest gen în Japonia și Europa, concepția instalațiilor capsulate în gaz  $\text{SF}_6$  a cunoscut o evoluție continuă și notabilă, dimensiunile și solicitările funcționale fiind permanent reduse, simultan cu creșterile înregistrate în indicatorii de fiabilitate și facilitățile de exploatare.

În ceea ce privește terminologia, pe lângă denumirea de instalații capsulate în hexafluorură de sulf sunt utilizate noțiunile de celule blindate, stații (posturi) de înaltă tensiune etanșate metalic (*postes haute tension sous enveloppe métallique*, PSEM) respectiv instalații de comutație cu izolație în gaz (*Gas Insulated Switchgear*, GIS).

Construcția și introducerea în exploatare a instalațiilor capsulate, izolate cu hexafluorură de sulf, răspund următoarelor cerințe [11], [14], [22], [17]:

a) Necesitatea transportului energiei electrice la tensiuni înalte până în centrele de consum (orașe, întreprinderi industriale etc.), cu respectarea restricțiilor impuse privind reducerea accentuată a suprafețelor ocupate cu echipament.

Folosirea tensiunilor înalte pentru transportul energiei electrice până la consumatori prezintă considerabile avantaje economice, constând în economisirea unor însemnate cantități de metale neferoase (cupru, aluminiu) care altfel ar trebui consumate pentru realizarea instalațiilor de distribuție de medie tensiune.

În tehnica tradițională, stațiile de transformare sau de conexiuni de înaltă tensiune ocupă un spațiu mult mai mare decât



cele de medie tensiune, datorită necesității de a se asigura distanțele de izolație în aer între elementele constructive funcționând la potențiale diferite.

O instalație de înaltă tensiune realizată în variantă capsulată cu izolație în hexafluorură de sulf ocupă circa 10...20% din suprafața unei stații tradiționale de tip deschis, îmbinând astfel avantajele injecției de putere la tensiune înaltă cu cele care decurg din reducerea substanțială a suprafeței ocupate cu echipament.

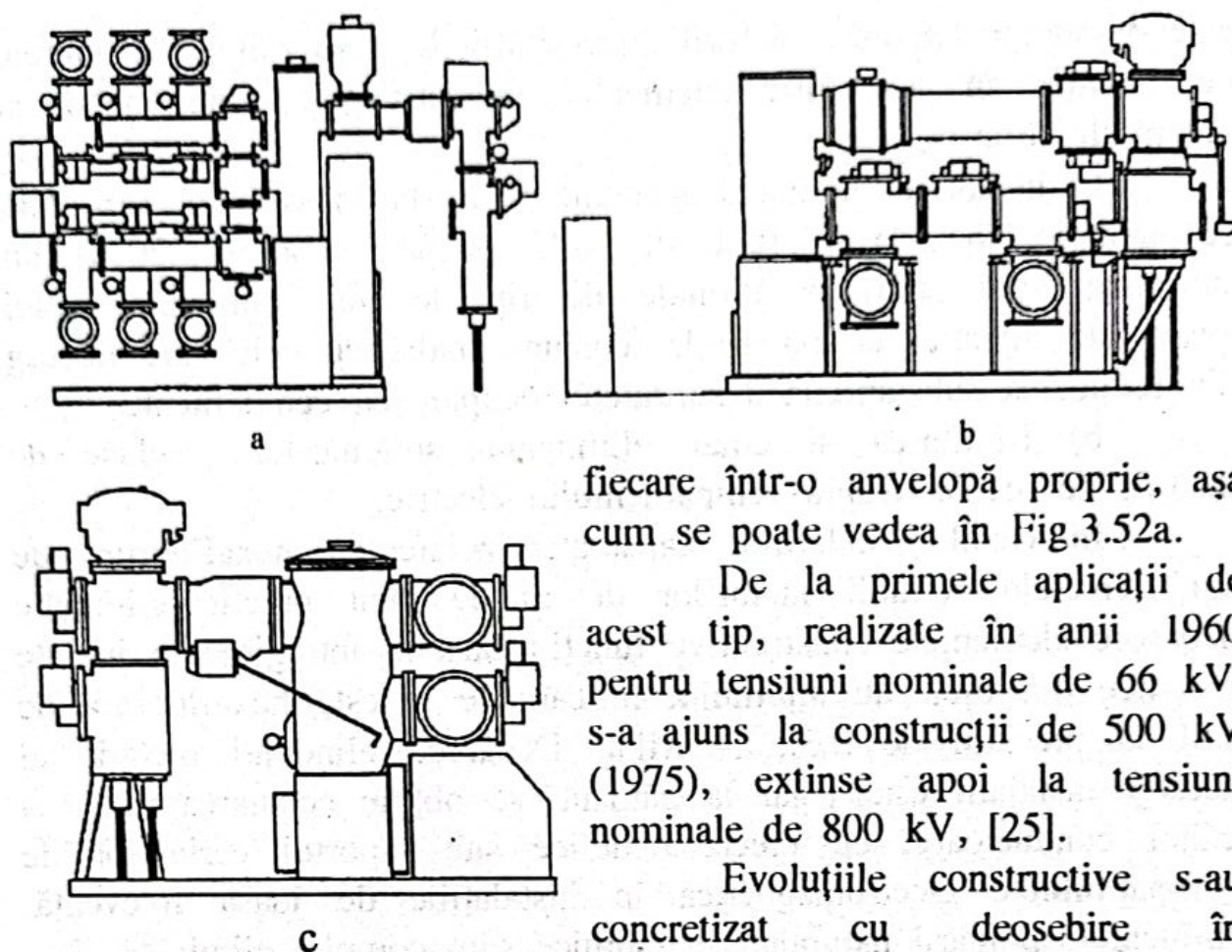
b) Limitarea și chiar eliminarea solicitărilor produse de factorii de mediu asupra echipamentului electric.

În cazul instalațiilor capsulate izolate cu hexafluorură de sulf, efectele acțiunii factorilor de mediu sunt practic eliminate deoarece elementele constructive funcționează în întregime în incinte metalice din oțel sau aluminiu, în care se găsește hexafluorura de sulf la presiuni de 0,3...0,4 MPa. Deoarece blindajul metalic al acestor instalații este legat la pământ, se obține ecranarea totală a căilor conductoare, cu efecte benefice sub raportul cerințelor de compatibilitate electromagnetică în instalațiile de joasă frecvență. Influențele poluării naturale sau chimice sunt complet eliminate.

c) Creșterea gradului de siguranță în funcționarea instalațiilor, prin eliminarea posibilităților de producere a avariilor sub acțiunea unor cauze întâmplătoare. Elementele constructive ale instalațiilor capsulate sunt complet inaccesibile din exterior, încât gradul de securitate împotriva electrocutărilor este foarte ridicat. De asemenea este înlăturat orice pericol de explozie, obținându-se astfel un avantaj foarte important, în special pentru instalațiile destinate funcționării în medii explozive (minerit, industrie chimică, armament etc.). Caracterizarea diferitelor generații de instalații capsulate poate fi făcută în raport cu următorii parametri: numărul polilor conținuți în fiecare blindaj (instalații monopolare, respectiv tripolare) și realizarea separată sau grupată a funcționalităților.

Primele generații de instalații de acest tip au fost monopolare și cu funcționalități separate, [17]; întrerupătoarele, separatoarele de bare și cele de legare la pământ, transformatoarele de măsură, sistemele de bare și restul echipamentelor erau etanșate





**Fig.3.52**

*Generații de instalații blindate în  $SF_6$  ajungându-se la instalații tripolare (Fig.3.52b) și, în sfârșit, la construcții în care funcționalitățile sunt grupate [17], [30] (Fig.3.52c).*

Construcțiile și domeniul de utilizare al instalațiilor capsulate au fost extinse și spre medie tensiune, în prezent existând echipament de acest tip care acoperă domeniul tensiunilor nominale între limitele 7,2...800 kV. Cu titlu de exemplu, în Fig.3.53 se prezintă o gamă a instalațiilor capsulate cu izolație în hexafluorură de sulf, fabricate în prezent de ABB, [4].

La tensiuni de până la 170 kV, ieșirea din instalația blindată are loc prin cablu; peste acest nivel de tensiune, conexiunea se face în mod obișnuit la o rețea aeriană, printr-un izolator umplut cu gaz  $SF_6$  sub presiune.

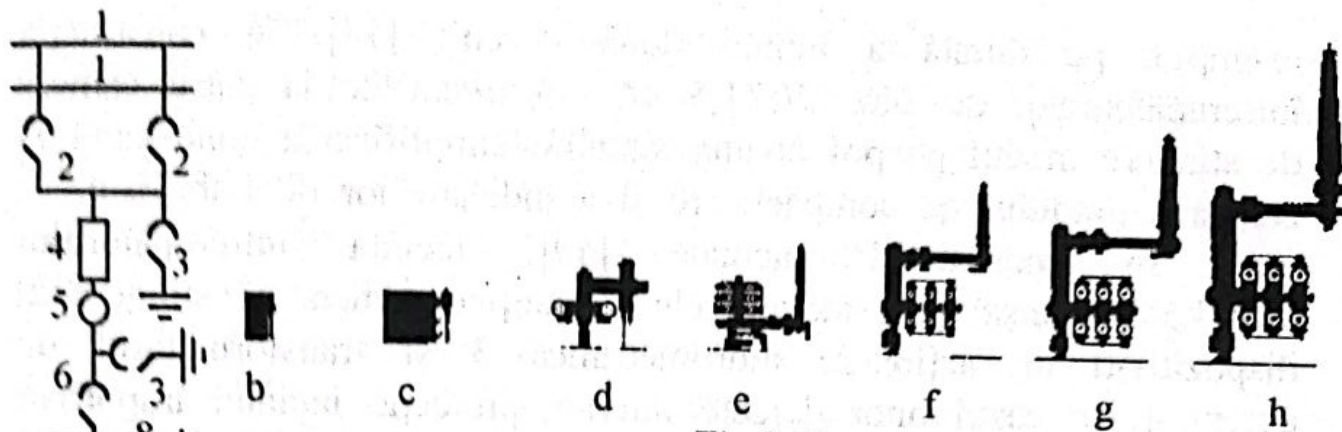
Intrerupătorul de linie este conectat la un sistem de bare realizat de asemenea de tip capsulat; pentru niveluri mai scăzute de tensiune, cei trei poli ai întrerupătorului și barele colectoare sunt

fiecare într-o anvelopă proprie, așa cum se poate vedea în Fig.3.52a.

De la primele aplicații de acest tip, realizate în anii 1960 pentru tensiuni nominale de 66 kV, s-a ajuns la construcții de 500 kV (1975), extinse apoi la tensiuni nominale de 800 kV, [25].

Evoluțiile constructive s-au concretizat cu deosebire în compactizare și miniaturizare, ajungându-se la instalații tripolare (Fig.3.52b) și, în sfârșit, la

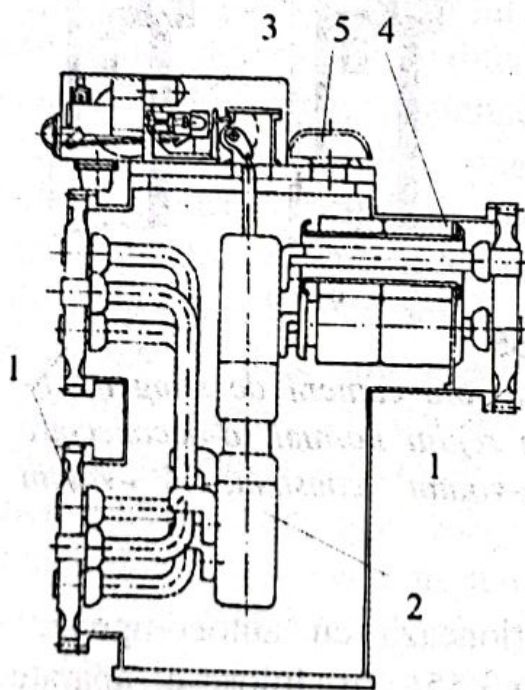




**Fig.3.53**

Instalații capsulate în  $SF_6$  de fabricație ABB: a-schema electrică; b-EAK/7,2...36 kV/2500 A/31,5 kA; c-ENK/52...72 kV/2500 A/31,5 kA; d-ELK 0/72...170 kV/3150 A/40 kA; e-ELK 1/170...245 kV/4000 A/63 kA; f-ELK 2/245...362 kV/4000 A/63 kA; g-ELK 3/362...550 kV/6300 A/63 kA; h-ELK 4/550...800 kV/6300 A/50 kA.

capsulate în carcasă unică în timp ce, pentru tensiuni nominale superioare nivelului de 170 kV, fiecare fază este prevăzută cu blindaj propriu.



**Fig.3.54**

Compartimentul întrerupătorului: 1-izolatoare de trecere; 2-cameră de stingere; 3-mecanism de acționare; 4-transformator de curent; 5-supapă de siguranță.

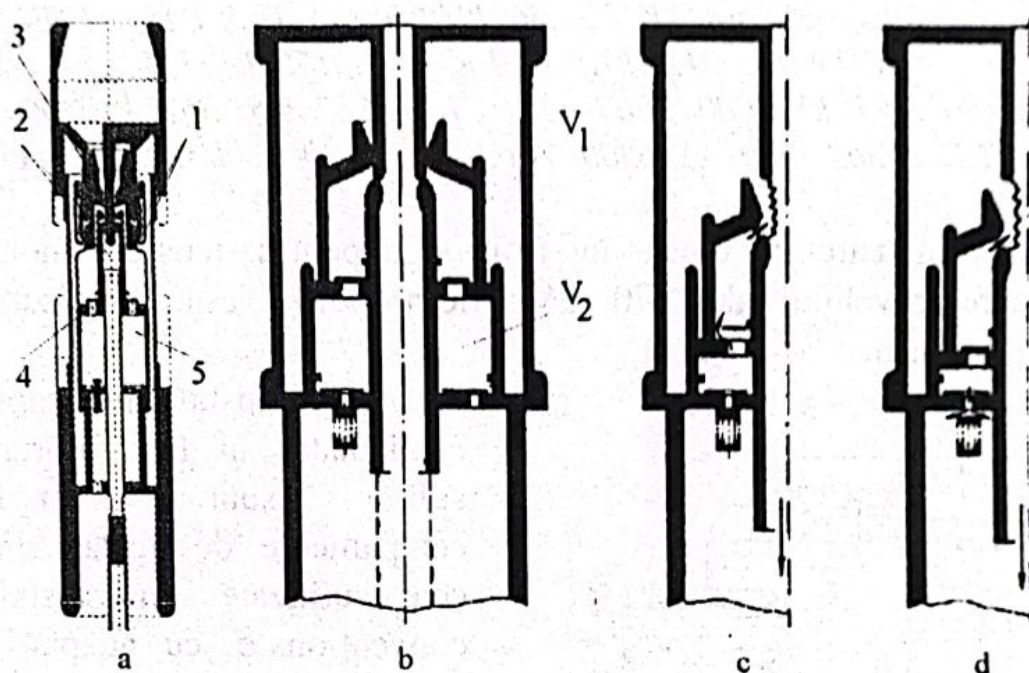
În instalațiile capsulate cu izolație în hexafluorură de sulf sunt amplasate echipamente de același tip cu cele utilizate în instalațiile convenționale, cu adaptări mai mult sau mai puțin importante, în vederea funcționării în condiții de etanșeitate completă.

Importante progrese au fost introduse în realizarea întrerupătoarelor concretizate, în special, prin reducerea numărului de camere de stingere modul (locuri de întrerupere) înseriate pe pol, pentru aceeași valoare a capacității nominale de deconectare la scurtcircuit; de



exemplu, pe durata a numai două decenii [15], în construcția întrerupătoarelor de 245 kV/31,5 kA s-a trecut de la patru camere de stingere modul pe pol la una singură, simplificarea conducând la creșterea gradului de compactizare și a indicatorilor de fiabilitate.

În construcțiile actuale [40], incinta întrerupătorului (Fig.3.54), etanșat prin izolatoarele 1, conține camera de stingere 2, dispozitivul de acționare hidromecanică 3 și transformatorul de curent 4. În cazul unor defecte interne, protecția incintei împotriva exploziei este asigurată prin supapa de siguranță 5.



**Fig.3.55**

*Construcția întrerupătorului: a-ansamblu cameră de stingere; b-contacte închise; c-deconectare în regim normal; d-deconectare în regim de scurtcircuit;  $V_1$ -volum constant;  $V_2$ -volum comprimabil.*

Întrerupătoarele utilizate funcționează cu autocompresie dar, în construcțiile de ultimul tip, Fig.3.55, se folosesc aparate cu autocompresie asistată de autoexpansiune, [40].

Partea activă a întrerupătorului (Fig.3.55a) este compusă din contactele de lucru respectiv de rupere 1, 2, ajutorul electroizolant 3 și pistonul mobil 4; sub acesta se delimitează volumul de gaz 5, care poate exercita suflaj în două etape asupra coloanei arcului electric. Poziția relativă a componentelor camerei de stingere în



cazul întrerupătorului închis este prezentată în Fig.3.55b. Volumele de gaz  $V_1$  și  $V_2$  au aceeași destinație, dar intervin în mod diferit.

La întreruperea curenților de mică intensitate, inclusiv a celor de regim normal (Fig.3.55c) suflajul asupra arcului electric este obținut prin autoexpansiune ( $V_1$ ) completată, dacă este cazul, printr-o componentă provenind din autocompresie ( $V_2$ ); la deconectarea curenților de scurtcircuit (Fig.3.55d) suflajul se constituie numai ca urmare a autoexpansiunii gazului din volumul  $V_1$ . Fiind posibilă recuperarea parțială a energiei arcului electric prin autoexpansiunea gazului, acționarea acestor întrerupătoare necesită dispozitive de acționare simplificate, cu nivel redus al energiei înmagazinate și cu indicatori de fiabilitate ameliorați.

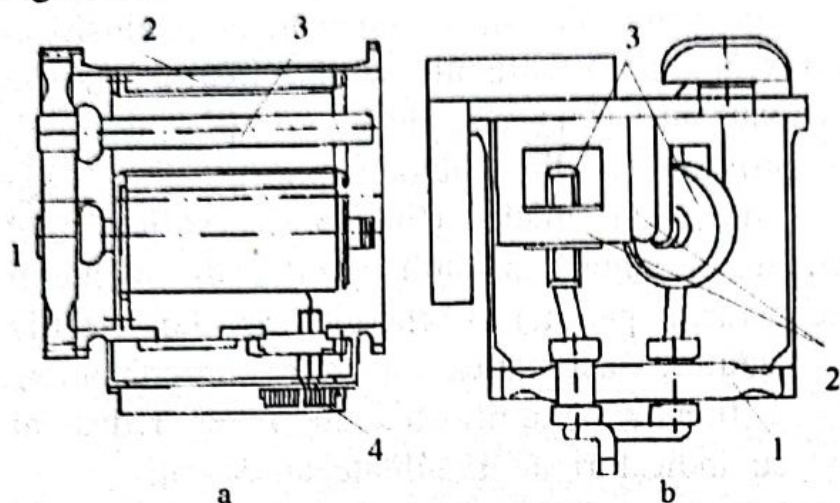
Construcția separatoarelor utilizate în instalațiile capsulate cu izolație în hexafluorură de sulf are elemente specifice, ținând seama și de destinația acestor echipamente în instalațiile tradiționale, anume aceea de a face nemijlocit vizibilă separarea electrică a anumitor circuite. Deoarece vizibilitatea în interiorul blindajului nu este posibilă, pentru controlul deschiderii complete a contactelor separatoarelor s-a recurs la diferite metode, unele între timp părăsite (intercalarea de ecrane metalice legate la pământ între contactele deschise ale separatorului, practicarea unor hublouri în blindajul celulelor pentru controlul vizual al deschiderii complete a contactelor). În construcțiile actuale se utilizează indicatoare de poziție amplasate în exteriorul compartimentului separatorului, legate la contactele mobile ale acestuia și capabile să semnalizeze fără ambiguitate starea aparatului la un moment dat. Posibilitatea deteriorării nivelului de izolație dintre contactele deschise ca urmare a unor pierderi de gaz  $SF_6$  este preîntâmpinată prin utilizarea manometrelor compensate în temperatură, capabile să detecteze orice scădere accidentală a presiunii.

Dispozitive de control similare sunt prevăzute și pentru confirmarea închiderii ferme a contactelor separatoarelor de legare la pământ.

Transformatoarele de curent sunt de tip toroidal, adaptate pentru a putea fi amplasate direct pe cablurile de înaltă tensiune, dacă instalația capsulată este racordată la o rețea în cablu; în alte



variante, acestea sunt amplasate în compartimentul întrerupătorului, Fig.3.54.



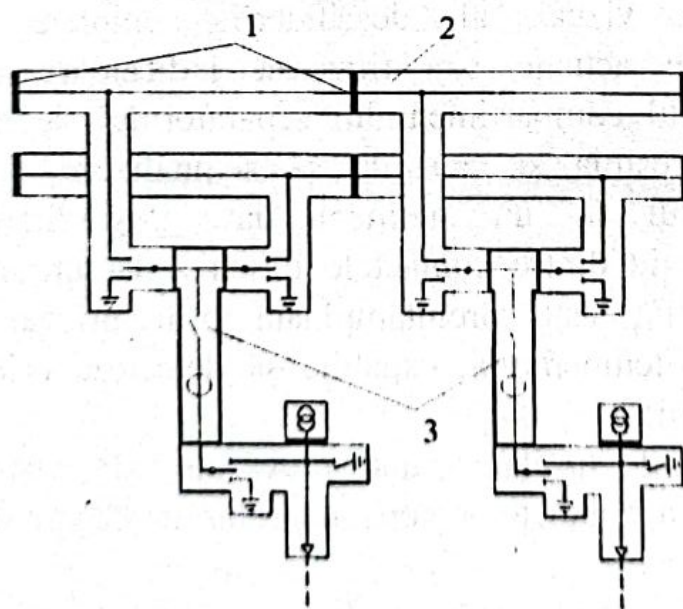
**Fig.3.56**

*Transformatoare de măsurare: a-transformator de curent; b-transformator de tensiune: 1-izolator de trecere și etanșare; 2-miez feromagnetic; 3-înfășurare primară; 4-regletă de borne.*

Noi tipuri de transformatoare de curent sunt avute în vedere, [17]: transformatoare magnetice de putere redusă, utilizarea efectului Faraday etc.

Transformatoarele de tensiune pot fi de inducție sau divizor capacitiv. Construcțiile, [40], sunt prezentate în Fig.3.56.

Sistemul de gaz al unei instalații capsulate este constituit dintr-o succesiune de compartimente, detașabile și separate cu ajutorul unor izolatoare de etanșare



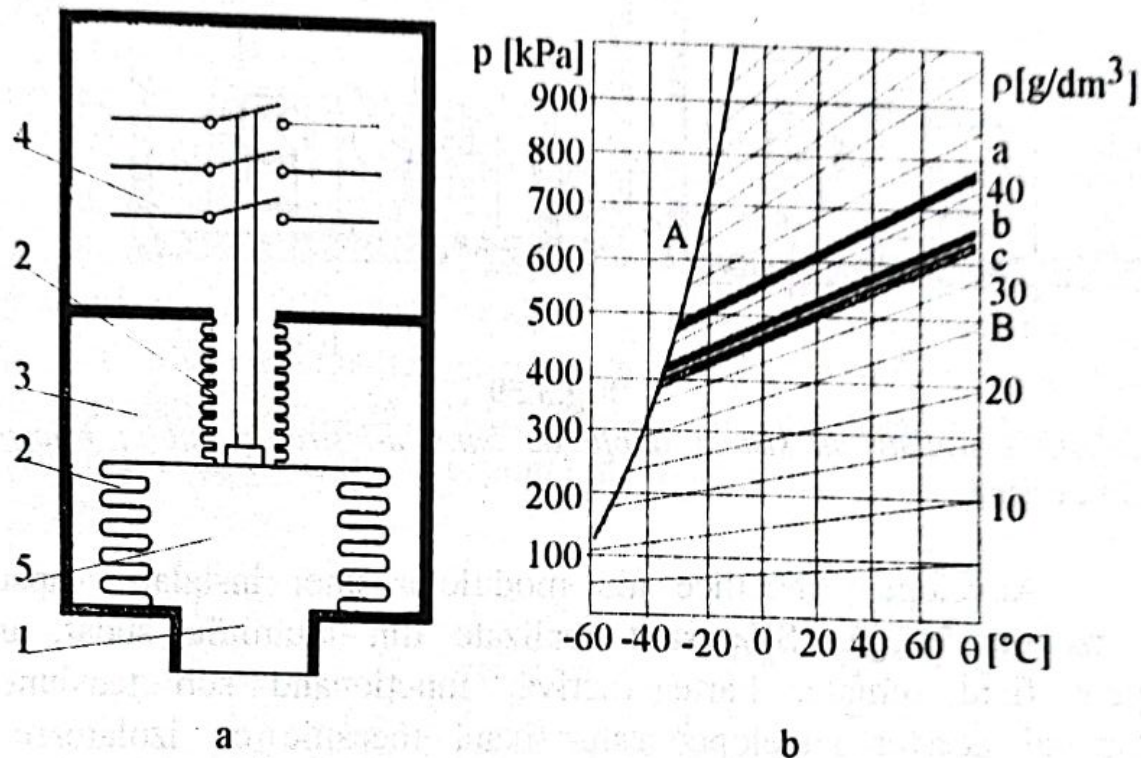
**Fig.3.57**

*Sistem de capsulare: 1- izolator de trecere și etanșare; 2-compartiment pentru bare; 3- incinta întrerupătorului.*

(Fig.3.57), fiecare conținând elementele de structură necesare: jocurile de bare, aparatajul de comutație, de măsurare, plecările în cablu etc. Pentru întrerupător compartimentarea este necesară în vederea limitării, la un volum cât mai redus, a împrăștierei substanțelor de descompunere a gazului  $\text{SF}_6$ , produsă sub acțiunea arcului de



deconectare. Pentru restul echipamentului, prin compartimentare se urmărește pe de o parte limitarea spațială a efectelor unor eventuale defecte interne, cu repercursiuni pozitive și asupra disponibilității instalației, iar pe de altă parte posibilitatea de extindere fără cheltuieli excesive, [15].



**Fig.3.58**

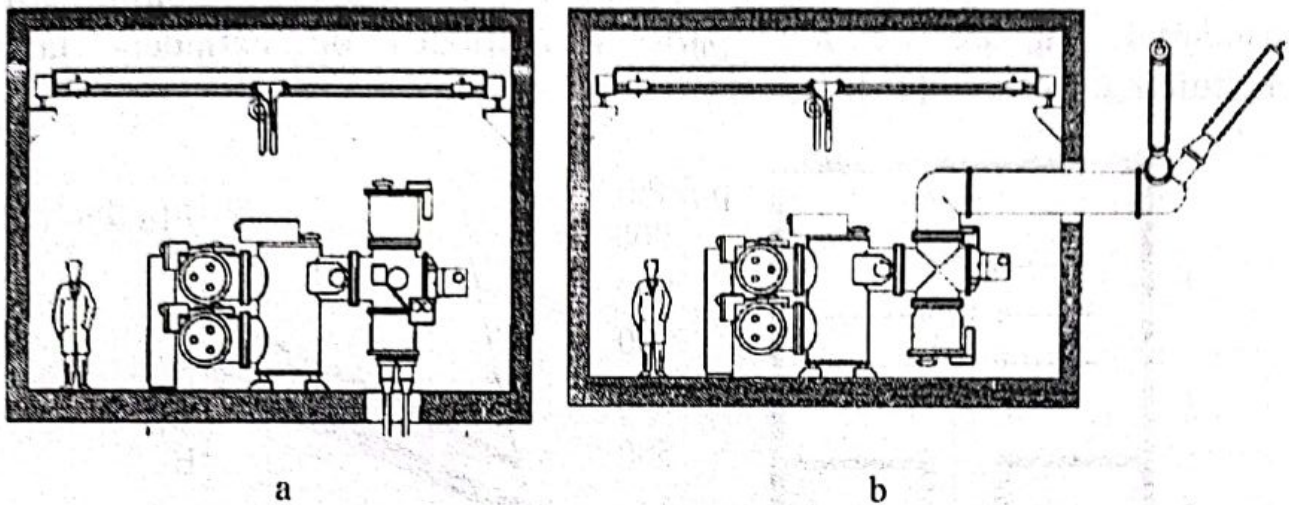
*Manometru de contact și caracteristici de funcționare*

Presiunea gazului în compartimentele unei instalații capsulate este supravegheată cu manometre de contact termocompensate (joje de densitate). Configurația unei joje de densitate pentru hexafluorură de sulf și caracteristicile de funcționare ale acesteia, utilizabile și în construcția întrerupătoarelor [41], sunt date în Fig.3.58.

Joja (Fig.3.58a) permite efectuarea măsurării pe baza principiului comparației; densitatea gazului supravegheat, existent în compartimentul 5, este comparată în permanență cu cea corespunzătoare gazului din incinta de referință 3. La temperatură variabilă, punctul de funcționare normală (fără pierderi de gaz) se situează pe curba a (Fig.3.58b); curba b corespunde densității gazului din incinta de referință a jojei. Dacă densitatea scade sub această valoare, un microcontact semnalizează necesitatea completării cu hexafluorură de sulf. În cazul unor pierderi importante de gaz



(densitate sub nivelul dat de curbă c), un al doilea semnal blochează funcționarea întrerupătorului sau a instalației capsulate.

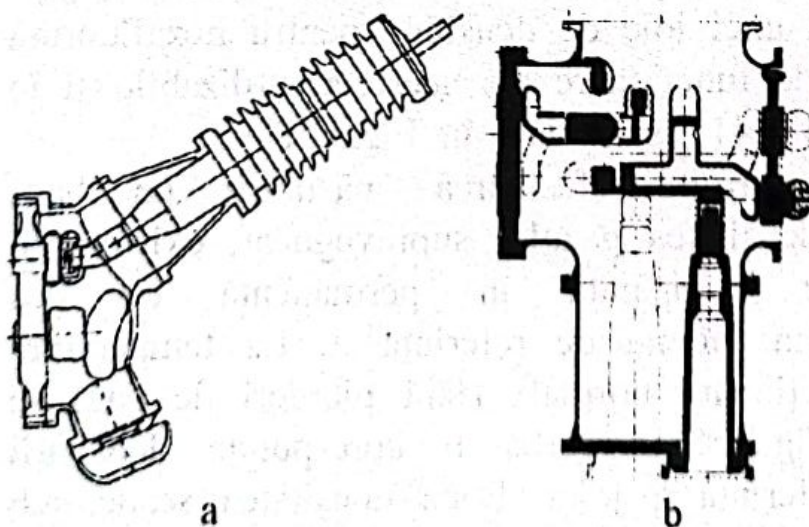


**Fig.3.59**

*Instalații capsulate cu sistem dublu de bare: a-ieșire în cablu; b-ieșire în linie aeriană.*

Anvelopele metalice ale modulelor unei instalații capsulate cu izolație în gaz  $\text{SF}_6$  sunt realizate din aluminiu sudat, unele repere fiind turnate. Partea activă, funcționând sub tensiune în interiorul acestor anvelope, este fixată mecanic cu izolatoare din rășină pe bază de siliciu. Anvelopa metalică a fiecărui modul este legată la pământ în ambele capete.

Instalațiile capsulate cu izolație în hexafluorură de sulf se pot conecta în diferite moduri la echipamentul instalației complexe



**Fig.3.60**

*Compartimente de ieșire: a-în LEA; b-în LEC.*

din care fac parte, [40]; astfel este posibilă ieșirea în linie fie subterană, fie aeriană (Fig.3.59a,b) sau racordarea directă la transformatorul de putere.

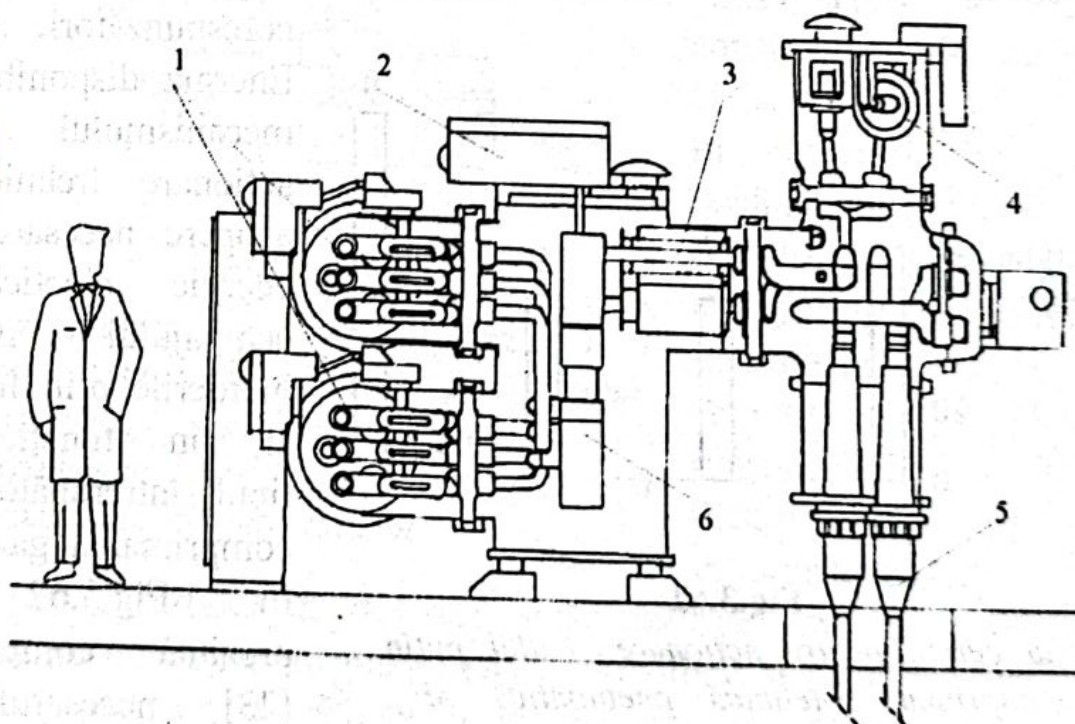
Construcția unui izolator de trecere în  $\text{SF}_6$ , care permite racordarea la o linie aeriană sau la



transformator [40], este prezentată în Fig.3.60a.

Izolatoarele de trecere sunt realizate în mod obișnuit de tip condensator, cu izolație de hârtie împregnată în rășină epoxidică; la exterior construcția este protejată printr-o anvelopă de porțelan. Izolatoarele sunt umplute cu hexafluorură de sulf la presiunea existentă în întreaga instalație.

Construcțiile cu ieșire în cablu, Fig.3.60b, sunt realizate obișnuit pentru tensiuni nominale de 72,5...245 kV, mai rar pentru 420 kV. Cablurile cu izolație în ulei au fost înlocuite prin cabluri uscate, cu izolație sintetică sau chiar cu izolație gazoasă. În acest sens se citează legăturile trifazate de evacuare a puterii de la câteva din grupurile de 900 MW existente în centralele nucleare din Franța, realizate cu izolație gazoasă în maniera sistemului de bare dintr-o instalație capsulată, [15]; același tip de legături [4], [43], sunt construite și utilizate tradițional de ABB.



**Fig.3.61**

*Instalație capsulată cu izolație în hexafluorură de sulf (ABB): 1-bare colectoare; 2-mecanism de acționare; 3-transformatoare de curent; 4-transformatoare de tensiune; 5-ieșire în cablu; 6-întrerupător.*

Fiind construite integral pe principiul modulului, instalațiile capsulate pot reproduce orice schemă de stație de transformare, indiferent de tipul sistemului de bare colectoare: dublu, în H, în

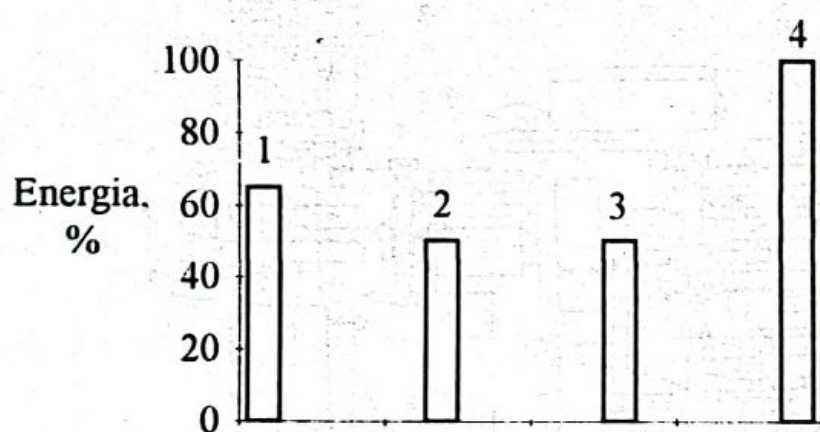


inel, etc. În Fig.3.61 este prezentată arhitectura unei instalații blindate cu izolație în hexafluorură de sulf și ieșire în cablu, de construcție recentă, [40].

### 3.8. Acționarea întrerupătoarelor cu hexafluorură de sulf

Mecanismul de acționare al unui întrerupător de putere trebuie să posede capacitatea de a acumula o anumită cantitate de energie pe care să o elibereze la comandă; aceasta servește pentru deplasarea cu viteză impusă a echipajului mobil, atât la deschiderea cât și la închiderea întrerupătorului.

La alegerea tipului de acționare pentru un întrerupător, patru cerințe importante trebuie avute în vedere și anume: energie redusă de comandă, posibilități de execuție a unei game largi de manevre, mentenanță și preț de valori reduse, indicatori de fiabilitate corespunzători.



**Fig.3.62**

*Energia cerută pentru acționare: 1-ulei puțin, 2-aer comprimat, 3-tehnică pneumatică SF<sub>6</sub>, 4-tehnică autopneumatică SF<sub>6</sub>.*

acționarea diferitelor tehnici în comutația de putere; întrerupătoarele cu autocompresie necesită energii de valori mari, care parțial se consumă pentru comprimarea gazului SF<sub>6</sub>.

Combinarea diferitelor tehnici de stingere a arcului electric (autocompresia asistată de autoexpansiune, suflajul magnetic) a permis, pe lângă ameliorarea parametrilor electrici și minimizarea

Energia disponibilă a mecanismului de acționare trebuie să acopere necesarul de energie cinetică a echipajului mobil, pierderile prin frecare și, în funcție de tipul întrerupătorului, comprimarea gazului.

În Fig.3.62 se prezintă comparativ [23], necesarul de energie pentru



energiei necesare pentru acționare, o parte din energia arcului electric însuși fiind recuperată în acest scop. În Fig.3.63 se prezintă evoluția energiei disponibile a mecanismului de acționare în funcție de capacitatea de deconectare la scurtcircuit și de tehnica de comutație [12], [23]. Astfel, dacă un întrerupător în tehnică autopneumatică necesită de regulă 1 kJ pentru deconectarea unui curent de scurtcircuit de 40...50 kA, soluția combinată, autoexpansiune și arc turnant, poate opera cu o energie de doar 300 J pentru aceeași intensitate a curentului de defect.

Utilizarea autoexpansiunii ca procedeu de suflaj al arcului electric permite

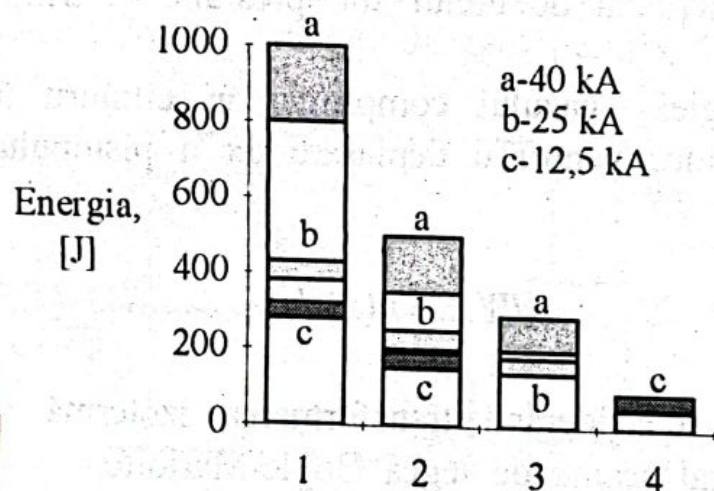


Fig.3.63

Energia mecanismului de acționare : 1- tehnica autopneumatică, 2- tehnica autopneumatică și autoexpansiune, 3- autoexpansiune și arc turnant, 4- autoexpansiune sau arc turnant.

recuperarea unei importante părți din energia pusă în joc la deconectare, procentul atins fiind, la unele construcții [24], de circa 50%.

În acest fel devine posibilă acționarea cu consum scăzut de energie, deci utilizând mecanisme simple, cu resorturi. Practica obișnuită însă arată că pentru acționarea întrerupătoarelor de

putere cu hexafluorură de sulf sunt utilizate, de la caz la caz, mecanisme de acționare pneumatice, hidraulice sau cu resorturi.

Experiența dobândită în exploatarea întrerupătoarelor cu aer comprimat a fost hotărâtoare în ceea ce privește renunțarea rapidă la acționarea pneumatică datorită, evident, inconvenientelor majore caracteristice: funcționare dificilă în condiții de umiditate crescută și necesitatea utilizării compresoarelor, agregate cu fiabilitate scăzută.

Deși inițial peste 60% din întrerupătoarele autopneumatice cu hexafluorură de sulf au fost acționate pneumatic, din motivele menționate sistemul a înregistrat un permanent regres încât, în

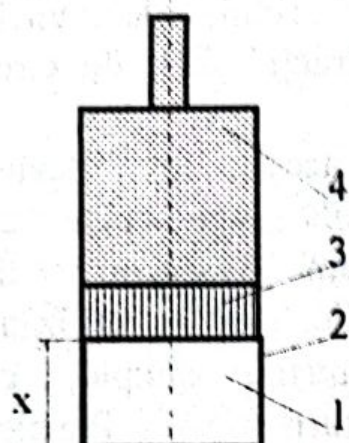


1983, mai era utilizat doar în circa 10% din cazuri. În schimb, s-a înregistrat o extindere a comenzii hidraulice care, în aceeași perioadă, echipa 80% din totalul acestor întrerupătoare, [23].

Mecanismele de acționarea de tip oleopneumatic, satisfăcând cerințele impuse, utilizează drept acumulator de energie un gaz sub presiune. Comprimarea gazului și transmiterea mișcării la contactele mobile ale întrerupătorului se obțin pe cale hidraulică, cu ajutorul uleiului sub presiune.

Principiul acumulării energiei [14], este ilustrat în Fig.3.64: o anumită cantitate de azot 1 este comprimată în cilindrul 2 cu ajutorul pistonului liber 3, acționat de uleiul sub presiune 4, trimis de o pompă.

Variația  $dW$  a energiei gazului comprimat în cilindru la presiunea  $p(x)$ , care se produce pentru o deplasare  $dx$  a pistonului 3, este dată de relația:



$$dW = Sp(x)dx \quad (3.6)$$

sau, considerând transformarea izotermă și ținând seama de legea Boyle-Mariotte:

$$dW = \frac{Sp_0x_0}{x}dx, \quad (3.7)$$

**Fig.3.64**  
*Principiul acumulării energiei*

unde, conform Fig.3.64,  $S$  reprezintă suprafața de lucru a pistonului 3, iar  $p_0$ ,  $x_0$ -valorile inițiale ale presiunii, respectiv cursei pistonului.

Pentru energia  $W$ , eliberată de gazul acumulator la deplasarea pistonului între limitele  $x_i$ ,  $x_f$  ( $x_i < x_f$ ), corespunzătoare respectiv valorilor maximă,  $p_i$  și minimă,  $p_f$  ale presiunii, prin integrare se obține:

$$W = Sp_0x_0 \ln\left(\frac{x_f}{x_i}\right). \quad (3.8)$$

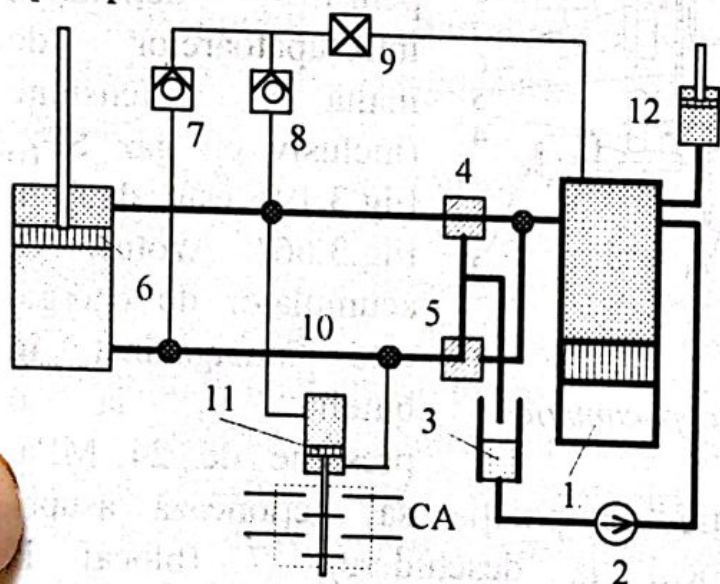


În ipoteza că transformarea rămâne de tip izoterm, ținând seama din nou de legea Boyle-Mariotte, relația (3.8) se poate pune sub forma finală:

$$W = p_0 V_0 \ln \left( \frac{p_i}{p_f} \right), \quad (3.9)$$

$V_0$  fiind volumul inițial al gazului acumulator.

Pe baza acestui principiu, comprimarea la circa 30 MPa a unei anumite cantități de azot permite înmagazinarea unei energii de aproape 10 kJ.



**Fig.3.65**

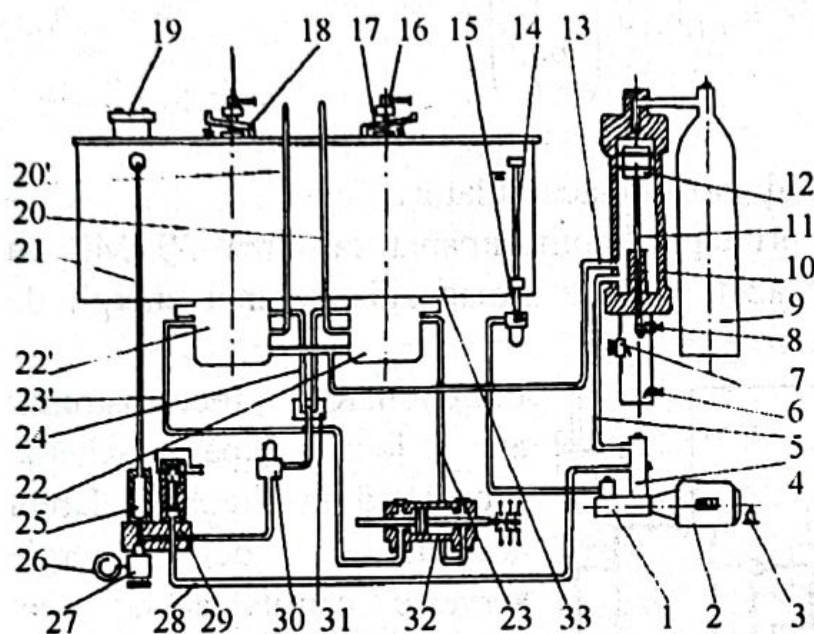
*Schema de principiu a mecanismului de acționare oleopneumatic*

Funcționarea mecanismului are loc după schema prezentată în Fig.3.65. Drept acumulator de energie servește cantitatea de azot 1, comprimată cu ajutorul uleiului hidraulic trimis sub presiune de pompa 2, din rezervorul 3. Pentru acționarea la închidere sau deschidere a întrerupătorului, se comandă deschiderea căii principale corespunzătoare electrovalvelor 4, respectiv 5. Uleiul sub presiune acționează pe una din fețele pistonului cu dublu efect 6, determinând deplasarea acestuia și închiderea sau deschiderea contactelor întrerupătorului; uleiul de pe fața opusă este recirculat în rezervorul 3.

Ventilele de întoarcere 7, 8 asigură menținerea conductelor de după electrovalvele 4, 5 la o presiune de câteva atmosfere, pentru a împiedica pătrunderea aerului; uleiul necesar în aceste ramuri ale instalației este preluat din cilindrul acumulator prin intermediul reductorului de presiune 9.



Mecanismul oleopneumatic este prevăzut cu cilindrul auxiliar 10 în care, prin deplasarea pistonului imagine 11, este reprodusă poziția pistonului principal 6 și sunt comutate contactele auxiliare CA, ale întrerupătorului. Presostatul 12 are rolul de a controla presiunea uleiului și de a bloca acționarea în ciclu închis-deschis a întrerupătorului, dacă aceasta scade.



**Fig.3.66**

*Construcția mecanismului oleopneumatic*

Schema de ansamblu a unui mecanism oleopneumatic fabricat de SC Electroputere Craiova, utilizat pentru acționarea întrerupătoarelor de înaltă tensiune (inclusiv cu gaz SF<sub>6</sub>, Fig.3.19) este dată în Fig.3.66. Azotul, ca acumulator de energie este înmagazinat în butelia 9, la o presiune de 24 MPa.

Tija pistonului 11, în funcție de poziția sa, acționează asupra microîntrerupătoarelor 6 (blocaj la deschidere), 7 (blocaj la închidere), sau 8 (pornirea pompei). Motorul asincron 2 acționează pompa de înaltă presiune 1 care, prin filtrul 15, absoarbe uleiul din rezervorul 33 și îl trimite sub presiune prin supapa 4 și conducta 5 la cilindrul 10 al acumulatorului, respectiv prin conducta 28, la blocul distribuitor. De la acumulator uleiul ajunge, prin conducta 13, la valvele de comandă 22, 22'. Blocul distribuitor susține presostatul 29 care, prin contactele sale de ieșire, blochează comanda de acționare a întrerupătorului, dacă presiunea uleiului scade sub valori reglate.

Blocul de control 27 permite descărcarea uleiului printr-un robinet și urmărirea valorilor presiunii înalte, pe manometrul 26. Supapa de siguranță 25, racordată prin conducta 21, are rol de protecție la suprapresiuni. Reductorul de presiune 30 menține în



conductele din avalul valvelor 22, 22' o presiune superioară celei atmosferice, pentru a împiedica pătrunderea aerului în această parte din instalație. Poziția întrerupătorului este semnalizată cu ajutorul pistonului imagine din cilindrul 32, racordat la instalație prin conductele 23, 23'. Tubul transparent 14 permite urmărirea nivelului uleiului, care poate fi completat prin bușonul 19.

Comanda valvelor de închidere-deschidere 22, 22' se face prin intermediul pârghiilor 17, cu care sunt prevăzute electrovalvele 16, 18; uleiul sub presiune este trimis la instalațiile de execuție prin una din conductele 20, 20'.

Comparativ cu alte mecanisme de acționare, cel oleopneumatic prezintă următoarele avantaje, [14]:

- transmisia mișcării, de la acumulatorul de energie la echipajul mobil al întrerupătorului, se face pe cale hidraulică, evitându-se astfel neajunsurile unui lanț cinematic cu piese în mișcare;

- energia acumulată specifică (raportată la volumul elementului acumulator) are valori mai mari decât în cazul mecanismelor de acționare cu resorturi;

- se elimină dispozitivele de acroșare mecanică, având dezavantajul unei uzuri intense;

- țevăria instalației nu este sub presiune înaltă decât pe duratele foarte scurte ale deplasării echipajului mobil, fapt care diminuează considerabil intensitatea îmbătrânirii acesteia.

O variantă de real interes tehnic o constituie comanda hidromecanică, mecanismul de acționare funcționând cu acumulare de energie în resort și transmisie hidraulică. Construcții de acest tip (Fig.3.67) echipează întrerupătoarele cu hexafluorură de sulf de fabricație ABB [41], [4].

Comanda hidromecanică (Fig.3.67a) se compune în esență dintr-un ansamblu format din resorturile de tip disc 1 și un bloc hidraulic. Transmisia energiei acumulate se face de la pistonul 2 al acumulatorului, prin intermediul verinei hidraulice 3, la echipajul mobil al întrerupătorului.

În Fig.3.67b se prezintă construcția unui pol al întrerupătorului tip ELF SP [41], din care rezultă modul de amplasare a comenzii hidromecanice (reperul 4).



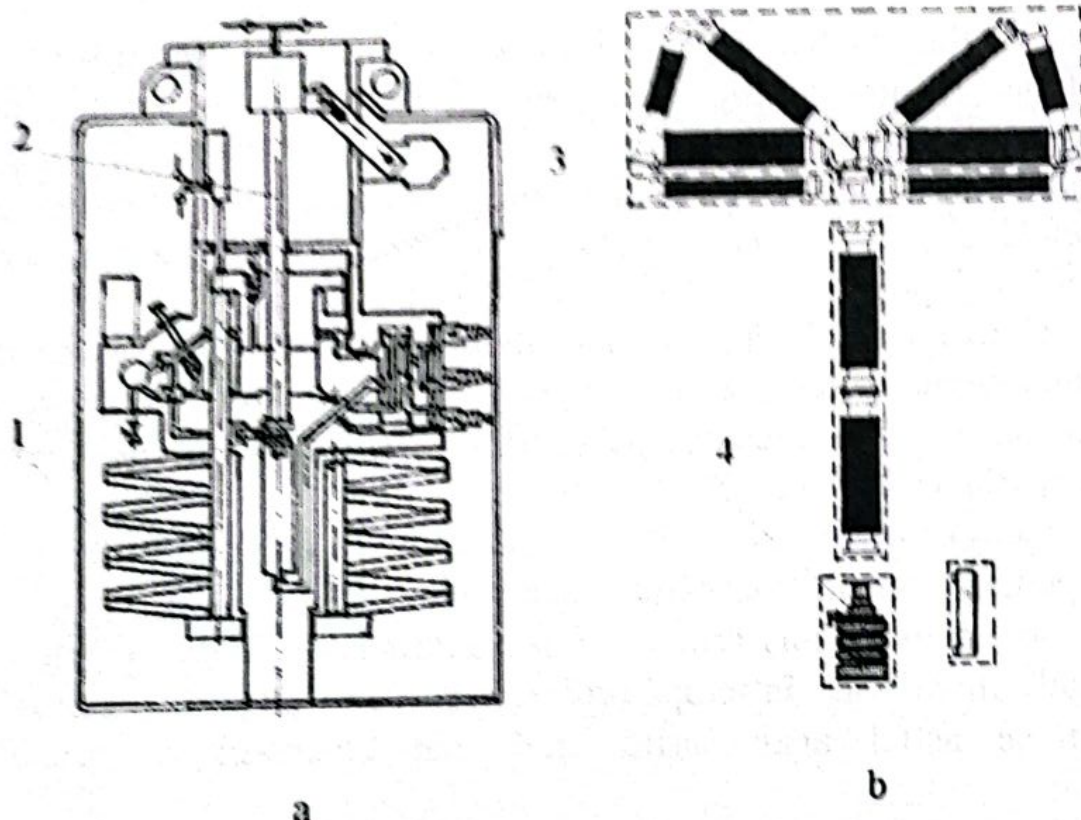


Fig.3.67

Comanda hidromecanică: a-ansamblu constructiv: 1-resort acumulator; 2-piston; 3-verină hidraulică; b-amplasare pe întrerupător ELF SP (ABB): 4-mecanism de acționare.

Mecanismul este prevăzut cu posibilitate de comandă de la distanță și cu sisteme de supraveghere și blocare a acționării în cazul unei acumulări insuficiente de energie în resorturi.

Data fiind rata în general înaltă de defectare din cauze de natură mecanică a unui întrerupător, cifrată la valori de 80...90% din totalul defectelor [23], o cerință de maximă importanță impusă mecanismului de acționare se referă la indicatorii săi de fiabilitate; aceștia pot fi ameliorați prin simplificarea la maximum a construcției.

Deși nu pot înmagazina decât energii de valori mai mici, mecanismele cu resorturi oferă o soluție de stocare sigură a energiei și se caracterizează prin acționare precisă; se utilizează pentru acționarea întrerupătoarelor cu hexafluorură de sulf de fabricație recentă.

Comanda cu acumulare de energie în resorturi se exemplifică prin mecanismul de acționare tip BLG, de fabricație



ABB. Modul de operare și componentele principale ale mecanismului pot fi urmărite pe Fig.3.68, [48].

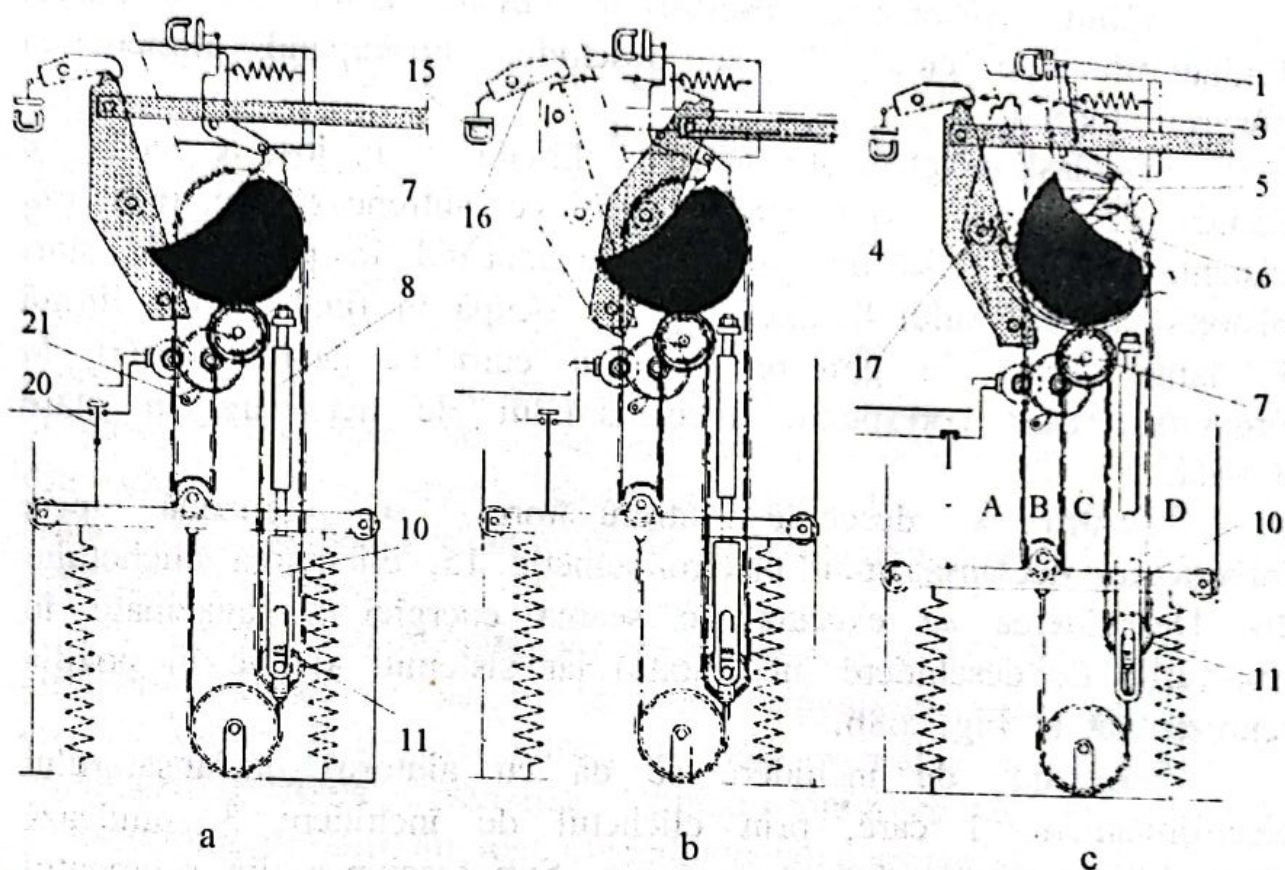


Fig.3.68

*Comandă cu acumulare de energie în resorturi tip BLG ABB: a-mecanism în stare armată; b-starea mecanismului după efectuarea operației de deschidere; c-starea mecanismului după efectuarea operației de închidere.*

Armarea resorturilor de închidere 24 (Fig.3.68a) se obține cu ajutorul electromotorului 19 care, prin intermediul reductorului de turație 18, antrenează roata dințată 7 în sensul indicat.

Roata dințată 5 și cama 6 sunt blocate prin intermediul clișetului de închidere 3. Capetele lanțului de antrenare 9 sunt fixate pe roțile dințate 5, 7 încât, pe durata armării, segmentele B, C se deplasează în sensul indicat, în timp ce porțiunile A, D rămân fixe. Pe măsură ce lanțul de antrenare 9 se deplasează, roata 25 împreună cu puntea 22 urcă, roata 11 coboară, iar resorturile de închidere 24 sunt tensionate. Lanțul de antrenare 12 are rolul de a



menține permanent întins lanțul 9, iar clichetul 21 blochează rotirea inversă a roților reductorului de turație 18.

Când tensionarea resorturilor devine completă, contactul limitatorului de cursă 20 se deschide, întrerupând alimentarea electromotorului.

Deplasările efectuate de roata dințată 11 în jos, respectiv de puntea 22 în sus, sunt egale. După ce antrenează pe o scurtă distanță în jos piesa de ghidare 10, aducând în poziția de start pistonul amortizorului 8, axul roții 11 ocupă în final poziția limită în fanta piesei de ghidare 10, așa cum se poate urmări în Fig.3.68a, care corespunde mecanismului de acționare în stare armată.

Pentru a deschide întrerupătorul, se comandă, prin intermediul declanșatorului electromagnetic 15, eliberarea clichetului 16. Deschiderea se execută pe seama energiei înmagazinate în resorturile de deschidere (nefigurate) iar sistemul ajunge în poziția reprezentată în Fig.3.68b.

Comanda de închidere se dă cu ajutorul declanșatorului electromagnetic 1 care, prin clichetul de închidere 3, anulează blocarea roții dințate 5 și a camei 6. Sub tensiunea din segmentul A al lanțului 9, roata 5 și cama 6 sunt acționate în sensul indicat de săgeată. Cama 6, prin intermediul rolei 17, aduce levierul 4 în poziția finală (Fig.3.68c), acroșat și blocat de clichetul de deschidere 16. Axul roții dințate 11 parcurge lungimea fantei din piesa de ghidare 10, la capătul cursei de închidere mișcarea fiind frânată de amortizorul mecanic 8.

După rearmarea resorturilor, mecanismul de acționare este adus în poziția reprezentată în Fig.3.68a.

Mecanismul este prevăzut cu releu antipompaj, element de încălzire termostatat, contor de acționări, indicatoare pentru starea resorturilor etc.

Protejat într-o carcasă din aluminiu rezistentă la coroziune, mecanismul de acționare tip BLG cu înmagazinare de energie în resorturi, echează întrerupătoarele de înaltă tensiune cu hexafluorură de sulf HPL-A, HPL-B (Fig.3.18), de fabricație ABB [37], [38], [48].



### 3.9. Utilizarea tehnicii de comutație în hexafluorură de sulf

Înterupătoarele cu hexafluorură de sulf apar pe piața echipamentelor electrice după anul 1965, moment în care înterupătoarele realizate în tehnica clasică (cu ulei puțin, cu aer comprimat etc.) împlineau 30...35 de ani de utilizare, [6].

În cele trei decenii de fabricare și comercializare a aparatelor cu comutație în hexafluorură de sulf, marile firme constructoare au ajuns fiecare la zeci de mii de exemplare vândute și puse în funcțiune. Au fost elaborate și studiate mii de proiecte din care doar o mică parte au fost transpuse în practică; tehnologiile au fost perfecționate în mod continuu, până la obținerea generațiilor actuale.

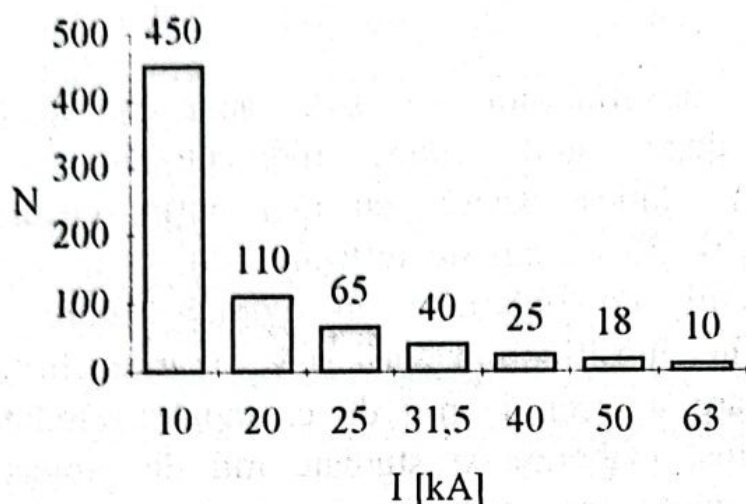
În pofida dezavantajelor menționate la § 3.2, înterupătoarele cu două presiuni au fost multă vreme singurele versiuni de aparate cu hexafluorură de sulf intrate în mod avantajos în competiție cu tehnica tradițională. Avantajele tehnico-economice ale comutației în hexafluorură de sulf au fost evidențiate cu claritate abia după 1975, odată cu fabricarea și utilizarea primelor înterupătoare cu autocompresie.

Compararea tehnico-economică a înterupătoarelor realizate în diferite tehnologii (clasică, hexafluorură de sulf) și chiar a diferitelor variante constructive funcționând cu hexafluorură de sulf, trebuie făcută în funcție de masa specifică a acestora (obținută prin raportare la puterea de rupere și exprimată în kg/GVA) și nu în funcție de prețuri deoarece [23], în construcția înterupătoarelor de putere cu ulei puțin, pneumatice și cu comutație în hexafluorură de sulf sunt necesare materii prime și cheltuieli de manoperă similare.

Progresele înregistrate în numai 15 ani (1965...1980), conținând și saltul produs prin introducerea tehnicii autopneumatice în locul celei cu două presiuni, pot fi ilustrate astfel, [23]: puterea de rupere a înterupătoarelor crește de la 2 la 20 GVA, în timp ce masa specifică scade de la 1000 la 200 kg/GVA.

Evoluția tehnică în construcția înterupătoarelor cu comutație în hexafluorură de sulf se concretizează și în reducerea, de la o generație la alta, a numărului camerelor de stingere modul,





**Fig.3.69**

*Numărul de întreruperi în funcție  
de curentul întrerupt*

Micșorarea numărului de repere utilizate în construcția întrerupătorului conduce, de asemenea, la creșterea valorilor indicatorilor de fiabilitate și a mentenabilității.

Evoluțiile menționate pot fi exemplificate în raport cu oricare din marile firme producătoare de echipament de comutație.

Astfel, întrerupătoarele firmei Siemens, în număr de 10.000 la sfârșitul anului 1987, erau prevăzute, în 1967, cu patru camere de stingere modul pe pol (245 kV/40 kA). În prezent, la aceeași tensiune și pentru o capacitate de rupere la scurtcircuit de 50 kA, aceleași întrerupătoare sunt echipate doar cu o singură cameră modul pe pol; numărul detaliilor constructive utilizate a scăzut de circa trei ori, [27].

Mitsubishi Electric din Japonia a fabricat, începând cu 1965, 14.000 de întrerupătoare cu hexafluorură de sulf. În prezent, întrerupătoarele cu tensiunea de 300 kV sunt prevăzute cu o singură cameră modul pe pol, cele destinate instalațiilor cu tensiunea nominală de 550 kV având doar două module, [26]. Capacitatea nominală de rupere la scurtcircuit a acestor întrerupătoare a atins valoarea de 63 kA (110 kA în cazul întrerupătoarelor pentru generatoare).

reprezentând tot atâtea locuri de întrerupere pe pol. Efectele micșorării numărului de camere de stingere modul pe pol se reflectă nu numai în scăderea masei specifice, dar și în construcția generală a aparatului și, cu deosebire în construcția mecanismului de acționare. Acesta se simplifică mult, deoarece energiile puse în joc devin mai mici.



Intrerupătoarele destinate instalațiilor de transport al energiei electrice se fabrică în două versiuni de bază: cu volum redus, respectiv în baie (cu volum mare) de hexafluorură de sulf.

Intrerupătoarele cu volum redus de gaz (live-tank, Fig.3.15) sunt capsulate în anvelope de porțelan, izolate deasupra nivelului solului, construcția globală fiind asemănătoare celei întâlnite la întrerupătoarele de putere cu ulei puțin. Gama întrerupătoarelor cu volum redus de hexafluorură de sulf acoperă domeniul nivelurilor de tensiune între limitele 145...800 kV.

Intrerupătoarele cu volum mare de gaz  $\text{SF}_6$  (dead-tank, Fig.3.23) au partea activă ermetic închisă într-o cuvă metalică, legată electric la pământ, în care hexafluorura de sulf se găsește la presiunea de funcționare. Accesul la căile de curent se face prin izolatoare de trecere, care pot avea înglobate transformatoare de curent. Mai fiabile decât întrerupătoarele cu volum redus de gaz, versiunile realizate în baie de hexafluorură de sulf pot fi convenabil folosite în construcția celulelor blindate, prin încapsulare în interiorul acestora. Se fabrică uzual pentru tensiuni nominale în domeniul 72...800 kV.

Duratele reduse și cerințele modeste de mentenanță conduc la valori ridicate ale disponibilității tehnicii de comutație în hexafluorură de sulf și contribuie la reducerea cheltuielilor totale de exploatare. De exemplu [41], în cazul întrerupătoarelor de exterior tip ELF SP fabricate de ABB, s-a constatat că înlocuirea contactelor nu este necesară decât după deconectarea de 10 ori a unui curent de scurtcircuit de 63 kA; în cazul acestor aparate, potrivit instrucțiunilor de exploatare, efectuarea reviziilor se face nu după durata de funcționare ci după consumarea rezervei de deconectare, exprimată prin numărul maxim admis de acționări la un anumit curent de defect, Fig.3.69. Joja de densitate (Fig.3.58) permite supravegherea permanentă a presiunii, inspecția și completarea cu gaz  $\text{SF}_6$  fiind necesare doar după mai mulți ani de funcționare, [41].

În instalațiile de medie tensiune, utilizarea întrerupătoarelor cu hexafluorură de sulf este foarte diversificată, de la echipamente de comutație în instalații de distribuție urbană, comercială, industrială, întrerupătoare pentru generatoare și până la echipamente



de comutație cu destinație specială (baterii de condensatoare, bobine de reactanță, cuptoare electrice, instalații de la bordul navelor și de pe platformele de foraj marin).

În cele peste trei decenii de fabricare și utilizare a întrerupătoarelor de putere cu hexafluorură de sulf a fost acumulat un volum important de date statistice, în măsură să permită evaluări precise privind comportarea în exploatare a acestora.

Analizele efectuate evidențiază avantajele nete ale comutației de putere în hexafluorură de sulf, comparativ cu tehnologiile tradiționale; acestea sunt concretizate în:

- creșterea valorilor capacității nominale de deconectare la scurtcircuit;

- încadrarea nivelurilor supratensiunilor de comutație între limite normale, prin eliminarea neajunsurilor datorate amorsării repetate a arcului electric și funcționării cu tăiere (smulgere) de curent;

- funcționarea fără consumarea mediului de stingere și eșaparea în atmosferă a particulelor rezultate în urma arderii arcului electric;

- etanșarea pe viață a camerelor de stingere, cu excluderea pierderilor de gaz, a necesității completării mediului de stingere și a influențelor negative exercitate de factorii climatici și de mediu asupra părții active a întrerupătorului;

- eliminarea completă a pericolelor de incendiu și explozie;

- creșterea duratei de funcționare: întrerupătoarele actuale cu comutație în hexafluorură de sulf pot efectua 50 de întreruperi la capacitate nominală de rupere la scurtcircuit, 10.000 - la curent nominal și până la 20.000 de acționări în gol, [6];

- îmbunătățirea consistentă a indicatorilor de fiabilitate: rata medie de defectare calculată pe o durată de 10 ani pentru un lot de 20.000 de întrerupătoare este de numai 0,07%, [7];

- creșterea periodicității reviziilor la peste 10 ani.

Proprietățile hexafluorurii de sulf, pe drept cuvânt numit "le gaz des appareilleurs" [16], permit realizarea unor echipamente de comutație cu parametri performanți, net superiori celor care caracterizează aparatele tradiționale.



Avantajele utilizării întrerupătoarelor de putere cu comutație în hexafluorură de sulf se concretizează în [6], [7], [12], [23], [16], [17], [30], insensibilitate față de condițiile de mediu, dimensiuni de gabarit diminuate, costuri de exploatare reduse, durată de funcționare electrică și mecanică ridicată, grad înalt de disponibilitate și securitate, posibilități de control permanent al parametrilor funcionali.

Inlocuirea echipamentelor de comutație tradiționale cu echipament modern, cu comutație în hexafluorură de sulf, este în plină desfășurare. Astfel, după datele din literatură [32], [49], ponderea întrerupătoarelor cu ulei puțin în instalațiile de medie tensiune era în 1991 de mai puțin de un sfert, celelalte trei fiind ocupate de întrerupătoarele cu comutație în hexafluorură de sulf (46%), respectiv în vid (31,2%).

### Bibliografie

1. Baraboi A., Adam M., Întrerupătoare de putere cu comutație în hexafluorură de sulf. *Energetica, seria B*, 5, 219 (1992).
2. Baraboi A., Echipamente electrice. Inst. Polit. Iași, 1989.
3. Barrault M., Bernard G., Chevrier P., Maftoul J., Rowe S., Scarpa P., Filleau O., Kersuzan J. P., Les disjoncteurs à autoexpansion sont le fruit d'études approfondies. *RGE*, 11, 72 (1992).
4. Boehle B., Guthmann O., Haneke K., Hügin K. H., Tettenborn W., Voß G., Wittwer H., Schaltanlagen. Cornelsen Verlag Schwann-Girardet, Düsseldorf, 1987.
5. Braun D., Guerig A., Life Management for Generator Circuit-Breakers. Report 13-204, CIGRE (1994).
6. Braun D., Hellman W., Plessl A., Application criteria for SF<sub>6</sub> and vacuum circuit-breakers. *ABB Review*, 4 (1989).
7. Ciboldi P., Perdoncin F., Talpo G., Le domaine d'emploi des disjoncteurs moyenne tension à SF<sub>6</sub>. Journée SF<sub>6</sub>, AIM Liège (1988).



8. Ciok Z., Jankowicz S., Poniecki W., Modelling and Investigation of Interaction between Arc Energy and Operating Mechanism of GCB. Report 13-106, CIGRE (1994).
9. Ciunihin A. A., Elektriceskie apparatî. Energhia, Moskva, 1975.
10. Egorov V. G., Rodina S. A., Seryakov K. I., Modelling of SF<sub>6</sub> Puffer Interrupters. Report 13-105, CIGRE (1994).
11. Flurschein C. H., Teoriia i konstrukții vîkliuciatelei. Energoizdat, Leningrad, 1982 (trad. din lb. engleză).
12. Hennbert J., Essais et développement des disjoncteurs SF<sub>6</sub> moyenne tension. Journée SF<sub>6</sub>, AIM Liège, (1988).
13. Hofbauer W., Stechbarth J., Strategic Tools-Application for the Development of a 300 kV/50 kA GIS Self-Blast Circuit Breaker. Report 13-110, CIGRE (1994).
14. Hortopan Gh., Aparate electrice, EDP București, 1981.
15. Jouclar Ph., Postes sous enveloppe métallique (PSEM). Techniques de l'ingénieur, 12 (1991).
16. Legros V., Les disjoncteurs à SF<sub>6</sub>: leur évolution. Journée SF<sub>6</sub>, AIM Liège (1988).
17. Messié M., Les postes haute tension sous enveloppe métallique: bilan et perspectives d'évolution. RGE, 1, 1 (1993).
18. Mosch W., Hauschild W., Izolații de înaltă tensiune în hexafluorură de sulf. Ed. Tehnică, București, 1984 (trad. din lb. germană).
19. Pelenc Y., Appareillage électrique d'interruption à haute tension. Techniques de l'ingénieur, 12 (1991).
20. Plessl A., Niemeyer L., Perdoncin F., Research for medium-voltage SF<sub>6</sub> circuit-breakers. ABB Review, 2 (1989).
21. Plessl A., Poole D., A new Self SF<sub>6</sub> Extinguishing MV Distribution Circuit-Breakers. Brown Boveri, 3 (1987).
22. Poltev A. I., Konstrukții i rasciot elegazovîh apparatov vîsokogonapriajeniia. Energhia, Leningrad, 1979.
23. Ryan H. M., Jones G. R., SF<sub>6</sub> Switchgear, Peter Peregrinus Ltd., London, 1989.



24. Thuries E., Dufournet D., Conception et évolution des disjoncteurs haute et moyenne tension. RGE, 11, 63 (1992).
25. Toda H., Ozaki Y., Miwa I., Nishiwaki S., Murayama Y., Yanabu S., Development of 800 kV Gas-Insulated Switchgear. IEEE Trans. on Power Delivery, 7, 1, 316 (1992).
26. Tomoshiro Marutani, Onuma Akiyoshi, Gas - insulated switchgear. Mitsubishi Elec. Adv., 39 (1987).
27. Umlauf D., Siemens Schalttechnik. OZE, 40, 12 (1987).
28. Van der Sluis L., Damstra G. C., Rutgers W. R., Schoonenberg G. C., The Modelling of Circuit-Breaker Arcs, Application in Design and Testing of Switchgear. Report 13-111, CIGRE (1994).
29. \* \* \* L'arc électrique et ses applications. Ed. CNRS, Paris, 1984.
30. \* \* \* Switching Phenomena in High-Voltage Circuit Breakers. Ed. by Kunio Nakanishi, MarcelDekker Inc. New York-Basel-Hong Kong, 1991.
31. \* \* \* Intrerupătoare cu SF<sub>6</sub> tip H 14 P 40, Electroputere Craiova, România.
- 32.\* \* \* Distribution HTA. Appareillage "SF<sub>6</sub>". Disjoncteurs Fluarc 1 à 38 kV, contacteurs Rollarc 1 a 12 kV. Catalogue Merlin Gerin AC0372 (1993).
33. \* \* \* Distribution MT. Ensembles préfabriqués debrochables. Postes de distribution MT 1 à 40kV: la gamme Fluair. Catalogue Merlin Gerin AC0282 (1992).
34. \* \* \* L'appareillage moyennne tension à SF<sub>6</sub>. Monographies techniques. EDF International (1987).
35. \* \* \* SM6 l'experience du futur. Catalogue Merlin Gerin AC0275 (1992).
- 36.\* \* \* Type tested metal-enclosed SF<sub>6</sub> compact switchgear cubicle system up to 24 kV type RGC. Catalogue ABB NH 5194 GB (1993).
37. \* \* \* SF<sub>6</sub> Circuit-Breaker HPL-A. Catalogue ABB Publ. SESWG/B 2312 E (1990).



38. \* \* \* SF<sub>6</sub> Circuit-Breaker HPL-B. Catalogue ABB Publ. SESWG/B 2313 E (1990).
- 39.\* \* \* Outdoor SF<sub>6</sub> Circuit-Breaker type EDF with single-chamber interruption per pole. Information leaflet EDF-AHMA/05/2/02. Catalogue ZWAR, Poland.
40. \* \* \* SF<sub>6</sub> - gasisolierte Schaltanlagen Typ ELK - 0. ABB Calor Emag Schaltanlagen AG, DEACE 1036 94 D (1994).
41. \* \* \* Disjoncteurs à SF<sub>6</sub> type ELF SP pour l'extérieur. ABB Schaltanlagen GmbH, DESAN 1057 90 F (1990)
42. \* \* \* HV Switchgear. ABB, CH HOS 1002 92 E (1992).
43. \* \* \* A Historical Review of ABB High-Current Systems. ABB Schaltanlagen GmbH, DESAN 1023 93 F (1993).
- 44.\* \* \* Intreruptoare independente cu SF<sub>6</sub> tip H 72,5-170 kV-2500 A-40(31,5) kA. SC Electroputere SA România.
45. \* \* \* Intreruptoare independente cu SF<sub>6</sub> tip H pentru 420 kV-2500 A-40 kA. SC Electroputere SA România.
46. \* \* \* Contactor de curent alternativ cu SF<sub>6</sub> tip HEXA CONT. SC Electroputere SA România.
47. \* \* \* Intreruptor de medie tensiune de interior cu SF<sub>6</sub> tip HF 12/24 kV. SC Electroputere SA România.
48. \* \* \* Spring operating mechanism BLG. Catalogue ABB Publ. SESWG/B 2501 E (1990).
49. \* \* \* Le SF<sub>6</sub> technologie universelle en moyenne tension. Catalogue Merlin Gerin VP0371 (1991).



## Capitolul 4

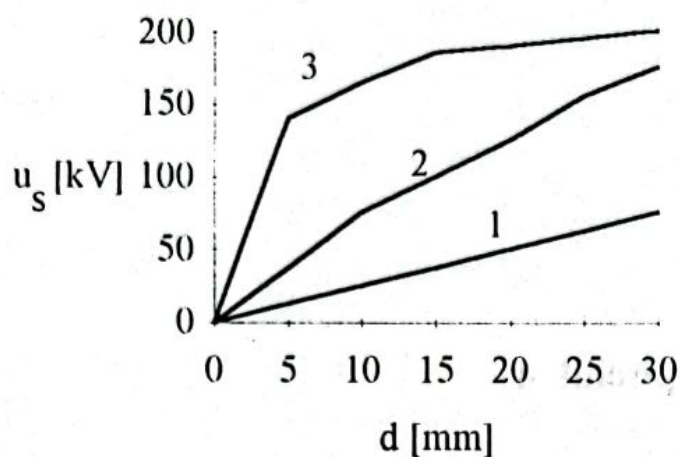
### COMUTATIA DE PUTERE IN VID AVANSAT

Utilizarea vidului avansat ( $10^{-7} \dots 10^{-2}$  Pa) ca mediu electroizolant și de stingere a arcului electric în comutația de putere a fost prefigurată încă din anii 1920 dar, ca și în cazul hexafluorurii de sulf, a fost necesară trecerea câtorva decenii până când, abia în 1950, primele întrerupătoare să poată fi comercializate [12], [23], [24]. Inițial evoluția acestei tehnici de comutație a fost destul de lentă, probabil și din cauza principiilor total noi pe care se bazează. În prezent, întrerupătoarele cu comutație în vid avansat cunosc generalizarea în rețelele de distribuție de medie tensiune.

#### 4.1. Amorsarea și stingerea arcului electric în vid

Curbele lui Paschen (Fig.1.2), stabilind interdependența dintre tensiunea de străpungere  $u_s$  a unui spațiu disruptiv și produsul (pd) evidențiază existența unui minim, specific tranziției de la mecanismele fenomenului de străpungere într-un gaz oarecare, la cele care caracterizează producerea lui în vid. Proprietățile electroizolante ale unui gaz depind de comportarea particulelor acestuia la impactul cu electroni accelerați în câmp electric, tensiunea de străpungere scăzând pe măsura creșterii parcursului mediu al electronilor. Dacă parcursul mediu atinge și depășește dimensiunile spațiului gazos de referință, tensiunea de străpungere crește din nou pentru ca, în final, să devină practic independentă





**Fig.4.1**  
*Tensiunea de străpungere*

considerată între două contacte amplasate în aer (curba 1) și hexafluorură de sulf (curba 2), ambele gaze considerate la presiune normală, respectiv într-un spațiu vidat (curba 3), [13]. Sunt astfel evidențiate proprietățile electroizolante ale vidului avansat, caracterizat prin tensiuni de străpungere de valori mari, ceea ce conduce la obținerea unor distanțe de izolație mult mai mici decât în alte medii electroizolante. Din aceste motive, la aceeași tensiune nominală, dimensiunile de gabarit ale echipamentelor cu stingerea arcului electric în vid rezultă mai mici decât cele întâlnite la echipamente funcționând cu alte medii de stingere (ulei, aer, SF<sub>6</sub>).

În raport cu distanța  $d$  dintre contacte, tensiunea de străpungere  $u_s$  poate fi exprimată printr-o relație de forma:

$$u_s = K\sqrt{d}, \quad (4.1)$$

$K$  fiind o constantă.

Astfel, tensiunea de străpungere la impuls de 1,2/50  $\mu$ s între doi electrozi din Cu-Cr, amplasați în vid avansat la distanța de 12 mm este de circa 150 kV, [12].

Dependența neliniară de forma (4.1) pune în evidență neajunsul major al vidului ca mediu electroizolant și explică dificultățile de extindere a acestei tehnici de comutație la niveluri superioare de tensiune (de exemplu, pentru o dublare a tensiunii de

de valorile presiunii de lucru ( $10^{-4} \dots 10^{-3}$  Pa).

Acesta este pragul corespunzător amorsării descărcării electrice într-un spațiu vidat, în care particulele încărcate cu sarcini electrice provin din metalul pieselor de contact.

În Fig.4.1 sunt prezentate curbele tensiunii de străpungere  $u_s$ , în raport cu distanța  $d$ ,



străpungere este necesară creșterea de patru ori a distanței de izolație).

Remarcabila rigiditate dielectrică a vidului avansat nu este datorată comportării corespunzătoare a moleculelor de gaz la impactul cu electroni accelerați în câmp magnetic ci, dimpotrivă, faptului că astfel de coliziuni nu au loc. În vid complet nu există posibilitatea declanșării unui mecanism de avalanșă electronică, în măsură să conducă la străpungerea dielectrică.

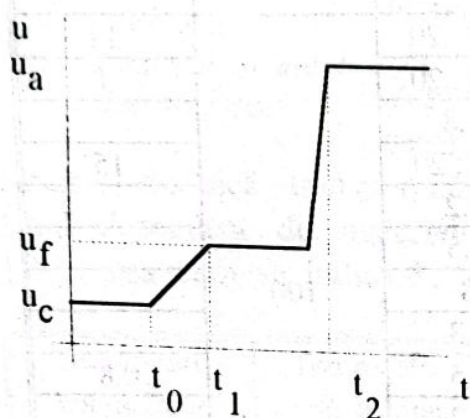


Fig.4.2

*Tensiunea la amorsarea arcului electric în vid avansat*

Amorsarea unui arc electric de mare putere în vid avansat antrenează vaporizarea la suprafață a pieselor de contact și electrozilor, fapt care conduce la dezvoltarea rapidă, în zona de ardere, a unei presiuni dinamice cu valori apropiate de cea atmosferică. În regim normal de funcționare (Fig.4.2) căderea de tensiune pe contacte  $u_c$  corespunde rezistenței de contact. La deconectare, pe

măsura scăderii forței de apăsare, cresc rezistența de contact, temperatura pe suprafața acestora și căderea de tensiune pînă când, în momentul  $t_1$ , se atinge valoarea  $u_f$  corespunzătoare topirii metalului. Această tensiune rămâne constantă pînă în  $t_2$ , când puntea de metal topit dintre contacte dispare exploziv, prin vaporizare. Între contacte se formează, inițial din atomi metalici în stare ionizată, un mediu cu foarte bune proprietăți conductoare, prin care curentul continuă să circule.

Modul de amorsare și proprietățile arcului electric inițial sunt deci asemănătoare celor din alte tehnici de comutație: un spot catodic unic având temperatura de vaporizare, emite din abundență vapori metalici care se constituie într-o coloană foarte concentrată și conductoare.

Arcul electric amorsat în vid la separarea pieselor de contact este deci o plasmă de vapori proveniți din metalul contactelor, caracterizată printr-o mare viteză de difuzie.



Câteva caracteristici ale arcului electric cu ardere în vid avansat [19], sunt date în Tab.4.1.

Tab.4.1

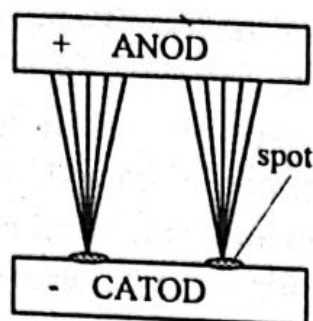
Materia- lul con- tactelor	Tempera- tura de evaporare [°C]	Conducti- vitatea termică la 18 °C, [W/m <sup>0</sup> K]	Tensiunea de arc, [V]	Curentul de arc, [A]	Curentul minim de arc, [A]
Ag	1950	407	16,5...20	100	12
Al	2057	211	16,5...20		4
Cd	767	93	10,8		
Cu	2336	384	19,2...20		15
Mg	1107	157	14,2		
Mo	4800	145	25,5		
Ni	2900	59	18		
Pb	1620	34,7	10,3		
Sb	1380	17,5	10,5		0,8
Ta	≅4100	54,3	14...24		10
W	5900	146	22		40
Zn	907	111	12		
Zr	>2900	15,6	21,5		

În vid arcul electric poate exista sub formă difuză (când este traversat de curenți cu intensitatea mai mică de 3...5 kA), respectiv concentrată, în cazul curenților cu intensități de valori mari, [7]. Curentul limită la care arcul electric trece dintr-o formă în alta depinde de dimensiunile, forma și materialul din care sunt confecționate contactele și electrozii acestora precum și de viteza de variație a intensității curentului.

Arcul electric difuz este constituit din numeroase coloane arzând în paralel, fiecare provenind din câte un spot catodic existent pe electrodul negativ. Din acestea se desprind spre anod canale de plasmă, parcurse de curenți cu intensitatea de 20...100 A și densități de curent de cel puțin  $10^{12}$  A/m<sup>2</sup>, [2]. Spoturile catodice se deplasează continuu pe suprafața electrozilor (cu viteze ce ajung la 10 m/s) și se resping reciproc, în timp ce forțele Lorentz dintre coloanele de arc exercită tendința de a le apropia.

La curenți de mică intensitate, o influență mai mare o are





**Fig.4.3**

*Spotul catodic și arcul electric difuz*

efectul de respingere între spoturi. Electronii traversează distanța dintre contacte cu viteze de ordinul  $10^6$  m/s, formând coloane de arc difuz conice (Fig.4.3), având în vecinătatea axei temperaturi mai mari de 3000 °K. Arderea arcului electric presupune existența unui curent minim de menținere, dependent de materialul contactelor.

Pe durata de ardere a arcului electric difuz, gradul de electroeroziune a contactelor (pierdere de masă raportată la sarcina electrică transportată) se consideră aproximativ constant, fiind dependent de materialul contactelor și de forma curentului [19], așa cum se indică în Tab.4.2.

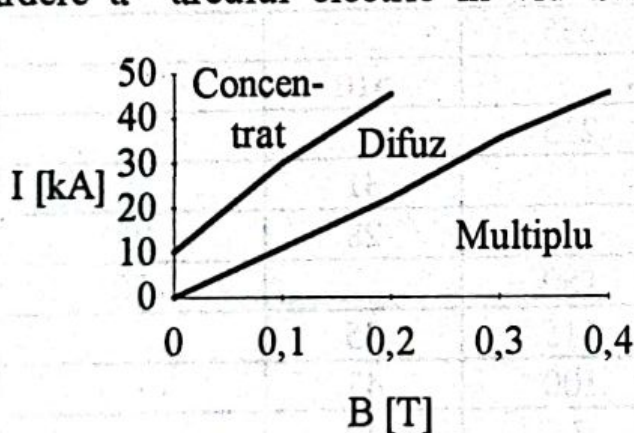
**Tab. 4.2**

Materialul contactelor	Temperatura de topire, [°C]	Gradul de electroeroziune, [μg/C]		
		Curent continuu	Impuls 250 μs	Impuls 10...100 ns
Sn	227		295	
Cd	320	655		
Pb	330		510	
Zn	420	215		
Mg	650		31	
Al	660		28	100
Ag	960	150		50
Cu	1083	115	35	
Ni	1457	100	47	
Fe	1538	73	48	
Ti	1730	52	30	
Zr	1852		53	
Cr	1897	40	20	
Mo	2605	47	36	
Gd	2830		55	
Co	2910		44	
Ta	2980		56	
W	3380	62	55	136
Y	3660		45	
C	-	17		



Când intensitatea curentului prin arcul difuz se mărește, numărul spoturilor catodice și al coloanelor de arc crește, se mărește și tensiunea de arc (ajungând la circa 40 V pentru un curent cu intensitatea de 7 kA) și, măbind în continuare intensitatea curentului, tensiunea crește brusc până la valori de ordinul 100...200 V. În acest stadiu apar spoturi anodice, arcul electric devenind de tip concentrat.

La curenți mai mari de 10 kA, atât spoturile anodice cât și cele catodice ajung de dimensiuni mari și își reduc mobilitatea, evoluția ulterioară a descărcării depinzând de condițiile termice de la contacte. Evitarea topirii locale a pieselor de contact este posibilă prin deplasarea extremităților arcului pe toată suprafața acestora și pe electrozi. Utilizarea unor câmpuri magnetice radiale pune coloana arcului electric în mișcare de rotație în timp ce, prin câmpuri magnetice axiale, extremitățile arcului se extind la suprafețe mărite pe contacte și electrozi. În ambele cazuri se obțin micșorarea și unifomizarea electroeroziunii suprafețelor de contact. În Fig.4.4 se prezintă influența unui câmp magnetic axial asupra modului de ardere a arcului electric în vid avansat, [12].



**Fig.4.4**

*Moduri de ardere a arcului electric în vid*

Stingerea arcului electric depinde de densitatea locală a vaporilor de metal din intervalul dintre contacte și din jurul acestora. Viteza de difuzie a plamei crește rapid pe măsură ce intensitatea curentului scade și se apropie de trecerea prin zero, fiind create condițiile necesare condensării vaporilor de metal și refacerii vidului în camera

de stingere, în urma cărora se obține întreruperea definitivă a curentului. Circa 90% [1], [2], din vaporii metalici în care se amorsează arcul electric se depun prin condensare pe suprafețele de contact din care provin. În acest fel metalul pieselor de contact este recuperat aproape integral, intensitatea electroeroziunii fiind limitată la valori foarte mici. Pe această cale se obține creșterea substanțială



a duratei de funcționare a contactelor. Condensarea vaporilor metalici în care se amorsează arcul electric de deconectare este stimulată prin amplasarea în vecinătatea contactelor a unor ecrane metalice spre care plasma difuzează.

Inerția termică a arcului electric, exprimată prin constanta sa de timp, este extrem de mică. De altfel, deoarece răcirea coloanei arcului nu mai joacă nici un rol în acest caz, constanta de timp își pierde practic semnificația precizată în § 2.2.1.

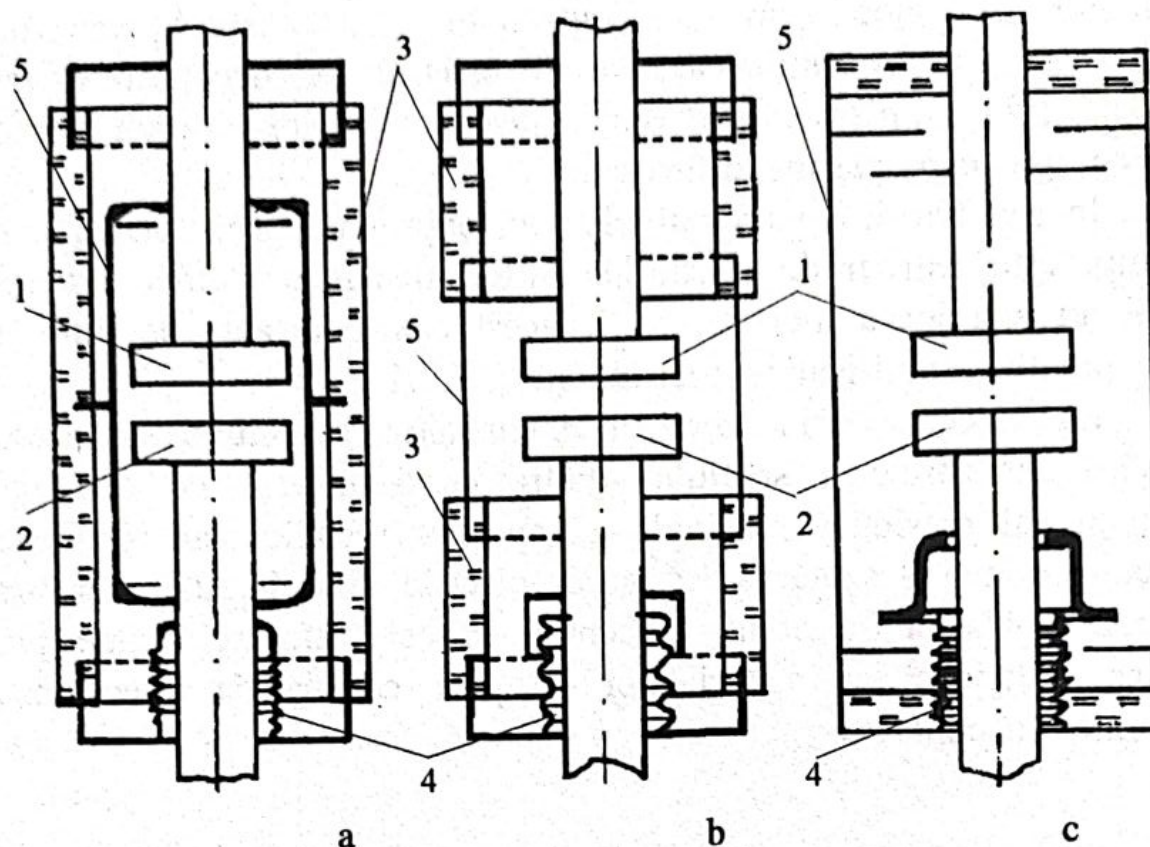
La trecerea prin zero a intensității curentului, refacerea rigidității dielectrice a spațiului dintre contacte este cu atât mai rapidă cu cât presiunea reziduală a vaporilor metalici care formează plasma este mai scăzută, adică arcul electric arde în starea difuză. Trecerea rapidă de la arcul concentrat la cel difuz se obține prin alegerea judicioasă a materialelor și prin construcția adecvată a sistemului de contacte.

#### 4.2. Caracteristici constructive și funcționale ale echipamentelor cu comutație în vid

Tehnica vidului avansat nu permite intervenția asupra procesului de comutație decât printr-un număr extrem de redus de parametri; spre deosebire de toate celelalte tehnici, în acest caz nu se poate acționa asupra naturii sau presiunii mediului de stingere, vitezei suflajului, diametrului ajutorajelor sau alungirii coloanei arcului electric etc. Mai mult, probleme tehnologice foarte dificile, cum este cea a realizării unor lipituri perfect etanșe și stabile între un metal și un material ceramic sau obținerea unor metale cu un grad extrem de ridicat de puritate, fac din comutația în vid avansat una din cele mai pretențioase tehnici sub raportul obținerii de parametri performanți. Contrar unor previziuni sceptice, rezultatele nu au întârziat să apară și, în prezent, tehnica vidului avansat reprezintă un concurent redutabil pentru aparatele cu comutație în hexafluorură de sulf în domeniul instalațiilor de medie tensiune.

Câteva tipuri de camere de stingere prezentate în Fig.4.5 [7], evidențiază posibilitățile de amplasare în capsula vidată a principalelor elemente constructive: sistemul de contacte, burduful





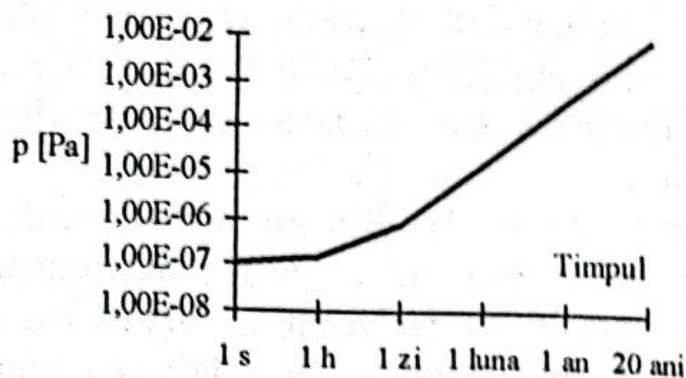
**Fig.4.5**

*Camere de stingere vidate: a-cu capsulă de sticlă; b-cu ecran exterior; c-cu capsulă metalică; 1-contact fix; 2-contact mobil; 3-capsulă de sticlă; 4-burdof metalic; 5-ecran.*

de etanșare și ecranele metalice cu rol de suport pentru condensarea vaporilor care alcătuiesc plasma. În varianta din Fig.4.5a, ecranul de condensare 5 este amplasat în interiorul incintei de sticlă 3; la construcțiile din Fig.4.5b,c ecranul de condensare înțelegește incinta vidată a camerei de stingere.

Durata de funcționare a unei camere de stingere vidate depinde în foarte mare măsură de soluția constructivă adoptată, de realizarea unui înalt grad de etanșare, de natura materialelor contactelor. Presiunea inițială în camera de stingere este de circa  $10^{-7}$  Pa. Creșterea presiunii pe durata exploatării (Fig.4.6) se datorează atât neetanșeităților de fabricație cât și difuziei normale a aerului prin pereți; pentru o durată de funcționare de circa 20 ani, realizată de camerele de stingere actuale, este necesar ca pierderea specifică de presiune să fie mai mică de  $10^{-11}$  Pa.ℓ/s, [2].





**Fig.4.6**

*Creșterea presiunii în capsula vidată*

Camera de stingere devine inutilizabilă la depășirea presiunii de  $10^{-2}$  Pa, deoarece, în acest caz, lungimea drumului liber al particulelor de gaz ajunge la dimensiunile camerei de stingere și se poate amorsa fenomenul de ionizare prin șoc.

În construcția contactelor

și electrozilor întrerupătoarelor cu stingerea arcului electric în vid se au în vedere următoarele aspecte tehnice:

- realizarea nivelului nominal de izolație între contactele deschise;

- asigurarea unui înalt grad de puritate pentru materialele de contact;

- dozarea corespunzătoare a cantității de vapori metalici produși la deconectare;

- adoptarea formei și dimensiunilor optime pentru piesele de contact și electrozi;

- stabilizarea prin câmpuri magnetice a arcului electric de deconectare în faza finală de ardere a acestuia.

Dacă incinta vidată poate determina, prin pierderea vidului, micșorarea duratei de funcționare a unui întrerupător, sistemul de contacte și electrozi influențează direct valorile multor parametri funcționali, dintre care se menționează: capacitatea nominală de rupere la scurtcircuit, mărimea supratensiunilor de comutație, durata de funcționare, prețul și însăși menținerea îndelungată a vidului în camera de stingere. Din aceste motive, una din direcțiile de efort în cercetarea consacrată dezvoltării echipamentelor de comutație în vid este îndreptată spre stabilirea formei și dimensiunilor constructive optime ale sistemului de contacte, și realizarea materialelor cu cele mai bune proprietăți pentru construirea pieselor de contact și a electrozilor.

Durata mare de funcționare a întrerupătoarelor cu vid impune recuperarea aproape integrală, la deconectare, a vaporilor



metalici proveniți din piesele de contact. Aceasta se obține prin condensarea vaporilor chiar pe suprafețele pieselor de contact, depunerea fiind stimulată de realizarea unei distanțe mici, de circa 10 mm, între contactele deschise.

Între piesele de contact situate la distanțe atât de mici, intensitatea câmpului electric are valori foarte mari (de ordinul 200...300 kV/cm), încât forma, gradul de prelucrare și dimensiunile suprafețelor de contact joacă un rol important în asigurarea unor valori mari pentru tensiunea de străpungeră. Deoarece străpungeră în acest caz are loc prin emisie electronică la catod, micile asperități sau neuniformități ale suprafețelor de contact pot conduce la inițierea străpungerii în câmp electric.

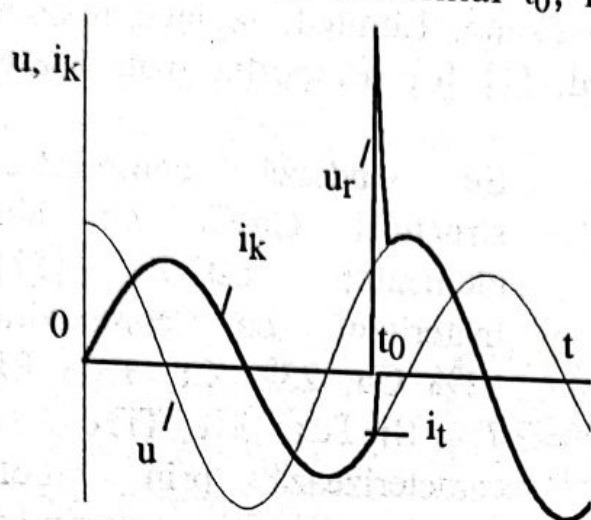
Tinând seama de procesele repetate de vaporizare și condensare, este necesar ca materialul contactelor să aibă un înalt grad de puritate și să fie extrem de lipsit de gaze; în acest fel este posibilă redepunerea uniformă a materialului vaporizat pe suprafețele de contact și, în același timp, menținerea vidului în camera de stingere.

Un alt aspect tehnic, determinant în alegerea materialelor pentru contactele care funcționează în vid, este legat de tendința de sudare a pieselor de contact, atunci când contactul este închis. Deoarece piesele de contact nu sunt separate între ele nici măcar prin straturi străine monomoleculare, tendința de sudare se manifestă vizibil chiar la temperatură normală și sub acțiunea unor forțe de apăsare având valori relativ mici. Ruperea la deschidere a punților metalice rezultate prin sudare se soldează cu asperități pe suprafețele de contact, fapt care conduce la micșorarea tensiunii de străpungeră între contactele deschise.

Materialele pentru contactele întrerupătoarelor cu comutație în vid trebuie să satisfacă de asemenea cerințe privind conductivitatea termică și presiunea de vapor, astfel încât să fie posibilă dozarea optimă a cantității de vapor dezvoltate la deconectare. Datorită vitezei mari de difuzie a plasmă în vid, arcul electric este instabil și poate fi stins înainte de momentul anulării naturale a intensității curentului, existând tendința de funcționare cu tăiere (smulgere) de curent; aceasta, la rândul ei, conduce la apariția unor supratensiuni de comutație având valori mari. În



Fig.4.7 este reprezentat curentul prin întrerupător în ipoteza stingerii arcului electric în momentul  $t_0$ , la valoarea  $i_t \neq 0$  a curentului tăiat.



Energia magnetică înmagazinată în inductanțele circuitului de sarcină este convertită în energie electrostatică, la bornele întrerupătorului înregistrându-se supratensiuni de comutație care pot fi de valori mari; acestea se estimează cu ajutorul relației:

**Fig.4.7**  
*Deconectarea cu tăiere de curent*

$$u_m = i_t \sqrt{\frac{L}{C}}, \quad (4.2)$$

$u_m$  fiind supratensiunea iar  $L$ ,  $C$  - parametri echivalenți ai rețelei deconectate.

Din acest motiv, intensitatea curentului tăiat trebuie să aibă valori cât mai mici care, constituind un criteriu de calitate pentru întrerupătoarele cu comutație în vid, se obțin și prin creșterea cantității de vaporizări produși la deconectare.

Astfel [12], dacă la primele întrerupătoare cu comutație în vid, prevăzute cu contacte din cupru, intensitatea curentului tăiat avea valori de 20...40 A, prin utilizarea unor materiale sinterizate de tipul Cu-Bi și, mai curând Cu-Cr, aceste niveluri au fost scăzute la circa 8 A, respectiv sub 3 A.

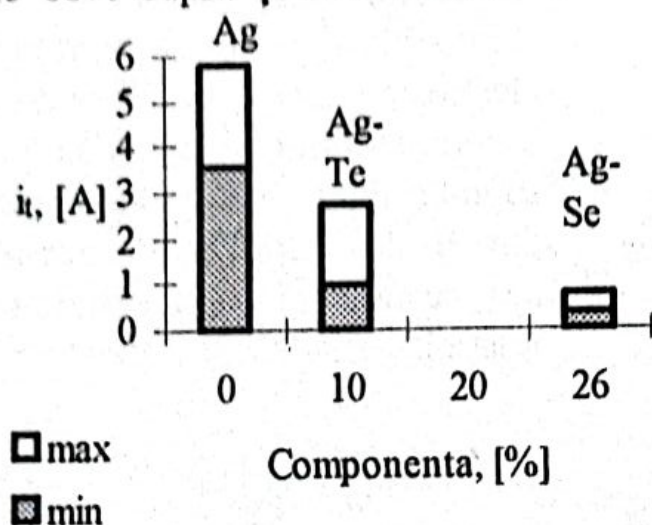
Dozarea optimă are în vedere asigurarea arderii stabile a arcului electric până la valori ale intensității curentului foarte apropiate de zero și, în același timp, realizarea unei durate de viață cât mai mari pentru contacte, prin limitarea electroeroziunii acestora.

Materialele cercetate și utilizate pentru construcția contactelor și a electrozilor sunt aliaje sau compoziții sinterizate pe bază de cupru, căruia i se adaugă anumite cantități de wolfram, molibden sau crom.

Influențe favorabile privind micșorarea efectului de tăiere a curentului la deconectare se obțin prin adăugarea de stibiu și zinc.



În construcția multor întrerupătoare actuale cu comutație în vid a fost unanim adoptat drept material de contact sinterizatul Cu-Cr, creat inițial de English Electric Comp. Limited, la laboratoarele pentru cercetare Nelson din Stafford, [1], [6]. Proporția uzuală este de 60% cupru și restul crom.



**Fig.4.8**  
*Influența materialului de contact asupra curentului tăiat*

Se studiază completarea structurii Cu-Cr cu alte elemente; astfel [17], materialul cu compoziția 52% Cu, 25% Cr, 13% Bi, 7%  $\text{Bi}_2\text{Te}_3$ , 3%  $\text{TiTe}$  se caracterizează prin valori foarte mici ale curentului tăiat și viteză ridicată de creștere a rigidității dielectrice în camera de stingere, cantitatea de vapori produsă la deconectare fiind substanțial diminuată.

Cromul are față de wolfram avantajele unei temperaturi de vaporizare mai scăzute, astfel încât probabilitatea de producere a termoemisiei electronice după condensarea metalului este mai mică; arcul electric se stinge definitiv în zona primei treceri prin zero a intensității curentului.

Utilizarea cromului este de asemenea preferată datorită efectului înalt de getter (degazor) pe care acesta îl exercită.

Urmărindu-se obținerea unor efecte similare, în laboratoare din SUA și Japonia se experimentează comportarea contactelor construite din materiale pe bază de argint.

În Fig.4.8 se prezintă influența compoziției utilizate asupra intensității curentului tăiat, [24].

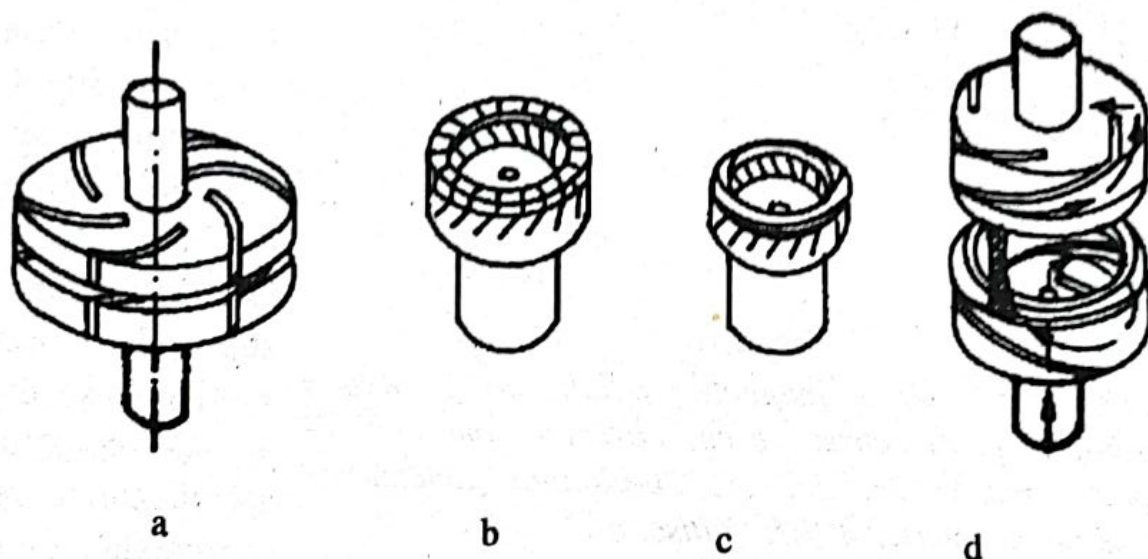
Forma constructivă a contactelor și geometria electrozilor răspund cerințelor privind asigurarea unei uzuri uniform distribuite pe suprafața acestora.

O evoluție a tipurilor de contact care echipează întrerupătoarele cu comutație în vid este prezentată în Fig.4.9. De la contactele cu electrozi sub formă de petală spiralată, Fig.4.9a, s-a



trecut la construcția și utilizarea contactelor de tip contrate (Fig.4.9b,c).

Acestea au formă de cupă cu creștături înclinate pe pereții laterali pentru a produce, prin suflaj magnetic, rotirea arcului electric pe suprafața circulară de contact.



**Fig.4.9**

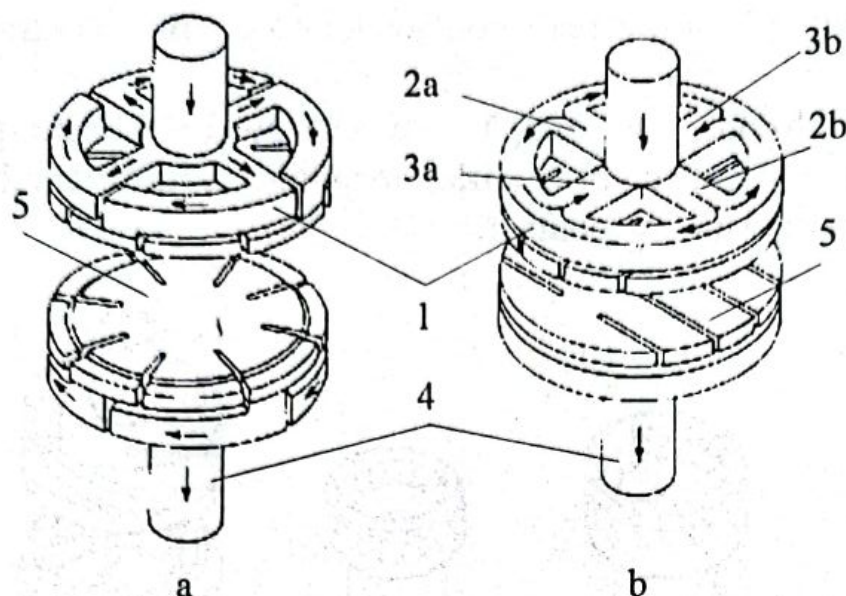
*Tipuri constructive de contacte: a-petală spiralată; b, c-contrate; d-folded petal.*

Perfecționarea contactelor de tip contrate a permis reducerea diametrului cupei de la 100 mm la 80 mm, simultan cu creșterea capacității nominale de rupere la scurtcircuit de la 31,5 kA la 40 kA, [6], pentru întrerupătoarele din clasa 36 kV.

Combinând cele mai bune efecte ale geometriilor din Fig.4.9a,b,c, s-a realizat contactul de tip folded petal, fig.4.9d; acesta, cu un diametru de numai 35 mm, permite întreruperea unor curenți cu intensitatea de 20 kA, [1].

Contactele prezentate în Fig.4.9 sunt din categoria celor cu câmp magnetic orientat transversal în raport cu coloana arcului electric. Aceste contacte nu pot întrerupe curenți mai mari de 40 kA, chiar dacă diametrul pieselor de contact ajunge la valori de 100...150 mm. La aceleași dimensiuni este posibilă aproape dublarea curentului întrerupt, dacă în zona de contact se creează un câmp magnetic axial [1], [2], [24].





**Fig.4.10**

*Contacte cu câmp magnetic axial: a-cu circuite întrerupte pe electrod; b-cu circuite continue; 1-suport circular; 2a, 2b, 3a, 3b-circuite generatoare de câmp magnetic; 4-tijă; 5-disc.*

Construcția unor contacte care funcționează cu câmp magnetic axial [10], [24], este prezentată în Fig.4.10.

Conform variantei date în Fig.4.10a contactul, având circuite întrerupte pe toți electrozii, este constituit din suportul circular 1, tija 4 și discul 5. O construcție asemănătoare este prezentată în

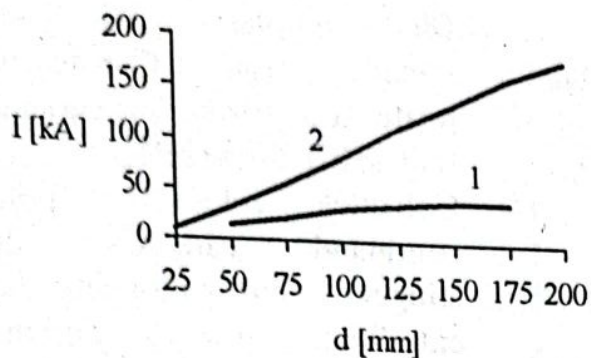
Fig.4.10b, unde circuitele electrozilor, generatoare de câmp magnetic, sunt continue. Datorită circulației curentului pe traseele 2a, 2b, 3a, 3b în zona de ardere a arcului electric se produce un câmp magnetic axial multipolar. Sub acțiunea acestuia arcul ocupă practic uniform spațiul dintre contacte, fiind împiedicată difuzia plasmei reziduale care afectează procesul de refacere a rigidității dielectrice în camera de stingere.

În capsule vidate echipate cu contacte funcționând cu câmp magnetic axial și în condiții de laborator s-au întrerupt curenți având intensitatea de circa 200 kA, [24]. Teste de maximă severitate au permis întreruperea unor curenți de 48 kA la tensiunea de 63 kV, respectiv de 72 kA la tensiunea de 6,3 kV, [10].

În Fig.4.11 se prezintă comparativ dependența capacității nominale de deconectare la scurtcircuit în raport cu diametrul electrodului la contacte cu câmp magnetic radial, respectiv axial [24].

Creșterea performanțelor sistemului de contacte și electrozi a permis reducerea simțitoare a dimensiunilor de gabarit ale camerelor de stingere vidate, [2].





**Fig.4.11**

*Capacitatea de deconectare în funcție de diametrul pieselor de contact: 1-câmp magnetic radial; 2- câmp magnetic axial.*

Indicatorii de fiabilitate ai întrerupătoarelor de orice tip sunt puternic afectați de nefuncționarea sistemului mecanic și a mecanismului de acționare care le echipează; circa 80% din toate refuzurile și defectele întrerupătoarelor sunt de natură mecanică, [3].

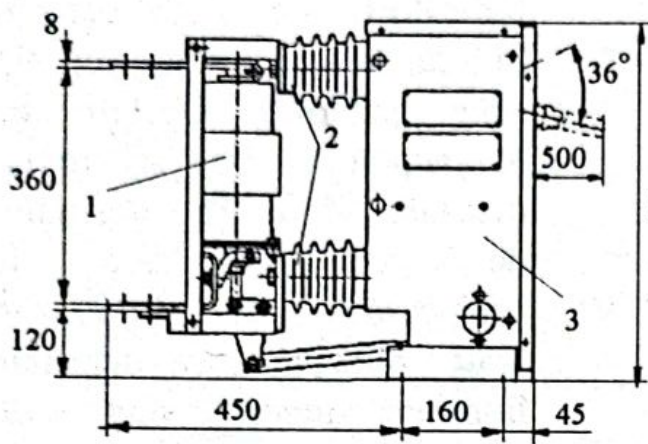
Mecanismele de acționare care echipează întrerupătoarele cu comutație în vid trebuie să se

caracterizeze prin durate mari de funcționare fără revizii și reparații, anduranța mecanică necesară fiind de câteva zeci de mii de acționări, compatibilă cu indicatorii de fiabilitate ai părții active (cameră de stingere, sistem de contacte). Cerințele impuse mecanismelor de acționare ale întrerupătoarelor cu comutație în vid sunt îndeplinite în condiții bune de variantele cu acumulare de energie în resorturi, ușor de adaptat pentru deplasarea pe distanțe mici a contactelor mobile. Energia necesară pentru acționare, acumulată în resorturi, are valori de 50...150 J. Variantele construite realizează în mod obișnuit, în condiții precizate privind anduranța mecanică, un număr de  $(2...3)10^4$  acționări [3], [4], [11], [12], [22].

### 4.3. Variante constructive

Principiile constructive care au condus la realizarea întrerupătoarelor cu comutație în vid avansat sunt tipice pentru aparatajul de comutație destinat instalațiilor de medie tensiune. Arhitectura unui întrerupător cu vid din clasa 12 kV/1250 A/31,5 kA [22], cu precizarea principalelor dimensiuni de gabarit, este prezentată în Fig.4.12. Întrerupătoarele cu vid sunt aparate tripolare prevăzute cu mecanism de acționare cu resorturi, întregul ansamblu

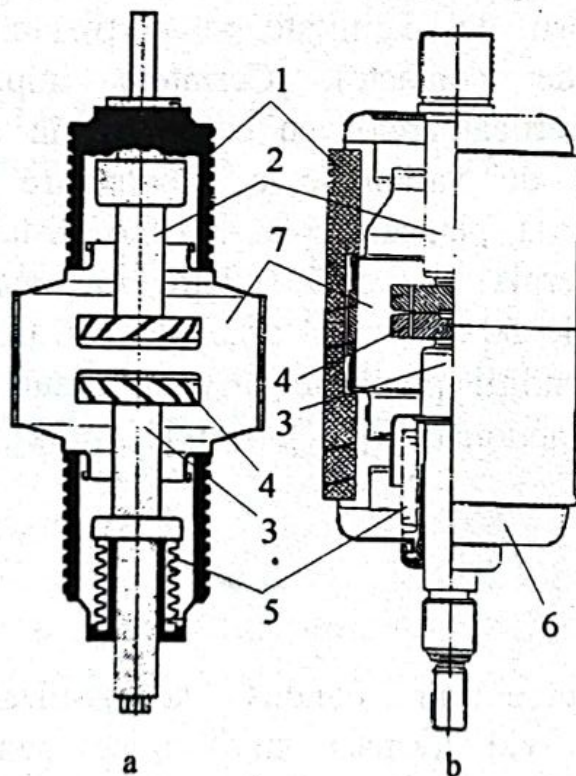




**Fig.4.12**

*Arhitectura întrerupătorului cu vid:* 1- mecanic și de limitare a capsulă vidată; 2-izolatoare suport; 3- efectelor unui mediu mecanism de acționare.

camerei de stingere vidate diferă după modul de amplasare a ecranelor metalice. Din acest punct de vedere există două variante



**Fig.4.13**

*Capsulă vidată:* a-cu ecran exterior; b-cu ecran interior; 1-anvelopă electroizolantă ceramică; 2-contact fix; 3-contact mobil; 4-electrozi; 5-burdus metalic de etanșare; 6-capac; 7-ecran.

fiind amplasat pe șasiu metalic comun. Construcția poate fi realizată în variantă fixă sau debroșabilă.

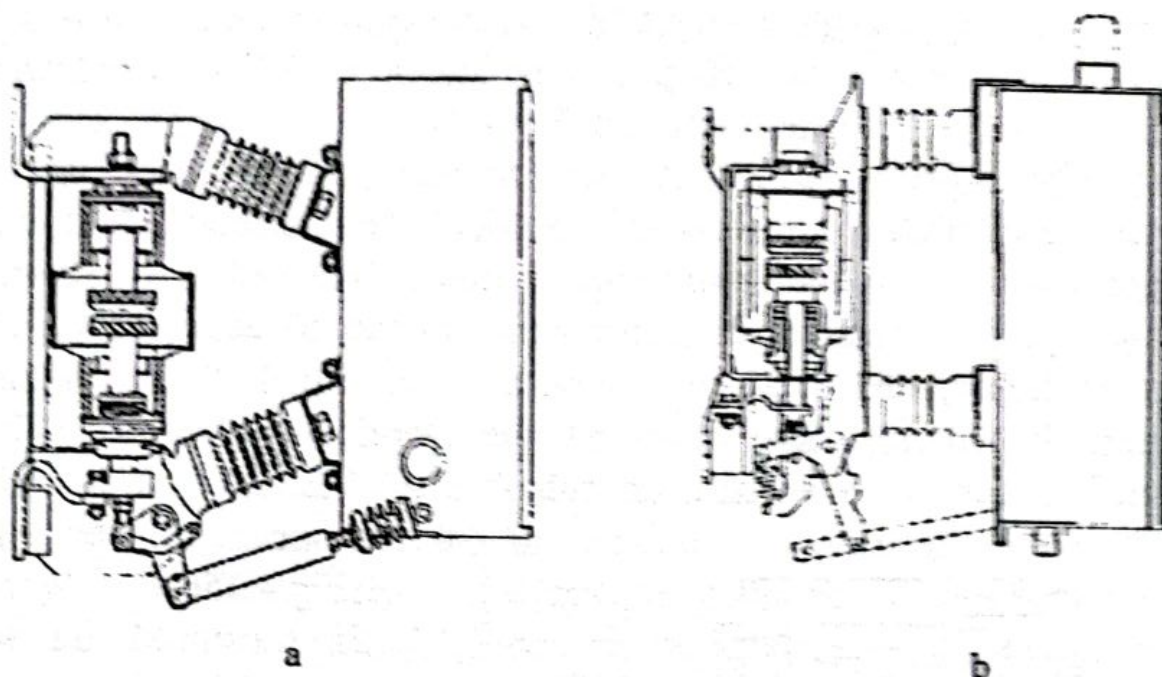
Coloanele celor trei poli, conținând camerele de stingere, sunt protejate la exterior prin cilindri electroizolanți.

Aceștia au rol de prevenire a impactului și de limitare a efectelor unui mediu eventual poluat. Construcția de bază, reprezentate în Fig.4.13, [21], [24], [27].

Corespunzător variantei din Fig.4.13a, ecranul metalic 7 se confundă cu peretele capsulei vidate în zona contactelor, și se continuă în ambele sensuri cu anvelopele ceramice 1.

Construcția din Fig.4.13b diferă prin aceea că ecranul metalic este amplasat în interiorul camerei de stingere, ocupând aproape toată înălțimea acesteia, în jurul contactelor. Datorită distanței mici dintre contacte și conductivității înalte a vaporilor metalici care apar la deconectare,





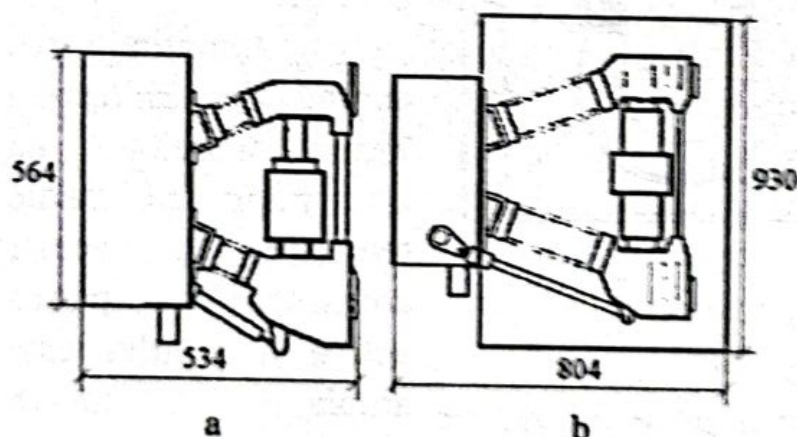
**Fig.4.14**

*Construcția întrerupătoarelor cu vid: a-de tip normal; b-de tip greu.*

căderea de tensiune pe coloana arcului electric are valori scăzute.

De asemenea, durata redusă de ardere a arcului de deconectare conduce la valori reduse pentru energia disipată sub formă de căldură de coloana sa. Toate acestea au efecte favorabile asupra prelungirii duratei de funcționare a contactelor și ansamblului camerei de stingere.

În principiu construcția întrerupătorului depinde de cea a camerei de stingere utilizate, așa cum rezultă și din Fig.4.14, în



**Fig.4.15**

*Dimensiuni de gabarit pentru întrerupătoare cu vid: a-7,2 kV/1250 A/25 kA; b-36 kV/2500 A/25 kA.*

care se prezintă întrerupătoare ale firmei Siemens, [21].

Comparativ cu întrerupătoarele normale (Fig.4.14a) aparatele grele, destinate unor curenți nominali de valori mari, sunt prevăzute la cele două extremități ale camerei de stingere vidate cu radiatoare, capabile să

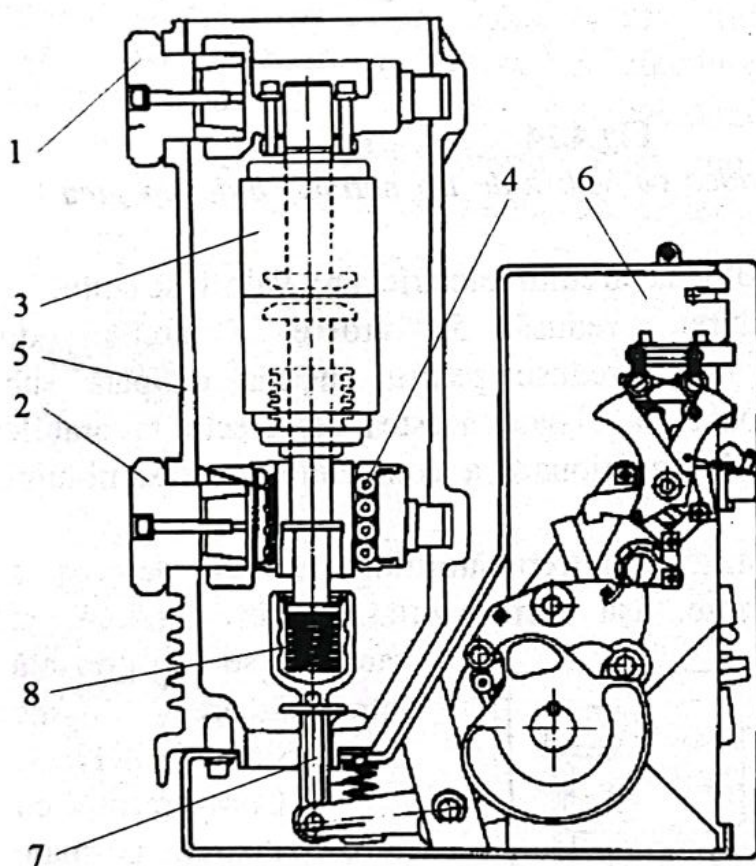


asigure regimul termic adecvat. În acest caz creșterea gabaritelor poate fi mai ușor rezolvată prin amplasarea oblică a izolatoarelor suport, așa cum se poate vedea în Fig.4.14b.

Pentru niveluri diferite de tensiune, chiar dacă acestea aparțin domeniului tensiunilor medii, este necesară adaptarea lungimii liniei de conturare pe suprafața exterioară a capsulei vidate, fapt care conduce la dimensiuni de gabarit dependente, între anumite limite, de tensiunea nominală. În Fig.4.15 se prezintă comparativ întrerupătoare cu vid de fabricație Siemens [21], construite pentru tensiunile nominale de 7,2 kV (Fig.4.15a), respectiv 36 kV (Fig.4.15b).

În construcții de dată recentă ale unor firme ca Zwar-Polonia [22], [26] și ABB [25], [27] se renunță la cele două izolatoare suport, orizontale sau înclinate (Fig.4.14, 4.15) prin intermediul cărora se face montarea pe șasiu a polului.

Amintind mai curând de arhitectura întrerupătoarelor cu ulei puțin de medie tensiune, la aceste construcții partea activă a polului este amplasată într-un cilindru electroizolant care, fixat doar cu baza pe șasiu, asigură protecția ansamblului



**Fig.4.16**

*Secțiune prin polul unui întrerupător cu vid tip VD 4 (ABB): 1, 2-borne de conexiuni; 3-capsulă vidată; 4-contact alunecător; 5-cilindru electroizolant exterior; 6-mecanism de acționare; 7-transmisie electroizolantă; 8-resort.*

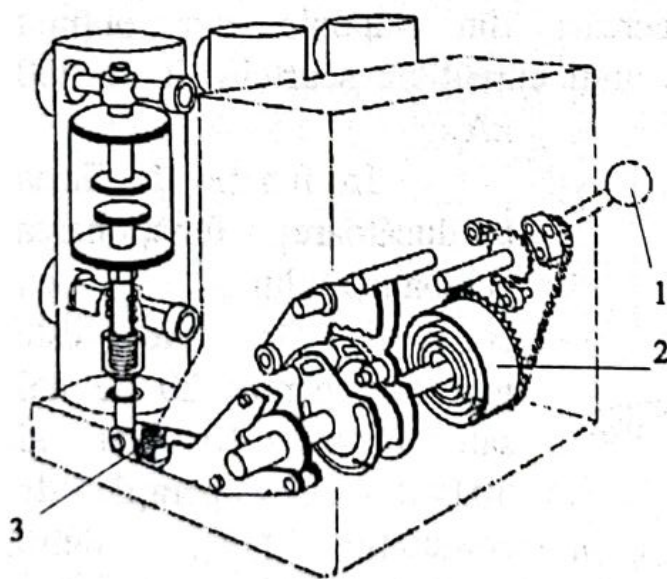


din interior contra atingerii și izolația externă a polului față de pământ.

În Fig.4.16 este reprezentată o secțiune prin polul unui întrerupător cu comutație în vid tip VD4, de fabricație ABB [25], [27]. Construite pentru tensiuni de 12-17,5-24 kV și curenți nominali de 630-1250 A, aceste aparate pot întrerupe, cu o durată de arc mai mică de 15 ms, curenți de scurtcircuit de până la 40 kA, [27].

Calea de curent este constituită din bornele de conexiuni 1, 2, contactele capsulei vidate 3 și contactul alunecător 4, realizat de tipul pivotant sau cu role, în funcție de intensitatea curentului nominal. La acționare, mișcarea se transmite contactului mobil prin tija electroizolantă 7 și resortul 8, ultimul având rolul de a realiza forța necesară de apăsare în contact.

În Fig.4.17 se prezintă schema lanțului cinematic al mecanismului de acționare [27], care echipează întrerupătoarele ABB tip VD4. Armarea mecanismului se face manual, prin acționarea repetată a levierului 1 și înmagazinarea energiei în resortul 2. La închiderea întrerupătorului se armează resortul de deschidere 3.



**Fig.4.17**

*Mecanismul de acționare al întrerupătoarelor tip VD4: 1-levier; 2- resort de închidere; 3- resort de deschidere.*

Comenzile de închidere-deschidere se pot da fie de pe aparat, fie de la distanță, prin intermediul unor declanșatoare electromagnetice.

O particularitate a funcționării întrerupătoarelor cu vid o constituie emisia de radiații X atunci când aparatul este sub tensiune și cu contactele deschise. Tratat ca sursă de radiații, întrerupătorul cu vid face obiectul normalizărilor în domeniu, standardele precizând nivelul admis de radiație.

Din acest punct de vedere, cerințe importante se impun mecanismului de acționare și



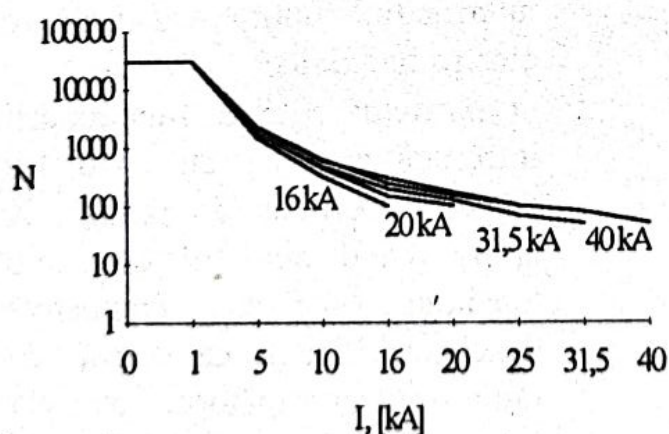
lanțului cinematic de transmisie a mișcării la contacte, intensitatea radiației X fiind dependentă, la o tensiune dată, de distanța stabilită între contactele deschise.

#### 4.4. Utilizarea tehnicii de comutație în vid

Deși la niveluri superioare de tensiune sunt cunoscute și aplicații atipice, în prezent se asistă la generalizarea utilizării întrerupătoarelor cu vid în domeniul instalațiilor de medie tensiune (6...35 kV). Pentru aceste tensiuni, întrerupătoarele construite au curenți nominali de până la 2500...3000 A și pot atinge valori ale capacității nominale de rupere la scurtcircuit de 25...40 kA la 12 kV [25], în perspectivă tinzându-se spre 40...100 kA pentru tensiunea de 13,8 kV, [18].

Firmele europene fabrică aparate cu parametrii menționați și studiază extinderea acestora la 4000 A curent nominal și 63 kA capacitate nominală de rupere la scurtcircuit, pentru niveluri de 12...15 kV ale tensiunii nominale.

În laboratoarele de încercări din Japonia s-a obținut întreruperea, la medie tensiune, a unui curent de scurtcircuit de 200 kA.



**Fig.4.18**

*Dependența numărului admisibil de deconectări în raport cu intensitatea curentului întrerupt*

numărului admisibil  $N$  de acționări în funcție de intensitatea

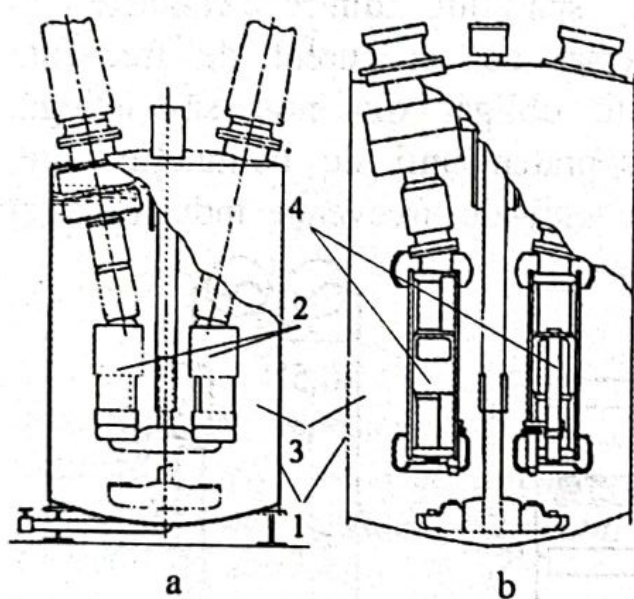
În funcție de firma producătoare, funcționarea echipamentului cu comutație în vid este garantată pentru 20 de ani sau pentru 10 ani și 30.000 de operații de comutație, [11]; dintre acestea circa 50...100 deconectări pot fi efectuate la capacitatea nominală de rupere la scurtcircuit, [2].

În Fig.4.18 se prezintă dependența



curentului de scurtcircuit deconectat, caracteristic întrerupătoarelor cu vid de fabricație ABB, [27].

Se apreciază că [11], perspectivele extinderii echipamentului cu comutație în vid la tensiuni nominale mai mari de 72,5 kV sunt limitate de necesitatea creșterii exagerate a distanțelor dintre contacte, a lungimii liniilor de conturare corespunzătoare izolației interne și externe precum și datorită unei construcții în final complicate a acestor echipamente. Cu toate acestea [18], firma Toshiba are în fabricație un întrerupător cu vid de 84 kV/1250A/25 kA, pentru utilizări speciale fiind realizat și un întrerupător cu tensiunea nominală de 168 kV și capacitatea nominală de rupere la scurtcircuit de 40 kA; tot în laboratoarele firmelor japoneze [18], se încearcă întrerupătoare cu tensiunea nominală de 145 kV, precum și echipamente cu comutație în vid pentru curent continuu la tensiunea de 250 kV, având izolația externă în hexafluorură de sulf.



**Fig.4.19**

*Prelungirea duratei de funcționare a unui întrerupător cu ulei mult: a-tehnica tradițională: 1-cuvă; 2-camere de stingere cu comutație în ulei; 3-ulei mineral; b-utilizarea capsulelor vidate: 4-camere de stingere cu comutație în vid avansat.*

Experimente interesante sunt efectuate în vederea prelungirii duratei de funcționare a unor întrerupătoare cu ulei mult (Fig.4.19a), prin substituirea camerelor de stingere originale cu capsule vidate, [15].

Dezavantajele celor două tehnici se compensează, astfel încât echipamentul hibrid de comutație obținut are capacitate de deconectare la scurtcircuit mărită dată de capsulele vidate care, la rândul lor, funcționează la niveluri superioare de tensiune (123 kV), datorită izolației externe realizată prin imersare în ulei mineral (Fig.4.19b).

Unele rezerve ale utilizatorilor față de întrerupătoarele cu vid sunt fondate pe ideea că funcționarea acestora este însoțită la deconectare de supratensiuni de

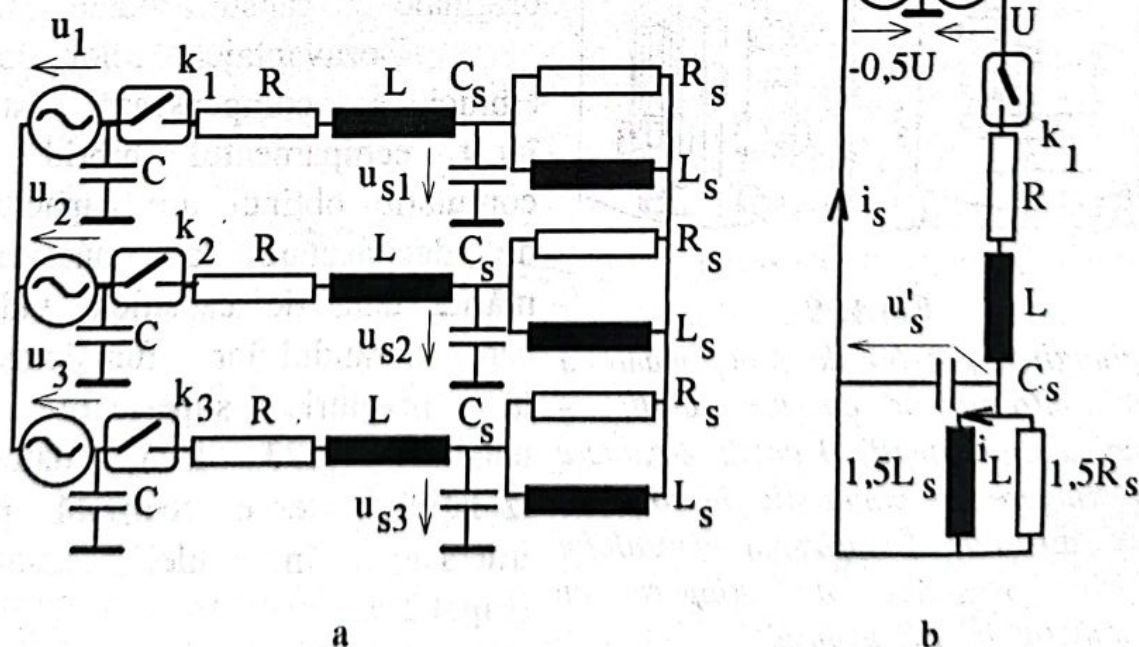


comutație mai mari decât cele întâlnite la alte echipamente. Studiul supratensiunilor de comutație menționate arată că acestea pot fi produse ca urmare a tendinței de tăiere a curentului la deconectare și a fenomenelor de reamorsare repetată a arcului electric.

Deconectarea cu tăiere (smulgere) de curent, așa cum s-a arătat în § 4.2, depinde de particularitățile arderii și stingerii arcului electric în vid avansat. Supratensiunile de comutație provocate de acest mod de funcționare se consideră totuși a fi neglijabile [12], mai ales în condițiile limitărilor considerabile ale curentului tăiat, impuse prin soluții tehnologice aplicate sistemului de contacte.

Fenomenul de reamorsare multiplă a arcului electric se poate iniția atunci când separarea contactelor are loc cu foarte puțin timp înainte de momentul anulării intensității curentului. Din acest motiv distanța dintre contacte, înregistrată în momentul stingerii arcului și apariției supratensiunii de comutație aferente, este foarte redusă. Ca urmare se produce stăpungerea spațiului dintre contacte și reamorsarea unui arc electric traversat de un curent de frecvență ridicată, pe care întrerupătorul este obligat din nou să-l stingă. Acest fapt conduce la repetarea supratensiunii de comutație care, produsă în condițiile creșterii curentului de frecvență industrială și

*Sursă Întrerupător Linie Sarcină*

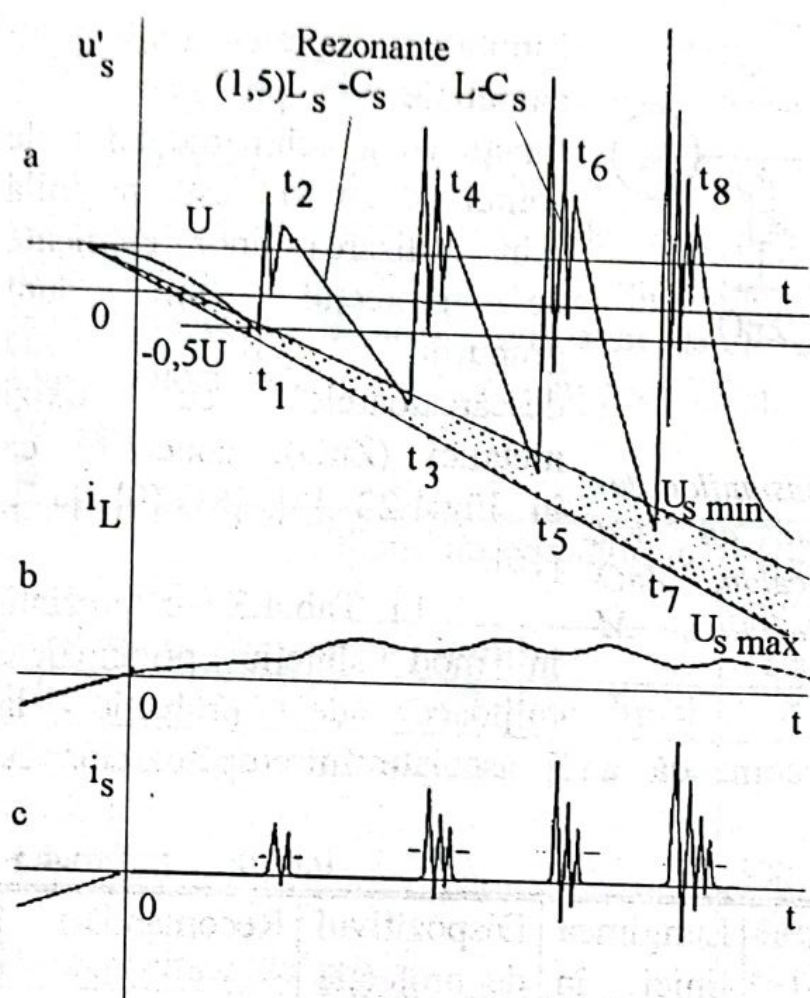


**Fig.4.20**

*Reamorsarea repetată a arcului electric: a-schema trifazăată completă; b-circuitul echivalent.*



deci a energiei magnetice înmagazinate în câmpul magnetic al bobinelor, are ea însăși valori crescute.



**Fig.4.21**

Reamorsarea repetată a arcului electric în întrerupătoare cu vid: a-tensiunea la bornele circuitului de sarcină; b-curentul inductiv; c-curentul de sarcină.

Schema electrică trifazată care permite calculul parametrilor (Fig.4.20a), conduce la circuitul echivalent reprezentat în Fig.4.20b, [24].

Pe durata unei semiperioade a semnalului de frecvență industrială în curba curentului de sarcină  $i_s$  apar trenuri de oscilații de frecvență ridicată (Fig.4.21), care se repetă până când distanța între contacte devine suficient de mare, astfel încât străpungerea să nu mai fie posibilă.

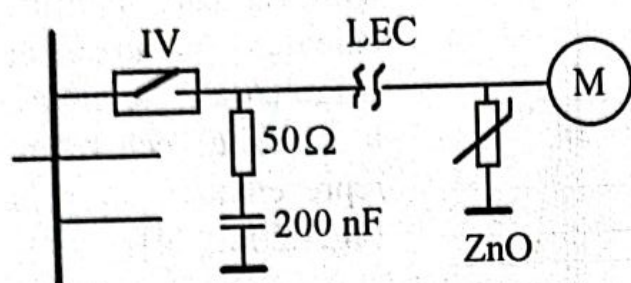
Reamorsarea repetată a arcului electric într-un întrerupător cu vid se soldează

cu supratensiuni de comutație având fronturi mai mult sau mai puțin abrupte, cu factor de amplitudine de câteva unități. Acestea nu se consideră periculoase dar, dacă sunt frecvente, pot accentua îmbătrânirea izolației, [12].

În cazul unui cuplaj capacitiv strâns între conductoarele de fază, prin reamorsarea repetată a arcului electric pe una din faze este posibilă modularea curentului de arc pe celelalte, cu riscul unei întreruperi anticipate. Fenomenul este mai periculos decât deconectarea cu tăiere de curent, deoarece energia magnetică a



circuitului poate avea valori foarte mari în momentul stingerii arcului electric, ceea ce conduce la supratensiuni de comutație considerabile.



**Fig.4.22**

*Protecția împotriva supratensiunilor de comutație: IV-întrerupător cu vid; LEC-linie electrică în cablu; ZnO-descărcător cu oxizi metalici; M-electromotor.*

Limitarea supratensiunilor de comutație produse la funcționarea echipamentelor de comutație cu vid este posibilă prin utilizarea unor elemente de protecție cum sunt grupurile RC sau descărcătoarele cu oxizi metalici (ZnO), conectate ca în Fig.4.22 [5], [8], [9], [14], [16].

În Tab.4.3 se prezintă în mod sintetic principalele mijloace de protecție la

supratensiuni care se recomandă a fi asociate întrerupătoarelor cu comutație în vid, [12].

**Tab.4.3**

Tipul de receptor	Curentul de pornire, [A]	Lungimea liniei în cablu, [m]	Dispozitivul de protecție	Recomandări
Transformatoare				
Mașini sincrone				
Motoare (pompe, ventilatoare etc.)	>1000			ZnO pentru porniri foarte frecvente
	<1000			
	>1000			ZnO pentru blocări foarte frecvente
Motoare cu rotor blocat (concasoare etc.)	<1000, >250			ZnO
	<250	<100	ZnO	



Tab.4.3 (continuare)

		>100	R-C: 50 $\Omega$ , 200 nF	
Cuptoare cu arc			RC și ZnO	

Tehnica vidului avansat permite în momentul de față realizarea unor echipamente de comutație cu parametri electrici având valori performante și cu indicatori de fiabilitate deosebit de înalți; elocvente în acest sens sunt datele din Tab.4.4, referitoare la întrerupătoare de producție europeană [3], din clasa 24 kV/630 A/16 kA.

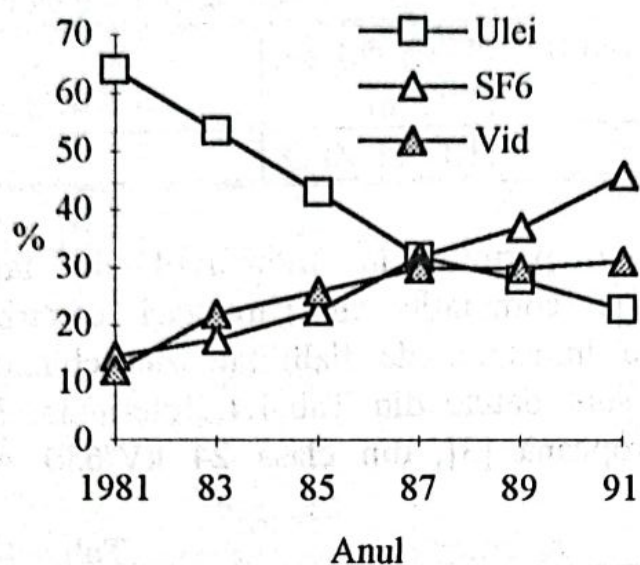
Tab.4.4

Caracteristica	Tipul întrerupătorului	Ulei puțin	SF <sub>6</sub>	Vid
Deplasarea contactelor, [mm]		150	50	14
Viteza contactelor la deschidere, [m/s]		4	2	1
Numărul de întreruperi până la revizie:				
-la curent nominal		500... 1000	10 <sup>4</sup>	2.10 <sup>4</sup>
-la capacitate de rupere		6-10	20-30	50-100
Anduranța mecanică, cicluri I-D		10 <sup>4</sup>	10 <sup>4</sup>	2.10 <sup>4</sup>
Periodicitatea reviziilor, [ani]		1 - 3	10	10
Preț orientativ, [%]		100	130	160

În comparație cu alte clase de echipamente utilizate în comutația de putere, întrerupătoarele cu vid se caracterizează prin parametri electrici performanți, realizând un raport capacitate de comutație/masă (volum, dimensiuni de gabarit) dintre cele mai bune. Construcția foarte compactizată răspunde cerințelor de miniaturizare și permite extinderea fără dificultate a spațiilor necesare echipamentelor asociate din instalație (terminale de cablu, transformatoare și instrumente de măsurare, echipament secundar etc.

Pe durata funcționării, mediul electroizolant și de stingere nu suferă pierderi, deci nu trebuie completat; mai mult, întrerupătoarele cu vid nu sunt poluante, caracterizându-se prin





**Fig.4.24**

*Evoluția tehnicilor de comutație în instalațiile de medie tensiune din țările vest-europene.*

alternativă în raport cu celelalte tehnici moderne de comutație.

Aceasta rezultă și din Fig.4.24 [20], unde este reprezentată dinamica introducerii în ultimii ani a tehnicii de comutație în instalațiile de medie tensiune din țările vest-europene.

### Bibliografie

1. Baraboi A., Furnică E., Tendințe actuale în tehnica echipamentelor de comutație cu vid. *Energetica*, 37, 7, 304 (1989).
2. Bretting J., Kindler H., Neue Vakuumschaltkammern für Mittelspannungsschaltanlagen, *Elektrotechnik und Maschinenbau*, 12, 532 (1982).
3. Bronstein A. M., Kozlov V. B., Sovremennoe sostoianie i tendenții razvitiia vîkliuciately vîsokogo napriajeniia. *Elektricesstvo*, 11, 10 (1987).
4. Eliker A., Interaction entre mécanisme de commande et fonctionnement des bouteilles à vide. *Bull. sci.*

niveluri scăzute de zgomot și lipsa pericolului de incendiu. Valorile mici ale distanței de deplasare a contactelor și masei echipajului mobil permit acționarea cu energie redusă, motiv pentru care mecanismele de acționare cu resorturi utilizate au duranța mecanică extrem de înaltă și funcționează practic fără mentenanță.

În prezent, generalizarea utilizării întrerupătoarelor cu comutație în vid avansat reprezintă o bună



- Assoc. ing. élec. sortis Inst. élec. Montefiore, 39, 3, 4 (1986).
5. Fakkar A., Bui A., Loubière A., Penchenat G., Modélisation thermique des varistances à base d'oxyde de zinc. RGE, 1, 26 (1993).
  6. Falkingham L. T., Recent advances in vacuum interrupter design. GEC Review, 2, 3 (1986).
  7. Flurscheim C. H., Teoriia i konstrukții vîkliuciatelei. Energoizdat, Leningrad, 1982 (trad. din lb. engleză).
  8. Gavrilăș N., Gușă M., Baraboi A., Aupra unor mijloace moderne de protecție a instalațiilor împotriva supratensiunilor. Energetica, 35, 2, 73 (1988).
  9. Hutter W., Schuker R., Protection des moteurs haute tension contre les surtensions. Revue Brown Boveri, 10, 592 (1986).
  10. Kurosowa Y., Sugawara H., Kawakubo Y., Abe N., Tsuda H., Vacuum circuit breaker electrode generating multiple axial magnetic field and its interruption ability. IEEE Trans. Power App. and Syst., 99, 6, 2079 (1980).
  11. Lerondeau A., Position du disjoncteur à vide dans l'évolution des techniques de coupure. Bull. sci. Assoc. ing. élec. sortis Inst. élec. Montefiore, 39, 3, 9 (1986).
  12. Morant M., Legros W., Comportement du disjoncteur à vide dans les réseaux moyenne tension. RGE, 3, 36 (1995).
  13. Pelenc Y., Appareillage électrique d'interruption à haute tension. Techniques de l'ingénieur, 12 (1991).
  14. Rousseau A., Hassanzadeh M., Malpiece F., Parafoudre à oxyde de zinc pour réseaux HT A Fabrication et utilisation. RGE, 11, 81 (1992).
  15. Slade P. G., Voshall R. E., Wayland P. O., Bamford A., McCracken G., Yeckley R., Spindle H., The Development of a Vacuum Interrupter Retrofit for the Upgrading and Life Extension of 121 kV-145 kV Oil Circuit Breakers. IEEE Trans. on Power Delivery, 6, 3, 1124 (1991).



16. Telander S. H., Wilhelm M. R., Stump K. B., Surge limiters for vacuum circuit breaker switchgear. IEEE Trans. Power Deliv., 2, 1, 107 (1987).
17. Yamanaka T., Takeya Y., Yorita M., Horiuchi T., Inagaki K., Naya E., Demizu M., Okumura M., Electrode composition for vacuum switch. Pat. SUA 4537743, 1985.
18. Yanabu S., Okawa M., Kaneko E., Tamagawa T., Use of axial magnetic fields to improve high current vacuum interrupters. Proc. XII th International Symposium on Discharges and Electrical Insulation in Vacuum, New York, 186 (1986).
19. Zeitoun-Fakiris Anne, Isolation sous vide. Techniques de l'ingénieur, 9 (1991).
20. \* \* \* Distribution HTA. Appareillage SF6. Disjoncteurs Fluarc 1 à 38 kV, contacteurs Rollarc 1 a 12 kV. Catalogue Merlin Gerin AC0372 (1993).
21. \* \* \* Hochspannungsgeräte bis 36 kV. Siemens Katalog HG 11 (1982).
22. \* \* \* Indoor Vacuum Circuit-Breaker type WV31. Information leaflet WV31/05/2/02. Catalogue ZWAR, Poland.
23. \* \* \* L'arc électrique et ses applications. Ed. CNRS, Paris, 1984.
24. \* \* \* Switching Phenomena in High-Voltage Circuit Breakers. Ed. by Kunio Nakanishi, Marcel Dekker Inc. New York-Basel-Hong Kong, 1991.
25. \* \* \* Vacuum Circuit-Breakers Type VD4. Leaflet No.1387/7E. Catalogue ABB Calor-Emag.
26. \* \* \* Vacuum Circuit-Breaker type WVK. Information leaflet WVK/05/2/02. Catalogue ZWAR, Poland.
27. \* \* \* VD4 Vacuum Circuit-Breaker. Instruction Manual BA 352/6 E, No. GCEA 67 0352 P0102, ABB Calor-Emag.



## Capitolul 5

### COMUTAȚIA DE PUTERE IN SISTEMELE FLEXIBILE DE TRANSMISIE A ENERGIEI

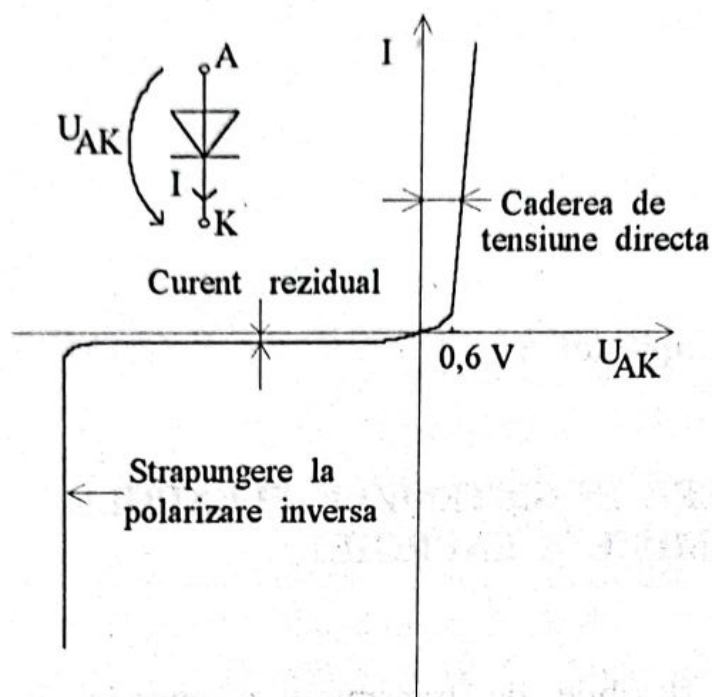
În cadrul sistemelor flexibile de transmisie a energiei se regăsesc sistemele de transport în curent continuu (c.c.) la înaltă tensiune și sistemele de transmisie în curent alternativ (c.a.) prevăzute cu echipamente electronice capabile să realizeze controlul circulațiilor de puteri și creșterea capacității de transport până la limitele admisibile. Echipamentele electronice precum convertoarele din stațiile de conversie ale sistemelor de transmisie în c.c., compensatoarele statice transversale sau longitudinale, reglatoarele universale de putere, etc. din sistemele de transmisie în c.a. sunt realizate cu ajutorul dispozitivelor semiconductoare de putere.

#### 5.1. Dispozitive semiconductoare de putere

Principalele dispozitive semiconductoare de putere întâlnite în schemele electrice ale echipamentelor electronice de putere sunt: dioda, tiristorul, triacul, tiristorul cu blocare pe poartă (GTO), tranzistorul bipolar de putere, tranzistorul cu grilă izolată (IGBT), tiristorul controlat MOS (MCT).

*Dioda* este formată dintr-o joncțiune P-N, realizată într-un monocristal de siliciu sau germaniu, prevăzută cu contacte metalice atașate celor două regiuni, contacte denumite anod (atașat zonei P) și respectiv catod (atașat zonei N).





**Fig.5.1**

*Simbolul și caracteristica diodei*

circula un curent invers foarte mic denumit curent rezidual sau de fugă. Dacă tensiunea inversă crește peste valoarea tensiunii de străpungere se produce fenomenul multiplicării în avalanșă a purtătorilor de sarcină și joncțiunea se străpunge. Curentul tipic rezidual în cazul diodelor de putere este de ordinul miliamperilor.

*Tiristorul* denumit și diodă comandată este un dispozitiv semiconductor cu patru straturi PNPN și are o a treia bornă pentru comandă denumită poartă (grilă).

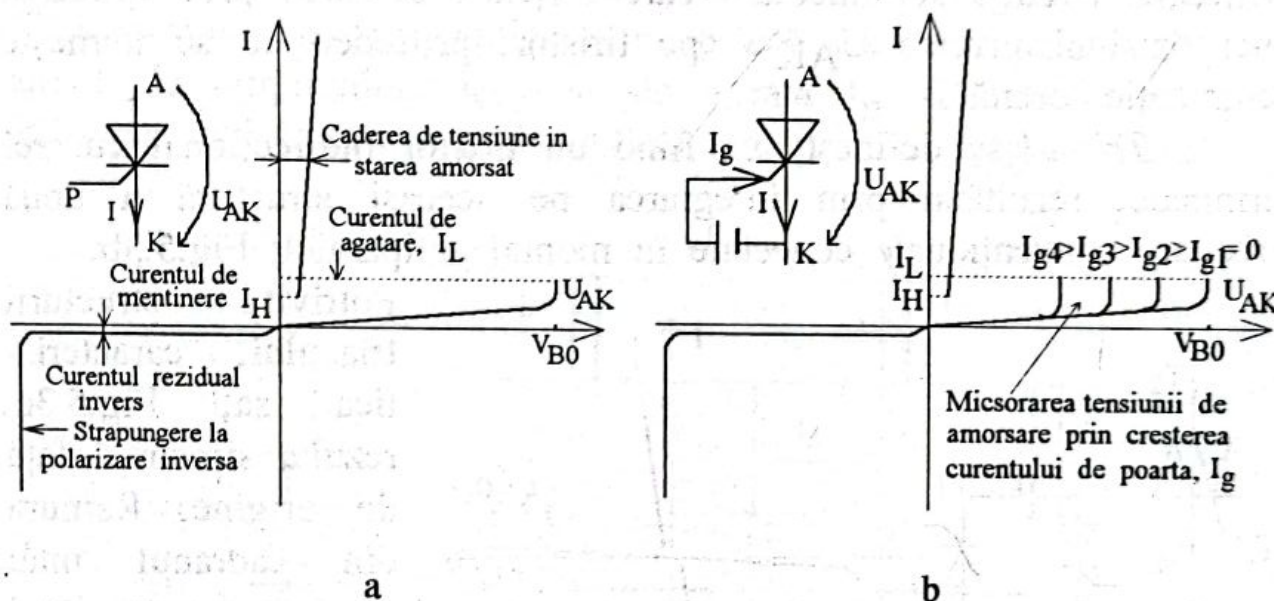
În Fig.5.2a se prezintă caracteristica unui tiristor cu poarta în gol. Caracteristica sa este bistabilă, cu rezistență negativă tip S, dar regiunea de rezistență negativă este foarte abruptă și poate fi parcursă numai prin salt. Caracteristica inversă (catod pozitiv) a tiristorului seamănă cu cea a unei diode, iar caracteristica directă (anod pozitiv) arată că numai curentul rezidual direct circulă până la atingerea tensiunii de străpungere în avalanșă (tensiunea de întoarcere- $V_{B0}$ ). Odată atinsă tensiunea de întoarcere dispozitivul se comportă ca o diodă cu două joncțiuni înseriate în conducție, ceea ce dă o cădere de tensiune în direct de aproximativ două ori mai

În Fig.5.1 este reprezentată caracteristica statică a unei diode ce ne dă dependența curentului ce o străbate de tensiunea la bornele sale. Aplicând la anod o tensiune pozitivă în raport cu catodul va apare un curent odată ce bariera de potențial (0,6 V pentru siliciu sau 0,2 V pentru germaniu) a fost depășită și o cădere de tensiune directă de ordinul a 0,7 V la valoarea curentului nominal al diodei. La aplicarea unei tensiuni inverse prin diodă va



mare decât în cazul unei diode. Curentul care parcurge tiristorul în această situație, va fi dictat în special de către sarcina din circuitul în care este înseriat tiristorul.

Pentru ca tiristorul ce a fost adus în starea de conducție (amorsat) să nu se blocheze (stingă) trebuie ca valoarea curentului să atingă nivelul de agățare și să nu scadă sub nivelul celui de menținere ( $I_H$ ). Curentul de agățare,  $I_L$ , este de obicei dublul curentului de menținere, dar ambii sunt mici în raport cu valoarea curentului nominal (sub 1%  $I_N$ ), [7].



**Fig.5.2**

*Caracteristica tiristorului: a-fără curent de poartă;  
b-cu curent de poartă.*

Deoarece tensiunea de break-over (întoarcere) este de ordinul sutelor de volți, amorsarea prin atingerea acestei tensiuni nu este permisă deoarece se disipă puteri foarte mari, care distrug tiristorul după câteva amorsări similare.

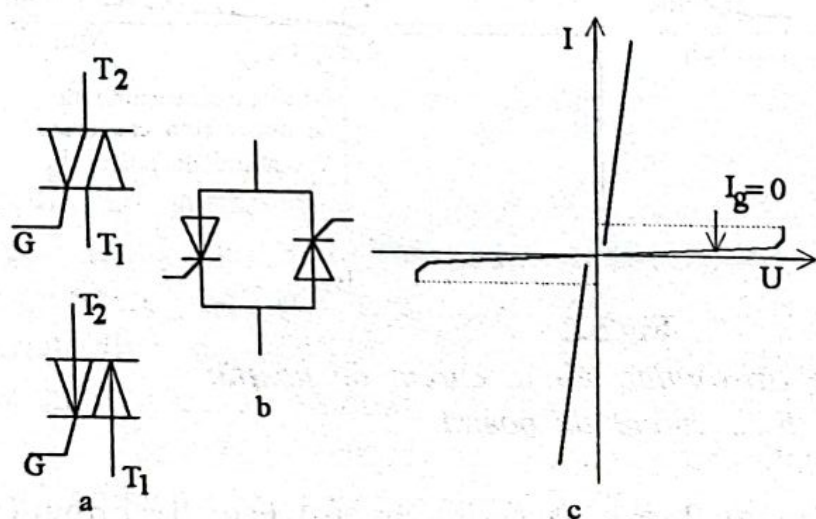
Injectia unui curent pozitiv de către poartă spre catodul negativ aduce tiristorul deja polarizat direct (anod pozitiv) în starea amorsat, Fig.5.2b. Rolul curentului de poartă,  $I_g$ , este de a injecta goluri în stratul interior P, care împreună cu electronii stratului N, de catod, provoacă avalanșa joncțiunii mediane de comandă și aduce tiristorul în stare de conducție. Dacă curentul anodic depășește curentul de agățare,  $I_L$ , curentul de poartă se poate anula, tiristorul fiind în conducție nu mai este influențat de condițiile din



circuitul de poartă. Creșterea curentului de poartă duce la micșorarea tensiunii de amorsare a tiristorului.

Pentru blocarea sau dezamorsarea tiristorului, trebuie scăzut curentul anodic sub cel de menținere și trebuie acordat un timp (timp de dezamorsare sau stingere- $t_q$ ) relativ mare, 10...100  $\mu s$ , înainte de a putea aplica din nou o tensiune în sens direct pe el, fără reamorsarea intempestivă a acestuia. De obicei, în curent alternativ scăderea curentului are loc în mod natural, periodic, caz în care este vorba de "comutația naturală". În curent continuu, se utilizează circuite suplimentare care forțează blocarea prin aplicarea unei tensiuni inverse  $U_{AK} < 0$  pe tiristor, procedeu ce se numește "comutație forțată".

*Triacul* se definește ca fiind un tiristor bidirecțional cu trei terminale, rezultând prin integrarea pe aceeași structură a două tiristoare convenționale conectate în montaj antiparalel, Fig.5.3b.



**Fig.5.3**

*Triacul: a-simbol; b-structura echivalentă cu tiristoare; c-caracteristica pentru curent de poartă nul.*

în mișcare). Triacul poate fi amorsat prin curent de poartă pozitiv sau negativ, dar el este mai sensibil la curent pozitiv injectat atunci când terminalul T<sub>2</sub> este pozitiv și la curent negativ dacă terminalul T<sub>1</sub> este pozitiv. În practică se utilizează aproape întotdeauna curentul de poartă negativ pentru comanda triacului, deoarece

Potrivit structurii triacului, caracteristica sa, Fig.5.3c, rezultă simetrică față de origine. Ramura din cadranul întâi corespunde tensiunii pozitive aplicate terminalului T<sub>2</sub> în raport cu T<sub>1</sub>. Dispozitivul lucrează ca întrerupător comandat în curent (funcție similară cu a unui releu, dar fără a avea contacte



sensibilitatea triacului este mai uniformă atât la polarizare pozitivă cât și negativă pe terminalul  $T_2$ , [2].

Triacul are performanțe dinamice ( $di/dt$ ,  $du/dt$ ,  $t_q$ ) în general mai slabe decât ale tiristorului.

*Tiristorul cu blocare pe poartă-GTO* (Gate Turn Off Thyristor) este un dispozitiv cu structura PNPN denumit și tiristor bioperațional, care poate fi integral comandat (amorsat respectiv blocat) prin aplicarea de semnale pe poartă: cu semnal pozitiv poate fi trecut în conducție, iar cu semnal negativ poate fi blocat.

Această funcționare este prezentată în Fig.5.4. Tiristorul GTO este amorsat prin aplicarea pe poartă a unui impuls pozitiv de curent de amplitudine  $I_{GT}$  și de durată  $t_p$  și este blocat prin aplicarea unui impuls negativ, având amplitudinea  $I_{GB}$  și durată  $t_n$ .

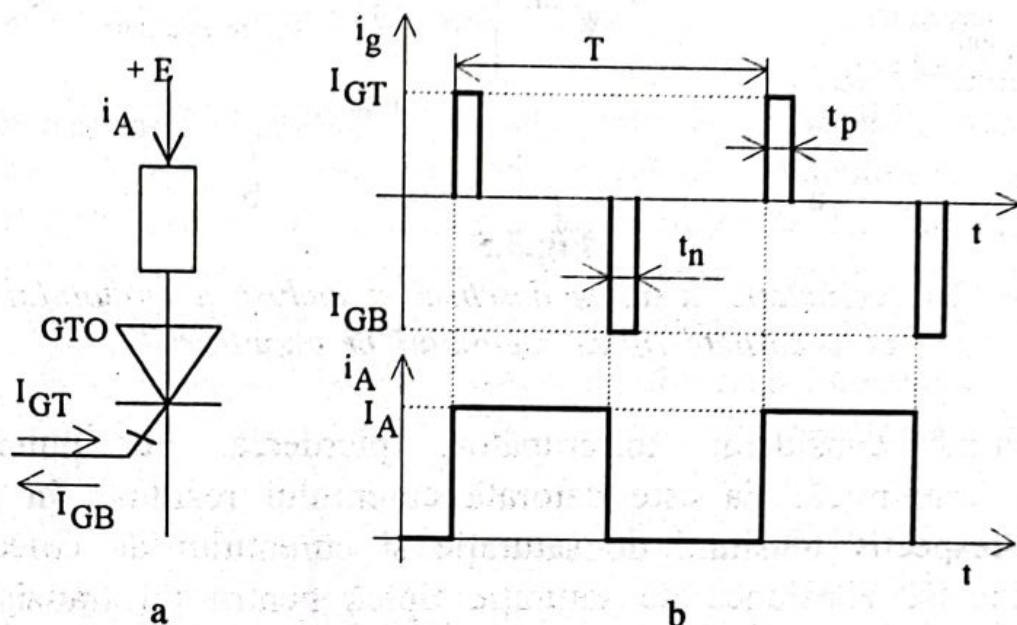


Fig.5.4

*Tiristorul cu blocare pe poartă: a-simbolul;*

*b-impulsurile de comandă pe poartă și curentul anodic.*

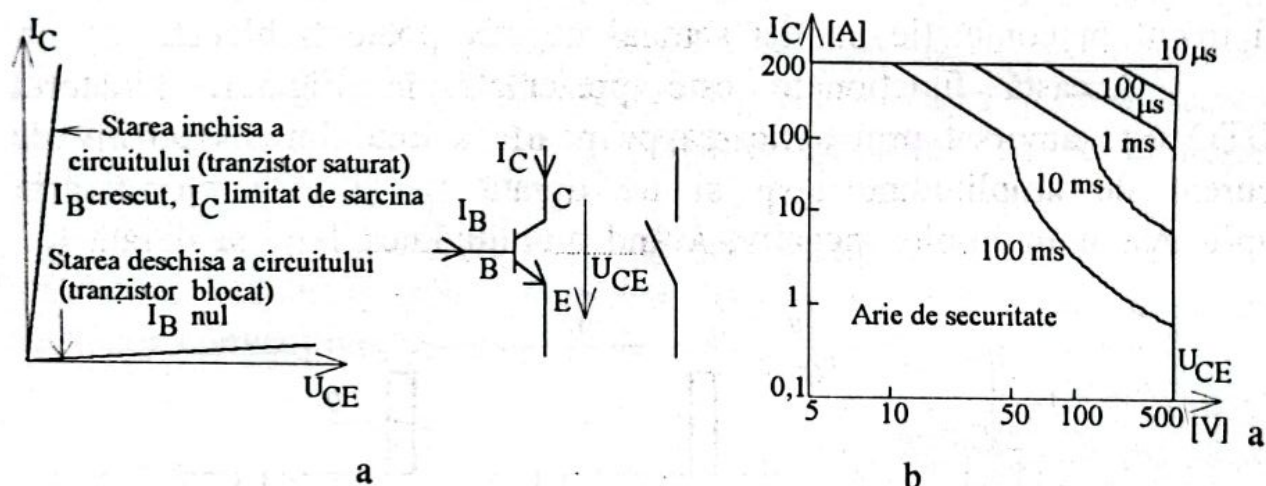
În general durata impulsului de blocare  $t_n$  are valori cuprinse între 5...50  $\mu s$ , amplitudinile impulsurilor fiind în relația  $I_{GB} > I_{GT}$ . O limitare funcțională importantă apare la curenți anodici de mică intensitate, când tiristorul GTO nu mai poate fi blocat, indiferent cât de mare este impulsul negativ aplicat pe poartă.

Utilizarea tiristoarelor GTO în locul celor convenționale conduce la simplificări notabile atât în circuitele de forță cât și în cele de comandă.



*Tranzistorul bipolar* este un dispozitiv semiconductor comandabil cu trei straturi PNP sau NPN având trei terminale din care unul de comandă (baza).

În aplicațiile de putere, tranzistorul funcționează, de obicei în comutație (ca comutator). La curent de bază nul, tranzistorul este blocat, iar circuitul este considerat deschis, Fig.5.5a, iar la curentul de bază care îl aduce în saturație el este practic ca un întrerupător închis.



**Fig.5.5**

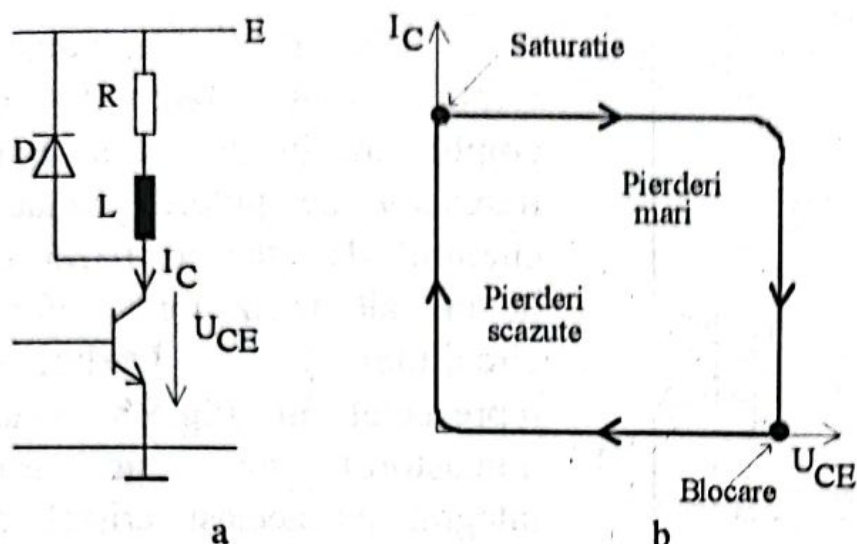
*Tranzistorul în comutație: a-starea deschisă și închisă a circuitului; b-aria de securitate tipică regimului în impulsuri.*

Fiind considerat întrerupător, pierderea de putere pe tranzistor este mică. Ea este datorată curentului rezidual, în poziția deschis, respectiv tensiunii de saturație și curentului de colector în poziția închis. Tensiunea de saturație tipică pentru un tranzistor de putere cu siliciu este de circa 1,1 V.

Pentru a utiliza la capacitate maximă tranzistorul fără a-l supraîncărca termic în timpul comutației, trebuie respectată aria de securitate reprezentată în Fig.5.5b. În timpul comutației între cele două stări reprezentate în Fig.5.5a, valorile curentului de colector ( $I_C$ ) și tensiunii colector-emitor ( $U_{CE}$ ) trebuie să aparțină conturului reprezentat în Fig.5.5b. Pragul cel mai mic al timpilor de comutație dă o limită dreptunghiulară ariei de securitate.

Pierderile în comutație ale unui tranzistor sunt în special datorate evoluției cuplului de valori  $U_{CE}$ - $I_C$  în timpul trecerii din starea de saturație în cea de blocare, Fig.5.6b, [3].



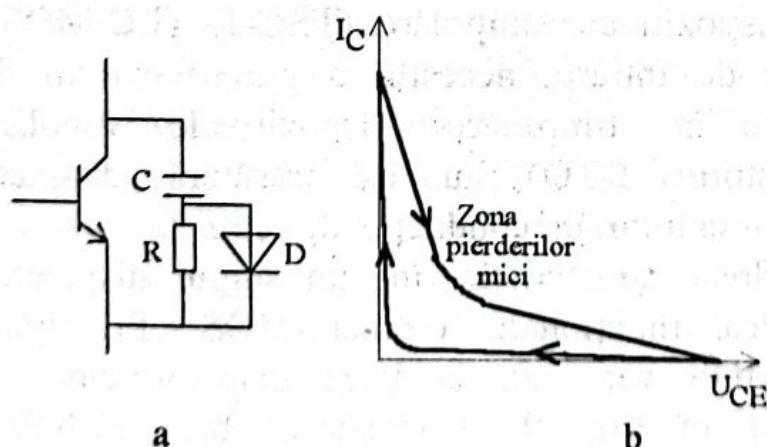


**Fig.5.6**

*Comutația unui circuit inductiv  
utilizând un tranzistor bipolar: a-schema electrică;  
b-evoluția cuplului de valori  $U_{CE}-I_C$*

foarte mici. Dacă tranzistorul este saturat și se comandă blocarea acestuia, dioda D începe să conducă, tensiunea  $U_{CE}$  este aproximativ egală cu tensiunea de alimentare E, iar curentul de colector nu este nul instantaneu. Drumul parcurs de cuplul de valori  $U_{CE}-I_C$  este în plină zonă a pierderilor mari, Fig.5.6b.

Cu ajutorul rețelei formate dintr-un condensator C, o



**Fig.5.7**

*Rețea pentru ajutorul comutației: a-schema  
electrică; b-evoluția cuplului de valori  $U_{CE}-I_C$*

tensiunea  $U_{CE}$  crește lent din cauza condensatorului C și a diodei D. Drumul parcurs de cuplul de valori  $U_{CE}-I_C$  trece prin zona pierderilor scăzute, Fig.5.7b.

Cu ajutorul circuitului inductiv, comandat de un tranzistor bipolar, Fig.5.6a, vom prezenta un exemplu de comutație nedorită. Dacă tranzistorul este blocat și îl trecem în saturație drumul parcurs de cuplul de valori  $U_{CE}-I_C$  urmează axele, deci pierderile sunt

rezistență R și o diodă D, Fig.5.7a, se poate îmbunătăți comutația tranzistorului. Dacă tranzistorul este saturat dioda D este blocată, iar condensatorul nu influențează funcționarea tranzistorului datorită rezistenței R.

În timpul blocării tranzistorului,



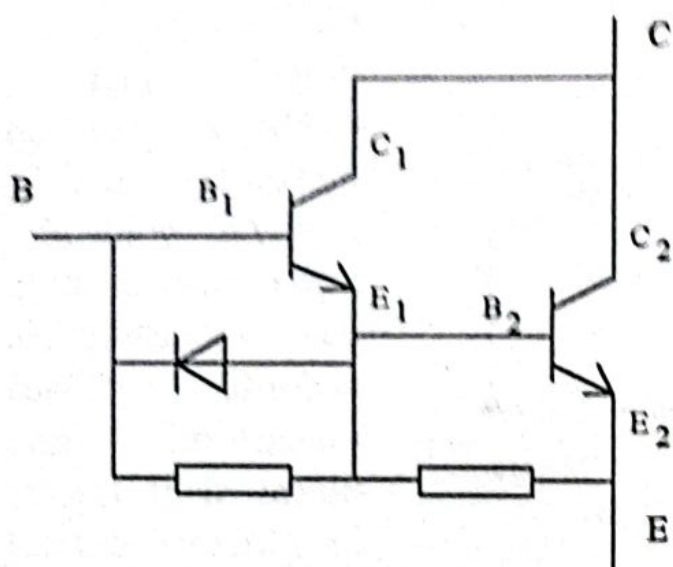


Fig.5.8  
Conexiunea Darlington

Se poate îmbunătăți foarte mult factorul de amplificare în curent al unui tranzistor de putere preluând curentul de atac al bazei de la un alt tranzistor conform circuitului Darlington reprezentat în Fig.5.8. Dacă tranzistorul de atac este integrat pe același cristal de siliciu, câștigul în curent poate ajunge la valori foarte mari, dar timpul de comutație se mărește.

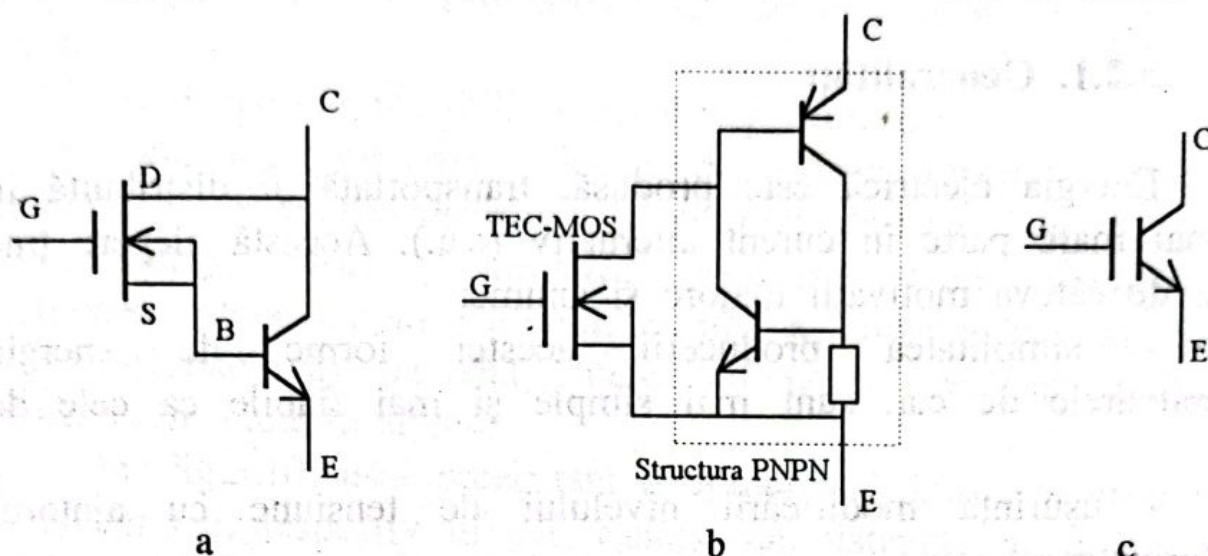
*Tranzistorul bipolar cu grilă izolată-IGBT* (Insulated Gate Bipolar Transistor). În domeniul dispozitivelor semiconductoare de putere având un terminal de comandă (bază, poartă sau grilă) pentru controlul integral (on/off) al proceselor de comutație tendința dominantă este micșorarea puterii de intrare (de comandă) necesară funcționării în diferite moduri de lucru simultan cu mărirea densității de curent comutate.

Se cunoaște că dispozitivele unipolare (TEC-J, TEC-MOS), care au o rezistență mare de intrare, necesită o putere extrem de redusă pentru comandă, în timp ce dispozitivele bipolare (tranzistorul bipolar, tiristorul GTO) au ca trăsătură distinctă densitatea relativ mare a curentului în conducție directă.

Imbinarea acestor două caracteristici într-un singur dispozitiv s-a realizat prin integrarea funcțională bipolară-MOS. Principiul integrării funcționale Bi-MOS care stă la baza dispozitivelor cu poartă izolată este ilustrat în Fig.5.9. Tranzistorul bipolar NPN, respectiv MOS cu canal N, conectate în configurație Darlington sunt realizate pe aceeași structură, Fig.5.9a. O tensiune pozitivă de valoare suficient de mare aplicată pe grilă deschide tranzistorul MOS care asigură curentul de bază al tranzistorului bipolar și trecerea structurii Bi-MOS în starea on. Atunci când tensiunea grilă-sursă ( $V_{GS}$ ) a tranzistorului TEC-MOS este zero prin structura



acestui dispozitiv nu trece curent deci, baza tranzistorului bipolar este în gol și în consecință structura Bi-MOS se află în starea off.



**Fig.5.9**

*Tranzistor bipolar cu grilă izolată: a-structura Bi-MOS; b-structura IGBT; c-simbol grafic.*

Acest tip de integrare funcțională (Bi-MOS) a fost dezvoltat și în direcția structurii PNPN obținându-se un dispozitiv ce poartă denumirea de tranzistor bipolar cu poartă izolată (IGBT), Fig.5.9b.

Avantajul esențial al dispozitivelor Bi-MOS, respectiv IGBT îl constituie puterea practic nulă consumată pe poartă în timpul funcționării și căderea de tensiune redusă în starea de conducție.

*Tiristorul controlat MOS-MCT* (MOS Controlled Thyristor), este un dispozitiv semiconductor de putere, de ultimă oră, care permite obținerea unei densități de curent de 2,5 ori mai mare ca cea a unui IGBT, [9]. MCT-ul este un dispozitiv a cărui structură poate fi considerată ca fiind realizată dintr-un tiristor la care a fost adăugat un tranzistor MOS cu canal N pentru a asigura amorsarea și un tranzistor cu canal P pentru a realiza blocarea. Analogia MCT-ului cu un tiristor rămâne totuși limitată deoarece datorită integrării structurii MOS, respectiv bipolare pe același cip funcționarea lui este asemănătoare cu a unui IGBT.

Densitatea de curent mare,  $100 \text{ A/cm}^2$ , permite în cazul MCT-ului de a se obține un raport între puterea comutată și suprafața de siliciu, de valori foarte ridicate.



## 5.2. Instalații electrice de curent continuu la înaltă tensiune

### 5.2.1. Generalități

Energia electrică este produsă, transportată și distribuită în cea mai mare parte în curent alternativ (c.a.). Această alegere ține seama de câteva motivații majore și anume:

- simplitatea producerii acestei forme de energie (generatoarele de c.a. sunt mai simple și mai fiabile ca cele de c.c.);

- ușurința modificării nivelului de tensiune cu ajutorul transformatoarelor;

- posibilitatea de întrerupere mai ușoară a curentului datorită anulării sale naturale la trecerea prin zero.

Totodată, controlul transferurilor de energie în c.a. în cazul rețelilor intens buclate prezintă probleme din ce în ce mai greu de rezolvat, cum ar fi:

- repartiția tranzițiilor de energie pe liniile unei rețele buclate se face după legi fizice și nu întotdeauna economic;

- consumul de putere reactivă trebuie să fie compensat pentru a limita căderile de tensiune;

- reglajul frecvenței și a fazei tensiunilor produse de generatoarele interconectate trebuie să fie coordonat.

În alte cazuri, din motive de valorificare a resurselor naturale disponibile, centrele de producție și consum sunt îndepărtate și deci distanțele de transport a energiei electrice cresc și apare necesitatea compensării puterii reactive, iar menținerea stabilității devine dificil de asigurat.

Considerațiile prezentate permit precizarea mai concretă a domeniilor de aplicație ale curentului continuu. Aceste domenii privesc în mod deosebit transportul energiei electrice. Totuși, trebuie subliniat că utilizarea c.c. este scumpă și că prezintă interes economic doar în câteva cazuri particulare de transport a energiei pe distanțe mari și între sisteme energetice care prezintă caracteristici de incompatibilitate.

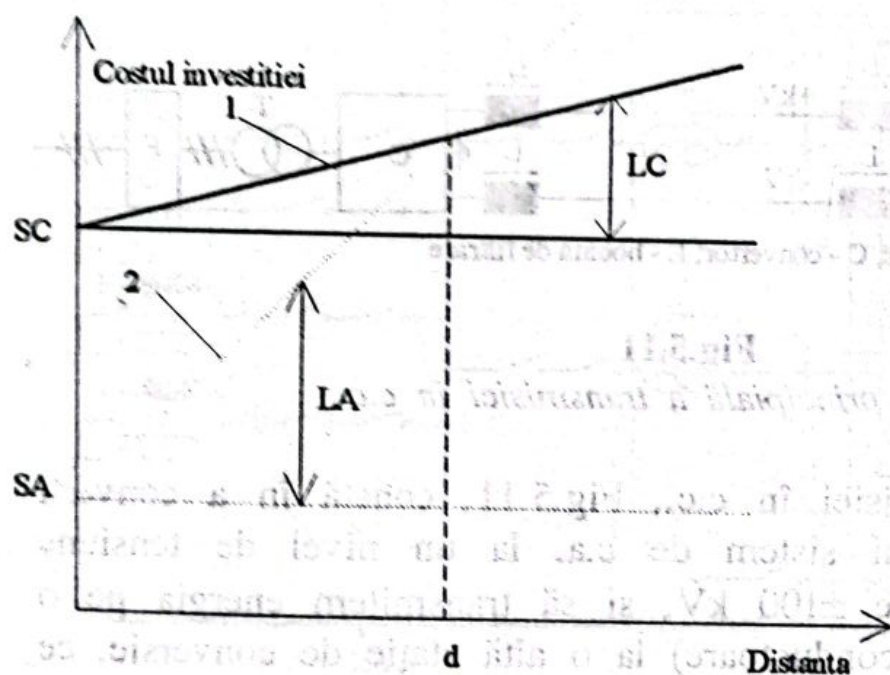


Un prim domeniu de aplicație este cel al legăturilor electrice subterane sau submarine de lungime mare în c.c. care permit:

- reducerea apreciabilă a costurilor cablurilor;
- evitarea problemelor legate de puterea reactivă vehiculată

care duc la supradimensionarea cablurilor de c.a., iar în cazul liniilor lungi apare necesitatea montării unor echipamente intermediare de-a lungul cablului, pentru a absorbi această putere reactivă (capacitivă) parazită, lucru dificil de realizat dacă nu imposibil, în anumite situații.

În Fig.5.10, este prezentată o comparație între costurile unei legături în c.c. respectiv în c.a. funcție de distanță, unde: SA este costul stației în c.a., SC-costul stației în c.c., LA-costul liniei în c.a., LC-costul liniei în c.c., d- distanța de la care este recomandată



**Fig.5.10**

*Dependența costului investiției de lungimea liniei în c.a. respectiv c.c.*

alegerea transportului în c.c., 1 și 2- costul total al investițiilor în c.c. respectiv c.a.

Se observă că o stație de conversie de la extremitățile unei linii de c.c. costă de aproximativ 5 ... 10 ori mai mult decât o stație de c.a., iar distanțele de la care devine convenabilă din punct de vedere economic alegerea

soluției de transport în c.c. este de aproximativ 40 km pentru linii în cablu și 600 km pentru linii aeriene, [8].

Alte posibilități de utilizare a c.c. la înaltă tensiune sunt la realizarea interconexiunilor internaționale dintre diverse sisteme energetice naționale respectiv între sisteme cu frecvențe de



funcționare diferite (50 Hz și 60Hz), existând interconexiuni de acest tip în Japonia (Sakuma și Shiu-Shinano) și în Brazilia (Itaipu).

În prezent, există pe plan mondial peste 50 de instalații în c.c. la înaltă tensiune ce se găsesc în exploatare, având tensiuni cuprinse între  $\pm 42$  kV ...  $\pm 600$  kV, respectiv o putere cumulată de 40 GW, cu o putere instalată în convertoare de aproximativ 80 GW, [1].

### 5.2.2. Stații de conversie c.a. - c.c.

O legătură în c.c. este constituită dintr-o linie de c.c. ce conectează între ele cel puțin două rețele de c.a. prin intermediul unor stații de conversie.

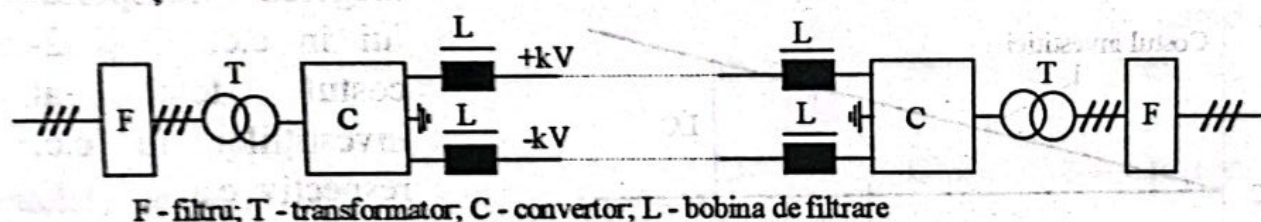


Fig.5.11

*Schema principală a transmisiei în c.c.*

Principiul transmisiei în c.c., Fig.5.11, constă în a converti (redresa) tensiunea unui sistem de c.a. la un nivel de tensiune continuă, să spunem de  $\pm 100$  kV, și să transmitem energia pe o linie cu două cabluri (conductoare) la o altă stație de conversie, ce funcționează ca inverter și alimentează un alt sistem de c.a.

Acest transfer se efectuează cu un randament aproape de unitate dar cu apariția unor inconveniente cum ar fi:

- un consum suplimentar de putere reactivă care trebuie compensat, în parte, la fața locului;

- generarea de armonici, care trebuie să fie filtrate pentru a nu pătrunde în rețeaua de c.a. cu o amplitudine prea mare.

Puterea poate circula în ambele sensuri deoarece fiecare convertor (C) poate funcționa atât ca redresor cât și ca inverter.



Schema generală a unei stații de conversie se poate vedea în Fig.5.12. Schema cuprinde: o parte de c.a., unitățile de conversie (UC) și o parte de c.c.

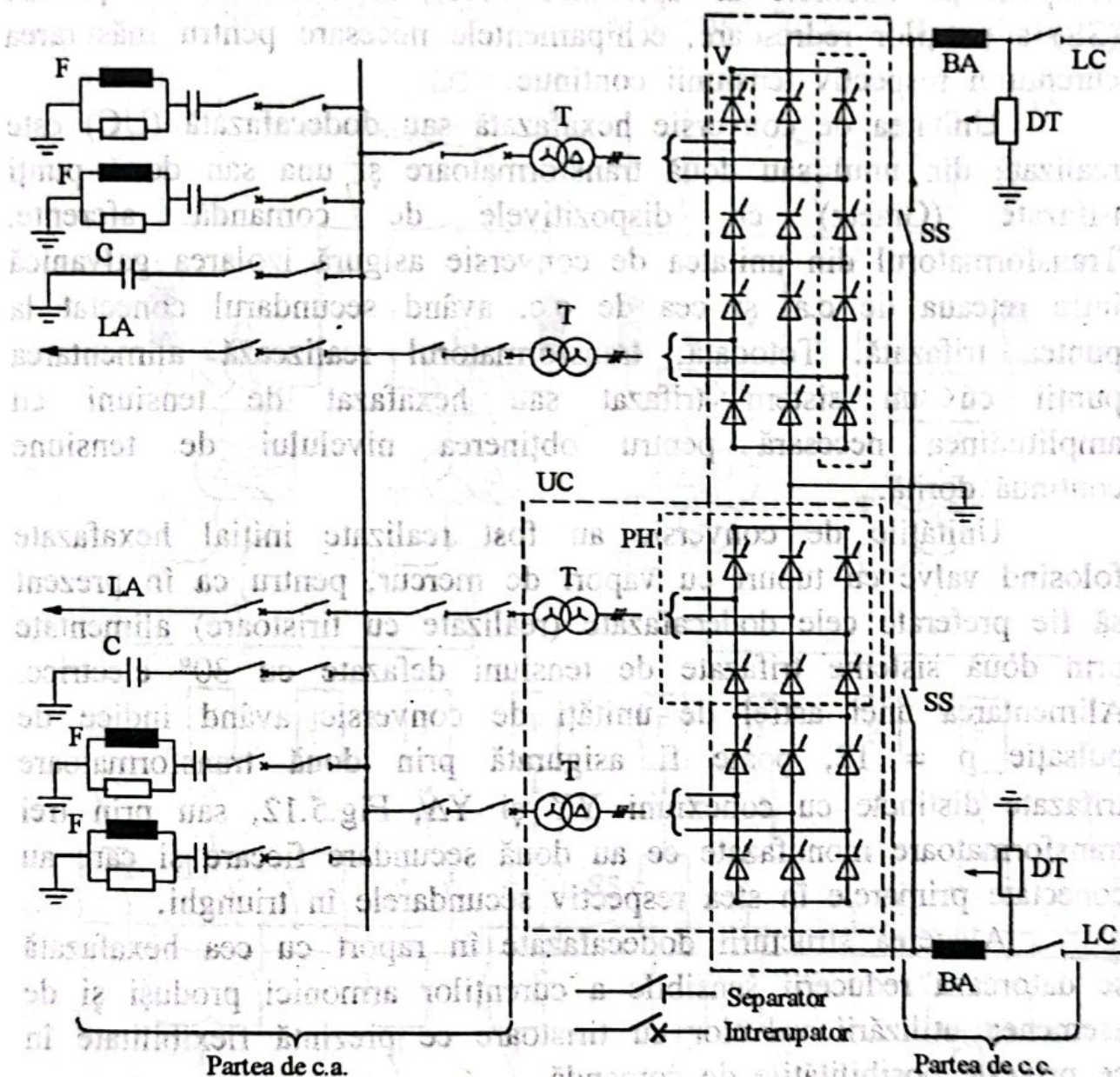


Fig.5.12

Schema generală a unei stații de conversie

Partea de c.a. este realizată cu un sistem de bare și celule de linie și de transformator care pot realiza diferite combinații de conexiuni între liniile de c.a. (LA) și unitățile de conversie (UC). La sistemul de bare de pe partea de c.a. se află conectate celulele liniilor de c.a. (LA), filtrele de armonici (F), bateriile de



condensatoare pentru compensarea puterii reactive (C) și celulele de transformator.

Partea de c.c. se află după unitățile de conversie și are în componență: bobinele de aplatizare (BA), separatoarele de șuntare (SS) a punților redresoare, echipamentele necesare pentru măsurarea curentului respectiv tensiunii continue.

Unitatea de conversie hexafazăată sau dodecafazăată (UC) este realizată din unul sau două transformatoare și una sau două punți trifazate (Graetz) cu dispozitivele de comandă aferente. Transformatorul din unitatea de conversie asigură izolarea galvanică între rețeaua de c.a. și cea de c.c. având secundarul conectat la puntea trifazăată. Totodată, transformatorul realizează alimentarea punții cu un sistem trifazat sau hexafazat de tensiuni cu amplitudinea necesară pentru obținerea nivelului de tensiune continuă dorită.

Unitățile de conversie au fost realizate inițial hexafazate folosind valve cu tuburi cu vapori de mercur, pentru ca în prezent să fie preferate cele dodecafazate (realizate cu tiristoare) alimentate prin două sisteme trifazate de tensiuni defazate cu  $30^\circ$  electrice. Alimentarea unei astfel de unități de conversie având indice de pulsație  $p = 12$ , poate fi asigurată prin două transformatoare trifazate distincte cu conexiuni YY și  $Y\Delta$ , Fig.5.12, sau prin trei transformatoare monofazate ce au două secundare fiecare și care au conectate primarele în stea respectiv secundarele în triunghi.

Alegerea structurii dodecafazate în raport cu cea hexafazăată se datorează reducerii sensibile a curenților armonici produși și de asemenea utilizării valvelor cu tiristoare ce prezintă flexibilitate în ce privește posibilitățile de comandă.

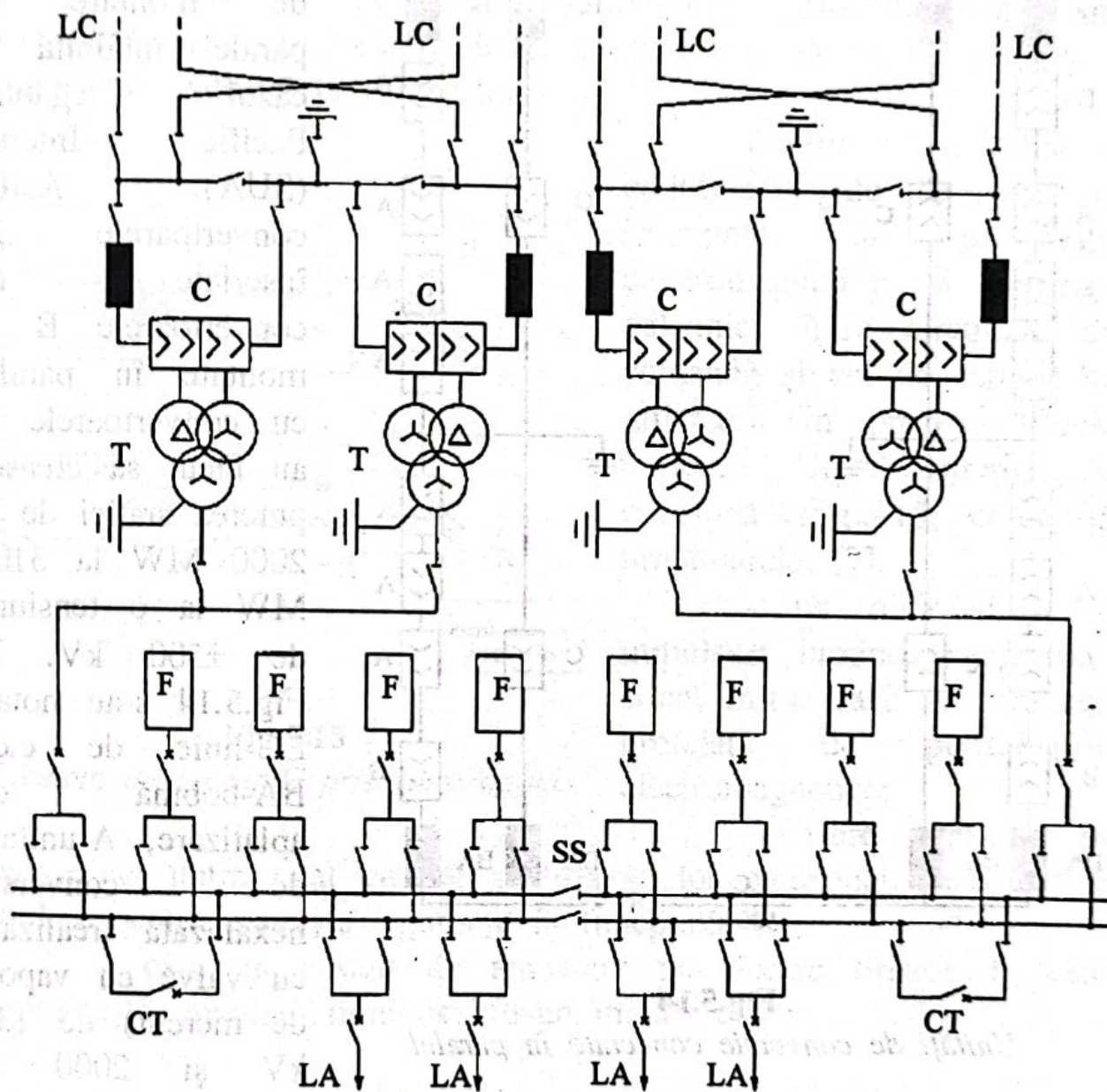
O unitate de conversie dodecafazăată, independent de transformatoarele T este constituită din două punți hexafazate PH având fiecare câte trei brațe constituite din două valve, V, pe fiecare braț. Valvele V sunt realizate din înserierea mai multor tiristoare.

Pentru cazul în care linia de c.c. asigură interconexiunea dintre două sisteme electroenergetice, iar tranzitul de putere prin linie este superior rezervei disponibile rapid din sistemul receptor este necesară adoptarea unei soluții optime în ce privește schema



stației de conversie. Există două posibilități care pot rezolva această problemă și anume: conectarea în serie sau în paralel a unităților de conversie.

În Fig.5.13 este prezentată conectarea în serie a unităților de



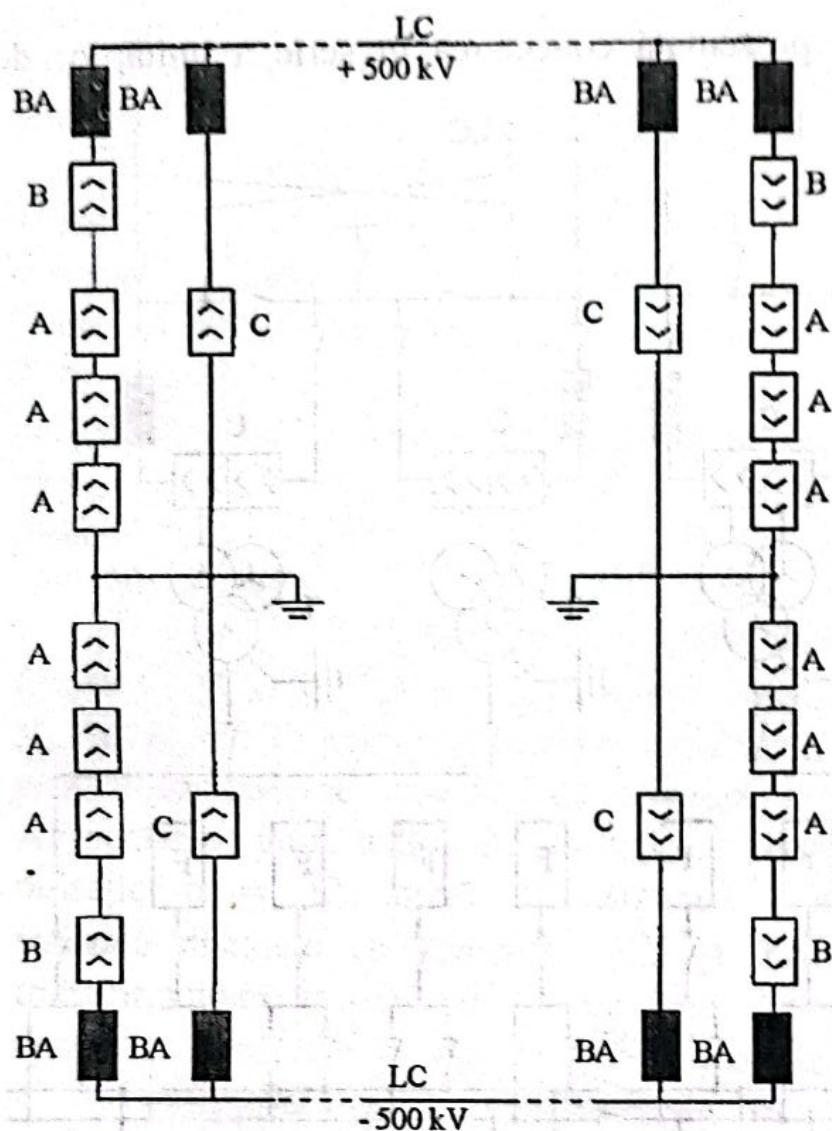
**Fig.5.13**

*Unități de conversie conectate în serie*

conversie în cazul stației Mandarius, stație ce reprezintă partea franceză a interconexiunii dintre Franța și Anglia realizată prin cabluri submarine de 2000 MW, unde s-au notat: C-convertoare de 500 MW la o tensiune de  $\pm 270$  kV, F-filtru, LC-linie de c.c., LA-



linie de c.a., T-transformator trifazat de 618 MVA, CT-cuplă transversală, SS-separator de secționare.



**Fig.5.14**

*Unități de conversie conectate în paralel*

(montată în 1970); B unitate de conversie hexafazăată (realizată cu valve cu tiristoare) de 100 kV și 2000 A (montată în 1985); C unitate de conversie dodecafazăată (cu tiristare) de 500 kV și 1100 A (montată în 1989).

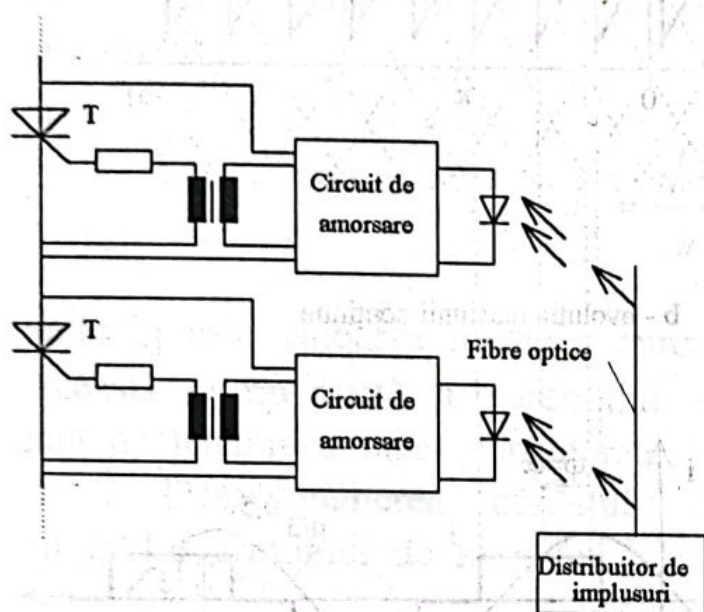
Pentru diminuarea pierderilor de transport, conversia se efectuează la câțiva zeci de kV în cazul stațiilor spate în spate, respectiv câteva sute de kV în cazul transportului pe distanțe mari. Apare deci necesitatea conectării în serie a mai multor tiristoare. Trebuie deci subliniat ca valorile mari de 3500...4000 A ale

In Fig.5.14 se arată un exemplu de montare în paralel întâlnită în cazul legăturii Pacific Intertie (SUA). Astfel convertoarele A înseriate cu convertoarele B și montate în paralel cu convertoarele C au făcut să crească puterea stației de la 2000 MW la 3100 MW la o tensiune de  $\pm 500$  kV. In Fig.5.14 s-au notat: LC-linie de c.c., BA-bobină de aplatizare, A-unitate de conversie hexafazăată (realizată cu valve cu vapori de mercur) de 133 kV și 2000 A



intensităților curentului ce pot fi suportate de pastilele redresoare cu diametrul de 150 mm, nu justifică, în general, conectarea de tiristoare în paralel.

Conectarea în serie a tiristoarelor impune condiții deosebite în ceea ce privește funcționarea circuitelor de comandă. Amorsarea tiristoarelor înseriate trebuie să fie simultană și să nu fie provocată intempestiv datorită perturbațiilor.



**Fig.5.15**

*Sistem de comandă prin fibre optice*

Pentru a satisface cerințele legate de precizie, imunitate la perturbații electromagnetice și izolarea galvanică între circuitele de comandă și cel de sarcină se utilizează în prezent fibrele optice. Un sistem de comandă, Fig.5.15, comportă următoarele, [7]:

- un distribuitor de impulsuri luminoase sincrone situat într-o sală de comandă protejată de perturbațiile electromagnetice;

- fibre optice, în

număr cel puțin egal cu cel al tiristoarelor comandate (ele pot fi dublate pentru a crește siguranța în funcționare);

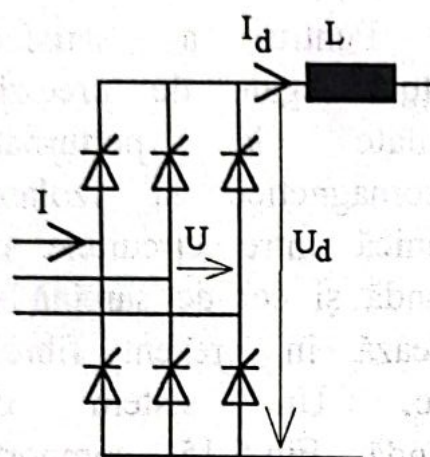
- câte un circuit de amorsare pe fiecare tiristor T, care convertește impulsul luminos într-un impuls electric.

### 5.2.3. Puntea trifazată a unității de conversie

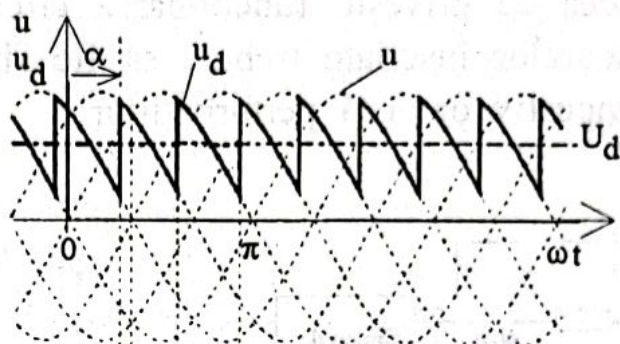
Puntea trifazată (Graetz), Fig.5.16, a unității de conversie este un convertor cu indice de pulsație 6, [1], [11]. La ieșire se obține o tensiune redresată a cărei valoare medie  $U_d$ , Fig.5.16b, se exprimă funcție de tensiunea alternativă efectivă de linie a sursei,  $U$  și de unghiul de întârziere la amorsarea valvelor,  $\alpha$ , cu relația:



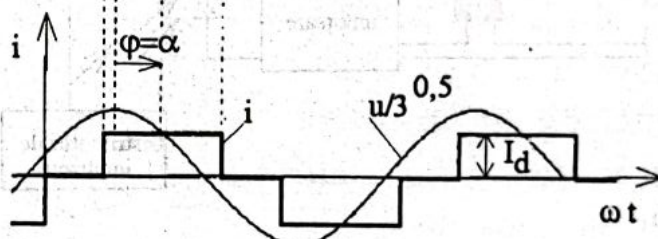
$$U_d = \frac{3\sqrt{2}}{\pi} U \cdot \cos \alpha. \quad (5.1)$$



a - schema electrica



b - evolutia tensiunii continue



c - evolutia curentului alternativ

Fig.5.16

### *Puntea trifazată: funcționarea ideală*

Această relație se obține în două condiții simplificatoare și anume:

- inductanțe nule pe partea de c.a., permițând comutația instantanee a curentului de la un tiristor la altul;
- o inductanță infinită pe partea de c.c., conducând la o ondulație nulă și o aplatizare perfectă a curentului.

Datorită prezenței valvelor unidirectionale, curentul continuu circulă întotdeauna în același sens, deci în funcție de valoarea unghiului  $\alpha$ , se determină sensul tranzitului de putere:

- pentru valori ale lui  $\alpha$  cuprinse între 0 și 90°, puntea transmite putere de la rețeaua de c.a. spre cea de c.c., deci funcționează ca redresor;



- pentru valori între  $90^\circ$  și o limită inferioară apropiată de  $180^\circ$ ,  $\gamma$  (unghiul  $\gamma$  este denumit unghi de stingere sau de gardă și evită fenomenul de ratăre a comutației), transferul de putere este în sens invers, deci puntea funcționează ca inverter.

Curentul  $i$  are o formă perfect dreptunghiulară numită 2/3-1/3, Fig.5.16c; 2/3 dintr-o perioadă curentul este diferit de zero, iar 1/3 este nul. Descompunerea în serie Fourier a curentului de pe fiecare fază pune în evidență o componentă fundamentală de amplitudine:

$$I_1 = \frac{\sqrt{6}}{\pi} I_d, \quad (5.2)$$

unde  $I_d$  este valoarea medie a curentului continuu.

Această componentă a curentului este în întârziere cu unghiul  $\alpha$  față de tensiunea fazei considerate.

Descompunerea curentului arată, de asemenea, prezența curenților armonici de rang  $h$ :

$$I_h = \frac{1}{h} \cdot \frac{\sqrt{6}}{\pi} I_d, \quad (5.3)$$

unde  $h$  este rangul armonicii:  $h = pk \pm 1$ ,  $k \in \mathbb{N}$  ( $p$ , indicele de pulsație).

Valoarea efectivă a curentului de linie este:

$$I = \frac{\sqrt{2}}{\sqrt{3}} I_d, \quad (5.4)$$

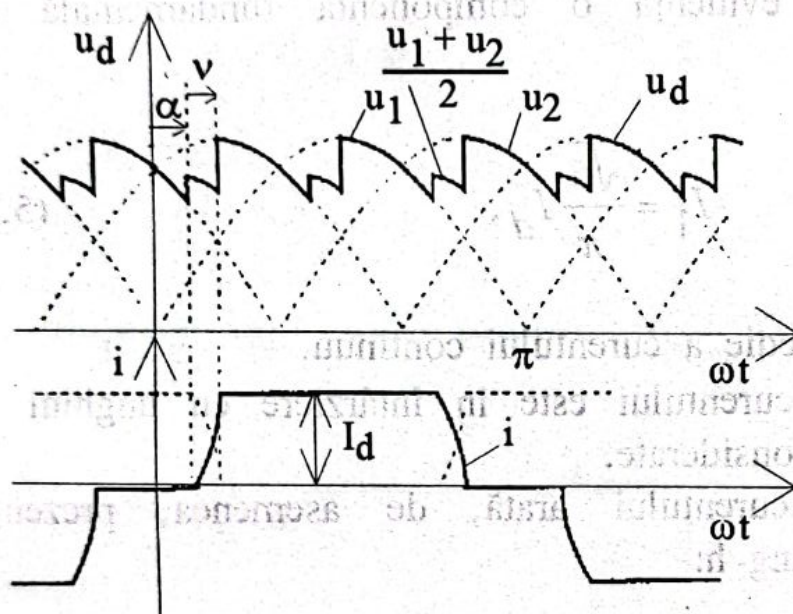
Se deduce astfel factorul de distorsiune a curentului respectiv a puterii cu relațiile:

$$\frac{I_1}{I} = \frac{3}{\pi}, \quad K = \frac{3}{\pi} \cdot \cos \alpha, \quad (5.5)$$



Reglajul tensiunii continue provoacă astfel un consum de putere reactivă cu un factor de defazaj (numit factor de deplasare,  $\cos\varphi$ ) egal cu  $\cos\alpha$ .

În realitate, sursa de c.a. fiind întotdeauna mai mult sau mai puțin inductivă, comutațiile nu mai sunt instantanee, iar durata lor corespunde cu unghiul de comutație  $v$ , Fig.5.17 (unde:  $u_1$  și  $u_2$  tensiunile instantanee între faze).



**Fig.5.17**

*Influența unghiului de comutație*

Printre efectele care le implică prezența unghiului de comutație amintim reducerea tensiunii continue medii redresate, respectiv a factorului de deplasare ( $\cos\varphi$ ) ceea ce duce la o creștere a puterii reactive absorbite de punte de la rețea.

Utilizarea de tiristoare cu blocare pe poartă (GTO) sau de tiristoare MCT (Mos Controlled Thyristor) în construcția convertoarelor vor duce la: posibilitatea de a regla independent schimbul de putere activă și reactivă cu rețeaua de c.a., posibilitatea de a controla armonicile generate de convertor.

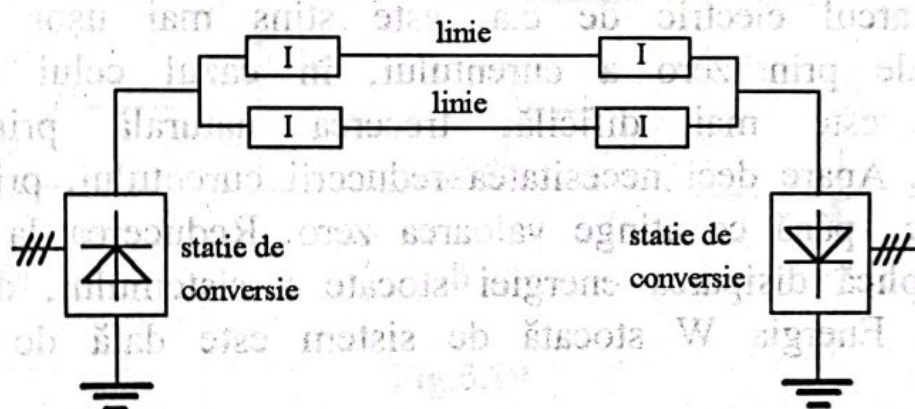
Extinderea utilizării legăturilor în c.c. este limitată chiar și în cazul în care transportul în c.c. este mai economic decât transportul în c.a. datorită siguranței reduse în funcționare a convertoarelor și datorită faptului că funcționarea convertoarelor impune un consum important de putere reactivă, având ordinul de mărime egal cu puterea activă.



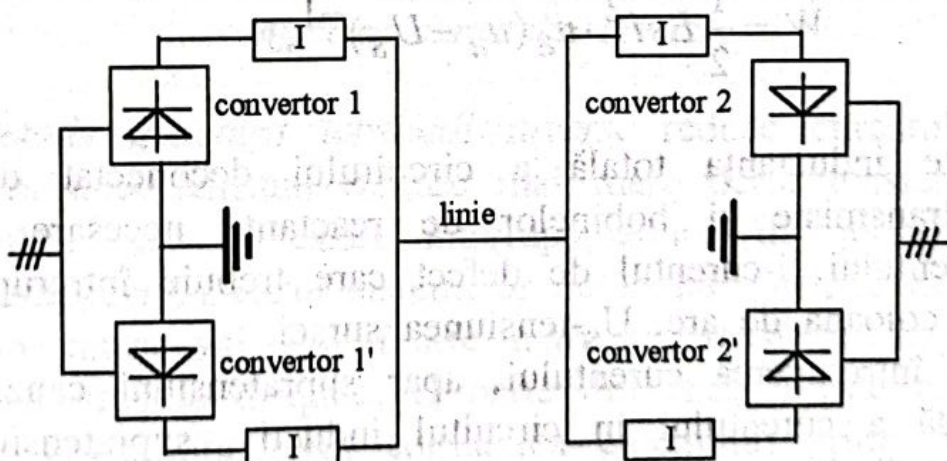
### 5.3. Comutația de putere în curent continuu la înaltă tensiune

#### 5.3.1. Generalități

În sistemele existente de transmisie a energiei la înaltă tensiune în curent continuu prevăzute cu două stații terminale de conversie a energiei, se poate funcționa fără întrerupătoare de c.c. deoarece defectele de pe liniile de transmisie pot fi controlate cu ajutorul convertoarelor și a întrerupătoarelor de pe partea de c.a. a stațiilor de conversie. Cu toate acestea, întrerupătoarele de înaltă



a



b

Fig.5.18

*Sisteme de transmisie în c.c. care necesită prezența întrerupătoarelor de c.c.*

tensiune de c.c. pot fi utilizate pentru creșterea performanțelor sistemului de transmisie, când avem linii conectate în paralel,



Fig.5.18a, sau convertore montate în paralel ce alimentează aceeași linie, Fig.5.18b.

Un sistem care conectează trei sau mai multe stații de conversie prin linii de înaltă tensiune de c.c. este denumit sistem de transmisie multiterminal. Într-un sistem multiterminal este necesară prezența întrerupătoarelor de c.c. pentru a asigura o fiabilitate ridicată și un anumit grad de libertate în funcționarea acestuia. Astfel, întrerupătoarele izolează secțiuni din instalație pastrând linii care transmit în continuare energie, deconectează linii defecte cu perturbații minime în sistem și izolează stația terminală sau convertorul defect.

Dacă arcul electric de c.a. este stins mai ușor datorită trecerii naturale prin zero a curentului, în cazul celui de c.c. stingerea sa este mai dificilă, trecerea naturală prin zero nemaexistând. Apare deci necesitatea reducerii curentului, prin arcul electric de c.c., până ce atinge valoarea zero. Reducerea la zero a curentului implică disiparea energiei stocate a sistemului, de către arcul electric. Energia  $W$  stocată de sistem este dată de relația, [17]:

$$W = \frac{1}{2} L \cdot i^2 \cdot u_a (u_a - U_s)^{-1}, \quad (5.6)$$

unde:  $L$  este inductanța totală a circuitului deconectat datorată liniilor de transmisie și bobinelor de reactanță necesare pentru netezirea curentului,  $i$ -curentul de defect care trebuie întrerupt,  $u_a$ -tensiunea pe coloana de arc,  $U_s$ -tensiunea sursei.

După întreruperea curentului, apar supratensiuni cauzate de variația rapidă a curentului în circuitul inductiv, supratensiuni ce trebuie să fie limitate pentru a nu solicita izolația echipamentelor electrice.

Se desprind următoarele probleme în cazul întreruperii în curent continuu: crearea unui punct de zero a curentului continuu, disiparea energiei înmagazinate în inductanțele circuitului, limitarea supratensiunilor datorate întreruperii curentului. Disiparea energiei și limitarea supratensiunilor sunt realizate prin utilizarea descărcătoarelor cu oxizi de zinc.



### 5.3.2. Metode de comutație utilizate în c.c.

Metodele propuse pentru întreruperea unui c.c., bazate pe crearea unui punct de zero sunt: metoda generării tensiunii inverse; metoda oscilației curentului divergent; metoda injectării curentului invers. În Fig.5.19, sunt prezentate formele de undă tipice ale curentului și tensiunii pe durata unei întreruperi în c.c., în cazul celor trei metode.

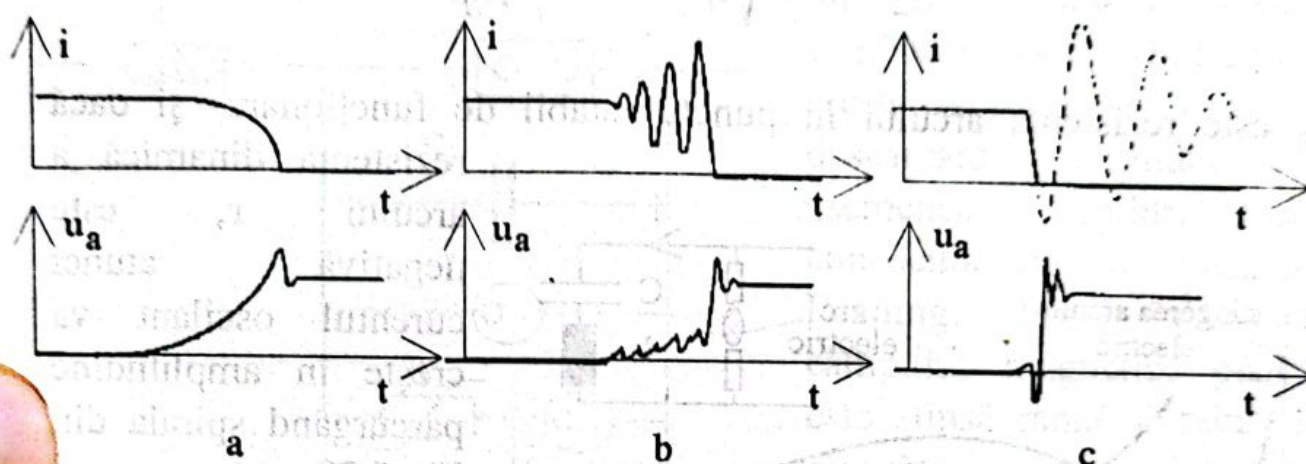


Fig.5.19

Forme de undă tipice la deconectarea unui c.c. prin: a-metoda generării tensiunii inverse; b-metoda oscilației curentului divergent; c-metoda injectării curentului invers.

**Metoda generării tensiunii inverse** reduce curentul la zero prin crearea unei tensiuni de arc mai mare decât tensiunea sursei de alimentare, ca în cazul întrerupătoarelor de joasă tensiune. Aplicarea metodei în cazul sistemelor de înaltă tensiune de c.c. este dificilă din cauza valorilor foarte mari ale tensiunii de arc și a energiei care trebuie disipate. O parte din energie este disipată, în majoritatea aplicațiilor, prin comutarea curentului printr-un rezistor și/sau condensator și o parte cu ajutorul arcului electric. Această posibilitate de întrerupere a curentului poartă denumirea de metoda comutării curentului.

**Metoda oscilației curentului divergent** crează un punct de zero prin amplificarea amplitudinii unei oscilații de curent de înaltă frecvență. Metoda utilizează caracteristica negativă a arcului electric, Fig.5.20, care determină un curent de oscilație crescător în circuitul format din arcul electric, condensatorul  $C$  și inductanța  $L$ . O



creștere oricât de mică a tensiunii de arc determină o creștere a curentului prin condensator rezultând o scădere corespunzătoare a curentului prin arc, care induce o creștere suplimentară de tensiune datorită caracteristicii negative a arcului. Analiza stabilității arată că, dacă constanta de timp a arcului  $T_a$  este mai mică decât o valoare critică  $T_c$ , [17]:

$$T_a < T_c = -\frac{1}{2}r \cdot C + \sqrt{\frac{1}{4}r^2 \cdot C^2 - \frac{r}{R_a}L \cdot C}, \quad (5.7)$$

( $R_a$  este rezistența arcului în punctul stabil de funcționare) și dacă

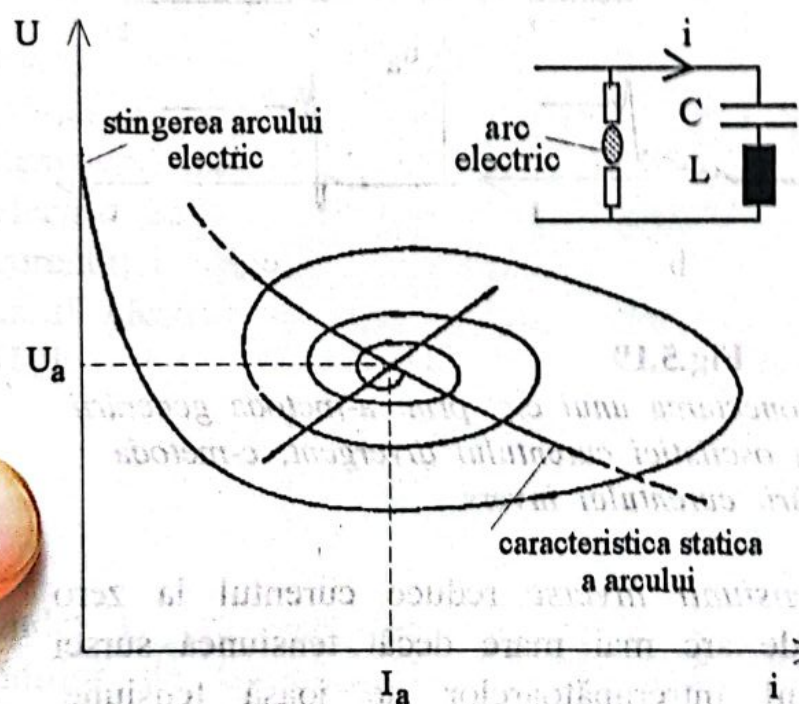


Fig.5.20

*Instabilitatea arcului electric*

parte din cadrul metodei comutării curentului.

*Metoda injectării curentului invers* crează un punct de zero prin suprapunerea unui curent invers de înaltă frecvență peste curentul continuu, prin descărcarea unui condensator, încărcat în prealabil. Intrerupătoarele convenționale de c.a. pot fi folosite pentru comutația circuitelor în acest caz, dar configurația circuitului auxiliar tinde să fie mai complicată decât în cazul altor metode.

rezistența dinamică a arcului  $r$ , este negativă atunci curentul oscilant va crește în amplitudine parcurgând spirala din Fig.5.20.

Intrerupătoarele cu ulei, aer, hexafluorură de sulf sau vld de c.a. pot fi utilizate pentru comutație în acest caz, dar ele trebuie modificate pentru a minimiza condensatorul din paralel. Această metodă este considerată ca făcând



### 5.3.3. Scheme de comutație în curent continuu

În tuburile de descărcare la presiune joasă este dificil de a menține o descărcare la o presiune mai mică decât minimul Paschen. Aplicând un câmp magnetic în zona dintre electrozii unui

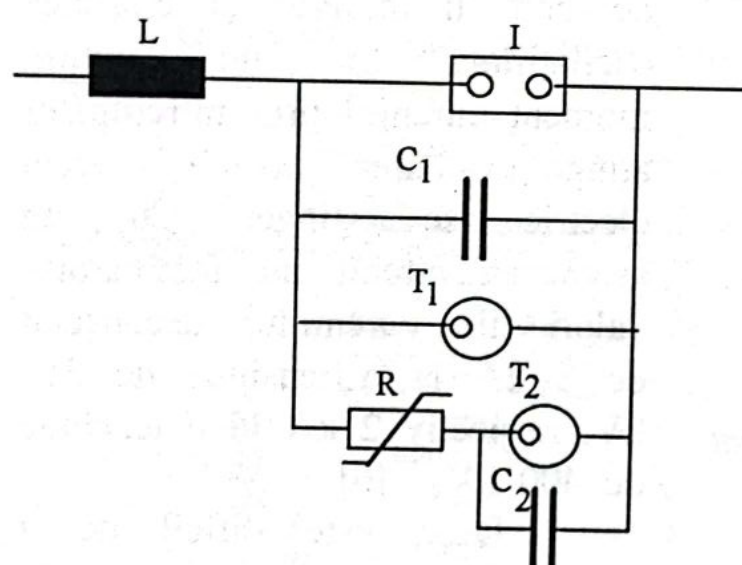


Fig.5.21

Configurație de comutație cu tuburi Penning

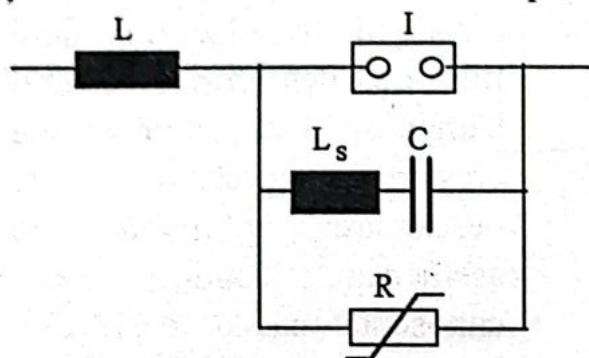
tub de descărcare, efectul câmpului este similar cu creșterea presiunii. O descărcare obținută în asemenea condiții este cunoscută ca o descărcare Penning. Prin înlăturarea câmpului magnetic, plasma este stinsă rapid și tubul își recapătă rigiditatea dielectrică.

În Fig.5.21 este prezentat un circuit de comutație utilizând tuburi de descărcare Penning, [6].

În poziția închis curentul circulă prin întrerupătorul  $I$  (închis), tuburile de descărcare  $T_1$  și  $T_2$  nefiind amorstate. În debutul operației de întrerupere, întrerupătorul  $I$  este deschis și tensiunea pe arcul electric care apare, crește. Prin aplicarea unui câmp magnetic atunci când tensiunea pe arc a atins câteva sute de volți tubul  $T_1$  amorsează și curentul de deconectare este comutat de la întrerupătorul  $I$  la tubul  $T_1$ . După ce mediul electroizolant și de stingere al arcului electric din întrerupătorul  $I$  își recapătă rigiditatea dielectrică, câmpul magnetic aplicat tubului  $T_1$  este înlăturat și astfel descărcarea este stinsă și curentul întrerupt. Chiar în momentul stingerii lui  $T_1$  este amorstat  $T_2$  și un rezistor neliniar  $R$  este introdus pentru a disipa energia stocată a sistemului. Performanțele atinse de această configurație de comutație sunt 2 kA curent deconectat la o tensiune de 100 kV, [6].



În Fig.5.22 este reprezentat un circuit de comutație care utilizează caracteristica negativă a arcului electric. Comutația începe prin deschiderea întrerupătorului I ceea ce duce la apariția unui arc electric și a unui curent de oscilație de înaltă frecvență cu amplitudine crescătoare în circuitul care cuprinde elementele C,  $L_s$ , și arc electric din întrerupătorul I. Fluctuațiile neregulate ale

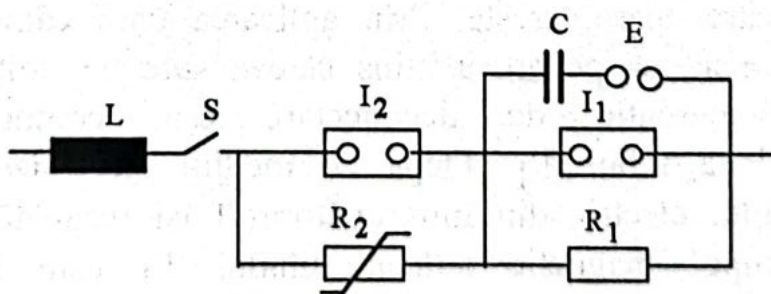


**Fig.5.22**

*Configurație utilizând un curent oscilant divergent*

arcului electric au un rol deosebit în inițierea și creșterea oscilațiilor. La un anumit moment curentul prin întrerupător atinge valoarea zero și arc electric se stinge. Cu un asemenea circuit au fost atinse valori ale curentului deconectat de 8 kA la o tensiune de 250 kV, respectiv 2 kA la o tensiune de 400 kV, [6].

Deși, este dificil de a întrerupe curentul continuu la înaltă tensiune utilizând efectul de limitare al curentului cu ajutorul tensiunii de arc totuși, printr-o comutație pas cu pas este posibilă comutația curentului. Un exemplu tipic este arătat în Fig.5.23, care utilizează un întrerupător cu ulei puțin  $I_1$ . După deschiderea întrerupătorului  $I_1$ , tensiunea pe arc electric crește și va determina amorsarea eclatorului E atunci când ea va atinge o anumită valoare. Curentul din întrerupătorul  $I_1$



**Fig.5.23**

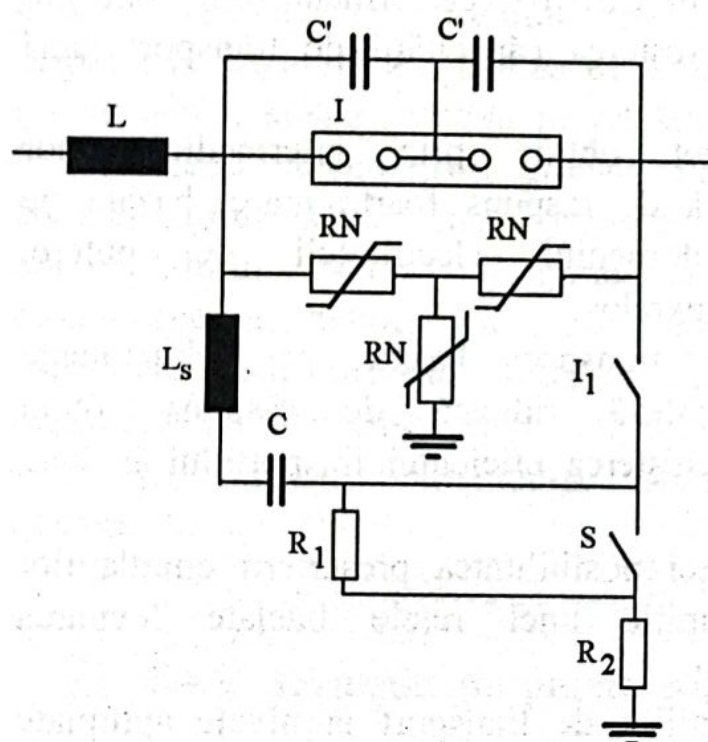
*Circuit utilizând efectul de limitare al curentului cu ajutorul tensiunii de arc*

este comutat o parte prin condensatorul C și o altă parte prin



rezistorul  $R_1$  determinându-se astfel micșorarea lui. Apoi un al doilea întrerupător ( $I_2$ ) este deschis și curentul este comutat prin rezistorul neliniar  $R_2$ , care determină reducerea în continuare a curentului. Rezistoarele  $R_1$  și  $R_2$  disipă energia stocată a sistemului. În final valoarea mică a curentului rezidual este întreruptă cu ajutorul separatorului  $S$ , încheindu-se deconectarea circuitului. Prezenta configurație poate întrerupe un curent de până la 2,4 kA la o tensiune de 40 kV.

O configurație a unui circuit folosind metoda injectiei



**Fig.5.24**

*Circuit utilizând metoda injectării  
curentului*

curentul prin arc atinge valoarea zero. Deschiderea întrerupătorului auxiliar  $I_1$  și închiderea separatorului  $S$  asigură încărcarea rapidă a condensatorului  $C$  prin rezistorul  $R_2$ . O asemenea schemă utilizată în instalațiile capsulate cu hexafluorură de sulf a fost capabilă să întrerupă curenți de 8,8 kA la o tensiune de 250 kV, [6].

curentului invers este prezentată în Fig.5.24. Condensatorul  $C$  este încărcat de la tensiunea sistemului prin intermediul rezistoarelor  $R_1$  și  $R_2$ . În momentul deschiderii întrerupătorului cu hexafluorură de sulf  $I$  este închis întrerupătorul auxiliar  $I_1$ . Astfel se determină o descărcare oscilantă a condensatorului  $C$  prin inductanța  $L_s$  și prin coloanele de arc din întrerupătorul  $I$ , cu un curent de înaltă frecvență. Întreruperea curentului are loc în momentul când



## 5.4. Sisteme flexibile de transmisie în curent alternativ

### 5.4.1. Generalități

Noțiunea de sistem flexibil de transmisie în c.a. a apărut cu câțiva ani în urmă odată cu demararea de către EPRI (Electric Power Research Institute) a proiectului FACTS (Flexible Alternante Current Transmission Systems). Scopul proiectului este de a realiza un sistem electric de transport în c.a. mai performant prin controlul circulațiilor de puteri și prin creșterea capacității de transport până la limitele admisibile.

Aceste cerințe se pot obține prin intermediul unor dispozitive de control cu viteză de răspuns foarte mare, bazate pe progresele înregistrate în domeniul electronicii de putere, microelectronicii și microprocesoarelor.

Sistemele flexibile de transport bazate pe echipamente electronice de putere cu viteză ridicată de răspuns, oferă următoarele posibilități pentru creșterea eficienței transportului în c.a., [4], [14], [15]:

- controlul puterii și deci posibilitatea prescrierii circulațiilor (tranzitelor) de puteri pe liniile unei rețele buclate (evitarea circulațiilor de putere în buclă);
- siguranța încărcării liniilor de transport la nivele apropiate de limitele termice;
- prevenirea ieșirii din funcțiune, în cascadă, a instalațiilor prin limitarea efectelor incidentelor;
- creșterea capacității de transport în sistemele controlate, astfel încât rezerva de putere care de obicei este de 18% se poate reduce la 15% sau chiar mai puțin;
- atenuarea oscilațiilor în sistemele de putere care pot deteriora echipamentul și limita capacitatea de transport.

Intr-o rețea electrică buclată repartitia puterii active între diverse centrale electrice și circulațiile spre centrele de consum sunt făcute după legi fizice și nu întotdeauna economic. Puterea reactivă influențează la rândul ei repartitia puterii active prin modificarea nivelelor de tensiuni, deoarece liniile de transport sunt producătoare



sau consumatoare de putere reactivă în funcție de gradul lor de încărcare.

Pentru reglajul circulațiilor de putere activă și reactivă într-o rețea de c.a. există, în prezent, următoarele posibilități, [14], [15]:

- transformatorul defazor (rotitor);
- compensatorul serie cu condensatoare;
- reglatoare pentru tensiunea de ieșire a generatoarelor;
- compensatorul șunt (transversal) cu condensatoare.

Performanțele obținute în domeniul convertoarelor de mare putere destinate transportului în c.c. au dus la apariția unor dispozitive capabile să regleze de o manieră dinamică circulațiile de putere activă și/sau reactivă în rețelele de c.a.

Aceste dispozitive, grupate sub conceptul FACTS, cuprind: compensatorul static șunt (transversal) cu comutație electronică, compensatorul serie (longitudinal) controlat cu tiristoare, transformatorul defazor cu reglaj electronic în sarcină, amortizorul oscilațiilor subsincrone. Există preocupări, în prezent, pentru realizarea acestor dispozitive cu ajutorul convertoarelor statice cu comutație forțată, obținându-se așa-numitele *"dispozitive FACTS avansate"*.

#### 5.4.2. Tranzitul de putere printr-o linie electrică

Ecuatiile care definesc transferul de energie în lungul liniilor electrice de transport, sunt, [16]:

$$\left. \begin{aligned} \frac{d^2 I}{dx^2} &= (r_0 + j\omega l_0) \cdot (g_0 + j\omega c_0) I \\ \frac{d^2 U}{dx^2} &= (r_0 + j\omega l_0) \cdot (g_0 + j\omega c_0) U, \end{aligned} \right\} \quad (5.8)$$

unde:  $r_0$ ,  $l_0$ ,  $g_0$  și  $c_0$  reprezintă rezistența, inductanța, conductanța și respectiv capacitatea lineică.



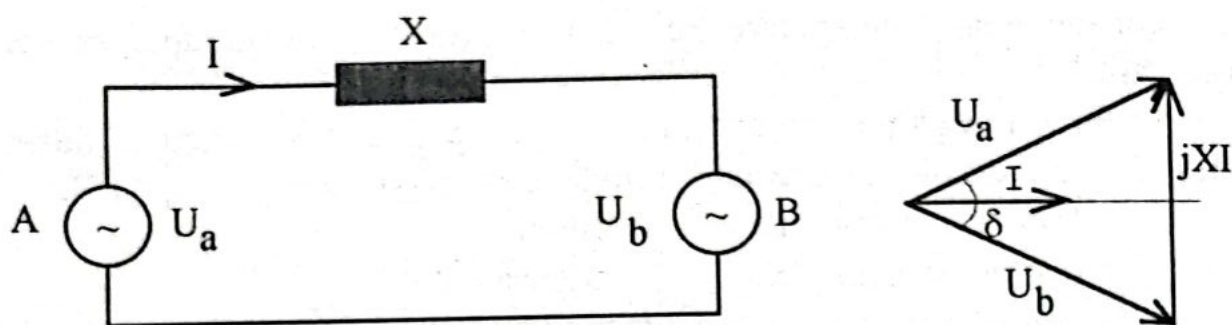


Fig.5.25  
Transmisia energiei printr-o linie

În cazul unei linii electrice de transport fără pierderi care leagă între ele două surse sincrone A și B, Fig.5.25, expresia puterii active transmise este:

$$P = \frac{U_a \cdot U_b}{Z_0 \cdot \sin \phi_L} \cdot \sin \delta, \quad (5.9)$$

unde:  $U_a$ ,  $U_b$  sunt tensiunile efective la extremitățile liniei,  $\delta$  - unghiul de defazaj (denumit unghi de transport) dintre cele două tensiuni,  $Z_0$  - impedanța caracteristică ( $Z_0 = \sqrt{I_0 / c_0}$ ),  $\phi_L = L \cdot \beta$ , unde  $L$  lungimea liniei de transport iar  $\beta$  constanta de propagare pe linie ( $\beta = \omega \cdot \sqrt{I_0 \cdot c_0}$ ).

Pentru lungimi mici  $\sin \phi_L \cong \phi_L$ , și atunci rezultă:

$$P = \frac{U_a \cdot U_b}{X} \cdot \sin \delta, \quad (5.10)$$

unde:  $X = I_0 \cdot L$  este reactanța liniei.

Dacă tensiunile la extremitățile liniei sunt menținute egale și constante  $U_a = U_b = U_0$ , vom avea:

$$P = \frac{U_0^2}{X} \cdot \sin \delta = P_0 \cdot \sin \delta, \quad (5.11)$$



unde  $P_0$  este puterea naturală (în jur de 500 MW pentru o linie de 400 kV cu o impedanță caracteristică  $Z_0=300 \Omega$ ).

Puterea reactivă schimbată între surse și linie, în aceleași condiții, este:

$$Q = \frac{U_0^2}{X} (1 - \cos \delta). \quad (5.12)$$

Posibilitățile teoretice pentru reglarea tranzitului de putere, conform ecuației (5.10) sunt:

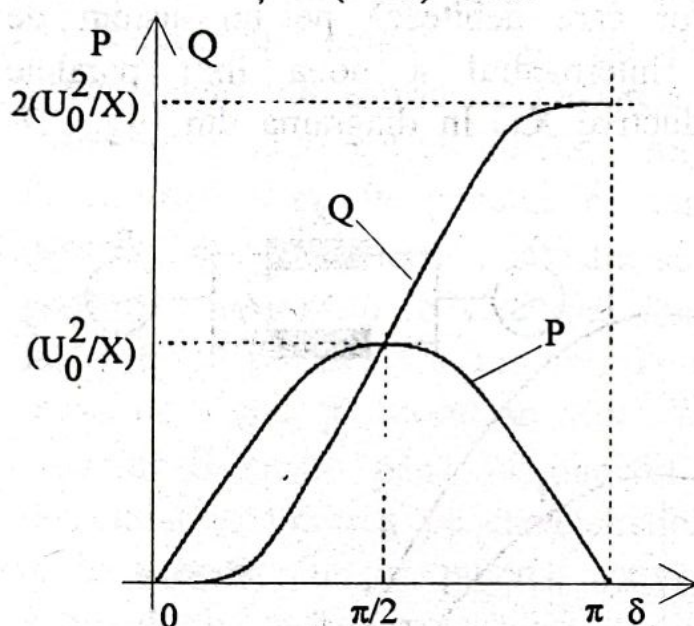


Fig.5.26

Variația puterii active și reactive funcție de unghiul de transport

- modificarea tensiunilor efective  $U_a$  și  $U_b$  (în realitate ele nu pot fi modificate decât în limite reduse);

- modificarea reactanței  $X$  a liniei de transport;

- modificarea unghiului de transport  $\delta$ .

În Fig.5.26 este prezentată variația puterii active și reactive în funcție de unghiul de transport  $\delta$ , observându-se

o putere activă maximă tranzitată pentru un unghi  $\delta=90^\circ$ . Partea stabilă a caracteristicii  $P(\delta)$  este pentru  $\delta$  cuprins între  $0^\circ \dots 90^\circ$ , în practică funcționându-se, din motive de stabilitate a generatoarelor, cu un coeficient de stabilitate statică  $K_s$  între 1,15...1,20 și un unghi  $\delta$  între  $35^\circ \dots 40^\circ$ . Coeficientul  $K_s$  este definit de relația:

$$K_s = \frac{P_0}{P}, \quad (5.13)$$

unde:  $P_0$  puterea maximă iar  $P$  puterea debitată de generator.



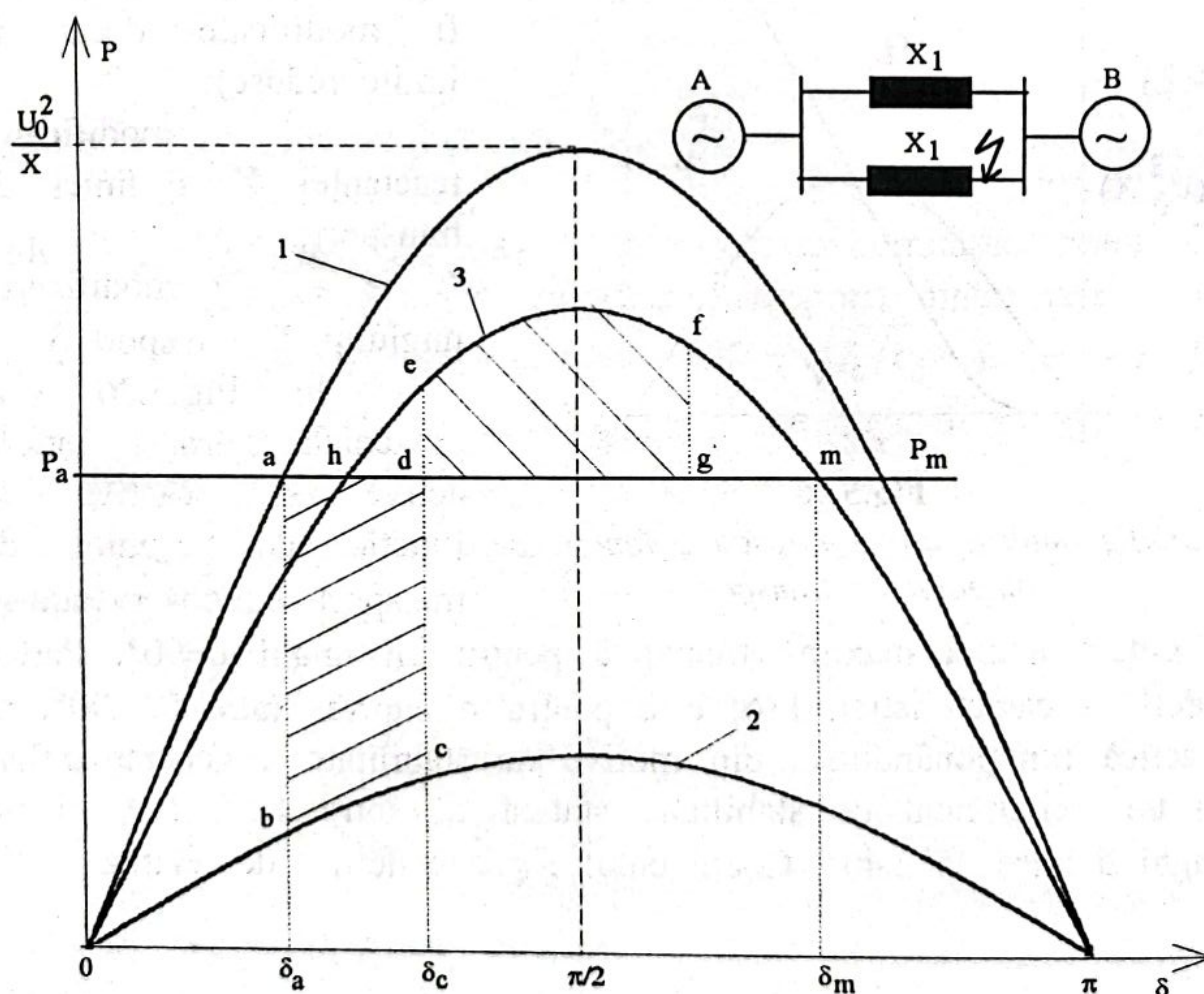
Punctele de funcționare de pe caracteristica  $P(\delta)$  care satisfac condiția:

$$\frac{\Delta P}{\Delta \delta} > 0, \quad (5.14)$$

raport denumit criteriul stabilității statice, sunt puncte stabile de funcționare.

### 5.4.3. Creșterea rezervei de stabilitate dinamică și a tranzitului de putere

Considerăm un generator care debitează pe un sistem de bare de putere infinită prin intermediul a două linii paralele caracterizate prin reactanțele inductive  $X_1$ . În diagrama din Fig.5.27



**Fig.5.27**  
*Diagrama de stabilitate*



- sunt prezentate trei caracteristici de putere ale generatorului, astfel: 1 este caracteristica de regim normal, 2-caracteristica regimului de avarie corespunzătoare unui scurtcircuit pe una din linii, 3-caracteristica regimului de după avarie corespunzătoare deconectării liniei avariate, când generatorul rămâne cuplat pe bare printr-o singură linie. În acest caz reactanța, dintre generator și bare, care intervine în relația (5.10) crește și deci caracteristica 3 de după avarie este situată sub caracteristica normală 1.

Presupunem că în regim normal punctul de funcționare este situat în a, căruia îi corespunde puterea  $P_a = P_m$  ( $P_m$  puterea dezvoltată de motorul primar) și unghiul  $\delta_a$ . În momentul apariției scurtcircuitului, punctul de funcționare trebuie să se mute pe caracteristica de avarie 2. Deoarece unghiul nu se poate modifica instantaneu din cauza inerției rotorului, rezultă că punctul de funcționare trece în punctul b, care corespunde valorii inițiale a defazajului  $\delta_a$ . În această situație se constată că puterea debitată de generator în punctul b este mai mică decât puterea  $P_m$  primită de la motorul primar. Ca urmare, la arborele generatorului apare un exces de cuplu și rotorul se accelerează, mărindu-și energia cinetică. Unghiul  $\delta$  crește până în punctul c, în care are loc eliminarea defectului și trecerea pe caracteristica de după avarie, 3, în punctul e. În această situație, puterea activă debitată de generator este mai mare decât puterea mecanică și deci rotorul începe să frâneze. Totuși, valoarea unghiului nu începe să scadă, ci continuă să crească până în punctul f, datorită inerției rotorului. Energia cinetică acumulată de rotor în perioada de accelerare (de la b la c) este eliberată sub formă de putere activă debitată de generator în perioada de frânare (de la e la f). În continuare deoarece punctul de funcționare, situat în f nu este stabil, urmează deplasarea către punctul stabil h de pe caracteristica de după avarie, 3.

Regimul dinamic încheiat într-un punct stabil de funcționare este numit regim stabil din punct de vedere dinamic. Se observă că stabilitatea dinamică a sistemului este asigurată numai în cazul când punctul f rămâne în stânga punctului limită m. La cea mai mică depășire a punctului m, stabilitatea sistemului se pierde, deoarece

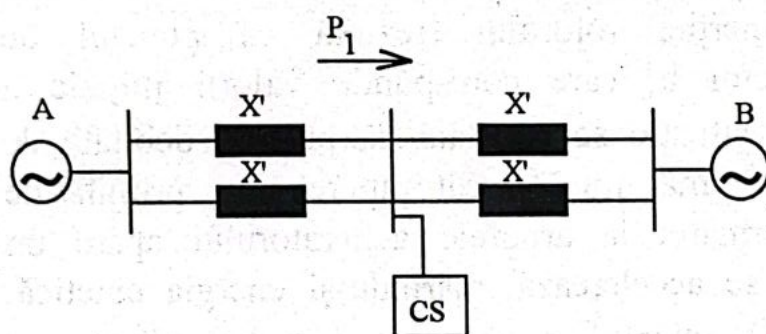


unghiul  $\delta$  continuă să crească și deci generatorul se desprinde, adică iese din sincronism.

Condiția ca sistemul să fie stabil din punct de vedere dinamic se poate exprima cu ajutorul ariilor formate de caracteristici și dreapta de putere constantă. Ariile abcd și defg sunt proporționale cu energia cinetică înmagazinată de rotor în perioada de accelerare, respectiv cu energia cinetică eliberată de rotor în perioada de frânare. Sistemul este stabil din punct de vedere dinamic dacă aria maximă de frânare  $A_2 = A_1$  este mai mare decât aria de accelerare  $A_1 = A_2$ :

$$A_1 > A_2. \quad (5.15)$$

Condiția (5.15) este folosită în calculul stabilității dinamice pentru a determina unghiul limită  $\delta_c$  la care se poate deconecta linia defectă



**Fig.5.28**

*Creșterea stabilității dinamice prin amplasarea unui dispozitiv de compensare statică*

fără a se pierde stabilitatea. Se

calculează apoi timpul în care unghiul crește de la  $\delta_a$  la  $\delta_c$  și se alege în mod corespunzător timpul de acționare al protecției care comandă deconectarea liniei defecte.

In cazul schemei anterioare amplasăm la mijlocul liniilor un dispozitiv de compesare statică (CS) rapidă a puterii reactive, Fig.5.28. Astfel se obține o îmbunătățire a stabilității dinamice cuantificată fie prin creșterea rezervei de stabilitate, Fig.5.29a, (sau mărirea timpului maxim admisibil de eliminare a defectului) fie prin creșterea puterii transmise prin linii, Fig.5.29b, [13].

Puterea maximă  $P_1$  transportabilă din punct de vedere a stabilității dinamice se obține din egalitatea ariilor de accelerare și frânare ( $A_1 = A_2$ ), Fig.5.27. In această situație, pentru o linie ce utilizează un compensator static rapid, se permite creșterea tranzitului de putere de la  $P_1$  la  $P'_1$ , Fig.5.29b.



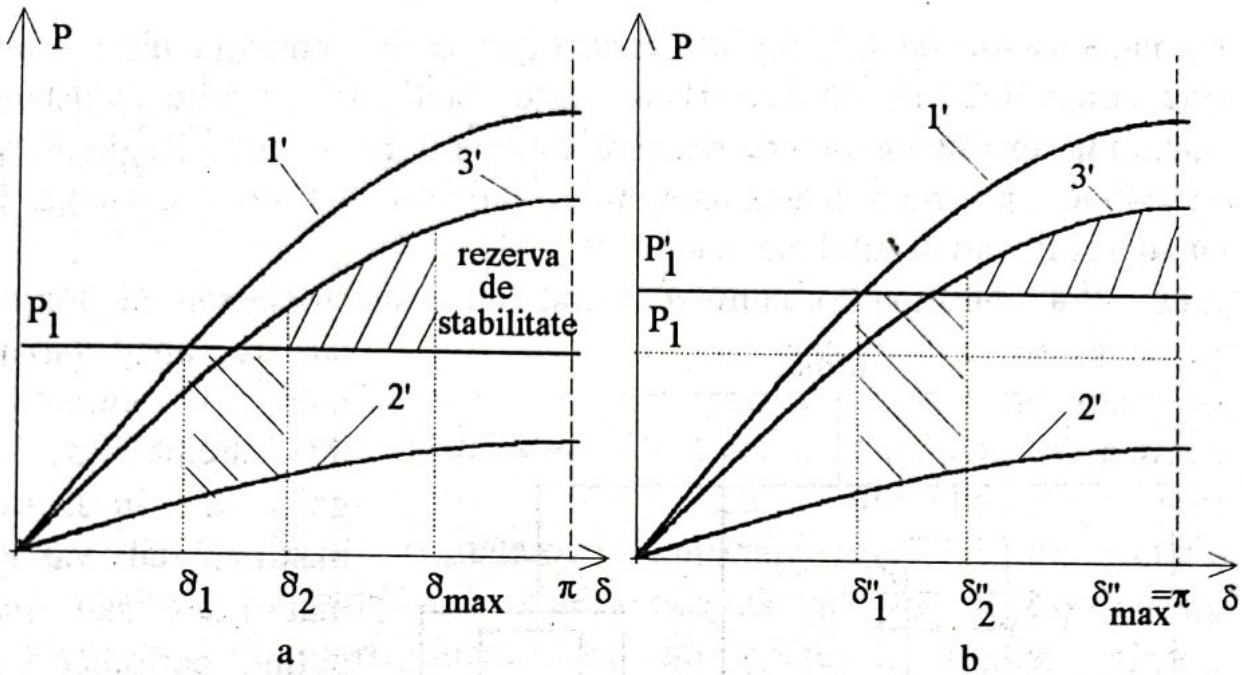


Fig.5.29

Creșterea rezervei de stabilitate (a) respectiv a puterii maxime (b)

#### 5.4.4. Dispozitive FACTS

*Compensator static șunt.*  
transversale cu tiristoare (Static

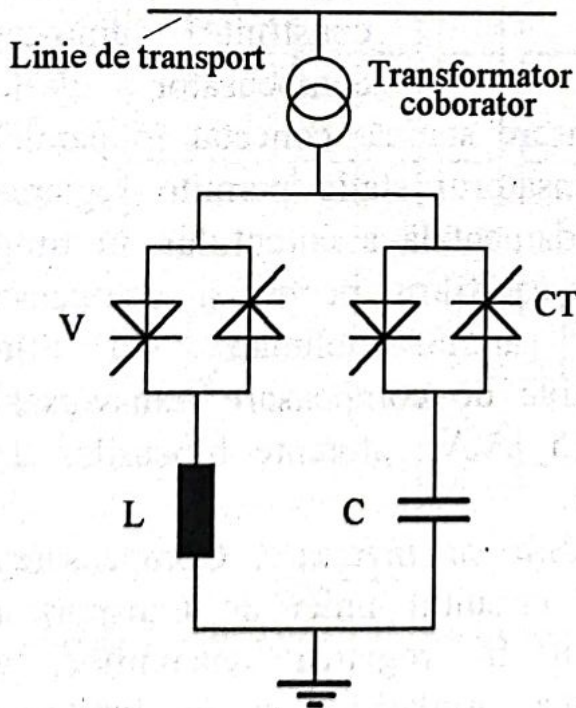


Fig.5.30

Compensator șunt cu tiristoare

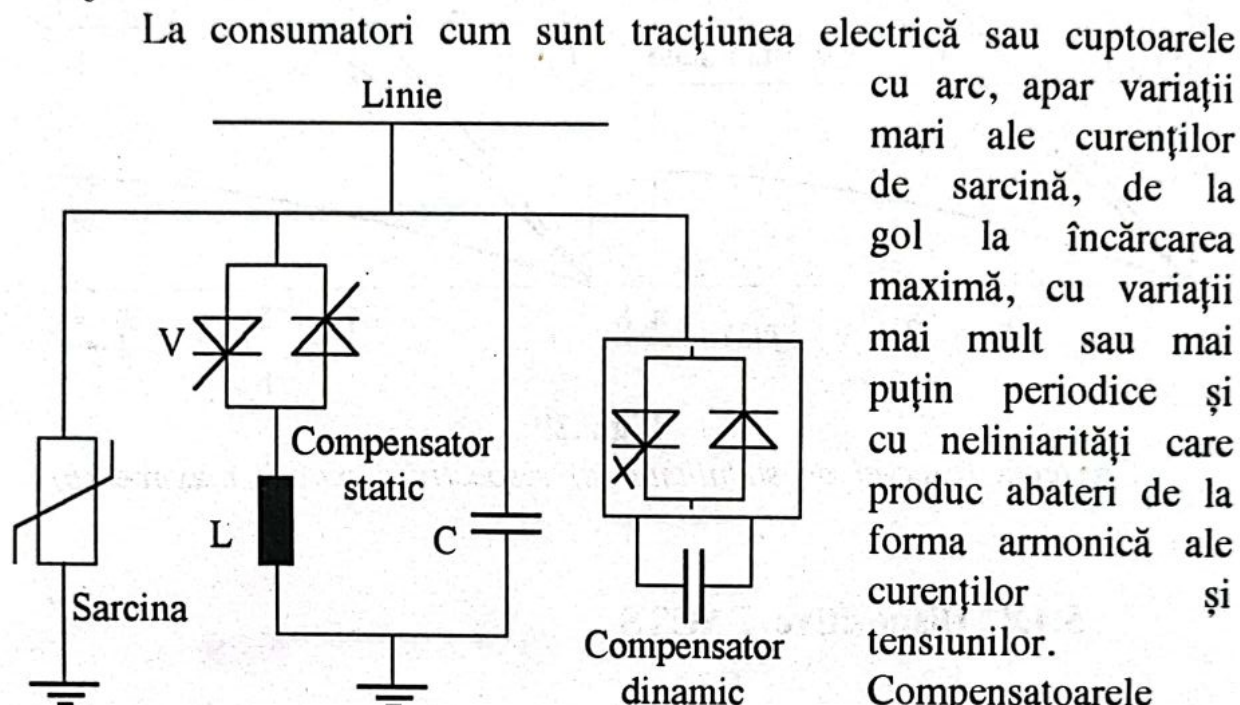
Compensatoarele statice (Static var compensator - SVC) răspund în principal cerințelor consumatorilor industriali cu privire la reglarea tensiunii în condițiile alimentării unor sarcini extrem de fluctuante, cum sunt laminoarele sau cuptoarele cu arc.

Principiul general de reglare este prezentat schematic în Fig.5.30 și constă în compensarea cât mai exactă a variațiilor de putere reactivă a sarcinii, prin puterea reactivă injectată la locul de conectare al compensatorului, [1], [8], [13].

O baterie de condensatoare C, scindate în mai multe trepte,



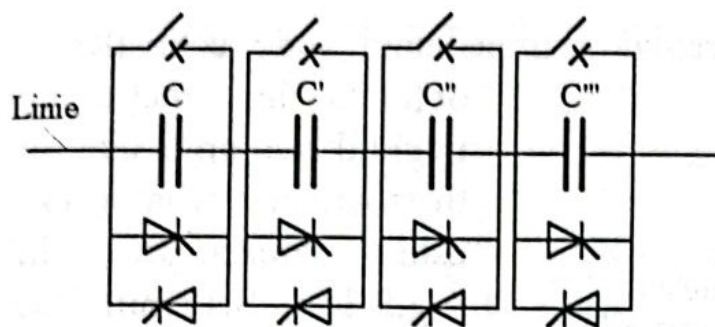
comutate static cu CT (există variante în care comutația unor trepte este dinamică iar a celorlalte este statică), permite ajustarea bilanțului mediu de putere reactivă în nodul considerat. Reglajul fin se obține prin modificarea curentului inductiv dat de inductanța  $L$ , cu ajutorul variatorului de curent  $V$ .



Compensatoarele hibride de putere, Fig.5.31, sunt construite dintr-un compensator clasic de putere reactivă, cu rol de compensare statică, conectat în paralel cu un compensator dinamic. Compensatorul static permite reglarea puterii reactive după componenta fundamentală a curentului, în timp ce compensatorul dinamic intervine ca filtru pentru a compensa armonicile introduse sub acțiunea sarcinii neliniare. Cu titlu experimental, [10], astfel de dispozitive de compensare transversală sunt construite pentru puteri de 45/15 kVAr, aferente blocurilor de compensare statică respectiv dinamică.

**Compensatoare serie controlabile cu tiristoare.** Compensarea longitudinală constă în înserierea pe circuitul liniei de transport a unei impedanțe controlabile cu rol în reglarea tensiunilor, a circulațiilor de putere, în amortizarea oscilațiilor și în limitarea curenților de scurtcircuit.



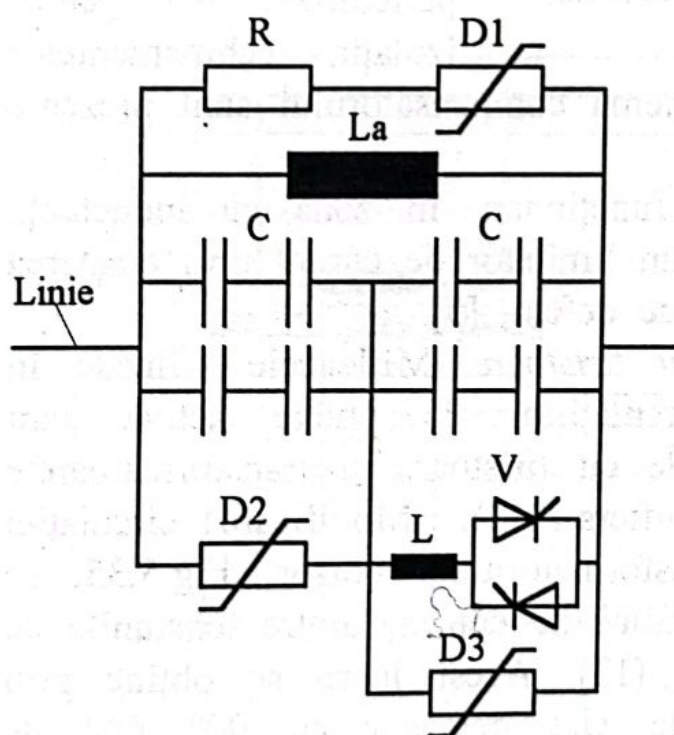


**Fig.5.32**

*Compensator serie cu tiristoare*

diverse combinații de comutatoare conectate respectiv deconectate, de a modifica în trepte cu o viteză ridicată valoarea de compensare a liniei de transport, lucru care nu poate fi obținut printr-o comutație mecanică.

Un al doilea tip de compensator serie, Fig.5.33, diferit de primul folosește proprietatea unui circuit rezonant paralel de a avea



**Fig.5.33**

*Compensator serie cu circuit rezonant*

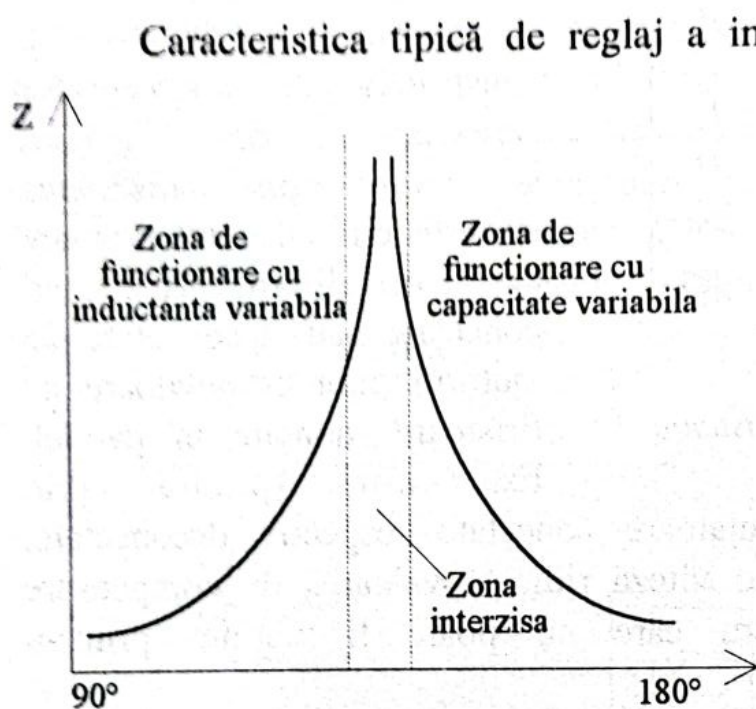
Un prim tip constructiv de compensator serie cu tiristoare, Fig.5.32, se obține prin înserierea unor baterii de condensatoare de valori diferite, care sunt conectate sau deconectate cu ajutorul unor comutatoare cu tiristoare montate în paralel. Este astfel posibil, prin

după frecvența de rezonanță o impedanță capacitivă a cărei valoare depinde de dezacordul de frecvență. Un asemenea dispozitiv, construit de firma Siemens, a fost montat de către compania americană Western Area Power Administration, pe o linie de 230 kV în anul 1993, [8].

În schemă dezacordul față de frecvența de rezonanță este reglat prin variația curentului prin inductanța L cu ajutorul variatorului realizat cu tiristoare V. Inductanța L se găsește montată în paralel cu

o treaptă a bancului de condensatoare C. Impedanța echivalentă a compensatorului variază în funcție de curentul reglat prin variator.





**Fig.5.34**

*Caracteristica de reglaj a impedanței compensatorului serie cu circuit rezonant*

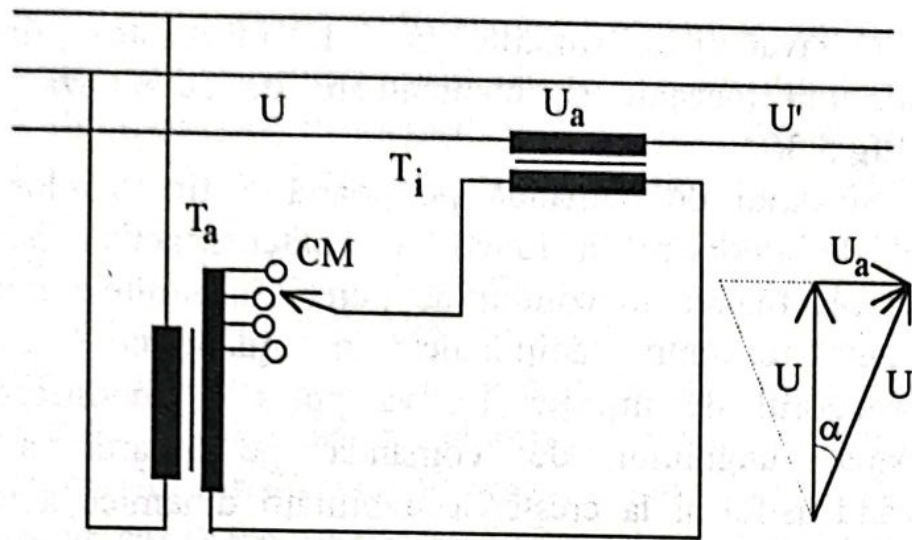
Caracteristica tipică de reglaj a impedanței serie echivalente, obținută în funcție de unghiul de amorsare al tiristoarelor variatorului, este prezentată în Fig.5.34. Sistemul de control-comandă al tiristoarelor trebuie să fie foarte sigur deoarece dacă unghiul de amorsare ajunge în zona interzisă, în care se poate obține rezonanța, atunci la bornele dispozitivului vor apare supratensiuni periculoase pentru izolația echipamentelor

electrice. Din acest motiv în schema compensatorului sunt prezente descărcătoare D1, D2 și D3.

Trebuie remarcat că la funcționare în zona cu inductanță variabilă, dispozitivul constituie un limitator de curent prin creșterea impedanței dintre sursă și locul de defect, [5].

**Transformator defazor cu tiristoare.** Mijloacele utilizate în prezent pentru modificarea circulațiilor de putere activă sunt compensatoarele serie controlabile cu tiristoare și transformatoarele defazoare sau rotitoare (phase shifters-PHS). Modificarea circulației de putere activă în cazul transformatorului defazor, Fig.5.35, se realizează prin modificarea unghiului de defazaj dintre tensiunile de la capetele liniei de transport, [13]. Acest lucru se obține prin injecția unei tensiuni adiționale  $U_a$ , defazată cu  $90^\circ$  față de tensiunea  $U$  a liniei, rezultând o tensiune  $U'$  defazată cu unghiul  $\alpha$  față de tensiunea  $U$ . Reglarea unghiului de defazaj  $\alpha$  se realizează prin modificarea modulului tensiunii adiționale cu ajutorul comutatorului cu ploturi CM, obținându-se astfel o modificare a circulației de putere în sensul dorit.

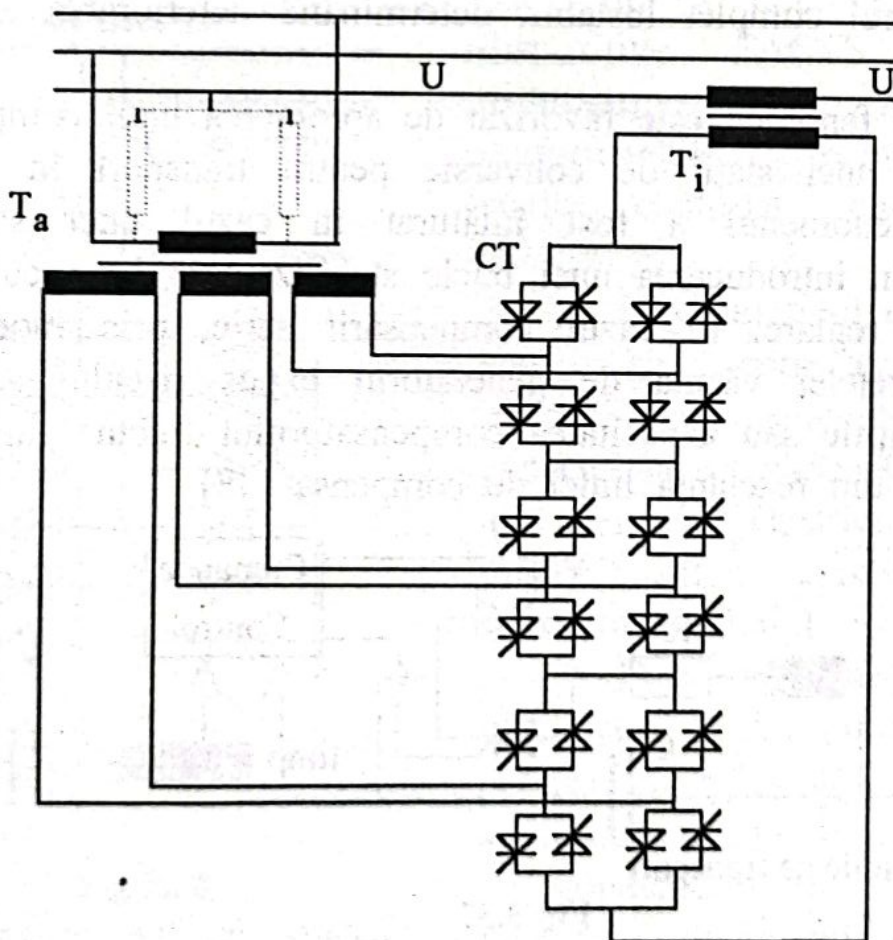




**Fig.5.35**

*Schema principală a transformatorului defazor*

Dezavantajele principale ale acestui dispozitiv datorate comutării mecanice a ploturilor sunt: viteză mică de răspuns, reglaj în trepte, număr redus de acționări.



**Fig.5.36**

*Transformator defazor cu tiristoare*



Dezavantajele amintite pot fi eliminate prin schimbarea comutatorului mecanic cu comutatoare statice realizate cu tiristoare (CT), Fig.5.36.

Sistemul de comandă pe poartă a tiristoarelor va modifica unghiul de amorsare în funcție de puterea activă pe linie făcând posibilă menținerea tranzitului de putere în limitele dorite. Valoarea modulului tensiunii adiționale în quadratură  $U_a$ , dată de transformatorul de injecție  $T_i$ , va putea fi modificată rapid prin schimbarea unghiului de comandă pe poartă a tiristoarelor, conducând astfel și la creșterea stabilității dinamice a rețelei.

*Amortizor pentru oscilații subsincrone.* Oscilațiile subsincrone se traduc printr-un fenomen de cuplaj electromagnetic între generatoare și rețeaua electrică, fenomen care poate provoca ruperea arborelui generatorului. În anumite condiții poate apărea, o oscilație de joasă frecvență a puterii electrice ceea ce duce la o oscilație de torsiune cu o frecvență ce coincide cu frecvența proprie mecanică a arborelui generatorului. Anumite configurații ale rețelei electrice pot face fenomenul complet instabil, determinând deteriorarea arborelui generatorului.

Acest fenomen este favorizat de apropierea unui compensator serie sau a unei stații de conversie pentru transport în c.c. de generator. Fenomenul a fost înlăturat în cazul unei stații de conversie prin introducerea unei bucle stabilizatoare în circuitele de comandă și reglare. În cazul compensării serie, prin modificarea impedanței rețelei văzută de generatorul expus riscului se poate atenua oscilațiile sau capacitatea compensatorului trebuie limitată la maxim 30% din reactanța liniei de compensat, [8].

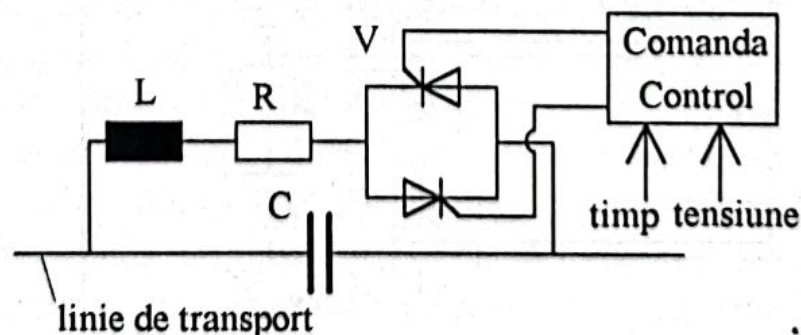


Fig.5.37

*Amortizor de oscilații subsincrone*

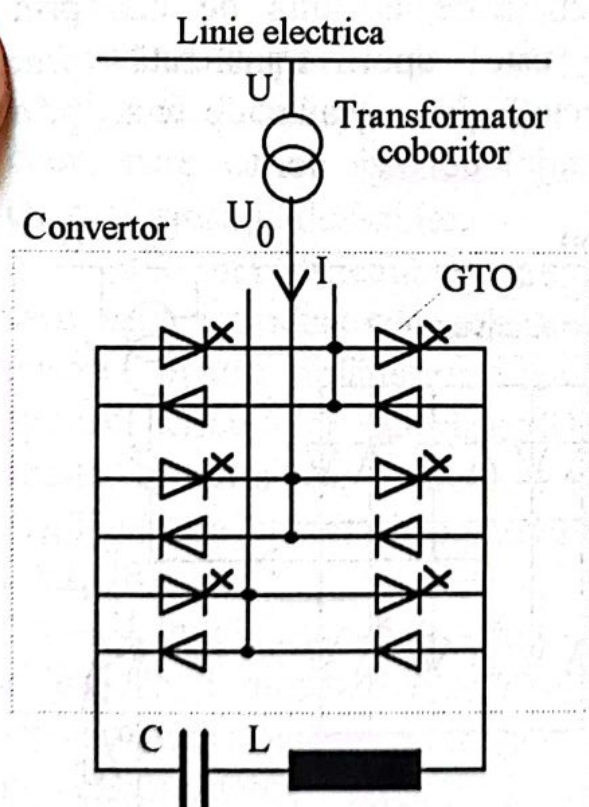


Amortizorul oscilațiilor subsincrone (denumit NGH-SSR Damper după numele inventatorului său Narain G. Hingorami, [4]), Fig.5.37, constă dintr-un circuit realizat prin conectarea în serie a unui variator de c.a.  $V$ , o impedanță  $L$  de valoare mică și un rezistor  $R$ , circuit conectat în paralel cu compensatorul serie  $C$ . Fenomenul oscilațiilor de joasă frecvență influențează (mărește) durata semialternanțelor tensiunii din rețeaua afectată. Absorbând energie cu ajutorul unei rezistențe în timpul semialternanțelor cu durată mai mare este posibil de a amortiza fenomenul. Astfel valvele cu tiristoare ale variatorului  $V$  vor fi comandate după  $180^\circ$  sau după 10 ms, în cazul frecvenței de 50 Hz, de la fiecare trecere prin zero a tensiunii. Dacă unda de tensiune conține și alte frecvențe, atunci fiecare semiperioadă va fi mai mare de 10 ms. În acest caz, prin valvele amorțate va circula un curent, care va determina un consum de energie pe rezistența  $R$  și astfel se obține amortizarea oscilațiilor.

*Compensator șunt cu comutație forțată.*

Acesta face

parte din a doua generație de dispozitive FACTS (denumite avansate), îmbunătățind performanțele compensatorului static controlat cu tiristoare (SVC).



**Fig.5.38**

*Compensator șunt cu comutație forțată*

În cazul unui compensator șunt cu comutație forțată, Fig.5.38, un convertor c.a.-c.c. conectat la un element de stocare a energiei electrice, schimbă putere reactivă cu rețeaua într-un sens sau în altul.

Dacă tensiunea  $U_0'$  este mai mare ca  $U$ , curentul  $I$  este defazat cu  $\pi/2$  înaintea tensiunii și compensatorul se comportă ca un condensator ce furnizează o putere reactivă capacitivă. Dacă în schimb tensiunea  $U_0$  este mai



mică decât  $U$ , curentul este defazat în urma tensiunii și compensatorul se comportă ca o inductanță absorbind o putere reactivă de la linia de transport.

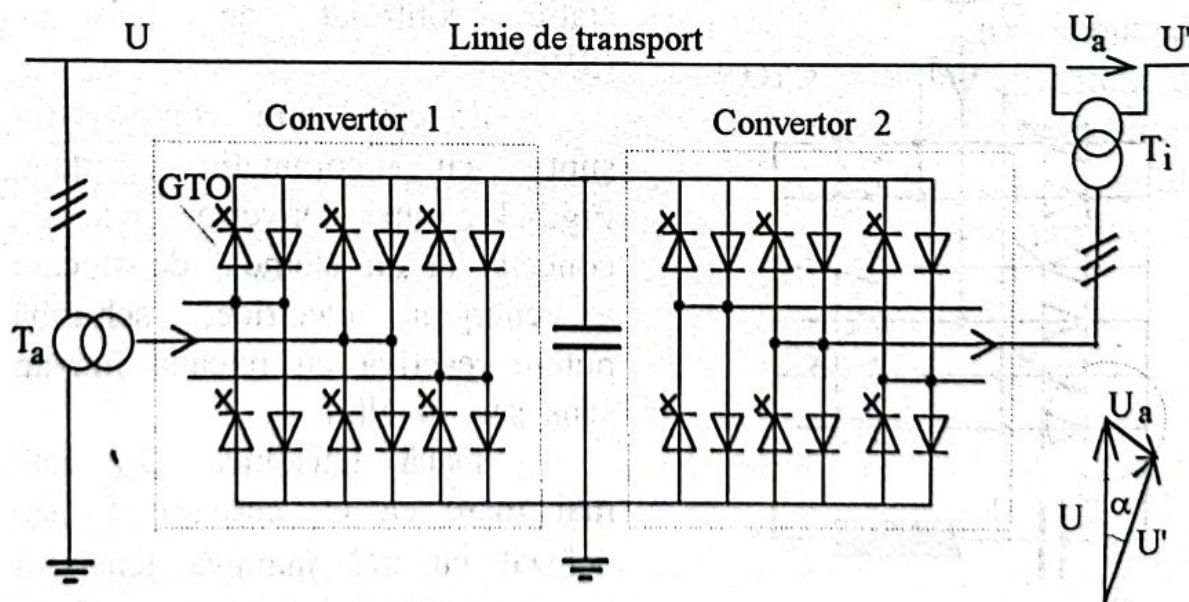
Puterea reactivă furnizată de un compensator șunt clasic depinde de pătratul tensiunii, astfel că dispozitivul devine ineficace în cazul scăderilor mari de tensiune, tocmai când este mai mare nevoie de el.

Puterea reactivă furnizată de compensatorul cu comutație forțată depinde de produsul dintre tensiune și curent, astfel că în cazul scăderii tensiunii puterea reactivă este menținută la valoarea dorită prin creșterea valorii curentului furnizat, curent care poate fi modificat independent de tensiune.

Pentru realizarea comutației forțate convertorul este realizat cu ajutorul tiristoarelor cu blocare pe poartă (GTO).

*Regulator universal de putere.* În Fig.5.39 este prezentată schema principală a unui regulator universal de putere obținut prin asocierea pe partea de c.c. a două convertoare cu comutație forțată.

Regulatorul preia o putere activă de la linia de c.a. prin transformatorul auxiliar  $T_a$ , care este apoi transferată prin convertorul 1, respectiv 2 și reinjectată în rețeaua de c.a. prin transformatorul de injecție  $T_i$  cu defazajul de fază dorit.



**Fig.5.39**

*Regulator universal de putere*



Convertorul 1 este capabil în același timp de a acționa și ca un compensator șunt, absorbind sau injectând puterea reactivă dorită. Convertorul 2 poate funcționa de o manieră asemănătoare unui compensator serie injectând o putere reactivă în relația de fază dorită cu rețeaua din amonte.

Sistemul prezentat poate deci acționa ca un regulator triplu: compensator șunt, compensator serie și defazor.

#### **5.4.5. Dificultăți legate de introducerea dispozitivelor FACTS**

O primă problemă în cazul unei rețele dotate cu dispozitive FACTS este aceea de a coordona în timp real funcționarea acestora. Astfel, un dispozitiv FACTS poate aduce individual o ameliorare locală a comportamentului rețelei, evitând spre exemplu suprasarcina pe o linie dată. Totodată această ameliorare locală poate crea probleme pe alte linii vecine din rețeaua considerată. Deci va fi necesar ca dispozitivele FACTS să fie dotate cu un maximum de inteligență locală, iar acțiunea acestora să fie coordonată în timp, coordonare ce va presupune un sistem de telecomunicații sigur și cu performanțe deosebite.

O altă dificultate care apare este cea legată de armonicile care sunt introduse de echipamentele ce fac apel la electronica de putere. Pentru înlăturarea lor există soluția filtrării, realizată cu ajutorul circuitelor acordate RLC. Trebuie ținut cont de faptul că aceste circuite de filtrare reprezintă o parte care nu poate fi neglijată din costul dispozitivului, ajungând până la 10% din costul total, [8].

Un alt aspect deosebit de important și puțin studiat este cel al influenței dispozitivelor FACTS asupra sistemului de protecție al rețelei. Funcționarea protecției de distanță, a cărui principiu constă în deconectarea rețelei la apariția unei abateri anormale a impedanței acesteia în cazul unui defect, va fi perturbată în cazul prezenței unui dispozitiv FACTS, deoarece acesta modifică într-o măsură foarte mare impedanța rețelei. Totodată însăși protecția internă a acestor dispozitive pune probleme deosebite.



## Bibliografie

1. Baraboi A., Adam M., Intrerupătoare de putere cu comutație în hexafluorură de sulf, *Energetica*, Nr. 5-B, 1992
2. Gălățeanu S. B., Stoichescu D. A., Constantin P., *Electronică de putere*. Editura Militară, București, 1991
3. Girard M., *Electronique industrielle*. McGraw-Hill, Paris, 1987
4. Hingorani N. G., Flexible ac transmission, *IEEE Spectrum*, April 1993, p 40-45
5. Karaday G. G., Concept of combined short circuit limiter and series compensator, *IEEE Trans. on Power Delivery*, 6, 3, 1031, 1991
6. Kuwahara N., Yamauchi T., Yoshioka Y., Kurosawa Y., Hirasawa K., Yanabu S., Kaneko E., "Recent developments in circuit breakers" *Switching phenomena in high-voltage circuit breakers*. Edited by Nakarishi K., New York, 1991
7. Lander C. W., *Electronique de puissance*. McGraw-Hill, Paris, 1989
8. Le Du A., Pour un réseau électrique plus performant: le projet FACTS, *RGE*, N° 6, 1992
9. Lokuta F. P., Le MCT va se substituer à l'IGBT, *Electronique*, N° 28, 1993
10. Marshall D. A., Van Wyk J. D., An evaluation of the real-time compensation of fictitious power in electric energy net-works, *IEEE Trans. on Power Delivery*, 6, 4, 1774, 1991
11. Matlac I., *Convertoare electromagnetice*. Editura Facla, Timișoara, 1987
12. Mihăileanu C., Scarlat C., Neagu V., FACTS devices use to direct active power flows in electric networks, *Very High Voltage Networks Symposium*, Sibiu, România, 1995, vol.II, p. 114-118
13. Mihăileanu C., Neagu V., Scarlat C., SVC utilisation to improve transient stability of certain RPS zones,



- Very High Voltage Networks Symposium, Sibiu, România, 1995, vol.II, p. 124-129
14. Mihăileanu C., Neagu V., Scarlat C., Utilizarea tehnicilor FACTS pentru îmbunătățirea performanțelor sistemelor electroenergetice, Energetica, Nr.4, Seria B, 1995, p. 181-184
15. Mihăilescu F., Manolescu G., Prospects of FACTS in Romania, Very High Voltage Networks Symposium, Sibiu, România, 1995, vol.II, p. 119-123
16. Poată A., Arie A. A., Crișan O., Eremia M., Buta A., Alexandrescu V., Transportul și distribuția energiei electrice. Editura Didactică și Pedagogică, București, 1981
17. Ryan H., Jones G., SF<sub>6</sub> Switchgear. Peter Peregrinus Ltd, London, United Kingdom, 1989



## Capitolul 6

### MENTENANȚA TEHNICII DE COMUTAȚIE

#### 6.1. Generalități

Instalațiile electrice ale unui sistem energetic cuprind o mare varietate de echipamente electrice, o pondere și însemnătate deosebită revenind echipamentelor electrice de comutație, îndeosebi întrerupătoarelor.

De funcționarea normală a acestor echipamente electrice depinde continuitatea alimentării cu energie electrică a consumatorilor. Astfel, siguranța în funcționare a întrerupătoarelor nu este dată numai de o fiabilitate potențială (de proiect), ci și de fiabilitatea operațională (funcțională) care depinde în mod direct de modul în care sunt exploatate și întreținute aceste echipamente.

În prezent, pentru a asigura o funcționare sigură și economică este necesar să se desfășoare o activitate atentă de exploatare și să se aplice un sistem preventiv planificat de întreținere și reparații a echipamentelor electrice.

Pe plan mondial, ultimii ani au adus în domeniul siguranței în funcționare a întrerupătoarelor utilizarea unor metode și sisteme de monitorizare și diagnosticare, care analizează starea tehnică și defecțiunile posibile ale acestora. Consecința firească a acestor sisteme fiind reducerea duratelor totale de indisponibilitate, respectiv creșterea capacității de funcționare a instalațiilor electrice.

Pentru tipurile constructive de întrerupătoare existente (cu ulei puțin, hexafluorură de sulf în tehnică pneumatică respectiv



autopneumatică, etc.) specialiștii recomandă dezvoltarea metodelor și sistemelor de monitorizare și diagnosticare în special pentru întrerupătoarele cu hexafluorură de sulf ( $\text{SF}_6$ ) în tehnică autopneumatică sau cu o singură presiune.

În studiul efectuat de ISPE<sup>1</sup> în legătură cu dezvoltarea Sistemului Energetic Național (SEN) în următorii ani, cu privire la echipamentul electric de comutație de înaltă tensiune, s-a ajuns la concluzia extinderii construcției echipamentelor, folosind ca mediu electroizolant și de stingere a arcului electric, hexafluorura de sulf ( $\text{SF}_6$ ). Astfel gama tensiunilor nominale va urca de la (72,5...170) kV în prezent, la 245 kV și respectiv 420 kV, în viitor. Datorită calităților bune ale acestor echipamente, cum ar fi: fiabilitatea ridicată, durate mici de arc, funcționarea silențioasă, gabaritul redus, costul redus de instalare și întreținere, numărul acestor echipamente montate în instalațiile energetice din țară va crește, [3], [26].

Pe plan mondial orientarea spre echipamentele de comutație cu  $\text{SF}_6$  s-a realizat cu mult timp în urmă (zeci de ani), în prezent o atenție deosebită fiind acordată metodelor și sistemelor de monitorizare și diagnosticare care, sunt utilizate de către constructor pentru îmbunătățirea performanțelor echipamentelor produse și de utilizator pentru analiza stării tehnice și a defecțiunilor posibile ale echipamentului în vederea diminuării costului mentenanței și a ameliorării fiabilității.

În costul energiei electrice, care reține puternic atenția consumatorilor, costurile mentenanței sunt componente importante din costul total al energiei furnizate, această situație motivând necesitatea de a reduce aceste costuri.

În stațiile de transformare care vor conține sisteme de comandă pe baza calculatorului, dispozitivele de monitorizare și diagnosticare ale întrerupătoarelor vor putea fi integrate în aceste sisteme. Acest lucru va fi posibil mai ales în viitor, când dispozitivele de diagnosticare vor completa din ce în ce mai mult sistemele de protecție ale instalațiilor electrice.

<sup>1</sup>ISPE - Institutul de studii și proiectări energetice, București



Aceste motivații au dus la a considera că și în țara noastră va trebui acordată, în viitor, o atenție deosebită metodelor și sistemelor de monitorizare și diagnosticare ale echipamentelor de comutație și în mod special întrerupătoarelor și celulelor capsulate cu SF<sub>6</sub>.

## 6.2. Oportunitatea monitorizării și diagnosticării tehnice

### 6.2.1. Definirea noțiunilor de monitorizare și diagnosticare

Pentru a evita, pe cât posibil, eventualele confuzii legate de noțiunile de monitorizare și diagnosticare, precum și alte noțiuni din aceeași sferă a problemei abordate, precizăm câteva definiții, [6], [23], [29], [30], [31]:

*Fiabilitatea*: aptitudinea unui element, dispozitiv (echipament) de a-și îndeplini funcția specificată în condiții date, de-a lungul unei perioade de referință precizate.

*Mentenabilitate*: aptitudinea unui element, echipament, în condiții date de utilizare, de a fi menținut sau restabilit în starea de a-și îndeplini funcția specificată atunci când mentenanța se efectuează în condiții date cu procedee și remedii prescrise.

*Mentenanța*: ansamblul de acțiuni tehnice și administrative, incluzând și acțiunile de supraveghere în vederea obținerii de informații cu privire la echipament, ce permit menținerea sau restabilirea unei stări specificate. Distingem următoarele tipuri de mentenanță: corectivă sau curativă, respectiv preventivă.

*Mentenanța corectivă sau curativă*: este mentenanța care se aplică după apariția defectului.

*Mentenanța preventivă*: este mentenanța care vizează diminuarea posibilităților de defectare a unui sistem. Ea poate fi:

- *mentenanță sistematică (planificată)*: este mentenanța ce se efectuează după criterii predeterminate;

- *mentenanță condițională sau predictivă (oportună)*: este mentenanța preventivă care implică efectuarea unui diagnostic



înainte de a înlocui elementul, echipamentul inspectat (controlat, supravegheat).

*Diagnosticul:* reprezintă, determinarea cauzei (cauzelor) unei anomalii (defectări) în funcționarea unui sistem (echipament), plecând de la simptome și/sau observații. Termenul "*diagnostic*" vine din grecește. Etimologic el este compus din "*dia*" care semnifică "*prin*" și "*gnosis*" care semnifică "*cunoaștere*". Această etimologie arată importanța deținerii unor date cât mai ample legate de sistem, în scopul stabilirii diagnosticului. Diagnosticul caută originea defectării unui sistem.

*Defectarea:* încetarea aptitudinii unui sistem (element, subansamblu) de a asigura (realiza) o funcție impusă.

*Defectul:* orice cauză care determină incapacitatea unui sistem (echipament, element, etc.) de a realiza o funcție impusă. Un defect va necesita acțiuni de mentenanță.

*Tehnici de diagnoză:* cuprind toate modurile de inspecție, măsurare și/sau monitorizare fără acțiuni de demontare, chiar cu echipamentul în funcțiune, în vederea indicării stării tehnice a acestuia, respectiv pentru a localiza, identifica și evalua importanța unui defect după ce el a apărut, sau a unui defect în curs de apariție, și pentru a determina în final programul optim de revizie.

*Revizia:* constă în activitatea care are ca obiectiv repararea sau înlocuirea componentelor defecte, găsite în urma inspecțiilor, testelor sau sunt cerute de fabricant, în vederea reparării componentului defect sau/și a echipamentului electric.

*Inspecția:* reprezintă examinarea periodică a principalelor caracteristici ale echipamentului, fără nici o demontare.

Notă - această examinare este efectuată de către personalul de exploatare și are drept scop imediat, în cazul echipamentelor de comutație, verificarea: presiunii, nivelului uleiului, etanșeităților, poziția releelor, poluarea izolatoarelor, etc.

*Teste de diagnoză:* cuprind testele comparative ale parametrilor caracteristici ai echipamentelor de comutație, în vederea verificării performanțelor funcționale prin măsurarea unuia sau a mai multora dintre acești parametri (măsurători efectuate cu traductoare și dispozitive de prelucrare a datelor, conectate temporar la



echipament), și compararea valorilor măsurate cu valorile specificate de fabricant sau cu valorile determinate la testele anterioare;

Notă - testele sunt executate cu echipamentul scos din funcțiune.

*Monitorizarea (supravegherea):* constă în observarea automată a parametrilor caracteristici ai echipamentului pentru a verifica performanțele funcționale ale acestuia prin măsurarea unuia sau a mai multora dintre acești parametri (măsurători efectuate cu traductoare și dispozitive de prelucrare a datelor, conectate permanent la echipament), și compararea automată a valorilor măsurate cu valorile specificate de fabricant sau cu valorile determinate anterior;

Notă - monitorizarea sau supravegherea poate fi efectuată cu echipamentul scos, sau nu, din funcțiune.

*Monitorizarea continuă:* este monitorizarea în care informațiile de la echipament sunt transmise în mod continuu.

*Monitorizarea periodică (temporară):* este monitorizarea în care informațiile de la echipament sunt transmise periodic.

### 6.2.2. Aspecte tehnice și economice privind monitorizarea și diagnosticarea echipamentelor de comutație

La ora actuală metodele de control și încercările realizate de constructor la fabricarea echipamentului și cele realizate de utilizator la punerea în funcțiune sunt bine definite și aplicate în mod curent este opinia Grupului de Lucru 23.03 al CIGRE<sup>2</sup>, [28]. Dar odată ce echipamentul de comutație (întrerupătorul) a fost montat în exploatare se pune problema de a ști cum să realizăm o întreținere cu un preț de cost cât mai scăzut, cu un risc minim de defectare și cu o durată de întrerupere redusă. Răspunsul la o asemenea problemă apelează la monitorizarea și diagnosticarea stării tehnice a echipamentului, cu ajutorul sistemelor de monitorizare și diagnosticare.

<sup>2</sup>Conférence Internationale des Grands Réseaux Electriques à Haute Tension



Opțiunile în legătură cu metodele de supraveghere și diagnosticare a stării întrerupătoarelor sunt diferite în rândul specialiștilor, atât pro cât și contra. Aceste metode pot prezenta interes în măsura în care ele permit evitare incidentelor în exploatare, ameliorarea fiabilității, creșterea capacității de funcționare a instalațiilor și de asemenea prezintă un interes economic.

În exploatarea unei rețele electrice, unul din lucrurile care deranjează introducând perturbații, este scoaterea din funcțiune a unui component al rețelei care duce la întreruperi neprogramate în alimentarea cu energie electrică a consumatorilor. Aceste perturbații pot fi limitate dacă scoaterea din funcțiune a componentului defectabil poate fi făcută înainte de manifestarea defectului, de unde interesul de a cunoaște modul de apariție al unui defect.

O rezervă în ce privește utilizarea sistemelor de supraveghere și diagnosticare este aceea legată de posibilitatea reducerii fiabilității instalațiilor electrice, recunoscut fiind că echipamentele de comutație cu SF<sub>6</sub> au o fiabilitate bună, iar fiabilitatea unui sistem de supraveghere și diagnosticare poate fi mai scăzută. Acest lucru este înlăturat dacă este prevăzut ca personalul de exploatare să ia decizia scoaterii din funcțiune a întrerupătorului utilizând informațiile multiple provenite de la sistemul de supraveghere. De altfel la proiectare unui asemenea sistem se are în vedere ca acesta să nu provoace niciodată ieșirea, fără motiv, din funcțiune a întrerupătorului.

Un sistem de monitorizare și diagnosticare duce la creșterea prețului echipamentului de comutație cu atât mai mult, cu cât se dorește o supraveghere și o analiză mai complexă a funcționării acestuia. Este necesar deci, să se facă o comparație între creșterea de preț a întrerupătorului echipat cu un sistem de monitorizare și diagnosticare și economia pe care o poate aduce un asemenea sistem în cursul duratei de viață a întrerupătorului. Obiectivul utilizatorilor, din punct de vedere economic este de a reduce la minimum posibil costul duratei de viață (CDV) al întrerupătorului, cost de obicei reprezentat prin ecuația:

$$CDV = CI + CM + CN + CE, \quad (6.1)$$



unde: CI este costul de instalare în care este cuprins și costul sistemului de supraveghere și diagnosticare, CM-costul intervalelor de mentenanță programate (preventivă planificată), CN-costul mentenanței neprogramate (corective), CE-costul datorat exploatării în serviciu.

De obicei mentenanța programată este efectuată după anumite criterii cum ar fi: frecvența comutațiilor la scurtcircuit, numărul de comutații la scurtcircuit și durata serviciului. Bazat pe aceste criterii este realizat un plan de inspecții și revizii a întrerupătorului care cuprinde, [32]: inspecția vizuală (lunară și anuală); inspecția extinsă (după 1000 de manevre sau după 3 ani); revizia (după 2000 manevre sau 6 ani în serviciu). În cadrul acestor activități, în cele mai multe cazuri se constată că starea tehnică a echipamentului este în general bună și că operațiile de repunere în funcțiune sunt în general limitate. În schimb, sistemul de monitorizare și diagnosticare ne va da o informație mai precisă asupra gradului de uzură a echipamentului, ceea ce va permite reducerea frecvenței intervențiilor și deci diminuarea costului mentenanței programate.

Sistemul de monitorizare și diagnosticare poate, de asemenea, influența costul mentenanței corective necesară după apariția unui defect. Acest lucru poate fi obținut prin diferite căi și anume:

- dacă sistemul semnalizează o anomalie care nu prezintă un pericol imediat, se pot lua măsurile necesare pentru scoaterea de sub tensiune a elementului defectabil asigurând continuitatea în alimentarea cu energie a consumatorilor, iar intervenția asupra elementului se va face când costul este minim;

- dacă un defect survine în timpul serviciului, sistemul de monitorizare și diagnosticare permite modificarea condițiilor de exploatare pentru a limita consecințele defectului și pentru a reduce timpul necesar localizării defectului.

De asemenea, sistemul de monitorizare și diagnosticare poate avea o influență directă și asupra costului de exploatare în serviciu. Spre exemplu, prin trecerea de la supravegherea instalațiilor cu



personal, la modul de supraveghere fără personal, caz în care rezultă economii datorate cheltuielilor cu personalul de exploatare.

În [5], se arată că extinderea duratei intervalelor de mentenanță periodice în funcție de starea tehnică reală a echipamentelor conduce la o utilizare mai bună a personalului de exploatare și a echipamentelor. Totodată, în [14], este subliniat că, costul duratei de viață poate ajunge la 1,5 ori prețul de vânzare al echipamentului de comutație pentru o durată de serviciu de 20 ani, iar în cazul utilizării sistemelor de monitorizare și diagnosticare acest cost poate ajunge la maximum 0,5 ori prețul de vânzare al echipamentului.

Un alt avantaj al utilizării sistemelor de monitorizare și diagnosticare, greu de cuantificat, dar care prezintă un interes deosebit este dat de posibilitatea realizării unei baze de date statistice referitoare la diverse defecte și anomalii ale echipamentelor de comutație. Această bază de date va putea fi folosită de constructor pentru îmbunătățirea fiabilității produselor, prin creșterea calității componentelor defectabile și de către beneficiari, pentru achiziționarea de echipament cât mai fiabil.

Se poate concluziona, că următoarele obiective sunt mai importante de urmărit în cazul monitorizării și diagnosticării tehnice:

- monitorizarea caracteristicilor funcționale de bază ale echipamentului de comutație (întrerupătorului);
- detectarea promptă a schimbărilor caracteristicilor funcționale în vederea prevenirii defectelor întrerupătorului;
- localizarea defectelor în cazul instalațiilor capsulate;
- prevenirea unei mentenanțe inutile, în vederea înlăturării cauzelor de defect, provocate de o intervenție defectuoasă;
- reducerea costurilor duratei de viață (CDV);
- mărirea duratei de viață a întrerupătoarelor;
- realizarea unei baze de date statistice, referitoare la defectele și anomaliile întrerupătoarelor.

Trebuie arătat că utilizarea sistemelor de monitorizare și diagnosticare nu va elimina în totalitate defectele echipamentelor supravegheate, existând întotdeauna o posibilitate mică de apariție a unui defect cu evoluție rapidă, sau a unui defect deosebit pe care



sistemul nu-l poate detecta deoarece anomalia care la precedat nu a fost prevăzută la proiectarea sistemului.

### 6.3. Defecte ale echipamentelor de comutație cu hexafluorură de sulf

*Statistica defectelor.* Pentru stabilirea principalilor parametri necesari în monitorizarea și diagnosticarea tehnică trebuie mai întâi stabilite componentele responsabile de anomaliile și defecțiunile întrerupătoarelor. Din datele statistice culese și prelucrate de către Grupul de Lucru 13.06 al CIGRE, a rezultat următoarea situație prezentată în tabelele următoare (au fost considerate numai întrerupătoarele cu SF<sub>6</sub>, în tehnică autopneumatică, cu tensiunea nominală de 72,5 kV și mai mult), [11], [15], [16], [17].

După *consecințele defectării*, pentru întrerupătoare, GL 13.06 al CIGRE s-a oprit doar la două categorii de defecte și anume: majore (DM) și minore (Dm).

Defectările majore corespund dispariției unei funcții principale a întrerupătorului, necesitând scoaterea din funcțiune a acestuia, în timp ce defectările minore grupează toate celelalte defectări care pot fi eliminate mai târziu (cu ocazia lucrărilor planificate sau programate accidental).

Astfel se propune ca defectarea întrerupătorului să fie considerată ca majoră dacă întrerupătorul: nu anclanșează sau nu declanșează la comandă; nu întrerupe curentul sau se defectează la deschidere; nu stabilește curentul sau se defectează la închidere; anclanșează sau declanșează fără comandă; se defectează ca urmare a unei amorsări la pământ, între faze sau între bornele aceleiași faze deschise; nu suportă curentul.

Ca defectări minore sunt considerate următoarele: întrerupătorul nu va anclanșa sau nu va declanșa la comandă; întrerupătorul nu va stabili sau nu va întrerupe curentul; pierderi de ulei și/sau hexafluorură; modificarea caracteristicilor funcționale.



Tab.6.1

Componente responsabile de defect	DM [%]	Dm [%]
<i>Componente la tensiunea de serviciu</i>	20,4	25,7
- camera de stingere (rupere)	12,5	8,5
- întrerupător auxiliar, rezistor	0,9	0,6
- izolația principală față de pământ	7,0	16,6
<i>Elemente de control și auxiliare</i>	33,3	22,8
- circuitele de închidere, deschidere	11,6	1,2
- comutatoare auxiliare	7,3	2,1
- contactoare, relee, termostate, etc.	10,4	6,5
- dispozitivul de control a densității SF <sub>6</sub>	4,0	13,0
<i>Mecanismul de acționare</i>	42,1	46,1
- compresoare, pompe, etc.	15,2	20,1
- acumulatorul de energie	4,0	7,0
- elemente de control (neelectrice)	10,4	12,7
- dispozitive de comandă, amortizoare	7,9	4,8
- mecanism de transmitere	4,6	1,5
<i>Alte componente</i>	4,2	5,3

Notă: DM - defecte majore; Dm - defecte minore.

Tab.6.2

Caracterul defectelor minore	Dm [%]
Pierderi de ulei sau gaz la mecanismul de acționare	32
Pierderi de SF <sub>6</sub> datorate coroziunii	14
Pierderi de SF <sub>6</sub> datorate altor cauze	22
Modificarea caracteristicilor funcționale	17
Altele defecte	15



Tab.6.3

Ansamblurile responsabile Defecte majore	CTS [%]	CEC [%]	MA [%]	AC [%]	Total [%]
Nu închide la comandă	0,0	16,49	19,93	0,0	26,39
Nu deschide la comandă	0,62	4,97	4,34	0,0	9,93
Inchide fără comandă	0,0	0,31	0,62	0,0	0,93
Deschide fără comandă	1,25	2,17	3,42	0,31	7,15
Nu închide circuitul	0,62	0,62	0,93	0,0	2,17
Nu întrerupe curentul	2,49	0,0	0,31	0,31	3,11
Străpung. sau conturnarea izolației față de pământ	2,17	0,0	0,0	0,0	2,17
Străpung. sau conturnarea izolației între poli	0,62	0,0	0,0	0,0	0,62
Străpung. sau cont. izol. în lungul polului (int.)	3,11	0,0	0,31	0,0	3,42
Străpung. sau cont. izol. în lungul polului (ext.)	1,55	0,0	0,31	0,0	1,87
Blocarea în poziția închis sau deschis	4,66	7,45	15,5	0,31	27,95
Alte tipuri de defect	2,77	1,57	6,54	3,41	14,29
Total	19,9	33,6	42,2	4,3	100

Notă: CTS-componente la tensiunea de serviciu; CEC-circuitele electrice de control și auxiliare; MA-mecanismul de acționare; AC-alte componente.

Tab.6.4

Natura și locul de manifestare al defectelor	DM [%]	Dm [%]
Mecanică în mecanismul de acționare	40	40
Mecanică în alte părți ale întrerupătorului	11	11
Electrică în circuitul principal	12	1
Electrică în circuitele de control și aux.	28	11
Pierderi de SF <sub>6</sub> în sistemul de gaz	9	37



Tab.6.5

Defecte electrice de izolație (străpungeri, conturnări)	Total [%]	IC [%]	IN [%]
Defectarea izolației față de pământ	30,43	21,73	8,70
Defectarea izolației între poli	8,70	0,0	8,70
Defecte externe de izolație în lungul polului	43,48	4,35	39,13
Defecte interne de izolație în lungul polului	17,39	4,35	13,04
Total	100	30,43	69,57

Notă: IC - întrerupătoare capsulate în anvelopă metalică;  
IN - întrerupătoare necapsulate.

Rezultatele obținute trebuie analizate în concordanță cu funcțiile pe care trebuie să le îndeplinească întrerupătoarelor și anume: stabilește, menține și întrerupe curentul (camerele de stingere); izolația electrică; acționarea mecanică (mecanismul de acționare); funcții de control și auxiliare (circuiturile electrice de control și auxiliare); etanșeitățile sistemului cu gaz SF<sub>6</sub>. În paranteze au fost trecute subansamblurile constructive, în relație cu funcția pe care o îndeplinește. Funcțiile "izolația electrică" și "etanșeitățile sistemului cu gaz SF<sub>6</sub>" sunt date de mai multe subansambluri constructive.

*Camerele de stingere.* Deși camerele de stingere sunt responsabile de 12,5% din DM și de 8,5% din Dm, funcția principală "de a întrerupe" nu este considerată critică datorită numărului mic de defecte majore de tipul "nu închide circuitul" sau "nu întrerupe curentul" (Tab.6.1 și Tab.6.3). Altfel spus, riscul ca un întrerupător să nu întrerupă curentul este în mai mare măsură datorat mecanismului de acționare și circuitelor de control și auxiliare ("nu deschide la comandă"), decât riscul datorat camerelor de stingere ("nu întrerupe curentul").

În mod evident, dezvoltarea și testarea calității în domeniul stabilirii și întreruperii curenților a atins un nivel deosebit de înalt,



va fi deci necesară menținerea acestui nivel prin continuarea programelor de testare și verificare.

Majoritatea defectelor majore aflate sub responsabilitatea camerelor de stingere (unităților de întrerupere), sunt străpungeri sau conturnări electrice ce vor fi tratate în paragraful următor.

*Izolația electrică.* În Tab.6.5 este indicată rata defectelor de izolație pentru întrerupătoarele aflate în carcasă metalică sau nemetalică.

Defectele de străpungeri sau conturnare electrică, au o rată de 0,56 la 1000 ani-întrerupător. Rata defectelor de străpungeri electrice pentru întrerupătoarele în carcasă metalică este chiar mai mică de 0,49 la 1000 ani-întrerupător.

Cu toate că numărul de străpungeri electrice este relativ scăzut pentru întrerupătoarele în carcasă metalică, există un interes deosebit pentru tehnicile de diagnosticare în acest domeniu, întrucât o străpungeri electrică într-o instalație capsulată în hexafluorură este considerat ca un defect foarte serios, datorită consecințelor defectului asupra întregii instalații capsulate și a timpului mare de reparație.

Datorită acestui fapt, fabricanții și respectiv utilizatorii de echipament sunt foarte interesați de tehnicile de monitorizare și diagnosticare care privesc detectarea descărcărilor parțiale și respectiv localizarea defectului.

*Mecanismul de acționare.* Trei sferturi (75,4%) din defectele majore reliefate sunt datorate mecanismului de acționare și circuitelor electrice de control și auxiliare, (Tab.6.1). Cele mai importante moduri de defectare sunt: "nu deschide la comandă" (9,31%), "nu închide la comandă" (26,39%), și "blocaje" (22,98%), (Tab.6.3).

Mecanismul de acționare este responsabil de cel mai mare procent de defecte atât majore cât și minore. Cele mai implicate componente sunt compresoarele, pompele, motoarele și conductele aferente. Majoritatea defectelor minore sunt de tipul "pierderi de gaz sau ulei" (Tab.6.2).

Mecanismul de acționare este și va fi în continuare un important domeniu atât pentru perfecționarea controlului calității cât



și pentru dezvoltarea și aplicarea monitorizării și diagnosticării tehnice.

*Circuitele electrice de control și auxiliare.* Circuitele electrice de control și auxiliare sunt responsabile de o treime din defectele majore reliefate, rata defectelor majore la aceste circuite fiind de 2,4 la 1000 ani-întrerupător. Cele mai multe dintre ele aparțin categoriei "nu deschide la comandă" sau "nu închide la comandă".

Deoarece pe plan mondial au fost promovate întrerupătoare moderne cu SF<sub>6</sub> în tehnică autopneumatică, fără o îmbunătățire a fiabilității circuitelor de control și auxiliare este necesară o atenție deosebită în privința dezvoltării lor sub acest aspect.

Din punct de vedere al fiabilității este recomandat să fie simplificate circuitele electrice de control și auxiliare și să se reducă numărul de elemente în circuitele vitale pentru reducerea riscului de blocare a întrerupătorului.

*Etanșeitatea sistemului cu gaz SF<sub>6</sub>.* Se observă că 9% din defectele majore, respectiv 37% din cele minore sunt sub incidența etanșeității sistemului cu gaz SF<sub>6</sub> (Tab.6.4). Se poate deduce că rata defectelor minore este destul de ridicată, iar procentul defectelor majore deși pare scăzut pentru un întrerupător dotat cu dispozitiv de supraveghere a densității gazului, este inacceptabilă o asemenea situație. Este deci necesară dezvoltarea atât a sistemelor de etanșare cât și a sistemelor de urmărire a densității gazului.

## **6.4. Parametri pentru monitorizare și diagnosticare**

### **6.4.1. Generalități**

Parametrii ce trebuie considerați pentru un sistem de supraveghere și diagnosticare, vor fi discutați pe funcție sau subansamblu, după cum s-a arătat în ultimele paragrafe. Atât parametrii folosiți în mod curent [9], [33], cât și cei datorati noii dezvoltări a tehnicilor de diagnosticare, vor fi tratați sub aspectul utilității, experienței cunoscute și fezabilității tehnice și economice.



În Tab.6.6 este prezentată o vedere generală asupra prezenței în exploatare a tehnicilor de monitorizare și diagnosticare uzuale, [15], (prezența în exploatare, într-un grad mai mic sau mai mare, a acestor tehnici este evaluată în tabel plecând de la \*, la \*\*\*\*).

Tab.6.6

	Inspecție	Diag.	Monit.
<b>Funcțiile principale</b>			
- poziția închis/deschis			****
- calitatea izolației	*	***	*
- rezistența circuitului		****	
- creșterea temperaturii	***		
- nesimultaneitatea polilor		**	***
- timpul de acționare		****	*
- numărul de acționări	****		*
- sumarea curenților întrerupți			*
<b>Mediul electroizolant și de stingere</b>			
- presiunea	**		**
- densitatea			****
- calitatea SF <sub>6</sub>		****	
- calitatea aerului comprimat	*	**	
- nivelul uleiului	****		
- calitatea uleiului		***	
- scurgeri	**	***	*
<b>Mecanism de acționare</b>			
- presiune	*		****
- energia acumulată		**	*
- nivelul uleiului	****		**
- scurgeri	****		
- s(t) și v(t) la acționare		**	*
- forța de acționare		*	
- comportarea amortizoarelor		*	
- căderea de presiune în timpul acționării		***	
- numărul de porniri ale pompei	**		*
- timp reîncărcare pompă		**	**
- timp total funcționare pompă	**		*



Tab.6.6 (continuare)

<i>Circuite el. de control și auxiliare</i>			
- alimentarea cir. auxiliare		**	***
- supraveghere bobine		**	**
- blocaj la închidere		**	***
- blocaj la reînchidere		*	***
- blocaj general		*	**
- semnal de avertizare		**	**
- circuite de încălzire	***	**	
- calitatea izolației		**	
<i>Diverse</i>			
- coroziune	****		
- poluare	****		
- aspectul exterior	**		

#### 6.4.2. Camerele de stingere

O primă problemă, de importanță deosebită, a camerelor de stingere o reprezintă anduranța electrică a acestora. Anduranța electrică este apreciată prin numărul maxim de întreruperi la o anumită valoare a curenților întrerupți, care duc la uzura maximă a contactelor de arc, respectiv a duzelor de suflaj. Este important, în același context, și cunoașterea timpilor de existență a arcului electric de deconectare dintre contactele întrerupătorului.

Arcul electric dezvoltat între contactele întrerupătorului în momentul întreruperii unui curent are o mare influență asupra contactelor de rupere 1 (fix), 2 (mobil) și asupra duzei de suflaj 3 ale acestuia, Fig.6.1. Eroziunea acestor elemente este cu atât mai pronunțată cu cât intensitatea curentului deconectat este mai mare respectiv energia dezvoltată în coloana arcului electric este mai importantă. Uzura duzei de suflaj este totuși scăzută asigurând o bună funcționare pe durata de exploatare a întrerupătorului, dar eroziunea electrică a contactelor de rupere trebuie să fie supravegheată, deoarece determină limitele utilizării întrerupătorului.



De obicei, contactul fix de rupere capătă o eroziune mai mare decât contactul mobil de rupere este precizat în [7].

Electroeroziunea contactelor "m", dată în [mg] se poate calcula cu relația, [24]:

$$m = c \cdot I^d \cdot t, \quad (6.2)$$

unde: I, reprezintă valoarea efectivă a curentului întrerupt, t-durata de existență a arcului electric iar c și d constante de material (pentru cupru-wolfram,  $c = 1,81$  și  $d = 0,274$ ).

Timpul de existență al arcului electric este dificil de măsurat în exploatare și de aceea, pentru urmărirea electroeroziunii contactelor întrerupătoarelor se recomandă utilizarea relației, [15], [7]:

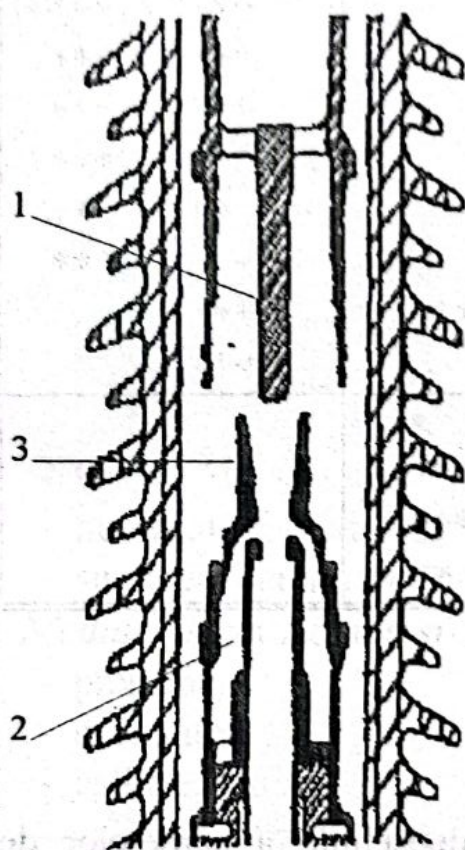


Fig.6.1

Camera de stingere

$$\sum_{i=1}^n \alpha_i \cdot I_i \leq K, \quad (6.3)$$

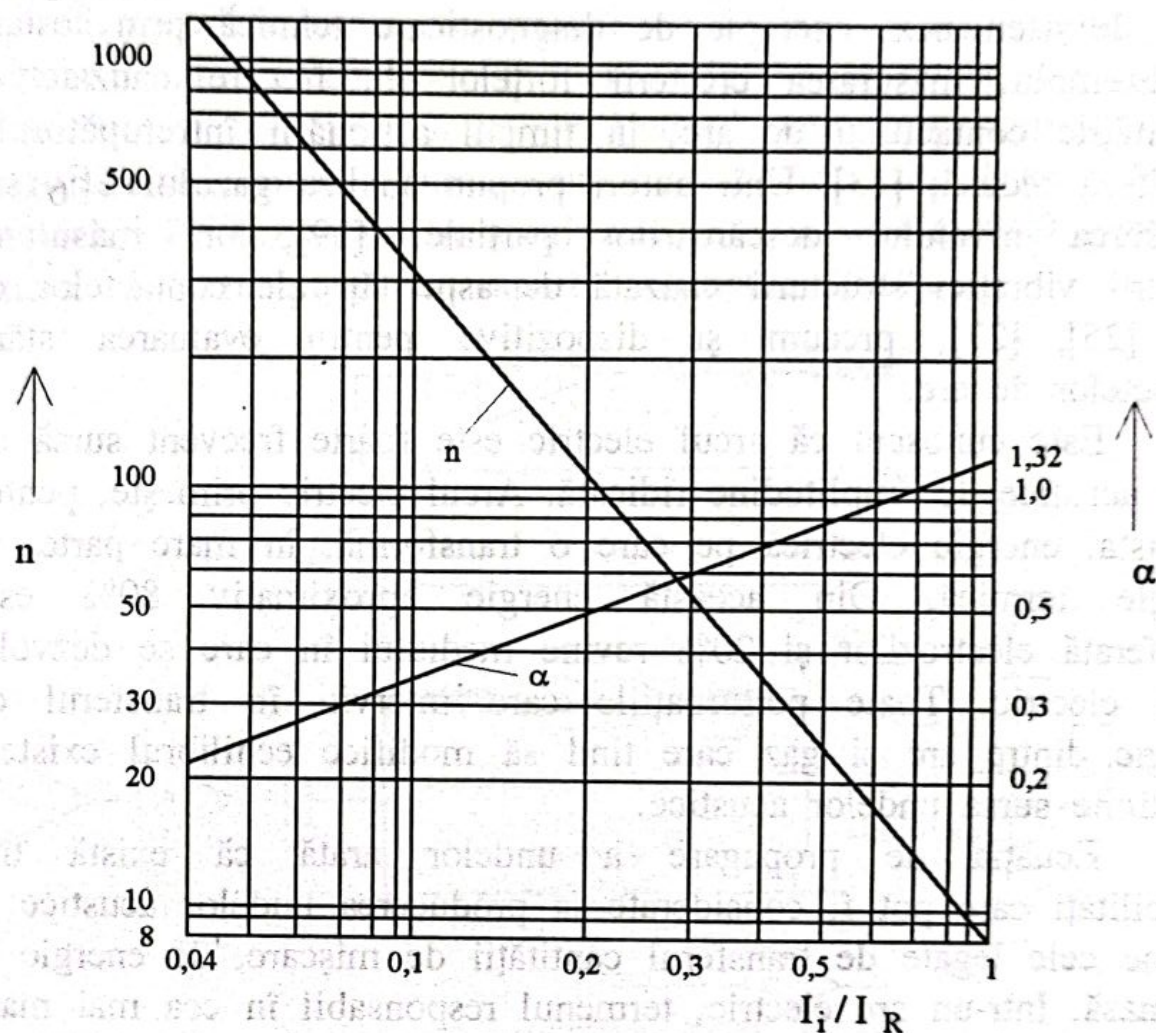
unde:  $I_i$  este valoarea efectivă a curentului întrerupt la deconectarea  $i$ ,  $\alpha_i$ -constantă ce depinde de valoarea efectivă a curentului întrerupt iar  $K$ -constantă, a cărei valoare este specifică fiecărui tip de întrerupător și la a cărei atingere este indicată schimbarea contactelor ( $K = 420$  kA, în cazul întrerupătorului cu hexafluorură de sulf tip H14P40, [32]).

Conform diagramei de mentenanță, specificată de către fabricantul de echipament, Fig.6.2, valoarea coeficientului  $\alpha_i$  depinde de curentul deconectat conform relației:

$$\ln \alpha_i = a \cdot \ln I_i + b, \quad (6.4)$$



unde:  $a$  și  $b$  reprezintă constante dependente de tipul de întrerupător.



**Fig.6.2**

*Diagrama de mentenanță a întrerupătoarelor cu SF<sub>6</sub>  
tip H14P40, H17P40 fabricate de Electroputere Craiova*

În [7] este propusă supravegherea curenților întrerupți pe diferite domenii, exprimând valoarea sumelor intensităților curenților întrerupți în kA și kA<sup>2</sup>. Spre exemplu, pentru un întrerupător având curentul nominal de 2000 A, suma  $n_1$  a intensităților curenților întrerupți exprimată în kA se face pentru curenți de deconectare până la 5 kA, iar peste această valoare până la curentul de rupere suma  $n_2$  se face în kA<sup>2</sup>. Sumele obținute estimează valoarea uzurii contactelor (suma în kA<sup>2</sup> devenind preponderentă pentru valori mari



ale curenților întrerupți) astfel că activitatea de mentenanță trebuie efectuată când valoarea limită  $n_1$  sau  $n_2$  este atinsă.

În afară de aceste tehnici de urmărire continuă, literatura oferă de asemenea, exemple de diagnosticare tehnică prin testare. De exemplu, măsurarea creșterii forțelor de frecare cauzate de asperitățile contactului de arc, în timpul acționării întrerupătorului cu viteză redusă, [13]. Unii autori propun analiza gazului  $SF_6$  sau măsurarea nivelului descărcărilor parțiale, [19], ori măsurarea creșterii vibrației structurii cauzată de asperități ale contactelor de arc, [25], [27], precum și dispozitive pentru evaluarea stării contactelor de arc.

Este cunoscut că arcul electric este foarte frecvent sursă de unde acustice de amplitudine ridicată. Arcul electric primește, pentru a exista, energie electrică pe care o transformă, în mare parte, în energie termică. Din această energie aproximativ 80% este transferată electrozilor și 20% revine mediului în care se dezvoltă arcul electric. Toate perturbațiile care intervin în transferul de energie dintre arc și gaz care tind să modifice echilibrul existent constituie sursa undelor acustice.

Ecuția de propagare a undelor arată că există trei posibilități care pot fi considerate la producerea undelor acustice și anume cele legate de transferul cantității de mișcare, de energie și de masă. Într-un arc electric, termenul responsabil în cea mai mare parte de producerea undelor acustice este cel datorat transferului de energie.

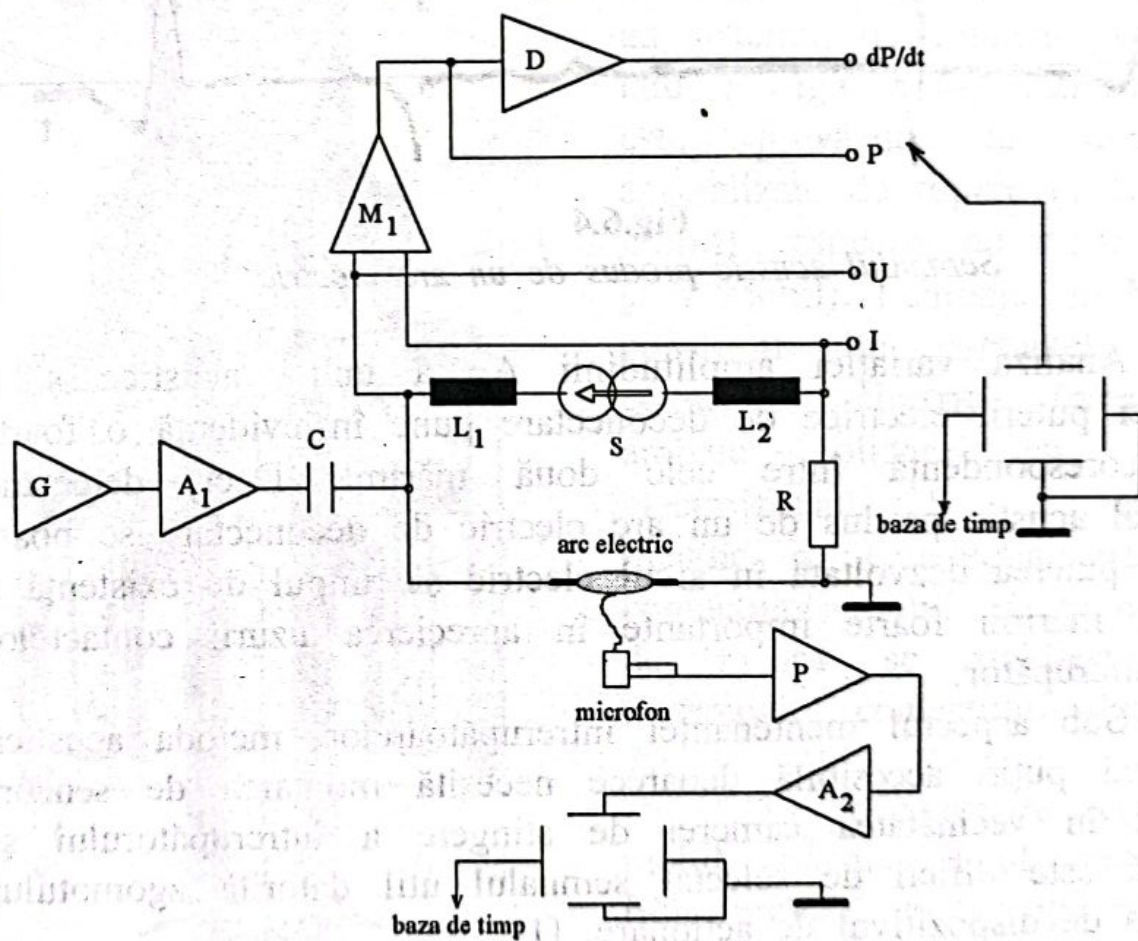
Amplitudinea,  $A_a$ , a unei unde acustice într-un punct "r", este dată de relația, [34]:

$$A_a = \frac{P_0}{T_0} \cdot \frac{\gamma - 1}{c^2} \cdot \frac{dP}{dt}, \quad (6.5)$$

unde:  $P$  este puterea dezvoltată în arc,  $c$ -viteza sunetului,  $\gamma$ -coeficientul de compresibilitate adiabatică, iar  $p_0$ ,  $T_0$ -presiunea și respectiv temperatura inițială a gazului.



Schema electrică a instalației din Fig.6.3, permite verificarea teoriei undelor acustice în cazul unui arc electric. Instalația cuprinde sursa de curent  $S$ , cu caracteristică rectangulară, generatorul de funcții  $G$ , care furnizează un semnal sinusoidal sau în impulsuri cu o durată variabilă. Semnalele proporționale cu tensiunea și curentul prin arc pot fi observate direct cu ajutorul unui osciloscop sau pot fi multiplicare pentru a furniza un semnal proporțional cu puterea instantanee,  $P$ , dezvoltată în arcul electric. Un derivator  $D$  permite obținerea derivatei puterii în raport cu timpul,  $dP/dt$ .



**Fig.6.3**

*Schema electrică a instalației pentru verificarea teoriei undelor acustice în cazul unui arc electric*

În Fig.6.4 este prezentată variația în timp a curentului prin arcul electric, a derivatei puterii instantanee și a semnalului acustic produs de arcul electric în cazul unui curent pulsatoriu,  $i$ .



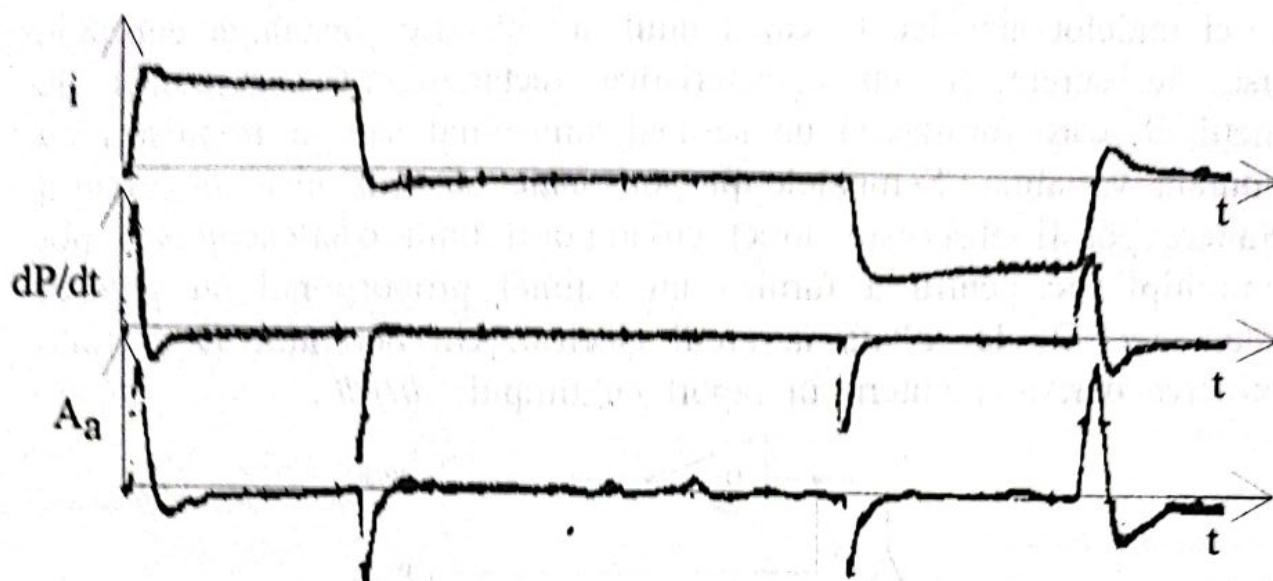


Fig.6.4

*Semnalul acustic produs de un arc electric*

Analiza variației amplitudinii  $A_a$  a undei acustice și a derivatei puterii electrice de deconectare pune în evidență o foarte bună corespondență între cele două mărimi. Deci, detectând semnalul acustic produs de un arc electric de deconectare se poate aprecia puterea dezvoltată în arcul electric și timpul de existență a arcului, mărimi foarte importante în aprecierea uzurii contactelor unui întrerupător.

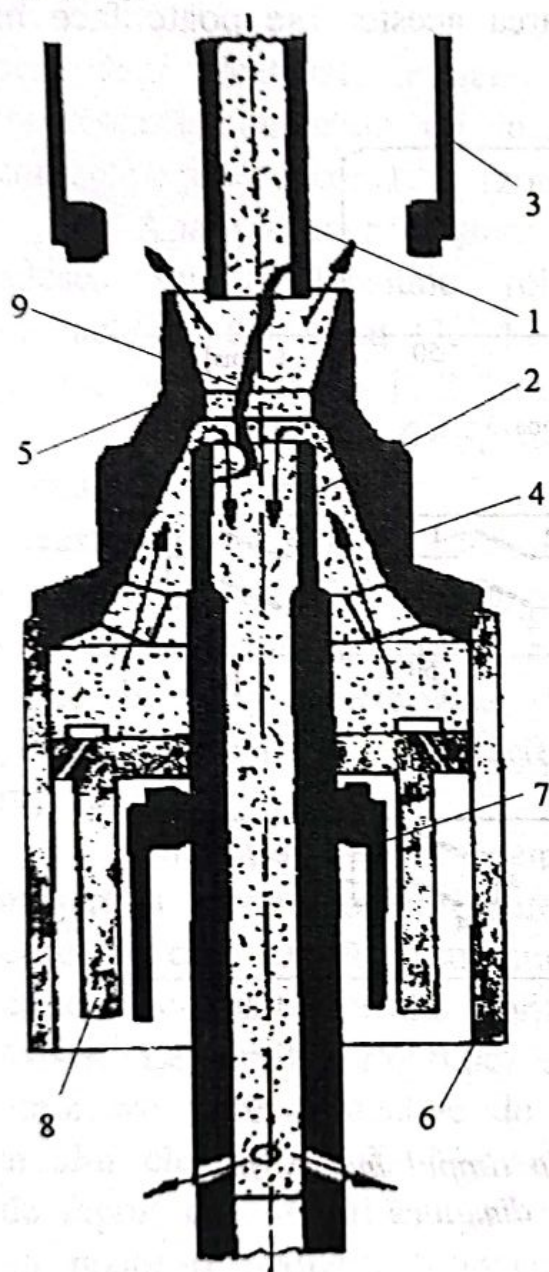
Sub aspectul mentenanței întrerupătoarelor, metoda acustică este mai puțin accesibilă deoarece necesită montarea de senzori acustici în vecinătatea camerei de stingere a întrerupătorului și totodată este dificil de selectat semnalul util datorită zgomotului introdus de dispozitivul de acționare, [1].

Unele din tehnicile amintite în aprecierea anduranței electrice sunt încă experimentale și îndepărtate de practica uzuală inginerescă.

Rezistența electrică a contactelor principale și respectiv a căilor de curent, reprezintă alți parametri importanți în activitatea de monitorizare și diagnosticare. În general, se utilizează tehnica de testare a contactelor electrice prin măsurarea rezistenței de contact dintre contactele principale, cu întrerupătorul în poziție închisă (test de diagnostic).



În cazul echipamentelor de comutație care prezintă sistemul de contacte specializate (de lucru și de rupere) conectate în paralel este importantă cunoașterea rezistenței de contact dinamice, [2], [12], [25], [27].



**Fig.6.5**

*Secțiune prin camera de stingere*

electric.

Acțiunea arcului electric 9, se concretizează prin electroeroziunea contactelor de rupere 1 și 2. Se poate ajunge

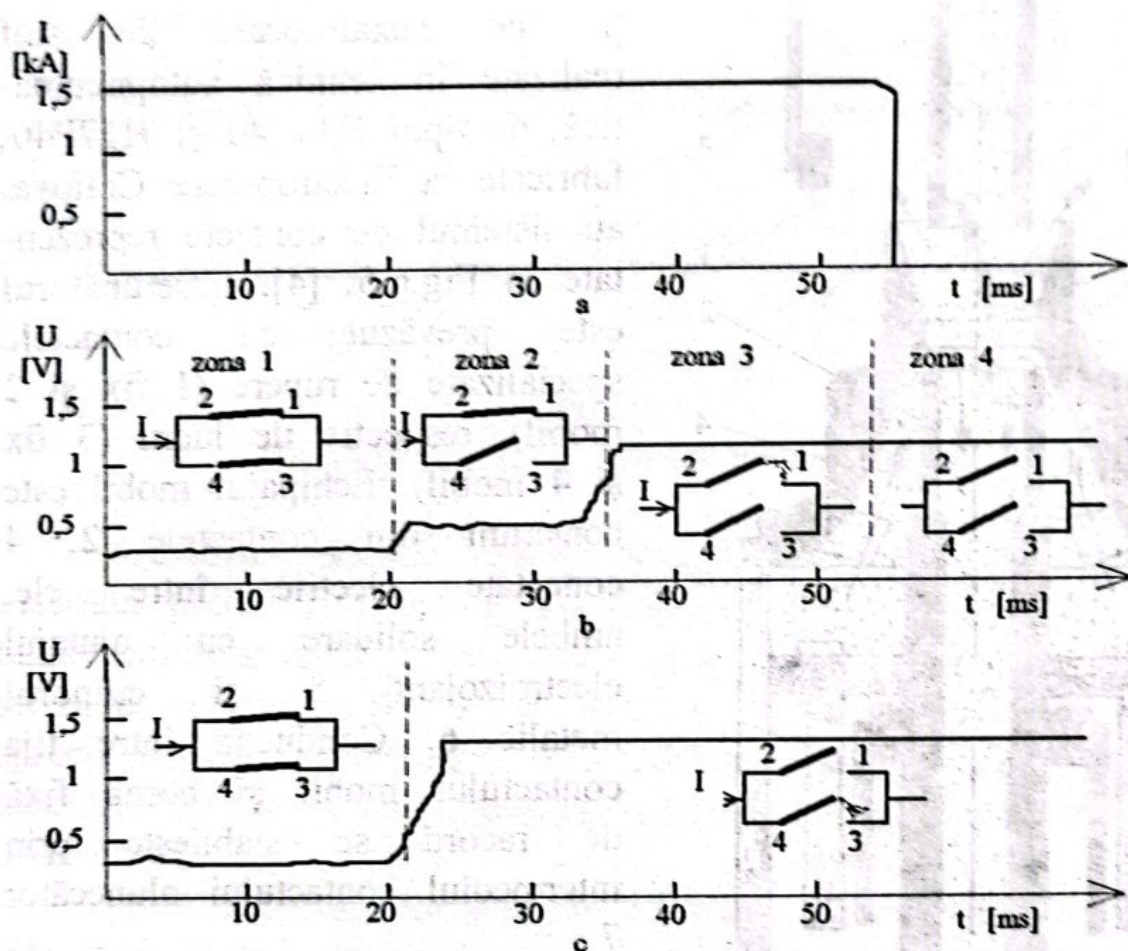
Echipamentele de comutație cu hexafluorură de sulf realizate în tehnică autopneumatică, de tipul H14P40 și H17P40, fabricate la Electroputere Craiova, au sistemul de contacte reprezentate în Fig.6.5, [4]. Întrerupătorul este prevăzut cu contactele specializate de rupere (1 fix și 2 mobil), respectiv de lucru (3 fix și 4 mobil). Echipajul mobil este constituit din contactele 2, 4 conectate electric între ele, ambele solidare cu ajutorul electroizolant 5 și cilindrul metalic 6. Conducția între tija contactului mobil și borna fixă de racord se stabilește prin intermediul contactului alunecător 7.

La deconectare echipajul mobil coboară, arcul electric 9 fiind preluat, în condiții normale de contactele de rupere 1, 2. Gazul  $\text{SF}_6$ , comprimat între cilindrul mobil 6 și pistonul 8 exercită, prin ajutorul 5, un suflaj longitudinal bilateral sub acțiunea căruia se obține stingerea arcului



astfel, la situația nepermisă ca la deconectare secvența de deschidere a contactelor să fie schimbată, arcul electric fiind preluat de contactele de lucru 3, 4.

Evitarea acestui fapt se poate face prin supravegherea rezistenței de contact dinamice. Măsurarea acesteia se poate face în



**Fig.6.6**

*Evoluția curentului și a tensiunii în timpul încercărilor de rezistență de contact dinamică*

timpul unei manevre de deschidere a întrerupătorului, prin întrerupător trecând un curent  $I \in (100A, I_n)$ , unde  $I_n$  este curentul nominal al întrerupătorului.

În Fig.6.6a și Fig.6.6b sunt prezentate formele de undă ale curentului și căderii de tensiune pe sistemul de contacte al întrerupătorului testat în timpul unei manevre de deschidere, [2].



Atât timp cât întrerupătorul este închis și în poziție staționară curentul  $I$  străbate rezistența de contact a sistemului de contacte și produce o cădere de tensiune  $U$  pe contacte, de ordinul a câtorva zeci de mV. Când întrerupătorul începe să se deschidă, tensiunea  $U$  rămâne în continuare la aceleași valori cu mici perturbații aleatoare. În acest timp, un procent ridicat al curentului traversează contactele de lucru 3 și 4, o mică parte parcurgând contactele de rupere 1, 2 (zona 1, Fig.6.6b).

Apariția unor creșteri discontinue ale tensiunii ce culminează adesea cu o tensiune relativ ridicată marchează deschiderea contactelor de lucru 3, 4 și trecerea curentului  $I$  numai prin contactele de rupere 1, 2 (zona 2, Fig.6.6b).

Zona 3, Fig.6.6b, este marcată de momentul deschiderii contactelor de rupere 1, 2 și momentul stingerii arcului electric. Pe această zonă nivelul tensiunii este mult mai mare (căderea de tensiune pe arc), pe oscilogramă fiind limitat nivelul de tensiune din considerente de protecție a aparatelor de înregistrare. Zona 4, Fig.6.6b, este caracterizată de absența curentului  $I$  și aflarea în poziția deschis a contactelor de sarcină 3, 4 și a celor de rupere 1, 2.

Intervalul de timp care caracterizează zona 2, Fig.6.6b, dă o măsură a electroeroziunii suferite de contactele de rupere 1, 2. În cazul în care există o suprapunere în funcționarea celor două tipuri de contacte și o ordine normală a deschiderii acestora zona 2 va exista. La limită, Fig.6.6c, se va ajunge ca arcul electric să se amorseze între contactele de lucru 3, 4, fapt ce face ca stingerea arcului electric să fie îngreunată dacă nu imposibilă, ținând seama de faptul că suflajul cu gaz necesar pentru stingerea arcului electric nu poate fi realizat. Amorsarea arcului electric între contactele de lucru va avea ca rezultat electroeroziunea puternică a contactelor de lucru și deci compromiterea funcționării în continuare a întrerupătorului.

Măsurarea rezistenței de contact dinamice permite aprecierea gradului de electroeroziune a contactelor de rupere. Cunoșcând viteza de deplasare a contactelor mobile este de câțiva m/s, intervalul de timp dintre momentele deschiderii contactelor de lucru,



respectiv a celor de rupere și cantitatea de metal supusă electroeroziunii în urma unei deconectări în sarcină sau la un curent de defect, se poate aprecia numărul aproximativ de deconectări până în momentul necesar realizării lucrărilor de mentenanță la întrerupător.

În literatură se fac referiri la utilizarea tehnicii infraroșu, analiza gazului  $\text{SF}_6$  și la măsurarea vibrațiilor acustice ca posibilități de detectare a contactelor electrice deteriorate, [7], [11], [27]. Unii autori menționează posibilitatea aplicării de senzori de temperatura pe anvelopa metalică a întrerupătoarelor capsulate.

Au fost căutați și alți parametri ce au influență asupra posibilităților de întrerupere ale întrerupătorului. Ca exemplu, ar fi presiunea dinamică a gazului  $\text{SF}_6$  în camera de stingere și emisia luminoasă a arcului, [18].

Metodele optice utilizate în studiul arcului electric constau în a analiza fie lumina emisă de arc, fie perturbația la care este supus un fascicol luminos (absorție, defazaj, deviație) în cursul traversării plasmei. Metoda optică utilizând lumina emisă de arcul electric ne poate arăta poziția plasmei și a componentelor sale (ioni, electroni) și ne permite aprecierea timpului de existență a arcului electric. Cunoașterea prezenței și a ponderii vaporilor metalici de cupru, tungstren sau wolfram (metale ce intră în construcția contactelor de rupere ale întrerupătoarelor) ne oferă informații despre electroeroziunea contactelor întrerupătorului, [8].

În [1], este apreciat că pentru moment, metodele optice nu pot fi aplicate în cadrul activității de mentenanță a întrerupătoarelor deoarece nu există posibilitatea de vizionare directă a coloanei arcului electric, iar montarea de traductoare optice în cazul anumitor metode optice este destul de dificilă.

Aceste metode rămân metode de laborator utilizate pentru aprecierea calității mediului electroizolant și de stingere a arcului electric (hexafluorură de sulf, ulei etc.), contactelor și materialelor contactelor întrerupătoarelor.

Există o metodă, metoda electromagnetică, care permite diagnosticul spațio/temporal al mișcării coloanei arcului electric, metodă care se bazează pe măsurarea fluxului electromagnetic emis



de un circuit ce cuprinde și arcul electric, [10]. Metoda utilizează un traductor electromagnetic, denumit planimetru, ce trebuie să creeze un câmp magnetic uniform în volumul de expansiune a arcului. Planimetrul este realizat dintr-un ansamblu de trei perechi de bobine de tip Helmholtz. O pereche de bobine Helmholtz este constituită din două bobine situate pe același ax, ce au o lățime și grosime redusă față de raza lor și sunt dispuse în două plane paralele la o distanță egală cu raza lor.

Multe din rezultatele acestor tehnici experimentale nu sunt întru totul cele așteptate, dar îmbunătățirea tehnicii testelor de diagnostic utilizate în mod curent (de exemplu prin punerea într-o bancă de date a rezultatelor pentru compararea cu istoricul măsurătorii și curbele de calcul, [21]) va duce la găsirea unor metode cu aplicație mai largă.

#### 6.4.3. Izolația electrică

*Teste de calitate.* În mod curent utilizarea tehnicilor de diagnosticare a calității izolației electrice apelează la teste de diagnostic cum ar fi: conținutul de umiditate din ulei, aer sau SF<sub>6</sub>, tensiunea de străpungere a uleiului, tangenta unghiului de pierderi și nivelul decărcărilor parțiale, în cazul întrerupătoarelor capsulate.

Întrerupătoarele cu SF<sub>6</sub> sunt foarte mult influențate în funcționare de calitatea gazului. Calitatea gazului este influențată de scăparile de gaz, ce au drept rezultat pătrunderea umidității și de asemenea datorită intervențiilor (deschiderea) la întrerupător în condiții improprii, dar nu cu același efect ca pătrunderea umidității. Testarea conținutului de umiditate a gazului după intervenții la întrerupător și după scurgeri de gaz, sunt strict recomandate de fabricant.

*Teste cantitative.* Cantitatea uleiului este verificată în timpul inspecțiilor periodice a întrerupătorului (nivelul, pierderile de ulei). Cantitatea de gaz SF<sub>6</sub> este supravegheată cu ajutorul monitorului de densitate (presostate compensate cu temperatura).



Dacă pierderile de ulei duc la scăderea cantității uleiului sub un minim, acest lucru este fatal pentru întrerupător, la fel și în cazul pierderilor de SF<sub>6</sub> mai ales în cazul întrerupătoarelor cu o singură presiune. Circumstanțele apariției pierderilor mari și rapide de fluid sunt într-o măsură mai mică sau mai mare datorate proiectării (ruperea sau spargerea izolației, a unor părți metalice, conducte). Cu toate acestea nivelul uleiului este verificat o dată la câteva săptămâni, iar densitatea este supravegheată continuu.

*Descărcări parțiale.* De obicei numărul defectelor de izolație (străpungeri, conturnări) este redus, dar impactul acestor defecte este deosebit de mare când întrerupătorul este integrat într-o instalație capsulată. Multe lucrări, printre care raportul CIGRE al GL 23.10, [20], arată interesul crescut față de dezvoltarea monitorizării și a tehnicilor de diagnosticare în domeniul instalațiilor capsulate în SF<sub>6</sub>.

Descărcările parțiale în aceste instalații sunt datorate imperfecțiunilor constructive (goluri), pierderilor electrice în părțile metalice, cum sunt ecranele, ca și asperităților de pe conductoare.

Pot fi amintite următoarele metode pentru detectarea descărcărilor parțiale: emisia acustică, compoziția SF<sub>6</sub>, emisia luminoasă, potențiale crescute, câmp electric pulsatoriu, etc. sau o combinație a acestor tehnici de diagnosticare.

Detecția descărcărilor parțiale este un prim fapt, iar localizarea descărcărilor parțiale și extragerea de informații fără perturbații de la senzorii de măsurare este un alt lucru destul de dificil de realizat. Nevoia de a căuta o tehnică de localizare a descărcărilor parțiale mai bună decât punerea la pământ, depinde de numărul de străpungeri dielectrice. Numărul mic al ratei defectelor la întrerupătoarele capsulate în perioada de serviciu nu explică necesitatea complicării tehnicii de detecție și localizare a descărcărilor parțiale. Totuși poate fi posibil, deși rata de defectare a dielectricului și în alte compartimente importante ale instalațiilor capsulate este redusă, să fie dezvoltată tehnica localizării descărcărilor parțiale pentru a crește fiabilitatea și respectiv fezabilitatea economică a instalațiilor.



**Localizarea defectului.** O cale normală de a localiza defectele electrice de izolație în instalațiile capsulate este de a analiza semnalele electrice de la relele de protecție, și cele înregistrate în timpul desfășurării evenimentelor. Mai mult analiza gazului SF<sub>6</sub> și în special monitorizarea presiunii la comutație sau a densității ne oferă informații care pot fi evaluate. Unii autori implementează senzori optici pentru detecția apariției descărcărilor electrice și pentru localizarea lor.

În literatură sunt prezentate tehnici sofisticate pentru detecția descărcărilor parțiale, de exemplu: optice, de detecție a creșterii temperaturii, de detecție a vibrațiilor acustice, magnetice și tehnici de detectare a curentului de punere la pământ, ce sunt menționate și ca posibile tehnici de localizare a defectelor.

Tehnicile comune ca și noile tehnici, vor fi utilizate împreună pentru monitorizarea instalațiilor capsulate, astfel ca informația asupra parametrilor urmăriți să fie obținută pe durata desfășurării defectului.

#### 6.4.4. Mecanismul de acționare

**Numărul de acționări.** Cel mai important parametru privind starea tehnică a mecanismului de acționare al întrerupătorului este numărul de acționări. La toate tipurile de întrerupătoare implementate în instalațiile electrice, pe lista activităților ce trebuie realizate la inspecții, este trecută și verificarea numărului de acționări a întrerupătorului.

**Timpul de acționare.** Al doilea parametru important este timpul de acționare. Toți utilizatorii consideră că timpul de acționare este acțiunea cea mai importantă a testelor de diagnosticare. Unii utilizatori folosesc pentru monitorizare și viteza de deplasare a tijelor mobile (Tab.6.6), iar un număr mai mic de utilizatori consideră și forța de acționare.

De asemenea și comportamentul amortizoarelor este uneori verificat.



În acest domeniu al tehnicilor de diagnosticare utilizatorii caută echipamente care să fie capabile: să reducă timpul necesar pentru testarea întrerupătorului; să obțină direct rezultatele de la măsurători; de a avea posibilitatea să compare aceste rezultate cu cele statistice; să ofere o cantitate mare de informații (să avem în același timp informații cu privire la: arcul electric din camerele de stingere, cursa contactului mobil, viteza acestuia, ciclul complet I-D-I), să aibă posibilitatea de testare a întrerupătorului în funcțiune (serviciu). O aplicație care ar fi interesantă este cea legată de momentul când are loc acționarea întrerupătorului după o lungă perioadă fără acționare mecanică.

În viitor se va continua monitorizarea timpului de acționare sau cursa și viteza tije mobile de contact. Este necesar a se asigura o acuratețe a măsurării timpului de acționare, obținută prin diverse tehnici utilizate, de exemplu: cu senzori optici, tehnica în cod bar, cu contacte auxiliare speciale, potențiometre. Este propusă și utilizarea de fibre optice în camera de stingere pentru a monitoriza printe alți parametri și timpul de arc, [18], iar în combinație cu evoluția curentului prin bobinele de închidere/deschidere această tehnică poate fi utilizată la monitorizarea timpului de închidere și deschidere.

*Niveluri și presiuni.* Al treilea grup de parametri importanți ai mecanismului de acționare sunt: nivelul uleiului, presiunea hidraulică a uleiului și presiunea amestecului gaz/aer. Mulți utilizatori monitorizează nivelurile de presiune verificând în cadrul inspecțiilor nivelul uleiului și al pierderilor. În alte cazuri se alege pentru monitorizare energia stocată și presiunea de picurare a uleiului.

În literatură sunt descrise sisteme de monitorizare care controlează comportamentul dinamic al fluidelor în mecanismul de acționare și în camera de stingere.

*Pompe și compresoare.* A patra categorie de parametri sunt numărul de acționări ale pompelor și compresoarelor (motoarelor), timpul de reîncărcare și timpul total de funcționare. Utilizatorii se informează cu privire la acești parametri prin inspecții, teste de



diagnosticare (ceas înregistrator al timpului de funcționare al motoarelor) sau monitorizare (relee de timp).

Unii autori utilizează acești parametri uneori cu extindere la curentul motorului și la curentul prin electromagneții de închidere și deschidere.

Se consideră, în urma analizei datelor statistice, că pompele, compresoarele, etc. vor trebui să se bucure, în viitor, de mai multă atenție din partea tehnicilor de diagnosticare din acest domeniu.

*Alți parametri.* În unele lucrări se descriu tehnici noi de diagnosticare cum ar fi sisteme de înregistrare și evaluare a vibrațiilor acustice în structura întrerupătorului la acționare normală, [27], sau la acționare cu viteză redusă. Folosirea lor este deocamdată limitată, atâta timp cât aceste tehnici nu fac referiri concrete în ce privește prevenirea defectelor la întrerupător.

#### 6.4.5. Circuitele electrice de control și auxiliare

*Sistemul de control electric.* Sistemul de control electric constă din, [9], [35]:

- bobina de închidere și una sau două bobine de deschidere;
- contactoare auxiliare pentru stabilirea curentului prin bobine;
- releu de blocare, cu rol de a preveni acționările repetate (releu de antipompaj);
- contactoare auxiliare și releu de timp;
- conductoare între toate aceste elemente.

Cei mai mulți utilizatori supraveghează o serie de dispozitive ale sistemului de control electric, ca de exemplu: bobinele de închidere/deschidere, circuitele auxiliare de alimentare, blocajele. Totuși funcțiile de monitorizare sunt adesea îndeplinite de echipamentul de protecție (supravegherea bobinelor și înfășurărilor), sau de sistemele de control (supravegherea contactelor auxiliare și a alimentării circuitelor auxiliare).



Viitorul sistemelor de control va fi cu microprocesor. Plecând de la acest punct de vedere, o dezvoltare completă nu este încă stabilită. Alegerea unor circuite simplificate de control este posibilă reconsiderând cu grijă funcțiile de îndeplinit.

*Sistemul auxiliar electric.* Sistemul auxiliar electric cuprinde din, [9], [35]:

- contacte auxiliare pentru informații de stare;
- circuite de alarmare pentru: blocaje, polul de discrepanță, monitorul de densitate, semnalele de la mecanismul de acționare;
- alte circuite de alarmare (încălzire, etc.);
- vizualizarea alarmei la punctul de control;
- circuite de alarmare la distanță;
- monitor de densitate (presostat);
- încălzitoare;
- termostate;
- siguranțe fuzibile;
- conductoarele dintre aceste elemente.

În general sunt utilizate tehnici de monitorizare care folosesc stările microînt. rupătorului și semnalele pasagere provenite de la comutatorul de presiune al mecanismului de acționare, sau de la comutatorul de presiune compensat cu temperatura al monitorului de densitate sau de la releul de timp (releul termic) care supraveghează timpul de funcționare al motorului.

În literatură este prezentată monitorizarea cu microprocesor care utilizează multe informații pentru a determina cele mai importante stări, pentru a evalua rezultatele, pentru a compara rezultatele obținute cu cele statistice (istorice) și a transmite alarme atunci când este necesar.

Noile tehnici de monitorizare sunt concentrate în direcția determinării evoluției semnalelor măsurate pentru aprecierea momentului trecerii peste nivelurile impuse (de prag). Uneori monitorizarea este îndreptată spre determinarea comportării dinamice a semnalelor în comparație cu valorile lor statice. Cele mai perfecționate dispozitive de monitorizare folosesc tehnici matematice complicate în vederea extragerii informațiilor utile (eliminând



semnalele de eroare), folosite în calcule și în compararea rezultatelor cu datele statistice.

Cele mai multe defecte datorate circuitelor electrice de control și auxiliare pot fi preîntâmpinate dând mai multă atenție circuitelor care supraveghează funcțiile vitale ale întrerupătorului. Utilizarea monitorizării cu ajutorul microprocesorului oferă multe posibilități de a colecta, de a prezenta, stoca și transmite informații incluzând chiar informații despre monitorul însuși. O altă posibilitate de a crește performanțele monitorizării cu microprocesor este dată de sistemul hard, de tehnicile senzoriale complicate și de programele soft, care pot asigura o fiabilitate foarte mare împreună cu aparate care furnizează informații cu privire la condițiile de funcționare și de mediu.

Pentru moment cei mai mulți utilizatori sunt mulțumiți să utilizeze dispozitive de monitorizare cât mai simple, care să permită obținerea de valori statistice, care să afișeze valorile semnalelor pasagere (trecătoare) atunci când depășesc nivelurile de prag și care să folosească tehnici foarte bine cunoscute.

#### **6.4.6. Pierderi în sistemul de gaz SF<sub>6</sub>**

Din analiza rezultatelor obținute se observă că cele mai multe defecte (minore dar și majore) sunt datorate pierderilor de gaz și monitorului de densitate. Cel mai utilizat monitor de densitate este un comutator de presiune compensat cu temperatura, care este conectat la cei trei poli ai întrerupătorului.

Tehnicile cele mai recomandate în literatură, măsoară presiunea gazului SF<sub>6</sub> și uneori temperatura gazului sau etanșeitatea utilizând senzori optici. Densitatea este calculată cu ajutorul microprocesorului, care poate aprecia și evoluția ei în timp, [18], [22].

În unele lucrări este atrasă atenția și asupra evoluției presiunii dinamice a gazului, și de asemenea asupra neomogenității densității gazului în volumul total.



Deocamdată constructorii de aparataj nu au încurajat perfecționarea tehnicilor de monitorizare a pierderilor de gaz. Probabil că odată cu simplificarea senzorilor care vor putea fi fixați pe conductele instalațiilor capsulate se va ajunge la o variantă fezabilă din punct de vedere tehnic și comercial.

### **6.5. Structura unui sistem de monitorizare și diagnosticare**

Funcția unui sistem de monitorizare și diagnosticare este de a controla funcțiile principale ale întrerupătorului și de a compara valorile măsurate ale anumitor parametri cu valorile prestabilite, corespunzătoare unui întrerupător în stare bună de funcționare, sau cu valorile anterioare ale aceluiași întrerupător. Această comparație poate fi făcută continuu sau după fiecare manevră în scopul de a detecta orice eventuală abatere a parametrilor care ar putea declanșa un incident care să conducă la defectarea întrerupătorului.

Sistemul de supraveghere și diagnosticare cu ajutorul calculatorului pentru întrerupătoare de înaltă tensiune trifazate, Fig.6.7, este bazat pe un sistem expert alimentat cu informațiile provenite de la încercările realizate de constructor și cu cele de la întrerupătorul supravegheat, [5], [12], [22].

Acest sistem de supraveghere și diagnosticare conține traductoare speciale pentru mărimile considerate mai importante a fi cunoscute sub aspectul stării tehnice a întrerupătorului, diverse tipuri de convertoare, fibre optice, microprocesor (microcalculator) etc.

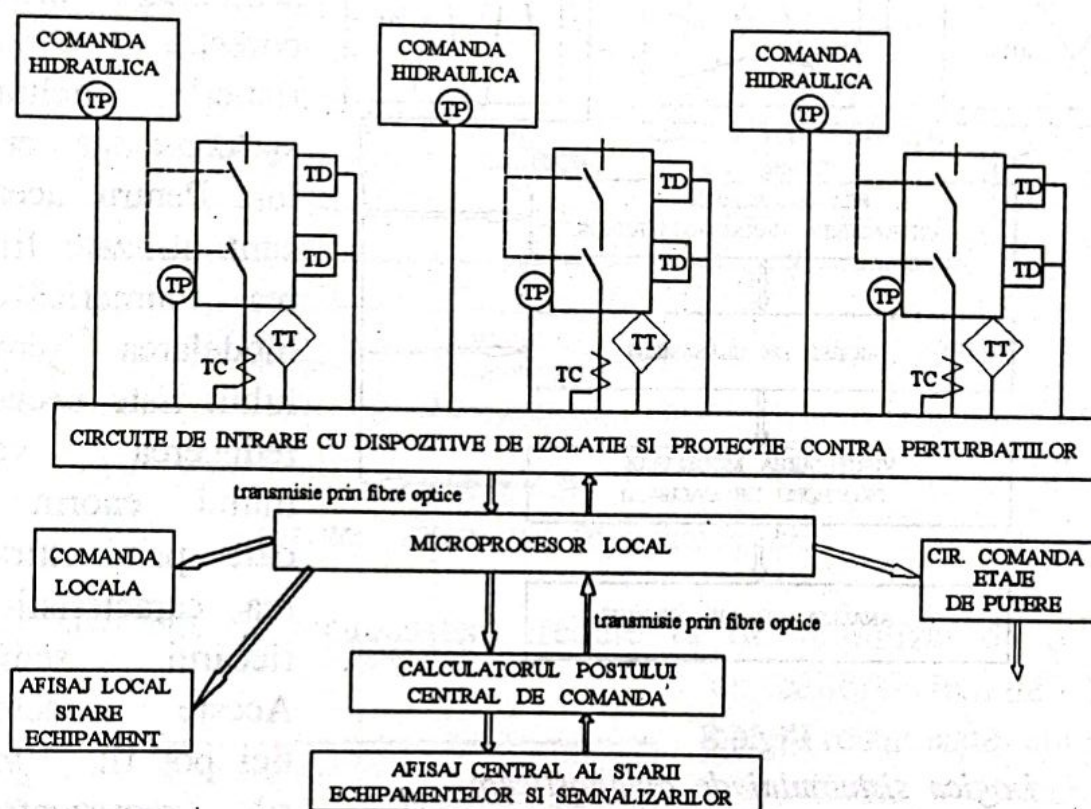
Sistemul de diagnosticare necesită traductoare specializate pentru urmărirea:

- cursei contactelor mobile ale întrerupătorului, (TD);
- presiunii în camerele de stingere și la mecanismul de acționare (TP);
- curentului prin întrerupător, (TC);
- temperaturii în zona de contact, (TT).

Semnalele primite de la traductoare sunt transformate în semnale optice cu ajutorul unor convertoare electro/optice, apoi sunt



transmise prin fibre optice către receptoarele optice (convertoare opto/electrice). Fibrele optice sunt utilizate pentru transferarea datelor și pentru izolarea galvanică între emițătorul și receptorul optic.



**Fig.6.7**

*Structura unui sistem de monitorizare și diagnosticare*

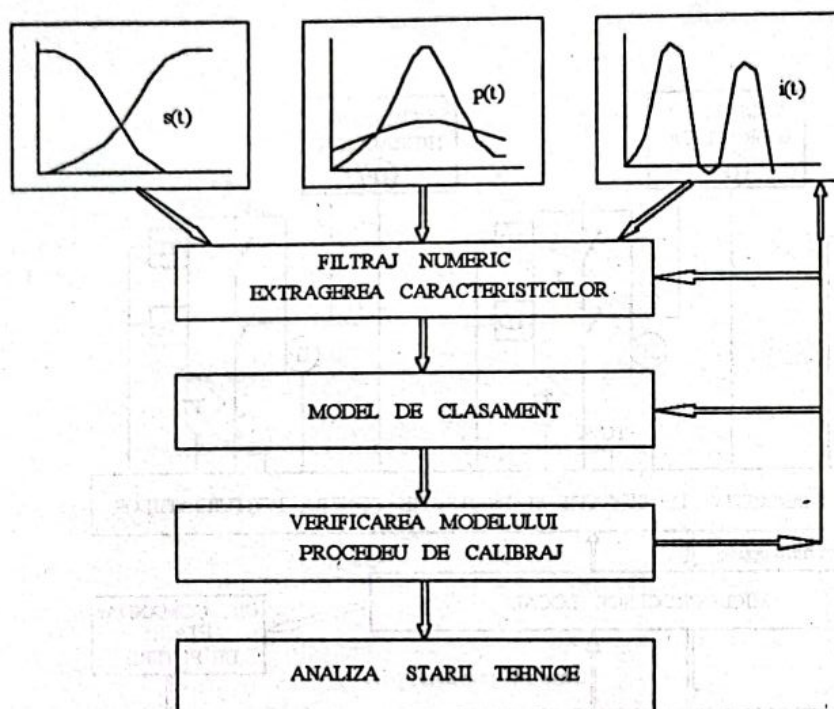
De la convertoarele opto/electrice semnalele staționare și tranzitorii ale mărimilor supravegheate sunt preluate de către un microcalculator local. Microcalculatorul local poate fi integrat într-un sistem mai complex ce realizează urmărirea funcționării în ansamblu a stației de transformare, lucru realizat cu un calculator central plasat în camera de comandă a stației.

Recunoașterea stării tehnice complexe a unui întrerupător se realizează printr-o modelare matematică de recunoaștere și clasificare a problemelor tipice (incidentelor, defectelor). Algoritmul unui sistem de diagnosticare prezintă următoarele subprograme, Fig.6.8:

- pretratarea și filtrarea numerică a semnalelor;
- extragerea caracteristicilor și reducerea datelor;



- modelul de clasament;
- verificarea modelului și a procedului de calibrare;
- analiza stării tehnice.



**Fig.6.8**

*Logica sistemului de diagnosticare*

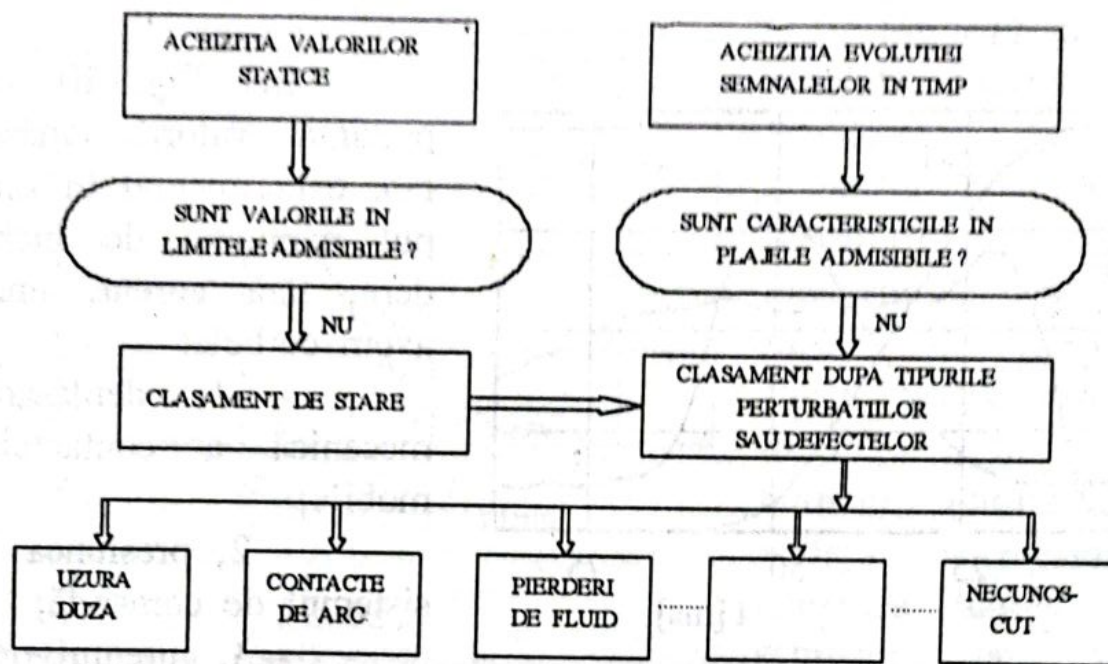
Pretratarea semnalelor include corecția caracteristicilor neliniare și conversia erorilor. Pentru aceasta sunt utilizate filtrarea numerică și modelarea semnalului. Este necesară reducerea volumului enorm de date prin extragerea caracteristicilor fiecărui semnal. Aceste caracteristici pot fi: valorile reprezentative ale semnalelor

(minime, maxime, etc.); relațiile dintre aceste valori; valorile derivatelor lor și relațiile dintre ele; funcțiile spectrale; parametri de aproximare a funcțiilor.

După încercări, dacă sunt disponibile, mai multe semnale de la echipamentul supravegheat în condiții normale și extreme, atunci este posibil să realizăm un model de clasament. În acest model, problema recunoașterii trebuie să fie redusă la câteva cazuri pentru toate tipurile de defecte. Pentru fiecare tip de defect posibil, programul va avea de găsit un răspuns la întrebarea: "*parametrii importanți sunt sau nu într-un domeniu admisibil?*".

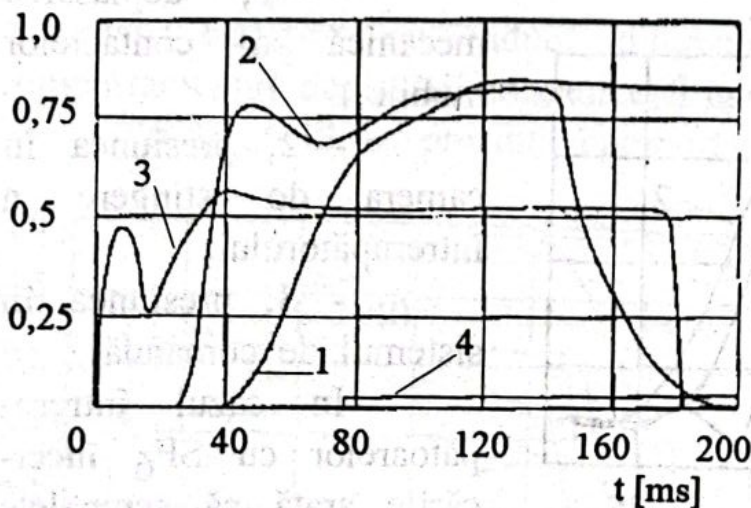
Scopul sistemului de recunoaștere este de a identifica variațiile parametrilor importanți plecând de la semnalele măsurate. Acest lucru este realizat de sistem prin parcurgerea unui clasament specific diferitelor tipuri de perturbații și defecțiuni, Fig.6.9.





**Fig.6.9**  
*Structura sistemului de recunoaștere*

Sistemul de recunoaștere trebuie să fie inițializat de o fază de calibrare înainte de a putea recunoaște automat respectivele perturbații sau defecțiuni. În această fază de calibrare este necesar să se verifice și selecționeze, cu ajutorul calculatorului, un număr mare de caracteristici prin diferite metode analitice.



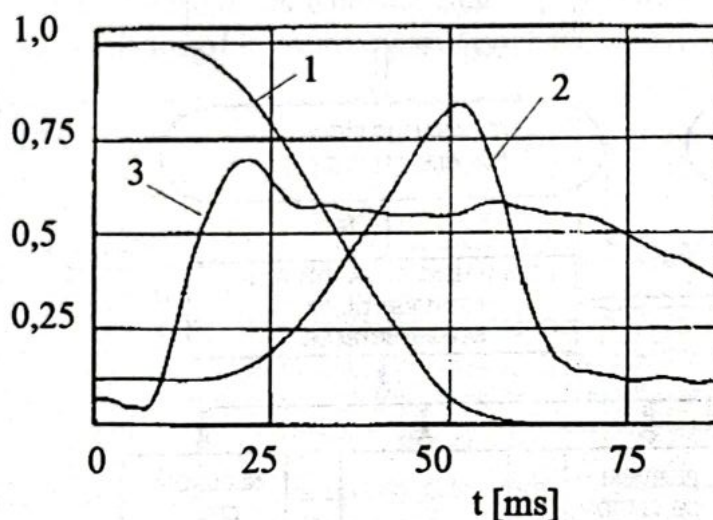
**Fig.6.10**

*Evoluția parametrilor pe durata manevrei de închidere a întrerupătorului*

deschidere a unui întrerupător de 123 kV cu hexafluorură de sulf sunt date în Fig.6.10 și Fig.6.11, [22].

Aspectul curbelor de variație a parametrilor urmăriți în timpul unei manevre de închidere și de





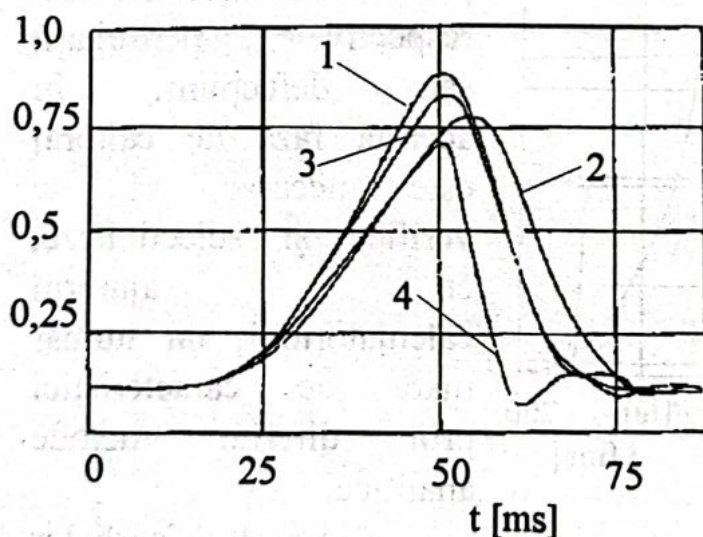
**Fig.6.11**

*Evoluția parametrilor pe durata deschiderii*

Fig.6.11 prezintă valorile măsurate experimental în timpul manevrei de deschidere, fără curent, unde avem:

In Fig.6.10 se prezintă valorile măsurate experimental în timpul manevrei de închidere, fără curent, unde avem curbele:

- 1, deplasarea mecanică a contactelor mobile;
- 2, presiunea în sistemul de comandă;
- 3, curentul prin bobina de anclanșare;
- 4, curentul prin contactele auxiliare.



**Fig.6.12**

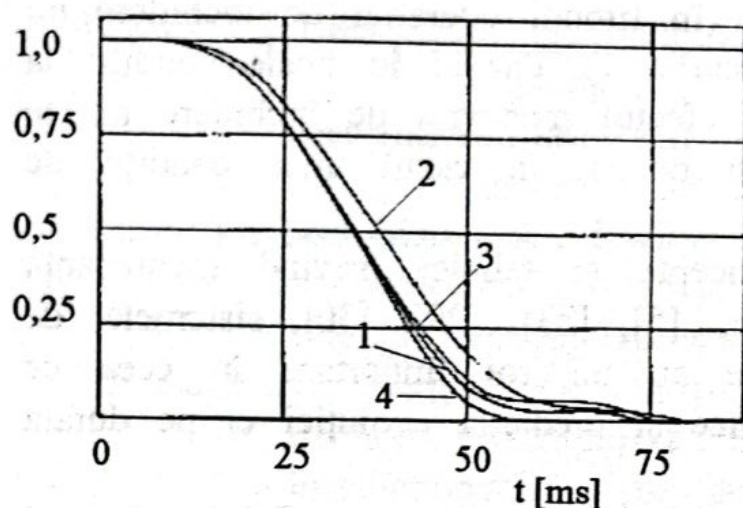
*Variația presiunii pe durata manevrei de deschidere a întrerupătorului în diverse condiții de lucru*

deplasare-timp.

- 1, deplasarea mecanică a contactelor mobile;
- 2, presiunea în camera de stingere a întrerupătorului;
- 3, presiunea în sistemul de comandă.

In cazul întrerupătoarelor cu SF<sub>6</sub> încercările arată că semnalele cele mai importante pentru aprecierea stării tehnice a întrerupătorului sunt variația presiunii în camera de stingere și caracteristica mecanică





**Fig.6.13**

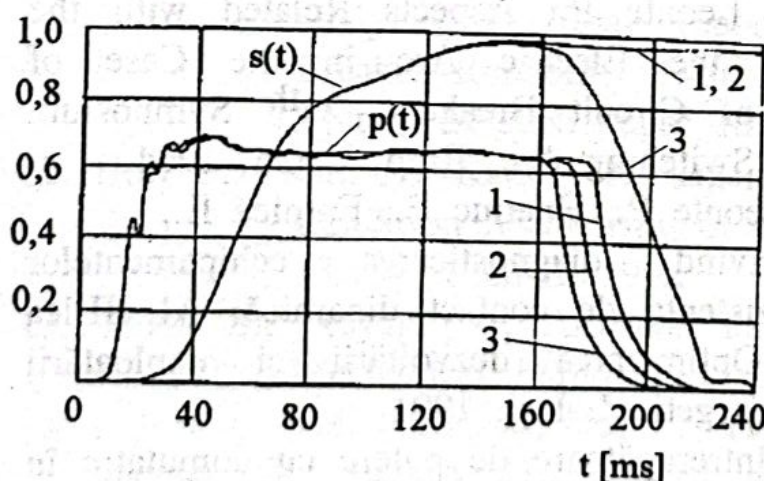
*Deplasarea mecanică pe durata manevrei de deschidere în diverse condiții*

Fig.6.12 și Fig.6.13 prezintă variația presiunii în camera de stingere, respectiv deplasarea mecanică în timpul unei manevre de deschidere în funcție de timp, unde avem curbele rezultate la încercări în condiții normale (curba 1), de variație a presiunii de comandă (curba 2), de scurgere la comandă (curba 3), de eroziune a duzei de suflaj (curba 4).

Din Fig.6.12 rezultă că în condițiile existenței variației presiunii la comandă, a scurgerii la comandă și a eroziunii duzei de suflaj se produc efecte remarcabile asupra caracteristicii de presiune din camera de stingere.

Aceleași variații, nu aduc diferențe atât de distincte în comportamentul deplasării mecanice, Fig.6.13.

În Fig.6.14 se prezintă comportamentul presiunii în sistemul de comandă și al deplasării mecanice în timpul unei manevre de închidere în funcție de timp. Rezultatele sunt înregistrate în condiții normale (curba 1), în condiții la limită (curba 2) și în condiții de defect (curba 3).



**Fig.6.14**

*Comportamentul presiunii și al deplasării mecanice pe durata închiderii*

Dacă o defecțiune este pe cale de a se dezvolta în sistemul de comandă pneumatic,



comanda se desfășoară corect în timpul operației de închidere nu numai în condiții normale (curba 1), dar și în unele condiții la limită (curba 2). În schimb, efectul manevrei de închidere nu se mai produce, apare deci un defect, în cazul unor condiții de defectare (curba 3).

În cadrul noilor concepte și tehnici privind mentenanța echipamentelor de comutație, [5], [23], [29], [30], sistemele de supraveghere și diagnosticare au un rol important în ceea ce privește, stabilirea stării tehnice și predicția evoluției ei pe durata de viață rămasă.

Aceste sisteme devin din ce în ce mai fiabile datorită tehnicilor moderne de achiziție (traductoare, fibre optice, convertoare opto/electrice și electro/optice, cartele de achiziții de date, etc.) și prelucrare a datelor cu ajutorul calculatorului. Ele reprezintă un mijloc sigur de ameliorare a fiabilității întrerupătoarelor electrice și de reducere a costului mentenanței, prin determinarea intervalelor de mentenanță pe baza stării tehnice previzibile a întrerupătorului și nu la intervale fixe.

### Bibliografie

1. Adam M., Baraboi A., Leonte P., Aspects Related with the Diagnosis of the Electric Arc in the Case of Maintenance of Circuit Breakers, XI<sup>th</sup> Symposium on Physics of Switching Arc, Brno, Cehia, 1994
2. Adam M., Baraboi A., Leonte P., Hnatiuc E., Furnică E., Aspecte privind diagnosticarea echipamentelor electrice. Rezistența de contact dinamică, Al III-lea simpozion "Optimizarea dezvoltării și exploatării instalațiilor energetice", Iași, 1991
3. Baraboi A., Adam M., Întrerupătoare de putere cu comutație în hexafluorură de sulf, Energetica, Nr. 5-B, 1992
4. Baraboi A., Adam M., Furnică E., Echipamente electrice, Indrumar de laborator. Universitatea Tehnică Iași 1990



5. Barkan P., Deni J. A., McCabe A. K., Reckleff J. G., Scherer H. N., Woodward R. C., Méthodologie pour la surveillance de l'état des disjoncteurs des haute tension, Rapport 13.04, CIGRE, 1988
6. Baron T., Isaic-Maniu A., Tovissi L., Niculescu, D., Baron C., Antonescu V., Roman I., Calitate și fiabilitate. Editura Tehnică, București, 1988
7. Boudard A., Bernard G., Seyrling G., Alimentation de la traction électrique à la SNCF: surveillance des installations fixes par gammagraphie, Revue Générale de l'électricité, No. 6, 1993
8. Ciobanu S. S., Hong D., Fleurier C., Etude par spectroscopie d'émission et d'absorption et par imagerie d'un plasma d'arc tournant produit dans un disjoncteur, FIRELEC, Grenoble, 1994
9. Conecini I., Rășanu S., Tomescu I., Ionescu A., Cartea electricianului din stații și posturi de transformare, Editura Tehnică, București, 1986
10. Haung R., Hahn R., Benabdelhamid F., Electromagnetic planimeter for electrical circuits, Meas. Sci. Technol. 1, London, 1990
11. Heising C. R., Colombo E., Janssen A. L. J., Maaskola J. E., Dialynas E., Final Report on High Voltage Circuit Breaker Reliability Data for Use in Substation and System Studies, Paper 13.201, CIGRE, 1994
12. Hoff P., Holm A., Karlen O., Lager U., Akesson U., Condition Monitoring of SF<sub>6</sub> Circuit Breakers, Paper 13.104, CIGRE, 1992
13. Ikeda S., Aoyagi A., Amenya T., Diagnostic Technique for Mechanical Failures of Gas Circuit Breakers, IEEE vol. PAS-100, No. 12, 1981
14. Jaenjean R., Landry M., Chénier A., Demissy D., Contrôleur électronique de commande et de surveillance de l'intégrité mécanique et électronique de disjoncteurs à haute tension, Rapport 13.11, CIGRE, 1988



15. Janssen A. L. J., Degen W., Tudrej M., Ikeda S., Application of Diagnostic Techniques for High voltage Circuit Breakers, Paper 13.101, CIGRE, 1992
16. Janssen A. L. J., Degen W., Tudrej M., Ikeda S., Diagnostic Techniques for HV Circuit Breakers and Its Application, CIGRE Symposium Berlin, 120.07, 1993
17. Janssen A. L. J., Degen W., Heising C. R., Bruvik H., Colombo E., Lanz W., Fletcher P., Sanchis G., A Summary of the Final Results and Conclusions of the Second International Enquiry on the Reliability of High Voltage Circuit Breakers, Paper 13.202, CIGRE, 1994
18. Jones G. R., Ali S., Irwin T., Parr D., Circuit Breakers Monitoring using Optical Fibre Based Systems, Paper 13.09, CIGRE, 1988
19. Lundgaard L. E., Tangen G., Skyberg B., Fagstad, Acoustic Diagnoses of GIS; Field Experience and Development of Expert System, IEEE Transactions on Power Delivery, Vol. 7, No. 1, 1992
20. Molony T., A Twenty-five-year Review of Experience with SF<sub>6</sub> Gas Insulated Substations (GIS), Paper 23.101, CIGRE, 1992
21. Nakajima F., Kawagoe E., Horikoshi M., Sasaki K., Methods and future Trend to Improve Reliability of Circuit Breakers, Paper 13.107, CIGRE, 1992
22. Noack F., Gartner J., Heider T., Schwarz J., système de diagnostic à l'aide de calculateur des disjoncteurs à haute tension, Rapport 13.10, CIGRE 1988
23. Onu V., Noi concepte și tehnici în mentenanța echipamentelor electrice de comutație din instalațiile energetice. In lucrările simpozionului "Tehnici noi în conducerea rețelelor de distribuție", Iași, 1992
24. Peicov A., Tușaliu P., Aparate electrice. Editura Scrisul Românesc, Craiova, 1988



25. Runde M., Aurud T., Ottesen G., Skyberg B., Non-Invasive Condition Evaluation of Circuit Breakers, Paper 13.106, CIGRE, 1992
26. Ryan H., Jones G., SF<sub>6</sub> Switchgear. Peter Peregrinus Ltd, London, United Kingdom, 1989
27. Stokes A. D., Timbs L., Diagnostics de disjoncteurs, Rapport 3.03, CIGRE, 1988
28. Vigreux J., Application des techniques de surveillance d'état aux postes blindés, Electra, Nr. 134, 1991
29. Villemeur A., Sécurité de fonctionnement des systemes industriels, Collection de la direction des Etudes et Recherches d'Electricité de France, Paris, Eyrolles, 1988.
30. Zwingelstein G., Diagnostic de pannes: pratique du diagnostic industriel, Séminaire Hermès, Paris, 1989
31. \* \* \* , PE 013/94, Normativ privind metodele și elementele de calcul al siguranței în funcționare a instalațiilor energetice, ICEMENERG, București, 1995
32. \* \* \* , Carte tehnică H14P40 H17P40, Electroputere Craiova, 1988
33. \* \* \* , PE 116/84, Normativ de încercări și măsurători la echipamente și instalații electrice, ICEMENERG, București, 1985
34. \* \* \* , L'arc électrique et ses applications. Editions du CNRS, Paris, 1984
35. \* \* \* , SF<sub>6</sub> Circuit Breakers, Type LTB, ABB HV Switchgear, 1990



## **Capitolul 7**

### **TEHNICI MODERNE IN COMUTATIA DE PUTERE LA JOASA TENSIUNE**

#### **7.1. Principii moderne de realizare a comutației la joasă tensiune**

Tehnicile clasice de comutație se bazează pe deplasarea unor piese mobile de contact între care se manifestă, "ca un rău necesar", arcul electric de întrerupere, ce trebuie stins pentru a valida deconectarea circuitului respectiv. În aceste condiții evoluția a însemnat, pe de o parte, perfecționarea continuă a construcției camerelor de stingere și a contactelor, atât ca formă geometrică cât și ca material și, pe de altă parte, alegerea convenabilă a mediului de stingere a arcului electric, într-o bună concordanță cu parametrii cinematici ce caracterizează mișcarea contactelor mobile.

Cerințele impuse în funcționarea incintelor specializate din componența aparatelor electrice de comutație, în care are loc arderea și stingerea arcului electric și deci întreruperea propriuzisă a circuitului, numite camere de stingere, ce anunță preocupările majore în cercetarea din acest domeniu, sunt:

- durată minimă de ardere a arcului electric;
- energie minimă disipată de coloana de arc în camera de stingere;
- consum minim de materiale active la o întrerupere reușită;
- efecte secundare de întrerupere (acustice, luminoase) cât mai reduse;



-preț de cost și cheltuieli de exploatare cât mai mici.

În ultimul timp, după identificarea acțiunii distrugătoare a arcului electric asupra elementelor componente ale camerelor de stingere și a contactelor, datorată în principal temperaturilor ridicate proprii plasmei, problema comutației a fost abordată și dual, urmărindu-se realizarea deconectării circuitelor fără amorsarea arcului electric. Soluțiile la care s-a ajuns conturează două direcții principale ale acestor preocupări și anume:

-asigurarea comutației fără arc electric pentru aparate electrice tradiționale cu contacte, prin completarea acestora cu accesorii convenabile, ajungându-se final la construcții ce realizează comutația sincronizată respectiv comutația hibridă;

-asigurarea comutației statice, fără contacte, prin modificarea comandată a unei impedanțe (rezistențe) între o valoare maximă, corespunzătoare circuitului deschis și o valoare minimă, corespunzătoare circuitului închis. Remarcăm că realizările ce reflectă comutația statică a circuitelor apelează obișnuit fie la modificarea rezistenței unor joncțiuni semiconductoare fie la modificarea reactanței inductive a unor bobine comandate.

De subliniat faptul că în măsura în care progresele tehnologice vor permite comanda modificării în limite largi a reactanței capacitive, vom regăsi desigur și aplicații ale acestora în realizarea comutației statice.

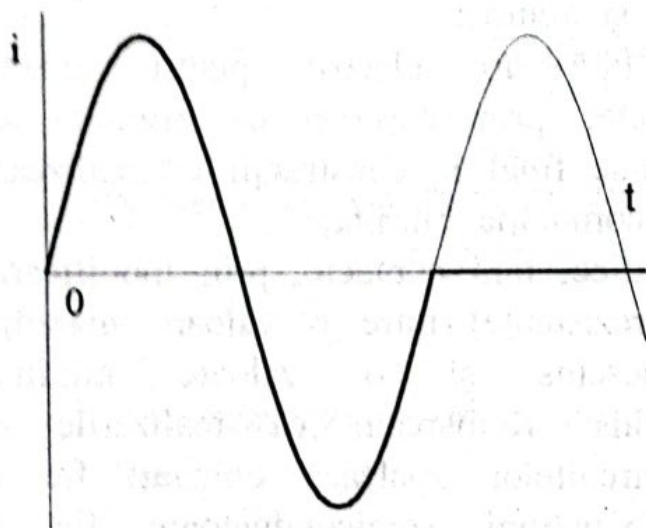
### 7.1.1. Principiul comutației sincronizate

Comutația sincronizată se referă la circuitele de curent alternativ și propune deschiderea contactelor mobile ale unui aparat clasic de comutație anume în momentul trecerii naturale prin zero a curentului (Fig.7.1). Datorită valorii nule a curentului, arcul electric nu se mai amorsează iar energia disipată de coloană, în procesul de deconectare a circuitului  $W_a$ , dată de relația:

$$W_a = \int_0^{t_a} u_a i_a dt, \quad (7.1)$$



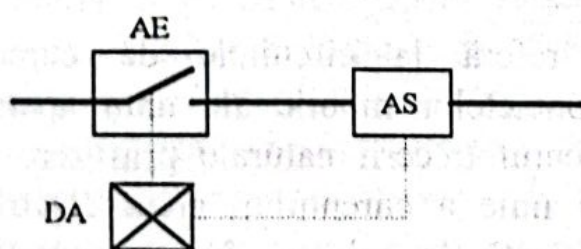
devine practic nulă,  $u_a(t)$  și  $i_a(t)$  reprezentând tensiunea și respectiv curentul de arc, ceea ce se constituie principalul avantaj al acestei soluții tehnice. Ca o consecință firească intervine diminuarea uzurii camerei de stingere și a contactelor electrice la exploatarea unor asemenea aparate, ce are ca efect creșterea duratei de viață de exemplu de circa 100...1000 de ori.



**Fig.7.1**

*Principiul deconectării sincronizate*

impuls de comandă a deconectării. Condiția esențială pentru realizarea practică a deconectării sincronizate a circuitului respectiv este ca suma timpilor proprii de întârziere corespunzători ansamblului de sincronizare,  $t_{AS}$  și respectiv dispozitivului de acționare  $t_{DA}$ , să reprezinte un multiplu întreg de semiperioade în raport cu frecvența tensiunii sursei de alimentare:



**Fig.7.2**

*Schema de principiu a unui aparat cu comutație sincronizată*

Schema de principiu a unui aparat electric cu comutație sincronizată este dată în Fig.7.2 și cuprinde aparatul electric clasic cu contacte AE, cu dispozitivul său de acționare DA, la care se adaugă un ansamblu de sincronizare, AS. Ansamblul de sincronizare sesizează trecerile naturale prin zero ale curentului ce parcurge circuitul și furnizează un

$$t_{DA} + t_{AS} = k \frac{T}{2}, \quad (7.2)$$

unde  $T$  este perioada iar  $k$ -număr natural, de dorit cât mai mic (eventual egal cu unitatea pentru întreruperi sincronizate la prima trecere prin zero a curentului din circuit).

Pentru a putea satisface condiția (7.2) este necesar pe de o parte ca valorile  $t_{DA}$  să aibă o împrăștiere cât mai mică, ceea ce



presupune utilizarea unor aparate electrice cu dispozitive de acționare performante, dar și realizarea, pe de altă parte, a unei ajustări a valorilor timpului  $t_{AS}$  de până la o semiperioadă (0,01s). Buna funcționare a unor asemenea aparate cu comutație sincronizată presupune desigur viteze mari de separare a contactelor acestora dar și treceri naturale prin zero ale curentului ce se succed la intervale de timp egale cu o semiperioadă, deci regim permanent sinusoidal pentru circuitele respective și nu regimuri tranzitorii de conectare sau de defect, pe durata cărora trecerile succesive prin zero ale curentului nu se mai realizează după exact o semiperioadă.

Trebuie subliniat faptul că deși teoretic deconectarea sincronizată s-ar putea realiza și în raport cu trecerile naturale prin zero ale tensiunii, realizările practice, menționate în literatură [3], [7], se referă doar la soluții ce asigură sincronizarea după valorile curentului. În plus, necesitatea identificării momentelor de trecere naturală prin zero ale curentului impune utilizarea a trei module monofazate identice, independente în cazul comutației sincronizate a circuitelor trifazate.

Este important să semnalăm de asemenea comutația sincronă, cu faza de conectare controlată riguros, utilizată în stațiile de încercări de mare putere, care permite obținerea curenților intensi echivalenți curenților de scurtcircuit din exploatare.

### 7.1.2. Principiul comutației hibride

Comutația hibridă este tot o reflectare a preocupărilor de a realiza comutația fără arc electric a circuitelor de curent alternativ, care constă în șuntarea contactelor principale ale aparatului electric AE, (Fig.7.3) cu ajutorul a două tiristoare antiparalele convenabil comandate.

Practic se urmărește ca la deconectarea circuitului, în momentul deschiderii contactului K al aparatului electric, conducția să fie preluată de unul dintre cele două tiristoare, în concordanță cu polaritatea momentană a tensiunii sursei de alimentare. Deoarece tensiunea anod-catod pentru un semiconductor în conducție este de ordinul voltului, insuficientă deci pentru amorsarea arcului electric,



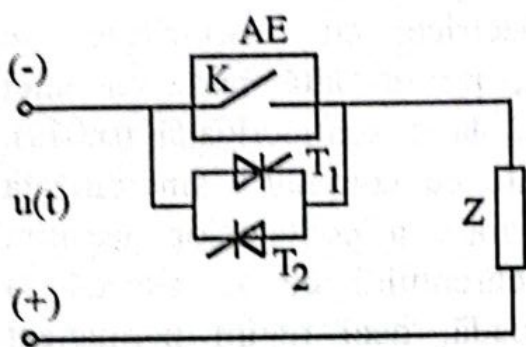


Fig.7.3

Schema de principiu pentru comutația hibridă în c. a.

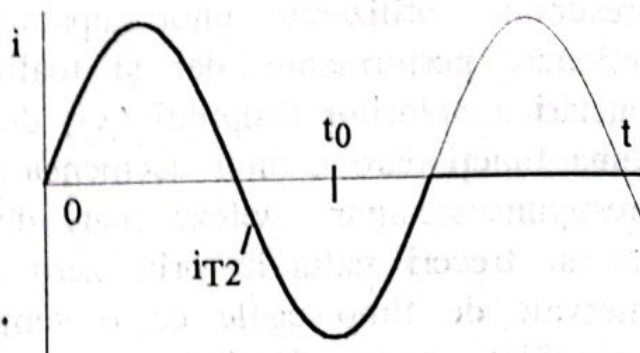


Fig.7.4

Principiul comutației hibride

se poate obține deconectarea fără arc electric a consumatorului indicat prin impedanța  $Z_s$ . Evoluția în timp a curentului la deconectarea hibridă a unui circuit cu ajutorul unui aparat de comutație având structura celui prezentat în Fig.7.3 este indicată în Fig.7.4 și evidențiază, corespunzător momentului  $t_0$  de deschidere a contactului principal al aparatului K, preluarea conducerii prin tiristorul  $T_2$ , după care intervine deconectarea propriu-zisă a consumatorului, reprezentat prin impedanța  $Z_s$ .

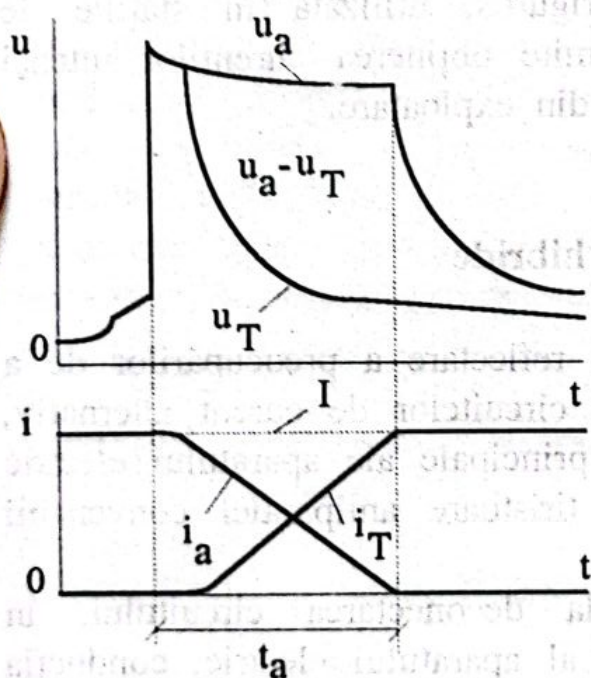


Fig.7.5

Comutația dinamică și hibridă

Se cumulează deci avantajele certe ale contactelor electrice la funcționarea normală, de durată, cu avantajele oferite de elementele

Principalul avantaj al comutației hibride este acela că se poate adapta pentru aparate electrice de construcție obișnuită, neimpunându-se de exemplu restricții cu privire la împrăștierea valorilor timpului de deschidere a contactelor, ca în cazul comutației sincronizate. În plus semiconductoarele comandate de tip tiristor sau triac preiau conducția la deconectare pentru o durată de cel mult o semiperioadă, fiind posibilă utilizarea lor judicioasă și chiar renunțarea la radiatoarele aferente.



semiconductoare comandate în regimul tranzitoriu de deconectare. Aprecierea avantajelor comutației hibride se poate realiza mai deplin examinând curbele prezentate în Fig.7.5, ce sugerează comutația cu arc electric și fără arc electric (hibridă) într-un circuit ce funcționează la curent constant. Intre curbele care descriu evoluția în timp a tensiunii la bornele arcului electric de comutație  $u_a$ , respectiv evoluția în timp a tensiunii la bornele tiristorului de șuntare  $u_T$ , se evidențiază suprafața ( $u_a - u_T$ ), ce anunță diminuarea considerabilă a energiei disipate în camera de stingere în procesul de comutație, care în curent alternativ devine de doar (6...15)% din energia arcului electric [7], [10].

Preocupările legate de realizarea unor echipamente cu comutație hibridă evidențiază următoarele chestiuni importante:

- separarea galvanică a consumatorului în situația deconectat, ce apelează eventual la un pol separator exterior pentru fiecare modul monofazat;

- definirea unor criterii pentru realizarea cât mai eficientă a comenzii semiconductoarelor de preluare a conducției, de tip tiristor sau triac;

- protecția semiconductoarelor de șuntare împotriva supratensiunilor de comutație și a efectelor curenților de defect;

- opțiunea pentru asigurarea comutației hibride doar la deconectare sau pentru ambele manevre ce pot interveni în circuitul respectiv (conectare-deconectare), prima variantă fiind adesea preferată.

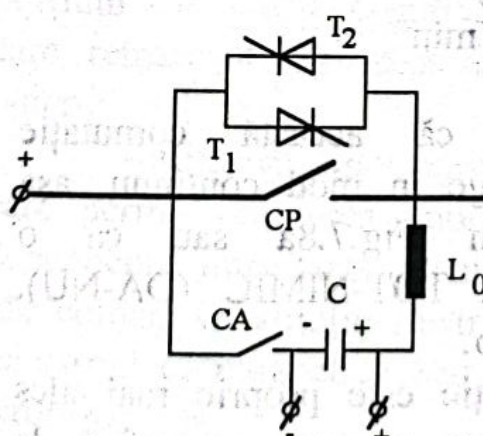


Fig.7.6

Principiul comutației hibride în curent continuu

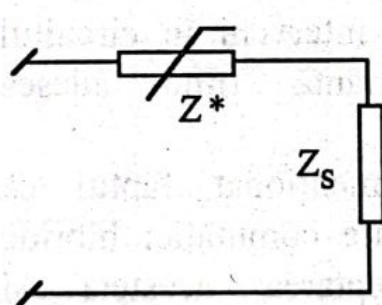
Trebuie menționat faptul că avantajele certe ale comutației hibride au impus acceptarea acestuia și pentru deconectarea circuitelor de curent continuu. Pentru asemenea aplicații, prin descărcarea oscilantă a unui condensator încărcat, se asigură modularea curentului rezultat ce parcurge contactele principale ale aparatului, cu câteva anulări ale acestuia, după care funcționarea decurge conform cu cele prezentate anterior cu privire la comutația



hibridă de curent alternativ. Schema de principiu ce ilustrează posibila utilizare a comutației hibride pentru circuitele de curent continuu este dată în Fig.7.6; prin corelare mecanică se asigură închiderea contactului auxiliar CA, asociată cu deschiderea contactului principal CP, ceea ce permite descărcarea oscilantă a condensatorului  $C_0$  și ulterior preluarea conducerii prin tiristoarele  $T_1$  sau  $T_2$ .

### 7.1.3. Principiul comutației statice

Comutația statică, numită adesea și comutație fără contacte, propune modificarea între limite, de dorit cât mai largi, a valorilor curentului din circuit, asociind valoarea minimă a acestuia cu situația de circuit deconectat, respectiv valoarea sa maximă cu situația de circuit conectat. Acest deziderat se realizează cu ajutorul unei impedanțe comandate  $Z^*$ , ce asigură modificarea valorilor curentului ce parcurge consumatorul indicat prin impedanța  $Z_s$  (Fig.7.7). În legătură cu aceasta se poate defini gradul de comutație  $\gamma$ , ca raport între valorile maximă și minimă ale impedanței  $Z^*$ :



$$\gamma = \frac{Z_{\max}^*}{Z_{\min}^*} \quad (7.3)$$

**Fig.7.7**

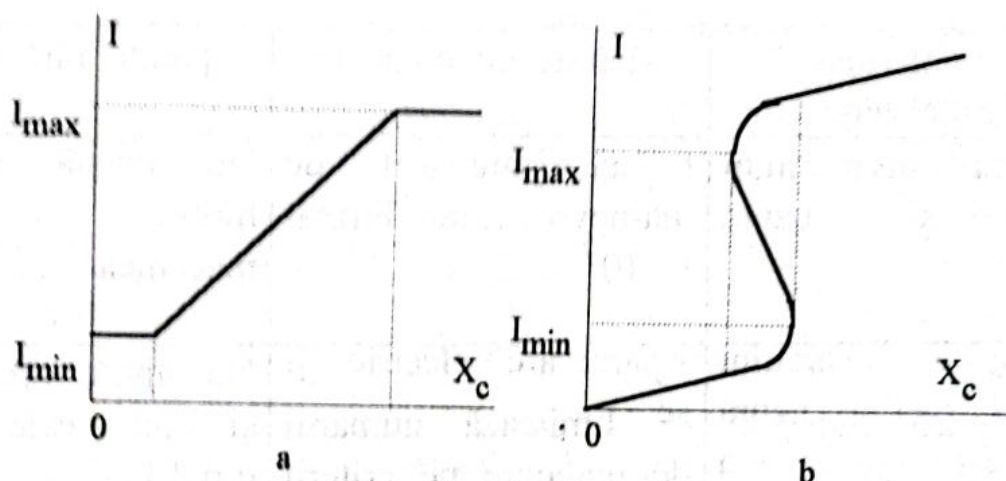
*Principiul comutației  
statice*

Subliniem faptul că această comutație statică poate decurge în mod continuu, așa cum se vede în Fig.7.8a sau ca o comutație de tipul TOT-NIMIC (DA-NU), ilustrată în Fig.7.8b.

Prima situație este proprie mai ales unor bucle de reglaj automat, în timp ce a doua se referă la comutația propriu-zisă a circuitelor.

Trebuie remarcat că pentru a realiza comutația statică de tipul TOT - NIMIC este necesar ca impedanța  $Z^*$  să prezinte





**Fig.7.8**

*Tipuri de comutație statică: a-continuă; b-prin salt.*

porțiuni cu pantă negativă în raport cu mărimea de comandă  $X_c$ , printr-o caracteristică voltamper în N sau S.

O altă soluție pentru obținerea comutației statice de tip TOT-NIMIC o reprezintă amplificatoarele cu reacție pozitivă suficient de intensă, a căror caracteristică intrare-ieșire dobândește în asemenea condiții porțiuni cu pantă negativă.

Rezultă deci că pentru a realiza comutația statică a circuitelor se poate apela la una dintre soluțiile de mai jos:

- utilizarea unor elemente de circuit cu impedanță comandabilă în raport cu un anumit parametru, care prezintă porțiuni cu pantă negativă ale caracteristicii lor voltamper, dintre care remarcăm mai ales elementele semiconductoare comandate de putere;

- utilizarea unor circuite în care au loc fenomene neliniare, care permit obținerea unor discontinuități (cu evoluții prin salt) în dependența impedanței echivalente în raport cu o mărime de intrare (de comandă), soluție ilustrată de amplificatoarele cu reacție pozitivă (electronice, magnetice sau chiar hidraulice) ca și de fenomenul de ferorezonanță.

Pentru a contura încă mai clar domeniul comutației statice (fără contacte) în Tab.7.1 se prezintă o sinteză a calităților, performanțelor reprezentative și particularităților proprii aparatelor cu contacte, respectiv cu comutație statică.



Tab.7.1

Particularități Performanțe	Aparate cu contacte	Aparate fără contacte
Existența ansamblului mobil și uzură acestuia	Există, numărul de ma-nevre fiind limitat la $10^7$	Nu există ansamblu mobil și uzură mecanică
Apariția arcului electric și uzura electrică a componentelor	Apare arc electric și se limitează numărul de manevre pe criterii electrice la $10^6$ manevre	Nu apare arc electric și nu este limitat d.p.d.v. electric numărul de manevre
Timp de acționare și frecvență de conectare	Timp de acționare de $10^{-1} \dots 10^{-2}$ s, frecvență de conectare de până la $10^3$ cicluri/oră	Timp de acționare de 1 ms, frecvență de conectare de $10^5 \dots 10^6$ cicluri/oră
Stabilitate la șocuri și vibrații	Afectează buna funcționare a acestora	Nu influențează funcționarea
Comportarea în medii periculoase	Pot fi utilizate doar când se adoptă măsuri speciale de protecție	Funcționare normală
Posibilitatea modificării lente a curentului din circuit cu trecere de la regimul de amplificator la regimul TOT-NIMIC	Nu	Da
Gradul de comutație și separarea galvanică în starea deconectat	Grad de comutație $10^{14}$ , cu separare galvanică	Grad de comutație $10^7$ , necesită pol separator exterior
Pierderi de energie și încălzirea elementelor de comutație	Mici, datorită căderii neglijabile de tensiune pe contacte (mV)	Mari, căderea de tensiune pe contacte fiind de circa 1 V



Tab.7.1(continuare)

Comportarea la apariția unor curenți de defect	Sunt suportați de aparat	Necesită măsuri speciale de protecție
Cost	Poate fi încă scăzut	De câteva ori mai mare comparativ cu aparatele clasice
Fiabilitate	Ridicată, dar depinde de calitatea întreținerii	Foarte bună și nu depinde de întreținere
Dimensiunile aparatului	Construcții compacte	De câteva ori mai mari în comparație cu cele cu contacte
Efecte secundare ale comutației	Există, acustice și luminoase	Lipsesc

Opțiunea specialistului pentru una sau alta dintre soluțiile posibile pentru a realiza comutația statică a circuitelor va ține desigur seama atât de particularitățile de funcționare proprii fiecărei variante cât și de restricțiile corespunzătoare diferitelor tipuri de consumatori. Practic definirea unor indicatori sintetici care să permită compararea multiplelor soluții ce permit realizarea comutației statice a circuitelor și aprecierea oportunității opțiunii pentru o anumită rezolvare, reprezintă o preocupare deplin justificată a cercetătorilor în acest domeniu. Informații parțiale cu privire la comutația statică a circuitelor oferă indicatori de tipul:

-factorul de multiplicare în curent  $K_I$ , evaluat ca raport între valorile maximă și minimă ale curentului din circuit:

$$K_I = \frac{I_{\max}}{I_{\min}}; \quad (7.4)$$

-factorul de multiplicare a puterii  $K_P$ , obținut ca raport între valoarea maximă a puterii comandate în circuitul consumatorului,  $P_{s\max}$  și puterea consumată în circuitul de comandă,  $P_{c\min}$ :



$$K_P = \frac{P_{smax}}{P_{cmin}}. \quad (7.5)$$

La aceștia se pot adăuga indicatori tehnico-economici, care raportează de obicei performanțele sau costurile la unitatea de volum a ansamblului ca și informații cu privire la timpul de acționare, fără a permite totuși compararea concludentă a unor variante constructive distincte.

#### 7.1.4. Dispozitive electromagnetice în regim de comutație

Soluțiile cunoscute care realizează comutația statică cu ajutorul unor dispozitive electromagnetice apelează fie la amplificatoare magnetice cu reacție pozitivă, fie la circuite ferorezonante.

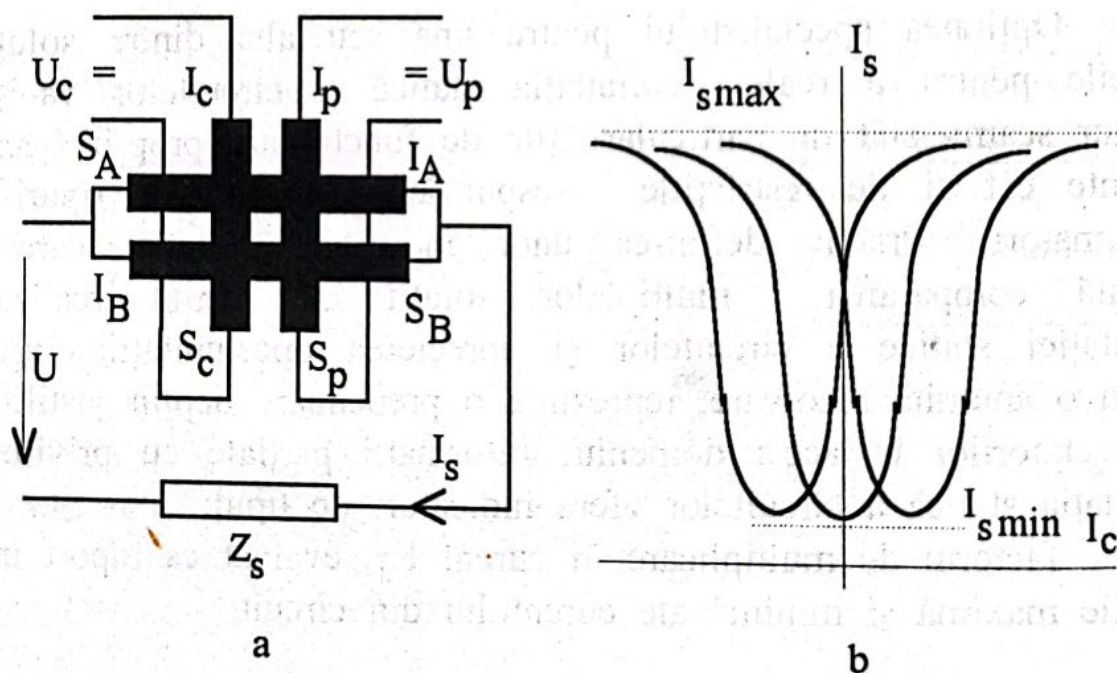


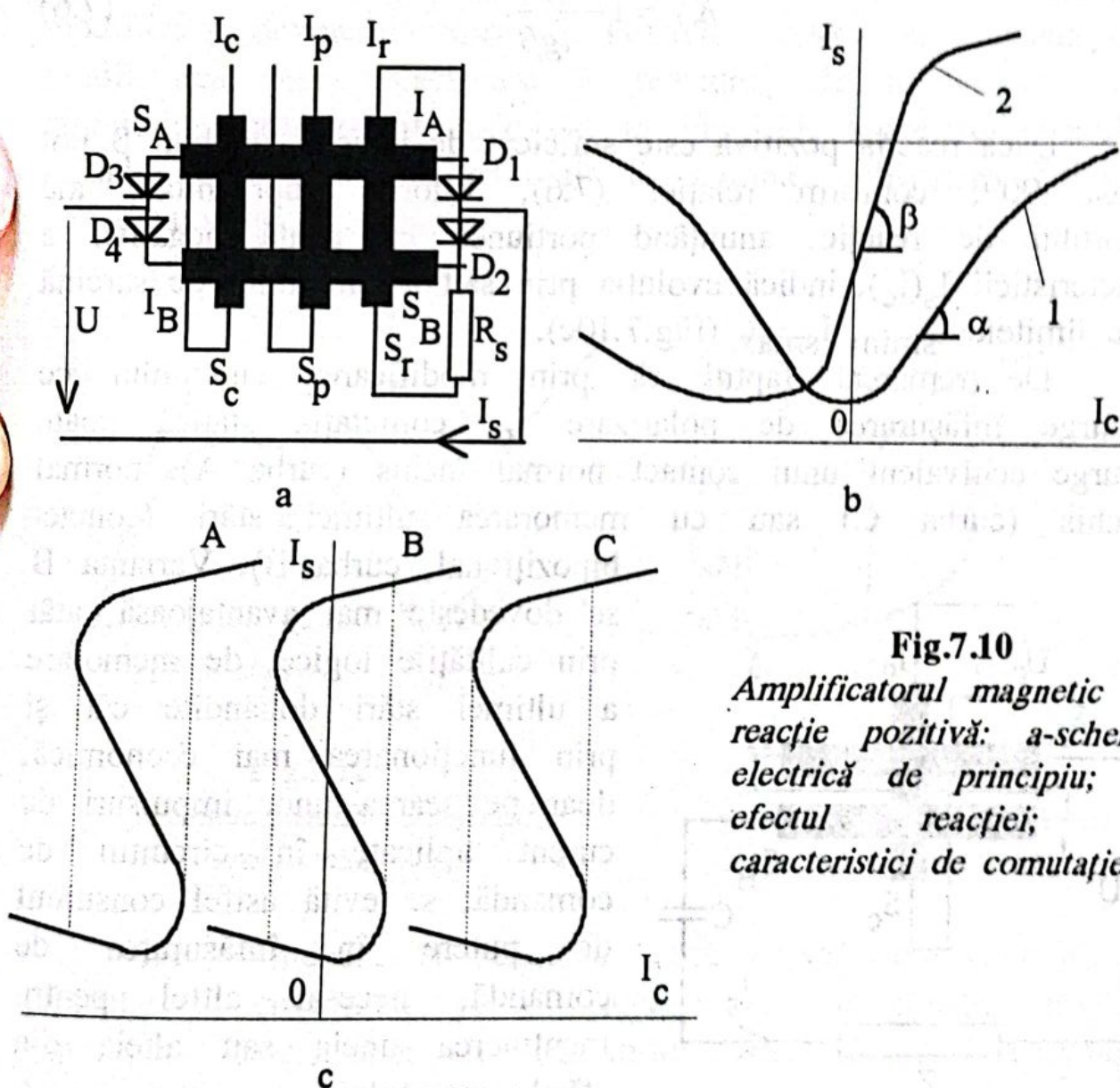
Fig.7.9

Amplificatorul magnetic: a-schema electrică de principiu; b-caracteristici.

Schema de principiu a amplificatorului magnetic este dată în Fig.7.9a și evidențiază înfășurările de sarcină \$I\_A\$-\$S\_A\$ respectiv \$I\_B\$-\$S\_B\$, înfășurarea de comandă \$I\_C\$-\$S\_C\$ și înfășurarea de polarizare \$I\_P\$-\$S\_P\$ dispuse pe un același circuit magnetic. Caracteristica de transfer



a acestuia, în fond dependența valorilor curentului de sarcină  $I_s$ , în raport cu intensitatea curentului de comandă  $I_c$ , este prezentată în Fig.7.9b. Pentru o valoare nulă a curentului ce parcurge înfășurarea de polarizare  $I_p$ , caracteristica  $I_s(I_c)$  este simetrică față de axa ordonatelor; pentru valori nenule ale curentului de polarizare aceasta se translează în concordanță cu orientarea solenității înfășurării de polarizare față de solenția înfășurării de comandă.



**Fig.7.10**

*Amplificatorul magnetic cu reacție pozitivă: a-schema electrică de principiu; b-efectul reacției; c-caracteristici de comutație.*

Reacția pozitivă în funcționarea amplificatoarelor magnetice se poate obține pe seama solenției date de o înfășurare suplimentară de reacție externă  $I_r-S_r$ , pe seama solenției date chiar de înfășurările de sarcină prin utilizarea unor diode semiconductoare  $D_1-D_4$ , ce intervine ca o reacție internă, sau ca reacție mixtă, când



cele două procedee se cumulează (Fig.7.10a). Ca efect al reacției pozitive se obține o creștere a factorului de amplificare, deci a pantei caracteristicii de transfer, așa cum se observă în Fig.7.10b, unde curbele 1, 2 corespund funcționării fără reacție, respectiv cu reacție. Factorul de reacție  $K_r$  poate fi evaluat în aceste condiții cu ajutorul relației, [24]:

$$K_r = 1 - \frac{\operatorname{tg} \alpha}{\operatorname{tg} \beta}. \quad (7.6)$$

Dacă reacția pozitivă este suficient de intensă, unghiul  $\beta$  pot depăși  $90^\circ$ ; conform relației (7.6), valorile supraunitare ale factorului de reacție, anunțând porțiunea cu pantă negativă a caracteristicii  $I_s(I_c)$ , indică evoluția prin salt a curentului de sarcină între limitele  $I_{s\min}$ ,  $I_{s\max}$  (Fig.7.10c).

De remarcă faptul că prin modificarea curentului ce parcurge înfășurarea de polarizare  $I_p$ , comutația statică poate decurge echivalent unui contact normal închis (curba A), normal deschis (curba C) sau cu memorarea ultimei stări (contact bipozițional, curba B). Varianta B se dovedește mai avantajoasă, atât prin calitățile logice, de memorare a ultimei stări dobândite cât și prin funcționarea mai economică, doar pe seama unor impulsuri de curent aplicate în circuitul de comandă; se evită astfel consumul de putere în înfășurarea de comandă, necesar altfel pentru menținerea uneia sau alteia din stările aparatului.

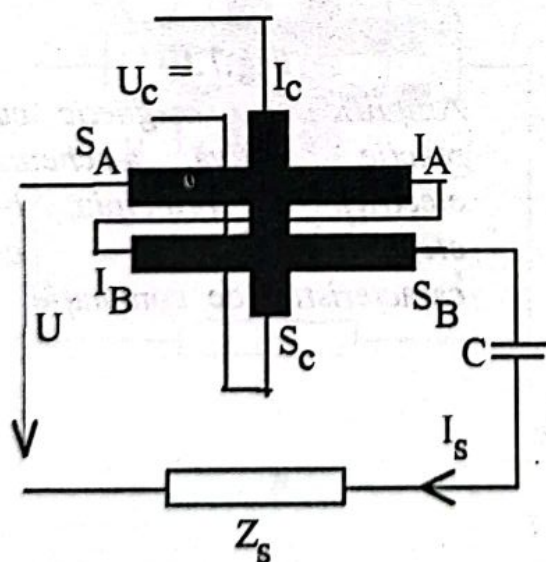


Fig.7.11

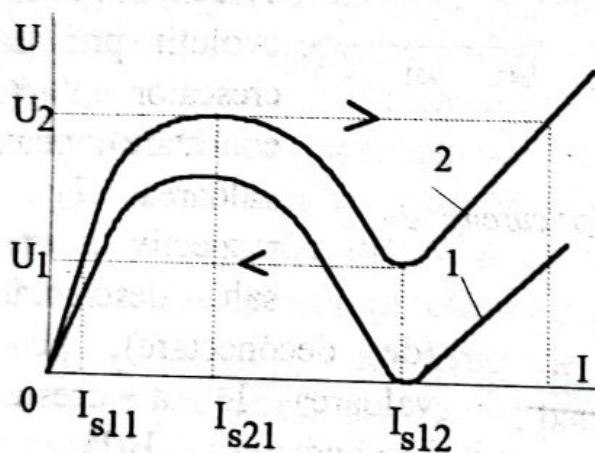
*Dispozitiv electromagnetic de comutație cu ferorezonanță*

acestui, permite adaptarea unor asemenea scheme la diferiți parametri nominali ai circuitului în care se dorește utilizarea comutației statice. Schema de principiu care permite realizarea

Alegerea convenabilă a amplificatorului magnetic și a punctului de funcționare al

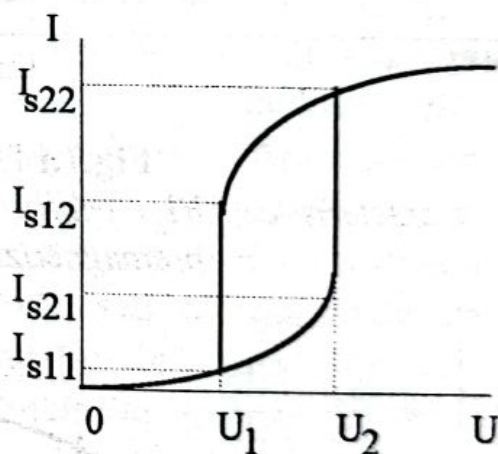


comutației statice cu ajutorul unor dispozitive electromagnetice ce folosesc fenomenul de ferorezonanță este dată în Fig.7.11 și cuprinde inductanța realizată cu semibobinele  $I_A-S_A$  respectiv  $I_B-S_B$ , ce pot fi conectate în serie sau în paralel, la care se adaugă capacitatea  $C$  și desigur impedența de sarcină  $Z_s$ , ce corespunde consumatorului. Caracteristica tensiune-curent a unui circuit ferorezonant serie ideal (conservativ), este dată în Fig.7.12, curba 1; în cazul circuitelor reale (cu pierderi), această caracteristică se modifică și devine de forma 2. Potrivit acestora, se constată că la modificarea lent crescătoare a tensiunii de alimentare  $U$ , a circuitului ferorezonant serie dat în Fig.7.11, apare fenomenul de creștere prin salt a curentului de sarcină, echivalent conectării consumatorului  $Z_s$ .



**Fig.7.12**

*Caracteristicile circuitului  
ferorezonant serie*



**Fig.7.13**

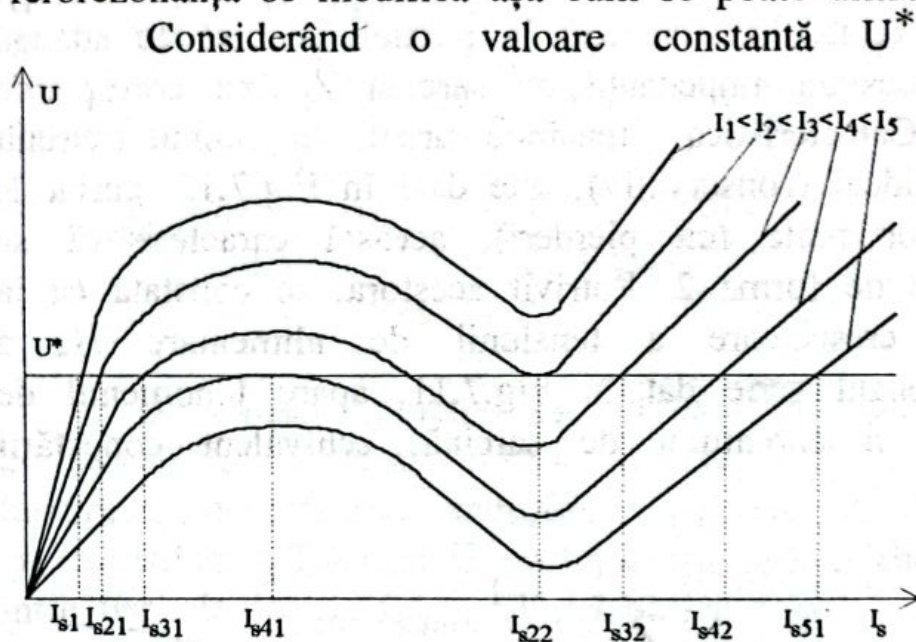
*Comanda prin tensiunea  
de alimentare*

De asemenea, la scăderea lentă a valorilor tensiunii de alimentare a circuitului, pentru valoarea  $U_1$ , se constată evoluția prin salt descrescător a curentului din circuit, echivalentă deconectării consumatorului  $Z_s$ . Comutația statică a unui asemenea dispozitiv electromagnetic cu ferorezonanță este comandată, în acest caz, prin valorile tensiunii de alimentare a circuitului  $U$ , dependența  $I_s(U)$  fiind prezentată în Fig.7.13.

Se remarcă faptul că pentru un asemenea dispozitiv electromagnetic cu ferorezonanță, comutația statică poate fi comandată și prin modificarea curentului de premagnetizare  $I_c$ .

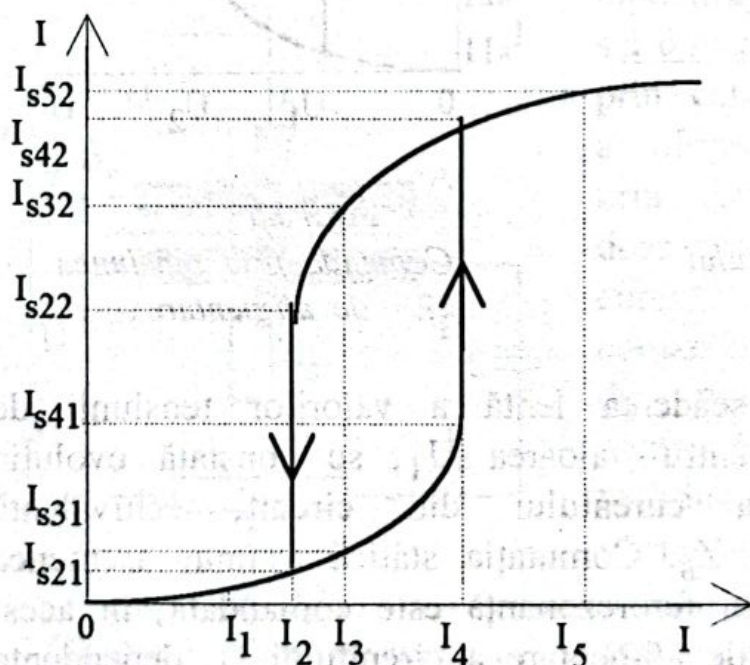


Pentru valori diferite ale curentului de premagnetizare, alura caracteristicii tensiune-curent a dispozitivului electromagnetic cu ferorezonanță se modifică așa cum se poate urmări în Fig.7.14.



**Fig.7.14**

*Caracteristica  $U(I_p)$  pentru diferiți curenți de premagnetizare*



**Fig.7.15**

*Comutația cu ajutorul curentului de premagnetizare*

Considerând o valoare constantă  $U^*$  a tensiunii de alimentare a circuitului dat în Fig.7.11, se constată că prin variația curentului de comandă se modifică practic curentul de sarcină  $I_s$ , evidențiindu-se evoluții prin salt crescător (de conectare), pentru valoarea  $I_4$  și respectiv prin salt descrescător

(de deconectare), pentru valoarea  $I_3$  a acestuia. Dependența  $I_s(I)$ , ce ilustrează comutația statică a dispozitivului ferorezonant, comandată prin curentul de premagnetizare  $I$ , este dată în Fig.7.15 și se obține folosind elementele indicate în Fig.7.14.

Comparând cele două procedee de comutație statică (Fig.7.11) prin indicatorii definiți cu relațiile (7.4) și (7.5), se poate afirma că se obțin



performanțe superioare atunci când se comandă comutația prin intermediul curentului de premagnetizare (Fig.7.15).

Trebuie menționat faptul că realizarea unor asemenea dispozitive electromagnetice cu comutație statică nu a făcut obiectul de interes al unor firme specializate în producerea de aparate de comutație ci a fost rezultatul activității specialiștilor care au impus astfel de ansambluri pentru anumite aplicații, remarcându-se mai ales robustețea lor și nu performanțele de regim dinamic.

## **7.2. Aparate de comutație de joasă tensiune**

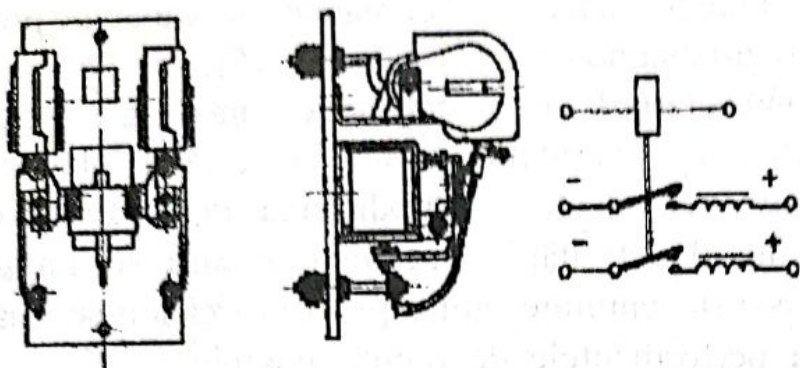
Instalațiile electrice de joasă tensiune se realizează, conform normelor, pentru tensiuni nominale de până la 1000 V în curent alternativ și respectiv 1200 V în curent continuu. Comutația tradițională în asemenea instalații, cu tensiunea nominală comparabilă cu tensiunea de arc, apelează de obicei la alungirea rapidă a coloanei de arc, asociată eventual cu accesorii specifice aparatelor electrice de joasă tensiune, cum ar fi de exemplu grilele metalice (deion sau cu efect de electrod), sau suflajul magnetic.

Tehnicile moderne de comutație în instalațiile de joasă tensiune validează pe de o parte principiile expuse în §7.1, care permit realizarea deconectării fără arc electric, dar pe de altă parte acceptă extinderea către domeniul tensiunilor joase a unor soluții performante, utilizate până acum doar la înaltă tensiune, cum ar fi comutația în vid.

### **7.2.1. Contactoare**

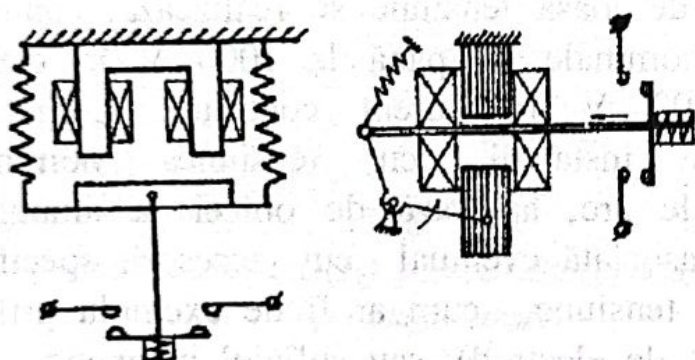
Contactoarele sunt definite ca aparate electrice de comutație, cu o singură poziție de repaos, acționate altfel decât manual, capabile să conecteze, să suporte și să deconecteze curenții normali din circuitul în care sunt montate, inclusiv suprasarcinile de serviciu. Ținând seama de sursa de energie care asigură deplasarea contactelor mobile, se evidențiază două tipuri clasice de contactoare și anume:



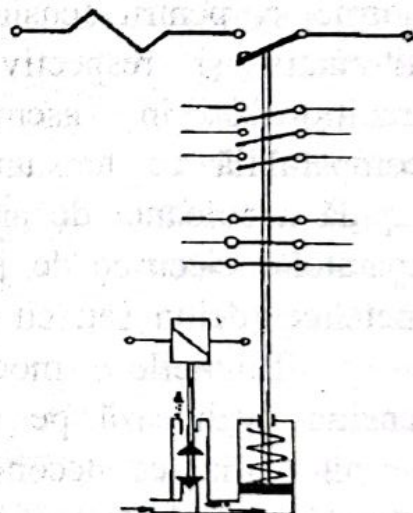


**Fig.7.16**  
*Contactor electromagnetic de c.c.*

-contactoarele electromagnetice, cele mai răspândite, la care sursa de energie este, așa cum sugerează chiar numele, un electromagnet de curent continuu sau de curent alternativ, Fig.7.16 și Fig.7.17;



**Fig.7.17**  
*Contactor electromagnetic de c.a*



**Fig.7.18**

-contactoarele electropneumatice, la care sursa de energie este un fluid sub presiune ce acționează asupra unui piston într-un cilindru convenabil calibrat, Fig.7.18.

Contactoarele electromagnetice de curent continuu (Tab.7.2) se realizează cu mișcare de rotație a armăturii mobile, în variantă monopolară sau bipolară, stingerea arcului electric de comutație fiind asigurată pe seama suflajului magnetic.

Se evidențiază și funcționalitatea de ruptor pentru care, la alimentarea circuitului electromagnetului de comandă, se obține deschiderea unui contact normal-închis în circuitul de forță.



Tab.7.2

Cod	U <sub>n</sub> [V]	I <sub>n</sub> [A]	Număr poli	Cont. auxiliare	Tip
3531	220	60	2	-	BC
3600	220	80	1	1ND, 2NI	RMC
3620	220	150	1	1ND, 1NI	RMC
5515	800	150	1	-	Contact. mecanic
5525	800	200	2	-	Contact. mecanic
3570	750	25	1	2ND, 2NI	MTU
3571	750	63	1	2ND, 2NI	MTU
3572	750	100	1	2ND, 2NI	MTU
3573	750	200	1	2ND, 2NI	MTU
9306	24	250	1(+1NI)	1ND, 1NI	EC
9307	24	250	1	-	EC
9308	80	160	1(+1NI)	1ND, 1NI	EC
9308A	80	160	1	1ND, 1NI	EC
9308B	80	160	1	-	EC
9309	24	250	1	1ND, 1NI	EC
8140	220	1	-	7NI	AB
8141	220	6	-	3NI	AB
9300	250	40	1	4	LDE
9310	250	40	1	3	LDE
9390	250	40	1	-	LDE
9315	250	40	2	3	LDE
9340	250	80	1	3	LDE
9342	250	80	2	3	LDE
9350	250	150	1	2	LDE
9360	250	150	2	2	LDE
9320	500	250	3	4	LDE
9321	500	250	3	4	LDE
9322	250	250	2	4	LDE
9330B	250	250	1	3	LDE
9330A	250	250	1	2	LDE
9370	175	1	-	4	LDE
9380	175	1	-	9	LDE
9220	110	1	-	9	LDE



Tab.7.2 (continuare)

9215	250	400	1	1	LDE
9217	250	400	2	1	LDE
9015	3000	16	1	5	LDE
9343	550	80	1	1	LMT
9344	550	80	2	1	LMT

Contactoarele electromagnetice de c.a. se realizează de obicei cu mișcare de translație a armăturii mobile, în variante tripolare sau, cu rezervare, în variante tetrapolare, pentru stingerea arcului electric de comutație folosindu-se principiul ruperii duble în camere de stingere cu grile metalice, Tab.7.3.

Tab.7.3

Tip	$I_n$ [A]	P [kW]	Contacte auxiliare	Cod
AR	40	18,5	0-4 NI + 4-0 ND	8109
AR	63	30	0-4 NI + 4-0 ND	8110
AR	100	45	0-4 NI + 4-0 ND	8111
AR	160	90	0-4 NI + 4-0 ND	8112
AR	250	132	2(4)NI + 2(4)ND	8113
AR	400	220	2(4)NI + 2(4)ND	8114
AR	630	315	2(4)NI + 2(4)ND	8116
RG	40	18,5	2 NI + 2 ND	8169
RG	63	30	2 NI + 2 ND	8170
RG	125	55	2 NI + 2 ND	8171
RG	200	110	2 NI + 2 ND	8172
RG	250	132	2(4) NI + 2(4) ND	8173
RG	400	220	2(4) NI + 2(4) ND	8174

Pentru a realiza o utilizare mai judicioasă a posibilităților aparatului de comutație în exploatare s-a apelat la tipizarea, prin norme internaționale, a domeniilor de utilizare posibile, adoptându-se în consecință tipodimensiuni specializate, în concordanță cu aceste domenii de utilizare. Astfel, pentru contactoarele electromagnetice, normele C.E.I. 479-4-1 respectiv STAS 4479/74, prevăd categoriile de utilizare a contactoarelor electromagnetice prezentate în Tab.7.4.



Tab.7.4

Felul curentului	Categorie utilizare (Tip contactor)	Utilizări caracteristice
alternativ	AC-1	Sarcini neinductive sau slab inductive
alternativ	AC-2	Pornire, frânare, întrerupere motor asincron cu rotor bobinat
alternativ	AC-3	Pornire, oprire motoare asincrone cu rotor în scurtcircuit
alternativ	AC-4	Pornire, oprire, inversare sens, mers în șocuri pentru motoare asincrone cu rotor în scurtcircuit
alternativ	AC-5a	Comutarea lămpilor cu vapori de mercur
alternativ	AC-5b	Comutarea lămpilor cu incandescență
alternativ	AC-6a	Comutarea transformatoarelor
alternativ	AC-6b	Comutarea bateriilor de condensatoare
alternativ	AC-7a	Comutarea sarcinilor slab inductive pentru aplicații domestice și similare
alternativ	AC-7b	Alimentarea motoarelor electrice pentru aplicații domestice și similare
alternativ	AC-8a	Comanda pentru compresoare etanșe la instalații frigorifice
alternativ	AC-8b	Alimentarea cu reanclanșare automată a declanșatoarelor de suprasarcină
continuu	DC-1	Sarcini neinductive sau slab inductive
continuu	DC-2	Pornire, oprire pentru motoare derivație
continuu	DC-3	Pornire, oprire, inversare de sens pentru motoare derivație, comanda prin impulsuri a motoarelor de curent continuu
continuu	DC-4	Pornire, oprire pentru motoare serie
continuu	DC-5	Comanda prin impulsuri a motoarelor cu excitație serie, cu pornire, oprire, inversare sens
continuu	DC-6	Comutația lămpilor cu incandescență

Se menționează că aceste categorii de utilizare se completează continuu cu noi situații de exploatare, ce impun în consecință realizări specializate de contactoare electromagnetice: în acest sens de exemplu, pentru țările în care dubla tarifare a energiei



electrice se realizează prin telecomandă, s-au impus firesc contactoare specializate pentru asemenea instalații.

Trebuie menționate de asemenea contactoarele electromagnetice de comandă, caracterizate prin valorile reduse ale curentului nominal, sub 10 A de obicei, care prin combinațiile de conatcte normal deschise-normal închise sunt adaptate la utilizarea în schemele de comandă a instalațiilor electrice.

Analizând parametrii funcționali indicați în Tab.7.2. și Tab.7.3. se pot remarca valorile mari, specifice contactoarelor, pentru durata de viață, circa  $10^6$  manevre, ca și pentru frecvența de conectare, până la 3000 cicluri/oră, care le recomandă pentru utilizarea în instalații industriale automatizate cu funcționare ciclică. Pentru a extinde încă gama utilizărilor, construcțiile actuale prevăd posibilități de atașare a unor subansambluri tipizate interschimbabile, ce permit satisfacerea mai deplină a cerințelor impuse de buna funcționare a schemei în care sunt incluse, se pot astfel adăuga contacte auxiliare suplimentare sau contacte auxiliare temporizate.

Contactoarele electropneumatice (Fig.7.18) s-au impus pentru utilizarea în tracțiunea electrică, cu variante monopolare de diferite tipodimensiuni. Detalii cu privire la performanțele acestor aparate de comutație sunt prezentate în Tab.7.5.

**Tab.7.5**

Cod	$U_n$ [V]	$I_n$ [A]	Număr poli	Cont.aux. ND-NI	Utilizare
9130	1000 cc	250	1	-	LE
9132	1000 cc	250	1	2 2	LDE
9180	1500 ca	500	1	3 3	LE
9160	1000cc+ca	1600	1	3 3	LE, metrou
9161	1200 cc	1600	1	3 3	autobasculantă
9400A	1000 cc	820	1	3 2	LDE
9400B	1000 cc	820	1	2 3	LDE

Utilizarea rațională a contactoarelor în schemele de distribuție de joasă tensiune propune fie completarea acestora cu elemente de protecție, rezultând contactoarele cu relee, fie asocierea acestora cu întrerupătoare automate de joasă tensiune (ce conțin



elementele de protecție necesare) obținându-se astfel ansambluri specializate funcțional, pentru alimentarea motoarelor respectiv a liniilor, livrate ca atare de firmele producătoare de aparate electrice de comutație.

Tehnicile moderne de comutație propun în domeniul contactoarelor în primul rând completarea construcțiilor clasice cu accesorii de sincronizare sau de preluare a conducției, asigurându-se comutația fără arc electric. În al doilea rând s-au impus contactoarele statice (fără contacte); care asigură comutația fără arc electric în circuite de joasă tensiune. Remarcabilă este și extinderea construcțiilor de aparate de comutație cu contacte în vid de tip contactor, pentru domeniul tensiunilor joase.

### 7.2.2. Contactoare cu comutație în vid

Principiul vidului avansat în incinta camerelor se stingere ale aparatelor electrice de comutație de curent alternativ, prezintă două particularități importante și anume:

- rigiditatea dielectrică foarte mare, conform legii lui Paschen, așa cum evidențiază și curbele prezentate în Fig.4.1, indicând dependența rigidității dielectrice în funcție de distanța dintre contacte, (pentru aer la presiunea de 1 bar, curba 1; pentru SF<sub>6</sub> la aceeași presiune, curba 2, respectiv pentru vid avansat, curba 3), dimensiunile de gabarit ale capsulelor vidate ce constituie camerele de stingere vor fi foarte reduse, ceea ce împreună cu masa redusă a ansamblului, se constituie în avantaje ale acestor contactoare;

- dezvoltarea arcului electric de comutație în incinta vidată cu vapori metalici proveniți din piesele de contact, construcția acestora (ca formă geometrică și material) fiind foarte importantă pentru realizarea unor aparate de comutație performante; cum tehnica vidului permite în prezent realizarea unor incinte vidate care-și conservă calitățile pentru o durată de 20...30 de ani, se consideră ca reușite realizările ce permit exploatarea deplină a posibilităților acestora, rezultând aparate de comutație practic fără întreținere.



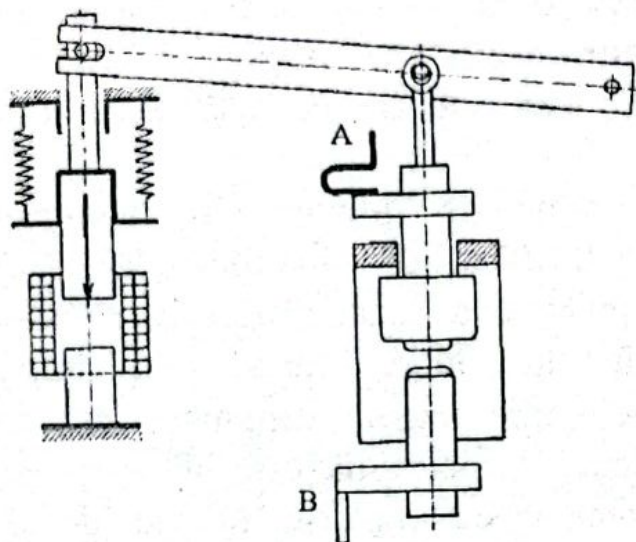


Fig.7.19

*Contactor cu vid*

Arcul electric format la separarea contactelor unor asemenea aparate electrice de comutație este o plasmă ce se dezvoltă în prezența vaporilor metalici, în condiții de vid avansat în interiorul camerei de stingere. Difuzia vaporilor metalici și condensarea acestora, în contact cu pereții reci ai unor ecrane metalice convenabil amplasate, asigură refacerea rapidă a vidului, ce are ca efect tendința de tăiere

a curentului de arc, așa cum se arată în capitolul 4.

Construcția îngrijită a contactelor electrice pentru aparatele cu comutație în vid avansat trebuie să asigure, în prezența arcului electric, o cantitate suficientă de vapori metalici, care să permită diminuarea valorilor curentului de tăiere, ca un indicator de calitate pentru asemenea ansambluri.

Calitățile contactoarelor cu comutație în vid avansat, subliniate de toate firmele producătoare, le impun pentru utilizări specializate cum ar fi:

- alimentarea motoarelor electrice;
- sisteme de comandă a acționărilor electrice, pe seama valorilor ridicate ale curentului de rupere;
- alimentarea instalațiilor electrice în medii explozive sau agresive din punct de vedere chimic, indiferent de altitudinea la care se găsesc acestea, deoarece arcul electric ce se manifestă în incinta vidată nu este influențat de mediul ambiant;
- alimentarea sistemelor automate, unde durata mare de viață și frecvența de conectare ridicată pot fi puse în valoare.

În principiu, un contactor cu comutație în vid avansat cuprinde, așa cum se poate urmări în Fig.7.19, următoarele componente principale:

- capsulele vidate, în care sunt amplasate contactele electrice (în număr de 1, 2 sau 3 module), cu burdufurile metalice de



etanșare în zona contactelor mobile și bornele de racord A respectiv B;

- electromagnetul de acționare (de obicei de curent continuu, cu resort antagonist și rezistență economizoare), care excitat asigură deplasarea dorită (de ordinul milimetrilor) a contactelor mobile; de menționat că există firme care folosesc un singur electromagnet pentru toți cei trei poli ai aparatului, dar se remarcă și variante ce apelează la electromagneți de acționare pentru fiecare dintre modulele monofazate ale ansamblului;

- ansamblul de transmitere a mișcării de la electromagnetul de acționare la contactele mobile, realizat cu pârghii mecanice sau cu cablu flexibil;

- accesorii de susținere, ghidare și izolație electrică, contacte auxiliare etc.

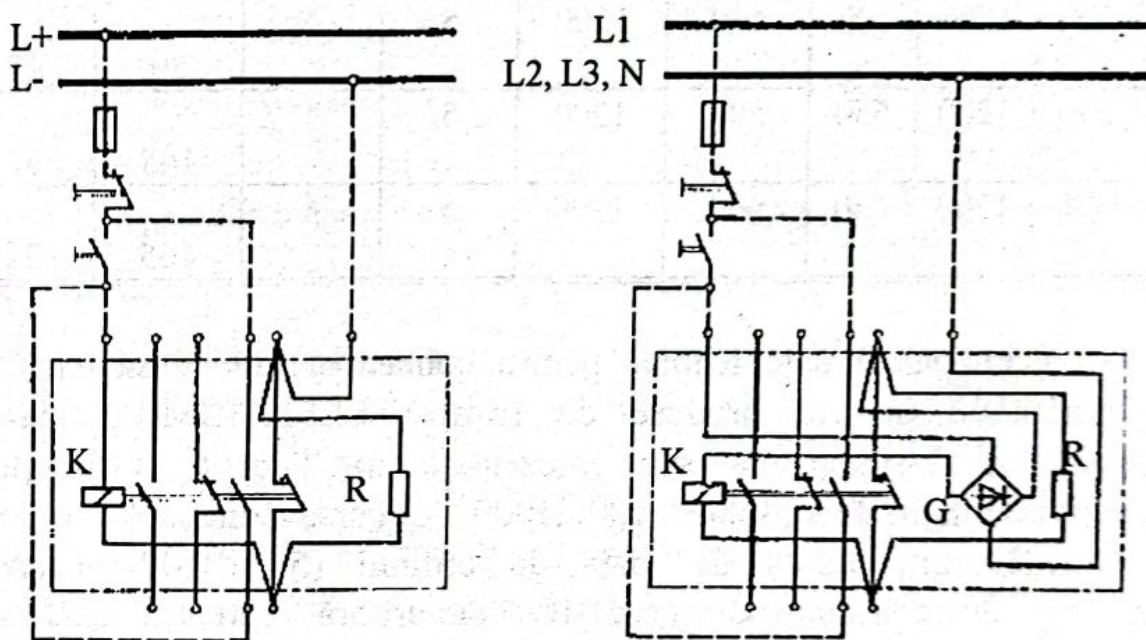


Fig.7.20

*Scheme de comandă a electromagneților de c.c.*

Schemele de comandă a electromagnetului de curent continuu folosit pentru acționarea contactoarelor cu comutație în vid, pot fi alimentate de la surse de tensiune continuă sau alternativă (cu punte redresoare), incluzând în circuit rezistența economizoare, așa cum se poate vedea în Fig.7.20.



Tab.7.6

Tipul	$U_n$ [V]	$I_n$ [A]	P [kW] (AC3)	$f_c$ [cicl/h]	Uzura mec. [mil.]	Uzura electr. [mil.] (AC3)	$t_i$ [ms] cc ca	$t_d$ [ms] cc ca
EVS160	1000	160	140	3000	5	5-7	- 30	20 30
EVS250	1000	250	220	3000	5	5	- 30	20 30
EVS400	1000	400	350	3000	5	5	- 30	15 22
EVS630	1000	630	560	3000	5	3	- 30	15 22
SV 400	1200	400	350	1200	5	4	- 80	- 18
SV 500	1200	500	400	1200	5	4	- 80	- 18
SV 550	1200	550	500	1200	5	4	- 165	- 32
SV 630	1200	630	600	1200	5	4	- 165	- 32

Principalele date tehnice pentru contactoare de joasă tensiune cu comutație în vid produse de firmele ELEKTRIM-Polonia și respectiv EAW-Germania sunt prezentate în Tab.7.6, evidențiind curenți nominali de ordinul 100...1000 A, cursa contactelor mobile de 1,2...2 mm, durata de viață de ordinul  $(5...10)10^6$  manevre, frecvența de conectare de  $(1...3)10^3$  cicluri/oră, curentul tăiat sub 1,5 A, regimul de funcționare de tip AC-1, AC-3 sau AC-4 etc. justificând astfel extinderea continuă a utilizării unor asemenea aparate electrice de comutație.

### 7.2.3. Contactoare cu comutație sincronizată

Așa cum s-a arătat anterior, asemenea aparate electrice de comutație se realizează folosind un contactor, prin completarea



acestui cu accesorii care asigură realizarea comutației fără arc electric.

Contactoarele sincronizate apelează la un dispozitiv de sincronizare, care sesizează trecerile naturale prin zero ale curentului alternativ din circuit. Deoarece împrăștierea valorilor timpului de răspuns, de la momentul comenzii de deconectare până la momentul desprinderii pieselor de contact, trebuie să fie nesemnificativă în raport cu semiperioada tensiunii alternative a sursei de alimentare a circuitului (0,01 s). Sunt preferate contactoarele cu comutație în vid, caracterizate prin valori reduse ale cursei contactelor mobile, electromagnetul de acționare de curent continuu fiind un argument pentru această opțiune.

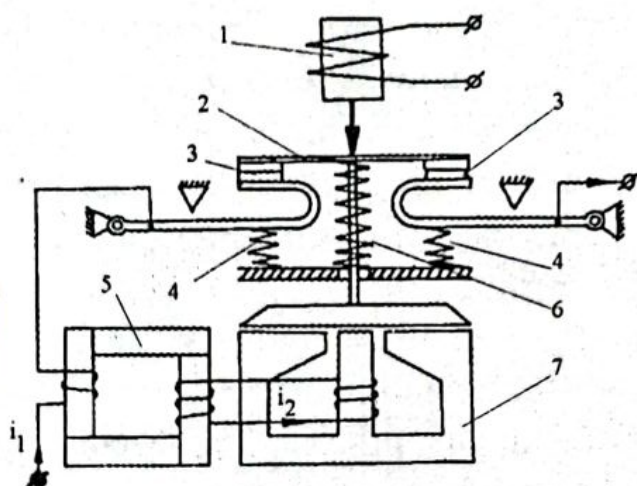


Fig.7.21

*Contactor sincronizat*

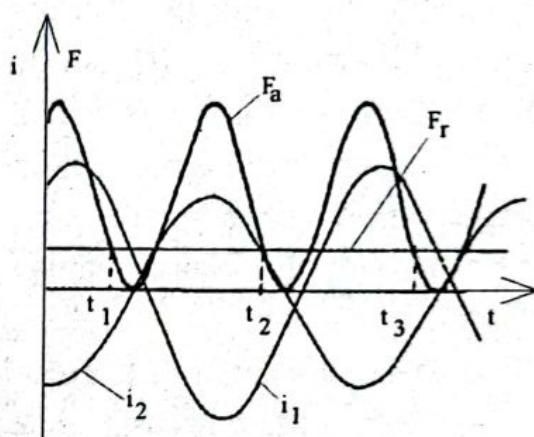


Fig.7.22

*Evoluția parametrilor în timp*

Clasificarea contactoarelor sincronizate ține seama de obicei de tipul constructiv de realizare a dispozitivului de sincronizare. Schema de principiu a unui asemenea contactor cu dispozitiv electromagnetic de sincronizare este dată în Fig.7.21 și evidențiază următoarele elemente componente:

- contactorul electromagnetic cu electromagnetul de acționare 1, puntea contactelor mobile 2, contactele fixe 3, resorturile precomprimate 4 și resortul de deschidere 6, care se tensionează în timpul manevrei de conectare;

- ansamblul de sincronizare, care sesizează trecerile naturale prin zero ale curentului din circuit, ce folosește transformatorul de adaptare 5 și electromagnetul de sincronizare 7.



Funcționarea unui asemenea contactor cu sincronizare electromagnetică a deconectării, Fig.7.22, decurge astfel: la întreruperea alimentării electromagnetului de acționare 1, traversa contactelor mobile este menținută în poziția acționat datorită electromagnetului de reținere 7, cu bobina parcursă de curentul  $i_2(t)$ , furnizat prin intermediul transformatorului de adaptare 5, a cărui înfășurare primară este în serie cu circuitul principal de curent  $i_1(t)$ . Dependența în funcție de timp a forței de atracție exercitate de electromagnetul 7 asupra armăturii sale mobile, cu treceri prin zero simultane cu cele ale curentului  $i_2(t)$ , pune în evidență posibilitatea deschiderii contactelor 2, 3 ale aparatului în unul din momentele  $t_1, t_2, t_3, \dots$ , în care forța electromagnetică de menținere,  $F_a$ , este egală cu forța resorturilor antagoniste,  $F_r$ . În momentul  $t_3$  de exemplu, anterior trecerii naturale prin zero a curentului din circuitul principal,  $i_1(t)$ , se începe mișcarea traversei 2 a contactelor mobile. Pentru a se obține deconectarea sincronizată este desigur necesar ca deschiderea contactelor aparatului să intervină exact în momentul trecerii prin zero a curentului din circuitul principal, ajustarea bunei funcționări asigurându-se fie pe seama inerției mecanice mari a contactelor fixe 3, ce au masa suficient de mare, fie prin modificarea întrefierului transformatorului de adaptare 5.

De remarcat faptul că dacă timpul propriu de răspuns al dispozitivului de acționare al contactorului este mare se poate amâna deconectarea sincronizată la o trecere ulterioară prin zero a curentului din circuitul principal.

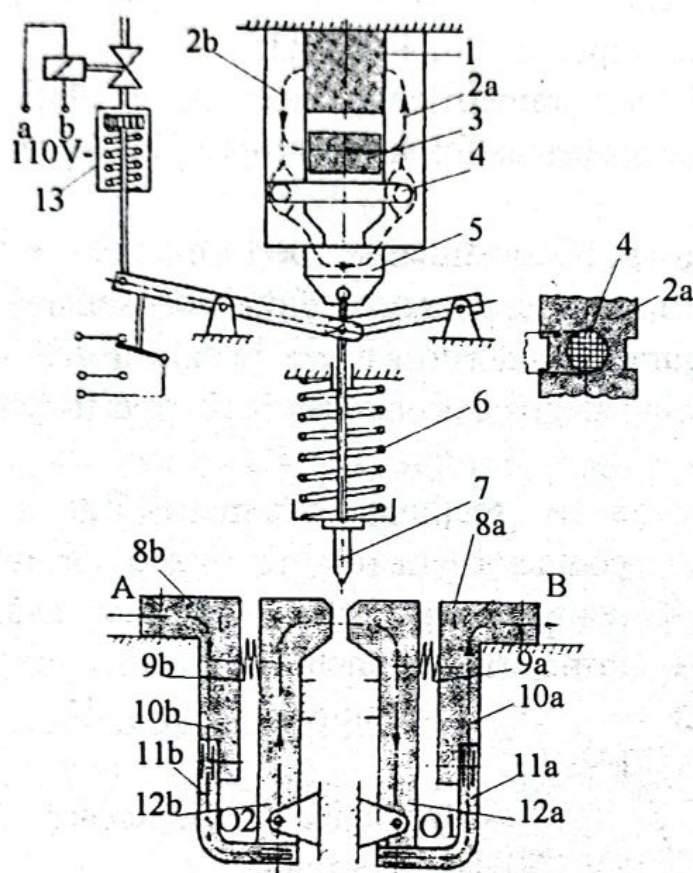
Pe lângă contactoarele sincronizate prezentate, în stațiile de încercări de mare putere, atât la joasă tensiune cât și la înaltă tensiune, se utilizează contactoare sincrone, capabile să asigure conectarea cu fază controlată a unor circuite în scopul reproducerii curenților de scurtcircuit din exploatare [15]. Contactorul sincron, care are numai capacitate de conectare, este utilizat la determinarea caracteristicii de limitare a siguranțelor fuzibile pentru curent simetric și asimetric, la verificarea capacității de deconectare a întrerupătoarelor și în vederea determinării stabilității dinamice a acestora.

Principalele părți componente ale unui contactor sincron de joasă tensiune (100 kA<sub>ef</sub>, 1100 V, dispersie la conectare sub 5°



electrice ( $10^{-4}$ s), timp de acționare 8 ms), sunt prezentate în Fig.7.23, remarcându-se:

-electromagnetul de menținere cu magnetul permanent 1, coloanele 2a și 2b, ce prezintă istmuri magnetice de secțiune transversală scăzută care favorizează saturația, șuntul magnetic 3 și



**Fig.7.23**

*Contactor sincron de j.t.*

bobina de excitație 4, amplasată în zona istmurilor dispuse pe coloanele 2a respectiv 2b, armătura mobilă a electromagnetului, 5;

-contactul mobil 7, asupra căruia acționează resortul 6, comprimat anterior, cursa de conectare a acestuia fiind posibilă atunci când, datorită unui impuls de curent prin bobina de excitație 4, armătura mobilă a electromagnetului, 5, este eliberată; deschiderea (fără sarcină) a circuitului și rearmarea resortului 6 este asigurată de dispozitivul electropneumatic 13;

menținerea armăturii mobile 5 în poziția inițială, indicată în figură, se datorează forței portante rezultate corespunzător inducției remanente a magnetului permanent;

-calea de curent a aparatului, cu un contur specific pentru aparatele de curenți nominali mari, ce are ca scop favorizarea interacțiunilor electrodinamice care se manifestă ca forțe de apăsare pe contact, cuprinde bornele de racord A și B, piesele de contact 12a respectiv 12b între care legătura electrică se realizează prin cuțitul mobil de contact 7, conductoarele flexibile 11a și 11b, piesele fixe de contact 10a respectiv 10b; resoartele 9a și 9b



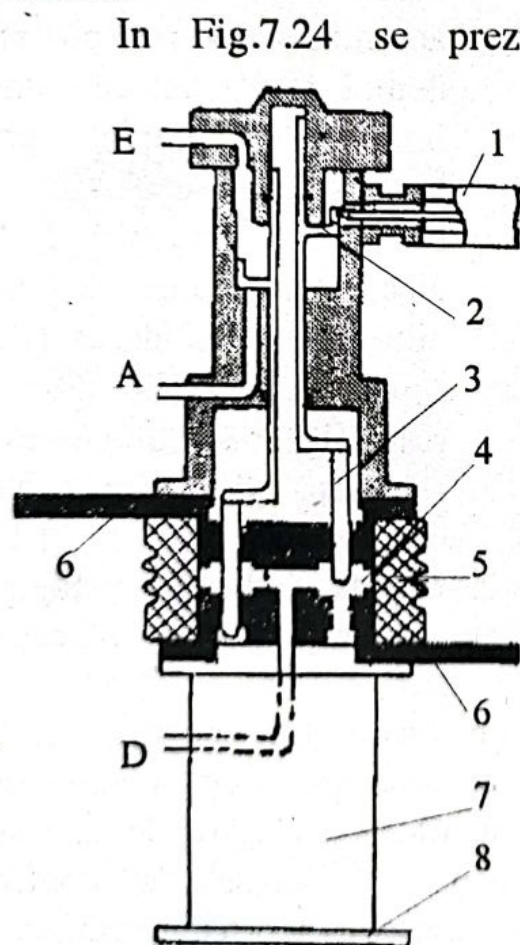
asigură forța necesară de apăsare pe contact pentru valori reduse ale curentului, sub 10 kA.

Principalele probleme care se pun pentru realizarea unor contactoare sincrone performante sunt:

- stabilirea riguroasă a punctului de funcționare pentru magnetul permanent astfel încât să se obțină saturația magnetică a istmurilor de pe coloanele 2a respectiv 2b, Fig.7.23;

- alegerea convenabilă a parametrilor bobinei de excitație 4 și a soluției de alimentare a acesteia astfel încât timpul de acționare să fie cât mai redus;

- adoptarea unei variante constructive performante pentru contactele contactorului sincron, evitându-se tendința de sudare în poziția închis atât prin asigurarea valorilor necesare ale forței de apăsare pe contact cât și prin alegerea convenabilă a materialelor acestora.



**Fig.7.24**  
*Contactor sincron de m.t.*

În Fig.7.24 se prezintă o secțiune schematică a unui contactor sincron de medie tensiune construit de firma A.E.G. și având următorii parametri nominali:

- tensiunea nominală: 24 kV;
- tensiunea de încercare: 55 kV, 50 Hz, 1 minut;
- stabilitatea electrodinamică: 400 kA<sub>max</sub>;
- stabilitatea termică: 100 kA, 3 s;
- timp de acționare: 5 ms;
- dispersia maximă:  $10^{-4}$  s;
- sursa de energie pentru acționare: aer comprimat la 2 MPa.

Principalele părți componente ale acestui contactor sunt: dispozitivul de zăvorâre în starea deschis 1, pistonul mobil 2, solidar cu contactele mobile de scurtcircuitare de tip bară 3,



contactele fixe 4, izolația electrică a camerei de conectare 5, bornele de racord 6, izolatorul suport 7, placa de fixare 8. Funcționarea ansamblului la conectare are la bază deplasarea pistonului și a contactelor mobile către contactele fixe sub acțiunea aerului comprimat care intră prin racordul E și este evacuat prin racordul A.

#### 7.2.4. Contactoare cu comutație hibridă

Schema de principiu pentru un contactor monofazat cu comutație hibridă la deconectare este dată în Fig.7.25. Comanda trecerii în conducție a tiristoarelor  $T_1$  sau  $T_2$ , în funcție de polaritatea momentană a sursei alternative de alimentare a circuitului  $u(t)$ , se realizează cu ajutorul transformatorului de curent TC cu două înfășurări secundare,  $N_1$  și  $N_2$ , al cărui primar este chiar calea de curent a aparatului de comutație.

De remarcat că prin apăsarea butonului de oprire O se întrerupe alimentarea bobinei electromagnetului de acționare EMA

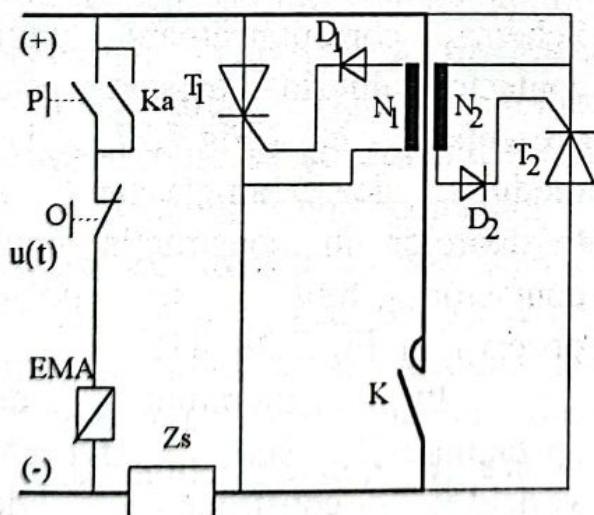


Fig.7.25

Contactor cu comutație hibridă

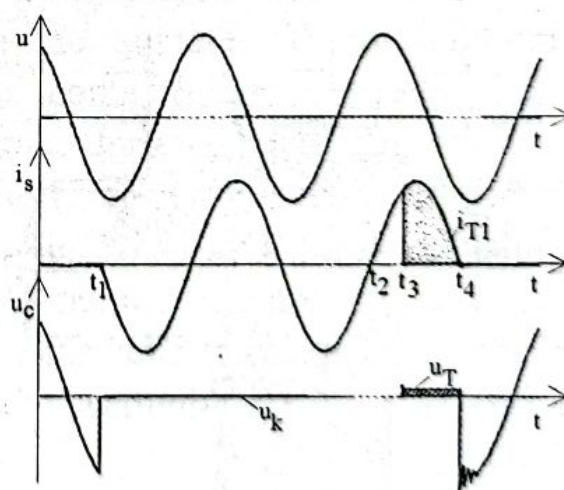
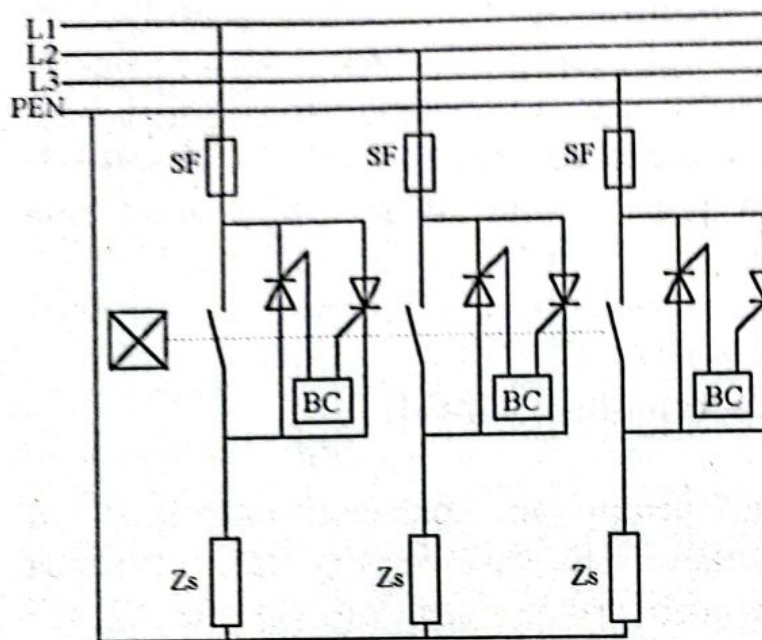


Fig.7.26

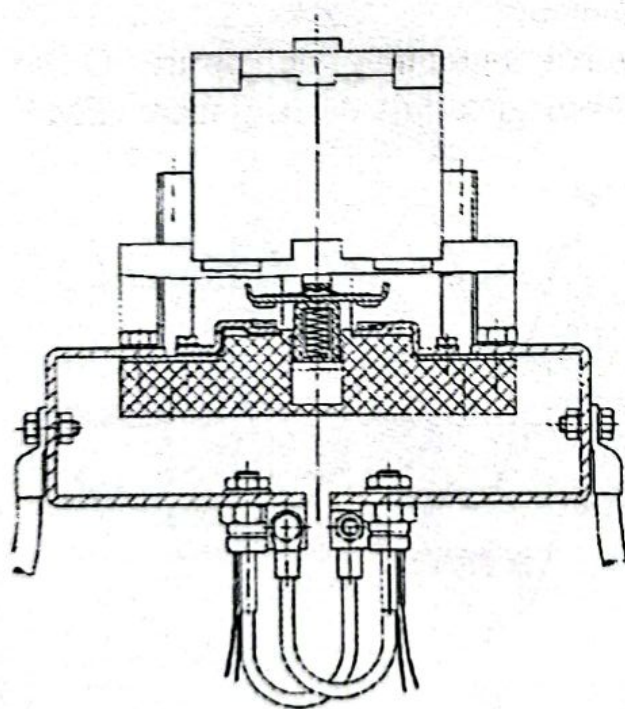
Variația în timp a semnalelor

astfel încât, după deschiderea contactului principal K și preluarea conducției prin unul dintre tiristoare ( $T_1$  în cazul indicat în Fig.7.25), înfășurarea primară a transformatorului de curent TC nu





**Fig.7.27**  
*Contactor hibrid trifazat*



**Fig.7.28**

*Modul de montare a tiristoarelor*  
astfel soluții pentru a realiza comutația hibridă pentru aparatele de comutație cu contacte mobile de rotație și rupere simplă

mai este parcurs de curent și, după o semiperioadă, intervine întreruperea alimentării consumatorului  $Z_s$ .

Evoluția în timp a mărimilor caracteristice (tensiunea sursei, curentul din circuitul de sarcină, curentul care parcurge tiristorul  $T_1$ , tensiunea la bornele contactului care se deschide) sunt indicate în Fig.7.26, momentul  $t_1$  corespunzând închiderii contactelor

aparaturii iar intervalul de timp  $t_3-t_4$  reprezentând durata conducției tiristorului.

Schema corespunzătoare unui contactor hibrid trifazat este prezentată în Fig.7.27, iar modul de amplasare a tiristoarelor în construcția unui contactor hibrid se poate observa în Fig.7.28, [10].

În literatura de specialitate sunt indicate variante constructive de contactoare cu comutație hibridă ce țin seama de tipul de contactor electromagnetic ce stă la baza ansamblului. Se remarcă



respectiv pentru aparate de comutație cu contacte mobile cu mișcare de translație și rupere dublă.

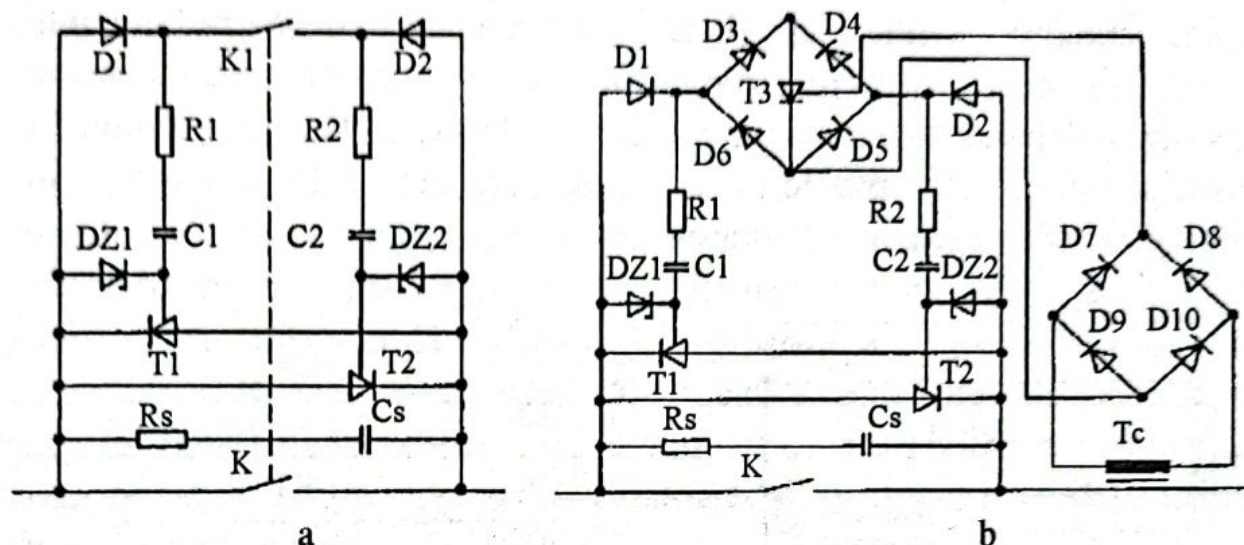


Fig.7.29

*Contactor hibrid cu mișcare de rotație: a-cu contacte auxiliare; b-fără contacte auxiliare.*

În Fig.7.29 se prezintă posibilități de realizare a comutației hibride pentru cazul contactelor mobile cu mișcare de rotație, ce folosesc sau nu un contact auxiliar al aparatului pentru a comanda trecerea în conducție a tiristoarelor de șuntare. Trebuie subliniat faptul că atunci când se folosesc contacte auxiliare, Fig.7.29a, acestea trebuie să se deschidă totdeauna după contactele principale.

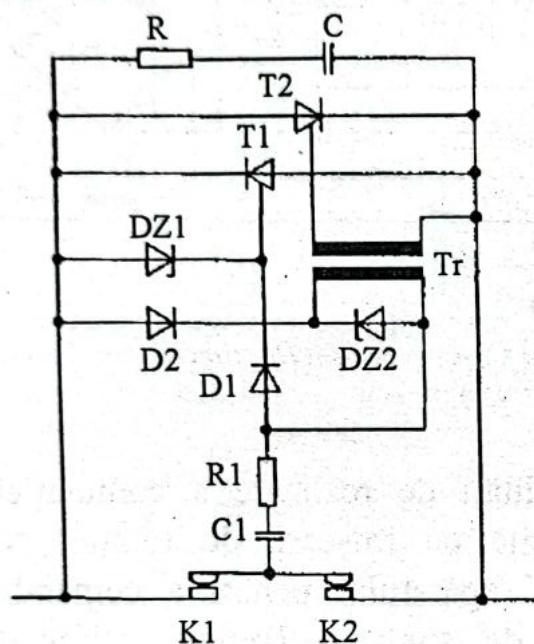
Schema unui contactor hibrid ale cărui contacte au o mișcare de translație este dată în Fig.7.30, indicându-se alăturat, Fig.7.31, succesiunea de secvențe ce trebuie impusă cu privire la comutația celor două secțiuni ale contactelor principale, secțiunea K<sub>2</sub> trebuind să se închidă înaintea secțiunii K<sub>1</sub> dar și să se deschidă totdeauna după aceasta.

Funcționarea tiristoarelor care intervin în schemele de contactoare de curent alternativ cu comutație hibridă evidențiază următoarele situații posibile:

-regimul deconectat al aparatului cu comutație hibridă, când tiristoarele de șuntare trebuie să suporte tensiunea alternativă a sursei de alimentare și supratensiunile datorate unor cauze exterioare;

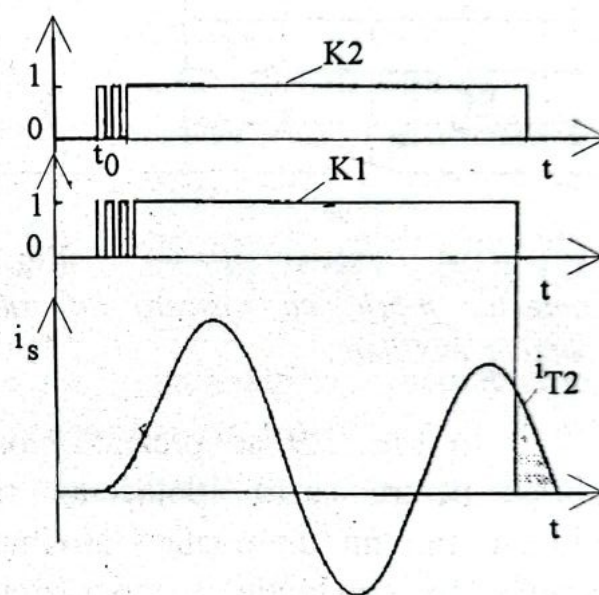


-regimul conectat al contactorului hibrid, când pe tiristoare se regăsește doar căderea de tensiune pe contactele aparatului, sub 100 mV, astfel încât regimul termic al acestor tiristoare este definit de temperatura ambiantă, permițând renunțarea la radiatoarele aferente și deci reducerea dimensiunilor de gabarit, ceea ce se constituie într-un avantaj comutației hibride față de comutația statică; principalele pierderi în acest regim sunt localizate în circuitul de comandă al tiristoarelor.



**Fig.7.30**

*Contactor hibrid cu mișcare de translație*



**Fig.7.31**

*Secvența de deschidere*

-regimul de comutație, când unul dintre tiristoarele de șuntare este parcurs de un impuls de curent având o durată de maximum o semiperioadă.

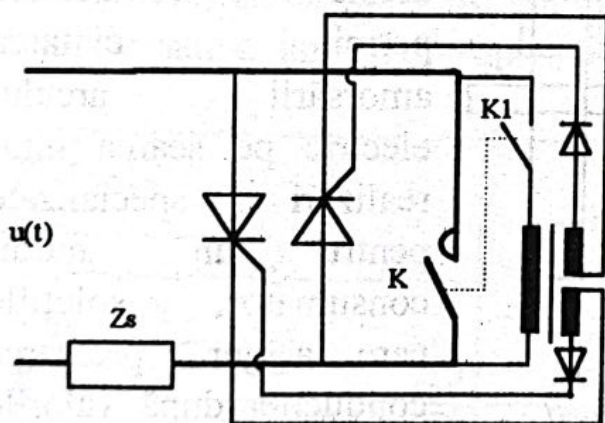
De remarcat faptul că în funcționarea aparatelor electrice cu comutație hibridă tiristoarele pot fi utilizate la curenți de valori mai mari decât în cazul comutației statice. Informațiile din literatura de specialitate confirmă deplin această constatare, indicând creșteri ale temperaturii medii a tiristoarelor la funcționarea ciclică de circa 20...30°C și căderi ale acestora, la funcționarea contactoarelor cu comutație hibridă un număr de 5...10 milioane de manevre, doar în proporție de (6...12)%, pentru valori ale curentului din circuit de (8...10) ori mai mari decât curentul nominal al tiristoarelor utilizate, [20].



Analiza informațiilor menționate în literatura de specialitate, [3], [10], [20], indică faptul că importanta problemă a comenzii semiconductoarelor de tip tiristor sau triac ce asigură preluarea conducerii în cazul comutației hibride nu are o soluție unică, unanim acceptată.

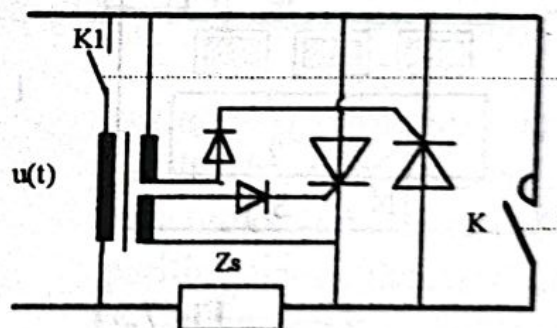
Există astfel scheme care propun comanda trecerii în conducție a semiconductoarelor de șuntare prin controlarea valorilor curentului din circuit, așa cum se poate observa în Fig.7.25, folosindu-se în acest scop un transformator de curent TC. Amplasarea convenabilă a înfășurării primare a transformatorului de curent TC, de fapt chiar calea de curent a aparatului de comutație, asigură funcționarea corectă a ansamblului, cu preluarea conducerii doar pe unul dintre cele două tiristoare și pentru o durată maximă de o semiperioadă.

Realizările ilustrate prin schema dată în Fig.7.29a asigură trecerea în conducție a tiristoarelor de șuntare pe seama tensiunii de la bornele contactului principal.



**Fig.7.32**

*Contactor hibrid comandat cu un transformator ridicător de tensiune*



**Fig.7.33**

*Contactor hibrid comandat după tensiunea de alimentare*

Efecte favorabile pentru obținerea comutației fără arc electric rezultă prin utilizarea unui transformator ridicător de tensiune, al cărui primar este alimentat cu tensiunea de la bornele contactului principal, astfel încât înfășurarea secundară asigură tensiunea de comandă a tiristoarelor de șuntare chiar pentru valori ale tensiunii primare inferioare tensiunii minime de arc. O asemenea



variantă de contactor cu comutație hibridă este prezentată în Fig.7.32.

Destul de răspândite dar mai puțin eficiente sunt contactoarele hibride la care comanda trecerii în conducție a tiristoarelor de șuntare se realizează după tensiunea de alimentare a circuitului, așa cum se poate observa în schema din Fig.7.33.

O soluție frecvent utilizată pentru comanda trecerii în conducție a tiristoarelor de șuntare din construcția contactoarelor hibride apelează la contacte comandate magnetic (reed). Circuitul magnetic 1, Fig.7.34, în care intervine și magnetul permanent 3, asigură închiderea contactelor reed 4, doar atâta timp cât curentul care parcurge căile de curent ale aparatului de comutație 2 realizează saturația magnetică a porțiunii 7 a miezului. Pentru a diminua componenta variabilă a fluxului magnetic, mai ales la utilizarea monofazăată, se folosesc înfășurările în scurtcircuit 5.

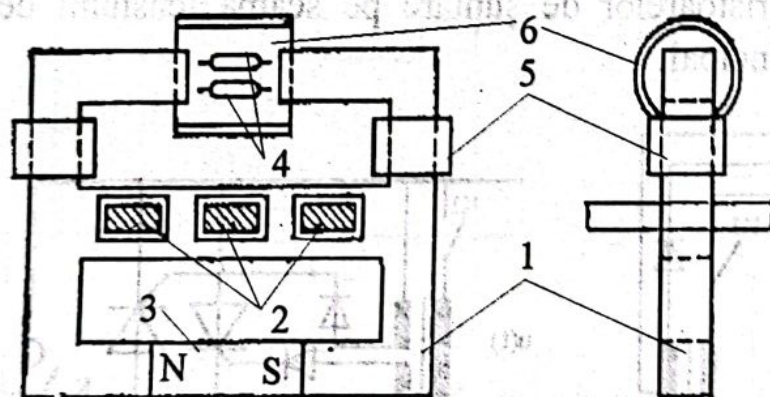


Fig.7.34

*Dispozitiv de comandă cu relee reed*

Trebuie în final menționat faptul că aceste contactoare permit evitarea amorsării arcului electric pe seama unor realizări specializate pentru un anumit consumator, soluțiile care asigură preluarea conducției după valorile curentului din circuit

anunțând o adaptare mai comodă la natura sarcinii din circuit. În plus utilizarea practică a unor asemenea contactoare cu comutație hibridă impune și rezolvarea problemelor legate de protecția tiristoarelor contra supratensiunilor de comutație respectiv împotriva efectelor curenților de scurtcircuit.

Protecția contra supratensiunilor se realizează cu mijloace tipice (circuite RC conectate în paralel cu tiristoarele de șuntare, descărcătoare cu oxizi metalici etc).

Protecția contactoarelor hibride la acțiunea curenților de scurtcircuit urmărește evitarea distrugerii contactelor contra arcului ca



urmare a vibrațiilor cauzate de forțele electrodinamice, mari în regim de defect, ce conduc la amorsări și stingeri repetate ale arcului electric între piesele de contact. În acest scop se poate opta pentru una din soluțiile enumerate mai jos:

- utilizarea unor tiristoare cu curenți nominal superiori curentului nominal al contactorului, capabile să suporte timp de 10 ms curentul maxim din circuit;

- utilizarea în circuitul tiristoarelor de șuntare a unor rezistențe de limitare, evitându-se înrăutățirea comportării ansamblului la comutația normală, la  $I_n$ ;

- întreruperea comenzii de trecere în conducție a tiristoarelor de șuntare atunci când contactele principale ale aparatului sunt închise, pentru a proteja tiristoarele, acceptând uzura excesivă a contactelor datorată vibrațiilor;

- utilizarea unor contacte de construcție specială, autocompensate la acțiunea forțelor electrodinamice în regim de defect;

- utilizarea, în serie cu tiristoarele de șuntare a unor siguranțe fuzibile sau a unor întrerupătoare ultrarapide cu limitare de curenți.

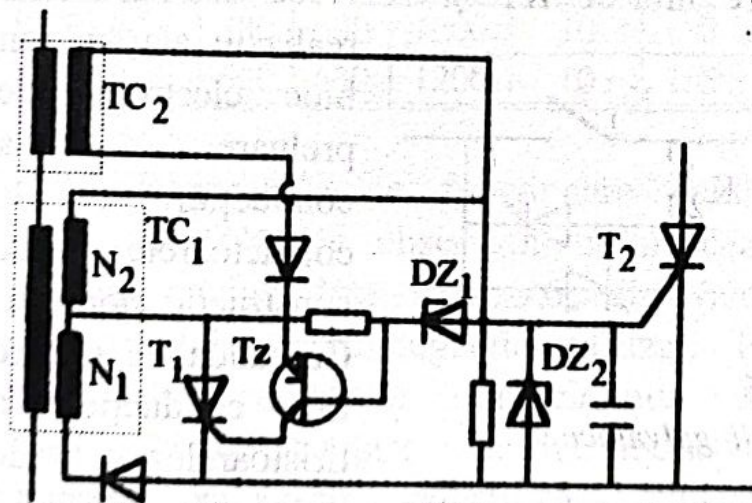


Fig.7.35

*Schemă pentru blocarea tiristoarelor de șuntare la apariția curenților de scurtcircuit*

În Fig.7.35 se prezintă o soluție care permite blocarea comenzii tiristoarelor de șuntare la apariția unor defecte de tip scurtcircuit. Schema de comandă a trecerii în conducție a unuia dintre tiristoarele de șuntare,  $T_2$ , conține transformatoarele de curenți  $TC_1$ ,  $TC_2$  ( $N_1 > N_2$ ).

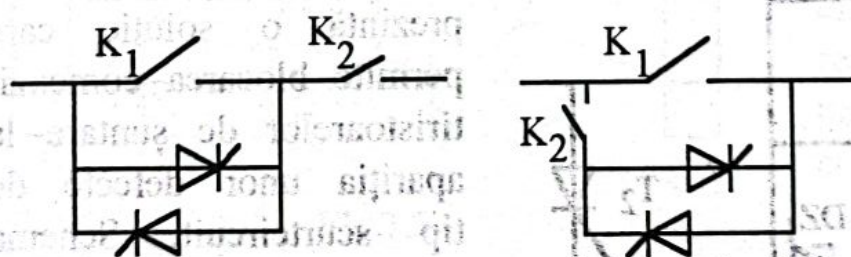
În regim normal de funcționare, pentru valori ale curentului din circuit sub  $10 I_n$ , tiristorul de șuntare  $T_2$  este comandat dar nu trece în stare de conducție deoarece tensiunea la borne, de fapt căderea de tensiune pe contactele principale, este prea mică. În cazul unui regim de scurtcircuit, deci pentru valori



ale curentului de  $(12...15)I_n$ , tiristorul de mică putere  $T_1$  și tranzistorul  $T_z$  trec în stare de conducție, asigurând întreruperea aplicării semnalelor de comandă pe circuitul de poartă al tiristorului  $T_2$ . Transformatorul de curent  $TC_2$ , furnizează o tensiune suplimentară pe dioda  $DZ_1$ , ceea ce permite evitarea căderilor schemei la viteze mari de creștere a curentului de defect.

Atunci când utilizarea contactoarelor cu comutație hibridă impune separarea galvanică între sursa de alimentare și consumator în situația deconectat, se apelează la un pol separator suplimentar sau la contacte auxiliare care se deschid la trecerea prin zero a curentului ce parcurge unul dintre tiristoarele de șuntare. Exemple de realizare a separării galvanice dintre sursa de energie și consumator sunt ilustrate în Fig.7.36. Realizarea industrială a unor contactoare cu comutație hibridă pentru curent alternativ a reprezentat o preocupare importantă a unor firme de renume din întreaga lume, de la Klöckner Moeller (Germania) la SEM (Franța) sau Findlay Orvine Ltd. (Anglia). De menționat de asemenea seriile de contactoare hibride KT și KTP realizate în Rusia.

Seriile de contactoare hibride KT și KTP de exemplu sunt realizate atașând un bloc electronic de preluare a conducției la contactoarele de construcție normală. Comanda de trecere în conducție a tiristoarelor de



**Fig.7.36**

*Realizarea separării galvanice*

șuntare folosește transformatoare de curent cu două înfășurări secundare pe fiecare din cele trei faze, primarul fiind chiar calea de curent a aparatului de comutație. Protecția tiristoarelor la supratensiuni se realizează clasic, cu circuite RC conectate în paralel. Lungimea maximă a conductoarelor ce asigură conexiunile dintre blocul de preluare a conducției și aparatul de comutație nu trebuie să depășească 1,5 m. Valoarea minimă a curentului din circuit pentru care se realizează comutația fără arc electric cu o



probabilitate de 0,8 se dovedește a fi de circa trei ori mai mică decât cele indicate în Tab.7.7.

Tab.7.7

Tipul	$U_n$ [V]	$I_n$ [A]	$f_c$ [c/h]	Uzură mec. [mil]	Uzură el. [mil]	Masa [Kg]	$I_{sc}$ [kA]	$t_d$ [ms]	$I_{min}$ [A]
KT64-33	380	160	1200	10	5	17,9	8	12	25
KT65-33	660	160	1200	10	5	19,4	9	12	25
KT64-35	380	250	1200	10	5	36	13	12	35
KT65-35	660	250	1200	10	5	36	13	12	35
KT64-37	380	400	600	5	5	72	19	20	35
KT65-37	660	400	600	5	5	72	19	20	35
KT64-39	380	630	600	5	5	94	20	20	105
KT65-39	660	630	600	5	5	94	20	20	105
KTP64-33	380	160	2000	16	5	21,6	8	12	25
KTP65-33	660	160	2000	16	5	23	9	12	25
KTP64-35	380	250	2000	10	5	41,5	13	12	35
KTP65-35	660	250	2000	10	5	41,5	13	12	35
KTP64-37	380	400	1200	10	5	72	19	20	35
KTP65-37	660	400	1200	10	5	72	19	20	35
KTP64-39	380	630	1200	10	5	102	20	20	105
KTP65-39	660	630	1200	10	5	102	20	20	105

Regimurile de funcționare pentru aceste contactoare sunt AC3 sau AC4, cu observația că în cazul regimului AC4 curentul nominal devine doar (0,4...0,6) din valoarea curentului nominal al contactorului electromagnetic utilizat. Pentru a evita înrăutățirea transferului curentului din circuitul contactelor aparatului către tiristoarele de șuntare datorită inductivității înfășurării de suflaj magnetic, se preferă construcțiile cu camere de stingere cu grile metalice. O atenție deosebită se acordă dispozitivelor electromagnetice de acționare a contactoarelor hibride, preferându-se soluții care asigură reducerea șocurilor, a vibrațiilor și a uzurii acestora în același timp cu diminuarea gabaritului și a prețului lor de cost.

Contactoarele cu comutație hibridă din seria N realizată de firma SEM (Franța) folosesc contactoare electromagnetice de serie în paralel cu care se montează tiristoare și diode. Comanda de



trecere în conducție a tiristoarelor de șuntare apelează la contacte auxiliare ale contactoarelor de bază ce permite utilizarea în circuitul de poartă al tiristoarelor a tensiunii redresate obținute în înfășurările secundare ale unor transformatoare de tensiune. Cele patru tipodimensiuni realizate funcționează la curenți nominali de până la 1000 A.

Contactoarele cu comutație hibridă din seria DIL (42-Hy, 62-Hy și 82-Hy) produse de firma Klöckner Moeller din Germania folosesc contactoare electromagnetice de serie în paralel cu care se montează triacuri și siguranțe fuzibile. Comanda semiconductoarelor de preluare a conducției folosește de asemenea contacte auxiliare ale aparatului de bază și se realizează după valorile tensiunii. Se utilizează controlul temperaturii triacurilor cu ajutorul unor termistoare. Tipodimensiunile realizate sunt de curenți nominali de 250A, 300A și 400A la 380 V, cu masele de 40, 42 și 48 Kg, având dimensiunile de gabarit de 400x700x300 mm. Frecvența de conectare maximă este de 600 conectări/oră, pentru un număr de 3 milioane de manevre și cu valoarea maximă admisibilă a curentului de scurtcircuit de 40 kA.

Deși în mod obișnuit comutația hibridă se referă la circuite de curent alternativ, în ultimul timp s-au impus soluții similare pentru a asigura comutația în circuite de curent continuu. Literatura de specialitate [17], [20], semnalează două tipuri de scheme de contactoare hibride de curent continuu și anume:

- scheme pentru care intervine, cu o durată limitată, arderea arcului electric de întrerupere;
- scheme cu comutație pe deplin fără arc electric.

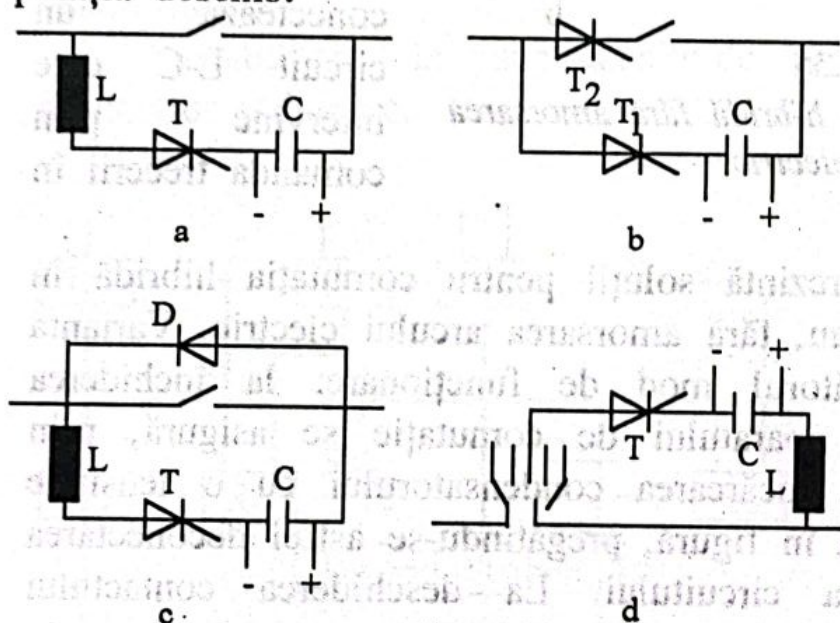
În Fig.7.37 sunt ilustrate câteva variante de scheme aparținând primei categorii dintre cele două amintite mai sus. Corespunzător schemei date în Fig.7.37a, după deschiderea contactului și amorsarea arcului electric, se realizează descărcarea condensatorului, prin comanda trecerii în conducție a tiristorului, astfel încât se asigură schimbarea polarității curentului rezultat prin contact și la trecerea prin zero a acestuia se obține stingerea arcului, respectiv întreruperea circuitului. Gama de curenți pentru care se realizează asemenea scheme se definește din condiția de



refacere a rigidității electrice dintre piesele de contact după prima trecere prin zero a curentului rezultat  $u_r$ , dată de relația, [20]:

$$u_r = U_0 + k_0 t, \quad (7.7)$$

unde tensiunea inițială de ținere,  $U_0$  și respectiv viteza de creștere a rigidității dielectrice,  $k_0$  au valori ce depind de curentul din circuit, de materialul contactului și de distanța dintre piesele de contact în poziția deschis.



**Fig.7.37**

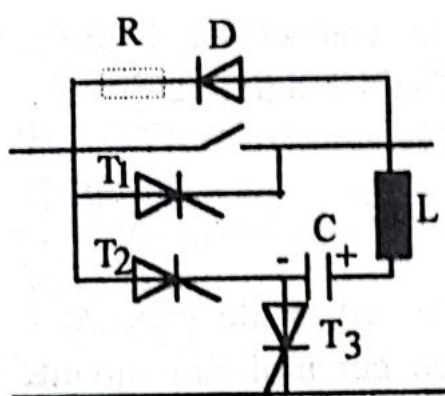
*Scheme pentru comutația hibridă cu amorsarea pe o durată limitată a arcului electric*

al unei asemenea scheme îl constituie rezistența mică la uzură, deoarece funcționarea presupune acceptarea amorsării arcului electric. O soluție mai reușită este propusă în Fig.7.37b, unde trecerea în conducție a tiristorului și descărcarea condensatorului asigură blocarea avantajoasă a diodei amplasate în serie cu contactul principal, permițând diminuarea valorii capacității condensatorului. La valori mici ale curentului din circuit, sub 10 A, pierderile de putere în diodă micșorează eficiența unei asemenea scheme. Amplasarea unei diode în paralel cu contactul principal (Fig.7.37c) face ca pe durata descărcării condensatorului C, la bornele contactului să se manifeste căderea de tensiune directă de pe dioda de șuntare, aflată în conducție.

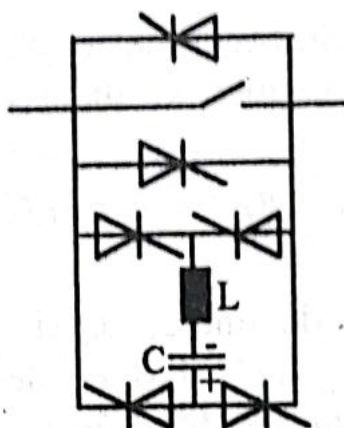
Se remarcă faptul că, pentru valori ale curentului peste 100A, odată cu micșorarea valorilor  $U_0$  și  $k_0$  intervine și creșterea valorilor capacității, cu efecte nefavorabile atât din punct de vedere al gabaritului respectiv al prețului de cost cât și cu privire la performanțe.

Principalul dezavantaj





a



b

Fig.7.38

*Scheme pentru comutația hibridă fără amorsarea arcului electric*

Schema propusă în Fig.7.37d permite reducerea valorii capacității  $C$  prin aceea că între rețeaua de grile a camerei de stingere și piesele de contact se conectează un circuit L-C care intervine prin comanda trecerii în

conducție a unui tiristor.

În Fig.7.38 se prezintă soluții pentru comutația hibridă în circuite de curent continuu, fără amorsarea arcului electric. Varianta din Fig.7.38a are următorul mod de funcționare: la închiderea contactului principal al aparatului de comutație se asigură, prin comanda tiristorului  $T_3$ , încărcarea condensatorului cu o tensiune având polaritatea indicată în figură, pregătindu-se astfel deconectarea cu comutație hibridă a circuitului. La deschiderea contactului principal al contactorului, deconectarea hibridă presupune succesiv trecerea în conducție a tiristorului de șuntare  $T_1$ , urmată de blocarea acestuia după evitarea formării arcului electric între piesele de contact, prin activarea circuitului de stingere la trecerea în conducție a tiristorului  $T_3$ ; dioda semiconductoră și eventual rezistorul care șuntează contactul principal al aparatului de comutație au același rol ca în Fig.7.37c.

Schema dată în Fig.7.38b este similară din punct de vedere al funcționării dar este reversibilă. O problemă importantă în realizarea contactoarelor de curent continuu cu comutație hibridă o reprezintă schemele de comandă. Cerințele de bază ce trebuie impuse pentru asemenea scheme sunt:

- conectarea tiristoarelor în paralel cu contactele principale ale contactorului în timp cât mai scurt după desprinderea pieselor de contact, atât la deconectare cât și la vibrația acestora;

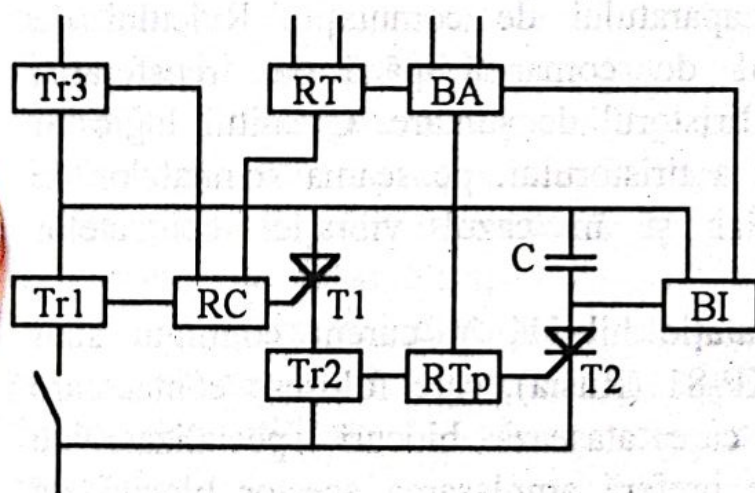


-conectarea schemei suplimentare pentru comanda tiristoarelor cu o întârziere corespunzătoare unei distanțe de (1-2) mm între piesele de contact, pentru a evita riscul străpungerii secundare sub acțiunea tensiunii tranzitorii de restabilire.

-blocarea circuitului de comandă a preluării conducției dacă condensatorul care intervine în schemă nu este complet încărcat.

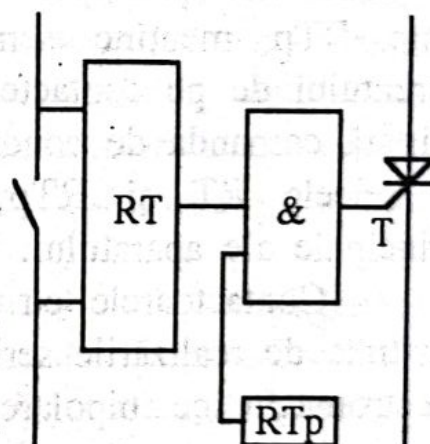
-protecția împotriva trecerii în conducție a tiristoarelor de șuntare pentru situațiile în care este de preferat să se accepte deconectarea cu arc electric a contactorului sau să nu se deconecteze.

-stabilitate la supratensiunile ce apar la deconectarea circuitelor inductive.



**Fig.7.39**

*Schema principală de comandă*



**Fig.7.40**

*Schemă de comandă la valori reduse ale curentului*

Schema principală de comandă a tiristoarelor din componența contactoarelor hibride de curent continuu este prezentată în Fig.7.39 și cuprinde traductoarele de curent  $Tr_1$ ,  $Tr_2$ ,  $Tr_3$ , releul de curent RC, releul de tensiune RT, releul de timp  $RTp$ , blocul de încărcare a condensatorului BI, blocul de alimentare BA. Traductorul de curent  $Tr_1$ , prin intermediul releului de curent RC, asigură comanda de trecere în conducție a tiristorului de șuntare  $T_1$  în domeniul normal al valorilor curentului din circuit. Traductorul de curent  $Tr_2$ , după o întârziere prescrisă prin reglarea releului de timp  $RTp$  prin care se asigură depărtarea suficientă a pieselor de



contact, comandă trecerea în conducție a tiristorului  $T_2$  și deci activarea circuitului de stingere al tiristorului  $T_1$ . Traductorul de curent  $Tr_3$  asigură blocarea comenzii de comutație fără arc electric la curenți având valori peste cea nominală.

Releul de tensiune RT realizează blocarea funcționării schemei în cazul unor fluctuații nedorite ale tensiunii furnizate de blocul de alimentare BA. O asemenea schemă de comandă pune probleme mai ales la funcționarea pentru valori mici ale curentului din circuit, sub  $I_n$ , care trebuie să depășească valorile de prag impuse de traductoarele de curent  $Tr_1$  și  $Tr_2$ .

O soluție reușită, capabilă să realizeze comutația hibridă în curent continuu la valori reduse ale curentului din circuit este indicată în Fig.7.40, releul de tensiune RT fiind conectat în paralel pe contactele principale ale aparatului de comutație. Releului de timp  $R_{Tp}$  menține semnalul de comandă până la transferarea curentului de pe contacte pe tiristorul de șuntare. Circuitul logic ȘI asigură comanda de conducție a tiristorului, pe seama semnalelor de la relele RT și  $R_{Tp}$ , chiar și în cazul vibrației contactelor principale ale aparatului.

Contactoarele cu comutație hibridă în curent continuu sunt ilustrate de realizările seriei KP-81 (Rusia), care folosesc contactoare electromagnetice bipolare la care atașează blocuri specializate de comandă. De menționat că se preferă amplasarea acestor blocuri de comandă la o distanță de până la 1,5 m de contactor. Ansamblurile astfel obținute asigură comutația fără arc electric a sarcinilor de curent continuu pentru curenți de până la  $2,5I_n$  și pentru constante de timp ale circuitului de circa 10 ms.

Valoarea minimă a curentului care poate fi deconectat fără arc electric este de circa  $0,15I_n$ , funcționarea extinzându-se chiar până la valori de  $10I_n$ , pentru  $1,1U_n$  și constantă de timp de 10 ms. Rezistența la uzura electrică în condiții normale de comutație este sub 5 milioane de manevre la frecvență de conectare sub 2000 cicluri/oră, pentru rezistență mecanică la uzură corespunzătoare la 10 milioane de manevre. Alte detalii cu privire la construcția și performanțele acestei serii de contactoare hibride de curent continuu pot fi urmărite în Tab.7.8.



Tab.7.8

Tipul de aparat	$I_n$ [A]	$U_n$ [V]	Lungime [mm]	Înălțime [mm]	Lățime [mm]	Masă aparat [Kg]	Masă bloc [Kg]
KP 81-33	160	220	390	473	256	29	20
KP 81-35	250	220	480	555	303	41,5	20
KP 81-37	400	220	503	480	435	60	28
KP 81-39	630	220	565	580	465	90	34

Cercetările și realizările tehnicii actuale în domeniul contactoarelor hibride conturează următoarele perspective pentru dezvoltarea în acest domeniu:

- posibilitatea de a micșora cu (30...40)% masa și gabaritul acestora prin diminuarea cursei contactelor mobile și a distanței dintre polii aparatului, renunțarea la rezervare în construcția camerelor de stingere și forțarea regimului tranzitoriu la funcționarea electromagneților de acționare; folosirea fără radiator a tiristoarelor în asemenea scheme favorizează de asemenea reducerea gabaritului unor asemenea ansambluri;

- ameliorarea indicatorilor tehnico-constructivi tip masă/gabarit, prin evaluarea mai riguroasă a capacității de supraîncărcare a tiristoarelor utilizate în scheme ce realizează comutația hibridă a circuitelor;

- folosirea contactelor compensate la acțiunea forțelor electrodinamice, cu efecte favorabile în creșterea fiabilității ansamblului, permițând în același timp conservarea performanțelor chiar la scăderea valorilor curentului nominal al tiristoarelor de șuntare;

- limitarea disproporției dintre rezistența la uzură mecanică și rezistența la uzură electrică, pe seama ameliorării construcției contactelor ca formă și ca material;

- extinderea folosirii contactoarelor cu comutație hibridă în industria metalurgică sau în medii corozive, unde acestea se dovedesc mai potrivite chiar decât aparatele cu comutație în vid.

Dezvoltarea ulterioară a comutației hibride este condiționată desigur de progresele tehnologice în domeniul realizării



semiconductoarelor comandate de putere pentru preluarea conducției, care prezintă interes atât din punct de vedere al performanțelor cât

### 7.2.5. Contactoare cu comutație statică

Comutația statică s-a impus pentru utilizări industriale curente, atât ca efect al progreselor realizate în domeniul semiconductoarelor (mereu mai performante, mai ieftine și cu posibilități comode de comandă), cât și datorită calităților deosebite ale unor asemenea ansambluri la funcționarea în regim dinamic. Realizările actuale preferă folosirea semiconductoarelor comandate de tip tiristor sau triac însă există numeroase soluții care au utilizat tranzistoare de putere de exemplu.

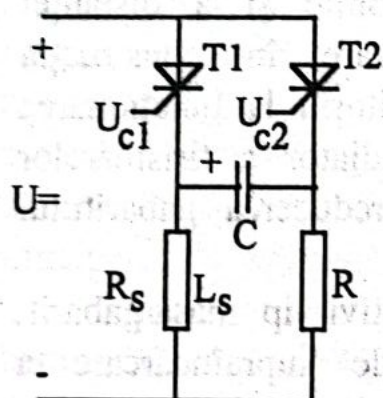


Fig.7.41

Contactor static de c.c.

Schema de principiu a unui contactor static de curent continuu este prezentată în Fig.7.41. Contactorul conține tiristorul  $T_1$  care, la o comandă convenabilă asigurată de tensiunea  $U_{c1}$ , continuă sau sub formă de impuls, trece în stare de conducție și asigură alimentarea consumatorului  $R_s$ ,  $L_s$ . În timpul procesului tranzitoriu de conectare se realizează și încărcarea condensatorului  $C$  pe traseul  $T_1$ - $C$ - $R$ , cu o tensiune având polaritatea indicată în Fig.5.1. Pentru a realiza deconectarea contactorului se comandă trecerea în conducție a tiristorului  $T_2$ ; se asigură astfel activarea circuitului de stingere, ce intervine prin descărcarea condensatorului  $C$  cu un curent direct pentru  $T_2$ , respectiv cu un curent invers pentru  $T_1$ , pe traseul  $C$ - $T_1$ - $T_2$ . Dacă valoarea rezultantă a curentului prin  $T_1$ , ca diferență dintre curentul nominal ce parcurge consumatorul ( $R_s$ ,  $L_s$ ) și curentul de descărcare al condensatorului  $C$ , este sub limita minimă de conducție, se obține stingerea acestui tiristor și deci întreruperea circuitului.

De menționat faptul că stingerea tiristorului auxiliar  $T_2$  se realizează dacă valorile rezistenței  $R$  sunt suficient de mari; aceasta are efecte nefavorabile asupra frecvenței de conectare a contactorului

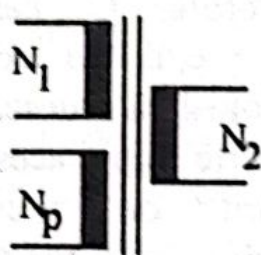


a cărui funcționare presupune condensatorul  $C$  încărcat, datorită creșterii valorilor constantei de timp  $RC$ . Preocupările pentru realizarea contactoarelor statice de curent continuu au fost dominate de ideea scăderii valorii capacității condensatorului  $C$ , care se reflectă hotărâtor atât în gabaritul cât și în prețul de cost al ansamblului. În acest scop s-a preferat folosirea descărcării rezonante a condensatorului, adăugând în serie cu acesta o inductanță convenabil calibrată. S-a urmărit de asemenea posibilitatea micșorării valorii curentului nominal al tiristorului auxiliar  $T_2$ , prin controlarea riguroasă a timpului său de conducție, știut fiind faptul că tiristoarele suportă supracurenți mari pentru durate suficient de mici, sub 10 ms. Protecția la supratensiuni a tiristoarelor schemei, ca și la amorsarea falsă pentru viteze prea mari de creștere a tensiunii, se realizează cu ajutorul unor circuite  $R-C$  conectate în paralel. Protecția împotriva amorsării tiristoarelor datorită vitezelor mari de variație a curentului din circuit se obține prin amplasarea în serie a unei inductanțe de valoare convenabilă, dacă inductanța  $L_s$  a consumatorului nu este suficient de mare. Pentru separarea galvanică a consumatorului față de sursa de alimentare în situația deconectat se poate apela la un pol separator exterior. Încălzirea excesivă a tiristorului  $T_1$  datorită pierderilor de putere în regim normal de funcționare este evitată prin folosirea radiatoarelor.

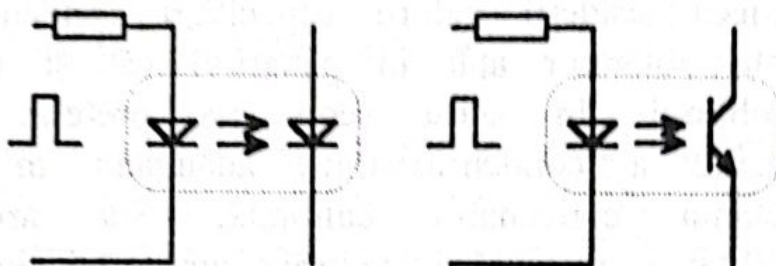
Una dintre cele mai importante probleme legate de realizarea contactoarelor cu comutație statică este aceea a asigurării semnalelor de comandă  $U_{c1}$  și  $U_{c2}$ . Acestea pot fi de tipul tensiune continuă sau sub formă de impulsuri, a doua soluție fiind mai convenabilă atât prin trecerea fermă în conducție a tiristoarelor cât și datorită consumului mai redus de putere în circuitul de comandă. Cum de obicei sursa de alimentare a circuitului asigură și semnalele necesare de comandă, apare necesitatea de a realiza separarea galvanică dintre circuitul de forță și circuitul de comandă al contactorului static. Acest lucru se obține fie prin utilizarea unor transformatoare de separare la ieșirea formatorului de impulsuri, fie prin utilizarea comenzilor optice ce folosesc optocuploare, fibre optice etc. Atunci când pe lângă înfășurările primară ( $N_1$ ) respectiv secundară ( $N_2$ ), transformatorul de separare are și o înfășurare de premagnetizare



( $N_p$ ), așa cum se observă în Fig.7.42, este posibilă în plus o prelucrare logică a impulsurilor de comandă.

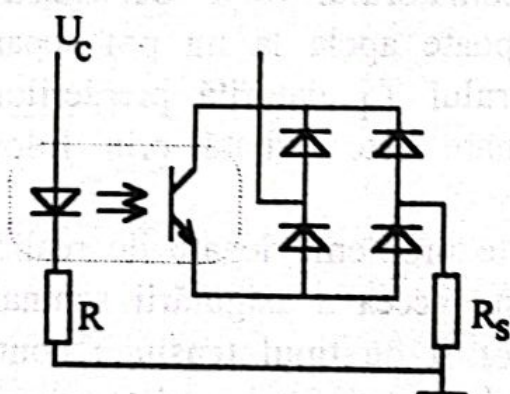


**Fig.7.42**  
*Transformator cu  
premagnetizare*

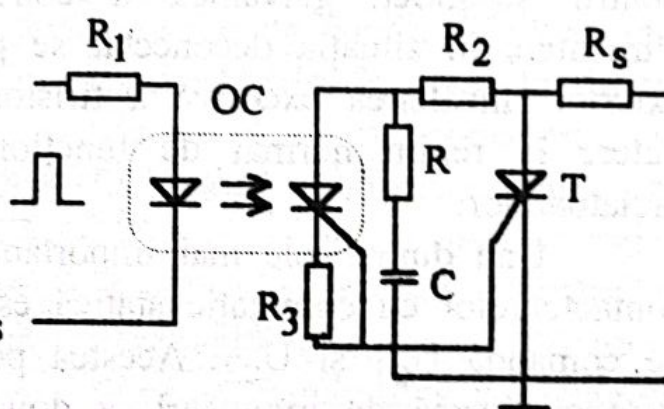


**Fig.7.43**  
*Optocuploare pentru comanda  
tiristoarelor*

Soluțiile actuale preferă comanda optică a tiristoarelor din schemele de contactoare statice, realizată cu optocuploare cu sau fără fibre optice. Optocuplorul este un ansamblu diodă luminiscentă-fototranzistor sau diodă luminiscentă-fototiristor, care convertește impulsurile de comandă aplicate pe dioda luminiscentă în semnale



**Fig.7.44**  
*Contactor static cu fototranzistor*



**Fig.7.45**  
*Contactor static cu fototiristor*

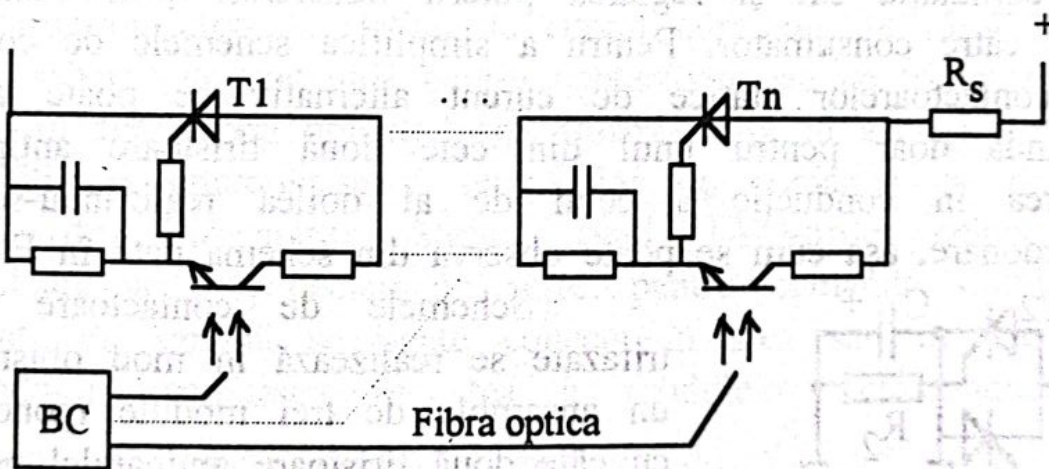
luminoase. Acestea sunt capabile să asigure trecerea în conducție a fototranzistorului respectiv a tiristorului aferent, cu care este asamblat de obicei într-o aceeași capsulă, Fig.7.43.

În Fig.7.44 este prezentată o variantă de contactor static de curent nominal limitat de fototranzistorul din schemă, la valori de ordinul sute de miliamperi, care utilizează diode semiconductoare în locul obișnuitelor tiristoare. Schema de principiu care asigură



comanda de conectare pentru un contactor static de curent continuu folosind un fototiristor este dată în Fig.7.45. Limitarea curentului prin fototiristor se obține pe seama ansamblului rezistențelor  $R_s$  și  $R_2$ . Circuitul RC asigură protecția la supratensiuni.

Atunci când se preconizează realizarea unui contactor static având curentul nominal mai mare decât acela al tiristoarelor se poate apela la conectarea în paralel a acestora. Dacă tensiunea nominală a unui tiristor este mai mică decât tensiunea nominală a contactorului static se acceptă conectarea în seria a mai multe tiristoare, cu măsuri speciale de uniformizare a distribuției tensiunii pe elementele serie. În ambele situații trecerea simultană în conducție a tiristoarelor utilizate este esențială pentru buna comportare a ansamblului. În acest scop se impune transmiterea comenzii de trecere în conducție a tiristoarelor schemei prin fibre optice, așa cum se poate urmări în Fig.7.46. Rezistențele de mare valoare plasate în paralel cu tiristoarele asigură tocmai uniformizarea distribuției tensiunii pe elementele serie.



**Fig.7.46**

*Comanda simultană a unui contactor de înaltă tensiune folosind fibre optice*

Se poate afirma deci în final că pentru funcționarea contactoarelor statice de curent continuu este mai dificil de realizat deconectarea, care presupune utilizarea unui circuit specializat de stingere, ceea ce practic dublează schema ansamblului. Abilitatea în asigurarea deconectării contactorului conduce la soluții mai ieftine și cu bune performanțe.



Scheme de principiu ale unor contactoare statice monofazate de curent alternativ sunt prezentate în Fig.7.47. Se constată că cele două tiristoare antiparalel ale primei variante pot fi înlocuite cu un triac, dar există și posibilitatea de a folosi un singur tiristor în diagonala unei punți redresoare cu diode.

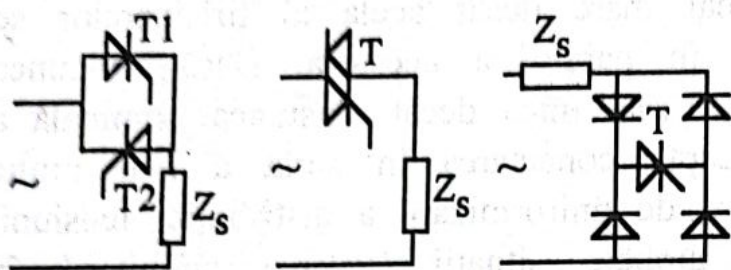


Fig.7.47

*Scheme de contactoare statice de c.a.*

tensiune continuă însă soluția care s-a impus este comanda cu impulsuri, mai sigură și mai economică. În plus aceasta permite și reglarea comodă a fazei impulsurilor de comandă, ceea ce asigură atât comutația cât și reglarea puterii transferate prin contactorul static către consumator. Pentru a simplifica schemele de comandă ale contactoarelor statice de curent alternativ se poate accepta comanda doar pentru unul din cele două tiristoare antiparalel, trecerea în conducție a celui de al doilea realizându-se prin subordonare, așa cum se poate observa din schema dată în Fig.7.48.

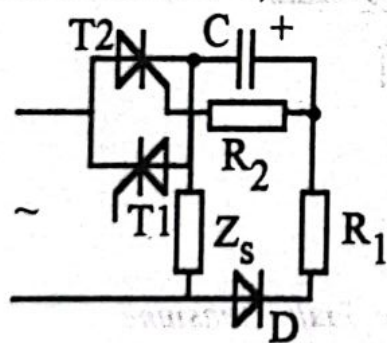


Fig.7.48

*Comandă prin subordonare*

simplificarea circuitelor de comandă, au impus în ultimul timp folosirea unor module tiristor-diodă antiparalel, livrate ca atare de firmele producătoare de elemente semiconductoare de putere. Funcționarea unui asemenea contactor static trifazat decurge similar, Fig.7.49b, însă presupune comanda a doar trei tiristoare, eventual chiar cu

Principala problemă cu privire la funcționarea unor asemenea ansambluri este repetarea semnalului de comandă pe poarta tiristoarelor pentru fiecare semiperioadă de conducție. Semnalul de comandă poate fi desigur o

Schemele de contactoare statice trifazate se realizează în mod obișnuit ca un ansamblu de trei module monofazate, cu câte două tiristoare antiparalel pe fază, Fig.7.49a, impedanța de sarcină  $Z_s$  putând fi conectată în stea sau în triunghi. Considerente legate de prețul de cost al unui asemenea contactor static, dar și



impulsuri de fază reglabilă. Pentru anumite aplicații s-au realizat și scheme speciale de contactoare statice trifazate ce utilizează doar trei tiristoare, care prin trecerea în conducție asigură conectarea pe conductorul neutru a sistemului trifazat de tensiuni.

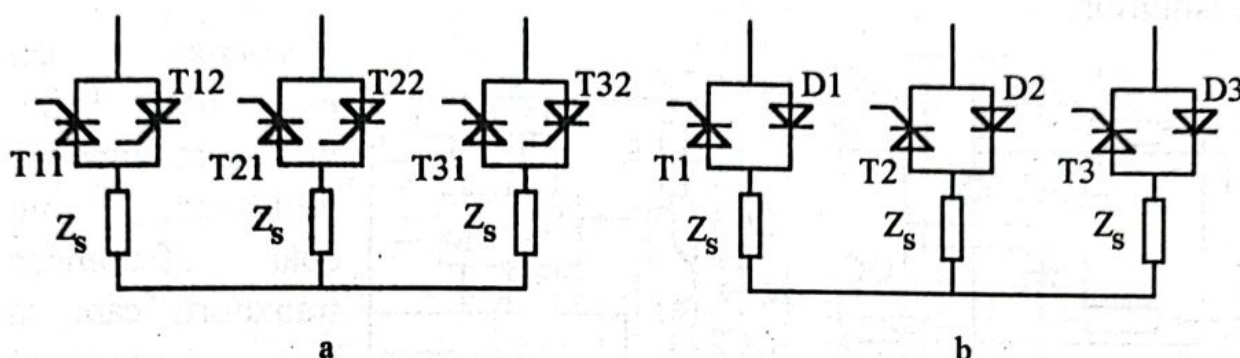


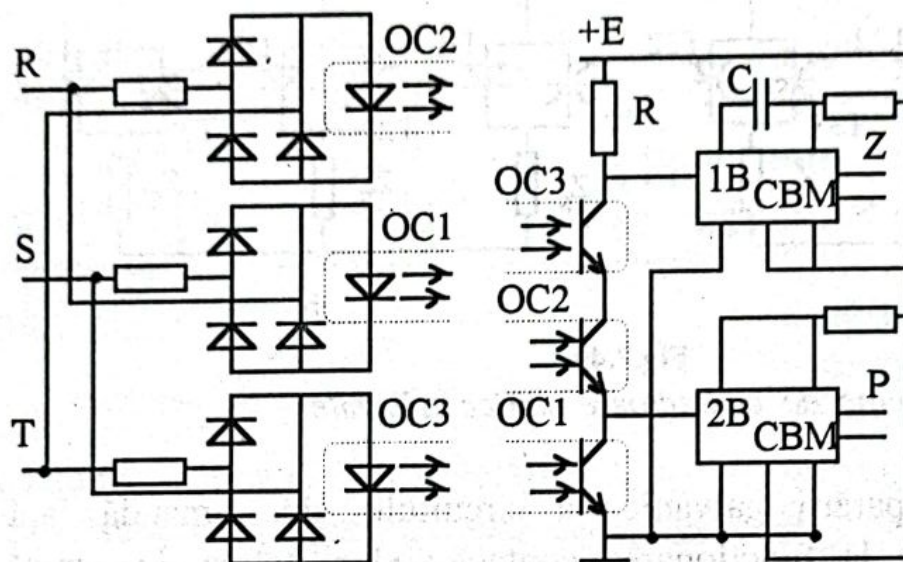
Fig.7.49

*Scheme de contactoare statice trifazate*

Problema separării galvanice a circuitului de comandă față de circuitul de forță la funcționarea contactoarelor statice de curent alternativ se rezolvă folosind soluții similare cu cele anunțate mai sus pentru contactoarele statice de curent continuu. În Fig.7.50 se prezintă scheme de comandă pentru contactoare statice trifazate care folosesc în acest scop optocuploare, ilustrându-se în același timp și posibilități de sincronizare a semnalelor de comandă cu rețeaua trifazată de alimentare. Atunci când LED-urile celor trei optocuploare ar fi conectate în serie, pentru comanda simultană, impedanța de sarcină se poate conecta în stea sau în triunghi, preferându-se conectarea în stea a modulelor semiconductoare monofazate de putere pentru a diminua de  $\sqrt{3}$  ori a tensiunii suportate de tiristoarele (triacurile) din schemă. Semnalele de sincronizare cu rețeaua trifazată pot fi generate conectând LED-urile celor trei optocuploare între cele trei faze, în stea sau în triunghi, așa cum se poate observa în Fig.7.50 unde LED-urile sunt amplasate în diagonala unei punți cu diode pentru a fi alimentate în ambele alternanțe. Când tensiunea între două faze scade sub 10 V, LED-ul respectiv se stinge, fototranzistorul se blochează, rezultând semnal logic 1 la intrarea B a unuia dintre cele două CBM cuprinse în circuitul integrat. Ieșirea P generează câte un impuls la fiecare anulare a tensiunii  $U_{R-S}$ , identificând această



tensiune. Ieșirea Z generează impulsuri la anularea oricăreia din cele trei tensiuni dintre fazele rețelei, deci cu frecvența de 300 Hz. Se poate regla temporizarea produsă de cele două CBM astfel încât frontul descrescător al impulsurilor să coincidă exact cu anularea tensiunilor.



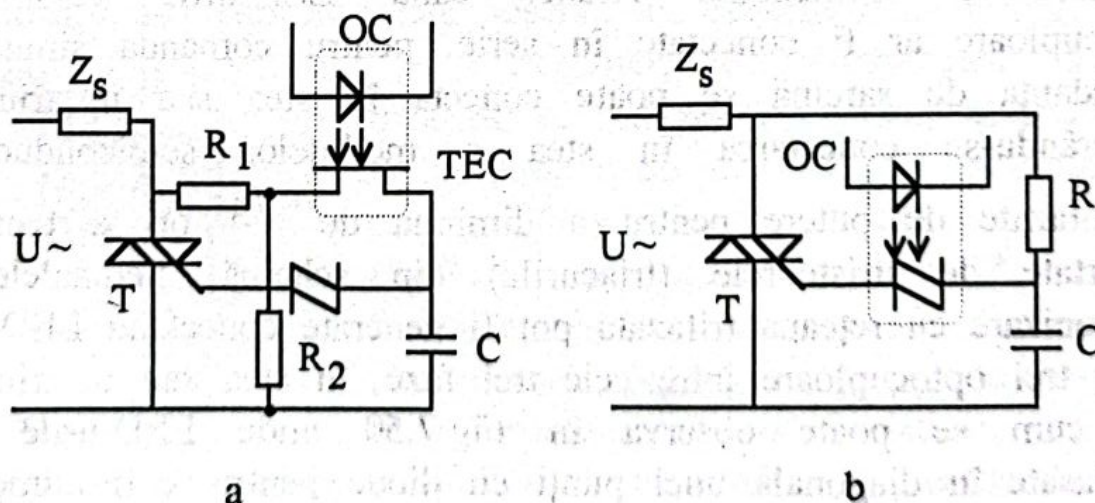
Deoarece cel puțin două LED-uri sunt aprinse totdeauna, nu apar fenomene tranzitorii care să facă necesară folosirea unui filtru trece-jos. Inerția de câteva microsecunde a fototranzistoarelor contribuie și ea la lipsa fenomenelor tranzitorii și la

**Fig.7.50**

*Contactor static trifazat*

sensibilitatea redusă a circuitului față de perturbații [26].

Comanda tiristoarelor sau a triacurilor unor scheme de



**Fig.7.51**

*Scheme de comandă a triacurilor*

contactoare statice de curent alternativ cu controlul fazei se poate realiza cu un optocuplor cu TEC, așa cum se poate urmări în



Fig.7.51a, sau cu optocuplor cu fotocontactor bilateral pentru care incidența luminoasă reglează pragul de deschidere a acestuia, Fig.7.51b.

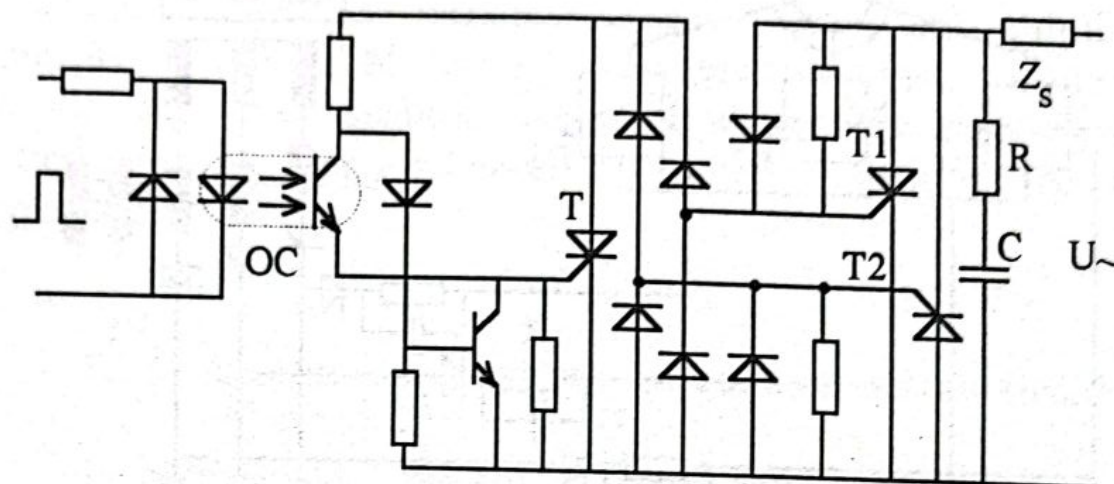


Fig.7.52

*Contactor static monofazat cu separare galvanică*

O soluție de separare galvanică între circuitul de comandă și cel de forță pentru un contactor static monofazat ce folosește optocuplor și tiristor auxiliar de mică putere este prezentată în Fig.7.52.

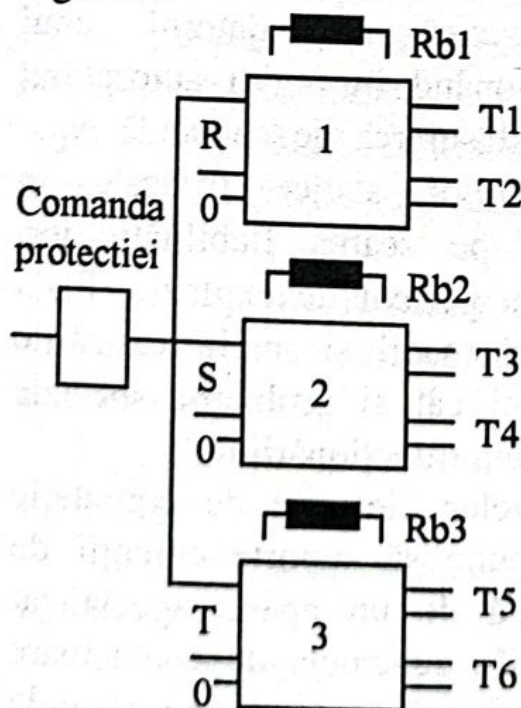


Fig.7.53

O confirmare a preocupărilor actuale cu privire la realizarea unor contactoare statice trifazate cu performanțe deosebite o reprezintă și soluția semnalată în [30]. Schema de principiu a unui contactor static trifazat cu posibilități de programare a fazei de conectare și a timpului de deschidere este prezentată în Fig.7.53. O asemenea realizare permite pe de o parte studiul regimurilor tranzitorii pentru diferite tipuri de receptoare electrice, dar anunță de asemenea posibilitatea utilizării unei protecții electronice eficiente la supracurenți ce asigură și creșterea fiabilității aparatului de comutație.



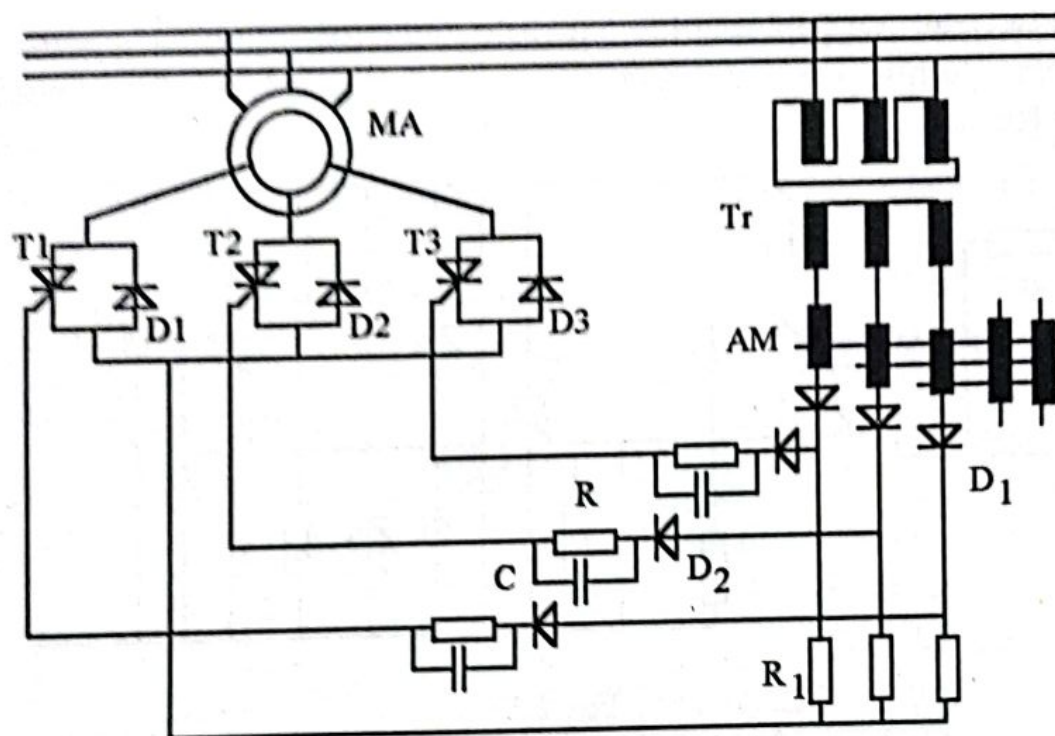


Fig.7.54

*Comanda motorului asincron cu contactor static*

Un exemplu de utilizare a unui contactor static trifazat pentru alimentarea unui motor asincron este ilustrat în Fig.7.54, unde comanda tiristoarelor se realizează cu ajutorul unui amplificator magnetic trifazat AM, funcționând în regim autosaturat prin modificarea curentului ce parcurge înfășurarea de comandă  $N_c$ .

Evoluția în domeniul contactoarelor statice trifazate în ultimii 10 ani se explică în principal pe seama fiabilității lor, acestea fiind desigur preferate în medii cu pericol de explozie. Plaja de utilizare se referă în prezent la puteri medii și mari, realizările actuale rezolvând atât problema comutației cât și probleme speciale de control pentru anumite mărimi în timpul funcționării.

Trebuie subliniat faptul că aparatelor electrice de comutație cu funcționalitate de contactor li se impune să suporte curenții de scurtcircuit până la deconectarea asigurată de un aparat specializat de tip întrerupător; aceasta înseamnă că, în schemele de contactoare statice prezentate anterior, se subînțelege faptul că semiconductoarele comandate de tip tiristor sau triac trebuie să suporte valorile mari ale curenților de defect, desigur prin acceptarea supradimensionării acestora, fiind recunoscută capacitatea lor scăzută de a suporta



supracurenți. Cumulând funcția de comutație cu funcția de reglare a puterii transferate prin contactor către consumator, contactoarele statice de curent alternativ au pătruns mai ușor în instalațiile industriale. Perspectiva unanim acceptată este însă substituirea comutației naturale a tiristoarelor cu comutația forțată, astfel încât prin adăugarea unor elemente de protecție adecvate și eficiente să se treacă de la funcționalitatea de contactor static la aceea de întrerupător static.

### 7.2.6. Aparate de comutație cu contacte metalo-lichide

În ultimele două decenii a crescut interesul pentru realizarea comutației cu contacte metalo-lichide. În asemenea dispozitive comutația are la bază metale sau aliaje care se găsesc în fază lichidă. Pentru siguranțele fuzibile activ este chiar elementul fuzibil; în întrerupătoare și în alte aparate electrice este activă zona contactelor metalo-lichide de comutație. În condiții normale elementul activ poate fi în stare solidă, lichidă sau intermediară. În unele cazuri funcția de element activ o are materialul feromagnetic ce se găsește într-un dielectric lichid, comanda pentru conectare-deconectare asigurându-se prin acțiunea câmpului magnetic.

Utilizarea contactelor metalo-lichide pentru realizarea aparatelor electrice de comutație prezintă avantaje, între care se amintesc:

- lipsa uzurii mecanice și electrice a elementului activ;
- eliminarea necesității de a folosi metale prețioase depuse pe piesele decontact;
- eliminarea resorturilor pentru asigurarea forței de apăsare pe contacte;
- eliminarea vibrației contactelor și deci a efectelor nedorite ale acesteia;
- eliminarea fenomenelor de degradare a contactelor datorită fenomenelor de oxidare.

Ca dezavantaje pentru aparatele electrice de comutație cu contacte metalo-lichide se semnalează:

- poziție de funcționare impusă;



- respectarea strictă a unor restricții cu privire la regimul termic al componentelor active în timpul funcționării;
- necesitatea utilizării unor construcții etanșe;
- alegerea dificilă a materialelor pentru contacte.

Principalele materiale utilizate pentru realizarea unor aparate de comutație cu contacte metalo-lichide sunt sodiul, potasiul, mercurul sau aliaje sodiu-potasiu (cuprinzând 40...90% potasiu) eventual, cu proprietăți similare, aliaje galiu (60%), indiu (25%) și staniu (13%). Principalele lor caracteristici sunt indicate în Tab.7.9.

**Tab.7.9**

	Sodiu	Potasiu	Mercur
Densitate, [Kg/m <sup>3</sup> ]	968	862	13520
Temp. topire, [°C]	98	63,5	-38,9
Temp. vaporizare, [°C]	883	760	357
Căld. specif., [J/Kg °C]	1230	741,2	0,139
Coef. de dilatare, [°C <sup>-1</sup> ]	7,1 · 10 <sup>-5</sup>	8,33 · 10 <sup>-5</sup>	18,26 · 10 <sup>-5</sup>
Rezistivitate, [Ωm]	4,3·10 <sup>-8</sup>	7,12·10 <sup>-8</sup>	94·10 <sup>-8</sup>

Faptul că metalele de tip sodiu sau potasiu sunt foarte active din punct de vedere chimic impune măsuri de protecție pentru utilizarea lor la realizarea contactelor unor aparate electrice de comutație, știut fiind că acestea se păstrează imersate în ulei sau în petrol.

Este de asemenea recunoscută proprietatea mercurului de a forma amalgame împreună cu anumite metale, ceea ce impune alegerea convenabilă a metalelor pentru contactele unor asemenea aparate de comutație. Fiind activ din punct de vedere chimic mercurul formează cu ușurință oxizi (Hg<sub>2</sub>O sau HgO), ozonul la temperaturi de 300...350 °C, stimulând asemenea reacții. Un argument important însă pentru utilizarea mercurului la realizarea aparatelor moderne de comutație cu contacte metalo-lichide îl reprezintă faptul că rezistivitatea acestuia crește de 10<sup>5</sup>...10<sup>6</sup> ori la presiunea critică de 150 MPa și la temperatura de 1753°C, mercurul în stare de vapori devenind un veritabil limitator de curent. Observații similare sunt valabile și pentru sodiu sau potasiu, caracterizate prin valori mult mai mari ale rezistivității electrice în



stare de valori decât în stare solidă sau lichidă, când valorile rezistivităților sunt comparabile.

Studiile cu privire la realizarea unor aparate de comutație cu contacte metalo-lichide fac obiectul preocupărilor unor firme de renume din Anglia, Germania, Franța, SUA sau Japonia; descrierea funcționării unor asemenea ansambluri este foarte dificilă datorită multitudinii fenomenelor și a factorilor de influență, făcând apel atât la ecuații specifice fluidelor (ecuația de mișcare Navier-Stokes respectiv ecuația de continuitate) cât și, firesc, la o ecuație de bilanț energetic [23].

Principiul de funcționare a unor asemenea aparate de comutație cu contacte metalolichide constă în aceea că închiderea și deschiderea contactelor, realizate cu electrozi metalici (solizi), se obține prin acțiunea unui mediu metalic lichid. Pentru a realiza comutația electrică se apelează fie la mișcarea electrozilor metalici solizi, fie la modificarea nivelului metalului lichid, folosind în acest scop dispozitive electromagnetice, electrodinamice, hidraulice, de inducție, pneumatice etc. Chiar dacă producerea industrială a unor asemenea aparate electrice de comutație nu este deplin pusă la punct, cercetările efectuate, avantajele și performanțele obținute deja anunță bune perspective pentru implementarea acestora în instalațiile electrice.

O primă variantă de realizare a unui asemenea aparat de comutație cu contacte metalo-lichide, prezentată în Fig.7.55, cuprinde: contactele fixe reprezentate de electrozii metalici 1 și 2, între care se plasează adaosul din plastic, 3, prevăzut cu orificiile capilare 4; în interiorul spațiului dintre contacte se găsesc pistonul 8, metalul lichid 9 și mediul lichid interior 6, la o presiune fixată prin pistonul 7; ansamblul piston 7, piston 8 și bobina de suflaj magnetic (care nu apare pe desen), sunt amplasate în interiorul corpului 5.

Funcționarea acestui aparat de comutație decurge astfel: la conectare pistonul 8 se găsește în poziția limită inferioară, astfel încât metalul lichid 9 asigură legătura electrică între electrozii 1 și 2; mediul lichid inert 6, aflat sub acțiunea forței transmise de pistonul 7, împiedică intrarea metalului lichid 9 în interstițiile capilare 4. Pentru manevra de deconectare se acționează pistonul 8



spre partea superioară, astfel încât nivelul metalului lichid scade sub acțiunea gravitației și întrerupe legătura dintre contactele fixe 1 și 2; totodată se aplică pe pistonul 7 o forță ce permite revenirea mediului lichid inert 6, prin interstițiile 4 și participarea lui la asigurarea izolației interne, împreună cu adaosul din plastic, 3. Arcul electric de comutație care apare în canalul izolant dintre pistonul 8 și piesa 3, sub acțiunea suflajului magnetic, este împins către exterior și răcit, favorizându-se deci stingerea sa. Procesul de stingere a arcului electric de comutație are loc practic în mediul lichid inert 6, ameliorând astfel și comportarea termică a ansamblului în exploatare. În plus, final, mediul lichid inert 6 ajunge chiar să sporească nivelul de izolație dintre piesele fixe de contact 1 și 2.

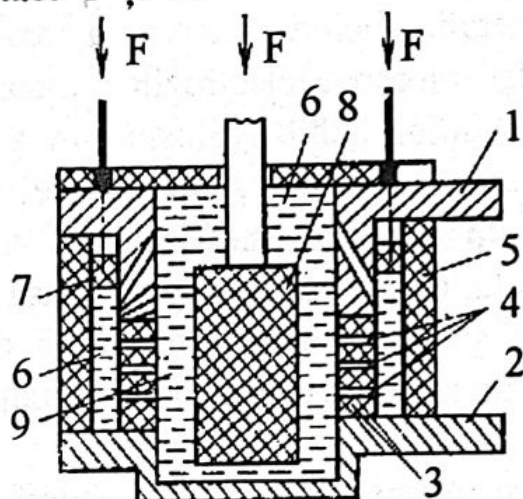


Fig.7.55

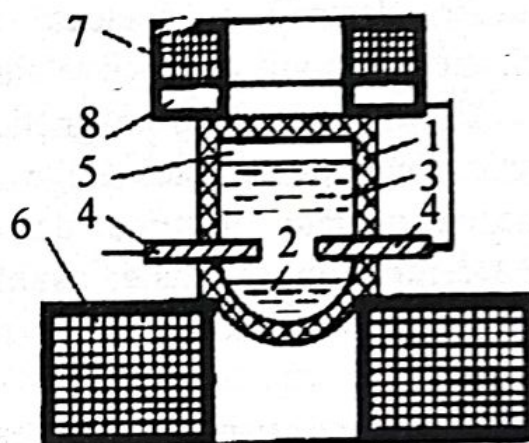


Fig.7.56

### *Aparate cu comutație metalo-lichidă*

O variantă de aparat electric cu contacte metalo-lichide având performanțe de comutație comparabile cu cele realizate folosind comutația statică [23], este prezentată în Fig.7.56 și are următoarele părți componente: corpul 1 din material electroizolant, umplut parțial cu metal lichid 2 (eutectic galiiu-indiu-staniu) și parțial cu lichid de stingere electroizolant 3 (ulei de transformator), care având densitatea mai mică se separă deasupra metalului lichid; puțin peste nivelul metalului lichid se amplasează electrozii metalici 4 ce reprezintă contactele fixe ale aparatului; restul volumului camerei de stingere e umplut cu gaz inert 5; dispozitivul de acționare este realizat sub forma bobinelor de curent alternativ 6 și

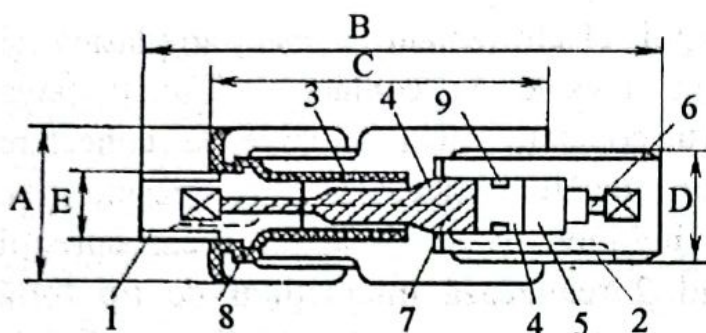


7, conectate adițional. Pe corpul electroizolant 1 este amplasată și bobina 8 conectată în serie cu piesele de contact 4. Funcționarea acestui aparat de comutație cu contacte metalo-lichide la conectare decurge astfel: pentru a asigura legătura electrică între piesele fixe de contact 4, se alimentează bobinele 6 și 7, astfel încât curenții induși în masa de metal lichid 2 realizează interacțiuni de tip forță electrodinamică ce împreună cu forțele datorate tensiunii superficiale a metalului lichid provoacă urcarea metalului lichid pe pereții incintei electroizolante 1, imersând desigur piesele de contact 4; deplasarea orizontală a metalului lichid este limitată prin acțiunea bobinei superioare de curent 8, ce formează o groapă de potențial. Pentru deconectarea aparatului de comutație se întrerupe alimentarea bobinelor 6 și 7, astfel încât sub acțiunea greutății proprii metalul lichid 2 revine la partea inferioară a corpului electroizolant 1; arcul electric de comutație se amorsează între electrozii 4 și metalul lichid 2 se stinge prin acțiunea lichidului electroizolant 3. La apariția unor curenți de scurtcircuit, forța electromagnetică datorată bobinei 8 și orientată în sensul forței de greutate grăbește deschiderea circuitului între metalul lichid 2 și electrozii 4, deci ansamblul poate fi extins și pentru funcționalitate de întrerupător. Principalul dezavantaj al unei asemenea soluții îl constituie complexitatea construcției aparatului.

Trebuie menționat faptul că utilizarea comutației cu contacte metalo-lichide a stat la baza realizării unor siguranțe fuzibile cu fază lichidă, ale căror performanțe le impun pentru protecția semiconductoarelor de putere. Principalul avantaj al unor asemenea elemente de protecție îl constituie faptul că se asigură funcționarea lor repetată, fără a mai fi necesară înlocuirea elementului fuzibil după o deconectare reușită. În plus valorile foarte mari ale rezistivității metalelor în stare de vapori asigură un efect de limitare a curentului de defect, foarte important pentru protecția elementelor semiconductoare.

În principiu o asemenea siguranță fuzibilă cu autorefacere de tip NFU, propusă de firma Mitsubischi, așa cum se poate urmări în Fig.7.57, cuprinde: electrozii metalici 1 și 2, între care se asigură legătura electrică printr-un element fuzibil convenabil calibrat realizat din sodiu, 3; pentru unele variante acest element fuzibil are





**Fig.7.57**

*Siguranță fuzibilă metalo-lichidă*

protejat parcurge traseul indicat pe desen cu linie întreruptă, de la electrodul 1, prin elementul fuzibil din sodiu 3, până la electrodul metalic 2; în acest regim de funcționare elementul fuzibil 3 poate fi în stare solidă sau în stare lichidă; la apariția unui defect de tip scurtcircuit, elementul 3, din sodiu, se încălzește și în timp foarte scurt trece în stare de vapori, a căror rezistivitate, mult mai mare decât aceea a sodiului în stare solidă sau lichidă, asigură intervenția siguranței fuzibile ca o rezistență cu efect de limitare a curentului de defect; în același timp presiunea mare a vaporilor împinge pistonul 4 care comprimă gazul inert din incinta 5, obținându-se o acțiune mecanică capabilă să valideze comanda de întrerupere a circuitului defect, dar și limitarea presiunii vaporilor de sodiu, care atinge valori de 300 MPa; valorile mari ale presiunii din incinta unor asemenea ansambluri impun realizarea tubului 6 din materiale speciale, oxid de beriliu de exemplu, la care se adaugă necesitatea unei bune etanșări, asigurate și cu ajutorul cilindrului metalic 7 și a piesei ceramice speciale 8; viteza medie de deplasare a pistonului atinge 15 m/s, iar durata acestei deplasări este de 0,4 ms. După întreruperea circuitului vaporii metalici de sodiu se răcesc, condensează, sunt împinși de pistonul 4 înapoi către poziția inițială, astfel încât devine posibilă o nouă funcționare.

Dimensiunile de gabarit pentru diferite tipodimensiuni de asemenea siguranțe fuzibile sunt date în Tab.7.10.

Pentru a diminua supratensiunile de comutație la funcționarea unor asemenea siguranțe fuzibile se acceptă șuntarea lor cu un rezistor având rezistența  $R$  de valoare:

secțiune variabilă, cu diametrul modificându-se de la 3,5 mm la 1,3 mm pe o lungime de 5 mm, în timp ce pentru alte realizări acest diametru rămâne constant, de 2,8 mm pe o lungime de 17 mm. În regim normal curentul din circuitul de



$$\frac{U_f}{I_0} \leq R \leq 3 \frac{U_f}{I_0}, \quad (7.9)$$

unde  $I_0$  reprezintă valoarea maximă a curentului de scurtcircuit, iar  $U_f$  tensiunea maximă de fază a sursei de alimentare.

**Tab.7.10**

Dimensiuni	$I_n = 100A$	$I_n = 500A$	$I_n = 800A$
A [mm]	29	41	60
B [mm]	94	165	287
C [mm]	64	90	144
D [mm]	20	30	30
E [mm]	9	16	30

Pentru a ilustra dificultățile legate de realizarea unor asemenea siguranțe fuzibile cu autorefacere se poate semnală faptul că, la întreruperea curenților de scurtcircuit, valorile foarte mari ale presiunii din incintă conduc la modificări ale diametrului cu circa 1,5%, ceea ce modifică valorile curentului de lucru cu 1%.

Tinând seama de frecvența de manifestare a curenților de scurtcircuit și de gradul de uzură al tubului ceramic, se preconizează o durată de viață pentru asemenea siguranțe fuzibile de 30 de ani, având în vedere chiar și interacțiunea dintre metalul lichid al fuzibilului și tubul dielectric.

Impuritățile din materialul tubului ceramic sau din metalul ușor fuzibil al elementului activ pot afecta de asemenea funcționarea acestor dispozitive, semnalând importanța unor aspecte tehnologice în realizarea lor.

Considerente similare pot fi remarcate și cu privire la soluțiile care folosesc mercurul ca lichid conductor.

Se poate aprecia în final că, prin timpul de răspuns și prin durata de viață, aparatele de comutație cu contacte metalolichide se vor impune pentru utilizarea industrială ca o alternativă la aparatele clasice de comutație. Cu atât mai mult siguranțele fuzibile cu fază lichidă reprezintă o soluție pentru protecția semiconductoarelor de putere din instalațiile industriale existente.



### 7.3. Tendințe moderne de realizare a întrerupătoarelor automate de joasă tensiune

Intrerupătoarele automate de joasă tensiune sunt aparate electrice de comutație care adaugă la funcționalitatea contactoarelor, prezentate anterior, posibilitatea de a stabili, suporta și deconecta curenții de defect. În aceste condiții întrerupătoarele clasice pun probleme deosebite cu privire la funcționarea contactelor electrice în regim de defect, cu privire la stingerea arcului electric de comutație, cu privire la dispozitivul de acționare și la asigurarea parametrilor cinematici pentru ansamblul mobil, cu privire la acțiunea forțelor electrodinamice la scurtcircuit ca și cu privire la conservarea în timp a calităților acestora. Intrerupătoarele obișnuite care au încercat să rezolve aceste cerințe s-au dovedit a avea construcții complexe și în consecință o fiabilitate scăzută. De altfel numărul de manevre ce caracterizează construcțiile obișnuite de întrerupătoare automate de joasă tensiune de exemplu este de doar  $10^3$ , față de circa  $10^6$  manevre în cazul contactoarelor. Au fost deci și sunt încă pe deplin justificate preocupările specialiștilor pentru realizarea unor întrerupătoare performante de joasă tensiune, capabile să răspundă cerințelor mereu mai severe impuse de dezvoltarea rețelelor de distribuție a energiei electrice ca și de diversificarea consumatorilor.

O primă orientare a preocupărilor specialiștilor a fost aceea de a realiza întrerupătoare ultrarapide, care prin timpul redus de deconectare asigură în același timp și un efect de limitare. Aceste performanțe deosebite au fost obținute prin perfecționarea unor construcții clasice, care au permis ameliorarea tuturor aspectelor comutației care condiționează buna funcționare a acestor aparate electrice: comutația electrică, comutația magnetică dar și comutația mecanică. În același timp s-au folosit și dispozitive noi de protecție, capabile să furnizeze în timp mai scurt comenzi convenabile de deconectare a circuitului defect.

O a doua orientare cu privire la realizarea întrerupătoarelor moderne de joasă tensiune, adesea o completare a construcțiilor ultrarapide anunțate mai sus, dezvoltă tehnicile moderne ale comutației de putere expuse anterior: comutația sincronizată,



comutația hibridă și comutația statică. În cele ce urmează ne vom referi anume la asemenea realizări.

### 7.3.1. Întrerupătoare cu comutație sincronizată

Comutația sincronizată, conform celor prezentate anterior, propune deschiderea contactelor aparatului de comutație la trecerea naturală prin zero a curentului din circuit. Pentru a asigura acest lucru se impune ca suma timpilor de întârziere cu care intervin fiecare dintre elementele constructive ce contribuie la manevra de deconectare, comandată cu ajutorul unui dispozitiv de sincronizare ce sesizează trecerile naturale prin zero ale curentului, să fie un multiplu întreg de semiperioade; se subînțelege în acest fel faptul că două treceri succesive prin zero ale curentului au loc după o semiperioadă (0,01 s), ceea ce este desigur adevărat doar pentru regimurile permanente normale din circuit. Cum funcționalitatea de întrerupător presupune sesizarea dar și deconectarea curenților de scurtcircuit, trebuie ținut seama de faptul că, datorită componentei continue a curentului de defect, două treceri succesive prin zero ale curentului din circuit nu mai au loc la un interval de timp constant, de 0,01 s. Realizarea sincronizării pentru funcționalitatea de întrerupător este deci mai dificilă, soluțiile propuse trebuind să țină seama de particularitățile de manifestare a curentului de scurtcircuit. În acest scop s-a impus pe de o parte utilizarea unor soluții constructive de întrerupătoare automate ultrarapide, care pe lângă împrăștierea cât mai mică a valorilor timpilor de deconectare, justificată anterior pentru comutația sincronizată, să permită practic deconectarea la prima trecere naturală prin zero a curentului, deci după timpi de ordinul milisecundelor. O asemenea realizare poate folosi de exemplu declanșatorul electrodinamic pentru deplasarea contactelor mobile și comanda optică a deconectării, pentru a reduce timpul de deconectare. În plus este necesară analiza evoluției în timp a curentului de scurtcircuit pentru a anticipa corect trecerile prin zero, care să permită astfel aplicarea corectă a comenzii de deconectare sincronizată. În legătură cu această problemă semnalăm principiul de comandă a deconectării sincronizate a curenților de



defect ce apelează la memorarea valorii  $I^*$  a curentului de scurtcircuit, în evoluția sa crescătoare după trecerea prin zero, corespunzătoare momentului  $t_0$ , deci după un interval de timp  $\tau$  egal cu durata de la comanda de deconectare la momentul desprinderii contactelor întrerupătorului; dacă întrerupătorul pentru care se dorește atașarea dispozitivului de sincronizare este de tip ultrarapid, cu valori ale duratei  $\tau$  de ordinul milisecundei, atunci putem considera doar prima alternanță a curbei care descrie evoluția în timp a curentului de scurtcircuit, Fig.7.58; în momentul în care în evoluția sa scăzătoare curentul de defect are din nou valoarea  $I^*$ , deci în momentul  $t_1$ , dispozitivul de sincronizare dă comanda de deconectare, astfel încât desprinderea pieselor de contact va avea loc după intervalul de timp  $\tau$ , deci la trecerea prin zero a curentului. Un asemenea dispozitiv de sincronizare funcționează desigur și în cazul regimului permanent normal, când evoluția în timp a curentului din circuit nu pune în evidență o componentă continuă, ca în Fig.1.2.

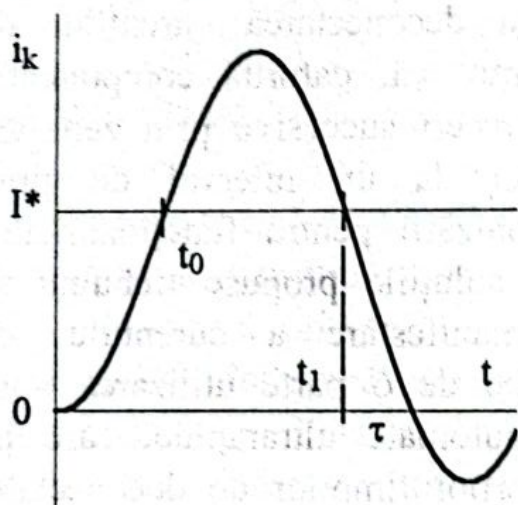


Fig.7.58

Un exemplu de întrerupător sincronizat, prevăzut cu declanșator electrodinamic pentru deconectarea ultrarapidă (Fig.7.59) folosind și transmiterea optică a comenzii pentru a reduce timpul de răspuns, cuprinde următoarele componente: transformatorul de curent TC, care este conectat la blocul de sincronizare 1, ce memorează valorile  $I^*$  ale curentului după intervale de timp  $\tau = 1,5 \dots 2$  ms și furnizează semnale convenabile de comandă a deconectării către blocul logic 3; dacă la intrarea în blocul logic 3 se aplică și semnale provenite de la blocul de protecție prin relee 2 sau corespunzătoare unei comenzi voite de deconectare, la intrarea blocului 4 de prelucrare optică vom obține un semnal de comandă a deconectării. Acest semnal parcurge linia optică de transmisie 5 și se aplică receptorului optic 6, de tip fotodiodă, fototranzistor sau fototiristor. Se obține astfel conturnarea comandată a eclatorului 10



și deci descărcarea condensatorului C, de valoare  $100...300 \mu F$ , prin bobina fixă a declanșatorului electrodinamic ce mai conține și discul metalic masiv (din cupru sau din aluminiu), 8; la descărcarea oscilantă a condensatorului C, încărcat în prealabil la o tensiune de ordinul kilovolților, fluxul magnetic variabil creat induce curenți turbionari în discul masiv 8, plasat cât mai aproape de bobină și fixat pe contactul mobil al întrerupătorului 9.

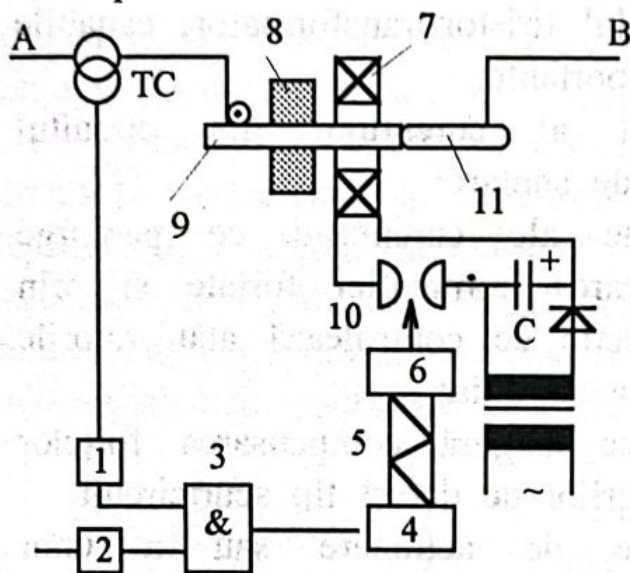


Fig.7.59

*Întrerupător sincronizat*

Ca urmare a interacțiunii electrodinamice dintre curenții turbionari din discul 8 și fluxul magnetic datorat bobinei 7, între acestea se manifestă forțe de respingere ce asigură desprinderea ultrarapidă a contactului mobil 9 de contactul fix 11; se obțin astfel deplasări ale contactului mobil de circa  $10...30 \text{ mm}$  în timp de  $1,5...2 \text{ ms}$ , ceea ce presupune accelerații mecanice de ordinul  $3,76 \cdot 10^4 \text{ m/s}^2$  și viteze maxime de  $56,5 \text{ m/s}$ , datorate unor forțe

de ordinul a  $10^5 \text{ N}$ , [3].

Principalele avantaje ale întrerupătoarelor cu comutație sincronizată se referă la:

- durata foarte scurtă de ardere a arcului electric, ce asigură micșorarea uzurii contactelor și a elementelor active;

- scăderea nivelului de ionizare în zona camerei de stingere, care permite eventual chiar creșterea valorilor curentului nominal la aceeași cursă a contactelor mobile;

- creșterea vitezei de refacere a rigidității dielectrice între piesele de contact la întrerupere, care permite renunțarea la rezistența de șuntare impusă de vitezele mari de creștere ale tensiunii tranzitorii de restabilire.

Ca dezavantaj important semnalăm complexitatea construcțiilor de întrerupătoare sincronizate, numărul mare de componente anunțând desigur și o fiabilitate scăzută.



### 7.3.2. Întrerupătoare cu comutație hibridă

După cum s-a semnalat deja, creșterea vitezei de depistare a defectelor și scăderea timpului de întrerupere, cu eventuala limitare a valorilor maxime ale curentului de scurtcircuit, reprezintă preocupările dominante în domeniul realizării întrerupătoarelor moderne de joasă tensiune. Întrerupătoarele cu comutație hibridă au impus soluții care folosesc ansamblul tiristor-transformator, capabile să rezolve următoarele probleme importante:

- transferul cât mai rapid al curentului din circuitul contactelor în circuitul tiristoarelor de șuntare;

- limitarea valorilor maxime ale curentului ce parcurge tiristoarele de șuntare, prin utilizarea comutației forțate și prin acceptarea unor elemente de protecție ce controlează atât valorile curentului cât și viteza de creștere a acestuia;

- utilizarea unor contacte ce asigură compensarea forțelor electrodinamice mari, proprii regimurilor de defect tip scurtcircuit;

- folosirea unor dispozitive de acționare sau a unor construcții speciale de întrerupătoare, ce asigură deschiderea ultrarapidă a contactelor.

Schema de principiu a unui întrerupător cu comutație hibridă trebuie să cuprindă deci următoarele componente: aparatul de comutație de bază, de preferat un întrerupător ultrarapid, schema de forță pentru preluarea conducției și pentru comutația forțată de blocare a semiconductoarelor de șuntare, blocul de accelerare a transferului de curent din circuitul contactelor principale în circuitul tiristoarelor de șuntare, blocul de limitare a supratensiunilor de comutație, schema de comandă și blocul de alimentare.

Schema de comandă trebuie să includă traductoarele de curent atașate unui bloc de protecție maximală clasică, dar și traductorul de viteză de creștere a curentului, ce anticipează valorile de curent periculoase pentru semiconductoarele schemei.

Viteza de transfer a curentului din circuitul contactelor în circuitul tiristoarelor de șuntare depinde în principal de tensiunea de arc scurt,  $u_a=10...15$  V și de inductivitatea  $L_k$  a conturului de șuntare, ce include în circuit semiconductoarele comandate pentru preluarea conducției, care chiar pentru construcții îngrijite nu scade



sub  $1...2 \mu\text{H}$ ; în aceste condiții se poate aprecia că viteza maximă de trecere a curentului de pe contactele aparatului de bază în circuitul tiristoarelor nu depășește  $10 \text{ A}/\mu\text{s}$ . Cum acest transfer de curent nu decurge instantaneu, pentru o valoare  $I_0$  a curentului în momentul separării contactelor, la momentul preluării depline a conducției curentul va avea o valoare  $I_{\text{max}}$ , de obicei de  $1,5...2$  ori mai mare ca  $I_0$ ; rezultă deci și necesitatea creșterii capacității condensatorului ce intervine în schema de comutație forțată pentru a asigura blocarea tiristoarelor de șuntare și efectul de limitare.

Analiza proceselor tranzitorii de transfer a curentului din circuitul contactelor în circuitul tiristoarelor de șuntare indică dependența timpului de transfer  $t^*$ , în principal de valoarea curentului în momentul desprinderii contactelor  $I_0$ , și de valoarea inductivității conturului de șuntare  $L_k$  (Fig.7.60) evidențiindu-se valori critice ale factorilor de influență, [20].

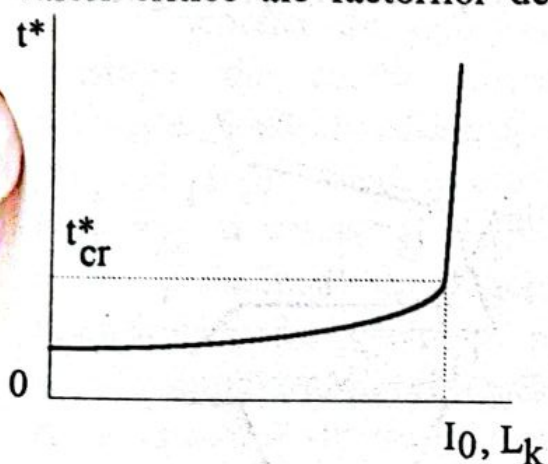


Fig.7.60

Pentru un întrerupător având curentul nominal  $I_n=4 \text{ kA}$  de exemplu, valoarea curentului limitat este de  $1,5I_n$ , timpul de deschidere a contactelor de tip punte este de  $0,5 \text{ ms}$ , pentru comutația hibridă a unor curenți de scurtcircuit de  $100 \text{ kA}$  la tensiunea de  $380 \text{ V}$ , în condițiile în care pentru a evita valorile critice ale parametrilor se

preferă folosirea a patru blocuri independente identice conectate în paralel. Rezultă astfel valori  $t^*=80 \mu\text{s}$ , pentru capacitatea condensatorului de comutație forțată de  $2000 \mu\text{F}$ . Se poate afirma că dispozitivul ultrarapid de acționare al întrerupătorului are o influență favorabilă asupra scăderii capacității condensatorului, [20].

O variantă de schemă ce asigură accelerarea procesului de transfer a curentului în situații de defect din circuitul contactelor K ale aparatului către tiristoarele de șuntare (Fig.7.61a) conține pe lângă elementele obișnuite  $T_2, C_2, L_2, T_3$  și varistorul  $RU$ , elementele  $L_1, C_1, T_1$  și bobina de șoc  $L_s$ , cu ciclu de magnetizare rectangular, Fig.7.61b.



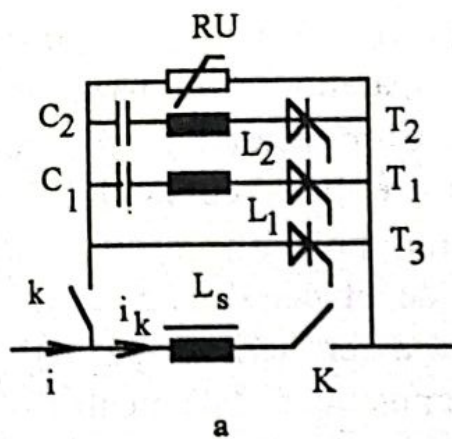
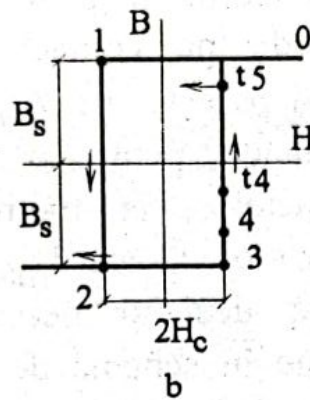


Fig. 7.61

*Intrerupător hibrid de curent continuu*

propusă folosește două transformatoare de curent,  $TC_1$  și  $TC_2$ , primul saturat datorită curentului  $i_1$  ce asigură inducția magnetică în miezul său de valoare  $+B_s$  în timp ce pentru al doilea inducția magnetică în miez este  $-B_s$  pe seama înfășurării de premagnetizare



O altă variantă de întrerupător hibrid de curent continuu este prezentată în Fig. 7.62a, evoluția diferitelor mărimi în timpul procesului de deconectare la defect de tip scurtcircuit fiind ilustrată în Fig. 7.62.b. Schema

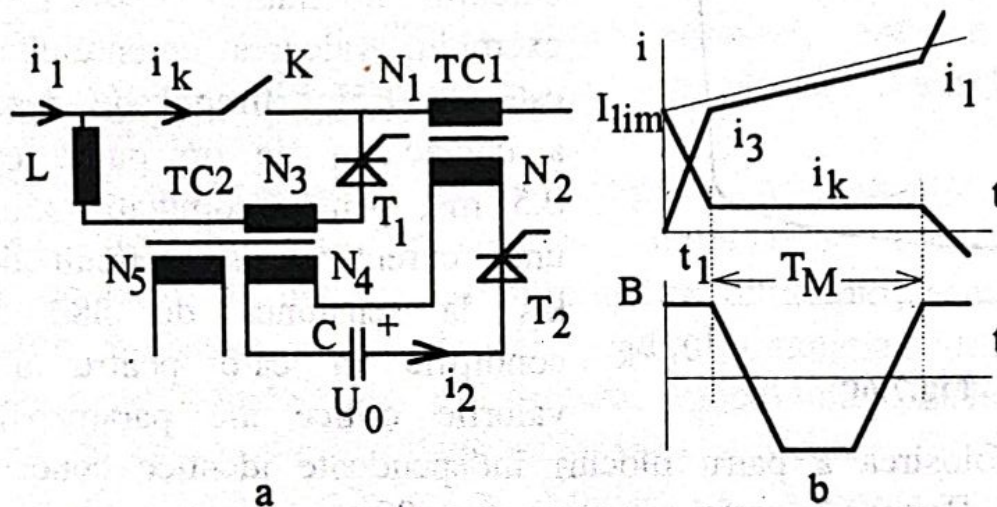


Fig. 7.62

*Intrerupător hibrid de c.c.*

$N_5$ . Funcționarea pentru deconectarea hibridă a curentului de scurtcircuit decurge astfel: atunci când curentul din circuit devine de valoare  $I_{lim}$  se comandă trecerea în conducție a tiristoarelor  $T_1$  și  $T_2$ . Tensiunea de la bornele condensatorului  $C$  se aplică practic pe înfășurarea  $N_4$ , miezul magnetic al  $TC_1$  fiind saturat, astfel încât, în înfășurarea  $N_3$  apare un curent  $i_3$  de sens invers lui  $i_1$ , a cărui evoluție crescătoare în timp se oprește în momentul  $t_1$ . Numerele



de spire ale transformatoarelor de curent  $TC_1$  și  $TC_2$  se aleg astfel încât  $i_3=i_1$ , pentru  $i_k=0$ , rezultând:

$$N_1 N_4 = N_2 N_3. \quad (7.10)$$

Principalul avantaj al unei asemenea scheme îl constituie rapiditatea cu care se poate obține întreruperea, întârzierile referindu-se doar la timpul  $t_1$ , în condițiile în care se utilizează materiale magnetice cu ciclu de histerezis îngust.

Ca dezavantaj semnalăm dependența timpului  $T_M$  de valorile curentului întrerupt ca și numărul mare de transformatoare de curent. Întrerupătoarele de curent continuu cu comutație hibridă se realizează obișnuit conform schemei date în Fig.7.38a, cu posibilități de optimizare a parametrilor componentelor, vizând în principal diminuarea capacității condensatorului.

Schema de principiu a unui întrerupător automat de joasă tensiune de curent alternativ cu comutație hibridă, Fig.7.63, folosește două transformatoare de curent, având înfășurările primare  $N_{11}$  și  $N_{12}$ , fiind prevăzute cu câte două înfășurări secundare,  $N_{21}$ - $N_{22}$  și respectiv  $N_{23}$ - $N_{24}$ .

Principiul de funcționare este următorul: la apariția unui scurtcircuit, de exemplu pentru orientarea curentului indicată în figură, după transferul curentului din circuitul contactelor principale  $K$  în circuitul de șuntare cu tiristorul  $T_1$  se conectează schema de comandă pentru trecerea în conducție a tiristoarelor  $T_3$  și  $T_5$  astfel încât condensatorul  $C$ , încărcat cu o tensiune având polaritatea idicată, furnizată de blocul de încărcare  $IC$ , se conectează în paralel cu  $T_1$ , producând blocarea sa.

Curentul total din circuit se împarte în trei componente: curentul  $i_c$  prin condensator, curentul  $i_1$  prin rezistorul  $R$ ,  $N_{21}$ ,  $D_1$  și curentul  $i_2$  care se închide pe traseul  $D_3$ ,  $N_{23}$ ,  $R$ . Deoarece transformatoarele de curent se adoptă identice, cu  $N_1$  spire în primar și  $N_2$  spire în fiecare dintre secțiunile înfășurărilor secundare, neglijând curentul de magnetizare se pot scrie relațiile:

$$N_1 i = 2 N_2 i_R, \quad i_R = i_1 = i_2, \quad i = i_c + 2 i_R, \quad i_c = (1-k)i, \quad k = N_1/N_2 \quad (7.11)$$



Considerând tensiunea de blocare a tiristorului  $T_1$  de forma:

$$U_{T1} = U_c - e_1 \quad (7.12)$$

corespunzător conturului  $C$ ,  $R$ ,  $N_{21}$  se poate scrie ecuația:

$$e_2 = U_c + R \cdot i_R, \quad e_2 = k \cdot e_1, \quad (7.13)$$

unde  $e_2$  reprezintă t.e.m. de autoinducție ce se manifestă pe înfășurarea  $N_{21}$ . Se poate scrie în final, pentru  $U_{T1}$ , o relație de forma:

$$U_{T1} = U_c(1-k) - \frac{1}{2} R k^2 i = U_{c0}(1-k) - \frac{(1-k)^2}{C} \int i(t) dt - \frac{1}{2} R k^2 i, \quad (7.14)$$

evidențiind astfel un efect de mărire a capacității echivalente ce intervine în schemă.

Definirea parametrilor electrice pentru componentele schemei rezultă practic prin analiza comportării de regim dinamic a circuitului și trebuie să răspundă unor criterii de optimizare funcțională sau de nuanță tehnico-economică. Realizările trifazate conțin trei module monofazate acționate independent, problemele care se pun fiind similare cu cele prezentate anterior.

O mențiune specială se impune cu privire la dispozitivele de acționare, mai folosite pentru aparatele electrice ce sunt utilizate în schemele cu comutație hibridă fiind dispozitivele electromagnetice.

Funcționarea ultrarapidă a ansamblului impune soluții de forțare a regimului tranzitoriu, în construcții cu două bobine (una de impuls și o a doua de menținere) și alimentare în curent continuu, cu efecte favorabile atât din punct de vedere al performanțelor cât și din punct de vedere al consumului de energie.

### 7.3.3. Intrerupătoare cu comutație statică

Primele informații cu privire la realizarea de serie a unor întrerupătoare statice se datorează firmei americane Allis-Chalmers, ele funcționând cu o caracteristică de protecție de tip



semidependent, dependentă pe porțiunea corespunzătoare curenților de suprasarcină și independentă, cu deconectare instantanee, pentru curenții de scurtcircuit. Preocupările pentru realizarea unor asemenea aparate electrice de comutație s-au extins apoi continuu, în principal datorită scăderii prețului de cost al semiconductoarelor, dar și ca urmare a scăderii gabaritului respectiv a creșterii performanțelor acestora. Acceptate la început mai ales pentru valori mari ale curentului nominal, peste 600 A, în prezent întrerupătoarele statice realizate de firme de prestigiu din întreaga lume se referă la tipodimensiuni având valori ale curentului nominal de la circa 100 A la 4000 A, caracteristicile de protecție prezentând de obicei trei porțiuni distincte, pentru a permite folosirea cât mai deplină a posibilităților fizice ale consumatorului în timpul funcționării.

Utilizările întrerupătoarelor statice au evoluat de asemenea, funcția de la întrerupător de fider cu deconectare ultrarapidă și cu efect de limitare a curentului de defect, la funcția de întrerupător specializat pentru asigurarea selectivității în scheme de distribuție complexe, cu mai multe tipuri de aparate electrice de comutație în componență.

Pentru a asigura funcționalitatea de întrerupător cu comutație statică, se impune completarea schemelor de forță tipice pentru comutația statică, prezentate în § 7.2.5, cu elemente specializate pentru a asigura protecția de curent, care să controleze atât valorile curentului din circuit cât și viteza de creștere a acestuia, anticipând printr-o comandă convenabilă de deconectare valorile curentului periculoase pentru dispozitivele semiconductoare ale schemei; în plus se impune renunțarea la comutația naturală a tiristoarelor în favoarea comutației forțate, ce permite obținerea dorită a deconectării ultrarapide, cu efect de limitare a curenților de scurtcircuit. Aceasta conduce desigur la structuri mai complexe ale schemelor întrerupătoarelor statice, atât pentru circuitul de forță cât și pentru circuitul de comandă.

Schema de principiu a unui întrerupător static trifazat de curent alternativ, Fig.7.64, evidențiază în structura sa următoarele componente:

-blocul de forță, BF, ce cuprinde trei module de comutație, MC, conținând fiecare câte două tiristoare antiparalele și o inductanță



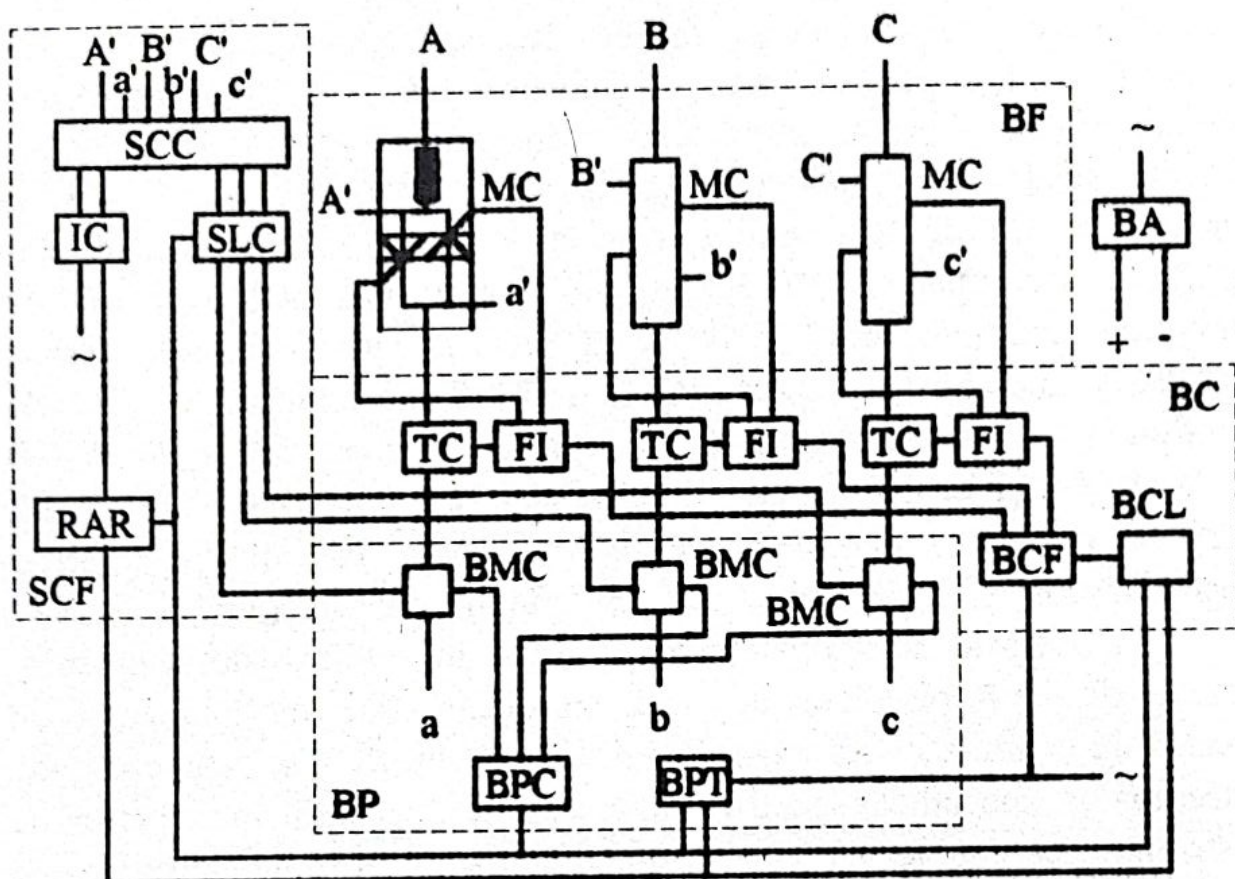


Fig.7.64

*Intrerupător static. Schemă bloc*

de protecție ce limitează viteza de creștere a curentului din circuit dar și amplitudinea curentului de scurtcircuit;

-blocul de comandă BC, ce conține blocul de comenzi logice BCL, blocul de control al fazei BCF, formatorul de impulsuri FI și traductoarele de curent, TC; în blocul de comenzi logice BCL, se realizează selecția și memorarea semnalelor ce provin de la elementele de comandă sau de protecție; la comanda de conectare, blocul BCF asigură funcționarea formatoarelor de impulsuri FI și deci comanda convenabilă a câte unuiia dintre tiristoarele antiparalel ale modulelor de comutație MC, durata acestor impulsuri fiind controlată cu ajutorul traductoarelor de curent TC; modificarea fazei impulsurilor furnizate de blocul BCF permite obținerea unor diferite regimuri de funcționare ale ansamblului;

-blocul de protecție BP, ce cuprinde subansamblurile specializate pentru protecția de curent, BPC și respectiv pentru



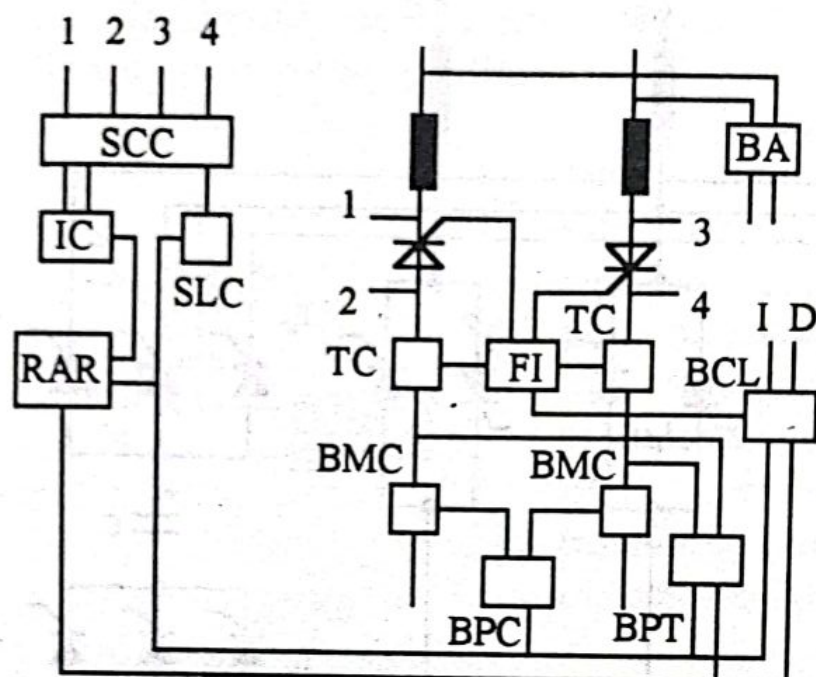


Fig.7.65

*Intrerupător static de c.c.*

protecția de tensiune, BPT; se identifică astfel regimurile de supracurenți, de întrerupere a unei faze, de modificare a nivelului tensiunii pe una dintre faze, având în vedere și funcționarea RAR; semnalele la intrare sunt furnizate de blocul de măsură curent, BMC și respectiv tensiunile de fază ale rețelei, la ieșirea BP rezultând

semnale de deconectare aplicate blocului de comenzi logice, BCL;

-sistemul de comutație forțată SCF cuprinde schema de comandă a comutației SCC, ansamblul pentru încărcarea condensatoarelor pentru comutația forțată IC, ansamblul pentru RAR și schema logică de comandă SLC, care furnizează semnale convenabile pentru blocarea tiristoarelor în conducție ale MC;

-blocul de alimentare BA, ce trebuie să asigure tensiunile necesare, ca valoare și polaritate, la regimuri normale sau de defect ale circuitului în care este inclus întrerupătorul.

La scurtcircuit, schema de comandă a comutației SCC, furnizează semnal de comandă la schema logică de comandă SLC, ce primește semnal și

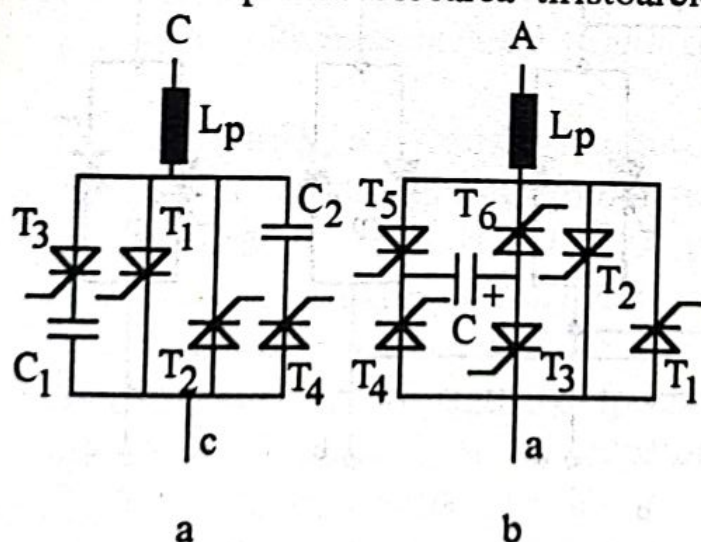
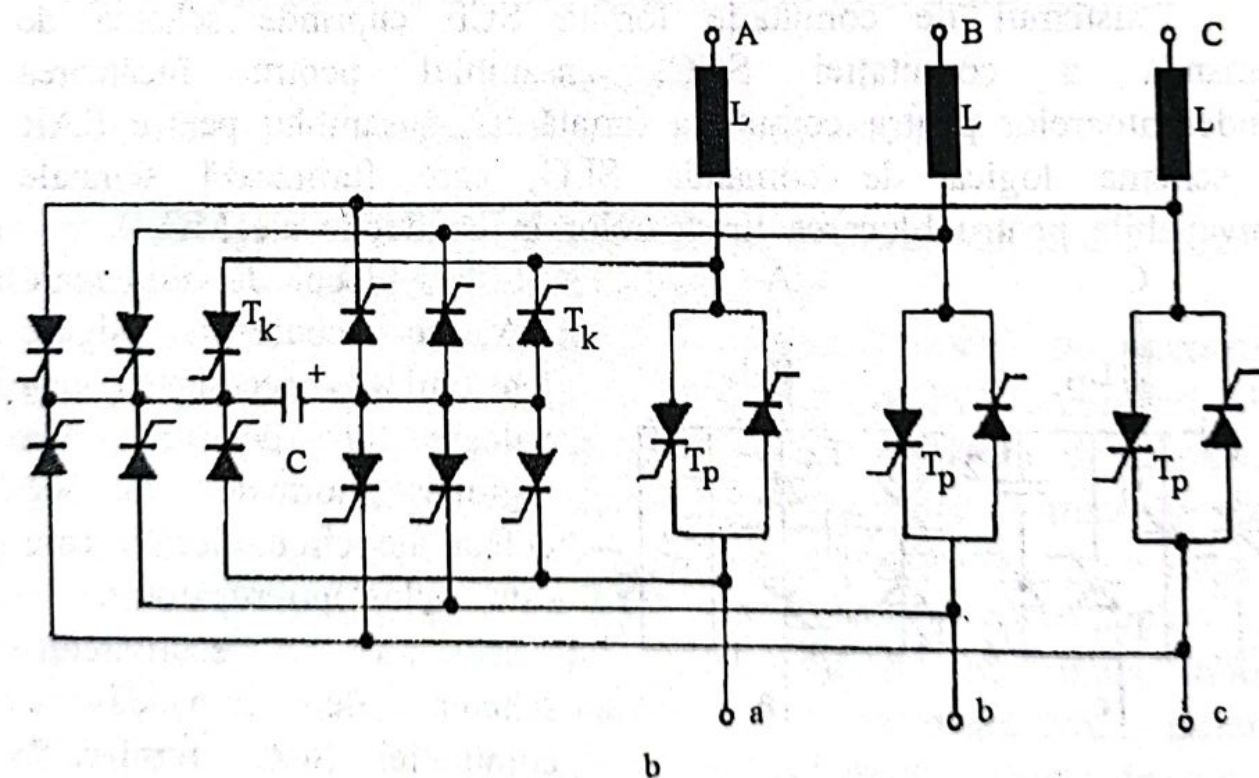
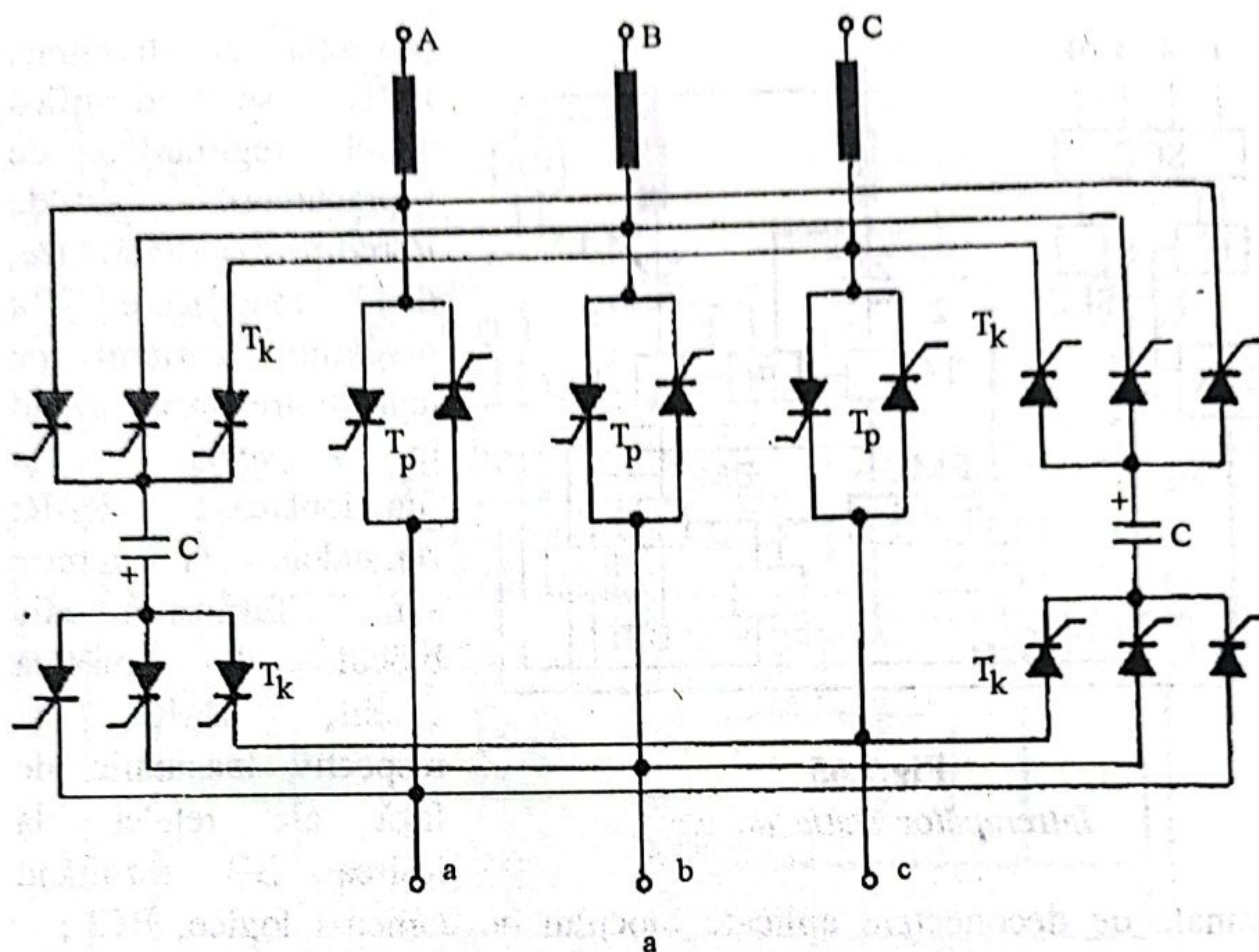


Fig.7.66.

*Circuite de stingere*

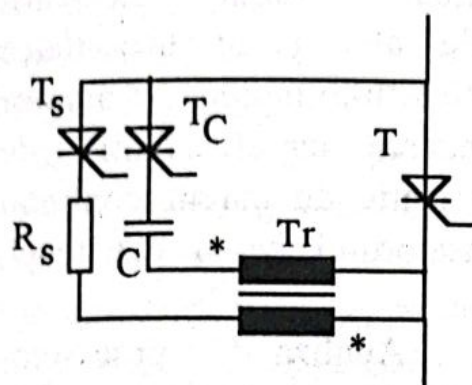




**Fig.7.67**  
*Circuite de stingere trifazate*

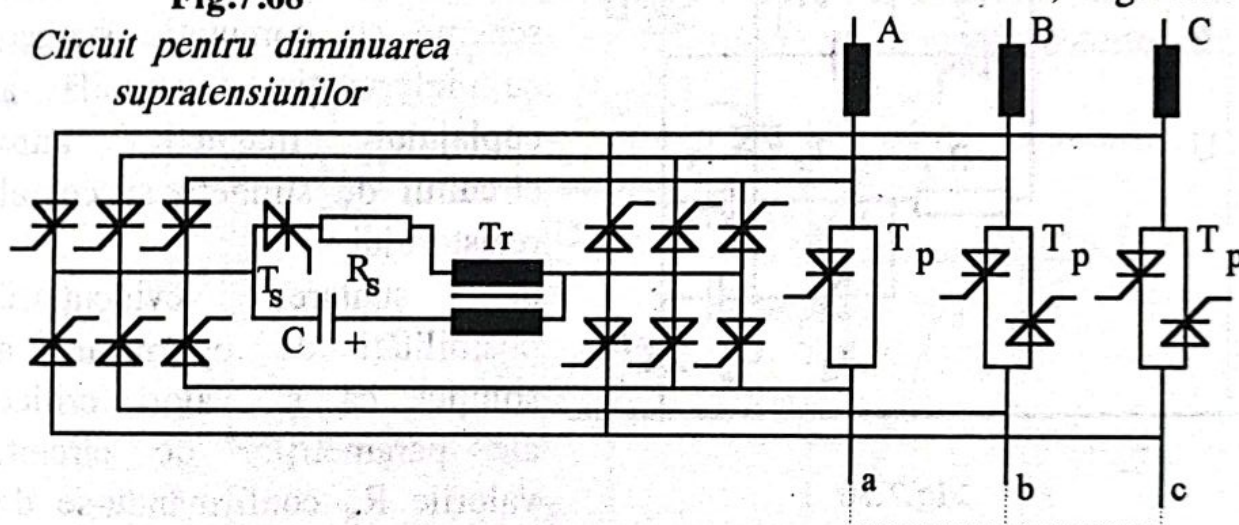


de la blocul de comenzi logice BCL, asigurându-se blocarea blocului de comutație BC.



**Fig.7.68**

*Circuit pentru diminuarea supratensiunilor*



**Fig.7.69**

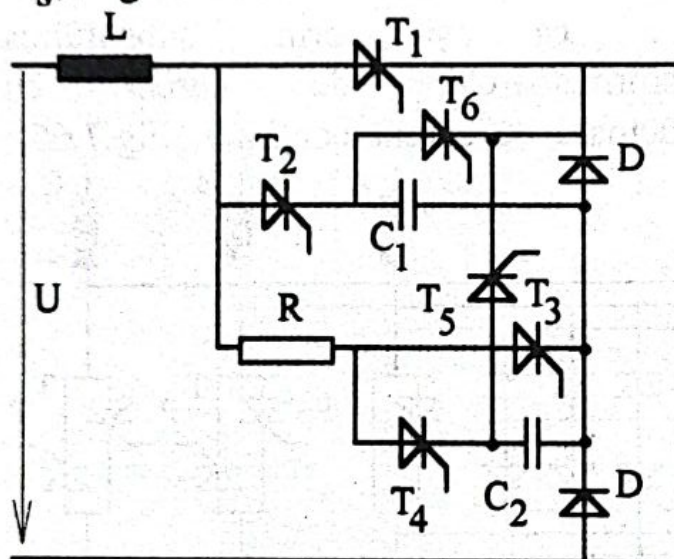
*Variantă trifazată pentru diminuarea supratensiunilor*

Pentru a realiza micșorarea timpului de conducție al tiristoarelor modulului de comutație MC în condiții de scurtcircuit, se apelează la comutația forțată pentru blocarea acestora, folosind condensatoare auxiliare convenabil încărcate, care se descarcă cu un curent invers prin tiristorul ce trebuie blocat. Modul în care aceste condensatoare, aparținând SCC, sunt conectate la bornele tiristoarelor principale în cazul unui întrerupător static monofazat este ilustrat în Fig.7.66. Cele două moduri de realizare a SCC în cazul întrerupătoarelor statice trifazate este prezentat în Fig.7.67.

Analiza riguroasă a proceselor tranzitorii corespunzătoare funcționării întrerupătoarelor statice în condiții normale sau de defect permite definirea mai riguroasă a parametrilor schemelor de



principiu, în concordanță cu eventuale criterii de optimizare a construcției acestora, având în vedere în același timp pe de o parte necesitatea limitării șocului de curent datorat încărcării condensatoarelor la conectare, iar pe de altă parte necesitatea limitării supratensiunilor datorate comutației ultrarapide a acestor aparate. Astfel de exemplu, pentru diminuarea supratensiunilor de comutație la funcționarea unui întrerupător static de curent continuu se poate apela la soluția șuntării condensatorului cu o rezistență,  $R_s$ , Fig.7.68.



**Fig.7.70**

*Întrerupător static de c.c.*

Analiza proceselor tranzitorii legate de funcționarea unei asemenea scheme cu comutație statică, cu intervenția favorabilă a cuplajului magnetic între circuitul de stingere și cel al rezistorului

de șuntare, evidențiază posibilități de optimizare a soluției ca și valori critice ale parametrilor de circuit, valorile  $R_s$  confirmându-se de ordinul  $0,5 \Omega$ . Varianta trifazată a unei asemenea

scheme este ilustrată în Fig.7.69.

De menționat faptul că opțiunea pentru schemele cu un singur condensator sau cu două condensatoare ține seama de funcționarea întrerupătoarelor statice în scheme cu neutrul tratat sau nu, pe lângă considerentele de gabarit și preț de cost care pot justifica o anumită soluție.

O primă variantă de întrerupător static de curent continuu este prezentată în Fig.7.70, asigurând limitarea supratensiunilor de comutație pe seama unei rezistențe de șuntare. Etapele de funcționare ale unui asemenea ansamblu sunt: trecerea în conducție a tiristoarelor  $T_2$  și  $T_3$  într-o primă secvență, cu blocarea tiristorului  $T_1$  și transferul curentului în circuitul paralel R-C astfel obținut; curentul din circuit va fi limitat de rezistența R ca și de



rezistența circuitului exterior; o parte a energiei înmagazinate în inductanța  $L$  va fi disipată pe rezistența  $R$ ; într-o a doua secvență se trece în conducție tiristorul  $T_4$ , se blochează  $T_3$  și se realizează deconectarea circuitului; capacitățile  $C_1$  și  $C_2$  ca și rezistența  $R$  definesc supratensiunile de comutație, creșterea valorilor  $R$  de exemplu conducând la creșterea valorilor  $U_{c1max}$  și respectiv la scăderea tensiunii  $U_{c2max}$ . Descărcarea condensatoarelor se poate realiza pe sarcină prin trecerea în conducție a tiristoarelor  $T_5$  și  $T_6$ . Principalul dezavantaj al schemei prezentate se referă la necesitatea de a folosi două baterii de condensatoare, cu efecte nefavorabile asupra gabaritului dar și asupra prețului de cost. O soluție care permite realizarea comutației statice de curent continuu cu funcționalitatea de întrerupător și folosind o singură baterie de condensatoare este prezentată în Fig.7.71a.

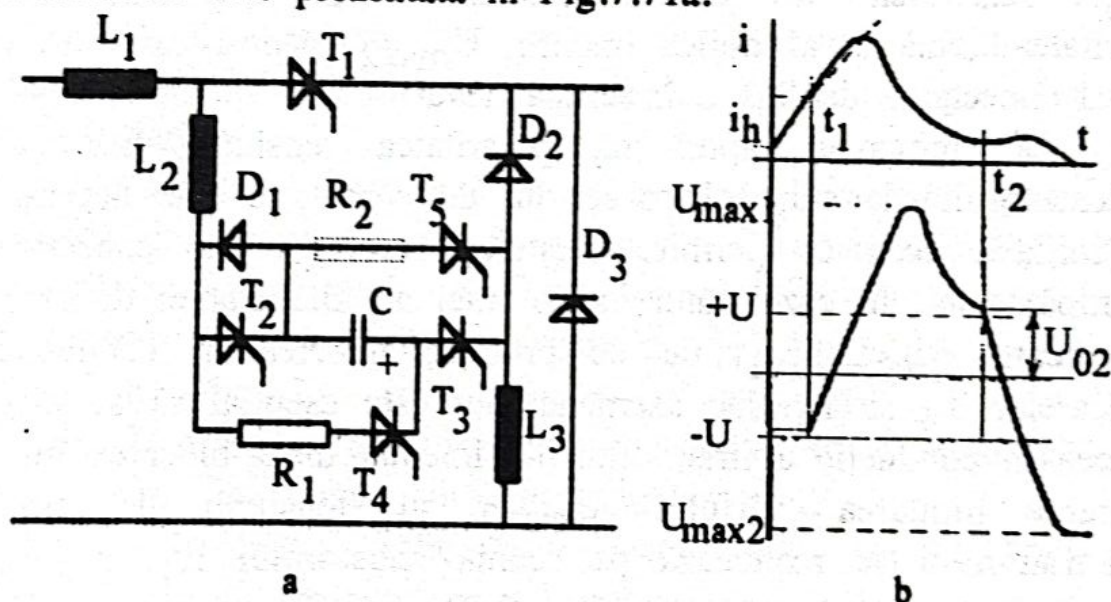


Fig.7.71

*Intrerupător static de c.c. folosind o singură baterie de condensatoare*

În regim normal de funcționare, datorită trecerii curentului prin tiristorul  $T_1$  condensatorul se încarcă la tensiunea  $U$  a sursei, cu polaritatea indicată; încărcarea condensatorului se poate realiza de la tensiunea sursei și prin aplicarea unor impulsuri periodice de comandă pe porțile tiristoarelor  $T_4$  și  $T_5$ . Dioda  $D_2$  și bobina de reactanță  $L_3$  asigură timpul minim de încărcare a condensatorului, chiar pentru valori mari ale rezistenței de sarcină. La apariția unui scurtcircuit și creșterea curentului până la valoarea  $i_0$ , Fig.7.71b, în schemă se comandă trecerea în conducție a tiristoarelor  $T_2$  și  $T_3$ .



asigurându-se conectarea condensatorului la bornele tiristorului  $T_1$ , blocarea acestuia și schimbarea polarității tensiunii la bornele condensatorului, cu creșterea acesteia până la valoarea  $U_{\max 1}$ ; limitarea valorii supratensiunii  $U_{\max 1}$  este asigurată prin trecerea în conducție a tiristorului  $T_4$ , ce realizează șuntarea condensatorului cu rezistorul  $R_1$ . Pentru descărcarea condensatorului la scăderea valorilor curentului se folosește dioda  $D_1$ . A doua etapă a comutației intervine prin trecerea în conducție a tiristorului  $T_5$ , după un interval de timp suficient pentru blocarea tiristorului  $T_2$  și scăderea curentului până la valoarea limitată de rezistența exterioară a circuitului de sarcină și de  $R_1$ . Deoarece în momentul  $t_2$  polaritatea tensiunii condensatorului este inversă față de cea inițială, se obține blocarea tiristorului  $T_3$  și trecerea curentului prin  $R_1$ - $T_4$ - $C$ - $T_5$ . Tensiunea la bornele condensatorului își schimbă iar polaritatea, până la al doilea maxim,  $U_{\max 2}$ , pentru care intervine deci deconectarea deplină a întrerupătorului.

De remarcat faptul că polaritatea tensiunii la bornele condensatorului la sfârșitul procesului de comutație este aceeași cu cea inițială, ceea ce permite creșterea frecvenței de conectare a întrerupătorului. În cazul unor valori mici ale inductanței de sarcină, deci pentru  $U_c < U_{\max 1}$ , nu se produce trecerea în conducție a tiristoarelor  $T_4$  și  $T_5$ . De asemenea nu este esențial să se asigure trecerea în conducție a tiristorului  $T_5$  imediat după blocarea lui  $T_2$ , deoarece limitarea vârfului  $U_{\max 2}$  al tensiunii la bornele condensatorului se realizează pe seama rezistorului  $R_1$ . În același scop se poate introduce în circuitul tiristorului  $T_5$  un rezistor  $R_2$ , a cărui valoare maximă se alege din condiția blocării sigure a tiristorului  $T_3$ . Avantajele schemei legate de frecvența mare de conectare, de utilizarea deplină și eficientă a condensatorului, limitarea eficientă a supratensiunilor de comutație, sunt dublate de dezavantaje cu privire la limitarea mai slabă a curenților de scurtcircuit, datorită comutației de tip derivație, ca și cele referitoare la regimul termic nefavorabil din cauza disipării energiei reactive pe rezistorul  $R_1$ , deci în încălta întrerupătorului. Nu e de neglijat nici complexitatea schemei.

Creșterea capacității de limitare a curenților de scurtcircuit se poate realiza folosind o schemă cu comutație forțată și



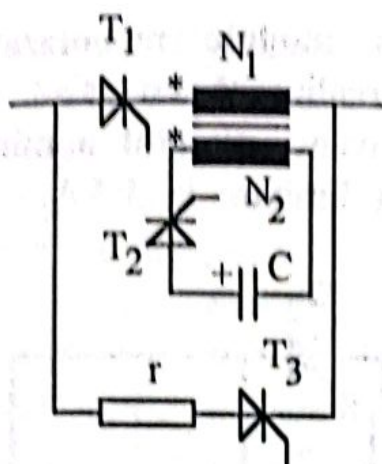


Fig.7.72

*Scheme de limitare a curentului de scurtcircuit*

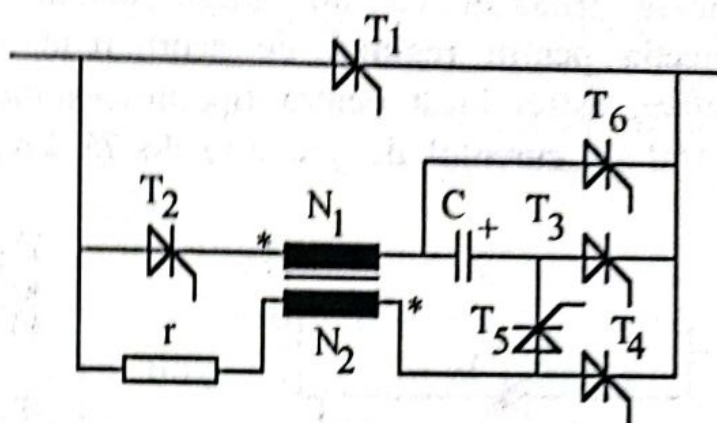


Fig.7.73

transformator de separare a condensatorului, Fig.7.72. La conectarea tiristoarelor  $T_2$  și  $T_3$ , t.e.m. ce apare în înfășurarea  $N_1$  a transformatorului asigură un curent în circuitul rezistorului de limitare  $r$ , astfel încât blocarea tiristorului  $T_3$  este asigurată tot cu comutație paralel.

Dezavantajul schemei îl reprezintă valorile mari ale capacității ca și consumul de materiale feromagnetice. Scăderea capacității condensatorului, cu efecte favorabile și asupra prețului de cost respectiv al gabaritului ansamblului, se obține folosind soluția ilustrată în Fig.7.73, care asigură o repartiție convenabilă a curentului la divizarea acestuia între capacitatea  $C$  și rezistorul  $r$ , pe seama t.e.m. ce apar în înfășurările unui transformator ce completează în fapt o schemă de forma celei din Fig.7.71a. Se micșorează astfel curentul prin condensator, ceea ce permite în consecință diminuarea valorii capacității acestuia. În plus scad și supratensiunile de comutație.

De altfel, compararea multitudinii de scheme de principiu ce permit realizarea întrerupătoarelor statice de curent continuu, considerând ca indicatori fiabilitatea, respectiv dimensiunile de gabarit și prețul de cost, indică drept soluție mai reușită varianta prezentată în Fig.7.71a.

Informațiile din literatură [19], indică performanțele a două serii de întrerupătoare statice de curent alternativ de joasă tensiune. Pentru seria ПР31, realizată cu tipodimensiuni pentru curenți nominali de 63...160 A și tensiune nominală de 380 V, asigură



variantea trifazată ca un ansamblu de trei module monofazate. Protecția pentru regimul de scurtcircuit se realizează cu efect de limitare, astfel încât pentru tipodimensiunea având curentul nominal de 160 A, curentul de șoc este de 75 kA, cu limitare la 4 kA.

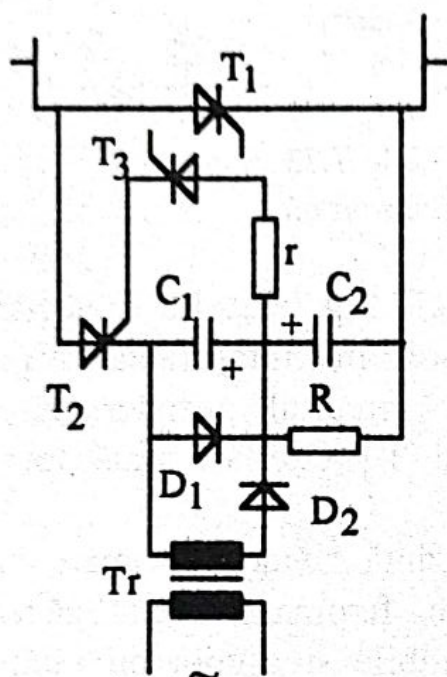


Fig.7.74

*Intrerupător static tip ПП31*

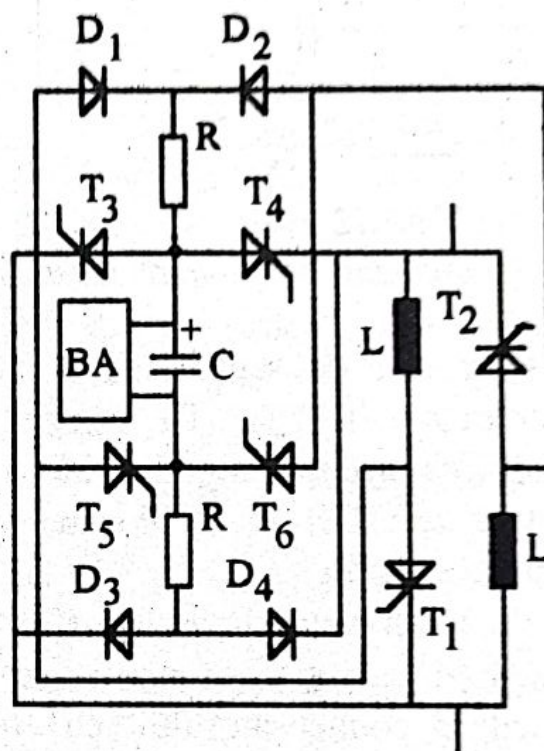


Fig.7.75

*Intrerupător static VA 81*

Schema de principiu a unui asemenea întrerupător static, pentru o alternanță, este dată în Fig.7.74 și evidențiază tiristorul principal  $T_1$ , tiristorul pentru comutația forțată  $T_2$ , comandat cu ajutorul tiristorului de mică putere  $T_3$ . Blocarea tiristorului principal este asigurată de condensatorul  $C_1$ , în timp ce ansamblul  $C_2$  și  $R$  realizează diminuarea supratensiunilor de comutație.

Intrerupătoarele statice din seria VA 81 se folosesc pentru tensiuni nominale de 380 V, 50 Hz, cu tipodimensiuni având curenții nominali de la 250 A la 1000 A. Remarcabilă este frecvența de conectare de 7200 cicluri/oră, dar și puterea semnalului de comandă de doar 0,05 W. Schema blocului de comutație al unui asemenea întrerupător este dată în Fig.7.75. La funcționarea unor asemenea aparate de comutație se asigură o caracteristică de



protecție dependentă pentru domeniul curenților de suprasarcină, cu deconectare instantanee la scurtcircuit în timp de 10 ms, cu posibilitatea de RAR după 40 ms de la deconectarea defectului, controlându-se atât succesiunea fazelor cât și nivelul tensiunii rețelei care nu trebuie să scadă sub  $0,7U_n$ .

Se semnalează de asemenea seria de întrerupătoare statice de curent continuu tip VA 83, pentru curenți nominali de la 80 A la 650 A, ce folosesc tiristoare cu timp de blocare de 100  $\mu$ s.

Progresele tehnologice în domeniul semiconductoarelor comandate de putere, asigură continua ameliorare a performanțelor unor asemenea aparate de comutație, cu o mare diversitate de soluții constructive. Se impune deci identificarea unor indicatori tehnico-funcționali care să permită alegerea corectă a situațiilor pentru care o anumită soluție este mai eficientă.

#### 7.4. Concluzii

Evoluția actuală în domeniul aparatelor electrice de comutație de joasă tensiune a conturat două orientări importante și anume:

- realizarea unor aparate de concepție clasică cu preformanțe ridicate, ce a condus prin optimizarea construcției și alegerea mai judicioasă a materialelor, la variantele ce asigură comutația ultrarapidă, eventual cu efect de limitare a curentului de scurtcircuit;
- definirea unor noi principii de funcționare a aparatelor electrice de comutație, capabile să asigure întreruperea circuitelor chiar fără arc electric care, asociate cu dezvoltarea și perfecționarea tehnologiilor de realizare a semiconductoarelor comandate de putere, au impus comutația sincronizată, hibridă și statică.

Una dintre problemele importante care s-au pus în contextul existenței acestei diversități de soluții pentru realizarea comutației în instalațiile de joasă tensiune la o funcționalitate dată, a fost definirea unor criterii sau a unor reglementări, care să permită justificarea opțiunii pentru una sau alta dintre variante. Menționăm faptul că nu există încă în prezent asemenea criterii și din acest motiv considerăm cu atât mai important să prezentăm informații



care să permită cititorului compararea soluțiilor ce asigură comutația cu contacte C, hibridă H și statică S, pentru o funcționalitate dată a aparatelor de comutație, aceea de contactor de exemplu și pentru diferite valori ale curentului nominal. Datele prezentate în Tab.7.11 de exemplu, se referă la contactoare, pentru regim de funcționare AC4 la curent maxim  $I_k$ , numărul de manevre electrice  $N_e$  și mecanice  $N_m$ , exprimate în milioane manevre, masa ansamblului  $M$  [Kg], volumul  $V$  [dm<sup>3</sup>]. Desigur compararea datelor indicate în Tab.7.11 trebuie realizată pentru un același număr de manevre pentru a furniza informații concludente.

Tab.7.11

Parametru	$I_k$	$N_e$	$N_m$	V	M
$I_n=63A, C$	227	0.4	16	5	-
$I_n=63A, H$	227	5	16	5.42	4.85
$I_n=63A, S$	163	20	20	138	85
$I_n=160A, C$	385	0.2	10	26.5	10.9
$I_n=160A, H$	576	5	10	36.7	23
$I_n=160A, S$	413	20	20	179	100
$I_n=250A, C$	575	0.2	10	45.8	23.5
$I_n=250A, H$	900	5	10	56	41.5
$I_n=250A, S$	645	20	20	324	165
$I_n=400A, C$	720	0.1	10	77.3	39.5
$I_n=400A, H$	1440	5	10	85.8	72
$I_n=400A, S$	1034	20	20	405	220
$I_n=630A, C$	1135	0.1	10	126.4	66
$I_n=630A, H$	2268	5	10	108.6	102
$I_n=630A, S$	-	-	-	-	-

De subliniat faptul că deși pentru comutația statică numărul de manevre electrice este de 20 milioane, limitat practic de tiristor, nu este util să se depășească numărul de manevre electrice de 5 milioane.

În Fig.7.76 se prezintă dependența masei unor aparate de comutație cu funcționalitate de contactor (cu contacte-C, hibrid-H sau static-S), în funcție de curentul de lucru pentru care numărul de



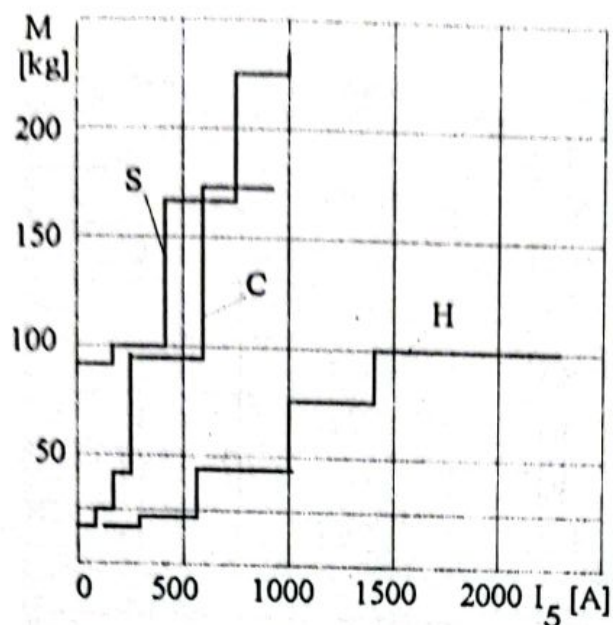


Fig.7.76

de exemplu eliminării bobinei de suflaj magnetic.

O comparație încă mai concludentă a tehnicilor moderne de comutație la joasă tensiune poate considera pierderile de putere ce intervin în funcționarea unor asemenea ansambluri, care cuprind:

- pierderile în bobina electromagnetului de acționare,  $P_b$ ;
- pierderile în contactele aparatului, în poziția închis,  $P_k$ ;
- pierderile în arcul electric de comutație,  $P_a$ ;
- pierderile în circuitele de comandă-protecție,  $P_c$ .

Considerând informațiile prezentate în Tab.7.12 se remarcă scăderea pierderilor de putere pe contacte prin folosirea comutației hibride, dar și reducerea considerabilă a pierderilor totale  $P_o$ , ce rezultă ca sumă a tuturor pierderilor ce intervin în funcționarea aparatului de comutație. În Tab.7.12 sunt indicate și valorile energiei disipate de arcul electric de comutație în procesul de deconectare  $W_a$  ca și raportul dintre costul energiei electrice  $C_{el}$  și costul total al contactorului,  $C_o$ , la curent de funcționare  $1,8 I_n$ , regim AC4, cu durată relativă de conectare 40%,  $P_T$  [W], reprezintă pierderile de putere pe tiristoarele schemei cu comutație statică.

Tab.7.12

Para- metru	$I_n=160$ A	$I_n=250$ A	$I_n=400$ A	$I_n=600$ A	Tip de comutație
$W_a$ [kWh]	0,45	0,7	1,12	1,75	C
$P_k$ [W]	45	70	120	100	C



Tab.7.12 (continuare)

$P_b$ [W]	17	27	40	70	C
$P_a$ [W]	270	420	670	1050	C
$P_o$ [W]	332	517	830	1301	C
$C_{el}/C_o$	4,72	3,18	3,73	4,95	C
$P_k$ [W]	35	52	85	150	H
$P_b$ [W]	17	27	40	71	H
$P_c$ [W]	30	30	30	30	H
$P_o$ [W]	82	109	155	251	H
$P_T$ [W]	400	630	1000	-	S
$P_c$ [W]	50	50	50	-	S
$P_o$ [W]	450	680	1050	-	S

Considerând ca referință contactorul cu comutație hibridă, Tab.7.13 subliniază încă mai concludent avantajele ale acestui tip de comutație, prezentând raportul dintre pierderile totale și pierderile pentru varianta cu comutație hibridă, pentru diferite valori ale curentului nominal.

Tab.7.13

Tip comutație	$I_n=160$ A	$I_n=250$ A	$I_n=400$ A	$I_n=630$ A
C	4	4,75	5,35	5,18
H	1	1	1	1
S	5,5	6,25	6,8	-

Se impun subliniate desigur dezavantajele legate de costurile de revizie și repunere în funcțiune pentru aparatele cu comutație hibridă, în plus, pentru asemenea realizări tehnice ponderea revenind lucrărilor ce necesită personal calificat.

Semnalăm și riscul distrugerii tiristoarelor datorită autodeschiderii contactelor în cazul comutației hibride, acestea acceptând totuși valori de  $30I_n$  pentru durata de 1 s, în timp ce în cazul comutației statice poate fi suportat curentul de doar  $10I_n$  pentru durata de 1 s și respectiv  $30I_n$  pentru durata de 0,01 s.



Din punct de vedere al compatibilității electromagnetice se semnalează existența unor semnale perturbatoare de frecvență 300 Hz în cazul comutației statice, care nu se manifestă la comutația hibridă sau la comutația cu contacte. Comutația hibridă este chiar preferată în aparatura radio și electronică datorită nivelului redus al perturbațiilor de funcționare.

Cercetările în domeniul echipamentelor de comutație de joasă tensiune continuă cu bune rezultate și în prezent [4], [19], [30], punând la dispoziția constructorilor elemente de protecție specializate, capabile să furnizeze semnale de comandă-protecție eficiente, ce anticipează eventual valorile periculoase ale curentului din circuit și folosesc deplin posibilitățile de comutație ultrarapidă ale elementelor semiconductoare utilizate. Se anunță chiar o schimbare a concepției clasice de realizare a protecției consumatorilor alimentați de aparatele electrice de comutație, propunându-se identificarea informațiilor utile pentru realizarea protecției eficiente și nu adăugarea unor elemente specializate independente pentru diferitele situații de defect posibile.

### Bibliografie

1. Aleksandrov G. N., ș.a., Teoriia elektriceskih apparatov. Moskva, Vîșșiaia Șkola, 1985.
2. Bätz H., Rutzen S., Elektrotechnische Schaltgeräte VEB. Verlag Technik Berlin, 1986.
3. Ciunihin A. A., Elektriceskie apparatî. Energoatomizdat, Moskva, 1988.
4. Clerc G., Rojat G., Phuoc V.T.Nguyen, Protection numérique contre les surintensités dans l'appareillage statique, RGE, 6, (1992).
5. Despiney Philippe, La surveillance des réducteurs de mesure, RGE, 4, (1995).
6. Dicany S. V., Namitokov K. K., Apparatî sistem bespereboynogo elektrosnabjenia. Izd. Tehnika, Kiev, 1989
7. Flursheim C.H., Teoriia i konstrukciia vîkliuciatelei. Energoizdat, Leningrad, 1982 (trad. din lb. engleză).



8. Gartmair H., Ein Modell für das Verhalten eines Vakuumschalters vor dem Stromnulldurchgang. Dissertation, Technische Universität München, 1989.
9. Gisselmann M., Kurzzeitoptische Untersuchungen der Entladungsentwicklung, in  $N_2$  und  $SF_6$  an modellanordnungen bei Gleichund Impulsspannung. Dissertation, Technische Hochschule Darmstadt, 1986.
10. Greitzke S., Untersuchungen an Hybridschaltern. Dissertation, Technische Universität Braunschweig, 1989.
11. Hnatiuc E., Baraboi A., Leonte P., Furnică Em., Adam M., Stadiul actual și perspective în realizarea aparatelor de comutație de joasă tensiune, Al III-lea simpozion "Optimizarea dezvoltării și exploatării instalațiilor energetice", Iași, Facultatea de Electrotehnică (1991).
12. Hnatiuc E., Leonte P., Modern Aspects on Construction of Electrical Apparatus, Conferința Internațională OPTIM '94, Brașov (1994).
13. Hnatiuc E., Leonte P., Popa Coculeana, Iacob C., Hnatiuc B., Techniques modernes dans la commutation de puissance à basse tension, Sesiunea jubiliară "85 de ani de învățământ electrotehnic la Iași" (1995).
14. Hortopan G., Aparate electrice. EDP, București, 1980.
15. Hortopan G., Trușcă V., Pavelescu D., Șerbănescu M., Nițu Smaranda, Aparate electrice de comutație. Tehnica fenomenelor rapide. Editura Tehnică, București, 1985.
16. Kussy F. W., Warren J. L., Design Fundamentals for Low-Voltage Distribution and Control. Marcel Dekker Inc., New York and Basel (1987).
17. Lasota R., Reduction of Switching Arc Energy in Direct Current Hybrid Switces with GTO Thyristors, Seventh International Conference "Switching Arc Phemomena", Lodz, Poland, (1993).
18. Leonte P., Hnatiuc E., Baraboi A., Aparate electrice. Lucrări de laborator (ingineri). I.P.Iași, 1973.



19. Matlac I., *Convertoare electrice*, Universitatea Braşov, 1983.
20. Moghilevskiy G. V., Raynin V. E., Grebennik V. I., *Poluprovodnikovîe aparatî zaşcitî*, Izd. Energhiia, Moskva, 1980.
21. Moghilevskii G. V., *Ghibridnîe elektriceskie aparatî nizkogo napriajeniia*. Eloektroatomizdat, Moskva, 1986.
22. Morant M., Legros W., *Comportement du disjoncteur à vide dans les réseaux moyenne tension*, RGE, 3, 36 (1995).
23. Morel R., *Disjoncteurs limiteurs et sélectifs*, RGE. 11, (1994).
24. Namitokov K. K., Ilyna N. A., Skolovskiy I. G., *Apparatî dlîa zaşcitî poluprovodnikovîh ustroistv*. Energoatomizdat, Moskva, 1988.
25. Rombaut C., Segulier G., Bausiere R., *Power Electronic Converters*. McGraw-Hill Book Company, 1987
26. Sporea D., Gălăţeanu Bîrcă Ş., *Circuite optoelectronice*, Editura Militară, Bucureşti, 1986.
27. Taev I. S., *Elektriceskie aparatî*, Izd. Energhiia, Moskva, 1977.
28. Taev I. S., *Osnovî teorii elektriceskih aparatov*, Izd. Vîssaia Skola, Moskva, 1987.
29. Waitschat H., *Verfahren zur Beurteilung des Betriebszustandes von Metalloxid-Varistoren*. Dissertation, Universität von Hannover, 1989.
30. Yousfi A., *Contacteur triphasé avec programmation de phase d'enclenchement et temps d'ouverture*, RGE., 2 (1995).



## ANEXE

Înterupătoare de înaltă tensiune cu hexafluorură de sulf  
fabricate în România

Tip	H07	H14	H17	H42
Caracteristica				
Tensiunea nominală [kV]	72,5	145	170	420
Curent nominal [A]	2500 (3150)*	2500 (3150)*	2500 (3150)*	2500 (3150)*
Frecvența nominală [Hz]	50 (60)*	50 (60)*	50 (60)*	50 (60)*
Curent de rupere nominal [kA]	40	40	40	40
Tipul acționării	hidraulică	hidraulică	hidraulică	hidraulică
Secvența nominală	D-0,3"-ID-3'-ID	D-0,3"-ID-3'-ID	D-0,3"-ID-3'-ID	D-0,3"-ID-3'-ID
Tensiuni de comandă [V]	48; 110; 220	48; 110; 220	48; 110; 220	48; 110; 220
Tensiunea auxiliară [V]	380/220	380/220	380/220	380/220

\* Se fabrică în condiții speciale, cu consultarea proiectantului.



Intrerupătoare de medie tensiune cu hexafluorură de sulf  
fabricate în România

Caracteristica	Tip	HF 12N	HF 24N	HF 12P
Tensiunea nominală [kV]		12	12	12
Curent nominal [A]		1250	1250	1250
Frecvența nominală [Hz]		50	50	50
Tensiune de ținere la frecvență industrială [kV]		35	55	35
Tensiunea de ținere la unda de impuls 1,2/50 $\mu$ s [kVmax]		75	125	75
Capacitatea de rupere la scurtcircuit [kA]		25	16/20	31,5
Curentul limită termic la 1" [kA]		31,5	25	40
Curentul limită dinamic [kAmax]		80	63	100



306

Celule electrice închise de interior echipate cu întrerupătoare cu hexafluorură de sulf realizate în România

Tip	CIP-M-SF6-24 kV		CII-1GC (SF6)-12	CII-A-SF6- 2-12B
Caracteristici tehnice				
Tipul întrerupătorului	HF-24M	SFset	FG2	
Tensiunea nominală [kV]	24	24	12	7,2; 12
Curent nominal [A]	630	630	2500	630; 1250 2500; 3150
Curent de rupere [kA]	16	12,5	31,5; 40	40 (31,5)
Stabilitatea termică 1" [kA]	10	10	40; 5*	40 (31,5)
Stabilitatea dinamică [kAmax]	25	25	100; 12*	100
Tensiunea de ținere la 50Hz; 1 min [kV]	55	55	28; 20*	20; 28
Tensiunea de ținere la impuls 1,2/50 $\mu$ s [kVmax]	125	125	75; 60*	60; 75
Grad de protecție	IP-3X	IP-3X	IP-54	IP-3X

\* - valorile sunt pentru celula cu contactoare și siguranțe